

GRANDES VOÛTES

GRANDES VOÛTES

PAR

Paul SÉJOURNÉ

INGÉNIEUR EN CHEF DES PONTS ET CHAUSSEES
INGÉNIEUR EN CHEF DU SERVICE DE LA CONSTRUCTION
DE LA COMPAGNIE PARIS-LYON-MÉDITERRANÉE
PROFESSEUR A L'ÉCOLE NATIONALE DES PONTS ET CHAUSSEES

TOME III

1^{RE} PARTIE — VOÛTES INARTICULÉES *(SUITE)*

**LIVRE I. — DESCRIPTION DES PONTS QUI ONT OU AVAIENT
DES VOÛTES INARTICULÉES DE 40^m ET PLUS DE PORTÉE**
(SUITE)

ARCS ASSEZ SURBAISSÉS
ARCS TRÈS SURBAISSÉS

**LIVRE II. — CE QUE L'EXPÉRIENCE ENSEIGNE
DE SPÉCIAL AUX VOÛTES INARTICULÉES**

BOURGES

IMPRIMERIE V^{ME} TARDY-PIGELET ET FILS
15, RUE JOYEUSE, 15

—
1913

LIBRAIRIE
H. LAFITE
15, RUE JOYEUSE, 15

Tous droits de reproduction, de traduction et d'adaptation
réservés pour tous pays.

Copyright by Paul Séjourné — 1913.

654
946
546
4.3

УНИВЕРСИТЕТ
БИБЛИОТЕКА
УЧЕБНО-НАУЧНОГО
ЦЕНТРА

AVERTISSEMENT¹

DIVISIONS DE L'OUVRAGE

CLASSEMENT DES PONTS EN SÉRIES ET DANS CHAQUE SÉRIE PAR DATE TABLEAUX SYNOPTIQUES — MONOGRAPHIES

SUITE, DANS CHAQUE MONOGRAPHIE,
DE FIGURES, PLANCHES. PHOTOGRAPHIES, ENVOIS, SOURCES.
DÉSIGNATION ABRÉGÉE DES MATÉRIAUX
UNITÉS AUXQUELLES ON RAPPORTE LES QUANTITÉS ET DÉPENSES

1. Divisions de l'ouvrage. — Cet ouvrage est ainsi divisé :

1^{re} Partie : Voûtes inarticulées². — Ce sont les voûtes ordinaires, ainsi qualifiées par opposition aux voûtes articulées.

2^e Partie : Voûtes articulées.

3^e Partie : Ce que l'expérience enseigne de commun à toutes les voûtes.

Appendice : Pratique des voûtes. — Instructions pour projeter et construire. — Ouvrages courants, Viaducs..... — Répertoires. — Tables numériques.....

Dans les 1^{re} et 2^e Parties, sont décrits les ponts qui ont — ou qui avaient — des voûtes de 40^m et plus de portée.

2. Classement des Ponts en séries. — J'ai classé par intrados les voûtes inarticulées, par type d'articulation les voûtes articulées.

Ce classement sera détaillé et justifié plus loin.

3. Classement dans chaque série par date d'exécution. — Dans chaque série, les ouvrages sont classés par date. On voit ainsi ce qui, dans un pont, est emprunté à un plus ancien.

4. Tableaux synoptiques. — Monographies. — Les dispositions comparables des ouvrages d'une série sont rapprochées dans des tableaux synoptiques : ainsi groupées, elles instruisent.

1. — déjà donné en tête des Tomes I et II.

2. — On les a quelquefois dites « encastrées » : à proprement parler, elles ne le sont pas.
En histoire naturelle, ce qui n'a pas d'articulation est justement qualifié « inarticulé ».

Viennent ensuite les monographies de chaque ouvrage : on y trouvera ce qui lui est spécial, description, histoire, dessins, photographies.

Pour tous les ponts, on a donné une élévation à la même échelle, 2^{mm}, de l'arche ou des arches de 40^m et plus.

Autant qu'on l'a pu, en restant clair, on n'a donné qu'une seule fois chaque indication, soit dans les tableaux synoptiques, soit dans la monographie, soit dans les dessins.

5. Suite, dans chaque monographie, de figures, planches, photographies, renvois, sources. — Chaque ouvrage a sa suite :

de figures : f_1, f_2, \dots ;

de planches : Pl_1, Pl_2, \dots ;

de photographies : Φ_1, Φ_2, \dots ;

de renvois au bas des pages : $^1, ^2, \dots$;

de sources : S_1, S_2, \dots indiquées à la fin de chaque monographie, quelquefois subdivisées : S'_1, S''_1, \dots .

6. Désignation abrégée des matériaux aux tableaux synoptiques et aux dessins.

Béton				B	
Moellons ordinaires		employés en blocage sans préparation spéciale		MO	
		choisis (c'est-à-dire avec sujétion)	employés en parement	à joints incertains	MOI
				grossièrement disposés par assises horizontales.	MOH
			employés en voûte	méplats, lités, prolongeant, soit chaque lit de douelle, soit un lit sur 2, sur 3.	MOV
Moellons à face rectangulaire, les 4 arêtes dans un même plan	Moellons équarris ⁴	»		ME	
		taillés en voussoirs, lits pleins prolongeant exactement ceux de douelle. Joints et face de queue en partie pleins.		MEV	
	Moellons d'appareil ⁵	Dimensions imposées	»	MA	
			taillés en voussoirs, lits et joints pleins.	MAV	
Libages		Pierre de taille de grand appareil grossièrement équarrie.		L	
Pierre de taille		Blocs appareillés sur les 6 faces. Toutes les dimensions imposées.		PT	
Briques				Br	

3. — On peut ainsi contrôler et apprécier les renseignements donnés.

4. — Synonyme : Moellons têtus.

5. — Synonyme : Moellons smillés.

7. Unités adoptées pour comparer les quantités et dépenses.

A. *Cintres.* Dans la colonne 14 des Tableaux synoptiques, on a rapporté le cube de bois, le poids de fer et la dépense, au mètre carré de douelle d'une voûte V à tympans verticaux, exigeant le même cintre.

La largeur uniforme de V est celle de la voûte considérée :



au joint à 60° de la verticale pour les pleins cintres, les ellipsoïdes et les arcs de plus de 120° ;
aux naissances, pour les arcs de moins de 120° ;
c'est à dire, pour toutes les voûtes, au joint à partir duquel les voussoirs cessent de pouvoir être soutenus en faisant simplement déborder les couchis

Comme il convient que les vaux se prolongent jusqu'à l'angle de 75°, on a pris pour surface de douelle celle de la voûte théorique V_1 .

à partir des angles de 75° pour les ellipsoïdes, pleins cintres, arcs de cercle de plus de 150° ;
à partir des naissances pour les arcs de cercle surbaissés de moins de 150°

B. *L'ouvrage.* La surface offerte à la circulation, S_p , est le produit

$$S_p = \left(\frac{\text{Longueur totale entre les abouts}}{\text{des parapets donnée colonne 2}} \right) \times \left(\frac{\text{Largeur disponible entre parapets}}{\text{donnée colonne 3}} \right)$$

S_p mesure l'utilité de l'ouvrage

Soit S_n la surface vue d'élévation entre la voie porter, les murs en aile ou quarts de cône et le terrain naturel ;

Je considère le volume $W = S_n \times H$ (largeur disponible entre parapets)

C'est le volume d'un mur plein ayant même surface d'élévation vue et même largeur utile que l'ouvrage. Convenons de l'appeler le volume « utile »

Soient Q et D le cube de maçonnerie de l'ouvrage et sa dépense

$Q - S_p$ est le cube de maçonnerie à mortier par m. q. de surface horizontale utile. C'est l'épaisseur d'une dalle en maçonnerie de même cube que l'ouvrage et qui ayant même longueur et même largeur utile

$Q - W$ est le cube de maçonnerie à mortier, par m. q. de volume « utile »

$D - S_p$ est le prix du m. q. de surface offerte à la circulation

$D - W$ est le prix du m. q. de volume « utile »

Toutes ces quantités sont données à la colonne 18 des Tableaux synoptiques

Quand les fondations sont très au dessus de la vallée, on a donné de plus les rapports

$$Q - W, D - W$$

$W = (S_n \times \text{Surface d'élévation au-dessus des fondations}) \times H$ (largeur disponible entre parapets)

W est le volume « utile » au-dessus des fondations



I^{re} PARTIE

VOÛTES INARTICULÉES

(SUITE)

PRELIMINAIRES

GROUPEMENT EN SERIES DES PONTS A VOÛTES INARTICULEES

LIVRE I

DESCRIPTION DES PONTS

QUI ONT OU AVAIENT DES VOÛTES INARTICULEES

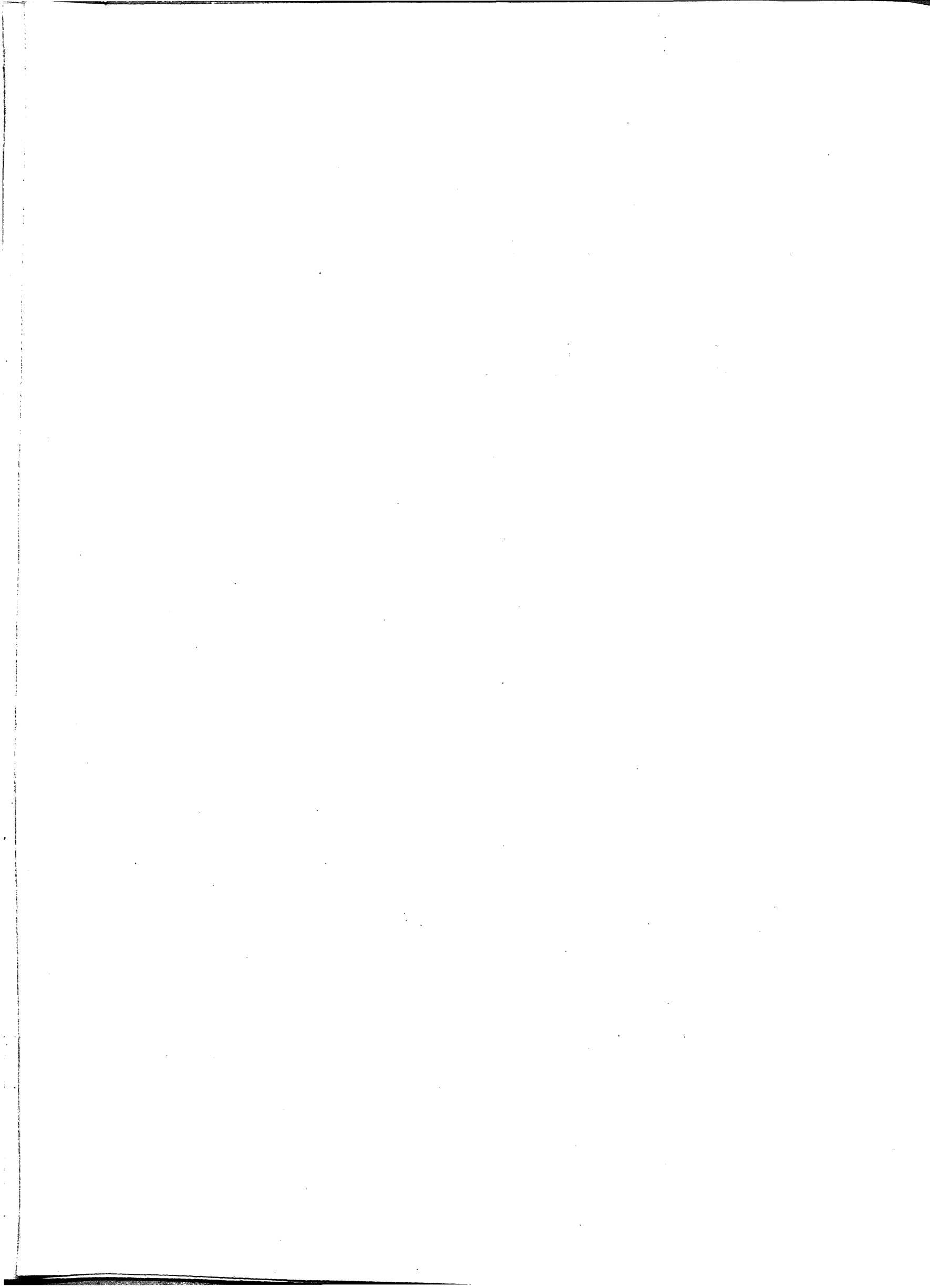
DE 40^m ET PLUS DE PORTÉE

(SUITE)

LIVRE II

CE QUE L'EXPERIENCE ENSEIGNE

DE SPECIAL AUX VOÛTES INARTICULEES



PRÉLIMINAIRES¹

GROUPEMENT EN SÉRIES DES PONTS A VOÛTES INARTICULÉES

SÉRIES PAR INTRADOS — SYMBOLES

PONTS A UNE SEULE GRANDE ARCHE ET PONTS A PLUSIEURS GRANDES ARCHES

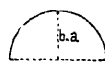
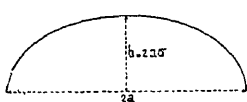
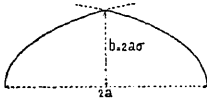
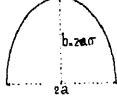
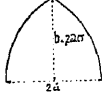
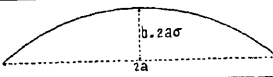
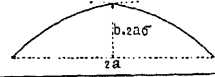
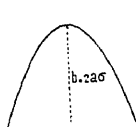
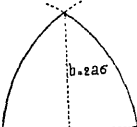
SÉRIES PAR VOIE PORTÉE — PONTS EN DEUX ANNEAUX

PONTS AYANT UNE VOÛTE OU DES VOÛTES DE 40^m OU PLUS DE PORTÉE

EXEMPLES : SENS DE QUELQUES SYMBOLES

1. Groupement en séries des ponts à voûtes inarticulées. — On a rapproché, dans les mêmes séries, les Ponts qui ont les mêmes caractères principaux : intrados, — une seule grande arche ou plusieurs grandes arches, — voie portée.

2. Séries par intrados. — Symboles. — Le caractère dominateur, celui qui classe tout d'abord les voûtes inarticulées, c'est la forme de l'intrados. Voici le classement adopté :

Portée 2a		Montée b	Surbaissement $\sigma = \frac{b}{2a}$					
			$\sigma = \frac{1}{2}$					
DEMI-COURBES COMPLÈTES	Tangentes verticales aux naissances	Pleins Cintres. — Séries C						
		Courbes surbaissées $\sigma < \frac{1}{2}$		Courbes surhaussées (h) $\sigma > \frac{1}{2}$				
		continues	brisées (O)	continues	brisées (O)			
								
Séries E		Séries OE		Séries E_h		Sér. O_h C		
Ellipses du 2 ^e degré - Courbes algébriques à forme d'ellipse - Courbes composées de segments de courbes - Anses de panier à m centres...		2 ellipses, 2 anses de panier, 2 paraboles se coupant...		Ellipses surhaussées - Anses de panier surhaussées...		2 pleins-cintres se coupant...		
ARCS SEGMENTS DE COURBES	Tangentes inclinées aux naissances							
		Arcs pour lesquels $\sigma \geq \frac{1}{2\sqrt{3}} = \frac{1}{3,464} = 0,288$				Séries A_h	Sér. O_h A	
		dits : peu surbaissés						
		Séries A		Séries OA				
Arcs pour lesquels $\frac{1}{2\sqrt{3}} = 0,288 > \sigma > \frac{1}{7} = 0,143$				Segments d'ellipses, d'anses de panier surhaussées, de paraboles...				
dits : assez surbaissés								
Séries A		Séries OA						
Arcs pour lesquels $\sigma \leq \frac{1}{7} = 0,143$				Séries A_h				
dits : très surbaissés								
Séries A		Séries OA						

1. — Les mêmes qu'en tête des Tomes I et II.

3. Ponts à une seule grande arche et ponts à plusieurs grandes arches. — On traite de façon fort différente un ouvrage à une seule grande arche ou à plusieurs grandes arches.

De plus, la surcharge ne déforme pas également une voûte unique retombant sur deux culées et la même voûte buttant contre deux piles.

On a donc distingué les ponts à une seule grande arche : $\mathbf{C}^1, \mathbf{E}^1, \hat{\mathbf{A}}^1, \hat{\mathbf{A}}^1, \hat{\mathbf{A}}^1, \dots$ et les ponts à plusieurs : $\mathbf{C}^n, \mathbf{E}^n, \hat{\mathbf{A}}^n, \hat{\mathbf{A}}^n, \hat{\mathbf{A}}^n, \dots$

4. Séries par voie portée. — Le travail des voûtes, par conséquent leur épaisseur, dépend de ce qui passe dessus.

On distinguera donc :

les Ponts-route : $\mathbf{C}^{r^{le}}, \mathbf{E}^{r^{le}}, \mathbf{A}^{r^{le}}, \dots$

les Ponts sous chemin de fer à voie normale : $\mathbf{C}^{Fr}, \mathbf{E}^{Fr}, \mathbf{A}^{Fr}, \dots$

les Ponts sous chemin de fer à voie étroite : $\mathbf{C}^{fr}, \mathbf{E}^{fr}, \mathbf{A}^{fr}, \dots$

les Ponts-aqueducs : $\mathbf{C}^{aq}, \mathbf{E}^{aq}, \dots$

.....

5. Ponts en deux anneaux. — Par économie, on a récemment, pour de larges ponts de ville, porté la chaussée sur deux minces anneaux, un à chaque tête.

Les voûtes seront désignées comme précédemment, mais en doublant la lettre de l'intrados, par exemple : $\hat{\mathbf{A}}^1 \hat{\mathbf{A}}^1 r^{le}, \dots$

6. Ponts ayant une voûte ou des voûtes de 40^m ou plus de portée. — Les symboles seront suivis de l'indication : $\geq 40^m$.

7. Exemples : Sens de quelques symboles.

$$\hat{\mathbf{A}}^1 fr (\geq 40^m)^3$$

désigne un ouvrage en arc (\mathbf{A}) à une seule grande arche (\mathbf{A}^1); — assez surbaissé, c'est-à-dire de surbaissement compris entre $\frac{1}{2\sqrt{3}}$ et $\frac{1}{7}$ ($\hat{\mathbf{A}}$); — inarticulé (pas de signe d'articulation sous \mathbf{A}); — sous voie étroite (fr); — de portée de 40^m ou plus ($\geq 40^m$); — le 3^e, par ordre chronologique, de la série $\hat{\mathbf{A}}^1 fr (\geq 40^m)$.

$$\mathbf{E}^n Fr (\geq 40^m)^2$$

désigne un pont en ellipse (\mathbf{E}) à plusieurs grandes arches (\mathbf{E}^n); — inarticulé (pas de signe d'articulation sous \mathbf{E}); — sous chemin de fer à voie normale (Fr); — de portée de 40^m ou plus ($\geq 40^m$); — le 2^e, par date, de la série $\mathbf{E}^n Fr (\geq 40^m)$.

$$\hat{\mathbf{A}}^1 \hat{\mathbf{A}}^1 r^{le} (\geq 40^m)^2$$

désigne un pont à deux anneaux en arc ($\mathbf{A} \mathbf{A}$), chacun à une seule grande arche ($\mathbf{A}^1 \mathbf{A}^1$), de surbaissement $\sigma \geq \frac{1}{2\sqrt{3}}$ ($\hat{\mathbf{A}}^1 \hat{\mathbf{A}}^1$); — inarticulé (pas de signe d'articulation sous $\mathbf{A} \mathbf{A}$); — sous route (r^{le}); — de portée de 40^m ou plus ($\geq 40^m$); — le 2^e, par date, de la série $\hat{\mathbf{A}}^1 \hat{\mathbf{A}}^1 r^{le} (\geq 40^m)$.

LIVRE I (*Suite*)

DESCRIPTION DES PONTS

QUI ONT OU AVAIENT

DES

VOÛTES INARTICULÉES

DE 40^m ET PLUS DE PORTÉE

TABLEAUX SYNOPTIQUES

MONOGRAPHIES

VOÛTES INARTICULEES

EN

ARC ASSEZ SURBAISSÉ



VOÛTES INARTICULEES EN ARC ASSEZ SURBAISSÉ ¹

PONTS A UNE SEULE GRANDE ARCHE
SOUS ROUTE

Série \widehat{A}^{1re} (— 40^m) ²

PONT A UNE SEULE GRANDE ARCHE SOUS ROUTE

PONT	PROJET							EVIDENCEMENTS DES TYMPANS
	ENSEMBLE		GRANDE VOÛTE					
	Longueur entre abouts des parapets Déclivités Hauteur maxima de la chaussée au-dessus du sol ou de l'étiage	Largeurs entre parapets entre tympans sous la plinthe Fruit des tympans Revanche de la chaussée sur l'extrados	INTRADOS Portée Montée Surbaissement Rayon	ÉPAISSEURS CORPS Clef Retombées		TÊTES Clef Retom- bées	MATÉRIAUX Mortier Poids, pour 1 ^m de sable, de chaux ou de ciment	
Date	1	2	3	4	5	6	7	8
Symbole								
de Trezzo Italie 1370-1377 ruiné en 1416 A ¹ r ^{1e} (≥ 40 ^m) 1			» 9 ^m 10 entre têtes » »	Arc de cercle 72 ^m 00 21 ^m 10 1/3,412 = 0,293 41 ^m 25	2 ^m 05 Epaisseur uniforme		Bandeaux : Grès	1 ^a » 2 ^a Archivolte
Pont-y-tu-Pridd Angleterre 1749-1750 A ¹ r ^{1e} (≥ 40 ^m) 2	250 ^m 250 ^m 12 ^m	» 3 ^m 353 4 ^m 394 La largeur croît par ressauts de 5' à 7' 5" Largeur entre têtes aux reins : 4 ^m 826	Arc de cercle 42 ^m 672 10 ^m 668 1/4 = 0,25 26 ^m 67	0 ^m 457 Epaisseur uniforme	0 ^m 762 Epaisseur uniforme	Bandeaux : PT ¹ Grès dur hauteur uniforme : 0 ^m 76 épaisseur : 0 ^m 15 à 0 ^m 23 queue : 0 ^m 30 à 0 ^m 45 Douelle : Schiste Petits moellons. hauteur : 0 ^m 457 épaisseur : 2 ou 3 moellons pour un voussoir de tête Queutage : MOH ¹ Chaux	1 ^a 6 voûtes transversales annulaires vues, de 1 ^m , 1 ^m 60, 2 ^m 50 environ 2 ^a »	
de Chester Angleterre 1833-1834 A ¹ r ^{1e} (≥ 40 ^m) 3	105 ^m 19 ^m	» 10 ^m 20 10 ^m 90 Pas de fruit 1 ^m 44	Arc de cercle 60 ^m 959 12 ^m 801 1/4,76 = 0,210 42 ^m 67	1 ^m 219 1 ^m 829		Aux naissances, 2 assises en PT ¹ Granit Bandeaux, Clef et contre-clefs : PT ¹ Marbre Douelle et Queutage : Grès (New red sandstone) Chaux du pays 0 ^m 5	1 ^a 2 étages de voûtes longitudinales en ogive : 4 en haut, 2 en bas. 2 ^a Archivolte	
des Bains-de-Lucques Italie 1845-1847 1874-1877 A ¹ r ^{1e} (≥ 40 ^m) 4	» » 13 ^m	» 7 ^m 83 » Pas de fruit »	Arc de cercle 47 ^m 835 7 ^m 128 1/6,71 = 0,149 43 ^m 69	1 ^m 80 3 ^m 00 Extrados à ressauts		Bandeaux : PT ¹ Grès (490 ^k à 625 ^k) Corps : Br (130 ^k à 150 ^k) Chaux maigre en pâte — 0 ^m 666	Pression moyenne : Clef 16 ^k 3 Naissances 11 ^k 8 La courbe de pression passe au 1/3 supérieur de la clef et au milieu des naissances	1 ^a 4 voûtes transversales cachées en arc 2 ^a »

s. — Pour le sens de ces abréviations, voir Avertissement, Tome III, p. II, n° 6.

11

TABLEAU SYNOPTIQUE

4. W = Surface vue de l'élévation \times Largeur entre parapets. 5. W' = Surface de l'élévation au-dessus des fondations \times Largeur entre parapets.
Pour S_p , W , W' , voir Avertissement, Tome III, p. III, n° 7 - B.

PONT A UNE SEULE GRANDE ARCHE SOUS ROUTE

PONT	PROJET							
	ENSEMBLE		GRANDE VOÛTE					ÉVIDEMENTS DES TYMPANS
	Longueur entre abouts des parapets Déclivités Hauteur maxima de la chaussée au-dessus du sol ou de l'étiage	Largeurs entre parapets entre tympans sous la plinthe Fruit des tympans Revanche de la chaussée sur l'extrados	INTRADOS Portée Montée Surbaissement Rayon	ÉPAISSEURS CORPS TÊTES Clef Retombées		MATÉRIAUX Mortier Poids, pour 1 ^m de sable, de chaux ou de ciment	PRESSIONS en kg 0 ^m 01 ² Hypothèse adoptée Surcharges supposées	
Date	1	2	3	4	5	6	7	8
Symbole								
de Claix France 1873-1874 $\widehat{A}^1 r^{te} (\geq 40^m) 5$	76 ^m 15 ^m 15 ^m 11 ^m 20	$\left\{ \begin{array}{l} 7^m 30 \\ 8^m 10 \end{array} \right.$ Pas de fruit »	Arc de cercle $\left\{ \begin{array}{l} 52^m 00 \\ 8^m 05 \\ \frac{1}{6,46} = 0,155 \end{array} \right.$ 46 ^m	$\left\{ \begin{array}{l} 1^m 50 \\ 3^m 10 \end{array} \right.$	$\left\{ \begin{array}{l} 1^m 20 \\ 2^m 60 \end{array} \right.$	Bandeaux : PT ¹ Bossages 7 tirants en fer de 55 ^{mm} x 15 ^{mm} scellés dans les bandeaux Douelle : MEV ¹ Queutage : MOV ¹ Ciment artificiel Vicat n° 1 — 1000 ^k	Pression moyenne à la clef : 19 ^k Dupuit	1 ^{re} Voûtes enclées en plein cintre de 1 ^m 50, sur piles de 0 ^m 80 : 3 en long, 14 en travers (Voûtes d'arête) 6 tirants entre murs de tête. 2 ^{de} »
du Saulnier France 1882 <u>écroulé en 1912</u> $\widehat{A}^1 r^{te} (\geq 40^m) 6$	66 ^m » 17 ^m	$\left\{ \begin{array}{l} 3^m 80 \\ 3^m 40 \end{array} \right.$ Pas de fruit 0 ^m 60	Arc de cercle $\left\{ \begin{array}{l} 43^m 00 \\ 8^m 60 \\ \frac{1}{5} = 0,20 \end{array} \right.$ 31 ^m 17	$\left\{ \begin{array}{l} 1^m 30 \\ 2^m 08 \end{array} \right.$		Bandeaux et Douelle : MAV ¹ 22 tirants en fer de 50 ^{mm} x 15 ^{mm} entre bandeaux Queutage : MEV ¹ Grès calcaire à 300 ^k Chaux du Teil	Pression moyenne : Clef : 14 ^k 6 Retombées : 14 ^k 8 Dupuit	1 ^{re} En travers : 2 étages de voûtes en plein cintre de 1 ^m 50, sur piles de 1 ^m 20. En long : 1 voûte en plein cintre de 1 ^m , sur murs de 1 ^m 20 2 ^{de} »
d' Elyria États-Unis 1886 $\widehat{A}^1 r^{te} (\geq 40^m) 7$	50 ^m 29 » »	$\left\{ \begin{array}{l} 7^m 925 \\ 6^m 096 \end{array} \right.$ Pas de fruit 1 ^m 219	Arc de cercle $\left\{ \begin{array}{l} 45^m 72 \\ 8^m 23 \\ \frac{1}{5,55} = 0,18 \end{array} \right.$ 35 ^m 81	$\left\{ \begin{array}{l} 1^m 143 \\ 1^m 371 \end{array} \right.$		Voussoirs de toute l'épaisseur de la voûte, taillés sur 5 faces Épaisseur : 45 ⁷ Longueur : 70 ² Découpes d'au moins 40 ² Grès d'Elyria, à 437 ^k Ciment Portland 1 ^m joints suivant le rayon : 6 ^{mm} 4	Pression sans surcharge : Clef : 19 ^k 7 Retombées : 24 ^k 1	1 ^{re} Pas d'évidement. Remplissage en pierre cassée et gravier 2 ^{de} »
de Wheeling États-Unis 1891-1892 $\widehat{A}^1 r^{te} (\geq 40^m) 8$	98 ^m 91 42 ^m 5 42 ^m 5 10 ^m 50	$\left\{ \begin{array}{l} 13^m 716 \\ 14^m 528 \end{array} \right.$ Pas de fruit »	Arc de cercle $\left\{ \begin{array}{l} 48^m 463 \\ 8^m 635 \\ \frac{1}{5,612} = 0,178 \end{array} \right.$ 38 ^m 22	$\left\{ \begin{array}{l} 1^m 371 \\ 1^m 829 \end{array} \right.$	$\left\{ \begin{array}{l} 1^m 524 \\ \text{»} \end{array} \right.$	Bandeaux : PT ¹ à crossettes, de toute l'épaisseur de la voûte	Pression maxima aux retombées : 37 ^k 3 488 ^k /mq	1 ^{re} 8 murs longitudinaux de 0 ^m 61, espaces de 0 ^m 888 et 0 ^m 803 2 ^{de} »

r. Pour le sens de ces abréviations, voir Avertissement, Tome III, p. II, n° 6.

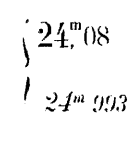
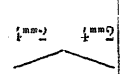
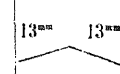
SÉRIE A¹ r¹⁰ (>40m)

TABLEAU SYNOPTIQUE (Suite)

EXÉCUTION										CUBE DE MAÇONNERIE A MORTIER	
FONDATIONS	GRANDE VOÛTE									<div>Q</div> DÉPENSE <div>D</div> <div>Totaux et par unité { de surface utile S_p^3 de volume « utile » W^4 18</div>	
	CINTRE					MODE DE CONSTRUCTION	DÉCINTREMENT État d'avancement du pont Temps entre le dernier clavage et le décintrement Date	TASSEMENTS DE LA CLEF sur cintre t_c au décin- trement t_v' après t_v''			
	FERMES		Cube de bois Poids de fer Dépenses								
	Type Matière Appareils de décintrement Procédé	Nombre Épaisseur Écartement d'axe en axe Surhaussement	Totaux	par mq de douelle ²							
10	11	12	13	14	15	16	17	18			
<i>Calcaire schisteux tendre taillé à redans.</i> » Pression moyenne : 12 ^k 1 »	Fixe Poinçons et triangles » Boîtes à sable remplaçant, au dernier moment, des billots	<div>{ 6 35^{cm} 1^m50 »</div>	» » 32535 ^f	» » 68 ^f 9	2 rouleaux A chaque rouleau, 4 tronçons	» 12 jours 10 avril	$t_c = 4^{mm}$ $t_v' = 1 \text{ à } 2^{mm}$	<div>D = 139564^f D : $S_p = 251^f6$ D : $W = 26^f6$</div>			
Rive droite : <i>Rocher Schiste apparent</i> Rive gauche : <i>Schiste pourri et argile</i> Pression maxima : 7 ^k 7	Fixe Pin Boîtes à sable	<div>{ 3 20^{cm} 1^m50 »</div>	95 ^{me} » »	0 ^{me} 59 » »	2 rouleaux	» 39 jours Octobre et novembre	$t_c = 0$ $t_v' = 52^{mm}$	<div>D = 69000^f D : $S_p = 275^f4$ D : $W = 16^f6$</div>			
<i>Rocher solide</i> Assiette taillée à la main : explosifs interdits							$t_v' = 203^{mm}$				
<i>Rocher</i>	Fixe » Boîtes à sable	<div>{ 12 30^{cm} 1^m346 »</div>						<div>D = 699300^f D : $S_p = 515^f5$ D : $W = 65^f0$</div>			

2. Pour le calcul de la surface de douelle, voir Avertissement, Tome III, p. III, n° 7 — A. 3. S_p = Longueur (col. 2) × Largeur entre parapets (col. 3) — C'est la surface offerte à la circulation.
4. W = Surface vue de l'élévation × Largeur entre parapets. 5. W' = Surface de l'élévation au-dessus des fondations × Largeur entre parapets.
Pour S_p, W, W', voir Avertissement, Tome III, p. III, n° 7 — B.

PONT A UNE SEULE GRANDE ARCHE SOUS ROUTE

PROJET									
PONT	ENSEMBLE			GRANDE VOÛTE				1°	
	Longueur entre abouts des parapets Déclivités Hauteur maxima de la chaussée au-dessus du sol ou de l'étiage	Largeurs entre parapets entre tympans sous la plinthe Fruit des tympans Revanche de la chaussée sur l'extrados	INTRADOS Portée Montée Surbaissement Rayon	ÉPAISSEURS		MATÉRIAUX Mortier Poids, pour 1m ³ de sable, de chaux ou de ciment	PRESSIONS en kg/cm ² Hypothèse adoptée Surcharges supposées	ÉVIDEMEN DES TYMPAN:	
				CORPS Clef Retombées	TÊTES Clef Retom- bées			2° DÉCORATIO DES TÊTE	
Date	1	2	3	4	5	6	7	8	9
Symbole	1	2	3	4	5	6	7	8	9
de Bellefield à Pittsburg <i>États-Unis</i> 1896-1897 \hat{A}^1 1 ^{re} > 40m,9	103 ^m 94	 24 ^m 08 24 ^m 993 Pas de fruit	Arc de cercle 45 ^m 72 11 ^m 176 $\frac{1}{4,10} = 0,244$ 28 ^m 97	Douelle en PT 1 : 1 ^m 219 1 ^m 829	1 ^m 219 1 ^m 829	Têtes, sur 2 ^m 13 PT 1 Ciment lent 0 ^m 5 Douelle : PT 1 Épaisseur 0 ^m 61 Ciment lent - 0 ^m 5 Queutage : Béton Ciment Saylor 1 ^{re} Sable 2 nd Pierre cassée à 5 4 th		1° 7 voûtes longitudina en B ¹ , en arc, de 2 ^m 21 à 2 ^m 59, sur murs en MOH de 0 ^m 69 Murs transversai en MO ¹ de 0 ^m 69 2° Culres da les tympans	
de Plauen <i>Allemagne</i> 1903-1905 \hat{A}^1 1 ^{re} > 40m,10	150 ^m	 17 ^m 00 16 ^m 00 Pas de fruit	Arc d'anse de panier à 5 centres 90 ^m 00 18 ^m 00 $\frac{1}{5} = 0,20$ Rayons : Cerveau (sur 30 ^m) 105 ^m Reins 58 ^m 50 Retombées 30 ^m 10	1 ^m 50 2 ^m 00 à 32 ^m 50 de la clef	1 ^m 50 2 ^m 00 à 32 ^m 50 de la clef	Petits moellons (10 à 12 ^m d'épaisseur) de schiste dur (1580 ^{kg}) Aux têtes, crépi de 7 ^m : Ciment 1 ^{re} Sable blanc 3 rd Cerveau Ciment Stern 1 ^{re} Sable 3 rd Reins et Culées Ciment Vorbrühler 1 ^{re} Gros sable 3 rd	Pression maxima 11,4 32,4 A 32,4 de la clef 32,4 Retombées 2,00 Courbe des piles non construite pour points de passage arbitrairement choisis Pression max 32,4 Tension max 1,4 Arc élastique 35,4 1 ^{re} 3 rouleaux 2,4	1° 6 voûtes longitudinal de 1 ^m 50 entre 2 de 1 ^m 80, sur piles de 0 ^m 40. Aux reins 6 voûtes transversal annulaires vues, de 5 ^m . 2° »	
de Guggersbach <i>Suisse</i> 1906 \hat{A}^1 1 ^{re} > 40m,11	67 ^m 10	 5 ^m 00 3 ^m 90 Pas de fruit	Arc de cercle 50 ^m 20 8 ^m 22 $\frac{1}{6,10} = 0,164$ 42 ^m 431	1 ^m 10 1 ^m 60	1 ^m 10 1 ^m 60	Béton 250 ^{kg} de ciment par mètre cube de béton (aux culées, 180 ^{kg})	Pression minima 1,4 maxima 1,4 Clef 13,4 18,4 14,4 22,4 14,4 12,4 14,4 Pile 14,4 22,4 12,4 Reins 14,4 22,4 12,4 Arc élastique 25,4 1 ^{re} Voitures de 12 ^{ton}	1° Plateforme en béton arm sur piles de 0 ^m 60 aux têtes, espacées de 3 ^m 80. 2° »	

1. Pour le sens de ces abréviations, voir Avertissement, Tome III, p. II, n° 6.

SÉRIE \hat{A}^1 r^{te} ($\geq 40^m$)

TABLEAU SYNOPTIQUE (Suite)

EXÉCUTION										CUBE DE MAÇONNERIE A MORTIER	
GRANDE VOÛTE										Q	
FONDATEMENTS	CINTRE				MODE DE CONSTRUCTION	DÉCINTREMENT État d'avancement du pont <i>Temps entre le dernier clavage et le décintrement</i> Date	TASSEMENTS DE LA CLEF sur cintre t_c au décin- trement t_v' après t_v''	DÉPENSE			
	FERMES		Cube de bois Poids de fer Dépenses					D			
	Type Matière Appareils de décintrement	Nombre Épaisseur Écartement d'axe en axe Surhaussement	Totaux	par mq de douelle ²				Totaux et par unité			
	10	11	12	13				14	15	16	17
Nature du sol Profondeur sous l'étiage Pressions sur le sol en kg/0 ^m 01 ² Procédé											
Rocher solide	Fixe	{ 14 " } 1 m 88 entre les fermes	1062 ^{mc}	0 ^{mc} 82		"	$t_c = 16^{mm}9$		$Q = 9270^{mc}$ (maçonnerie à mortier et béton) $Q : S_p = 3^{mc}70$ $Q : W = 0^{mc}27$		
"	Sapin noir du Canada										
"	Boîtes à sable en fonte	51 ^{mm}				Septembre et octobre	$t_v' = 47^{mm}2$		$D = 580\,000^f$ $D : S_p = 231^f7$ $D : W = 17^f2$ $D : Q = 62^f6$		
Rocher (Diabase résistant à 1600 ^k) taillé en gradins	Fixe	{ Étage supér ^r : 24 Étage infér ^r : 11 " } " } " }	2000 ^{mc} (1 ^{re} pour 2 ^{me} de voûte)	1 ^{mc} 24	A pleine épaisseur	Tympan en construction	$t_c = 45^{mm}$	8 mois	$t_v' = 82^{mm}$	$D = 614\,742^f$ (non compris abords et achats de terrains) $D : S_p = 241^f1$ $D : W = 14^f8$	
"	Pin										
Pression maxima : 23 ^k 9	Billots et Coins	150 ^{mm}				Commencement de juillet					
"											
Rocher (Grès) apparent	Fixe	{ 4 " } 1 m 58 à la base	75 ^{mc} (sans le plattelage)	0 ^{mc} 35	2 rouleaux : Le 1 ^{er} , par tranches séparées, d'abord des hautes, puis, entre elles, des basses ; le 2 ^e , en 8 tronçons embrassant plusieurs tranches du 1 ^{er} , séparés par 9 tranches minces	Pont achevé	t_c { amont 30 ^{mm} aval 35 ^{mm}	92 jours	$t_v' = 0$	$Q = 626^{mc}$ $Q : S_p = 1^{mc}86$ $Q : W = 0^{mc}19$ (Poids de métal armant la plate-forme et ses piles : 8 ^t 4)	
"	Pin (Bois rond)										
Pression : 5 ^k	Boîtes à sable	40 ^{mm}	1578 ^k	7 ^k 3		15 décembre				$D = 52537^f$ $D : S_p = 156^f6$ $D : W = 15^f6$ $D : Q = 83^f9$	
"	Coins aux retombées		8100 ^f	37 ^f 5							

2. Pour le calcul de la surface de douelle, voir Avertissement, Tome III, p. III, n° 7 — A. 3. S_p = Longueur (col. 2) \times Largeur entre parapets (col. 3) — C'est la surface offerte à la circulation.4. W = Surface vue de l'élévation \times Largeur entre parapets. 5. W' = Surface de l'élévation au-dessus des fondations \times Largeur entre parapetsPour S_p , W , W' , voir Avertissement, Tome III, p. III, n° 7 — B.

PONT A UNE SEULE GRANDE ARCHE SOUS ROUTE

PONT	PROJET						
	ENSEMBLE		GRANDE VOÛTE				PRESSIONS
	Longueur entre abuts des parapets	Largeurs entre parapets entre tympans sous la planche	INTRADOS Portée Montée Surbaissement Rayon	ÉPAISSEURS		MATÉRIAUX	
Date	Déclivités	Fruit des tympans		CORPS Clef Retombées	TÊTES Clef Retombées	Mortier Poids, pour 1 ^m de sable, de chaux ou de ciment	en kg/m ²
Symbole	Hauteur maxima de la chaussée au-dessus du sol ou de l'étiage	Revanche de la chaussée sur l'extrados					Hypothèse adoptée Surcharges supposées
	1	2	3	4	5	6	7
de Montanges	109 ^m 49	6 ^m 20 5 ^m 45	Arc de cercle 80 ^m 29 20 ^m 465 (moyenne) $\frac{1}{3,923} = 0,255$	1 ^m 50 2 ^m 50	1 ^m 50 2 ^m 50	Bandeaux : PT ¹ Épaisseur 0 ^m 44 Longueur en douelle 0 ^m 55 à 0 ^m 75 Lits grossièrement banchardés. Douelle et Queutage : L ¹ Mêmes dimensions qu'en bandeaux (au moins 0 ^m 250) Jusqu'à 9 ^m 91 de la clef, 2 moellons par assise; au-delà, 3 Calcaire de Villette-Romanèche (Ain) 1974 ¹ Ciment artificiel Vicat n° 1 de Vif (Isère) 600 ^{kg} (250 ^{kg} à 300 ^{kg} à 28 jours) Sable de la Valserine Joints de 12 ^{mm} Mortier avec très peu d'eau	Pression maxima Clef 438 Extrados Naufrage : 1002 douelle Arc élastique Méthode analytique de M. Resat 2 locomotives de 33 ^t Wagons de 10 ^t
France	5 ^m RD	Pas de fruit	50 ^m				
1908-1909		0 ^m 58					
\widehat{A}^1 r ¹ = 4 ^m 12	62 ^m 25						

1. — Pour le sens de ces abréviations, voir Avertissement, Tome III, p. II, n° 6.

SÉRIE $\hat{A}^1 r^{1e} (\geq 40m)$

TABLEAU SYNOPTIQUE (Suite)

EXÉCUTION										CUBE DE MAÇONNERIE A MORTIER	
GRANDE VOÛTE										Q	
CINTRE										DÉPENSE	
FERMES										D	
Cube de bois Poids de fer Dépenses										Totaux	
Totaux										et	
par mq de douelle										par unité { de surface utile S _p ³ de volume « utile » W ⁴	
Type Matière Appareils de décintrement										Totaux	
Nombre Épaisseur Écartement d'axe en axe Surhaussement										et	
Totaux										par unité	
10										18	
11										17	
12										16	
13										15	
14										14	
15										13	
16										12	
17										11	
18										10	
Rocher calcaire, résistant à plus de 1000k										Q = 2529 ^{mc}	
»										Q : S _p = 3 ^{mc} 72	
»										Q : W = 0 ^{mc} 09	
»										Q : W' = 0 ^{mc} 20 ⁵	
»										D = 354 950 ^f	
»										D : S _p = 522 ^f 9	
»										D : W = 12 ^f 0	
»										D : W' = 27 ^f 7 ⁵	
»										D : Q = 140 ^f 3	

2. Pour le calcul de la surface de douelle, voir Avertissement, Tome III, p. III, n° 7 — A. 3. S_p = Longueur (col. 2) \times Largeur entre parapets (col. 3) — C'est la surface offerte à la circulation.
4. W = Surface vue de l'élévation \times Largeur entre parapets. 5. W' = Surface de l'élévation au-dessus des fondations \times Largeur entre parapets
Pour S_p , W , W' , voir Avertissement, Tome III, p. III, n° 7 — B.

VOÛTES INARTICULÉES EN ARC ASSEZ SURBAISSÉ
PONTS A UNE SEULE GRANDE ARCHE SOUS ROUTE

SÉRIE \widehat{A}^1 1^{le} ($\geq 40m$)

MONOGRAPHIES

PONT SUR L'ADDA, A TREZZO ^{1, 2} (ITALIE - Lombardie)

1370-1377
Détruit en 1416

\widehat{A}^1 1^{le} ($\geq 40m$)¹

1. Dates. — Entre 1360 et 1370³, Bernabò Visconti, duc de Milan, « commença à reconstruire le château de Trezzo.. en même temps, il fit faire un « pont sur l'Adda, d'une seule arche... avec deux tours de chaque côté. Ce grand « ouvrage fut achevé en 7 ans et 3 mois. » (S'₁).

En 1416⁴, le condottiere Carmagnola, alors au service de Philippe Visconti, duc de Milan, assiégeait le château de Trezzo : comme la garnison recevait, du territoire de Bergame, des secours par le pont (S'₁), il affaiblit sa culée rive gauche (S''₁), et le jeta par terre le 21 décembre (S₂).

Le pont n'aurait donc existé que 40 ans environ.

En 1775, pour faciliter la navigation, on fit tomber un morceau d'arc (S₀).

2. Le pont était d'une seule arche. — Andrea Biglia, chroniqueur milanais contemporain, l'affirme (S''₁).

Donato Bosso (S₂) et Bernardin Corio (S₃), nés plus de 40 ans après la chute du pont, disent que le pont détruit avait plusieurs arches. Mais le même Corio avait affirmé précédemment que le pont construit par Bernabò Visconti n'en avait qu'une (S'₁).

L'Adda coule, là, rapide et profonde ; au XIV^e siècle, on n'aurait pas pu y fonder de pile⁵ : on n'en voit aucun vestige (S'₁, S₀, S₂).

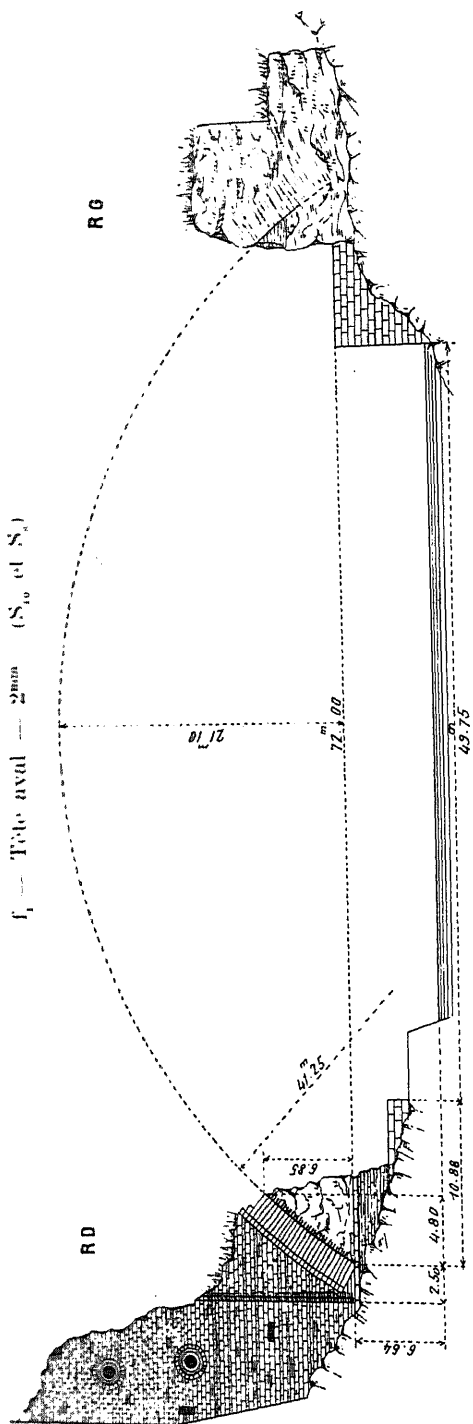
1. — Trezzo est sur le tramway Bergame-Vimercate-Monza, à 17^{km} de Bergame.

2. — Après 1200, un seigneur de S. Gervasio, petit village en face de Trezzo, construisit en grosses pierres un pont d'une seule arche très pointue. Il fut coupé après 1275, puis refait vers 1279, puis détruit, probablement en 1320 (S₀, p. 24).

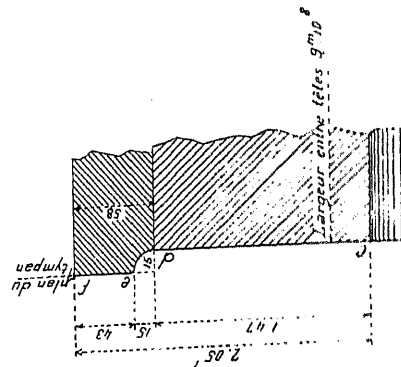
3. — Giulini précise 1370 (S'₁) : il semble que ce soit d'après Corio. Or Corio ne précise pas entre 1360 et 1370 (S'₁).

4. — Giulini (S''₁). D'après Corio, 1417 (S'₂).

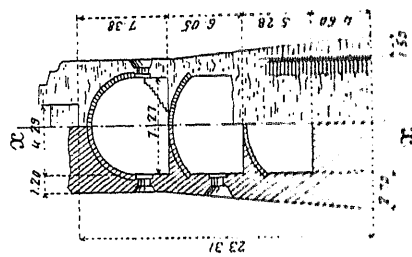
5. — Pour traverser l'Adda, on a exécuté un grand arc métallique :
à Trezzo même, pour la route de Bergame (portée 62^m50, - 1884-86) ;
en aval, à Paderno, pour le chemin de fer Bergame-Usmate, à 20^m de Bergame (portée 150^m, - 1887-88).



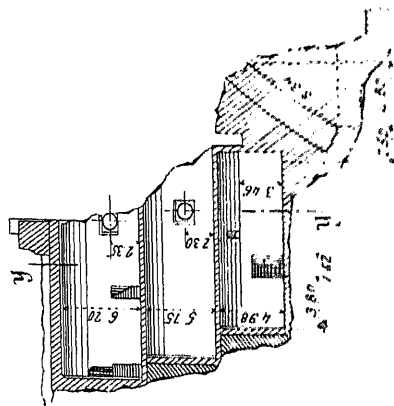
f_3 — Coupe du bandeau — 2^{em} (S_8)



f_t
Demi-
elevation
1mm75 (S_{10})



f_n
Demi-coupe
sur yy de f_z
l'un des (S_{in})



f_z
Coupe
sur \mathcal{X} de f_z
(côté amont)
1 mm 75 (S₁₉)

4. Ce qui reste de la culée rive gauche ($\Phi_4 - S_3$). — On y devine l'appareil en voûte d'une retombée. « *Les ruines même ont péri* »⁹.

Φ_4 — Culée rive gauche — aval — (S_3)



5. Intrados. — M. l'Inspecteur Général de Dartin a relevé la portée : 72^m, — déterminé le rayon d'après les coordonnées de trois points de l'intrados, — puis, avec ce rayon, calculé la montée : 21^m10.

Comme le pont de Vérone¹⁰, construit 20 ans avant, il était vraisemblablement en arc surbaissé (Trezzo : 1/3,41 ; Vérone ; 1/4,02). Comme lui, c'était un pont militaire : il assurait un passage entre le château (rive droite) et une tête de pont construite sur la rive gauche, peut-être un passage couvert (S'_3), peut-être, comme à Vérone, entre deux files de merlons.

9. — Quelques années avant 1886, on voyait encore sur les deux rives des restes assez importants des deux têtes avec leurs tours, et les retombées sur environ 4^m ; ceux de rive gauche ont en partie disparu par l'exploitation des carrières de poudingue (S_6 , p. 28).

10. — $\hat{A}^n r^{1e} (\geq 40^m)^1$ — Tome III.

SOURCES :

S_1 . — « *Historia fratris Andreæ Billii Patriæ Mediolanensis — Rerum Italicarum*

« scriptores » Muratori, tome XIX, Milan, MDCCXXI, Lib. III, col. 44 :

« Ad Tricium... castra posita.... »

S₁. — « denique, cum videret Carmagnola non posse satis prohiberi, quo
« minis in Castellum multa ex ponte trans Abduam commearent, statuit pontem
« diruere. »

S₂. — « Opus ferme, cui nullum ejus generis par ; quippe omnem gurgitis
« amplitudinem uno fornice complexus altissimè tendebatur, nec quamvis lateritius
« ullo ferro solri poterat, super modum arcissima calcis coagmentatio. Castellum
« olim cum ponte Bernabos extruxerat.... »

S₃. — « Hunc pontem Carmagnola exteriori planta succisum diruit... »

(Andrea Biglia, de Milan, de l'ordre des Augustins ; mort en 1435).

S₄. — « Chronica Bossiana » (Bibliothèque Nationale, Réserve K. 63 ; Milan
MCCCLXXXII, non paginée :

« Anna domini millesimo quadringentesimo sextodecimo,..... »

Pons Tricii « Vigesimo primo decēbris die Pons lapideus suppositus arci Tricii mirabili
diruitur » « opere : pluribus q. fornicibus ex silice fabrefactus diruitur ».

(Donato Bosso, historien milanais, né en 1456. — Biographie Michaud).

S₅. — « L'istoria di Milano volgarmente scritta dall' eccellentissimo oratore M. Bernar
« dino Corio, gentil'huomo milanese », in Vineglia MDLIII, Bibliothèque Nationale, K. 3101.
Corio cite des événements de « L'Anno mille trecento sessanta » : puis écrit,

S₆. — page 243, verso :

Ponte sopra	« Et Bernabò diede principio alla riedification del castel di
Adda fabricato	« Trezo. Similmente fece fare il ponte sopra il fiume Adda : que
i un solo arco	« sto fu fabricato in un solo Arco, che parse mirabil cosa, da
	« ogni banda edificò due Torri, et sì grande edificio fu compiuto
	« in sette anni, et tre mesi. »

Corio cite ensuite des événements de janvier et février 1370.

S₇. — p. 312, verso. « Poi l'Anno mille quattrocento diciassette.... il Duca...
« deliberò ridurre in sua deditione la fortezza di Trezo... Il perche Filippo Maria gli
« mandò Francesco Busoni di Cremagnola..... »
.....
«et il mirabile ponte, che già Bernabò Visconte in cinque archi sopra il rivero
« sasso havea fatto fabricare fece roinare.... »

Puis vient un événement du 14 février.

(Bernardin Corio, 1459-1519, Milanais, chambellan du duc Ludovic Sforza, dit
le More. Chargé, par lui, d'écrire l'histoire de Milan. — Biographie universelle de
Michaud, tome IX).

S₈. — Giulini : « Memorie spettanti alla storia, al Governo ed alla descrizione della città
« e campagna di Milano. » (Ouvrage publié en 1760-1765).

S₉. — Vol. V, Lib. LXX, Anno 1370, p. 536.

S₁₀. — Vol. VI, Lib. LXXIX, Anno 1416, p. 1416, p. 200, 201.

[d'après Biglia (S₁), Bosso (S₂), Corio (S₃)].

S₈. — G. B. Biadego : « *Del Ponte nuovo sull' Adige a Verona* », — Vérone et Turin, 1885. (Memoria V, p. 279 et Pl. XX). Cette planche XX reproduit une restitution de M. de Dartain, lithographiée à Milan en 1860.

S'₈. — id. Renseignements fournis à M. Biadego par l'Ingénieur Zucconi, de Milan.

S₉. — Luigi Ferrario : « *Borgo di Trezzo ed il suo Castello* », Milan 1867. (M. Ferrario était secrétaire à la section historique et diplomatique des Archives de Milan).

S₇. — Hann et Hosking donnent une restitution peu vraisemblable du pont : « *as it probably existed in 1390* » (*Theory, practice and architecture of bridges*) Londres 1839-1857, atlas, Pl. LXXI).

Croizette-Desnoyers reproduit, (*Construction des Ponts*, tome I, p. 41), cette restitution et celle de M. de Dartain de 1860.

S₈. — Ce que j'ai vu — juin 1908.

S₉. — Ing. Ariberto Crivelli : « *Gli Avanzi del Castello di Trezzo, L'Antico ed il Nuovo Ponte sul l'Adda* », Milan, 1886. (Mémoire que m'a gracieusement communiqué M. le Professeur Jorini de l'Ecole des Ingénieurs de Milan).

S₁₀. — Les dessins f_1, f_2, f_3, f_4 , sont faits d'après les relevés de M. l'Inspecteur Général de Dartain, qui m'a très gracieusement prêté ses minutes.

PONT DIT « PONT-Y-TU-PRIDD »¹

SUR LA TAFE, PRÈS DE NEWBRIDGE (PAYS DE GALLES, Comté de Glamorgan)

Route de Lantrissant à Cardiff

1749-1750

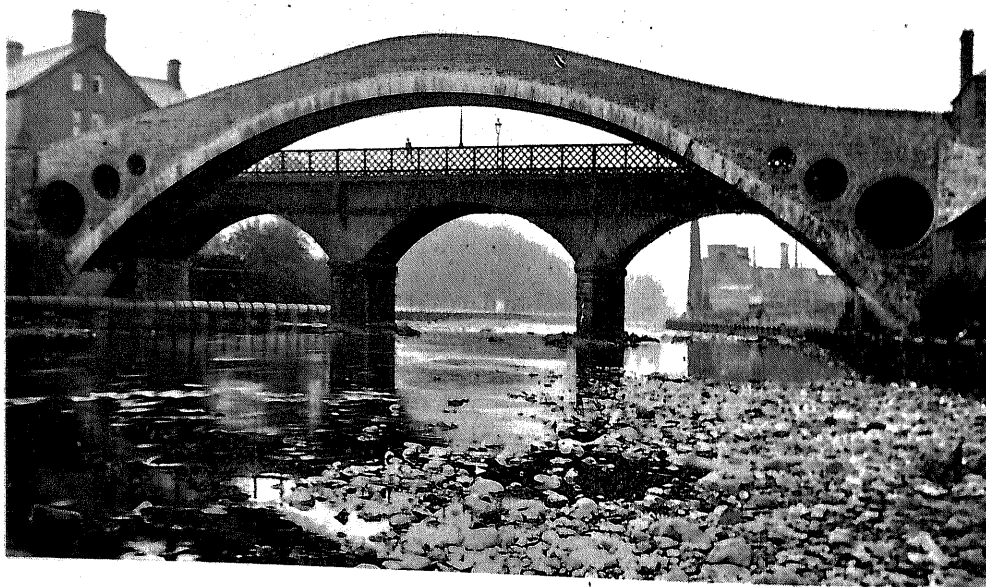
$\widehat{A}^1 r^{te} \geq 40m)^2$

1. Premier pont (1746-1748). — En 1746, un maçon, « qui avait acquis « quelque réputation dans le pays », William Edwards, construisit là un pont à 3 arches, qui fut emporté par une crue deux ans et demi après.

2. Deuxième pont. — Edwards devait, d'après son contrat, entretenir le pont 7 ans : il le reconstruisit avec une seule arche de 42^m672 (140 pieds) d'ouverture et 10^m668 (35 pieds) de montée ; mais, alors qu'il ne restait plus qu'à poser les parapets, la voûte, trop chargée aux reins, se souleva à la clef et s'écroula.

3. Troisième pont (pont actuel, terminé en 1750).

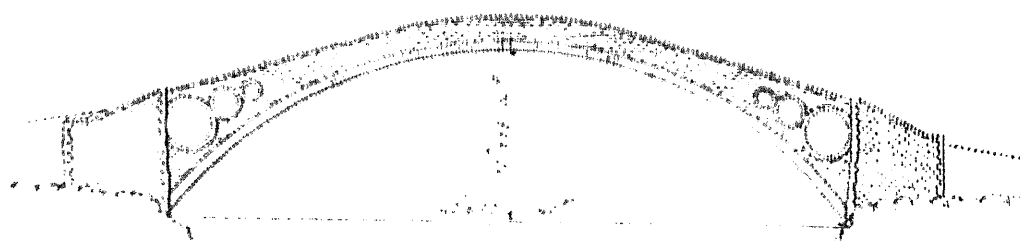
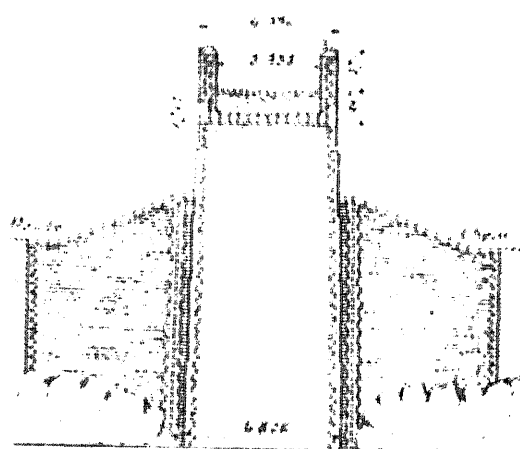
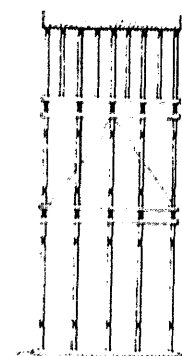
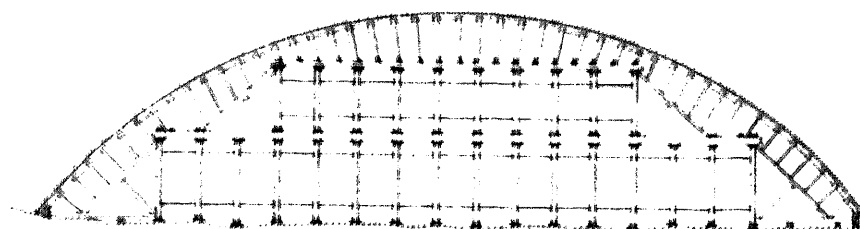
$\phi_1^{2,3}$



1. — En gaélique : « Pont près de la hutte de terre ».

2. — Cliché de MM. T. Forrest et fils, Pontypridd.

3. — Photographie gracieusement communiquée, en juin 1907, par M. H. Waters, Agent general du « London and North Western » à Paris.

E₁ Elevation 2m 00F₁ Coupe en travers à la clef 4m 00F₂ Coupe en travers du centre 4m 00F₃ Centre 2m 00

1. Il s'agit d'un modèle qui n'est ni construit.

A¹ r¹ 4²

Sans perdre courage, Edwards la reconstruisit avec les mêmes dimensions ; mais, soit d'après les conseils de Smeaton qu'il avait consulté, soit instruit par son échec, il diminua la charge sur les reins :

- 1° - en élégissant les tympans par 3 voûtes annulaires ;
- 2° - en remplissant de charbon de bois l'intervalle entre les tympans.

Cette fois, la voûte a tenu :

Labor omnia vincit

Improbis,...

Vers 1818, on abaissa les rampes d'accès à 1/4.

4. Auteur : Edwards.

SOURCE :

S. — Institution of Civil Engineers — Minutes of Proceedings, 1846, p. 474, Pl. 40 à 43, n° 269 : « Account of the Pont-y-tu-Pridd, over the River Tafe, near Newbridge, in the County of Glamorgan », Th. Macdougall Smith (Mémoire lu le 4 avril 1838).

PONT DE GROSVENOR, SUR LA DÈE, A CHESTER (PAYS DE GALLES)

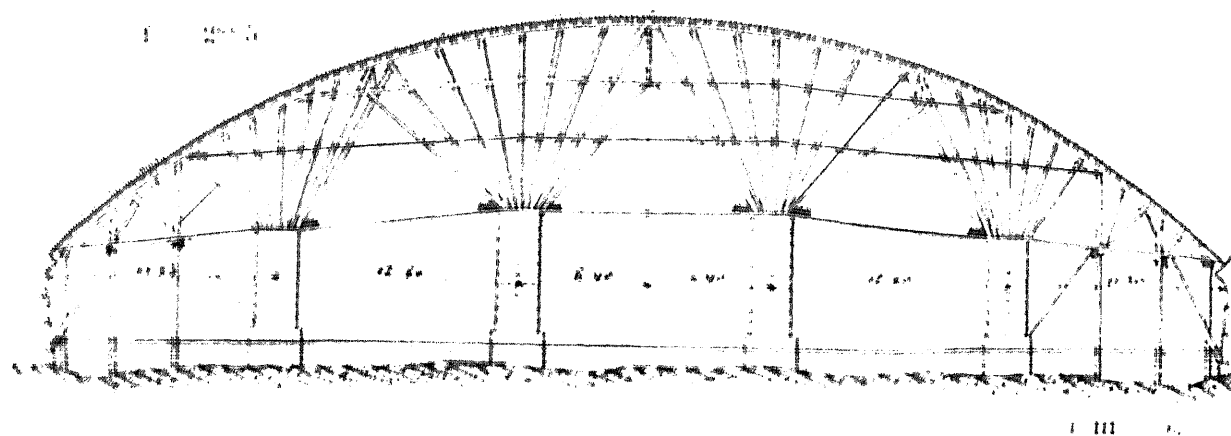
[1831-1834]

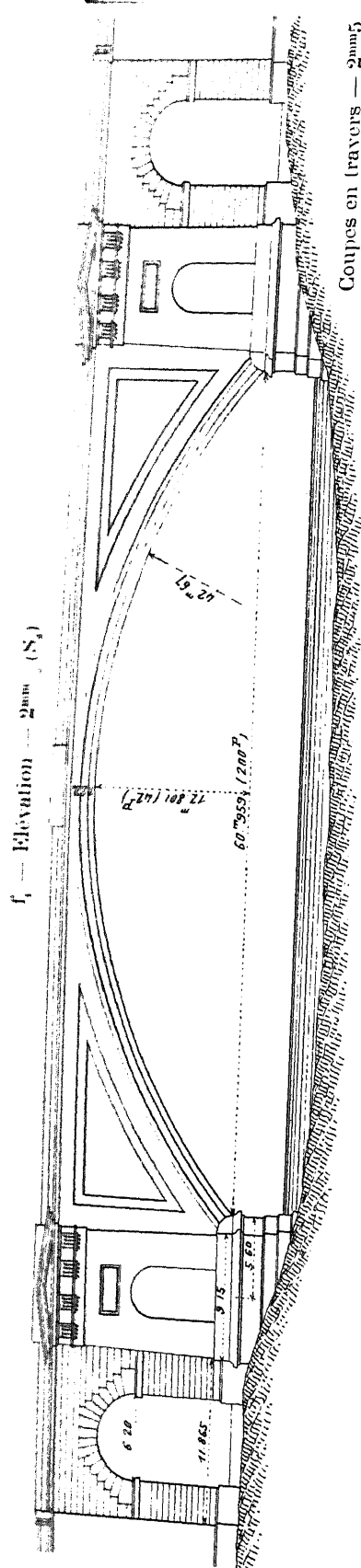
A 1^{re} 1033

$\Phi_1 (S_1)$

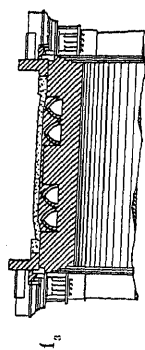


1. Cintre. — 6 fermes, à contre-fiches radiales, disposées en éventail, portant, par des sabots en fonte, sur 4 piles en maçonnerie. Elles étaient réunies en haut, suivant la courbe d'intrados, par deux cours de madriers de 0^m10 chacun (S₁).

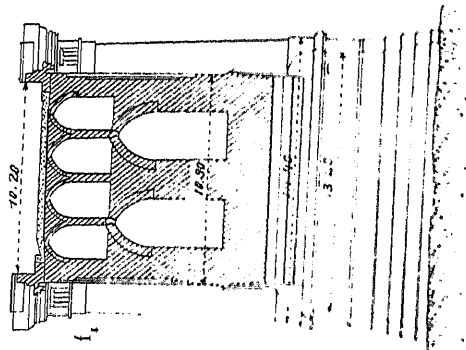




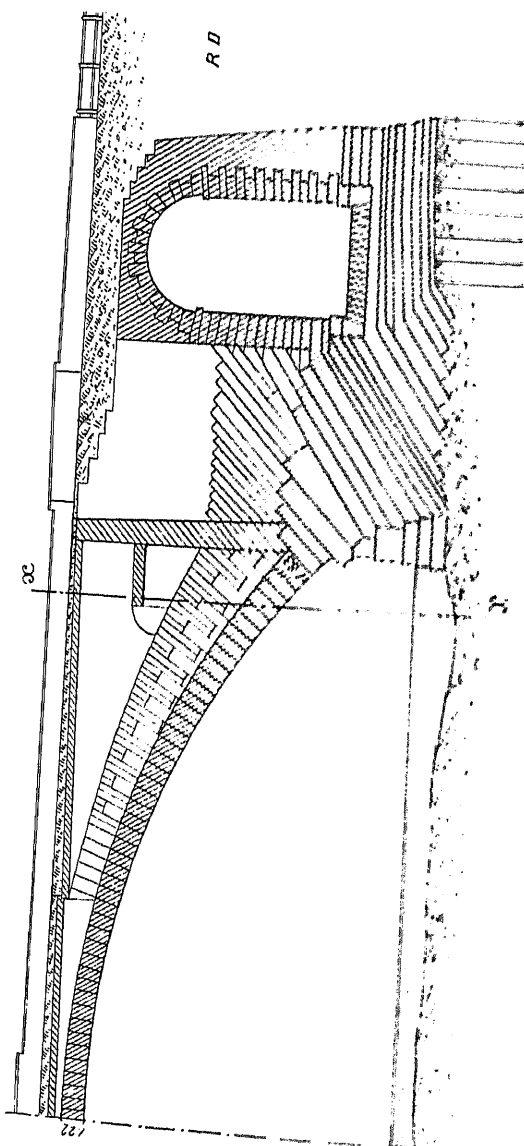
Coupes en travers — 2mm5
à la clef (S₂)



sur $x-x'$ de f_3 (S₂)



f_3 — Coupe en long — 2mm5 (S₂)



Les couchis de 11^m d'épaisseur, portaient sur des coins, — 2 sur chaque ferme, — de 0^m40 de longueur et 0^m25 à 0^m30 de largeur.

« *Le cintre était divisé en parties indépendantes correspondant à l'intervalle entre les piles en maçonnerie. On pouvait, dès lors, décintrer par parties, en particulier lâcher le cintre aux reins en le maintenant à la clef.* » (S₁).

2. Construction de la voûte. — « *La première assise au-dessus des naissances fut placée sur un coin en plomb de 1 pouce 1/2 (38^{mm}) d'épaisseur en douelle, et finissant à rien à l'extrémité de son lit.... des bandes de plomb de 8 à 9 pouces (20 à 23^{cm}) de largeur furent aussi introduites dans les joints, de chaque côté, en montant jusqu'au point où la pression put être considérée comme passant de l'intrados à l'extrados des voussoirs, soit sur environ les 2/3 de la douelle...* » (S₁).

On descendit à la sonnette les voussoirs de clef, après avoir recouvert leurs faces d'une épaisse couche de mastic de céruse et d'huile, et après avoir garni les parois des contre-clefs de feuilles de plomb (S₂).

3. Décintrement (S₂). — On décintra lentement, le mortier étant encore mou, en tenant la clef haute et les reins bas.

4. Personnel (S₂).

Ingénieurs $\left\{ \begin{array}{l} \text{Projet : M. Harrisson. — Le projet a été fait 25 ans avant l'exécution (S₁).} \\ \text{Exécution : M. Hartley.} \end{array} \right.$

Entrepreneur : M. Trubshaw (auteur du projet du cintre).

SOURCES :

S₁. — Transactions of the Institution of Civil Engineers, vol. I, p. 207 et suivantes.

S₂. — École des Ponts et Chaussées. — Collection de dessins distribués aux Elèves. — Série 3, section A, Pl. 3. « *Pont de Chester* ». — Légendes explicatives des Planches. — Tome I, p. 70.

S₃. — Ce que j'ai vu — juin 1903.

PONT SUR LE TORRENT FEGANA, PRÈS DES BAINS-DE-LUCQUES¹

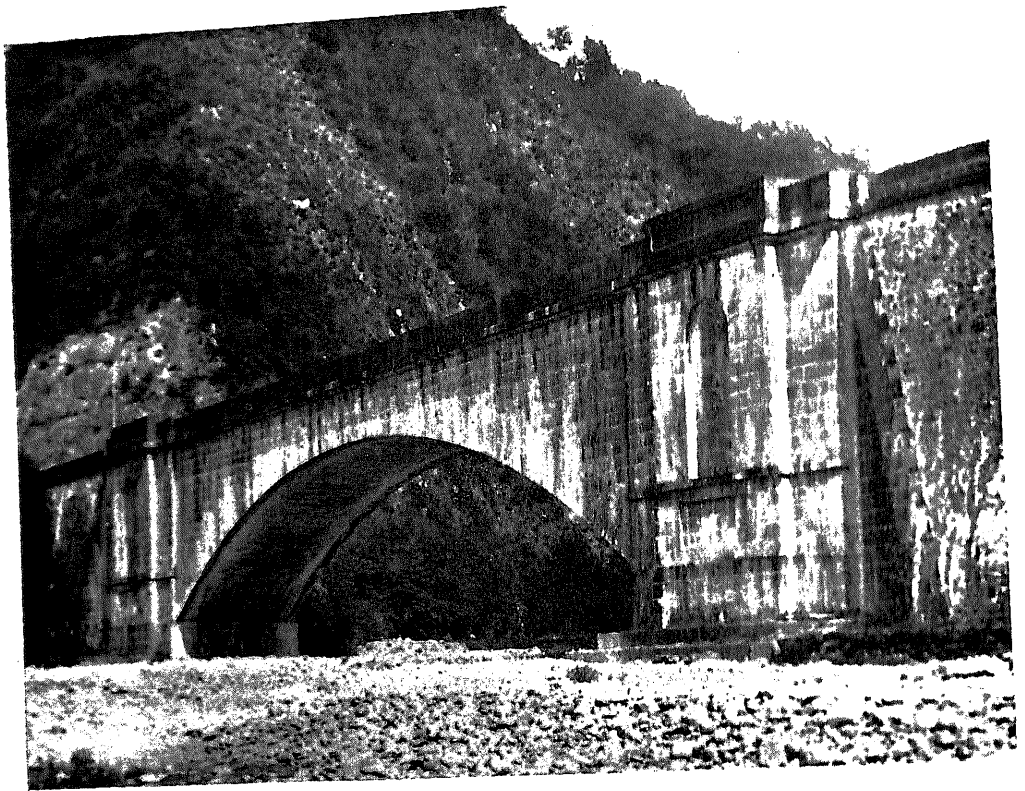
(ITALIE, Province de Lucques)

Route Nationale de Livourne à Mantoue

{ 1845-1847
1874-1877

\widehat{A}^1 r^{te} $\approx 44m$ $\frac{1}{4}$

Φ_1 (S.)



1. Pourquoi on a fait une grande voûte. — Le Fegana a des crues violentes, qui roulent de gros blocs : il emporta là un pont à deux arches, qui remplaçait un pont plus ancien.

Le rocher, qui est à une faible profondeur sur les rives, plonge presque à pic : on ne le trouve plus au milieu.

Il fallait là une grande arche.

2. Histoire. — L'ouvrage fut commencé en 1845. On construisit les deux culées jusqu'au-dessus des niches, et deux amorces de voûte sur 3^m environ de chaque côté, soutenues par les murs d'un ancien pont.

A la révolution de 1847, on l'abandonna.

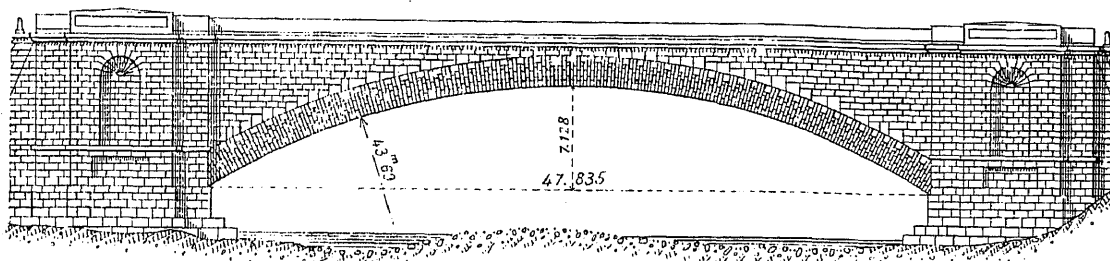
1. — Au point où le Fegana se jette dans le Serchio, à environ 3^m des Bains de Lucques. 25^m de Lucques.

On ne le reprit que 27 ans plus tard.

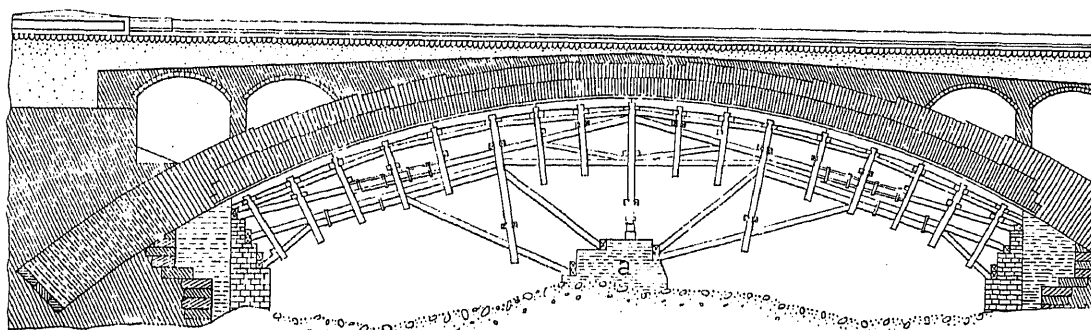
On respecta le projet primitif.

On élargit seulement les reins par deux voûtes transversales (f_2).

f_1 — Elevation — 2^{mm}



f_2 — Coupe en long et cintre — 2^{mm,5}



a — Débris d'une ancienne pile.

3. Couronnement convexe. — En élévation, les parapets et la plinthe ont une flèche de 0^m08 pour ne pas paraître concaves.

4. Cintre (f_2). — Les pièces du cerveau du cintre portaient sur des caisses à sable ; celles des reins, sur des coins, qui ont mal fonctionné, et qu'il fallut ruiner.

5. Construction de la voûte. — On chargea le cintre à la clef, puis, le 31 août 1874, on commença le premier rouleau.

On mena d'abord en même temps les bandeaux et la douelle ; puis, pour hâter le clavage, on ne posa que le corps en briques, sans les bandeaux.

On changeait chaque jour de côté les équipes de maçons.

Près de la clef, on mit dans le mortier de la limaille de fer.

On termina le premier rouleau, ainsi réduit, le 6 octobre, et on commença, dès le lendemain, le deuxième, relié au premier par quelques harpes.

Aussitôt le deuxième rouleau terminé, on fit un premier décentrement partiel. Puis on chargea de briques l'emplacement à occuper plus tard par les bandeaux (anneau de 1^m20 à chaque tête).

On a donc opéré par rouleaux et par anneaux.

Voici la suite des principales opérations, et les tassements observés :

Opérations	Dates des observations	Abaissements de la clef en mm.		
		totaux	partiels	
			Cintre	Voûte
On charge le cerveau du cintre d'environ 100.000 briques (220 ⁰).....	1874	40 ^{mm}	40 ^{mm}	
Construction du corps en briques. Clavage des rouleaux { 1 ^{er} 2 ^e	6 octobre	57.5	17.5	
	3 novembre	75	17.5	
Premier décentrement partiel.....	3 novembre	95		20 ^{mm}
Après le deuxième décentrement.....	1875 commencement de janvier	169		74
Troisième décentrement partiel, avant de commencer les bandeaux (on abaisse les 4 fermes intermédiaires en maintenant celles de tête).....	fin avril	187		18
Execution des bandeaux { Commencement..... Clavage (on relia les voussoirs des clefs avec ceux de la voûte par des crochets en fer plombés).....	10 mai	187		
	28 juillet	198		11
Quatrième décentrement partiel (Achèvement du décentrement).....	août	200		2
Enlèvement en grand du cintre.....	9 août	210		10
Après la construction des tympans jusqu'à la plinthe.....		220		10
Après celle des parapets (1250 ^k par mètre courant de parapet).....	commencement de novembre	230		10
	1876			28
	commencement de l'été	258	75	183

6. Fissures observées.

A. - *Aux naissances.* — Quand chaque attaque du premier rouleau avait environ 3^m, on constata à l'extrados du joint des naissances une ouverture « presque capillaire ». Quand on dépassa le milieu du demi-arc, soit à la 5^e moise pendant à partir de la naissance, la fissure atteignit 13^{mm} et n'augmenta plus jusqu'au clavage du rouleau.

A mesure que se réduisait la charge de briques du cerveau, les fermes tendaient à se relever et la fissure à diminuer.

Pendant la construction du deuxième rouleau, elle augmenta de 2^{mm} et atteignit 15^{mm}.

B. - *A la clef.* — Au décentrement final du 9 août 1875, on observa à la clef un fil à peine perceptible, la fissure des naissances n'augmentant pas.

7. Composition de la voûte.

	Cube	Pour 1 ^{re} Journée		Le m ³ de voûte est ainsi composé :
		de maçon	de tailleur de pierre	
Corps en briques, exécuté d'abord sans les bandeaux	604 ^m 64	0 033	"	Briques..... 0 ^m 783 Mortier..... 0 ^m 217 (Poids moyen : 1751 ^{kg})
Têtes en pierre de taille..... 141 ^m 89	235 ^m 39	1 02	1 04	
Laissous en briques..... 93 ^m 50				
Total.....	840 ^m 03			

8. Personnel.

Ingénieurs :

Projet : Nottolini, de Lucques.¹

Travaux : de 1845 à 1847 : Nottolini ; de 1874 à 1877, MM. Giulio Marzocchi, Ingénieur en chef, Salvi, Ingénieur de section et Cappello, Ingénieur adjoint.

Entrepreneur : M. Alexandre Mugnaini.

¹ Architecte et Ingénieur distingué. Auteur de l'aqueduc de Lucques (59 arches), du projet du pont suspendu sur la Lima à Forno di près des Bains de Lucques. Mort en 1851.

SOURCES :

S₁ — Giornale del Genio Civile : Gennaio 1878, p. 33 à 54, Tav. III e IV ; Febbraio 1878, p. 81 à 109. — *Ponte sul torrente Pegana nella provincia di Lucca*, Relazione del cav. Giulio Marzocchi, Ingegnere Capo del Genio Civile.

S₂ — Ce que j'ai vu — octobre 1906

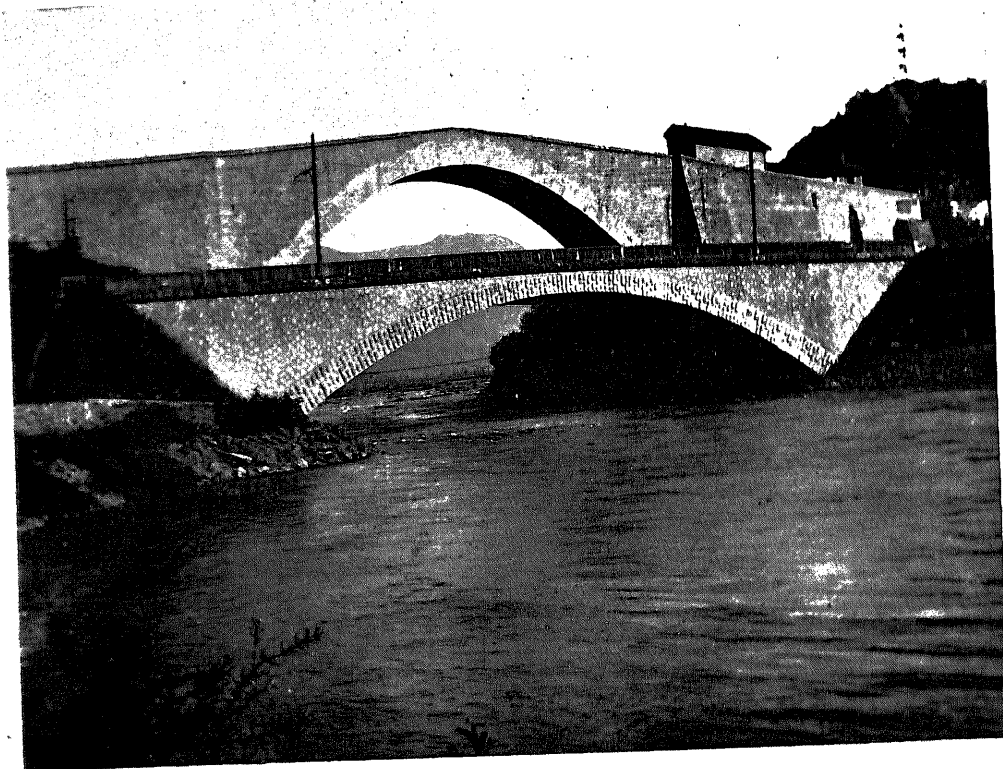
PONT SUR LE DRAC, A CLAIX¹ (ISÈRE)

Route Nationale n° 75 de Châlon-sur-Saône à Sisteron

1873-1874

\widehat{A}^1 r^{le} ($\geq 40^m$)²

Φ_1 (S.)



1. Aspect (S.). — C'est un arc à culées perdues.

Il est accolé au pont de Lesdiguières² : il en est comme la corde. Ces deux ponts, trop voisins, se font tort.

Le parapet est en grandes pierres de taille debout : au-dessus de cet arc très tendu, à tympan en moellons bruts, un léger garde-corps eût mieux convenu.

Le parapet et la plinthe ont noirci.

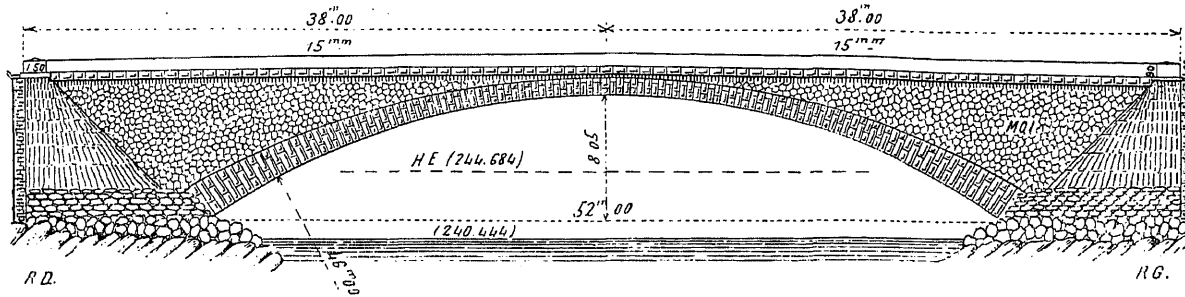
La plinthe, en forte saillie, a bien protégé les têtes.

2. Cintre. — A. - *Appui en rivière*. — Le cintre s'appuyait du côté de la rive droite, sur un caisson sans fond, échoué sur le gravier, rempli de béton, qui était à mortier de ciment sur les 3/4 de la hauteur, et, pour le reste, à mortier bâtard de chaux et ciment.

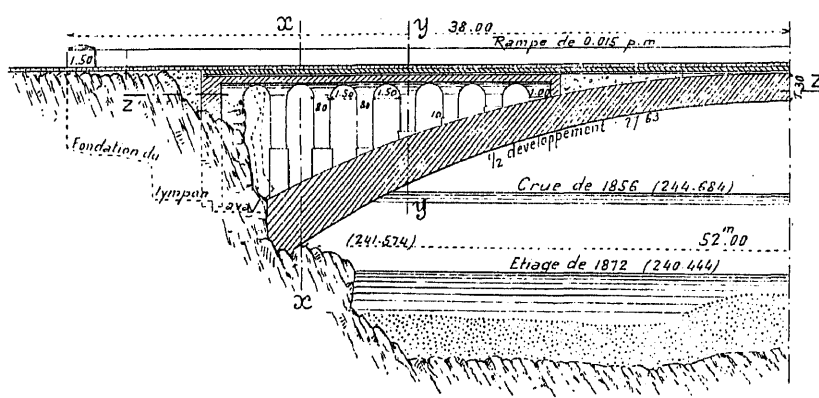
1. — A 8^{km} au sud de Grenoble.

2. — \widehat{A}^1 r^{le} ($\geq 40^m$)⁴ — Tome II.

f_1 — Élévation aval — 2mm

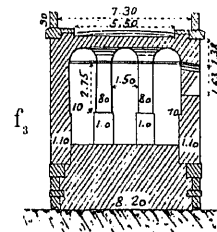


f_2 — Coupe en long — 2mm5

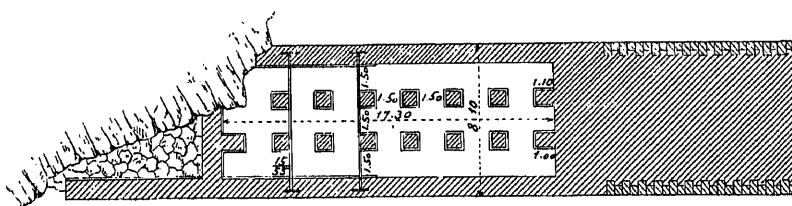


Coupes
en travers

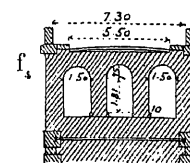
sur xx de f_2



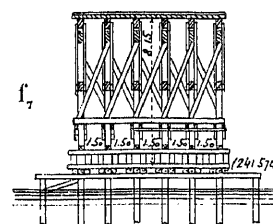
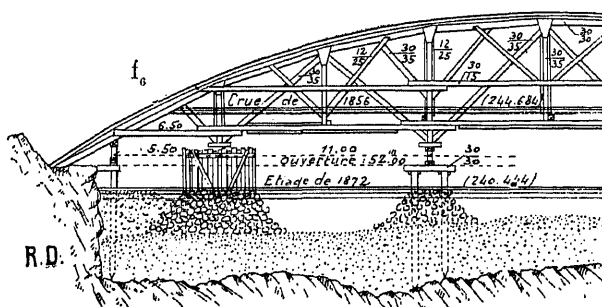
f_3 — Coupe horizontale sur zz de f_2



sur yy de f_2



Cintre — 2mm5



B. - Dépenses (supports compris) :

Dragages et déblais.....	2.326 ⁷⁸	7.707 ⁹⁸
Maçonnerie.....	3.780 ⁶⁴	
Appuis { Enrochements.....	1.600 ⁵⁶	5.562 ³³
Charpente.....		19.264 ⁶³
Cintre proprement dit.....		32.534 ⁹⁴
Ensemble.....		

3. Fondations. — On a taillé le calcaire schisteux tendre par redans parallèles aux lits des naissances, et rempli tout l'espace entre le rocher et les naissances de maçonnerie de moellons de choix à mortier de ciment.

4. Exécution de la voûte. — On l'a construite du 20 janvier au 26 février 1874, en deux rouleaux, chacun en 4 tronçons d'égale volume (S₄), commençant aux naissances et à 16^m63 de la clef, exécutés en même temps.

Aux naissances, on a posé sur cales les deux premiers voussoirs de tête (S₄); entre eux, on a fait une maçonnerie provisoire à pierres sèches; les deux autres tronçons étaient sur des taquets.

Après le clavage du rouleau à la clef et aux reins, on remplaça la maçonnerie à pierres sèches des naissances par de la maçonnerie pleine.

Pendant l'exécution, on changeait, au moins une fois par jour, l'emplacement des équipes de maçons « afin de ne pas accumuler sur la même partie les défauts qui auraient pu être particuliers à chaque ouvrier. »

On a clavé : le premier rouleau, aux têtes le 31 janvier, sur le reste le 3 février; le deuxième, le 27 février 1874.

Pour empêcher le mortier de ciment³ d'arriver à fleur de pierre, on douella ou aux têtes, on a garni les joints vus, sur 2^{cm}, de plâtre qu'on a gratté ensuite facilement.

Il a fallu 440 journées de maçon pour faire 827^m210 de maçonnerie (voûte), soit 1^m9 par journée.

5. Décintrement. — La voûte, clavée le 27 février 1874, a été décintrée le 10 avril, 42 jours après. On avait, la veille, substitué aux billots des boîtes à sable. L'opération a duré 20 minutes.

6. Dépenses.

Cintre.....		32.534 ⁹⁴
Maçonnerie de la voûte {	Moellons.....	45.435 ⁴⁰
	Pierre de taille.....	11.207 ⁷¹
Tympan, voûtes de décharge, murs et béton de remplissage.....		26.757 ⁴²
Bandeaux en pierre de taille.....	7.015 ⁴⁹	15.208 ³⁵
Behuts en pierre de taille.....	8.192 ⁸⁶	8.449 ⁸⁷
Trottoirs, rigoles, perrés et abords.....		139.563 ⁶⁹

3. — Le mélange : sable 1^{re} ciment artificiel Vicat n° 1 : 1000^e, eau : 0^m363, donnait 1^m35 de mortier.

7. Mouvements dûs aux variations de température.

A. - Observations faites par M. Cendre, avant 1879 (S₁). — A la plinthe, au-dessus de la clef, on a constaté 0^m007 pour un écart de 52° (de — 7° à + 45°); 9 fissures dans le parapet et la plinthe, se rouvrant chaque hiver et se refermant l'été : une de chaque côté de l'axe et sur chaque tête, à 27^m environ de part et d'autre de la clef; aucune dans la voûte.

On a observé aussi quelques légères fentes dans les tympans.

B. - Observations faites, sur ma demande, par les soins de M. l'Inspecteur Général Rivoire-Vicat, en septembre 1, 08.

JointS ouverts

Tête amont		Tête aval	
Rive gauche	Rive droite	Rive droite	Rive gauche
Les 5 premiers du parapet et de la plinthe.	Du 2° au 6° et le 8° du parapet. La plinthe est recouverte de terre.	Les 6 premiers et le 8° du parapet; le 5° de la plinthe.	Le 5° du parapet et de la plinthe.
Le joint du parapet à la clef. La plinthe est couverte de boue.			

Pas de fissures dans les tympans.

8. Personnel (S₂).

Ingénieurs :

Projet. — en chef, M. Berthier; — ordinaire, M. Pasqucau.

Exécution. — en chef, M. Gentil.

ordinaires : jusqu'au 15 octobre 1873, M. Pasqucau, ensuite, M. Cendre.

Entrepreneurs : MM. Muguet frères.

SOURCES :

S₁. — Annales des Ponts et Chaussées, 1879, 1^{er} semestre, p. 5 à 27, Pl. I : « Notice sur la construction du pont de Clair », par M. Cendre, Ingénieur des Ponts et Chaussées.

S₂. — Exposition, Paris, 1878. — Notices, Travaux Publics, p. 8 à 13 : « Pont de Clair sur le Drac ».

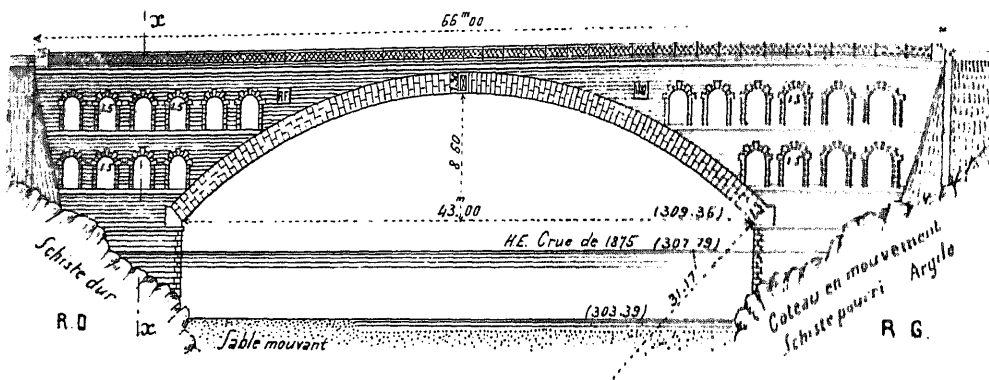
S₃. — Ce que j'ai vu — juin 1908.

Ce qui n'est pas spécifié S₂ est de S₁.

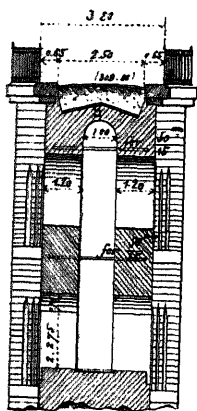
PONT DU SAULNIER (LOZÈRE)

SUR LE GARDON DE SAINTE-CÉCILE D'ANDORGE¹
Chemin de Grande Communication n° 13 de Florac à Alais

1882
écroulé en 1912

$$\mathbf{A}^1_{r^{lo}} (\geq 4(m))$$
$$f_i - \text{Élévation aval} - 2^{\text{mm}} \quad (S_i)$$


f_3 — Coupe en travers
sur xx de f_1 — 5mm



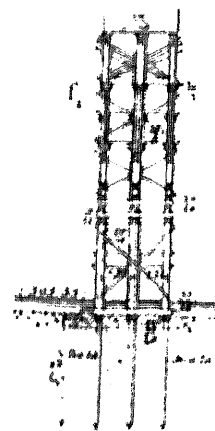
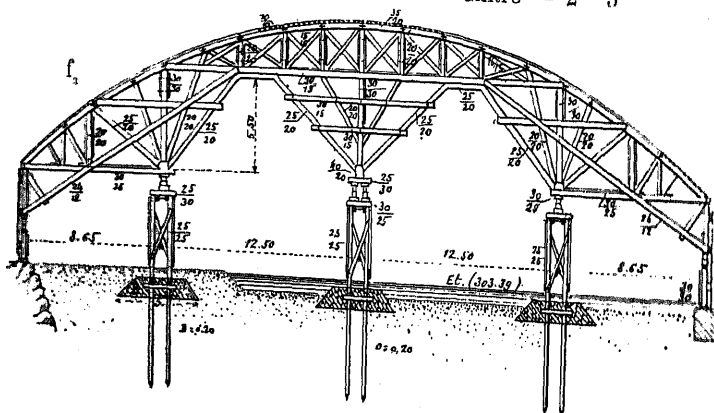
1. Pourquoi on a fait une grande voûte.

On n'a pas adopté un pont à deux arches, parce que la pile eût dû être fondée à 13^m. On voulait, d'ailleurs, exagérer le débouché, parce que, depuis la destruction des forêts qui protégeaient le sol, le Gardon exhausse rapidement son lit.

2. Cintre. — Les trois appuis en rivière reposaient sur des massifs de béton coulé sur des pieux de 5^m de fiche.

Le cintre a été taillé et monté, en 4 semaines, par 6 charpentiers.

Cintre — 2 mm 5



1. — A 1°1 en amont du Collet de Dèze, à 8°3 en amont de Sainte-Cécile d'Audoubert, dans la commune de Saint-Genès, au Chemin de grande communication n° 13 à la Route nationale n° 107 bis.

3. Fondation de la culée rive gauche (26 juin - 9 août 1882). — La culée rive gauche devait reposer, à 1^m50 sous l'étiage, sur gravier compact. Le sol de fondation était protégé contre les affouillements par deux enceintes de pieux et palplanches, entre lesquelles on a coulé du béton sur 1^m30 de hauteur.

4. Exécution de la voûte (21 août - 4 octobre 1882). — Voici les dates et durées d'exécution :

	Commencement	Achèvement	Durée d'exécution en jours
Rouleaux (1 ^{er} et 2 ^e)	21 août	9 septembre	181
Repos pour nouveau à la clef (1 ^{er} et 2 ^e)	9 septembre	25 septembre	16
Remplissage aux reins	25 septembre	4 octobre	9
En tout			406

Les joints des premières assises de voussoirs ont été garnis d'étoupe sur 5^m à l'intrados.

Quand les 1^{er} et 2^e rouleaux sont arrivés près de la clef, on les a clavés provisoirement au moyen de pièces de bois pour soulager le cintre.

Pendant la construction, le cintre n'a pas tassé.

5. Décintrement. — On l'opéra en trois fois :

Dates (1882)	Mouvements du cintre en mm	Mouvements de la voûte
11 octobre	10	La voûte sout le cintre, sauf aux naissances.
14 octobre	30	Le 14 au soir, la voûte est détachée sur 17 ^m , de chaque côté, à partir des naissances ; le lendemain, sur 11 ^m seulement.
1 novembre	35	La voûte se repose complètement.

(34 jours après le clavage du 2^e rouleau)

Le tassement total de la voûte a été de 52^{mm}.

On n'y a constaté ni fissure ni écrasement (S₁).

6. Mouvements postérieurs au décintrement.

4. — *Mouvements de la culée rive gauche.* — Le coté qui porte la culée rive gauche (schiste pourri et argile bleue mouillée, s'est avancé à chaque crue du Gordon ? (S₁).

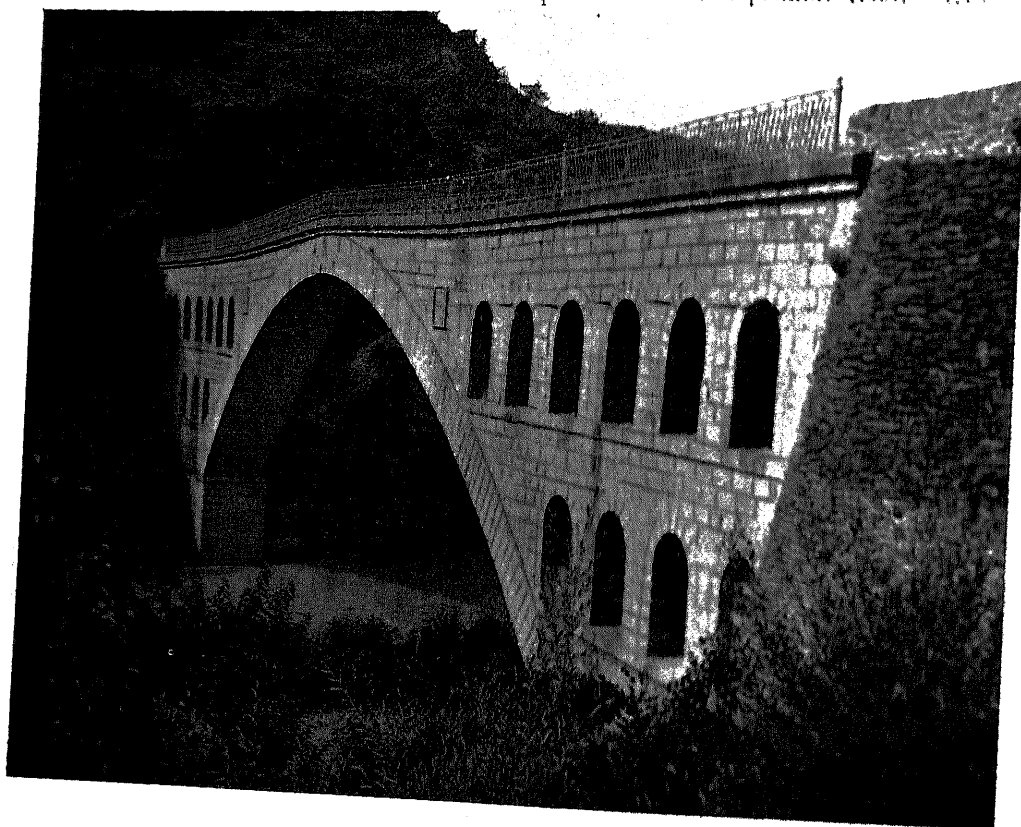
La culée rive gauche a marché avec lui, le haut plus vite que le bas. En mai 1900, son parement antérieur était en surplomb de 9^m (S₁) ; à la naissance, il était 11^m plus bas que le projet.

La culée rive droite, fondée sur du schiste en place, n'a jamais bougé.

1. — Le mouvement s'arrêtait, fin 1900, à plus de 300^m en plan. La Route nationale n° 107¹ étant défectueuse et pour franchir le mur du chemin de fer le long de cette route, on est descendu à 11^m sans trouver le schiste (S₁).

B. — *Déformations de la voûte.* — La culée rive gauche s'avancant vers la culée rive droite, la portée diminuait : au niveau des naissances, elle était de 42^m80 en novembre 1907 après les grandes pluies d'automne (S_1) ; de 42^m68 en mai 1909 (S_2), de 42^m65 en juin 1911 (S_3), soit, par rapport au projet, une réduction de 0^m35 .

Φ_1 — amont (2 septembre 1908) (S_1)



Le dessous de la clef était, en mai 1909, de 0^m53 plus haut qu'au projet.
Il s'est élevé :

de 19^m du 15 mars 1908 au 9 février 1911.

de 8^m du 5 avril 1911 au 5 juin 1911.

Si la clef a été placée à la cote du projet, elle aurait été, à cette date, plus haute de 75^m .

3. — Un accident analogue se serait produit à un pont en maçonnerie sur l'Alento (Italie) entre le Bucchiamico à Chieti, construit en 1896 : pont en arc de 18^m d'ouverture, 4^m50 de flèche, voûte en 1^m95 à la clef, 1^m40 à l'imposte, fondé sur des couches alternées d'argile et de sable. Deux années après la construction, une culée s'étant avancée vers la rivière, la clef se fendit, la voûte se fendit ; l'ouverture se réduisit à 17^m74 à l'amont, 17^m77 à l'aval. Ce pont remplaçait un pont en maçonnerie à 3 arcs de 6^m , construit au même point en 1840 et qui dut interdire à la circulation à cause des déformations de la voûte. (Revista de Obras Publicas, 30 novembre 1905 : « Accidente ocurrido en un puente de fábrica sobre el río Alento »).

4. — Dès 1892, on a constaté un relèvement de la voûte (S_3).

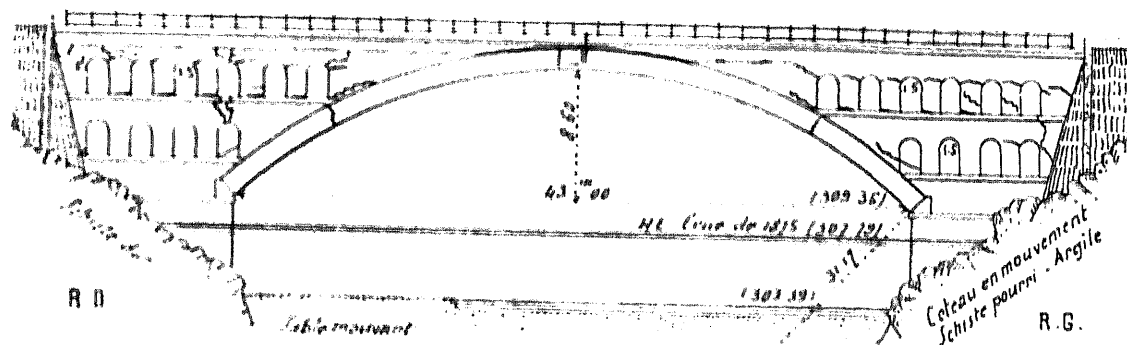
En septembre 1908, la voûte, à la clef, était ouverte à l'extrados et s'écrasait à l'intrados.

Aux reins, elle était ouverte à l'intrados.

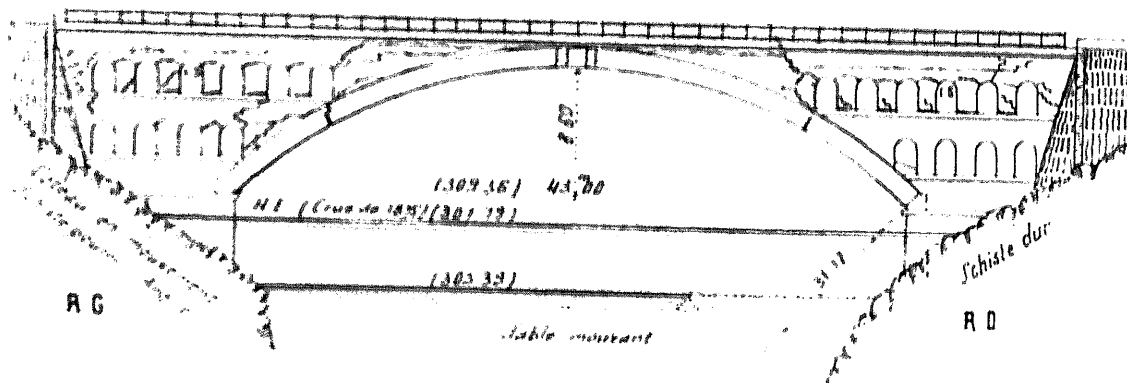
A ces deux points, il n'y avait plus, pour faire passer la pression, qu'une fraction fort réduite de l'épaisseur (environ le 1/3 à la clef, la moitié aux reins, — autant qu'on en pouvait juger d'en bas) (S₁).

Etat du Pont — décembre 1908 — 2^{me} (S₂)

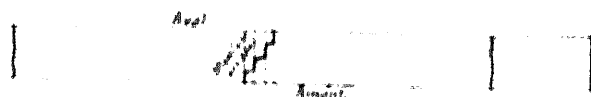
1. Aval



2. Amont



3. Projection horizontale de la double



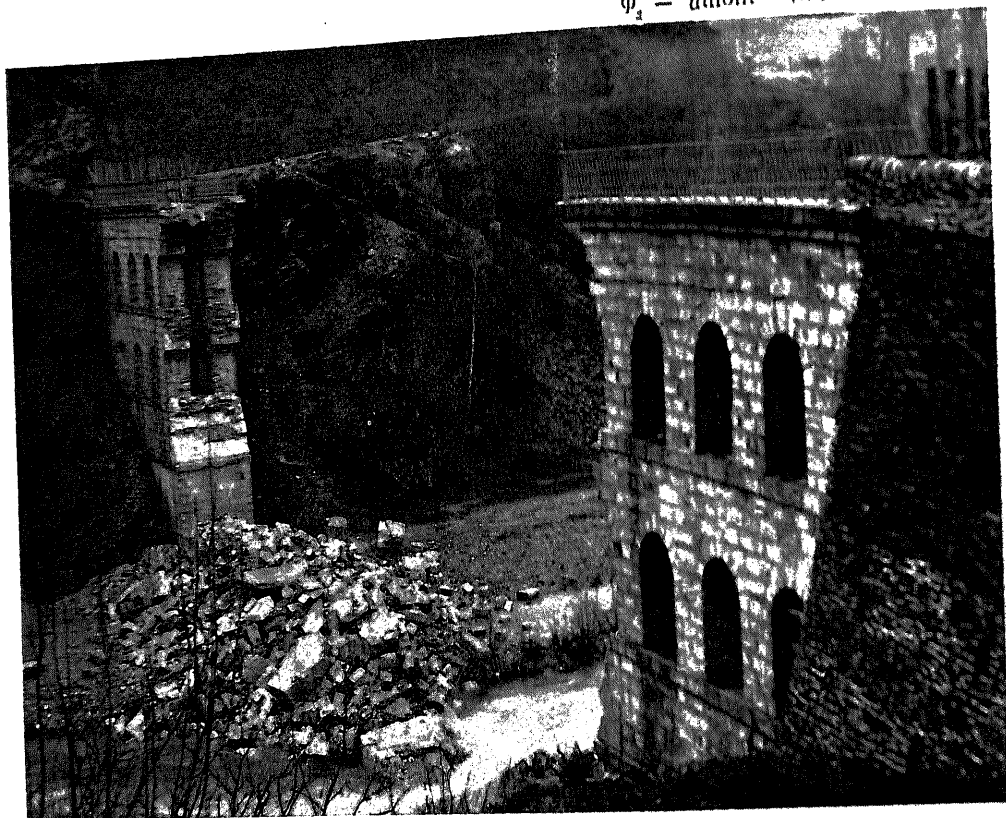
C. — Déformations des tympans (S₁, S₂) — (P₁, P₂, P₃). Les tympans étaient coupés de longues fentes horizontales.

Les voûtes d'évidement, surtout celles de l'étage supérieur rive gauche, s'étaient ouvertes aux reins, et leurs pieds-droits s'étaient inclinés : il y avait, à leur pied, des ouvertures atteignant 9° (S₁).

Les parquets étaient déformés.

7. Chute du Pont (28 janvier 1912). — Le 19 décembre 1911, 3 assises de douelle se détachèrent, au milieu de la demi-voûte rive gauche (S₁). 40 jours après, le 28 janvier 1912, à 2 heures du matin, le pont s'écroula.

ϕ_2 — amont 16 février 1912.



Voici les mesures faites après la chute (S₂) :

	Naissances		Socle	
	amont	aval	amont	aval
Distance entre culées.....	42 ^m 60	42 ^m 57	42 ^m 47	42 ^m 44
Réduction par rapport au projet (43 ^m).	0 ^m 40	0 ^m 43	0 ^m 44	0 ^m 45
Surplomb des naissances sur le socle (culée rive gauche) : 7 ^m .				

Les fissures des tympanes au-dessus des culées se sont refermées (S₃).

8. Ingénieur. — *Projet et Travaux* : M. A. Charpentier, Agent Voyer en chef.

SOURCES :

S₁. — Annales des Chemins Vicinaux, tome XXXIX, 1883, p. 3 à 25, Pl. I et II : « *Notice* » sur la construction d'un pont en maçonnerie au Saulnier, près le Collet de Dèze, sur le Gardon « de Sainte-Cécile d'Andorge », M. A. Charpentier, Agent-Voyer en chef de la Lozère.

Cette même notice a paru dans le Portefeuille des Conducteurs des Ponts et Chaussées, 1883, 18^e série, n^{os} 2 et 3, p. 5 à 9, Pl. 3 et 4.

Relevés qu'ont gracieusement fait faire, sur une demande :

S₂. — en décembre 1908, M. Chevalier, Ingénieur en chef des Chemins de fer Départementaux.

S₃. — en mai 1909, M. Thibaud, Ingénieur en chef des Ponts et Chaussées à Mende.

Renseignements qu'ont bien voulu donner :

S₄. — à M. Thibaud, M. Nosley, Conducteur principal des Ponts et Chaussées à Florac (février 1912) ;

S₅. — à M. Meuse, Ingénieur de la Compagnie P.L.M. à Alais, M. Michel, Agent-Voyer au Collet de Dèze (février 1912).

S₆. — Ce que j'ai vu, septembre 1908.

S₇. — Renseignements qu'a bien voulu m'adresser M. Michel (novembre 1912).

Tout ce qui est sans indication de source, est de S₁.

PONT SUR LA BLACK RIVER, A ELYRIA (ÉTATS UNIS - Ohio)

1886

A¹ r¹⁰ 40m7

Φ₁ S₁



1. Personnel.

Ingénieur : M. E. C. Kinney, alors Ingénieur en chef adjoint à l'Union Pacific Ry ».

Entrepreneur : M. John Weller.

SOURCE :

S₁. — Renseignements et photographie que M. Ralph Modjeski, « Consulting Engineer » à Chicago, a bien voulu demander à M. Kinney (mai 1900).

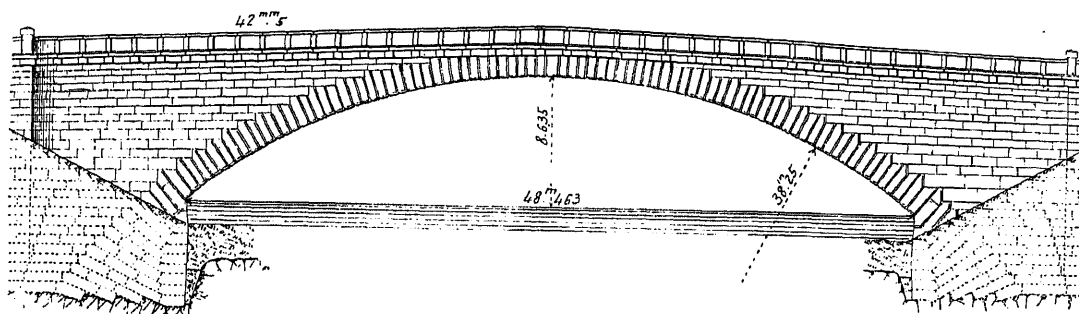
Dans l'« Engineering News » du 31 mai 1890, p. 506, M. Kinney donne une description du pont.

PONT DE LA MAIN STREET, SUR LE WHEELING CREEK,
A WHEELING (ÉTATS-UNIS - West Virginia)

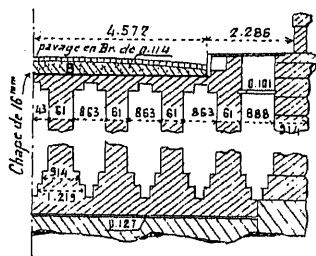
1891-1892

$\widehat{A}^1 r^{lu} (\geq 40m) 8$

f_1 — Élévation — 2mm

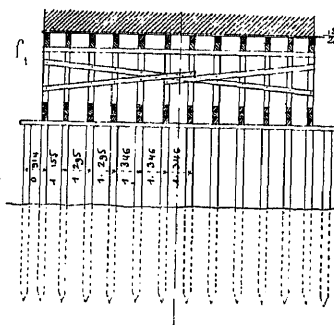


f_2 — Demi-coupe en travers — 5mm

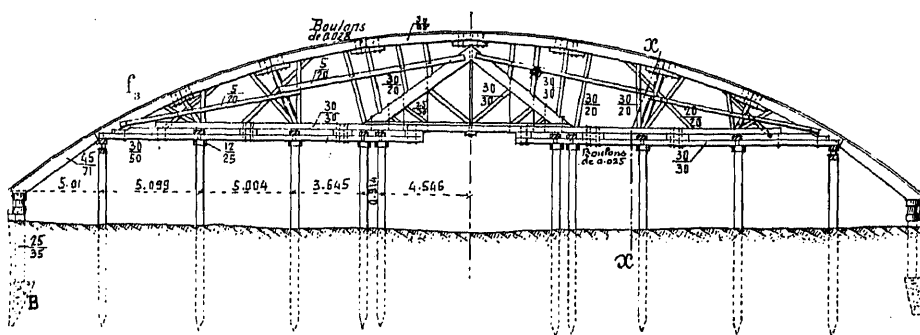


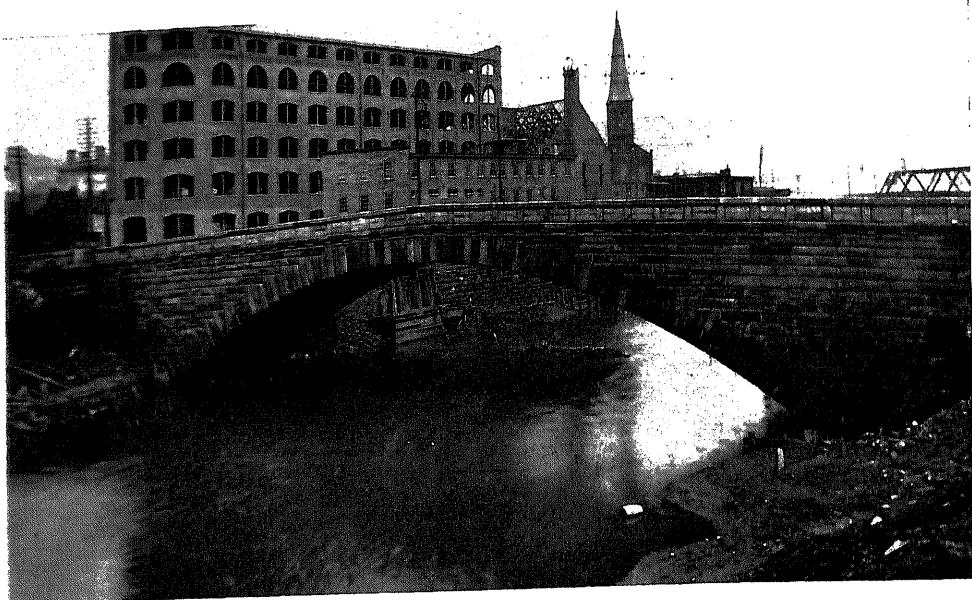
Cintre

Coupe en travers sur xx de f_1 — 2mm5



Cintre — Élévation — 2mm5





1. Personnel.

Ingénieurs : MM. Hoge et White.

Entrepreneurs : MM. Paige, Carey et C^{ie}.

SOURCES :

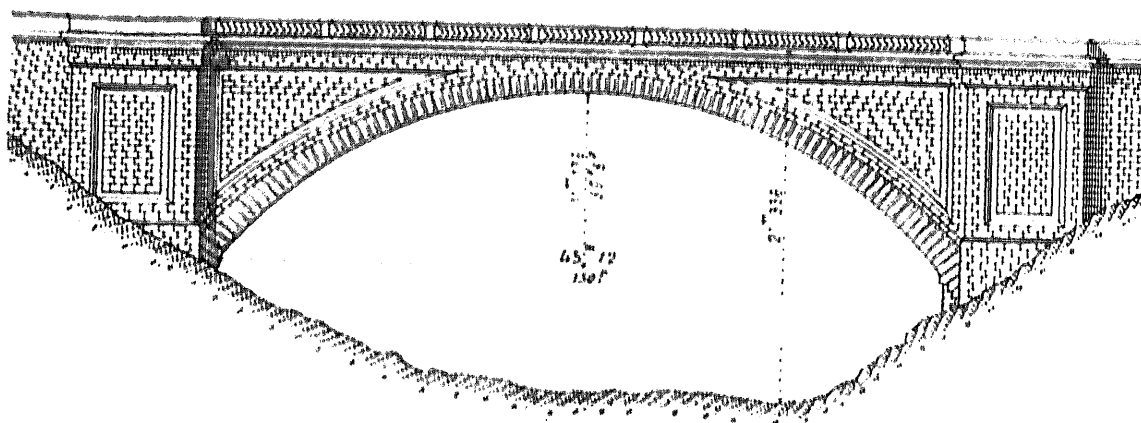
S₁. — Dessins d'exécution, photographie et renseignements, gracieusement communiqués, en mai et juin 1908, par M. Malverd A. Howe, M. Am. Soc. C. E., Directeur du « Department of Civil Engineering and Architecture » du « Rose Polytechnic Institute » à Terre-Haute (Indiana).

PONT DE BELLEFIELD, SUR LE CREUX DE SAINT-PIERRE,
 A PITTSBURG¹ (ÉTATS-UNIS, - Pennsylvanie)

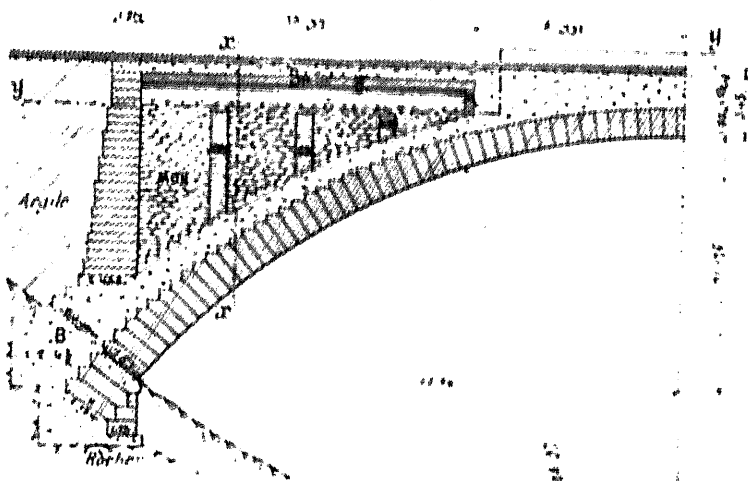
1896-1897

A¹ 1^{re} 10m9

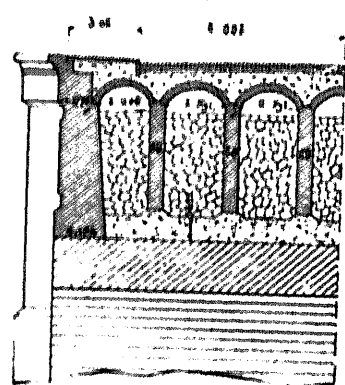
f₁ Elevation² 2mm



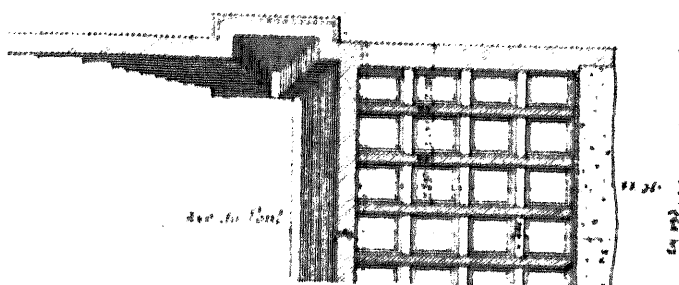
f₂ — Coupe en long — 3mm



f₃ — Coupe en travers
 sur x x de f₁ — 3mm



f₄ — Coupe horizontale sur y y de f₂ — 2mm



I. Matériaux de la
 voûte (f₁, f₂). La douelle
 et les bandeaux sont en
 pierre de taille de 1^m210 à
 la clef, 1^m820 aux retom-
 bées.

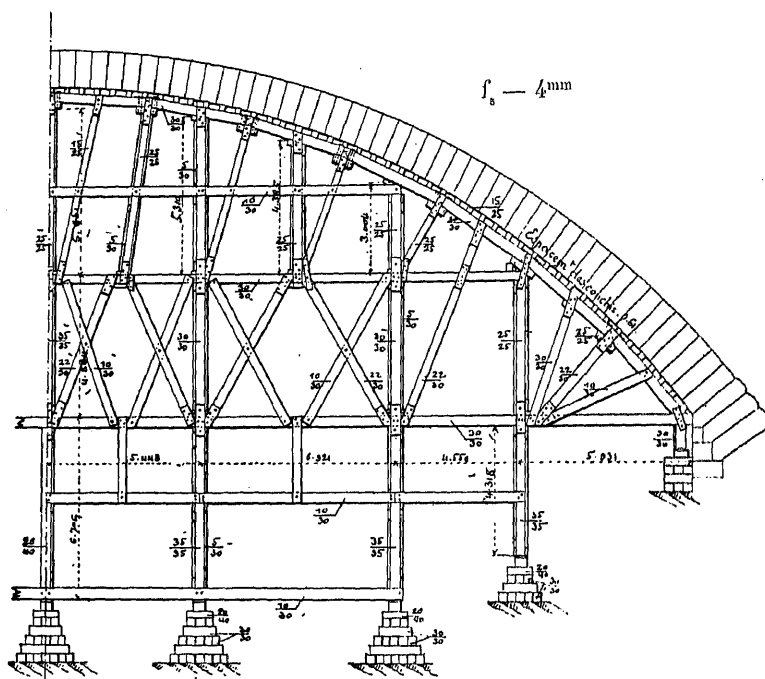
Sauf sur 2^m13 à partir
 de chaque tête, la douelle
 porte un 2^{me} rouleau en
 béton.

1. — A l'entrée principale du Parc Schenley.

2. — Reconstituée d'après une photographie (S₁ - p. 540).

2. Chape. — Sous le pavage en bois de 30^{mm} d'épaisseur, est une chape en asphalte de 16^{mm}, sur une chape en mortier de ciment Portland de 25^{mm}.

3. Cintre. — L'about inférieur des poteaux, arrondi, s'engage dans des boîtes à sable en fonte.



La partie supérieure des boîtes est garnie de ciment pour conserver sec le sable.

Il n'y a pas de platelage. Chaque assise de voussoirs repose sur un couchis.

Les vaux sont assemblés au sommet des poteaux par des plaques de tôle. Leur extradoss n'était pas en courbe; on a dû, après décintrement, retailler

nombre de voussoirs.

Au moment de commencer la voûte, les fermes furent mises exactement à leur place au moyen de coins en chêne.

4. Fondations. — Les culées sont en béton (1 volume de Portland, 2 volumes de sable de rivière, 4 volumes 1/2 de pierre cassée à 5^{mm}); sur le béton, 3 assises de libages.

5. Exécution de la grande voûte. — L'extrados de la douelle a été laissé très irrégulier, pour bien lier la pierre au béton.

« Pendant la construction..., le cintre s'affaissa et provoqua plusieurs fissures....
« L'une traversait l'arche d'une tête à l'autre, entre la 12^e et la 13^e assise de chaque
« côté; une autre s'étendait de chaque côté, entre la 20^e et la 23^e; de plus, il y eut,
« d'un côté seulement, 3 fissures plus courtes au-dessous des reins à une distance
« de 16 à 26 pieds (4^m87 à 7^m92) en arrière des têtes. Les fissures avaient une largeur
« de 1/16 à 5/32 de pouce (1^{mm}5 à 3^{mm}7) et furent soigneusement cimentées avant le
« décintrement. » (S.).

L'arche fut commencée à la fin de 1896, reprise en juin 1897, achevée le 18 septembre 1897.

6. Décintrement. — Du 30 septembre au 12 octobre 1897, on enleva graduellement le sable des boîtes, en commençant par les palées centrales.

7. Quantités.

Pierre de taille pour voûte.....	1.874 ^m
Maçonnerie 1 ^{re} choix.....	2.927
Maçonnerie ordinaire.....	1.462
Briques.....	300
Béton de ciment Portland.....	2.397
Béton de ciment naturel.....	310
Total.....	9.270 ^m

8. Personnel.

Ingénieurs :

Projet et exécution : M. Henry B. Rust, M. Am. Soc. C.E.

Directeur des travaux : M. E. M. Bigelow, M. Am. Soc. C.E.

Entrepreneurs : MM. Neeld et Foley.

M. A. D. Neeld a fait le projet du cintre.

SOURCE :

8. Engineering Record, 9 juin 1900, p. 540 et 541 : « *The Bellefield stone arch bridge, « Pittsburgh.* »

PONT FRÉDÉRIC-AUGUSTE

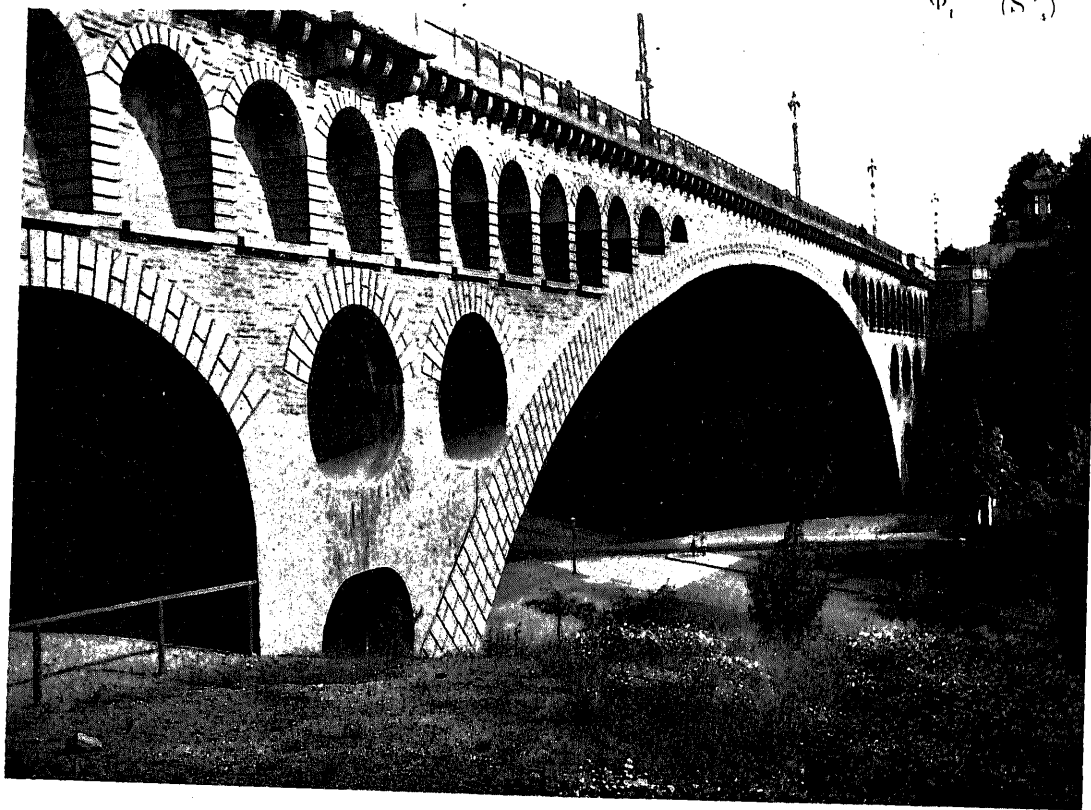
SUR LA VALLÉE DE LA SYRA, PAR-DESSUS UNE PLACE

A PLAUE (SAXE, - Voigtland)

1903-1905

$\widehat{A}^1 \Gamma^{1e} (\geq 40m) 10$

$\Phi_1 (S''_1)$



1. Pourquoi on a fait une grande voûte. — Le pont est entre deux manufactures qui empêchent de le voir : la vallée n'est vide que sous lui, et ce vide n'est que très partiellement occupé par des chemins.

On n'y voit pas de ruisseau.

Les lieux ne paraissent pas imposer, — ni même demander, — une voûte de 90m.

On l'a voulue.

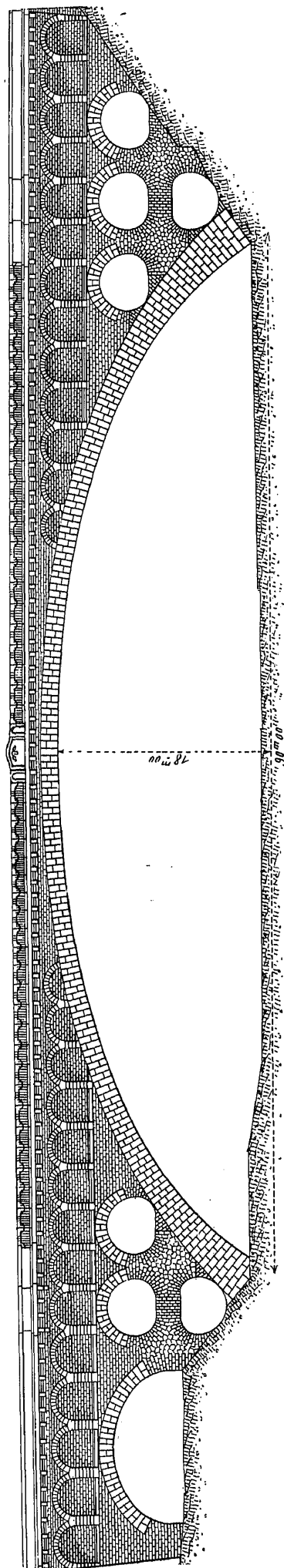
2. Pourquoi on n'a pas articulé la voûte (S_2). — On n'a pas mis de rotules :

1° — parce qu'on n'était pas sûr de leur bon effet ;

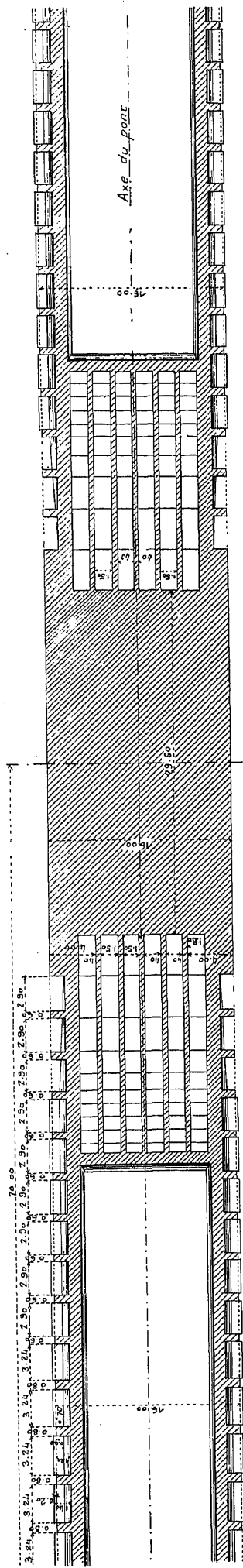
2° — parce que les clavages multiples devaient assurer à la voûte, jusqu'à la fin de sa construction, une souplesse suffisante ;

3° — parce que la voûte est large et que les rotules eussent coûté cher.

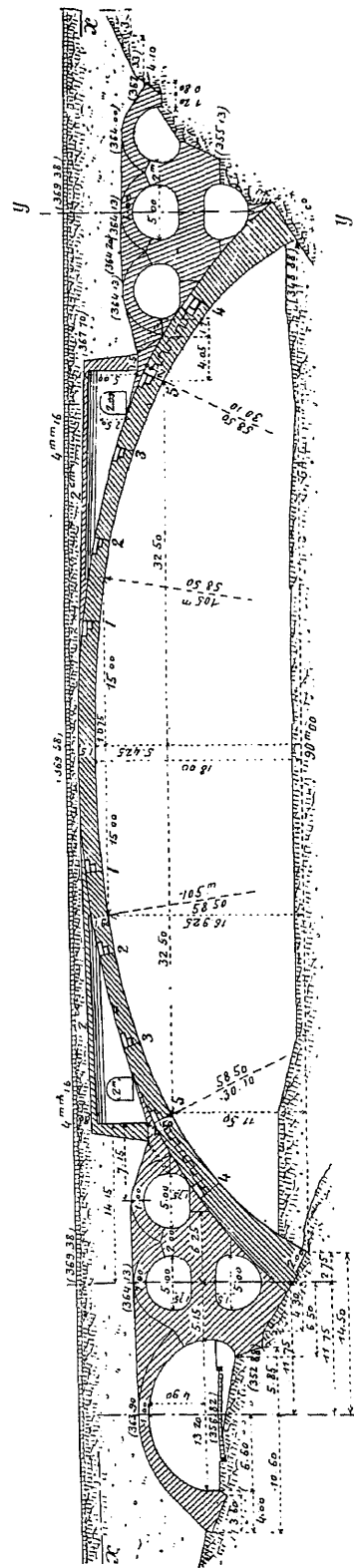
f₁ — Élévation — 2^{mm} (S₁, S₂, Φ₁)



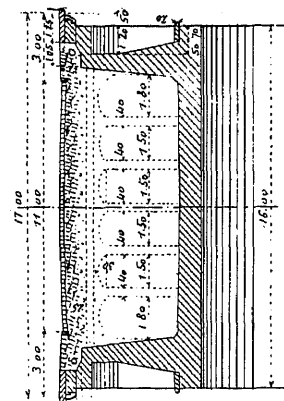
f₂ — Coupe sur xx de f₁ — 2^{mm} (S₁)



f₃ — Coupe en long — 1^{mm}5 (S₁)



f₄ — Coupe en travers sur yy de f₃ — 3^{mm} (S₁)



3. Tympan (S₁) (f₁, f₂, f₃). — Sur les reins, l'intervalle entre les tympan est occupé par 7 murs longitudinaux supportant de petites voûtes recouvertes de fine cendre de coke. Les deux murs extrêmes, épais, à deux fruits, aveuglent les voûtes transversales d'évidement qui soutiennent le couronnement (f₁, f₂).

Le cerveau et les retombées sont recouverts de plaques d'asphalte ; au-dessus, on a rempli en terre et sable.

On a ménagé dans les tympan, à 32^m 50 de part et d'autre de la clef, des joints de dilatation, remplis d'une matière plastique (S₁).

4. Couronnement. Chaussée. — Le garde-corps est en encorbellement sur dalles et consoles de granit ancrées dans les tympan : il est plein aux culées et sur les reins, — à jour au milieu.

La chaussée porte deux voies de 1^m pour tramway (S₁).

5. Matériaux.

A. Pierres. — La grande voûte est en moellons de « *phylitte* » de 10 à 12^{cm} d'épaisseur, schiste résistant à 1580^k en moyenne (S₂), des carrières de Teuma et Tirpersdorf près Plauen, bien lavés à l'eau sous pression (S₁).

Avec ces petits voussoirs, on a employé 42 à 45 % de mortier (S₂). Cette grande voûte est donc, pour près de moitié, en mortier.

Au lieu de montrer sur les têtes les petits moellons, on a simulé des pierres de taille de granit de gros appareil, par un crépi de 1 de ciment et 5 de sable blanc de la vallée de Lauten (S₁).

On a barbouillé la douelle d'un crépi uniforme, sans lits ni joints. On dirait d'un pont en béton (S₁).

Très évidemment, on s'est peu préoccupé de l'aspect.

B. Mortier. — Le ciment (Portland) devait avoir séjourné 14 jours au moins dans le hangar.

Le mortier à 1/3 de sable normal résistait (moyenne de 6 à 10 épreuves) : à 45 jours, à 407^k à la compression, à 40^k à la traction (S₁) ; après 24 semaines d'exposition à l'air, à 600^k à la compression (S₂).

6. Calculs. — On admis deux hypothèses de surcharge (S₁) :

1° — une file de véhicules à essieux de 1^m 25, chargés de 15 tonnes, espacés de 3^m 50, avec une foule de 560^k par mètre carré ;

2° — 3 rouleaux à vapeur pesant chacun 23 tonnes, avec une foule de 575^k par mètre carré.

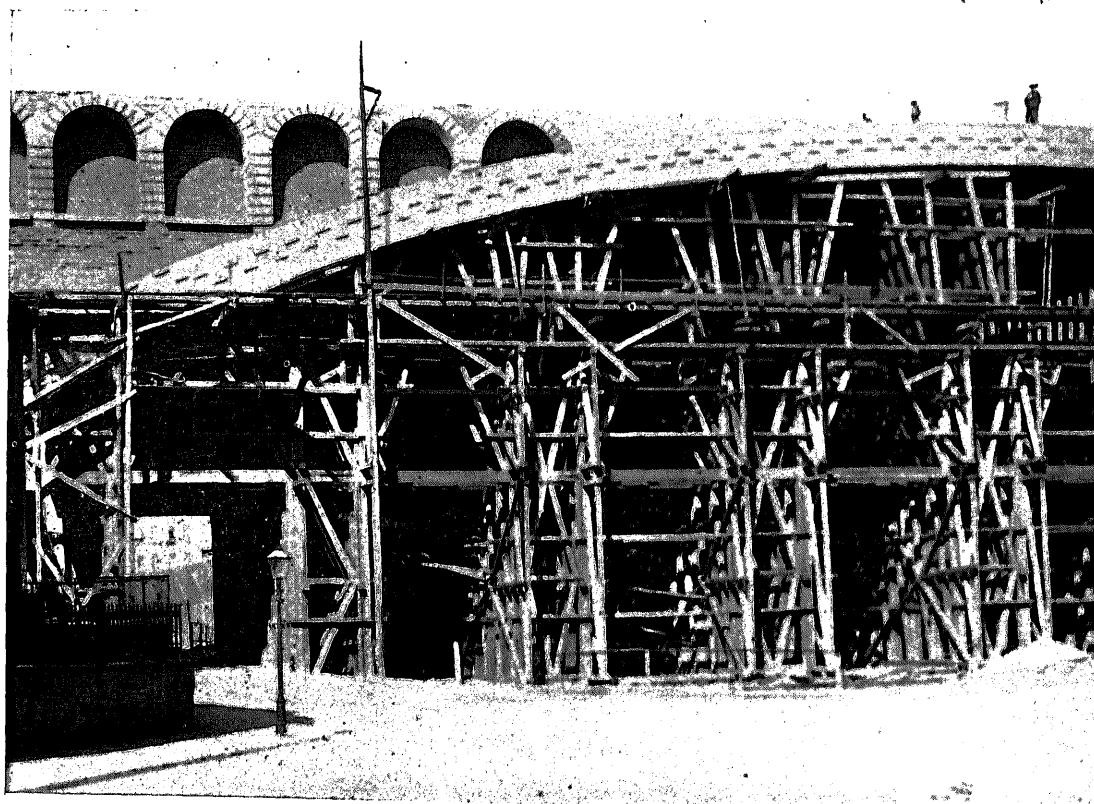
Les efforts ont été calculés par deux méthodes.

Des courbes de pression avec points de passage arbitrairement choisis¹, indiquent dans la voûte surchargée un effort maximum de 53^k4, à 32^m50 de la clef, aux « joints de rupture » (S_2).

En appliquant la théorie de l'élasticité, avec l'aide des lignes d'influence, à une voûte élastique de 65^m d'ouverture, 6^m50 de flèche, portée par deux culées en surplomb de 12^m50, reposant sur un rocher invariable, M. le Professeur Lucas, de l'Ecole Polytechnique de Dresde, a trouvé, pour la position la plus défavorable de la surcharge et en tenant compte de la température (S_1), une pression maxima de 69^k et une tension maxima de 4^k5 (S_2).

7. Cintre. — $\Sigma(\Phi_2, f_3, f_0)$.

Φ_2 (S_1)



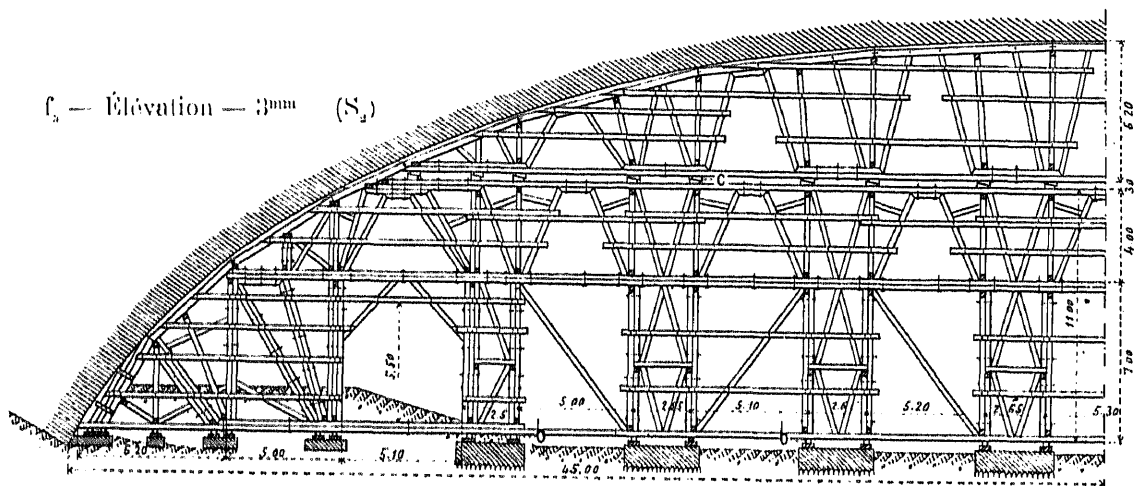
Il a 3 étages de pièces équarries : l'étage supérieur a 21 fermes reposant sur une ligne de coins $C(f_1, f_0)$ qui servent à régler la hauteur des fermes, puis à décintrer (S_1).

Les deux autres étages n'ont que 11 fermes (S_1).

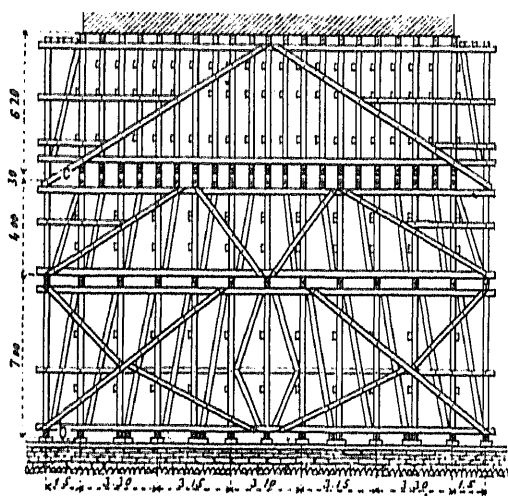
Les palées de l'étage inférieur reposent sur des plate-formes en maçonnerie de ciment de 20^m de longueur.

1. « Stützlinien ».

Cintre



f₄ — Coupe en travers — 3^{mm} (S₁)



En 3 mois, on a approvisionné les bois, construit le cintre (avec 40 charpentiers) ; on l'a monté en 14 semaines (S₁).

8. Fondations. — On a bourré les fentes du rocher de maçonnerie à ciment (béton et moellons).

Une galerie de mine abandonnée, qui passait en biais sous la culée Sud, a été remplie de maçonnerie, puis recouverte d'une dalle de béton de ciment, armé de 8 fers en **I** de 0^m 36 de hauteur et 16^m de longueur (S₁).

9. Exécution de la grande voûte. — On l'a construite sur toute son épaisseur, — c'est-à-dire en un seul rouleau², — en 6 tronçons, séparés par des vides de 1 à 2^m de largeur, et soutenus par des étais en bois, serrés par des coins (S_2).

Les moellons étaient répartis d'avance sur le cintre, avec un poids supplémentaire représentant le mortier (S_2).

On avait préalablement disposé sur le cintre, dans le plan des têtes, des moules à surface intérieure grossièrement dressée avec des joints en saillie pour donner l'aspect de la pierre de taille. On jetait le crépi, à l'état de terre humide, contre ce moule, sur 7^{cm} d'épaisseur, puis on construisait la voûte, en reliant les moellons de tête au crépi avec du mortier de ciment (S_1).

Le crépi faisait ainsi corps avec la maçonnerie de la voûte, et ne s'est pas émietté, comme cela se produit souvent, quand on le pose sur la maçonnerie déjà faite (S_1).

On clava dans l'ordre des chiffres 1 à 5 (f_3), c'est-à-dire, d'abord à partir de la clef, puis à partir des naissances pour finir au joint de rupture (S_3).

10. Décintrement [11 juillet (S_2) - 7 septembre 1904]. — Sous le cintre, entre ses semelles inférieures et les socles maçonnés, avaient été disposés des billots de hêtre rouge de 7^{cm} d'épaisseur, b (f_5, f_6) (S_2).

Pour décintrer, on les attaqua à la scie ; leur noyau s'écrasant peu à peu, on put desserrer facilement les coins entre les deux étais supérieurs (S_2, S_3).

La voûte s'affaissa de 82^{mm} à la clef (S_3), sans se fissurer (S_3).

Les tympans s'ouvrirent (S_2), comme on l'avait prévu, à 32^m50 de part et d'autre de la clef, c'est-à-dire aux retombées du cerveau considéré comme une voûte élastique de 65^m sur culées en surplomb.

11. Durée de la construction. — On commença la préparation du terrain le 26 mars 1903 (S_2), les fondations le 1^{er} août, la maçonnerie de la voûte le 21 août. On travaillait le soir à la lumière électrique. On fit le dernier clavage le 8 novembre 1903 (S_1).

On reprit au printemps 1904. On construisit les voûtes d'élégissement, les tympans. Les maçonneries étaient terminées fin septembre (S_2).

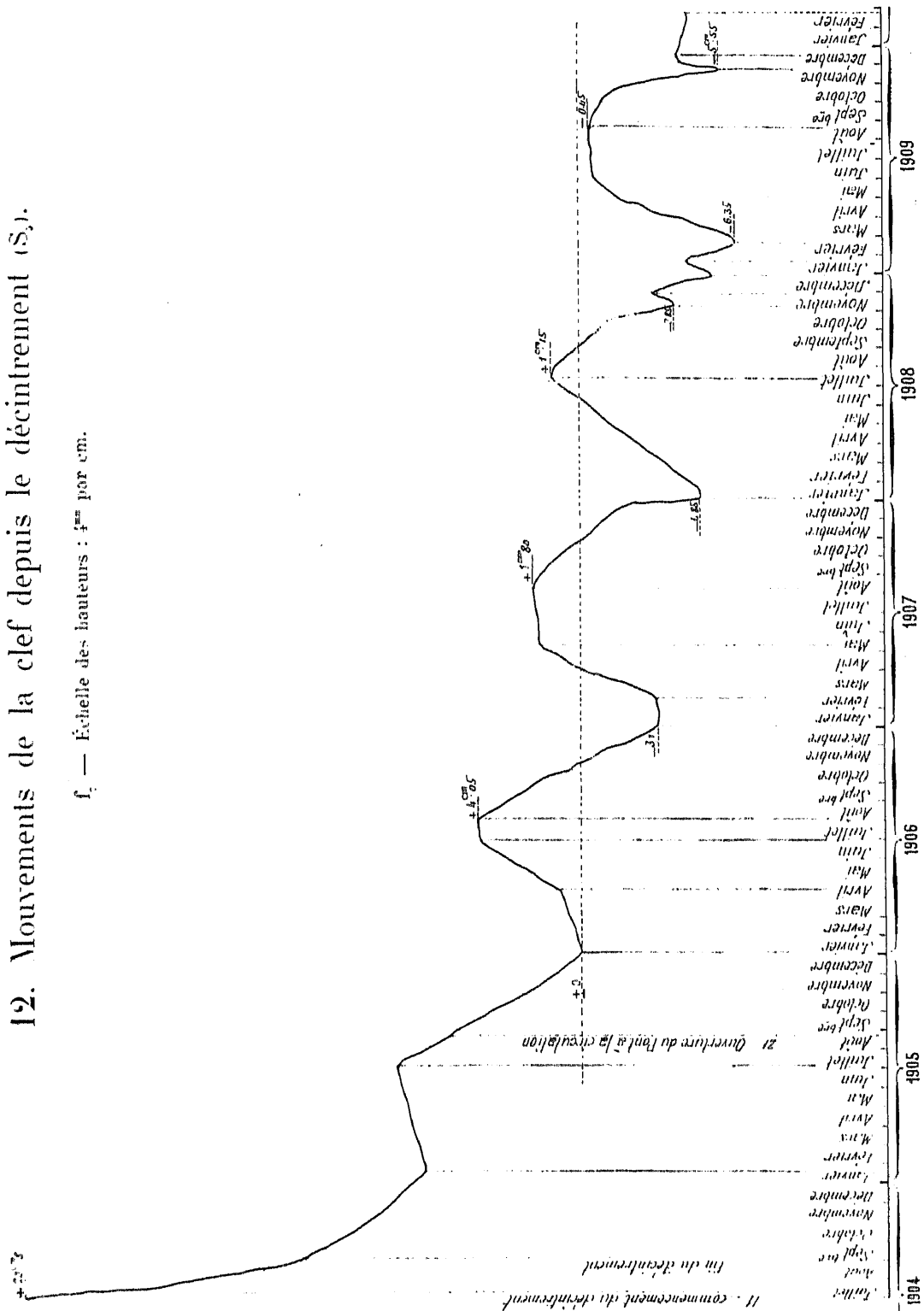
Le pont fut inauguré par le roi Frédéric-Auguste III, le 24 août 1905³.

2. — Les moellons de phyllite, bien lités, ont été exactement appareillés suivant le rayon (S_2).

3. — « Im Reisen seiner Majestät Friedrich August III König von Sachsen wurde diese Brücke am 24 August 1905 feierlich dem Verkehr übergeben. » (Inscription sur la culée rive droite amont).

12. Mouvements de la clef depuis le décintrement (S).

f_c — Échelle des hauteurs : $\frac{1}{4}$ mm par cm.



13. Dépenses (S_1) (non compris les abords).

Fouilles.....	16.831 ⁷⁶
Maçonnerie et remplissage.....	465.575 ⁸⁶
Garde-corps en fer et appareils d'éclairage.....	32.185 ¹⁹
Chaussée et trottoirs.....	60.157 ⁵⁰
Divers.....	39.991 ⁴⁷
Total.....	614.741 ⁷⁸

14. Personnel.

Projet et Exécution : MM. Liebold et C^{ie}, de Langebrück, près de Dresde (Saxe).

Les travaux ont été surveillés par M. Fleck, Architecte de la ville de Plauen.

1. — Plaque culée rive droite amont : « *Entwurf und Ausführung Liebold u. C^{ie} Langebrück, in « Verein mit der Bauverwaltung Plauen. — Bauzeit 1903-1905. »* »

SOURCES :

S_1 . — Deutsche Bauzeitung, 1904 — n° 57, 16 juillet, p. 354 à 358; n° 58, 20 juillet, p. 361 et 362 : « *Die Syratatbrücke in Plauen, i. V* » von Stadtbaurat Fleck, Reg. Bmstr. a. D., in Plauen i. V.

S_1 . — « Mitteilungen des Vereines der Ingenieure der k. k. österr. Staatsbahnen », 1^{er} décembre 1904, p. 139 à 142, Pl. VIII : « *Die weitest gespannte Wölbbücke der Welt* », von Ing. R. Jaussner, Bau-Oberkommissär der k. k. österr. Staatsbahnen in Görz.

S_1 . — Renseignements qu'ont bien voulu me donner MM. Liebold.

S_1 . — Ce que j'ai vu :

S'_1 . — septembre 1906.

S''_1 . — août 1908.

S_1 . — Renseignements gracieusement communiqués par M. Flock, — mars 1910.

PONT SUR LA SINGINE¹, PRÈS DE GUGGERSBACH² (SUISSE, - Berne³)

1906

\widehat{A}^1 r^{le} ($\geq 40m$) 11

Φ_1 (S''₄)



1. Matériaux. — Tout est en béton :
 en béton non armé, la voûte ;
 en béton armé, les murs transversaux sur la voûte, le hourdis sous chaussée
 et ses nervures (f_2 , f_4).
 Le parement du béton n'a pas été retouché.

2. Joints de dilatation. Chape. — La plate-forme est coupée par
 deux joints de dilatation jj (f_1 , f_3 , f_4), recouverts de feuilles de tôle.
 Elle est, comme l'extrados de la voûte, revêtue d'une chape en ciment.

3. Efforts dans le béton armé, en $kg/\overline{0^m01^2}$.

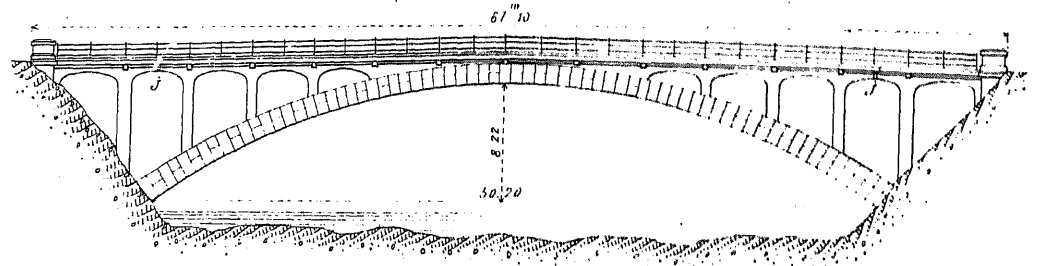
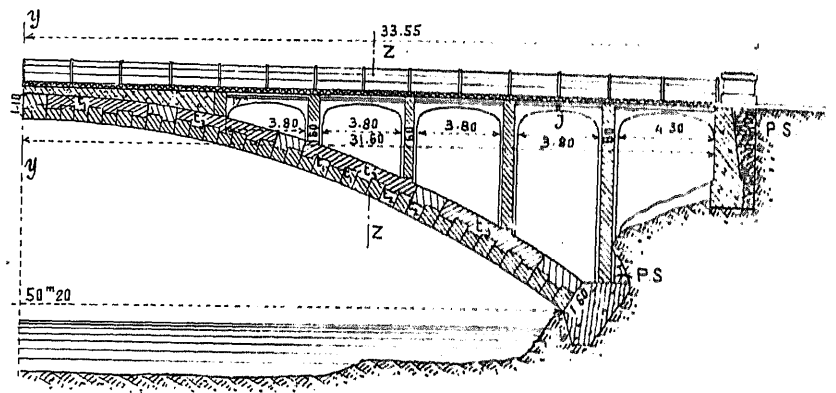
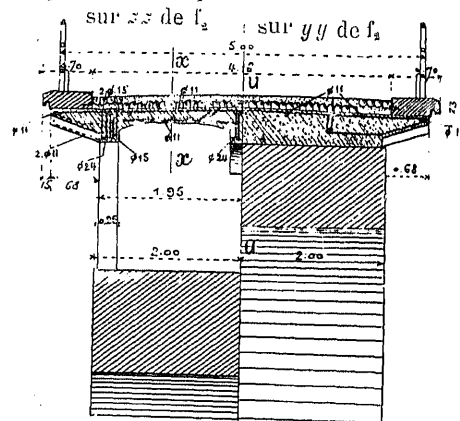
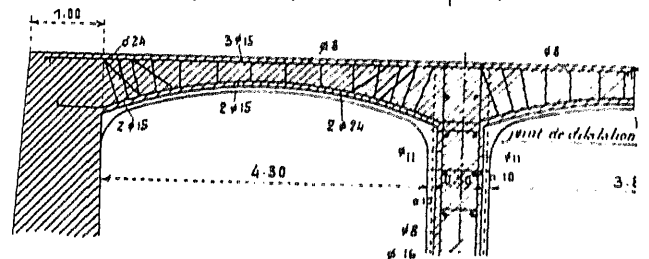
Béton (à 300 ^k de ciment par mc. de béton).....	35 ^k
Acier.....	1.000 ^k (traction)

La plate-forme et les nervures ont été calculées comme des poutres continues.

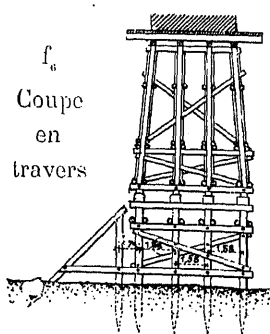
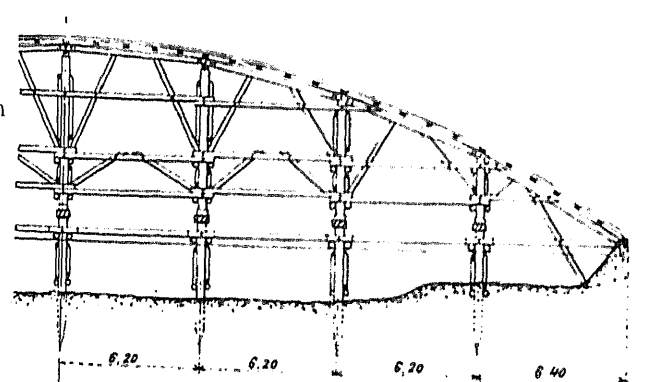
1. — En allemand : « Sense ».

2. — Entre Guggisberg et Planfayon (en allemand « *Plaffegen* »).

3. — Le pont relie le district bernois de Guggisberg au district fribourgeois de la Singine.

f_1 — Élévation — 2mm f_2 — Demi-coupe en long sur $x.x'$ de f_1 — 3mm f_3 — Demi-coupes en travers — 1mm f_4 — Nervure du hourdis
Coupe en long sur $u.u'$ de f_1 — 1mm

Cintre — 3mm

 f_6
Élévation

4. Cintre (f_3 , f_0). — Il était en bois en grume, sauf les vaux et les couchis. Des brise-lame protégeaient les palées contre les bois entraînés par les crues de la Singine, dangereuses en toute saison.

5. Exécution de la voûte.

A. 1^{er} rouleau. — On pilonnait le béton sur toute la largeur de la voûte, par tranches isolées t_i (f_3) (S''_4); puis on remplissait, mais sur une hauteur moindre, les intervalles t_2 .

On clavait à la clef, aux retombées, et au droit des points fixes du cintre, dans l'ordre que paraissait imposer la déformation du cintre.

Le cerveau du cintre avait été peu chargé : il se releva pendant la construction. On l'abaissa en le chargeant de pierres (S_3).

B. 2^e rouleau (S_1). — Le 1^{er} rouleau achevé, on commença immédiatement le second, par paires symétriques de tranches t_3 de la largeur de la voûte (f_3), chaque tranche correspondant à plusieurs du premier rouleau.

6. Dates.

	1906
Commencement des travaux.....	28 mai
Commencement du bétonnage.....	13 août
Fin du premier rouleau.....	31 août
Fin du second rouleau.....	14 septembre
Achèvement de l'ouvrage.....	13 octobre
Décintrement.....	15 décembre

7. Personnel.

Projet : MM. Jäger et C^{ie}, de Zurich.

Direction des travaux : M. G. d'Erlach, Ingénieur à Berne.

Entrepreneurs : MM. Gribi, Hassler et C^{ie}, de Berthoud.⁴

4. — En allemand : « Burgdorf. »

SOURCES :

S_1 . — Schweizerische Bauzeitung, 29 février 1908, p. 107 à 110 : « Brücke über die Sense « bei Guggersbach », M. J. Bolliger, Ingénieur à Zurich.

S_2 . — Bulletin technique de la Suisse romande, 25 mai 1908 : « Pont sur la Singine à « Guggersbach », M. Am. Gremaud, Ingénieur cantonal à Fribourg.

S_3 . — Renseignements que l'Entreprise a bien voulu donner pour moi à M. d'Erlach.

S_4 . — Renseignements (S'_4) et photographie (S''_4) gracieusement communiqués par M. d'Erlach.

On a pris dans S_1 les dessins, et tout ce qui n'est pas spécifié comme d'une autre source.

PONT SUR LA VALSERINE, AU MOULIN DES PIERRES,

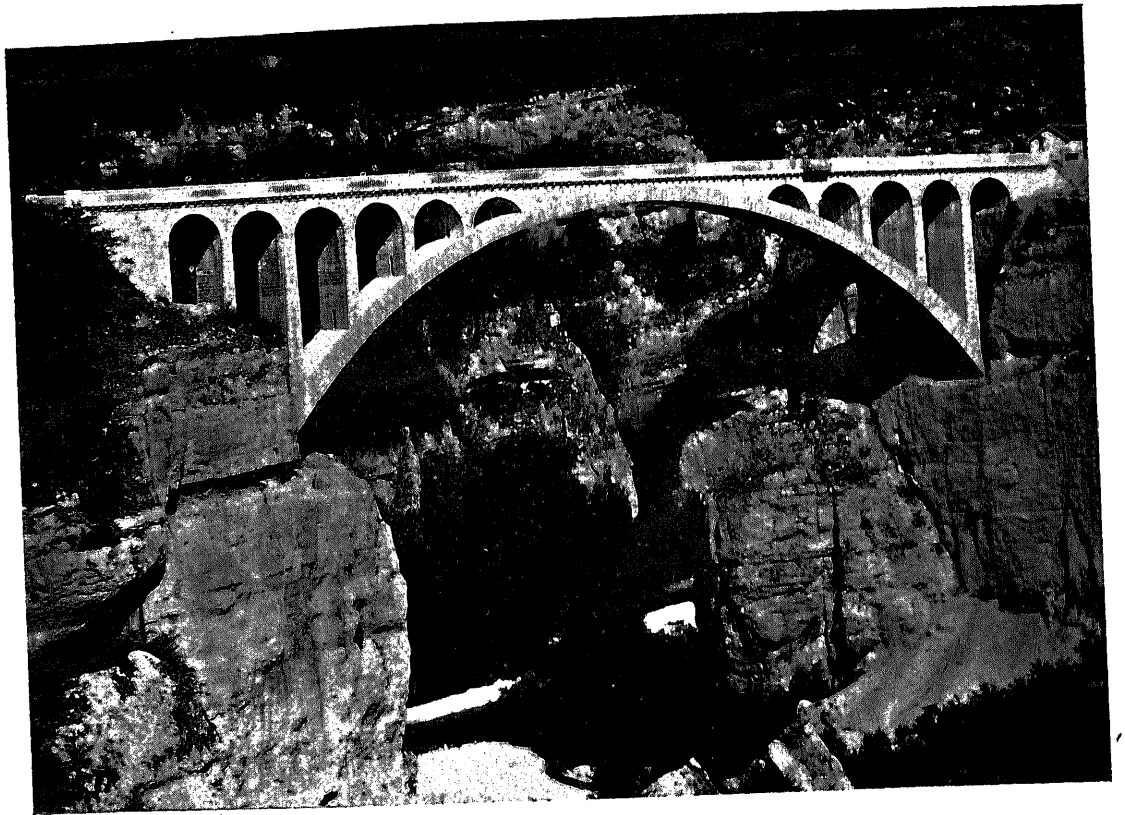
PRÈS DE MONTANGES¹ (AIN)

*Chemin de fer électrique d'intérêt local à voie de 1^{re} de Bellegarde à Chézery
et Chemin de Grande Communication n° 11*

1908-1910

\widehat{A}^1 1^{re} (20m) 12

Φ_1^2



1. Dispositions d'ensemble. — Là, dans cette brèche entre ces hautes falaises, une grande voûte est bien à sa place.

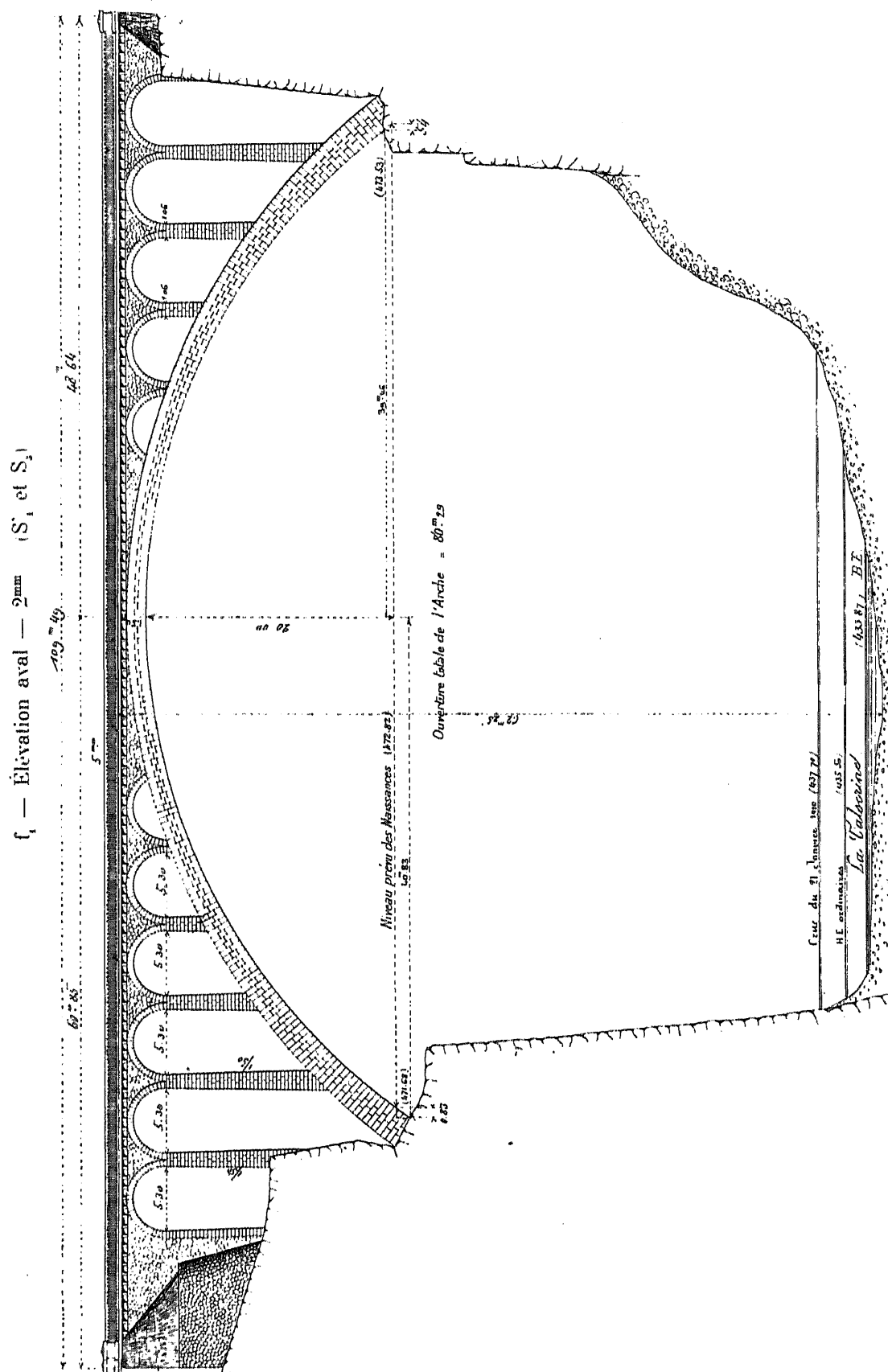
Les naissances avaient été prévues au même niveau. On a abaissé celle de rive droite au-dessous d'un banc de calcaire gélif, et élevé celle de rive gauche pour mieux placer les boîtes à sable. L'ouverture a été ainsi portée de 80^m à 80^m29 (S₁).

Les piles des voûtes d'évidement reposent sur des gradins découpés dans la voûte sur 18^m de profondeur au plus (S₂).

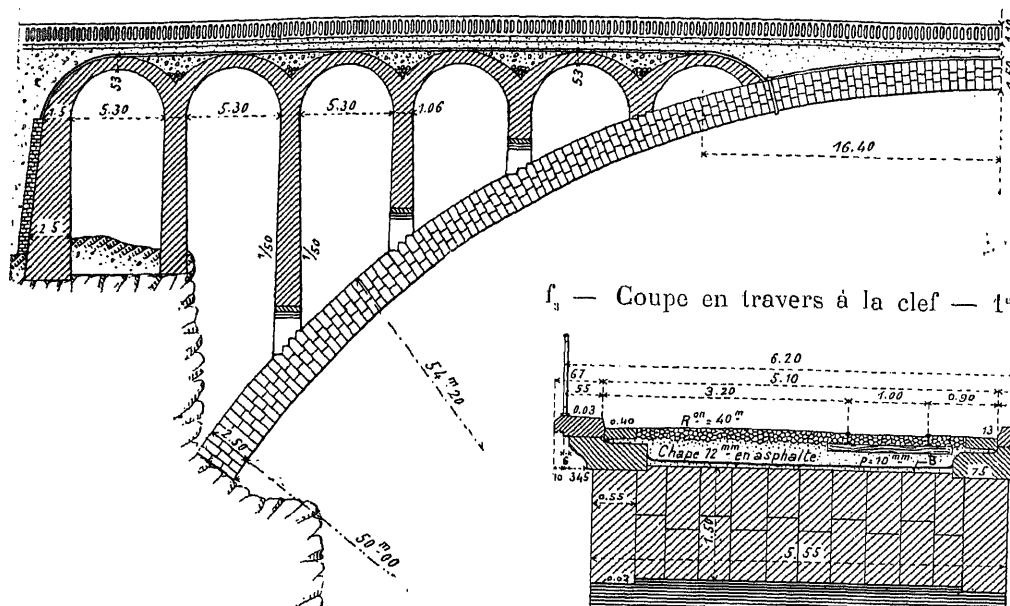
2. Chape. — Elle a 12^{mm}. Elle est faite d'un mélange de 1 partie de bitume liquide et 3 parties de mastic d'asphalte (S₃).

1. — A 8* en amont de Bellegarde (Ain).

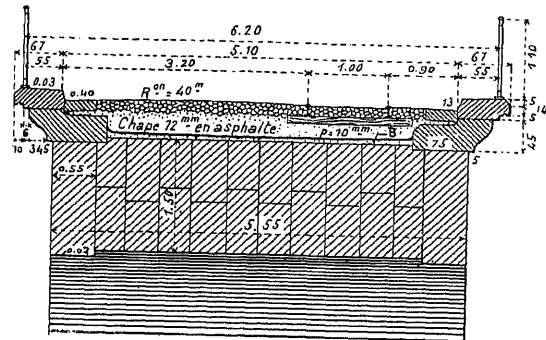
2. — Cliché de M. Ed. Boulland, Photographie à Bellegarde.



f₉ — Demi-coupe en long — 2^{mm}5 (S₁ et S₂)



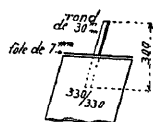
f_3 — Coupe en travers à la clef — 1^{er} (S.)



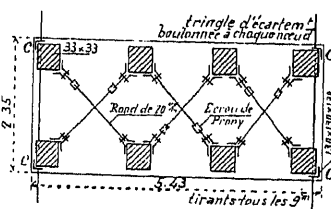
3. Cintre. — *A. Dispositions d'ensemble.* — Il portait sur 3 hautes piles en bois, reposant sur 3 socles en maçonnerie fondés : celui de rive gauche, sur rochers éboulés ; les deux autres, sur gravier, sable, et gros galets : celui du milieu, sur pieux à têtes reliées par un grillage, noyées sur 0^m70 à 1^m20 dans du béton immergé ; celui de rive droite, sur 0^m70 de béton, dans une enceinte de pieux (S₁).

Les poteaux des piles étaient assemblés, par longueurs de 9^m, comme l'indique f₀. Les 4 poteaux extérieurs étaient renforcés par des cornières c (f₁).

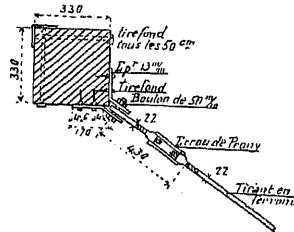
f₆ — Assemblage
de 2 pièces d'un montant
3cm



Contreventement horizontal d'une pile

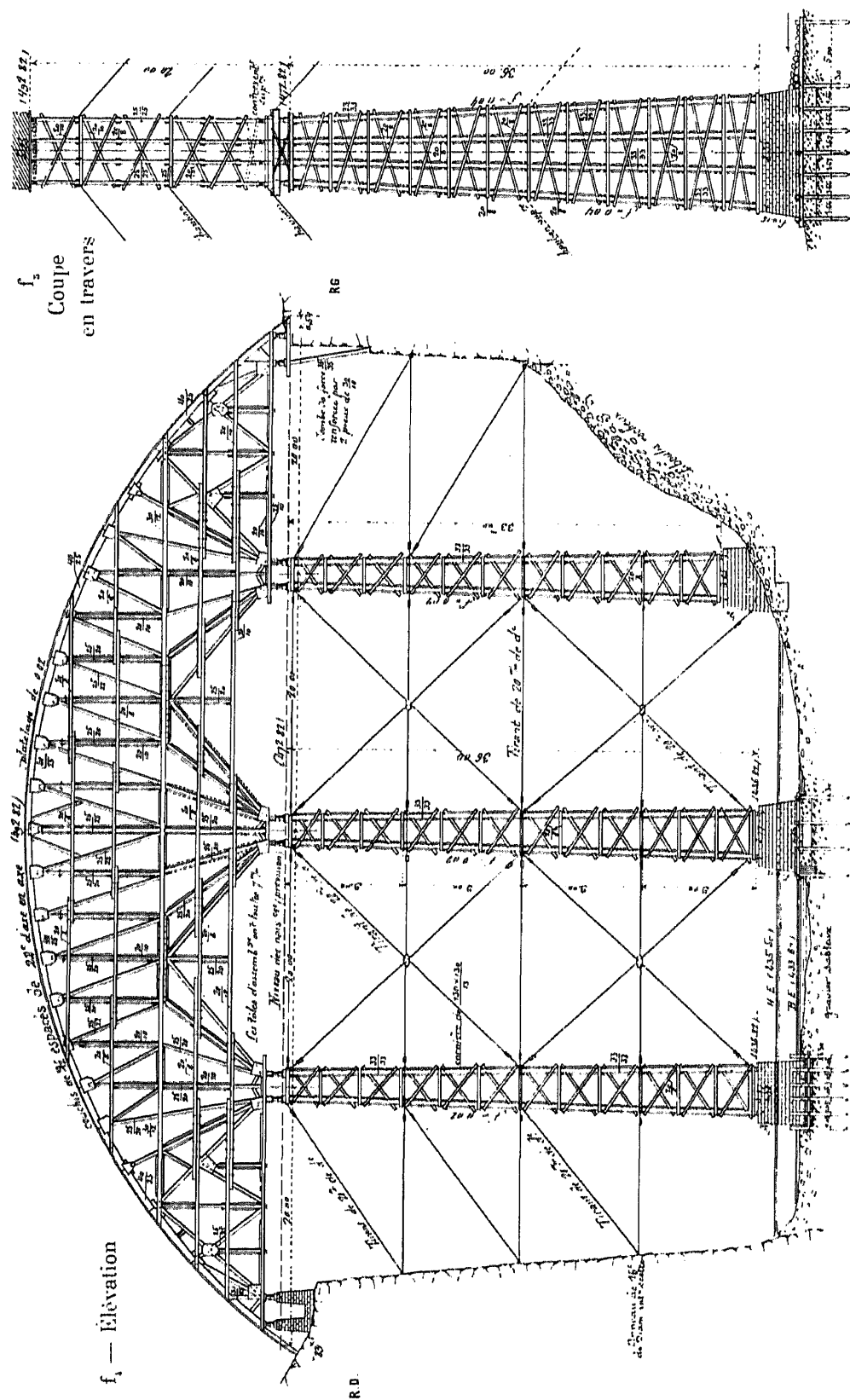
 f_7 — Ensemble — 7mm5

f_8 — Détail — 3^{em}



Le cintre était tenu par 8 haubans, munis de tendeurs, amarrés au rocher (f_1). Dans les assemblages, les abouts des pièces étaient protégés par une tôle de 1 mm (S_3).

Cintre — 2mm (S₂)



B. Calcul — Les pièces ont été calculées³ pour supporter le poids du premier rouleau.

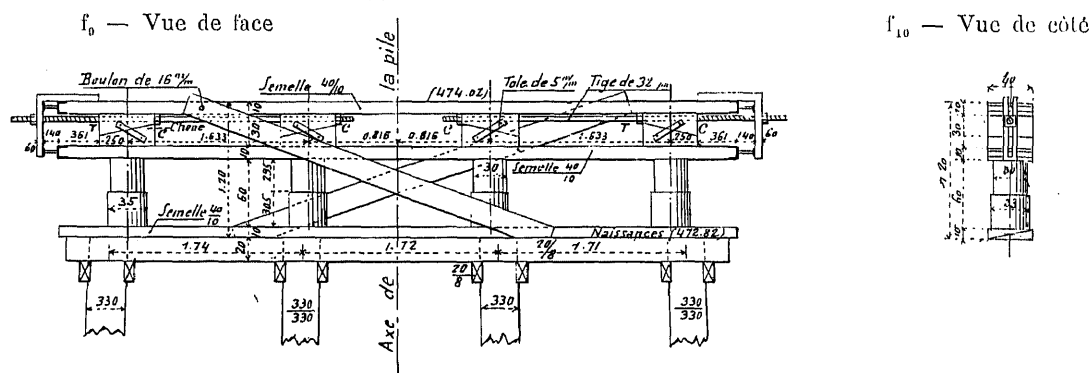
Voici les efforts maxima en $\text{kg}/\overline{0^m01^2}$ (S_0) :

		Pour la charge	
Voici les efforts maxima en $\text{kg}/\sqrt{0^m01^2}$ (S_a) :		du premier rouleau	de la voûte entière
Couchis.....		77 ^k	141 ^k
Vaux.....		66	138
Pièces de l'étage	{ supérieur.....	20	38
	{ inférieur.....	35	64
Piles	{ poteaux, sans tenir compte des ferrures (S_a)	66	84
(avec vent horizontal	{ moises.....	32	37
de 250* par m.q. de surface	{ croisillons.....	37	42
verticale pressée)			

C. Appareils de décintrement. — Boîtes à sable et coins. — Le sable, grillé, était garanti de l'humidité par une corde goudronnée enroulée autour du piston, et par un chapeau en tôle (S_0).

Pour augmenter au-delà de 20^m la course des boîtes à sable au décintrement, on avait disposé, au-dessus, les coins C, commandés par les tiges filetées T (f_0 , f_{10}) : ils n'ont pas servi (S_3).

Appareil de décintrement — 1^m5



D. Mise en place. — Le cintre a été mis en place en 110 jours, par 5 charpentiers, 5 manœuvres, 2 mécaniciens, 1 chef de chantier (S_0).

Un transporteur électrique à câble a monté le cintre, et plus tard transporté les matériaux⁴.

4. Mouvements du cintre avant la construction de la voûte. — En février 1909, avant qu'il eut été chargé des matériaux de la voûte, un ouragan le fit tourner autour de son appui rive gauche, sur les semelles des boîtes à sable, de 32^m à l'appui rive droite, 15^m à la pile rive droite, 5^m à la pile centrale.

On le remit en place en tendant les haubans amont (S_2).

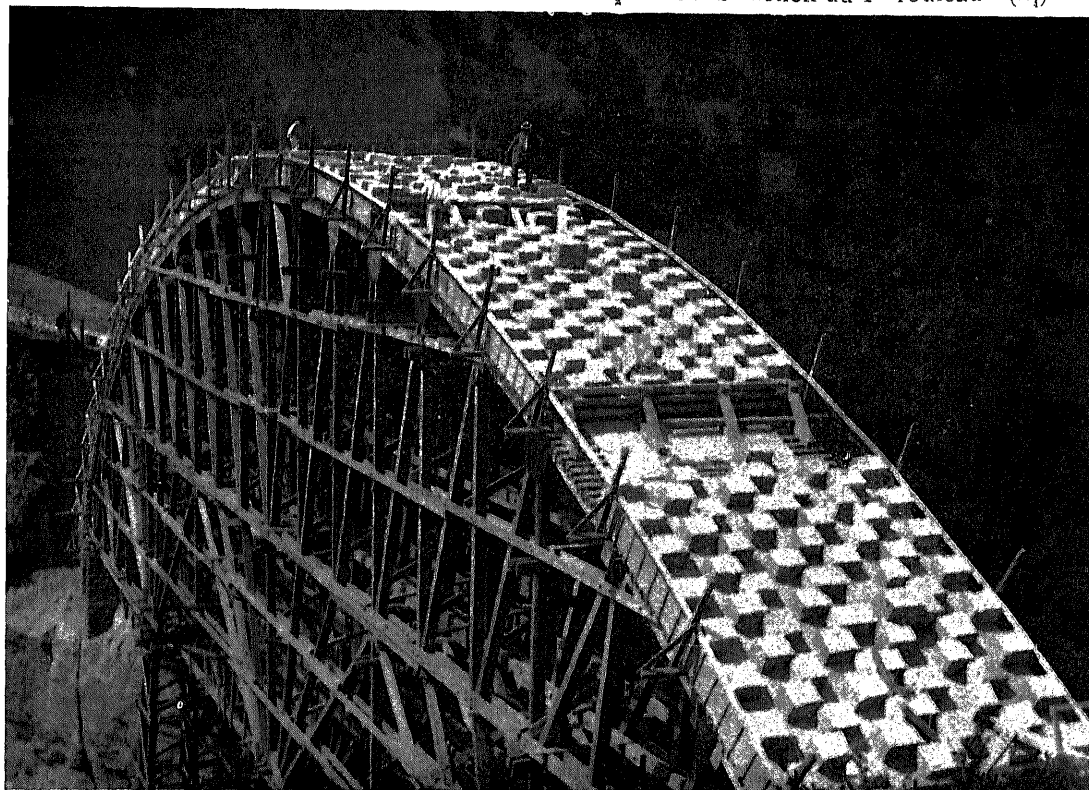
3. — avec les formules données aux Annales des Ponts et Chaussées, octobre 1886, p. 503 et suivantes: « Construction des ponts du Castelet, de Lavaur et Antoinette », M. Séjourné (S_3).

4. — Il a fait alors au maximum, en 11 heures, 145 transports de 800^k.

5. Exécution de la grande voûte. — *A. - Division en rouleaux.*
Elle a été construite en 3 rouleaux :

le premier comprenait toute la douelle ; le troisième tout l'extrados ; le second, seulement la deuxième rangée de moellons aux reins.

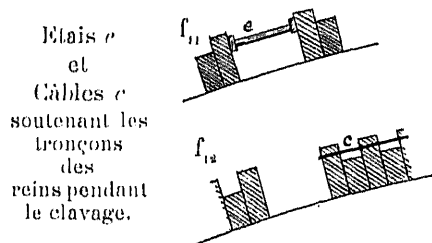
Φ_2 — Construction du 1^{er} rouleau (S_1)



Dans tous les joints, arrosés (S_0), le mortier a été fiché, puis maté (S_1).

B. - 1^{er} rouleau. — Les joints secs des retombées étaient maintenus à l'intrados par des liteaux en chêne de $10^{mm} \times 60^{mm}$; à l'extrados, par 14 cales en plomb de 14^{mm} d'épaisseur, longues de 35^{cm} , larges de 16^{cm} ; on bourrait l'intervalle entre ces cales avec de l'étoffe goudronnée (S_2).

Les libages de douelle se découpent, non seulement par assise, mais aussi dans la même assise (Φ_2). Il est alors difficile de bien poser, et surtout de bien maçonner le queutage (S_3).



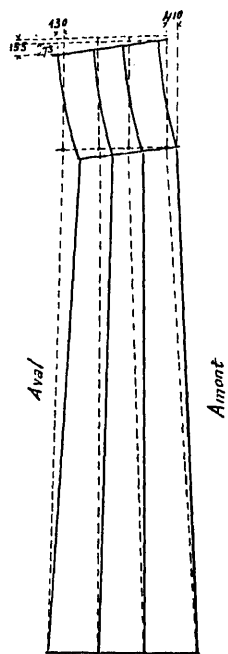
C. - Clavages (S_4). — On clava, des reins vers la clef, et on termina aux retombées.

Pendant le clavage aux reins, on soutenait les tronçons supérieurs par des étais e (f_{11}), ou on les retenait par des câbles c (f_{12}).

Le mortier était fiché, puis énergiquement maté à la spatule, à partir des têtes.

6. Mouvements du cintre pendant la construction de la voûte.

A. 1^{er} rouleau (23 juin - 25 juillet 1909) (S₁). — Pendant le chargement et la construction du premier rouleau, le haut des piles du cintre s'inclina vers l'aval, le sommet du cintre vers l'aval (f_{12}).
 La voûte suivit. Le 23 juillet, sa tête aval avait une flèche en plan de 70^{mm} (S^{''}).
 On observa ce jour-là 4 très minces fissures aux reins, deux de chaque côté.



La plus importante « avait l'épaisseur d'une fine « aiguille » (S₁). On refouilla le joint, et on le remplit d'un coulis de ciment.

Les autres, à peine perceptibles, disparurent quelques jours après le clavage.

On ajouta au cintre des contreventements et des haubans, indiqués en pointillé sur f_1 et f_2 .

On travailla jour et nuit pour claver promptement le premier rouleau.

Dès qu'il fut clavé, le mouvement en plan s'arrêta : la flèche de la tête aval était alors de 130^{mm} (f_{13}).

B. 2^e rouleau (25 juillet - 11 août 1909). — Pendant deux jours, les tassements continuèrent, un peu plus forts à l'aval qu'à l'amont.

Voici les tassements observés pendant la construction (S₁) :

Dates (1909)		Charge en tonnes	Tassement en mm de la clef		Différence de tassement aval - amont
			à l'amont	à l'aval	
Mai	22	0	0	0	0
	28	13	6 ^{mm}	4 ^{mm}	2 ^{mm}
Juin	2	40	9	13	4
	7	48	9	13	4
	15	170	17	21	4
	21	180	22	28	6
Juillet	23	230	23	30	7
	15	705	36	45	9
	20	810	42	63	21
	24	810	69	108	39
Juillet	25	1296	70	132	62
	27		75	145	69
Août	21		82	155	73
			82	155	73

7. Décintrement. — On enleva le sable par hauteurs de 12^{mm}. Le cintre se détacha vers 40^{mm}.

On constata, avec l'appareil amplificateur Rabut, un tassement de $0^{mm}2$ à $0^{mm}4$ à la clef.⁵

8. Dates (S_b).

Fouilles.....	mai - juin 1908
Montage du cintre.....	1 ^{er} sept. 1908 - 16 janvier 1909
Grande voûte {	
Construction.....	18 mai - 31 août 1909
Décintrement.....	6 novembre 1909
Rejointoiement.....	16 mai - 15 juillet 1910
Achèvement des travaux.....	fin septembre 1910

Le 21 janvier 1910, une crue extraordinaire, charriant des arbres, emporta le cintre. On remboursa 21.000^f à l'entreprise.

9. Quantités et Dépenses (S₃).

9. Quantités et Dépenses (S _n).		Prix de revient						
		Quantités	des fournitures			de la main-d'œuvre		de l'ensemble
			à l'unité	par nature de matériaux	par parties d'ouvrage	par nature de matériaux	par parties d'ouvrage	
Travaux préparatoires (installa- tion, outillage).....				39.815 ⁰⁰		0.923 ²³	49.738 ²³	
Grand et petits cintres	Fouilles, pilotis, ma- çonnerie.....		5.758 ⁵³		8.240 ⁷¹			
	Bois... { Cintres.....	568 ^{me} 42	60 ^f	37.005 ²⁰				
	Passerelle de service	70 ^{me}	50 ^f		23.560 ⁰⁰			
	Fers.....	42.595 ^k	0 ⁰ 3041 ^f	23.375 ⁸⁷				
				66.739 ⁰⁰		31.801 ³¹	98.540 ⁰¹	
Grande voûte de mortier	Bandeaux.....	232 ^{me} 830	68 ^f	15.832 ⁴⁴				
	Pierre { Douelle et quercu- lage.....	761 ^{me} 175	55 ^f	40.955 ³¹				
	Transport.....			8.302 ¹²				
	Sable (trié et lavé)....	130 ^{me}	1 ^f	130 ^f				
	Ciment.....	77 ^T 7	52 ^f	4.040 ⁴⁰				
	Divers.....			3.153 ⁷⁰				
				72.413 ⁹⁷		26.499 ⁴⁴	98.913 ⁴¹	
Maçonnerie et remplissage au- dessus de la grande voûte...				43.366 ⁷⁴		19.842 ⁸³	63.209 ⁵⁷	
Rejointoiements.....				1.382 ^f		4.317 ¹⁶	5.699 ¹⁶	
Garde-corps en fonte	Panneaux.....	26.500 ^k	0 ^f 35	9.275 ^f				
	Accessoires....			440 ^f				
				9.715 ^f		2.611 ⁰⁸	12.326 ⁰⁸	
Murs de soutènement et abords				12.647 ⁰⁰		10.312 ⁸⁶	22.960 ⁴⁶	
Travaux divers.....						3.562 ¹⁵	3.562 ¹⁵	
Totaux....				246.079 ⁰¹		108.870 ⁰⁶	354.949 ⁰⁷	

5. — Annales des Ponts et Chaussées, 1910-III, p. 191 à 193 : « Notice sur les Travaux de construction « du pont de Montanges », par M. F. Lefort, Ingénieur des Ponts et Chaussées.

6. — Les 11 cintres des 11 voûtes d'évidement, — faites ensemble pour gagner du temps, — ont été payés au prix du cintre de la grande voûte : 115' le mètre cube, en tout 5106' (S₆).

7. — Non compris 21.000' remboursés à l'entreprise pour perte du cintre.

10. Personnel (S₄).*Projet :*

M. Picard, Ingénieur en chef des Ponts et Chaussées ;
 M. Dor, Agent-Voyer en chef de l'Ain ;
 M. Clermidy, Agent-Voyer principal.

Exécution :

M. Picard ;
 M. Dor ;
 M. Vallier, Ingénieur des Ponts et Chaussées.

Entrepreneur : M. Petit, à Bellegarde.

SOURCES :

S₁. — Dessins d'exécution (S'₁) et renseignements (S''₁) qu'a bien voulu me communiquer M. Vallier.

S₂. — Renseignements gracieusement donnés par M. Picard.

S₃. — L'Ingénieur-Constructeur, - 1910, - 15 mars, p. 129 à 143 ; - 15 avril, p. 177 à 207, Pl. 1 : « *Pont du Moulin des Pierres, sur la Valserine* », M. A. Reynaud, Chef de service à la construction du chemin de fer électrique de Bellegarde à Chézery.

S₄. — Ce que j'ai vu — juillet 1909.

S₅. — Annales des Ponts et Chaussées, 1911 - IV, p. 101 à 203, Pl. 11 à 14 : « *Notice sur la construction du Pont de Montanges* », M. Picard, Ingénieur en chef des Ponts et Chaussées.

Cette notice était achevée avec les sources S₁ à S₄, quand a paru S₅, qui a permis de la compléter très utilement.

S₆. — L'Ingénieur-Constructeur, 15 octobre 1912, p. 485 à 516. — « *Pont du Moulin des Pierres, sur la Valserine* », M. A. Reynaud (*Suite et fin de S₄*).

VOÛTES INARTICULÉES EN ARC ASSEZ SURBAISSÉ ¹

PONTS A UNE SEULE GRANDE ARCHE
SOUS CONDUITE D'EAU
(AQUEDUCS)

Série $\overset{\text{arc}}{\mathbf{A}}_{\text{aq}} (> 40^{\text{m}})$ ²

Voir Préliminaires, Tome III, p. 3 et 4 :

1. — pour la définition des arcs « assez surbaissés ».

2. — pour le sens de ce symbole.

PONT A UNE SEULE GRANDE ARCHE SOUS CONDUITE D'EAU

PROJET								
PONT	ENSEMBLE		GRANDE VOÛTE				1° ÉVIDEMENT DES TYMPANS 2° DÉCORATION DES TÊTES	
	Longueur de l'ouvrage	Largeur entre tympans sous la plinthe	INTRADOS Portée Montée Surbaissement Rayon	ÉPAISSEURS		MATÉRIAUX Mortier Poids, pour une tonne de sable, de chaux ou de ciment		PRESSIONS en kg/(m ²) ² Hypothèse adoptée Surcharges supposées
	Déclivité			Corps	Têtes			
Date	Hauteur maxima de l'ouvrage au-dessus du sol ou de l'étiage	Fruit des tympans	Clef Retombées	Clef Retombées				
Symbole	1	2	3	4	5	6	7	8
de Cabin-John États-Unis 1857-1864 A ¹ aq (≥ 40m) ¹	137 ^m » 27 ^m	6 ^m 10 Pas de fruit	Arc de cercle { 67 ^m 10 17 ^m 17 1/3,84 = 0,260 40 ^m 878	{ 1 ^m 27 sous la conduite d'eau 2 ^m 90 en dehors 6 ^m 10	{ 1 ^m 27 1 ^m 88	1 ^{er} rouleau : (voir col. 15) Granit Lits de 3 ^m 2 ^e rouleau : Grès	1° 4 voûtes transversales cachées, en plein cintre 2° »	

1 Pour le sens de ces abréviations, voir Avertissement, Tome III, page II, n° 6.

(AQUEDUCS)

SÉRIE \hat{A}^1 aq ($\geq 40^m$)

TABLEAU SYNOPTIQUE

EXÉCUTION										CUBE DE MAÇONNERIE A MORTIER	
GRANDE VOÛTE										Q	
FONDATEMENTS	CINTRE					MODE DE CONSTRUCTION	DÉCINTREMENT État d'avancement du Pont Temps entre le dernier clavage et le décintrement Date	TASSEMENTS DE LA CLEF sur cintre t_c au décin- trement t_v après t_v	DÉPENSE		
	FERMES		Cube de bois Poids de fer Dépenses	Totaux	par mq de douelle ²				Totaux		
	Type	Nombre							et		
	Matière	Épaisseur Écartement d'axe en axe Surhaussement							de surface utile S_p^3 de volume « utile » W^4 .		
Nature du sol Profondeur sous l'étiage Pressions sur le sol en kg/cm ² Procédé	Appareils de décintrement								par unité		
10	11	12	13	14	15	16	17		18		
Rocher	Fixe	4			2 rouleaux indépendants						
"	"	"									
"	Sapin	"									
"	"	"									
On régularise le rocher avec du béton	"	"									

2. Pour le calcul de la surface de douelle, voir Avertissement, Tome III, p. III, n° 7 — A. 3. S_p = Longueur (col. 2) \times Largeur entre parapets (col. 3) — C'est la surface offerte à la circulation
 4. W = Surface vue de l'élévation \times Largeur entre parapets. 5. W' = Surface de l'élévation au-dessus des fondations \times Largeur entre parapets.
 Pour S_p , W , W' , voir Avertissement, Tome III, p. III, n° 7 — B.

VOÛTES INARTICULÉES EN ARC ASSEZ SURBAISSÉ
PONT A UNE SEULE GRANDE ARCHE
SOUS CONDUITE D'EAU (AQUEDUCS)

SÉRIE \widehat{A}^1 aq ($\geq 40^m$)

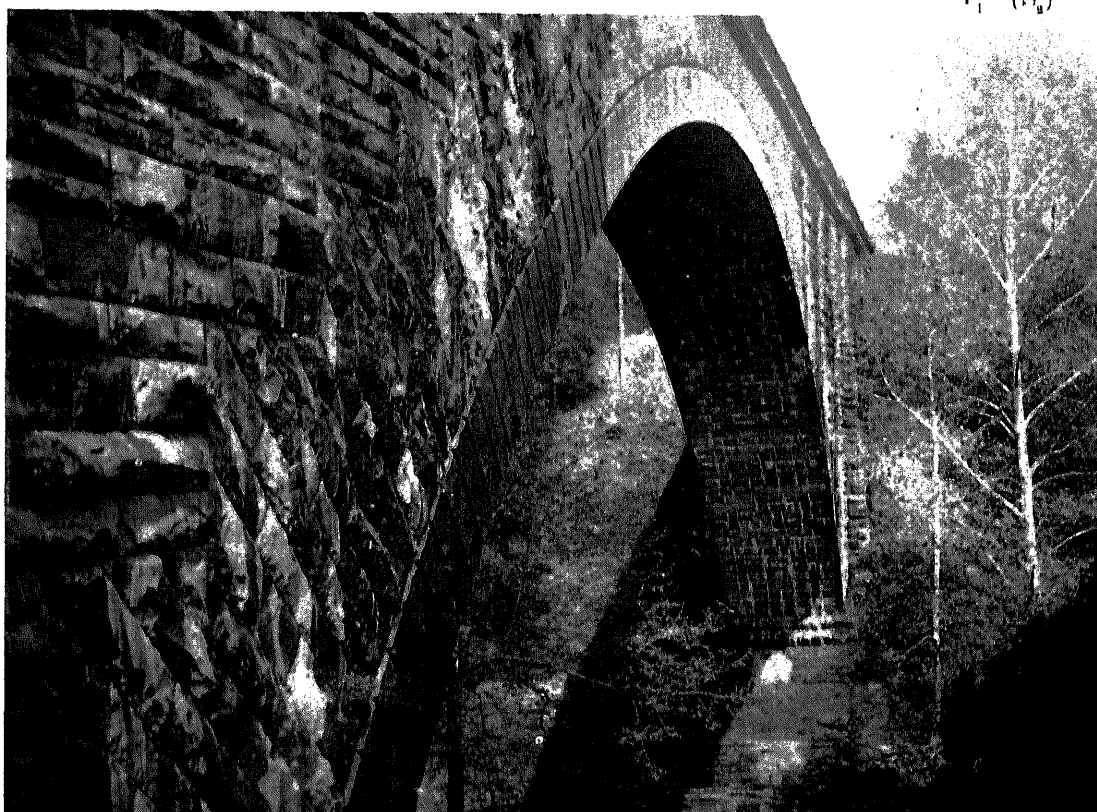
MONOGRAPHIES

PONT DE CABIN-JOHN, SUR LE CABIN-JOHN CREEK,
PRÈS DE WASHINGTON¹ (ÉTATS-UNIS)

1857-1864

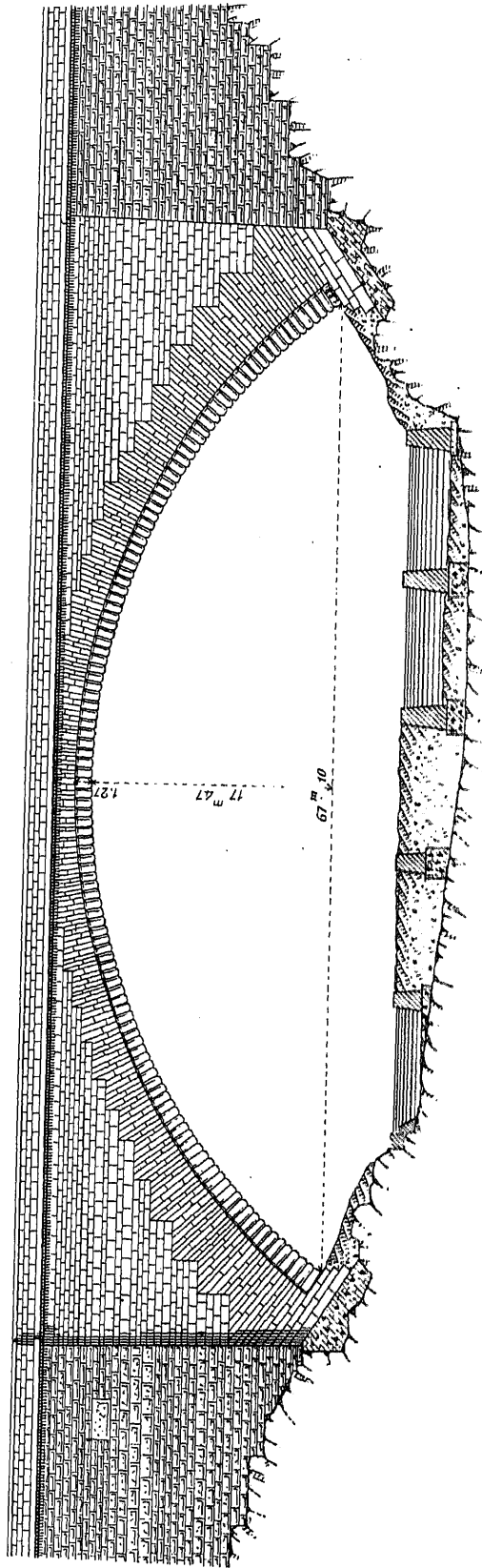
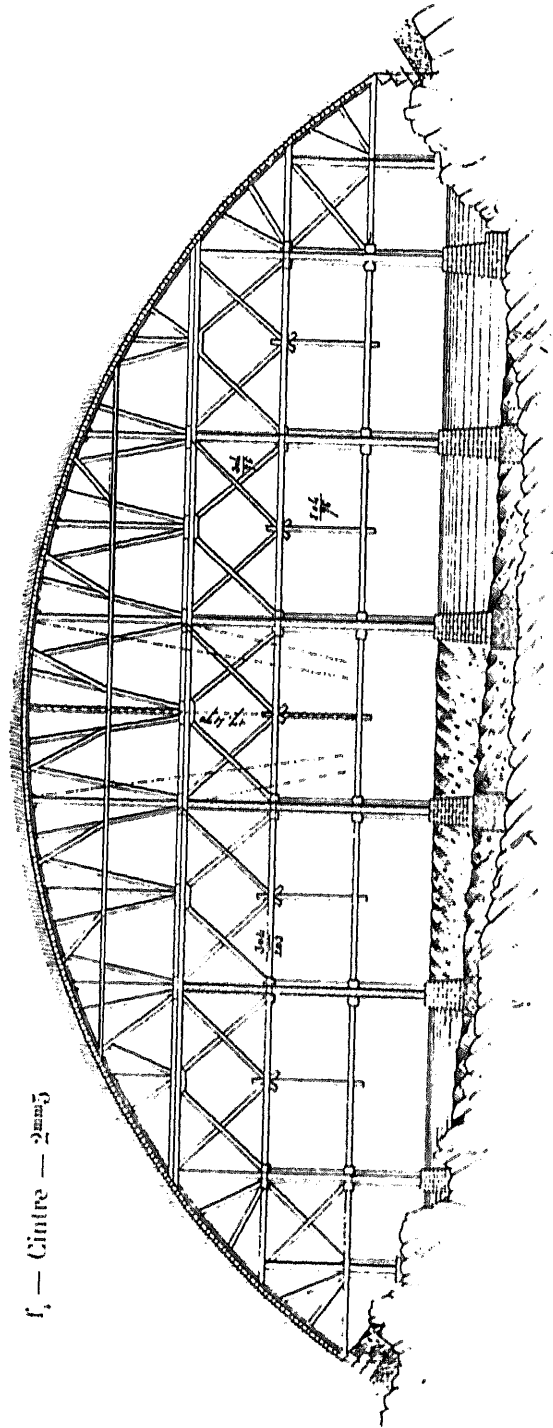
\widehat{A}^1 aq ($\geq 40^m$) I

Φ_1 (S_u)



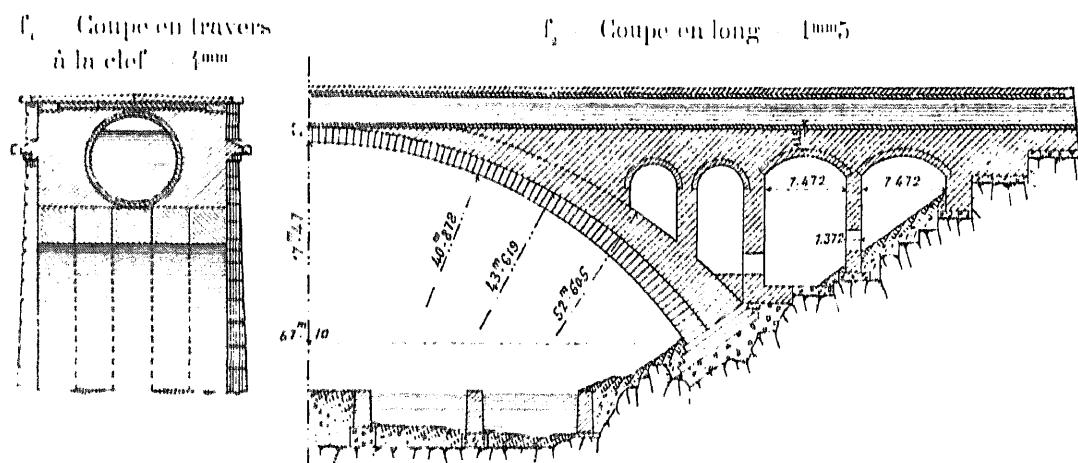
1. Conduite d'eau sur l'ouvrage. — Le pont porte une conduite circulaire (d_1), dans laquelle passe l'eau d'alimentation de Washington, prise au Potomac.

1. — A 10^m environ.

f_1 — Élévation — 2^{mm} f_1 — Cintre — 2^{mm}

2. Voûte en deux rouleaux indépendants.

Le deuxième rouleau est échancré au cerveau par la conduite d'eau, laquelle, à la clef, s'appuie sur le premier.



3. Fondations. — On a régularisé la surface du rocher avec du béton, sur lequel on a placé un large sommier fait de 3 assises de granit.

4. Décintrement. — La voûte, achevée en hiver, se détacha d'elle-même du cintre, l'été suivant.²

5. Ingénieur. — Général Meigs.³

2. — Zentralblatt der Bauverwaltung, 5, 8, 19 septembre 1906, p. 455 à 458, 462 à 465, 483 à 486 : « Fortschritte im Bau weitgesprengter flacher massiger Brücken, vom Landesbaurat Leibbrand in » Signierungen ».

3. — Renseignement gracieusement communiqué par M. Malverd A. Howe, Directeur du « Rose Polytechnic Institute » à Terre Haute (Indiana).

SOURCES :

S₁. — Collection des dessins distribués aux Éléves de l'École des Ponts et Chaussées, Série 3, section A, Pl. 9 et 10 : « Pont de Cabin-John ». — Légendes explicatives des Planches, Tome II, p. 27 et 28.

S₂. — Ce que j'ai vu — mai 1905.

VOÛTES INARTICULÉES EN ARC ASSEZ SURBAISSÉ ¹

PONTS A UNE SEULE GRANDE ARCHE
SOUS CHEMIN DE FER A VOIE NORMALE

Série  ¹ F¹¹ ($\geq 40^m$) ²

Voir Préliminaires, Tome III, p. 3 et 4 :
1. pour la définition des arcs « assez surbaissés »,
2. pour le sens de ce symbole.

PONT A UNE SEULE GRANDE ARCHE SOUS CHEMIN DE FER

PONT	PROJET								1° ÉVIDEMENT DES TYMPANS					
	ENSEMBLE		GRANDE VOÛTE											
	Longueur <i>entre abouts des parapets</i>	Largeurs <i>entre parapets entre tympans sous la plinthe</i>	INTRADOS	ÉPAISSEURS		MATÉRIAUX	PRESSIONS							
Date	Déclivités	Hauteur maxima du rail au-dessus du sol ou de l'étiage	Fruit des tympans	Revanche du rail sur l'extrados	Portée	Montée	Surbaissement	Rayon	CORPS	TÊTES	Mortier	<i>Poids, pour 1m³ de sable, de chaux ou de ciment</i>	<i>Hypothèse adoptée</i>	Surcharges supposées
Symbole	1	2	3	4	5	6	7	8	9					
de Maretta $\widehat{A}^1 Fr (\geq 40m)^1$ de Prarolo $\widehat{A}^1 Fr (\geq 40m)^2$ <i>Italie</i> 1851-1852	77 ^m 8 ^{mm} 28 ^m	{ 8 ^m 00 " } Fruit $\frac{1}{20}$ 1 ^m 20	Arche de cercle aux têtes : 42 ^m 92 sur l'axe : 40 ^m 00 10 ^m 00 $\frac{1}{4} = 0,25$ 25 ^m	{ 1 ^m 80 3 ^m 10 }	{ 1 ^m 80 " }	Briques s'écraçant à 54 ^k 71 (paraissant bien conservées) Dimensions : Longueur : 26 ^{cm} Largeur : 11 ^{cm} Épaisseur : 6 ^{cm} 5, 6 ^{cm} 7, 7 ^{cm} Briques spéciales en douelle Lits de mortier de 6 ^{cm} au plus	Pression maxima à la clef : 12 ^k 51 Méry 9000 ^k par m. c ²	1° Pas d'évidement 2° "						
d' Isola del Cantone (Pont en amont et Pont en aval) <i>Italie</i> 1852 $\widehat{A}^1 Fr (\geq 40m)^3$ et 4			{ 40 ^m 00 " " }			Briques								
de Calcio <i>Italie</i> 1877-1878 $\widehat{A}^1 Fr (\geq 40m)^5$	121 ^m 77 6 ^{mm} 15 ^m 75 fond du lit	{ 8 ^m 00 7 ^m 50 } Pas de fruit (0 ^m 30)	Arche de cercle aux têtes : 42 ^m 00 11 ^m 90 $\frac{1}{3,520} = 0,283$ 24 ^m 479	{ 1 ^m 40 2 ^m 38 }	{ 1 ^m 00 1 ^m 60 }	Briques rouges de Crémone s'écraçant à 335 ^k Dimensions : 28 ^{cm} x 11 ^{cm} x 6 ^{cm} Chaux hydraulique de Paluzzolo - 150 ^k	Pression maxima : Clef : 12 ^k Retombées : 23 ^k " 8000 ^k par m. c ²	1° Pas d'évidement 2° Bandeaux 8 assises en saillie, puis en retraite. Cadres dans les tympans Angles des piliers à gros bossage						
du Gour-Noir <i>France</i> 1888-1889 $\widehat{A}^1 Fr (\geq 40m)^6$	108 ^m 46 9 ^{mm} RG RD 20 ^m 20	{ 8 ^m 00 8 ^m 60 } Fruit $\frac{1}{20}$ 1 ^m 06	Arche de cercle au niveau des fondations : 62 ^m 00 aux retombées : 60 ^m 00 16 ^m 10 $\frac{1}{3,726} = 0,268$ 36 ^m	{ 1 ^m 70 4 ^m 20 }	{ 1 ^m 70 3 ^m 70 " 50 "	Bandeaux et Douelle : P.T. Bossages de 25 à 30 Quentage : MEY Granit de Cabrol L'archivolte est en granit de Lonzac Au-dessus de 18 ^m 16 ^m : Ciment artificiel Vicat n° 1 - 650 ^k Au-dessous : Ciment - 800 ^k	A la clef : Pression : max. 33 ^k 2 moy. 16 ^k 6 Méry "	1° 6 voûtes transversales vues, en plein cintre de 4-30, sur piles de 0-15 2° Archivolte						

1 — Pour le sens de ces abréviations, voir Avertissement, Tome III, page II, n° 6.

A VOIE NORMALE

SÉRIE \hat{A}^1 $P^r (\geq 40^m)$

TABLEAU SYNOPTIQUE

EXÉCUTION										CUBE DE MAÇONNERIE A MORTIER	
GRANDE VOÛTE										Q	
CINTRE										DÉPENSE	
FERMES										D	
Cube de bois Poids de fer Dépenses										Totaux	
Type Matière Appareils de décintrement										et	
Nombre Épaisseur Écartement d'axe en axe Surhaussement										par unité	
Totaux										de surface utile S_p^2	
par mq de douelle ²										de volume « utile » W ³	
MODE DE CONSTRUCTION										18	
DÉCINTREMENT État d'avancement du pont Temps entre le dernier clavage et le décintrement Date										Marella	
TASSEMENTS DE LA CLEF sur cintre t_c au décin- trement après t_v										Marella	
10										Q = 17078 ^{mc}	
11										Q : S_p = 27 ^{mc} 72	
12										Q : W = 1 ^{mc} 10	
13										D = 450 502 ^f	
14										D : S_p = 731 ^f 3	
15										D : W = 27 ^f 2	
16										D : Q = 26 ^f 4	
17										Prarolo — un peu moins cher	
Marella											
Roc vif - 3 ^m											
Prarolo											
roc : Roc											
roc : Argile compressible											
Grillage en chêne et grand empatement											
Retroussé sur 40 ^m											
Type Pont de Scully											
Chêne (Mosses horizontales en moelles)											
250 ^{mm}											
" (pour chaque pont)											
A l'un des ponts :											
30 jours											
" 35 ^{mm}											
A l'autre :											
60 jours											
" 50 ^{mm}											
" 80 ^{mm}											
32 jours											
" 48 ^{mm}											
D = 300 000 Lires											
environ											
D : S_p = 307 ^f 9											
D : W = 27 ^f 5											
D = 6717 ^{mc}											
Q : S_p = 7 ^{mc} 69											
Q : W = 0 ^{mc} 45											
D = 334 331 ^f											
D : S_p = 383 ^f 2											
D : W = 22 ^f 3											
D : Q = 49 ^f 8											
A partir de 48 ^m 16 ^f de la clef :											
3 rouleaux.											
Au 1 ^{er} roul. :											
8 tronçons, 21 clavages.											
Aux 2 ^e et 3 ^e roul. :											
8 tronçons, 5 clavages.											
Cerveau de la voûte (sur 88 ^m) chargé de 175 ^m de moellons											
52 jours											
28 septembre											
Clef : 1 ^{mm} 3											
A 15 ^m : 0 ^{mm} 8											
A 35 ^m : 0 ^{mm} 3											

2. Pour le calcul de la surface de douelle, voir Avertissement, Tome III, p. III, n° 7 — A. 3. S_p = Longueur (col. 2) × Largeur entre parapets (col. 3) — C'est la surface offerte à la circulation.4. W = Surface vue de l'élévation × Largeur entre parapets. 5. W' = Surface de l'élévation au-dessus des fondations × Largeur entre parapets.Pour S_p , W , W' , voir Avertissement, Tome III, p. III, n° 7 — B.

PONT A UNE SEULE GRANDE ARCHE SOUS CHEMIN DE FER

PONT	PROJET							1°
	GRANDE VOÛTE							
	ENSEMBLE	INTRADOS	ÉPAISSEURS		MATÉRIAUX	PRESSIONS	ÉVIDEMENT	
Date	Longueur <i>entre abouts des parapets</i>	Largeurs <i>entre parapets entre tympans sous la plinthe</i>	Portée	CORPS	TÊTES	Mortier	en kg/m ²	DES
Symbole	Déclivités	Fruit des tympans	Montée	Clef	Clef	Poids, <i>pour une de sable, de chaux ou de ciment</i>	Hypothèse adoptée	TYMPAN
1	2	3	Surbaissément	Retombées	Retom- bées	7	8	2°
		Revanche du rail sur l'extrados	Rayon				supposés	DES TÊTES
de Pouch France 1890 \widehat{A}^1 Fr (≥ 40 m)7	56 ^m 03 10 ^{mm} 15 ^m 42	{ 8 ^m 90 (voie en courbe de 600 ^m de rayon) 8 ^m 30 Fruit : 1/33 (0m)2	Arc de cercle 47 ^m 83 13 ^m 00 $\frac{1}{3,68} = 0,272$ 28 ^m 51	1 ^m 50 2 ^m 627	1 ^m 30 2 ^m 627	Bandeaux et Douelle : PT Queutage : MEV Granit Chaux du Teit 350 ^k		1° 4 voûte transvers vues, en plein ci de 4 ^m 90 sur pile de 1 ^m 1
de Freyssinet France 1890-1891 \widehat{A}^1 Fr (≥ 40 m)8	51 ^m 79 10 ^{mm} 13 ^m 16	{ 8 ^m 25 7 ^m 65 Fruit : 1/33 (0m)2	Arc de cercle 45 ^m 00 11 ^m 00 $\frac{1}{4,09} = 0,245$ 28 ^m 51	1 ^m 50 2 ^m 15	1 ^m 30 2 ^m 15	Bandeaux et Douelle : PT Queutage : MEV Granit Ciment de Boulogne 500 ^k		1° 4 voûte transvers vues, en plein ci de 4 ^m 5 sur pile de 1 ^m
de Jaremcze Autriche 1893-1894 \widehat{A}^1 Fr (≥ 40 m)9	185 ^m 11 ^{mm} 27 ^m	{ 4 ^m 50 4 ^m 50 Fruit : 1/20 1 ^m 40	Arc de cercle 65 ^m 00 17 ^m 90 $\frac{1}{3,63} = 0,275$ 38 ^m 451	2 ^m 10 3 ^m 10	2 ^m 10 3 ^m 10	PT ¹ Grès (1800 à 11800) Aux voussoirs du queutage, on acceptait un démaigrissement de 1/8 de la surface de lit. Ciment Portland de Szerakawa (Galicie) (0m) 285 Joints de 18 ^{mm} au moins	Pression maxima (sans surcharge) 2715 Arc élastique "	1° 8 voû transver vues, en plein de 3 ^m
de Jamna Autriche 1893-1894 \widehat{A}^1 Fr (≥ 40 m)10	121 ^m 80 11 ^{mm} 19 ^m 19	{ 4 ^m 50 " Fruit : 1/20 1 ^m 45	Arc de cercle 48 ^m 00 12 ^m 00 $\frac{1}{4} = 0,25$ 30 ^m	1 ^m 70 2 ^m 60	1 ^m 70 2 ^m 60	PT ¹ Grès En douelle, mêmes épaisseurs d'assises qu'aux bandeaux Aux voussoirs du queutage, on acceptait un démaigrissement de 1/8 de la surface de lit. Ciment (0m) 285	Pression maxima (sans surcharge) 2514 Arc élastique "	1° 6 voû transve vue en plein de 3 ^m
de Worochta Autriche 1893-1894 \widehat{A}^1 Fr (≥ 40 m)11	" 12 ^{mm} 16 ^m 20	{ 4 ^m 50 " Fruit : 1/20 "	Arc de cercle 40 ^m 00 10 ^m 00 $\frac{1}{4} = 0,25$ 25 ^m	1 ^m 40 2 ^m 20	1 ^m 40 2 ^m 20	PT ¹ Grès En douelle, mêmes épaisseurs d'assises qu'aux bandeaux Aux voussoirs du queutage, on acceptait un démaigrissement de 1/8 de la surface de lit. Ciment (0m) 285	Pression maxima (sans surcharge) 2114 Arc élastique "	1° 6 vo transve vue en plein de :

1. Pour le sens de ces abréviations, voir Avertissement, Tome III, p. II, n° 6.

A VOIE NORMALE

SÉRIE \widehat{A}^1 1^{re} ($\geq 40m$)

TABLEAU SYNOPTIQUE (Suite)

EXÉCUTION										CUBE DE MAÇONNERIE A MORTIER	
GRANDE VOÛTE										Q	
CINTRE										DÉPENSE	
FONDATIONS										D	
Nature du sol	Type	Nombre	CUBE de bois		MODE	DÉCINTREMENT	TASSEMENTS	DE LA CLEF		Totaux	
Profondeur sous l'étiage	Matière	Épaisseur	Poids de fer		DE	État d'avancement du pont	sur cintre t_c				
Pressions sur le sol en kg/cm ²	Appareils de décintrement	Écartement d'axe en axe	Dépenses		CONSTRUCTION	Temps entre le dernier chargement et le décintrement	au décintrement t_v	après t_v		et	
Procédé		Surhaussement	Totaux	par mq de douelle ²		Date				par unité	
10	11	12	13	14	15	16	17			18	
Rocher très résistant - 1 ^m à - 2 ^m 50	Fixe	6			3 rouleaux.	"				Q = 4393 ^{me}	
"	Type Pont Automoteur	2,7 ^m			Aux 1 ^{er} et 2 ^e roul.	55 jours	t_v 2 ^{mm} 2			Q : S _p = 8 ^{me} 30	
"	À l'axe (40 ^m) ³	1 ^m 68			8 tronçons.					Q : W = 0 ^{me} 63	
Rocher taillé suivant le dernier lit	"	"			au 3 ^e rouleau:	4 août				D = 143866 ^f	
Surface régularisée au béton de ciment.	Boîtes à sable	"			4 tronçons.					D : S _p = 288 ^f 4	
										D : W = 20 ^f 6	
										D : Q = 32 ^f 8	
Rocher très résistant - 1 ^m à - 2 ^m 50					2 rouleaux.	"				Q = 4336 ^{me}	
"					A chaque rouleau,	137 jours				Q : S _p = 10 ^{me} 03	
"					8 tronçons.	6 avril				Q : W = 0 ^{me} 82	
"										D = 137418 ^f	
										D : S _p = 317 ^f 9	
										D : W = 26 ^f 1	
										D : Q = 31 ^f 7	
Rocher très	Fixe	3			3 rouleaux.	Tympan achevés	t_c 115 ^{mm}				
"	"	"			Au 1 ^{er} rouleau:	"	$t_v + t_v''$ 60 ^{mm}				
"	"	"			8 tronçons.	"					
"	"	"			Aux 3 rouleaux,	Août					
A sec	Cours	120 ^{mm}			moellons posés à sec, puis joints matés.						
Rocher	Fixe				2 rouleaux.	Tympan achevés	t_c 105 ^{mm}				
					Au 1 ^{er} rouleau:						
					6 tronçons						
Rocher Grès					A pleine épaisseur.						

2. Pour le calcul de la surface de douelle, voir Avertissement, Tome III, p. III, n° 7 - A. 3. S_p = Longueur (col. 2) × Largeur entre parapets (col. 3) - C'est la surface offerte à la circulation.

4. W = Surface vue de l'élévation × Largeur entre parapets. 5. W' = Surface de l'élévation au-dessus des fondations × Largeur entre parapets

Pour S_p, W, W', voir Avertissement, Tome III, p. III, n° 7 - B.

PONT A UNE SEULE GRANDE ARCHE SOUS CHEMIN DE FER

PONT	PROJET							ÉVIDENCE DES TYMPANS 2° DÉCORATIFS DES TÊTES
	ENSEMBLE		GRANDE VOÛTE				PRESSIONS en kg (mm) ² <i>Hypothèse adoptée</i> Surcharges supposées	
	Longueur entre abouts des parapets Déclivités Hauteur maxima du rail au-dessus du sol ou de l'étiage	Largeurs (entre parapets entre tympans sous la plinthe Fruit des tympans Revanche du rail sur l'extrados	INTRADOS Portée Montée Surbaissément Rayon	ÉPAISSEURS CORPS Clef Retombées		TÊTES Clef Retombées		
Date	1	2	3	4	5	6	7	8
Symbole	1	2	3	4	5	6	7	8
sur la Gutach <i>Allemagne</i> 1899-1900 \hat{A}^1 Fr (≥ 40) 12	140 ^m 82 0 34 ^m	{ 5 ^m 00 4 ^m 20 Fruit : 1/30 1 ^m 15	Arc de cercle { 64 ^m 00 46 ^m 10 $\frac{1}{3,974} = 0,251$ 39 ^m 851	{ 2 ^m 00 2 ^m 80	{ 2 ^m 00 2 ^m 80	PT ¹ Grès des Vosges (Saverne) (400 à 600) Ciment Portland Schifferdecker 0 ^m 333 Sable de la Gutach		1° 8 voûtes transversales vues, en plein c de 4 m sur pil de 1 m 3 1 m 20, 1 m 2° »
sur le Schwändeholzobel <i>Allemagne</i> 1899-1900 \hat{A}^1 Fr (≥ 40) 13	118 ^m 93 7 ^{mm} 42 ^m	{ 5 ^m 20 (voûte en courbe de 800 ^m de rayon) 4 ^m 40 Fruit : 1/30 1 ^m 20	Arc de cercle { 57 ^m 00 44 ^m 25 $\frac{1}{4} = 0,25$ 35 ^m 625	{ 1 ^m 80 2 ^m 60	{ 1 ^m 80 2 ^m 60	PT ¹ Grès poreux, gelif. On refusa beaucoup de voûtes Ciment Portland Schifferdecker 0 ^m 333		1° 8 voûtes transversales vues en plein c de 3 m sur pil de 1 m 3 1 m 20, 1 m 2° »
Chemnitz <i>Allemagne</i> 1901-1902 \hat{A}^1 Fr (≥ 40) 14	116 ^m 10 ^{mm} 9 10 ^m 25	{ » 2 ^m 70 Fruit : 1/10 »	Arc d'anse de panier { 45 ^m 00 8 ^m 60 $\frac{1}{5,23} = 0,191$ Rayon au cerceau : 42 ^m 50	{ 1 ^m 00 »		Petits moellons Aux têtes, crêpi pouvant la pierre de taille (granit) »		
sur la Diveria <i>Italie</i> 1901-1902 \hat{A}^1 Fr (≥ 40) 15	» 22 ^{mm} 6 18 ^m	{ » 8 ^m 20 Fruit : 1/20 0 ^m 79	Arc de cercle { 40 ^m 00 40 ^m 00 $\frac{1}{4} = 0,25$ 25 ^m	{ 1 ^m 40 2 ^m 10	{ 1 ^m 40 1 ^m 10	Briques de Novare, pressées (450°) Chaux hydraulique de Palazzolo - 400°		1° Pas d'évidence 2° »
sur le Strandeelven <i>Norvège</i> 1902-1904 \hat{A}^1 Fr (≥ 40) 16	58 ^m 70 15 ^{mm} 19 ^m (sol)	{ 4 ^m 70 4 ^m 80 Fruit : 1/20 1 ^m 35	Arc d'anse de panier à 3 centres { 41 ^m 00 41 ^m 25 $\frac{1}{3,645} = 0,274$ Rayons : Cerceau : 26 ^m Reins : 21 ^m 75	{ 1 ^m 50 2 ^m 40	{ 1 ^m 50 2 ^m 40	PT ¹ grossière Gneiss (1000 à 2700°) Sur les reins, MOH ¹ à ciment Sable — 3 parties Ciment — 1 partie Joints de 25 ^{mm} 11 0 0 de mortier	Pression maxima : Clef : 20° Retombées : 35° 15 tonnes par m ²	1° Pas d'évidence 2° »

1. — Pour le sens de ces abréviations, voir Avertissement, Tome III, p. II, n° 6.

2. — Mesurée sur un dessin.

A VOIE NORMALE

SÉRIE A¹ l^r (> 40^m)

TABLEAU SYNOPTIQUE (Suite)

EXÉCUTION										CUBE DE MAÇONNERIE A MORTIER	
GRANDE VOÛTE										Q	
CINTRE										DÉPENSE	
FERMES										D	
Cintre										Totaux	
Poids de fer										par mq	
Dépenses										de douelle	
Totaux										2	
MODE										15	
DE										16	
CONSTRUCTION										17	
ÉTAT										18	
d'avancement										19	
du pont										20	
Temps entre le										21	
dernier clavage										22	
et le décintrement										23	
Date										24	
TASSEMENTS										25	
DE LA CLEF										26	
sur										27	
cintre										28	
au décin-										29	
tremement										30	
après										31	
Totaux										32	
et										33	
de surface utile S _p										34	
de volume « utile » W										35	
par unité										36	
18										37	
19										38	
20										39	
21										40	
22										41	
23										42	
24										43	
25										44	
26										45	
27										46	
28										47	
29										48	
30										49	
31										50	
32										51	
33										52	
34										53	
35										54	
36										55	
37										56	
38										57	
39										58	
40										59	
41										60	
42										61	
43										62	
44										63	
45										64	
46										65	
47										66	
48										67	
49										68	
50										69	
51										70	
52										71	
53										72	
54										73	
55										74	
56										75	
57										76	
58										77	
59										78	
60										79	
61										80	
62										81	
63										82	
64										83	
65										84	
66										85	
67										86	
68										87	
69										88	
70										89	
71										90	
72										91	
73										92	
74										93	
75										94	
76										95	
77										96	
78										97	
79										98	
80										99	
81										100	
82										101	
83										102	
84										103	
85										104	
86										105	
87										106	
88										107	
89										108	
90										109	
91										110	
92										111	
93										112	
94										113	
95										114	
96										115	
97										116	
98										117	
99										118	
100										119	
101										120	
102										121	
103										122	
104										123	
105										124	
106										125	
107										126	
108										127	
109										128	
110										129	
111										130	
112										131	
113										132	
114										133	
115										134	
116										135	
117										136	
118										137	
119										138	
120										139	
121										140	
122										141	
123										142	
124										143	
125										144	
126										145	
127										146	
128										147	
129										148	
130										149	
131										150	
132										151	
133										152	
134										153	
135										154	
136										155	
137										156	
138										157	
139										158	
140										159	
141										160	
142										161	
143										162	
144										163	
145										164	
146										165	
147										166	
148										167	
149										168	
150										169	
151										170	
152										171	
153										172	
154										173	
155										174	
156										175	
157										176	
158										177	
159										178	
160										179	
161										180	
162										181	
163										182	
164										183	
165										184	
166										185	
167										186	
168										187	
169										188	
170										189	
171										190	
172										191	
173										192	
174										193	
175										194	
176										195	
177										196	
178										197	
179										198	
180										199	
181										200	
182										201	
183										202	
184										203	
185										204	
186										205	
187										206	
188										207	
189										208	
190										209	
191										210	
192										211	
193										212	
194										213	
195										214	
196										215	
197										216	
198										217	
199										218	
200										219	
201										220	
202										221	
203										222	
204										223	
205										224	
206										225	
207										226	
208										227	
209										228	
210										229	
211										230	
212										231	
213										232	
214										233	
215										234	
216										235	
217										236	
218										237	
219										238	
220										239	
221										240	
222										241	
223										242	
224										243	
225										244	
226										245	
227										246	
228										247	
229										248	
230										249	
231										250	
232										251	
233										252	
234										253	
235										254	
236										255	
237										256	
238										257	
239										258	
240										259	
241										260	
242										261	
243										262	
244										263	
245										264	
246										265	
247										266	
248										267	
249										268	
250										269	
251										270	
252										271	
253										272	
254										273	
255										274	
256										275	
257										276	
258										277	
259										278	
260										279	
261										280	
262										281	
263										282	
264										283	
265										284	
266										285	
267										286	
268										287	
269										288	
270										289	
271										290	
272										291	
273										292	
274										293	
275										294	
276										295	
277										296	
278										297	
279										298	
280										299	
281										300	
282										301	
283										302	
284										303	
285										304	
286										305	
287										306	
288										307	
289										308	
290										309	
291										310	
292										311	
293										312	
294										313	
295										314	
296										315	
297										316	
298										317	
299										318	
300										319	
301										320	
302										321	
303										322	
304										323	
305										324	
306										325	
307										326	
308										327	
309										328	
310										329	
311										330	
312										331	
313										332	
314										333	
315										334	
316										335	
317										336	
318										337	
319										338	
320										339	
321										340	
322										341	
323										342	
324										343	
325										344	
326										345	
327										346	
328										347	
329										348	
330										349	
331										350	
332										351	
333										352	
334										353	
335										354	
336										355	
337										356	
338										357	
339										358	
340										359	
341										360	
342										361	
343										362	
344										363	
345										364	
346										365	
347										366	
348										367	
349										368	
350										369	
351										370	
352										371	
353										372	
354										373	
355										374	
356										375	
357										376	
358										377	
359										378	
360										379	
361										380	
362										381	
363										382	
364										383	
365										384	
366										385	
367										386	
368										387	
369										388	
370										389	
371										390	
372										391	
373										392	
374										393	
375										394	
376										395	
377										396	
378										397	
379										398	
380										399	
381										400	
382										401	
383										402	
384										403	
385										404	
386										405	
387										406	
388										407	
389										408	
390										409	
391										410	
392										411	
393										412	
394										413	
395										414	
396										415	
397										416	
398										417	
399										418	
400										419	
401										420	
402										421	
403										422	
404										423	
405										424	
406										425	
407										426	
408										427	
409										428	
410										429	
411										430	
412										431	
413										432	
414										433	
415										434	
416										435	
417										436	
418										437	
419										438	
420										439	
421										440	
422										441	
423										442	
424										443	
425										444	
426										445	
427										446	
428										447	
429										448	
430										449	
431										450	
432										451	
433										452	
434										453	
435										454	
436										455	
437										456	
438										457	
439										458	
440										459	
441										460	
442										461	
443										462	
444										463	
445										464	
446										465	
447										466	
448										467	
449										468	
450										469	
451										470	
452</											

PONT A UNE SEULE GRANDE ARCHE SOUS CHEMIN DE FER

PONT	PROJET								1° ÉVIDEMENTS DES TYMPANS
	ENSEMBLE		GRANDE VOÛTE						
	Longueur <i>entre abouts des parapets</i>	Largeurs <i>{ entre parapets entre tympans sous la plinthe</i>	INTRADOS Portée Montée <i>Surhaussément</i> Rayon	ÉPAISSEURS CORPS Clef <i>{ Retombées</i>		TÊTES Clef <i>{ Retom- bées</i>	MATÉRIAUX <i>Mortier</i> <i>Poids, pour 1^m de sable, de chaux ou de ciment</i>	PRESSIONS <i>en kg (mm)²</i> <i>Hypothèse adoptée</i> Surcharges supposées	
Date	Déclivités	Hauteur maxima du rail au-dessus du sol ou de l'étiage	Fruit des tympans Revanche du rail sur l'extrados						
Symbole	1	2	3	4	5	6	7	8	9
sur le Krenngraben <i>Autriche</i> 1904-1905 $\bar{A}^1 Fr (\geq 40m) 17$	62 ^m 14 ^m 7 28 ^m	4 ^m 94 <i>{ (voie en courbe de 320^m de rayon) 5^m 04</i> Fruit : 1/20 1 ^m 10	Arche de cercle 40 ^m 00 40 ^m 00 $\frac{1}{4}$ 0,25 25 ^m 00	1 ^m 50 2 ^m 30	1 ^m 30 2 ^m 30	Bandeaux et Douelle : MEV ¹ Calcaire dur Aux têtes, passages et eisclures Quenillage : MOV ¹ Gravil Ciment 450 ^k	Pression maxima : 25 ^k Surcharge : Ma. Tens. W. châsses d'ers gous Poids en 1 Long. entre têtes Poids Essieux Nom- bre Écart- ement Poids Circularité du Ministère des Chemins de fer 28 août 1904	1° 6 voûtes transversales vues, en plein cintre, de 2 ^m 50, sur piles de 1 ^m 20 2° »	
sur la Steyrling <i>Autriche</i> 1904-1905 $\bar{A}^1 Fr (\geq 40m) 18$	101 ^m 80 2 ^m 3 46 ^m	4 ^m 75 4 ^m 50 Fruit : 1/20 1 ^m 50	Arche de cercle 70 ^m 00 45 ^m 70 $\frac{1}{4,45}$ 0,225 46 ^m 86	2 ^m 00 3 ^m 10	2 ^m 00 3 ^m 10	PT ¹ Gravit En douelle, mêmes épaisseurs d'assises qu'aux bandeaux Ciment Portland 0 ^m 333	Pression maxima : 37 ^k Surcharge : Comme au Pont sur le Krenngraben $\bar{A}^1 Fr (\geq 40m) 17$	1° 10 voûtes transversales vues, en plein cintre, de 3 ^m 25, sur piles de 1 ^m 25 à 1 ^m 45 2° »	
de Salcano <i>Autriche</i> 1904-1906 $\bar{A}^1 Fr (\geq 40m) 19$	219 ^m 70 3 ^m 3 RD RG 37 ^m	5 ^m 50 ^a 5 ^m 60 ou niveau de la voie Fruit : 1/20 0 ^m 87	Arche de cercle 85 ^m 00 24 ^m 80 $\frac{1}{3,898}$ 0,257 52 ^m 33	2 ^m 10 3 ^m 50	2 ^m 10 3 ^m 50	PT ¹ (0 ^m 2 à 0 ^m 7) Calcaire de Nabresina (1200 ^k en cubes de 6 ^m) Les pognement talles Ciment Portland 1 ^{er} choix de Spalato 0 ^m 333 Sable de l'Isarco lavé Joints de 16 ^{mm}	Pression maxima : Clef : 28 ^k Joint de rupture : 51 ^k Retombées : 40 ^k Arc élastique Surcharge : Comme au Pont sur le Krenngraben $\bar{A}^1 Fr (\geq 40m) 17$	1° 10 voûtes transversales vues, en plein cintre, de 3 ^m 40 à 5 ^m , sur piles de 1 ^m 35 à 1 ^m 40 2° »	
de Svenkerud <i>Norvège</i> 1905-1907 $\bar{A}^1 Fr (\geq 40m) 20$	90 ^m 0 16 ^m 50 Basses eaux 31 ^m Fond du lit	4 ^m 70 4 ^m 80 Fruit : 1/20 1 ^m 10 jusqu'au dessus de la plinthe	Arche d'anse de panier à 3 centres 44 ^m 00 6 ^m 60 $\frac{1}{6,66}$ 0,15 Rayons : Cerceau : 44 ^m Reins : 30 ^m 80	1 ^m 60 2 ^m 50	1 ^m 60 2 ^m 50	PT ¹ grossière Grès (900 ^k à 1500 ^k) Sur les reins, MOH ¹ à ciment Sable : 2,5 parties Ciment : 1 partie 23 ^k de mortier	Pression maxima : Clef : 30 ^k 3 Joint de rupture : 35 ^k 8 Retombées : 28 ^k 1 » 15 tonnes par m. ²	1° Pas d'évidement 2° »	

— Pour le sens de ces abréviations, voir Avertissement, Tome III, p. II, n° 6.

Me surer sur un dessin

A VOIE NORMALE

SÉRIE \hat{A}^1 $P^r (\geq 40m)$

TABLEAU SYNOPTIQUE (Suite)

EXÉCUTION										CUBE DE MAÇONNERIE A MORTIER		
GRANDE VOÛTE										Q		
FONDATIONS	CINTRE				MODE DE CONSTRUCTION	DÉCINTREMENT État d'avancement du pont Temps entre le dernier clarage et le décintrement Date	TASSEMENTS DE LA CLEF sur cintre t_c au décin- trement après t_v	DÉPENSE				
Nature du sol	FERMES		Cube de bois Poids de fer Dépenses					D				
Profondeur sous l'écluse	Type	Nombre	Totaux	par mq de douelle ²				Totaux et de surface utile S_p^3 de volume utile W^4				
Pressions sur le sol en kg 0m01 ²	Matière	Épaisseur Écartement d'axe en axe Surhaussement										
Procédé	Appareils de décentrement							par unité		18		
10	11	12	13	14	15	16	17					
Éboulis peu compacts (Conglomérat)	Fixe	5 Étage supérieur 20m	"	"		Voûte nue	t_v 2mm					
"	"	Au-dessous, bois ronds de 20" à 25" 1m30	"	"		"						
Pression maxima : 3.5	"		13125'	49.5								
Plate-forme en béton, arme d'un grillage en Σ croisés	Billots à base évidée Zutler	1mmmm				8 mai						
Éboulis très compacts	Fixe	5	866m ³	1 ^{re} 72	3 rouleaux	Piles sur la grande voûte achevées jusqu'aux retombées des voûtes d'évidement	t_c 130mm		Q = 4393m ³ Q : S_p = 9m ² 52 Q : W = 0m ³ 33			
"	"	30" x 12" 1m50	"	"	Même mode de construction qu'un Pont de Salcano		t_v 9mm		Fon- dations	En- semble		
Pression maxima : 7.5	"		"	"					D			
A sec	Billots à base évidée Zutler	350mm	42000'	83.3	\hat{A}^1 F ^r (40m) ¹⁹	"			42000'	525000'		
Plate-forme en béton à F-12, arme de fers ronds						Éto			1085.7	1172.6		
									D : S_p	40.5		
									D : W	123.4		
									D : Q			
Rive gauche : Conglomérat caverneux.	Fixe	7	1209m ³	1 ^{re} 51	5 assises à pleine épaisseur, puis,	Piles sur la grande voûte achevées jusqu'aux retombées des voûtes d'évidement	t_c 40mm aux coins : 60mm		Ouvrage entier	Grand pon et pilastres		
Rive droite : Éboulis.	Fixe	Étage supérieur 20" à 28"	100000 ³	12.5	3 rouleaux		t_v 6mm		Q			
Pression moyenne : 4	"	Étage inférieur 20" à 25"	287910'	354.9	Au 1 ^{er} roul.				Q : S_p	15m ² 4		
Plates-formes en béton arme de 2m 20 d'épaisseur	Billots à base évidée Zutler	Étage inter. 21" à 32" 1m30	dont, pour la pile en rivière 142500'		8 tronçons.	38 jours 8 août			Q : W	0m ³ 43		
		220mm							D			
									4437360'	975030'		
									D : S_p	1598.4		
									D : W	50.22		
									D : Q	103.5		
Rocher	Retroussé sur 43m	5	"	"	3 rouleaux	Tympan achevés	t_c 40mm		Q = 1800m ³ Q : S_p = 4m ² 65 Q : W = 0m ³ 26			
"	Arc à treillis en bois et métal, à 2 articulations	"	"	"	Joints matés	108 jours	t_v 5mm 5 à 7mm		D = 148 300'			
"	"	Fermes de rive 1m20 Fermes intermédiaires 1m00	"	"					D : S_p	383.2		
"	"		22000'	84'		2 mai			D : W	22.1		
A sec	Bottes à sable	"							D : Q	82.4		

2. Pour le calcul de la surface de douelle, voir Avertissement, Tome III, p. III, n° 7 - A. 3. S_p = Longueur (col. 2) \times Largeur entre parapets (col. 3) - C'est la surface offerte à la circulation.4. W = Surface vue de l'élevation \times Largeur entre parapets. 5. W' = Surface de l'élevation au-dessus des fondations \times Largeur entre parapets.Pour S_p , W, W', voir Avertissement, Tome III, p. III, n° 7 - B.

PONT A UNE SEULE GRANDE ARCHE SOUS CHEMIN DE FER

PONT	PROJET							
	ENSEMBLE		GRANDE VOÛTE					ÉVIDEMENT DES TYMPANS
	Longueur entre abouts des parapets Déclivités Hauteur maxima du rail au-dessus du sol ou de l'étiage	Largeurs entre parapets entre tympans sous la plinthe Fruit des tympans Revanche du rail sur l'extrados	INTRADOS Portée Montée Surbaissément Rayon	ÉPAISSEURS CORPS Clef Retombées	TÊTES Clef Retombées	MATÉRIAUX Mortier Poids, pour 1 ^m de sable, de chaux ou de ciment	PRESSIONS en kg/0 ^m 1 ² Hypothèse adoptée Surcharges supposées	
1	2	3	4	5	6	7	8	9
de Langenbrand Allemagne 1907-1909 A ¹ I ^r (≥ 40 ^m)21	150 ^m 22 ^{mm} 25 ^m	4 ^m 70 4 ^m 20 Fruit 1/30 1 ^m 20	Arc de cercle 59 ^m 00 14 ^m 75 $\frac{1}{4} = 0,25$ 36 ^m 878	1 ^m 80 2 ^m 60	1 ^m 80 2 ^m 60	P ^T 1 Granit Ciment 160 ^k (1 ^r , 3 ^r) Joints de 2 ^m	Pression maxima : avec surch. sans surch. Clef 30 ^k 5 21 ^k 5 Joint de rupt. 41 ^k 1 27 ^k 3 Re-tomb. 39 ^k 4 26 ^k 3	1 ^o 8 voûtes transversale vues, en plein cintre de 3 ^m 00, sur piles de 1 ^m 00 à 1 ^m 35 2 ^o »
de Lusserat France 1908-1910 A ¹ I ^r (≥ 40 ^m)22	84 ^m 28 10 ^{mm} 14 ^m 25	8 ^m 08 8 ^m 10 Pas de fruit (0 ^m 00)	Arc de cercle 45 ^m 70 9 ^m 87 $\frac{1}{4,63} = 0,216$ 37 ^m 39	1 ^m 45 2 ^m 80	1 ^m 45 2 ^m 80	Bandeaux : P ^T 1 Douelle : MAX 1 Queutage : MOV 1 Ciment Portland de Boulogne 150 ^k Joints : dans une même assise 3 ^m entre 2 assises 1 à 3 ^m	Pressions : max. moy. Clef 28 ^k 18 ^k A 11 ^m de la clef 25 ^k 15 ^k Re-tomb. 12 ^k 10 ^k Arc élastique Méthode analytique de M. Résal 1150 ^k m ²	1 ^o Pas d'évidement 2 ^o Archicette
de Boilefos Norvège 1908-19... A ¹ I ^r (≥ 40 ^m)23	71 ^m 11 ^{mm} 1 18 ^m 50	4 ^m 85 (voie en courbe de 250 ^m) 4 ^m 25 Fruit : 1/20 0 ^m 95	Arc d'anse de panier à 3 centres 40 ^m 00 10 ^m 00 $\frac{1}{4} = 0,25$ Rayons : Cerveau : 28 ^m 50 Reins : 21 ^m 678	1 ^m 40 2 ^m 30	1 ^m 40 2 ^m 30	P ^T 1 grossière Gneiss (1100 ^k à 2100 ^k) Sur les reins, MOH 1 à ciment Ciment	Pression maxima : Clef : 20 ^k Joint de rupture : 30 ^k 8 Retombées : 27 ^k Surcharge : 15 ^r par m ²	1 ^o Pas d'évidement 2 ^o »
de Lichtensteig Suisse 1907-1909 A ¹ I ^r (≥ 40 ^m)24	98 ^m 50 () 15 ^m 40	7 ^m 40 (1 voie : 5 ^m 40 1 passage pour piétons : 2 ^m 00) 5 ^m 20 Pas de fruit 2 ^m 00	Arc de cercle 42 ^m 82 11 ^m 544 $\frac{1}{3,709} = 0,269$ 25 ^m 619	1 ^m 40 2 ^m 70	1 ^m 40 2 ^m 70	MEV 1 Grès calcaire, assisé Ciment Portland (pm 333)	Pression maxima sans surcharge : Clef : 19 ^k 8 avec surcharge : Clef : 27 ^k 5 Joint de rupture : 28 ^k 9 Retombées : 23 ^k 2 Arc élastique Méthode graphique Ritter 1800 ^k m ²	1 ^o 8 voûtes transversale vues, en plein cintre de 3 ^m 50, sur piles de 1 ^m à 1 ^m 25 2 ^o Clef et Contre-clef en libage

t. — Pour le sens de ces abréviations, voir Avertissement, Tome III, p. 11, n° 6.

A VOIE NORMALE

SÉRIE A¹ Fr (≥ 40m)

TABLEAU SYNOPTIQUE (Suite)

EXÉCUTION												CUBE DE MAÇONNERIE A MORTIER					
GRANDE VOÛTE												Q DÉPENSE D Totaux et par unité { de surface utile S _p ² de volume « utile » W ⁴ .					
FONDACTIONS	CINTRE											MODE DE CONSTRUCTION	DÉCINTREMENT État d'avancement du Pont Temps entre le dernier clavage et le décintrement Date	TASSEMENTS DE LA CLEF sur cintre t _c au décin- tremement t _v après t _v	Fon- dations	Élé- vation	En- semble
	FERMES		Cube de bois Poids de fer Dépenses														
	Type	Nombre															
	Matériau	Épaisseur Écartement d'axe en axe Surhaussement	Totaux	par mq de douelle ²													
Nature du sol	Profondeur sous l'étiage	Pressions sur le sol en kg/cm ²	Procédé	10	11	12	13	14	15	16	17	18					
Granit	Fixe	4	270 ^{me}	0 ^{me} 74	2 rouleaux	Voûte nue	t _c = 52 ^{mm}	Q = 4 120 ^{me}									
"	"	Étage supérieur 25 ^c	5090 ^k	13 ^k 9	6 attaques			Q : S _p = 5 ^{me} 84									
Pression maxima :	"	Étage inférieur 10 ^c	17893 ^f	48 ^f 8	Voussoirs du 1 ^{er} rouleau posés à sec, puis, après fermeture de la voûte, remplis de mortier à 1/3	56 jours	t _v + t _v ' = 7 ^{mm}	Q : W = 0 ^{me} 24									
avec surcharge : 5 ^k 6	Vérins à vis	1 ^{me} 50				8 février		D	16536 ^f	291964 ^f	308500 ^f						
sans surcharge : 5 ^k		150 ^{mm}						D : S _p	23 ^f 2	414 ^f 4	437 ^f 6						
"								D : W	4 ^f 3	22 ^f 8	24 ^f 1						
"								D : Q	"	"	74 ^f 9						
Calcaire tendre (Tuffeau)	Retroussé sur 10 ^m (passe marinière)	6	au dessus des boîtes à sable	au dessous des boîtes à sable	3 rouleaux	Voûte nue	t _c < 10 ^{mm}	Q	2014 ^{me}	3535 ^{me}	5549 ^{me}						
Rive droite	"	25 ^{cm}	184 ^{me}	208 ^{me}	Au 1 ^{er} roul. :			Q : S _p	2 ^{me} 93	5 ^{me} 14	8 ^{me} 07						
- 12 ^m 80	"	1 ^{me} 40	8 ^f	4 ^f 9	13 tronçons, 14 clavages.	18 jours	t _v = 3 ^{mm} 6	Q : W	0 ^{me} 22	0 ^{me} 38	0 ^{me} 60						
Air comprimé	"		19791 ^f	35619 ^f	Au 2 ^e :			D	170550 ^f	206669 ^f	377219 ^f						
Rive gauche	"		Ensemble		(sur les reins seulement)			D : S _p	248 ^f 3	300 ^f 9	549 ^f 2						
Épaissements	Boîtes à sable	10 ^{mm}	483 ^{me}	1 ^{me} 22	2 tronçons.	26 octobre		D : W	18 ^f 3	22 ^f 2	40 ^f 5						
Pressions :			12 ^f 9	32 ^k 4	Au 3 ^e :			D : Q	84 ^f 7	58 ^f 5	68 ^f 0						
avec surcharge :			55410 ^f	139 ^f 5	4 tronçons.												
MAXIMA : 10 ^k																	
moyenne : 6 ^k 4																	
	Retroussé sur 32 ^m	6			3 rouleaux			D = 132 000 ^f environ									
	"	"						D : S _p	383 ^f 3								
	Grands arbalétriers	1 ^{me} 00						D : W	22 ^f 7								
	Bois rond																
	Boîtes à sable																
Marne et Nagelfluh (Conglomérat rocheux)	Fixe	6			2 rouleaux, chacun en 8 tronçons.	Piles des voûtes d'évidement construites.	t _c = 40 ^{mm}	Q = 3760 ^{me}									
"	Poteaux et contrefiches	22 ^{cm}			Joints secs au-dessus des points fixes du cintre.	"	t _v = 0	Q : S _p	5 ^{me} 15								
"	"	1 ^{me} 00			1 ^{er} rouleau clavé avant la construction du 2 ^e .	Juin		Q : W	0 ^{me} 49								
Pression maxima : 9 ^k	Billots à base évidée	80 ^{mm}						D	128 200 ^f								
								D : S _p	175 ^f 9								
								D : W	16 ^f 8								
								D : Q	34 ^f 1								

2. Pour le calcul de la surface de douelle, voir Avertissement, Tome III, p. III, n° 7 - A. 3. S_p = Longueur (côté 2) \times Largeur entre parapets (col. 3) - C'est la surface offerte à la circulation.
4. W = Surface vue de l'élévation \times Largeur entre parapets. 5. W' = Surface de l'élévation au-dessus des fondations \times Largeur entre parapets.
Pour S_p , W , W' , voir Avertissement, Tome III, p. III, n° 7 - B.

PONTS A UNE SEULE GRANDE ARCHE SOUS CHEMIN DE FER

PROJET									
PONT	ENSEMBLE		GRANDE VOÛTE						
	Longueur <i>entre abouts des parapets</i> Déclivités Hauteur maxima du rail au-dessus du sol ou de l'étiage	Largeurs <i>entre parapets entre tympans sous la plinthe</i> Fruit des tympans Revanche du rail sur l'extrados	INTRADOS	ÉPAISSEURS		MATÉRIAUX	PRESSIONS	ÉVIDEMENTS	
			Portée	CORPS	TÊTES	Mortier	en kg/0 ^m 01 ² <i>Hypothèse adoptée</i> Surcharges supposées	DES TYMPANS	
									Montée Surbaissement
Date	1	2	3	4	5	6	7	8	9
Symbole	1	2	3	4	5	6	7	8	9
de Krummenau	94 ^m 31	{ 4 ^m 60 4 ^m 28	Arc d'anse de panier à 3 centres 63^m26 13^m85 $\frac{1}{4,567} = 0,218$	{ 1 ^m 80 2 ^m 72	{ 1 ^m 80 2 ^m 72	L ¹ Grès calcaire (Mollasse) 1200 ^k	Pressions : MAX. MOY. sans surcharge : Clef 24 ^k 8 21 ^k 2 Re- tomb. 20 ^k 3 17 ^k 0 avec surcharge : et variation de température de ± 15°, sans tenir compte de la résistance à la tension. Clef 36 ^k 2 23 ^k 6 Re- tomb. 46 ^k 2 23 ^k 1 <i>Arc élastique</i> 1700 ^k /m ²	1 ^o 10 voûtes transversales vues, en plein cintre de 3 ^m 50 sur piles de 1 ^m à 1 ^m 20	
Suisse	21 ^m	Fruits : des tympans 1,50 des bandeaux 1,40	Rayons : Cerveau: 44 ^m 46 Reins : 38 ^m 14			Ciment Portland (mc.333)		2 ^o	
1910-1911						Joint de 1 ^{cm} à 6 ^{cm}			
A¹ Fr (> 40 ^m)25	18 ^m 20	1 ^m 20							

1 Pour le sens de ces abréviations, voir Avertissement, Tome III, page II, n° 6.

A VOIE NORMALE

SÉRIE A¹ P^r (≥ 40m)

TABLEAU SYNOPTIQUE (Suite)

EXÉCUTION										CUBE DE MAÇONNERIE A MORTIER	
GRANDE VOÛTE										Q	
CINTRE										DÉPENSE	
FONDATIONS	FERMES		Cube de bois Poids de fer Dépenses		MODE	DÉCINTREMENT	TASSEMENTS		DE LA CLEF		
Nature du sol	Type	Nombre			DE	État	sur		t _c		
Profondeur sous l'étiage	Matière	Épaisseur			CONSTRUCTION	d'avancement du Pont	cintre		t _v		
Pressions sur le sol en kg/cm ²	Appareils de décentrement	Écartement d'axe en axe Surhaussement	Totaux	par mq de douelle ²		Temps entre le dernier clavage et le décentrement Date	au décin- trement	t _v	après t _v		
Procédé											
10	11	12	13	14	15	16	17	18			
Nagelflah (Conglomérat solide)	Fixe	6	Cintre 217 ^{me} Palées 49 ^{me} 3 Divers 18 ^{me} 7		4 rouleaux les 2 premiers en 8 tronçons.	Piles des voûtes d'évidement construites	moyenne des 2 têtes t _c 25 ^{mm} 2	Q = 2094 ^{me}			
"		22 ^{cm} (0 ^m 96)						Q : S _p = 4 ^{me} 82			
Pression maxima : 12k	Poteaux et contrefiches		Bois 285 ^{me} 0	0 ^{me} 77			t _v 3 ^{mm} 2	Q : W = 0 ^{me} 36			
			Fers 8000 ^k (sabots des pieux : 700 ^k)	21 ^k 6	Joints secs, maintenus par des coins en bois, au-dessus des points fixes du cintre.	29 jours	t _v 23 ^{mm} (pont achevé)	Fondations : 25 000 ^f			
Rive gauche : Épaissements dans un batardeau, puis béton immergé.	Billots à base évidée Zaffer	130 ^{mm}	Dép. 25500 ^f	68 ^f 9	Les 2 1 ^{re} roul. clavés ensemble	8 septembre		Élévation : 104 000 ^f			
								D = 129 000 ^f			
								D : S _p = 297 ^f 4			
								D : W = 22 ^f 2			
								D : Q = 61 ^f 6			

2. Pour le calcul de la surface de douelle, voir Avertissement, Tome III, p. III, n° 7 — A. 3. S_p = Longueur (col. 2) × Largeur entre parapets (col. 3) — C'est la surface offerte à la circulation.

4. W = Surface vue de l'élévation × Largeur entre parapets.

5. W' = Surface de l'élévation au-dessus des fondations × Largeur entre parapets.

Pour S_p, W, W', voir Avertissement, Tome III, p. III, n° 7 — B.

VOÛTES INARTICULÉES EN ARC ASSEZ SURBAISSÉ
PONTS A UNE SEULE GRANDE ARCHE
SOUS CHEMIN DE FER A VOIE NORMALE

SÉRIE $\widehat{A}^1 F^r (\geq 40m)$

MONOGRAPHIES

PONTS SUR LA SCRIVIA, PRÈS DE MARETTA ET DE PRAROLO

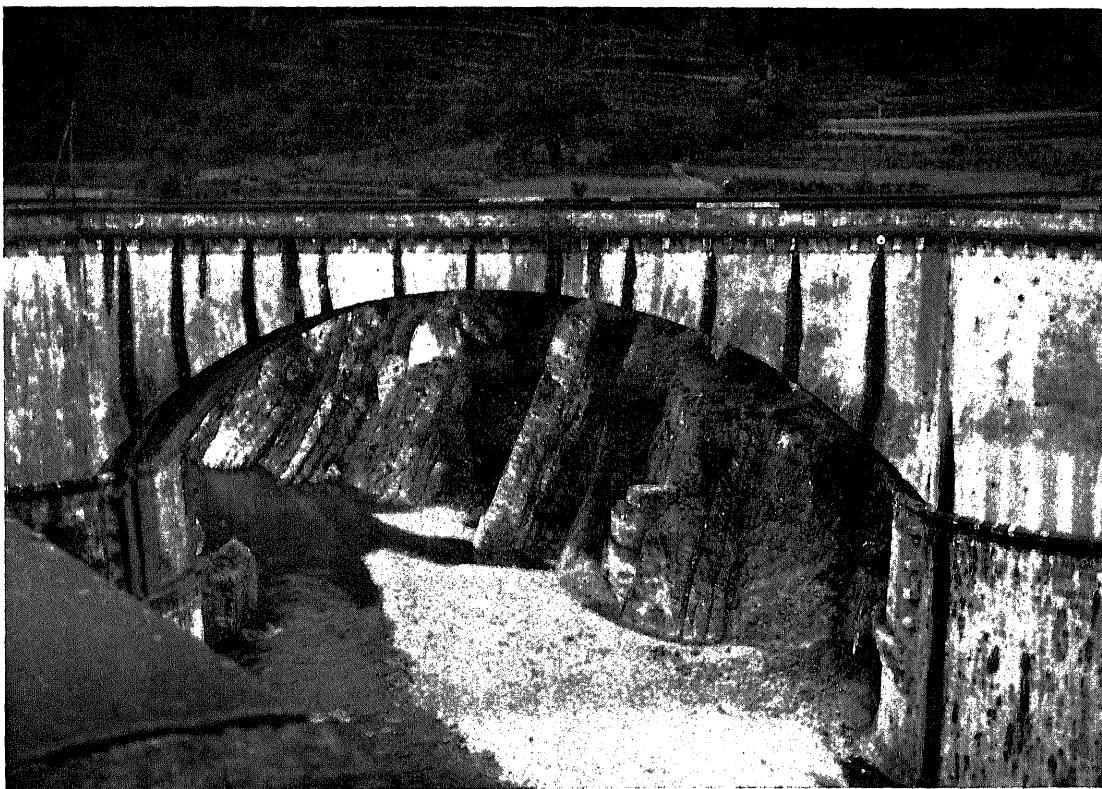
(ITALIE, - Province de Gênes)

Ligne de Novi à Gênes¹

1851-1852

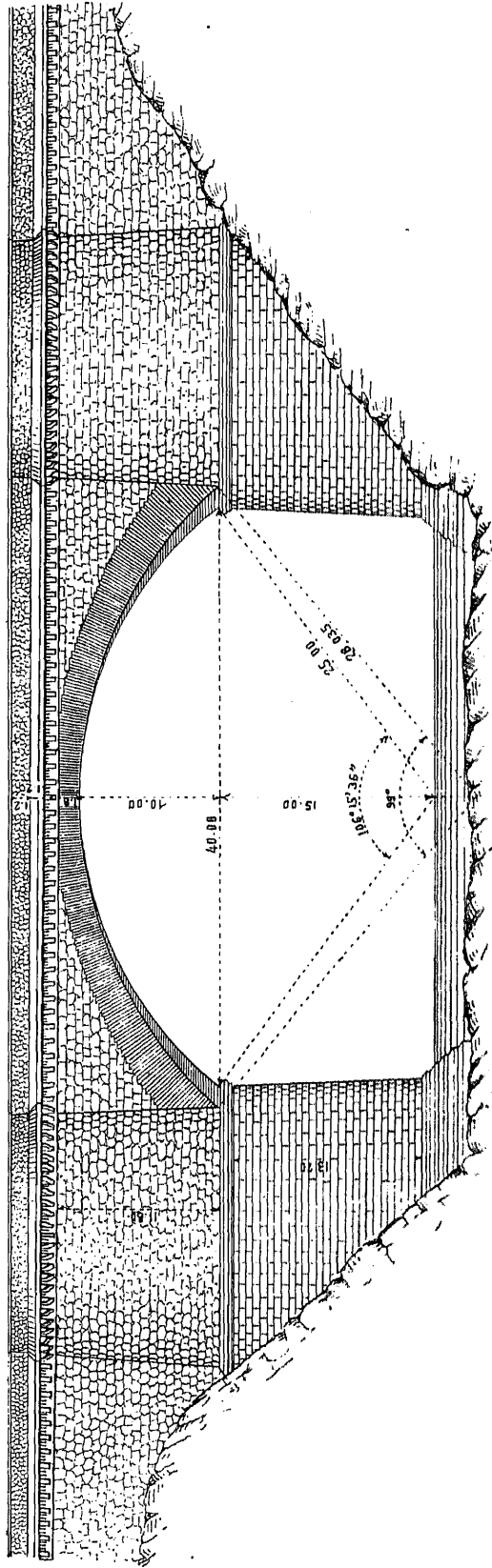
$\widehat{A}^1 F^r (\geq 40m)$ 1 et 2

Φ_1 — Pont de Marettà (S_4)

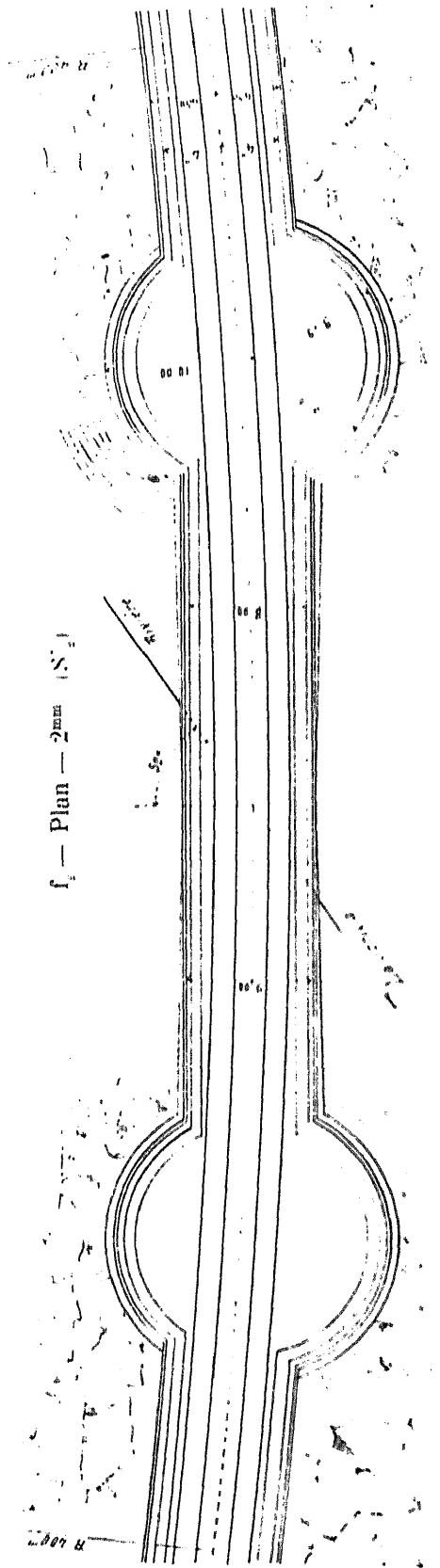


1. --- Entre les stations d'Arquata et d'Isola del Cantone : le pont de Marettà à 3°620 de celle-ci, le pont de Prarolo à 2°030.

f_1 — Élévation — 2mm (S'_1)

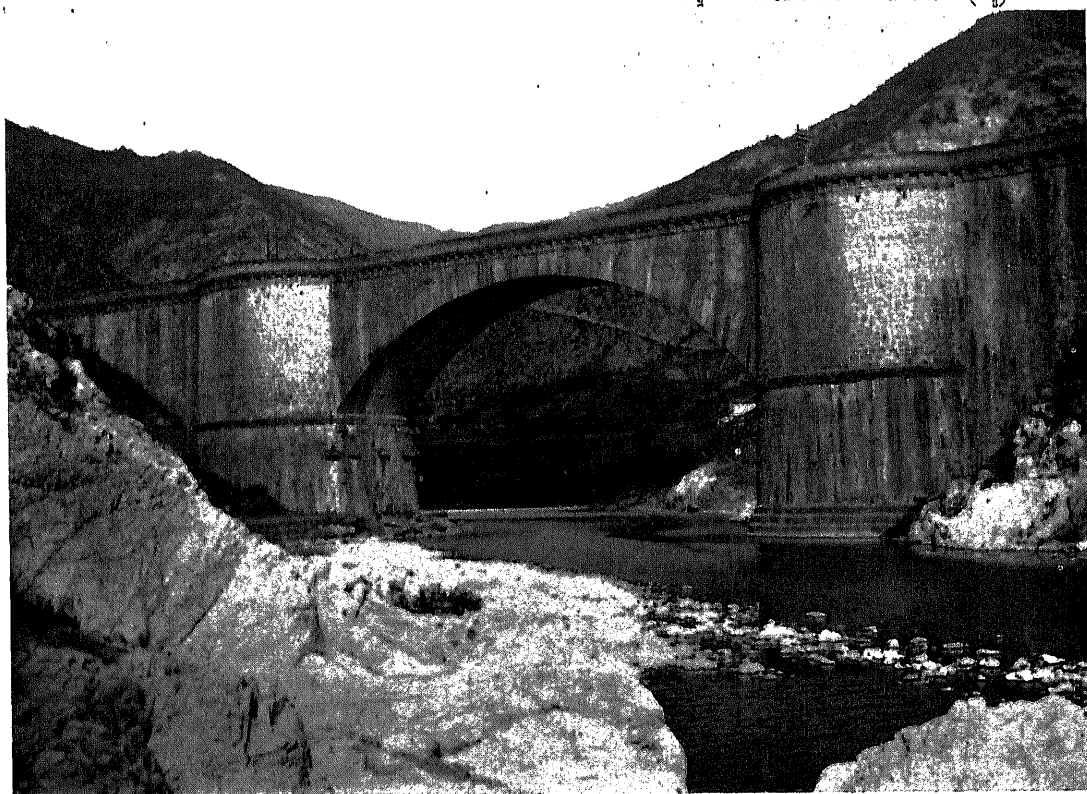


f_1 — Plan — 2mm (S'_1)



1. Pourquoi on a fait une grande arche. — Parce que les eaux de crues montent à 12^m , et vont vite.

Φ_2 — Pont de Prarolo (S_2)



2. Disposition en vue :

A. - *du biais de 50°* . — Pour éviter un appareil biais, on a construit les culées en forme de tronc de cône à fruit de $1/20$, et engendré l'intrados par un arc de cercle de flèche constante (10^m) et de corde variable, se déplaçant parallèlement au plan vertical de l'axe du pont, et s'appuyant sur les circonférences, intersections des tours-culées avec le plan horizontal des naissances.

La douelle est ventrue au milieu : cela ne choque pas.

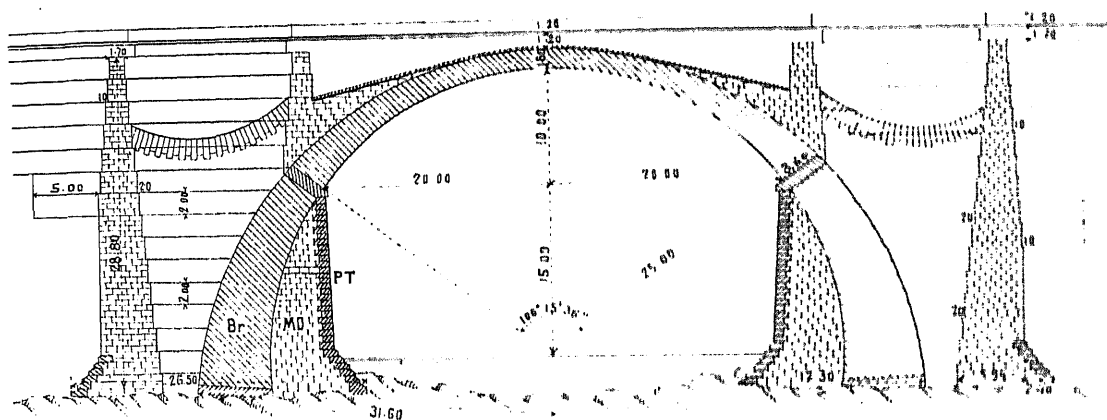
L'intrados sur l'axe est un arc de 40^m au $1/4$; il se prolonge derrière ses pieds-droits, et est réellement un plein cintre complet de 50^m (l_2).

B. - *de la courbe de 400^m* . — Les têtes sont parallèles à la corde de 40^m du tracé.

C. - *de la pente de 8^m* . — Le parapet est horizontal : la pente est répartie sur les trottoirs et le ballast.

3. Matériaux. — Les voûtes et leur prolongement dans la culée sont en briques s'écrasant en moyenne à 5^k74, soit un peu plus de 4 fois la pression maxima, évaluée à 12^k51.

f_3 — Coupe en long — 1 mm5 (S₂)



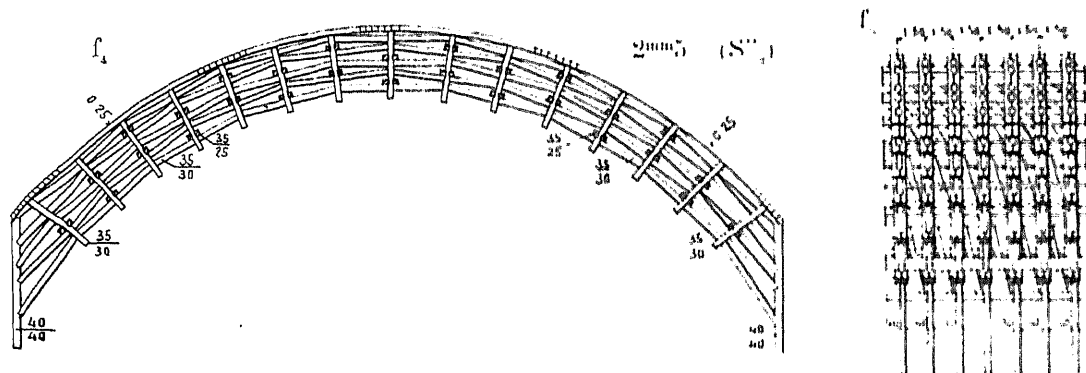
Les briques des voûtes, de $26^{\text{cm}} \times 13^{\text{cm}}$, n'étaient pas en forme de voussoirs : on en employait de diverses épaisseurs ($6^{\text{cm}}5$, - $6^{\text{cm}}7$, - 7^{cm}), et on augmentait celle des lits de mortier jusqu'à 6^{mm} .

La brique paraît bien conservée.

L'extrados est en courbe continue à Marella ; avec crossettes, à Prarolo.

Au-dessus du cordon, les tours sont revêtues de grès moellons gris à Prarolo, de briques à Maretti.

4, Cintre. — « *Le cintre avait été projeté... pour une route en pierre de « taille.*



« Il est constitué de 7 fermes composées chacune de cinq rangs d'arbustiers
« disposés suivant le système adopté par M. Peronnet au pont de Neuilly. » (S₁).

5. Fondations. — La culée rive droite du pont de Prarolo a été fondée sur le roc vif ; mais, à la culée rive gauche, on a trouvé un banc d'argile bleue, compressible. Quand on y battait un pieu, on faisait remonter le pieu voisin². On posa sur l'argile un fort grillage en chêne, et on donna un grand empatement³ au massif de fondation.

6. Dates. — Tassements.

	Marella	Prarolo
Construction de la voûte.....	10 septembre 14 octobre	1852
Décintrement	14 février 1852	immédiatement après l'achèvement de la voûte
Tassement { du cintre chargé des briques de la voûte.....	180 ^{mm}	80 ^{mm} , sans aucune déformation
{ de la voûte au décintrement	15 ^{mm}	
{ En tout.....	195 ^{mm}	
Surhaussement donné au cintre.....	250 ^{mm}	250 ^{mm}

7. Personnel. — Ingénieur en chef : M. Ranco.

2. — « La compression sur un point réagissait à des distances incroyables. Les remblais d'accès de la culée gauche du pont, lorsqu'ils sont arrivés à 18^m de hauteur, ont causé la chute d'un moulin placé à la distance de 200^m de ces remblais. » (S₁).

3. — L'étymologie impose « empattement ». Mais l'Académie, au regret de Littré, écrit « empatement ».

SOURCES :

S₁. — (Texte). — Notice sur le projet et la construction des Ponts de 40^m d'ouverture sur la Scrivia, près de Marella et de Prarolo (Chemin de fer de Gènes à Turin), Chambéry, le 29 novembre 1860, M. Ranco (Bibliothèque de l'École des Ponts et Chaussées, Manuscrits, n° 1790).

S₂. — (Dessins).

S'₂. — Collection des Dessins distribués aux Élèves de l'École des Ponts et Chaussées, 3^e série, section A, Pl. 4.

(La légende explicative, tome I, p. 74 à 79, est empruntée à S₁).

S''₂. — Dessin à 1/50 communiqué par M. Ranco (Bibliothèque de l'École des Ponts et Chaussées, Manuscrits, n° 1790).

S₃. — Ce que j'ai vu — octobre 1908.

PONTS SUR LA SCRIVIA, PRÈS D'ISOLA DEL CANTONE^{1, 2}

(ITALIE, - Province de Gènes)

Ligne de Novi à Gènes

1852

\widehat{A}^1 1^{re} (comp) et 4

Φ_1 - Pont en amont d'Isola del Cantone (S₁)



Voici les seuls renseignements que j'ai trouvés sur ces 2 ponts :

« Dans l'intervalle de tems qui s'est écoulé entre le décintrément du pont de
« Marettia et celui de Prarolo, nous arions dû acherer deux autres ponts à un seul
« arc de la même ouverture (10^m), dont la route était aussi en briques. Nous arions
« décintré ces deux arcs, l'un après un mois et l'autre après deux mois de leur
« clôture. On avait obtenu un abaissement, mesuré à la clef de la route, de 3^m 1/2
« pour le premier et de 5^m pour le second. » (S₁).

1. — L'un, à 1°518 en amont, c'est-à-dire vers Ronco, de la station d'Isola del Cantone. L'autre, à 1°437 en aval, c'est-à-dire vers Arquata.

2. — Dans la statistique des Annales des Ponts et Chaussées, octobre 1886, p. 512^{avant}, Ponts n° 41, 42, j'ai, d'après M. Clericotti, Professeur à l'École des Ingénieurs de Milan, donne ces deux ponts sous les noms de Battaglia et Premna ; il n'y a pas, dans le voisinage, de villages de ce nom.

Au pont d'aval, l'extrados est à crossettes comme à Prarolo⁴. Au pont d'amont, il est en courbe continue comme à Maretta⁵.

La brique paraît bien conservée.

Φ_4 — Pont en aval d'Isola del Cantone (S_2)



Aux deux ponts, les murs en retour sont plans, et non arrondis comme à Prarolo⁴ et Maretta⁵ : ils sont revêtus de grosses assises de brèche.

4. — \widehat{A}^1 Pr (40m)²

5. — \widehat{A}^1 Pr (40m)¹

SOURCES :

S_1 . — Notice sur le projet et la construction des Ponts de 40^m d'ouverture, sur la Scrivia, près de Maretta et de Prarolo (Chemin de fer de Gènes à Turin), Chambéry, 29 novembre 1860, M. Ranco (Bibliothèque de l'École des Ponts et Chaussées, Manuscrits n° 1790).

S_2 . — Ce que j'ai vu — octobre 1908.

PONT SUR L'OGGIO, PRÈS DE CALCIO¹ (ITALIE, - Lombardie)

Chemin de fer de Milan à Venise, - Section de Treviglio à Rovato

1877-1878

$\widehat{A}_{11}^{11} \text{Fr} (40^{\text{m}} 5)$

$\Phi_1 (S_1)$



1. Choix de l'ouverture. — Les Ingénieurs avaient jugé suffisante pour les crues l'ouverture de 36^m. On l'a portée à 42^m, pour satisfaire la ville de Cremona, propriétaire du canal navigable partant de l'Oglio à 300^m en aval.

2. Matériaux. — Par économie, on a fait en briques (4050 le m. c.) toute la grande voûte : bandeaux, douelle et corps.

Pour accider les bandeaux, on a fait ressauter des groupes de 8 assises, séparés par deux assises en retraite.

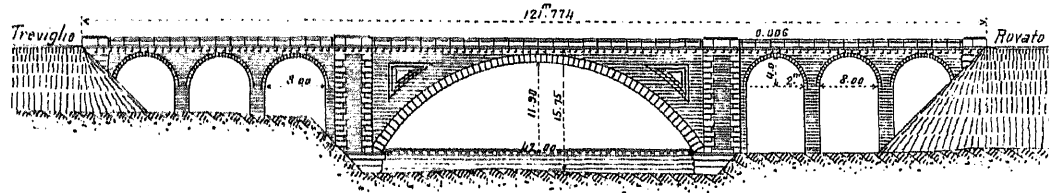
La différence de 0^m98 entre les épaisseurs de la voûte à la clef et aux reins est rachetée par 6 ressauts de 0^m14.

On a placé les matériaux les moins résistants, là où il y a le plus à porter.

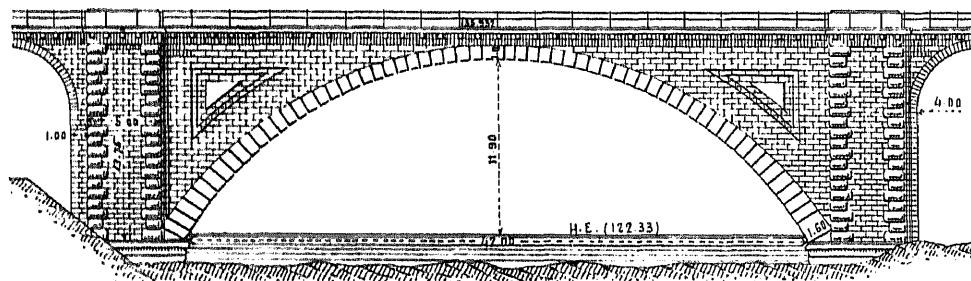
1. — Entre Calcio et Chiari, à l'600 environ de Calcio.

Dans la statistique (Annales des Ponts et Chaussées, octobre 1886, « Construction des Ponts du « Castellet, de Laraur et Antoinette », p. 542^{er}, n° 32), je l'ai appelé Pont de Rovato.

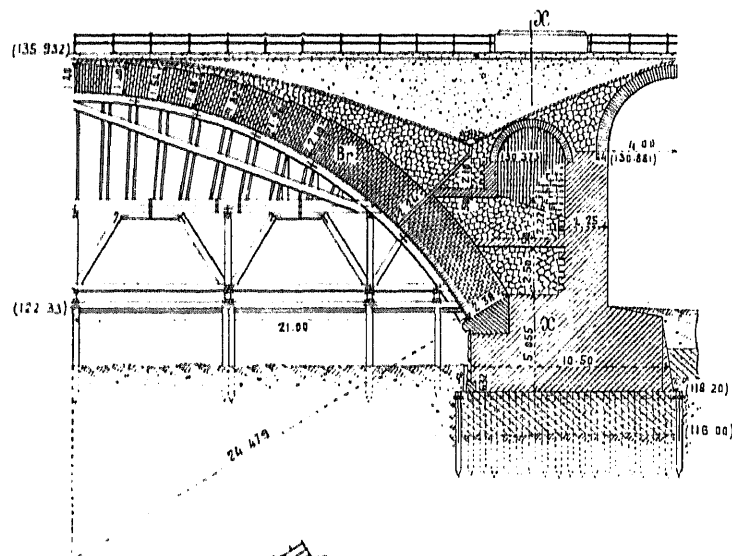
f₁ — Ensemble — 1mm



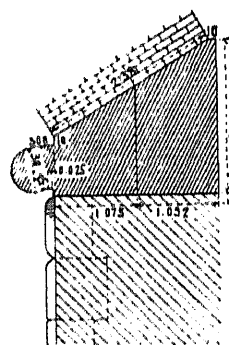
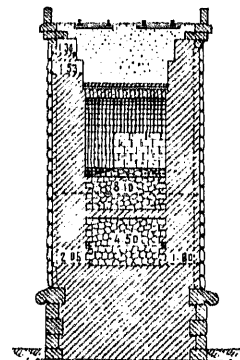
f₂ — Grande voûte — 2mm



f₃ — Coupe en long et cintre — 2mm5

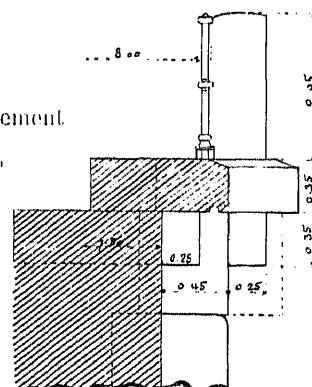


f₄ — Coupe en travers sur l'axe de f₃ — 2mm5



f₅
Imposte
1cm

f₆
Couronnement
2cm



Sur la grande voûte, qui est en briques, reposent les tympans en calcaire assisé, faisant cadre autour d'un triangle de grosses pierres de taille.

Ce cadre eût pu demeurer vide, sans dommage pour l'aspect.

Aux pilastres, deux vigoureuses chaînes d'angle enserrant de petits moellons ; il eût fallu tout revêtir en gros appareil.

3. Construction de la grande voûte. — La voûte, en briques (785^{mm}), a été construite en 25 jours par 24 maçons.

Quand la voûte fut montée à 21^m de ses naissances, on observa, à 14^m d'elles, une fente de 1/2^{mm} pénétrant à 0^m50.

4. Personnel².

Projet et Direction des Travaux : M. le Commandeur Cesare Bermani, Ingénieur de la Division des Chemins de fer de la Haute-Italie.

Entrepreneurs : MM. Bianchi-Bellati.

2. — Renseignements gracieusement communiqués, sur l'invitation de M. le Commandeur Cajo, par M. Edouard Garneri, Chef du Service de l'Entretien des Chemins de fer de l'État, à Bologne (Mars 1911).

SOURCES :

S₁. — La Ferrovia Treviglio-Rovato : « *Ponte Viadotto sul fiume Oglio* », p. 12 à 18, Pl. 4 et 5, note de M. Cesare Bermani, datée de Milan : 18 mars 1878.

S₂. — Ce que j'ai vu — juin 1908.

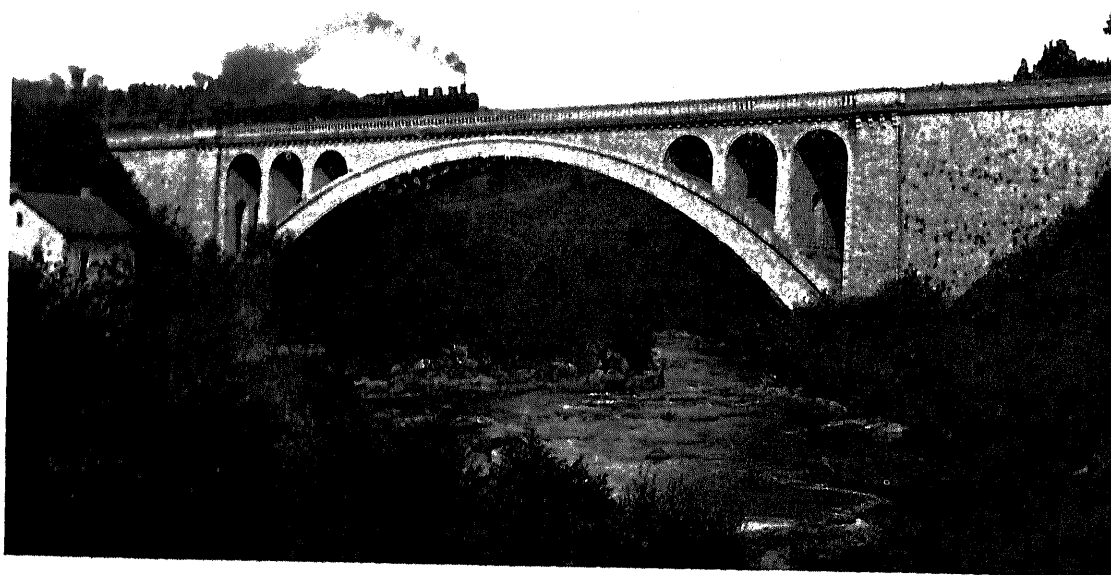
PONT SUR LA VÈZÈRE, AU GOUR-NOIR (CORRÈZE)

Ligne de Limoges à Brive, par Uzerche¹

1888-1889

\widehat{A}^1 I^{er} ($\geq 40^m$) 6

Φ_1 — amont (S₁)



1. Pourquoi on a fait une grande voûte. — Le tracé coupe la rivière sous un angle de 56°. C'est pour éviter des piles biaisées dans une rivière à crues fréquentes et brusques, qu'on a jeté cette grande voûte par-dessus un îlot de granit.

2. Bandeau et archivoltte (Φ_1, f_1). — Les queues des voussoirs du bandeau sont sur une courbe parallèle — à l'intrados, au-dessous du milieu de la voûte, — à l'extrados, au-dessus.

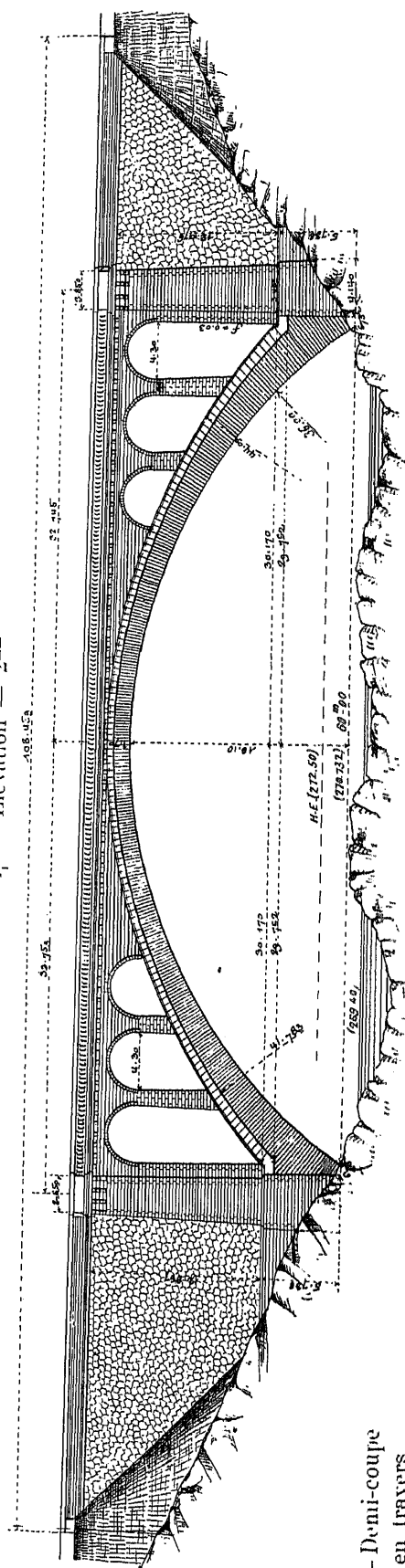
Le bandeau, en fruit de 5^m, est relevé par une archivoltte en fruit de 6^m, dont l'épaisseur est le 1/4 de celle du bandeau.

Sur un bandeau en moellons à bossages, une archivoltte lisse, et qui est restée claire, ne paraît pas à sa place. Son retour horizontal aux reins semble court.

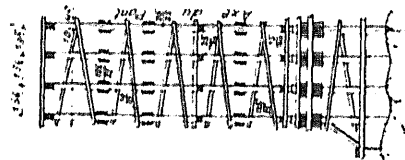
3. Pilastres des culées (Φ_p, f_p). — Appliqués contre les murs pleins des culées, ils ne les arrêtent pas, ne les détachent pas du corps central.

1. — Entre les stations d'Uzerche et de Vigou, à 3+940 d'Uzerche.

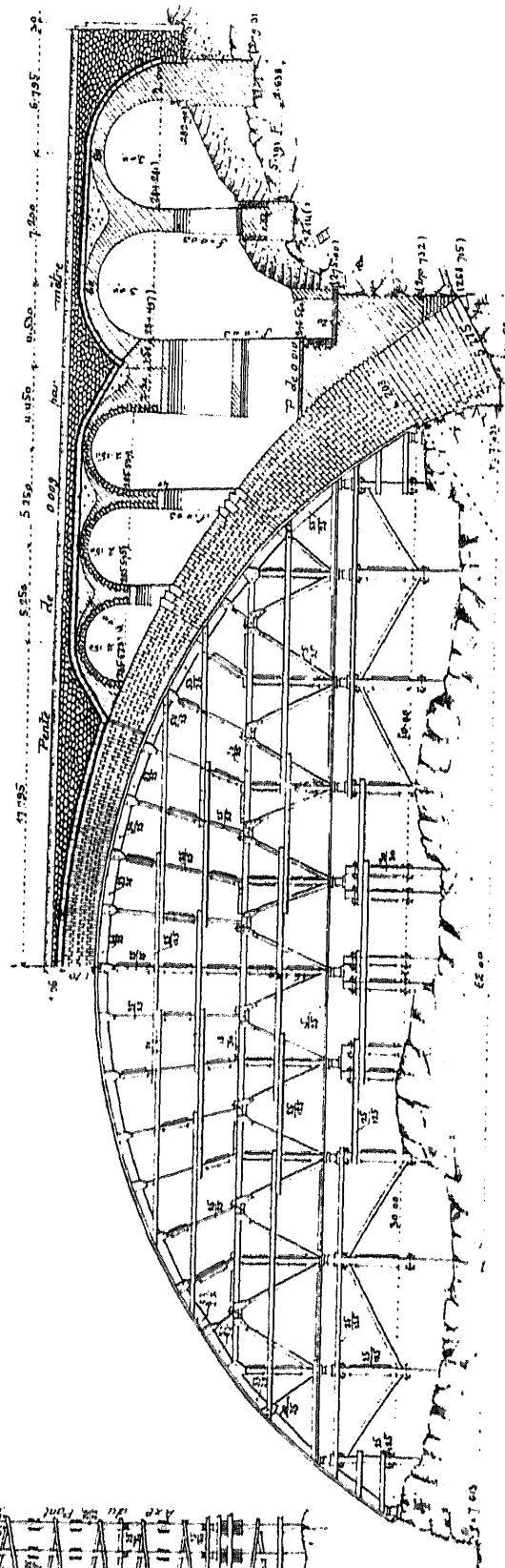
f₁ — Élévation — 2mm



f₂ — Demi-coupe en travers du cintre — 2mm

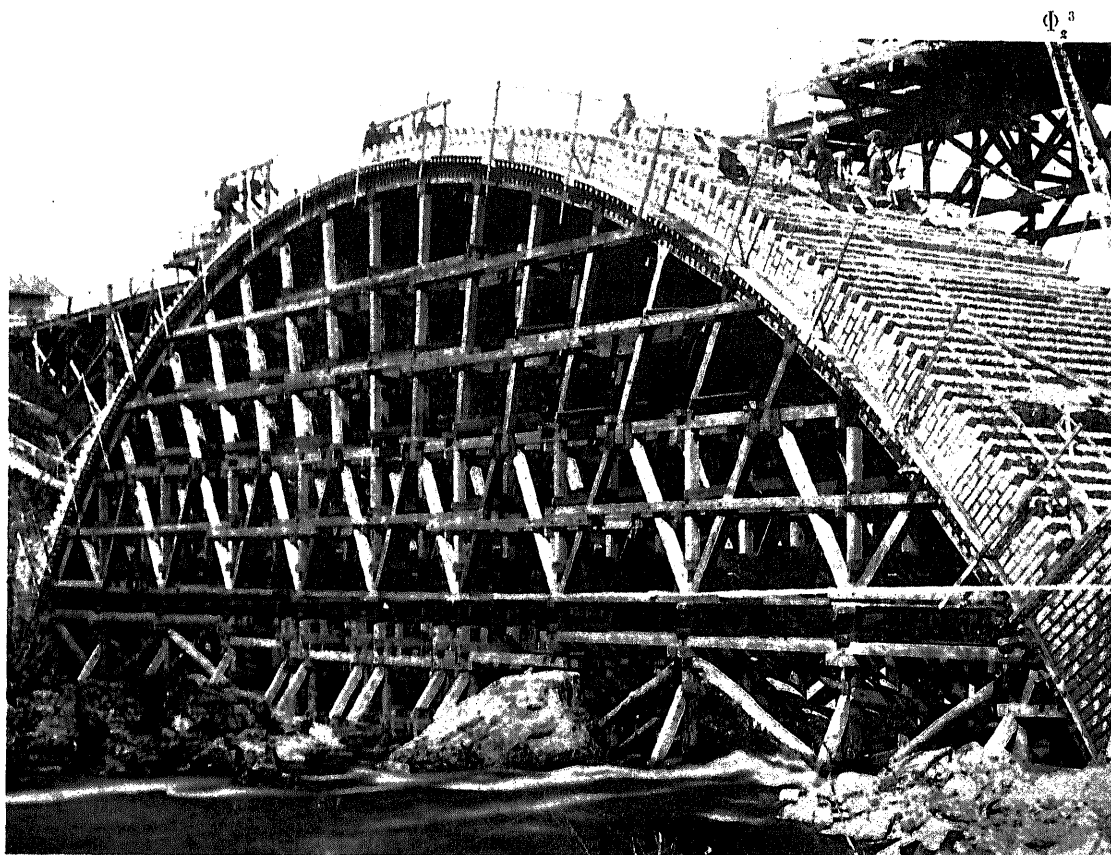


f₃ — Coupe en long — Élévation du cintre — 2mm



4. Joints vus d'extrados. — Sur les parties vues de l'extrados, les joints ont été dégradés, puis bourrés de mortier pulvérulent de ciment.

5. Cintre. — A. *Description*. — Il est imité de celui du pont de Lavour².



Les pieux, coupés d'équerre, armés à leur base d'une tôle de 2^m, étaient scellés au mortier pulvérulent de ciment, dans des trous forés³ dans le rocher, quelques-uns au trépan, la plupart à l'aiguille, à l'abri de batardeaux (10 mai-7 août 1888) (S₁).

Les vaux, d'une seule pièce, avaient 4^m de longueur au plus ; les couchis de 10^m × 15^m, d'une seule pièce, étaient espacés de 40^m aux reins, de 21^m à la clef.

Le platelage, de 25^m, était en lames de 4^m au moins, assemblées à rainures et languettes.

Les assemblages étaient recouverts, sur leurs deux faces, de tôles de 7^m.

Le cintre a été taillé du 25 juillet au 27 août 1888.

Pour tenir compte de la saillie des bossages de la douelle, on avait donné au cintre un rayon inférieur de 4^m à celui de la douelle. Les moellons de douelle, dont le bossage était inférieur à 4^m, étaient posés sur cales de chêne.

2. — Â¹ P^r (— 40m)⁴ 1882-1884 — Tome II.

3. — Photographie gracieusement communiquée par l'Ingénieur du Pont, M. Draux.

4. — Le metre courant de forage a coûté : au trépan, 318'20 ; à l'aiguille, 40'90.

B. Quantités et dépenses.

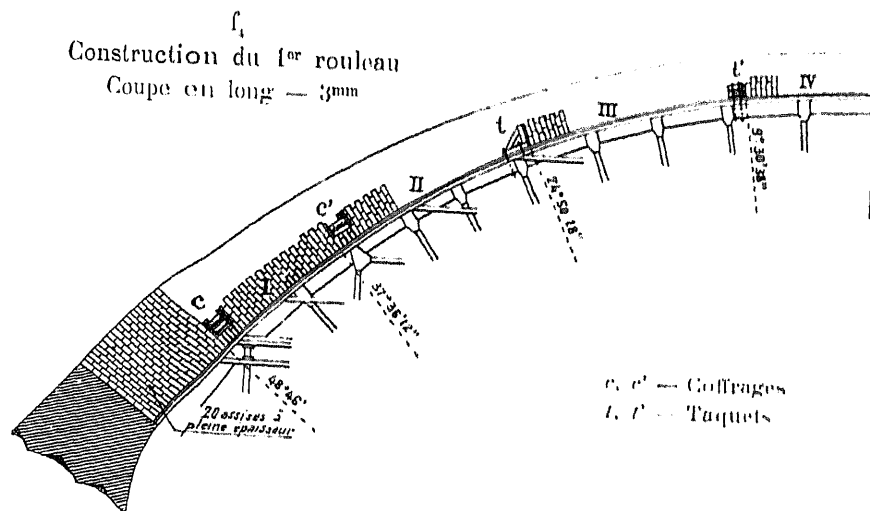
	Au-dessous des boîtes à sable	Au-dessus des boîtes à sable	Ensemble
Cube de bois.....	169 ^m 359	345 ^m 911	515 ^m 270
Poids de fer.....	3795 ^k	16900 ^k	20695 ^k
Dépense {	Fourniture.....	11947 ^f 89	19121 ^f 85
	Main-d'œuvre.....	19000 ^f	7289 ^f 93
	Ensemble.....	30947 ^f 89	26411 ^f 78
	par mètre cube de bois.....	182 ^f 71	76 ^f 36
			259 ^f 10

6. Exécution de la grande voûte. — *A. Division en rouleaux et tronçons.* — Les 20 premières assises au-dessus de la retraite, jusqu'à la semelle supérieure des boîtes à sable à 48°46', ont été construites à pleine épaisseur, à mortier de ciment à 800^k.

Au-dessus, la voûte a été construite en 3 rouleaux (S_1), divisés chacun en 8 tronçons.

On chargea le cintre, du 27 février au 5 mars 1889, de 546^m de moellons et de pierres cassées : il tassa de 8^{mm} ; quand on enleva cette charge (7 mars-13 mars), le côté aval se releva de 3^{mm}.

B. 1^{er} Rouleau. — On a suivi le mode de construction du pont de Lavour². On construisit d'abord les tronçons I et I' sur coffrages c ; puis les autres simultanément : II et II' sur coffrages c' ; III et III', IV et IV' sur taquets (t) (t_1).



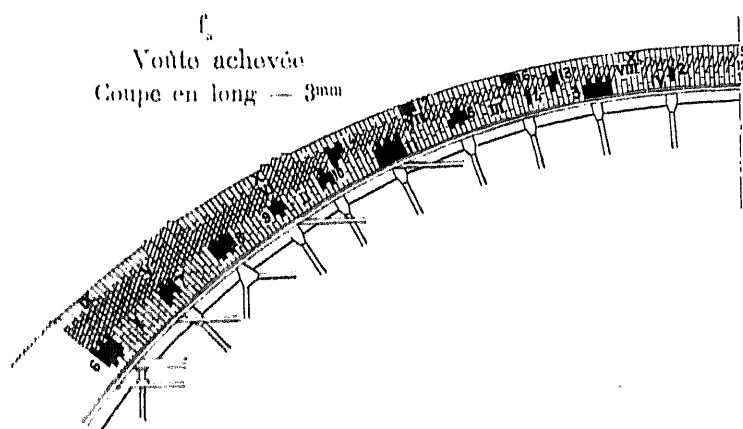
Lorsqu'on eut maçonné jusqu'aux 2/3 du premier vau (32^e assise), une fissure de 1 à 2^{mm} s'ouvrit dans les têtes, en face des premières assises posées à sec.

Peu après (35^e assise), le cerceau du cintre, sur 25° de chaque côté, se releva de 3^{mm} au sommet amont, de 5^{mm} au sommet aval; le point à 25° de la clef n'a pas bougé.

On le chargea de 100^{me} de moellons, qui l'abaissèrent de 1^{mm} à la tête amont, de 3^{mm} à la tête aval.

On clava, du 18 avril au 4 mai, à partir de la clef jusqu'à la 5^e contrefiche, puis à partir des naissances, au mortier de ciment à 650^k à l'état de sable humide⁶.

Il ne s'ouvrit pas de fissure pendant le clavage.



C. Renseignements sur l'exécution de la grande voûte.

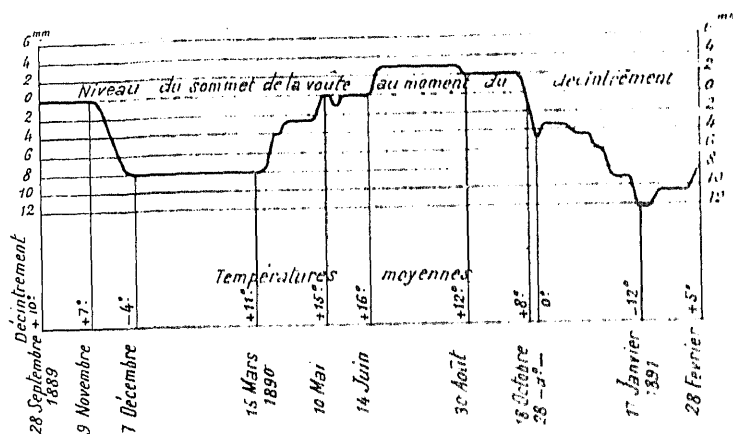
	Fondations (793 ^{me})	Assises à pleine épaisseur (372 ^{me})	1 ^{er} Rouleau (592 ^{me})	2 ^e Rouleau (455 ^{me})	3 ^e Rouleau (324 ^{me})	Moyenne et ensemble pr la voûte
Dates						
du commencement	25 oct. 1888	20 déc. 1888	10 mars 1889	5 mai 1889	28 juin 1889	25 oct. 1888
de la fin.....	19 déc. 1888	22 fév. 1889	4 mai 1889	5 juin 1889	5 août 1889	5 août 1889
Nombre						
de tronçons.....	"	"	8	8	8	24
de clavages.....	"	"	21	5	5	31
Durée d'exécution en jour- nées (travail effectif).....	44 j	28 j	37 j	28 j	39 j	176 j
Cube de maçonnerie exécu- tée par jour de travail effectif.....	18 ^{me} 02	13 ^{me} 29	16 ^{me} 00	16 ^{me} 25	8 ^{me} 31	14 ^{me} 41
Cube de maçonnerie exécu- tée par journée de 10 ^h de maçon.....	1 ^{me} 48	1 ^{me} 08	1 ^{me} 04	1 ^{me} 03	0 ^{me} 82	1 ^{me} 06
1 ^{re} de maçonnerie de voûte à exécuter :						
Heures de maçon.....	6 ^h 70	12 ^h 12	9 ^h 64	9 ^h 66	12 ^h 26	9 ^h 45
Heures de manœuvres.....	17 ^h 07	9 ^h 23	16 ^h 32	15 ^h 19	13 ^h 52	16 ^h 42
Poids de ciment.....	209 ^k	202 ^k	144 ^k	212 ^k	160 ^k	215 ^k
Nombre de maçons employés par jour.....	12	16	13	15	10	14
Prix de la main-d'œuvre d'un mètre cube.....	8 ^f 54	12 ^f 21	10 ^f 31	9 ^f 87	11 ^f 92	10 ^f 16

6. — 9 à 12 litres d'eau pour 50^k de ciment.

7. Mouvements de la voûte dus aux variations de température. — Le premier rouleau avait été clavé par une température de 0° à 5°. Avant de claver les 2° et 3° rouleaux (juin et août), on arrosa continuellement, pendant 4 jours, les maçonneries, pour les abaisser à + 8°.

Voici les mouvements de la clef observés du 28 septembre 1889 (décintrement) au 28 février 1891.

f_6 — Mouvements de la clef

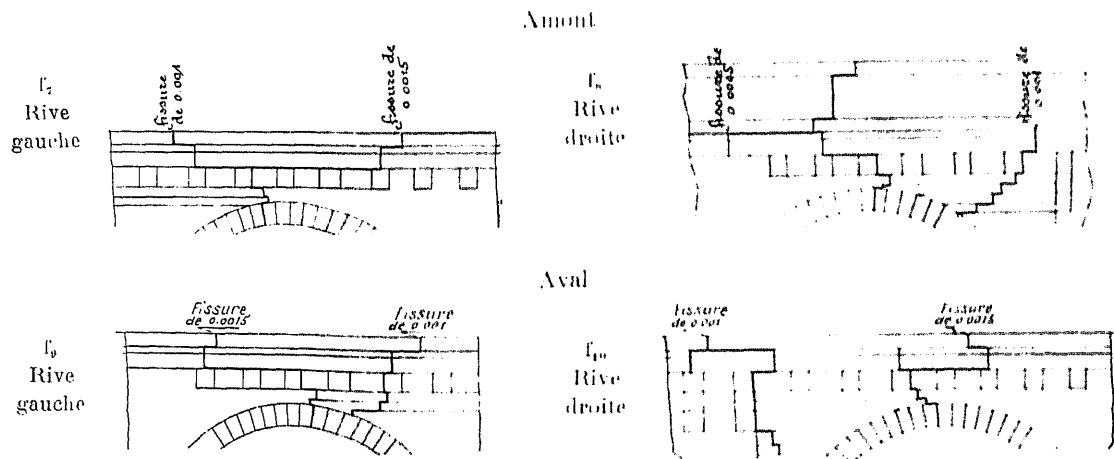


Pour un refroidissement de 20°, la clef baissa de 12 mm ; en juin 1891, elle remonta à sa position du décintrement et la dépassa de quelques millimètres en juillet et août (S_3).

La grande voûte ne s'est pas fissurée.

Les tympans et les parapets se sont ouverts, pendant l'hiver 1890-1891, à la clef des voûtes d'évidement voisines des pilastres (f_1 à f_{10}).

Fissures dans les dernières voûtes d'évidement et au-dessus 8mm



7. — Le développement moyen de l'arc est 83°36, savoir : joints, 14°76 ; granit, 68°90. En admettant pour les coefficients de dilatation : du mortier de ciment, 11×10^{-6} ; du granit, 8×10^{-6} , on trouve, pour un abaissement de 20°, un raccourcissement de : $20^\circ \times 10^{-6} [14^\circ 76 \times 11 + 68^\circ 90 \times 8] = 0^\circ 015157$.

En supposant que la courbe déformée soit encore un arc de cercle, l'abaissement correspondant à la clef est 0°0115, au lieu des 0°012 mesurés. (Calcul donné par M. Draux) (S_4).

8. Personnel.

Ingénieurs. — en chef : M. Daigremont ; — ordinaire : M. Draux.

Entrepreneur : M. Justin Prade (S₃).

SOURCES :

S₁. — Annales des Ponts et Chaussées, 1892, 1^{er} semestre, p. 545 à 596, Pl. 5 à 7 : « Notice sur la construction du Viaduc du Gour-Noir ». M. Draux, Ingénieur des Ponts et Chaussées.

S₂. — Collection des Dessins distribués aux Elèves de l'Ecole des Ponts et Chaussées, Série 4, section C, Pl. 51. — Légende explicative, tome III, p. 1054 à 1067.

S₃. — Chemin de fer de Limoges à Brive par Uzerche. — Rapport sur l'exécution des travaux, p. 50 à 54, Pl. 12 et 13.

S₄. — Ce que j'ai vu — juin 1908.

Les dessins sont extraits de S₁ et de S₂.

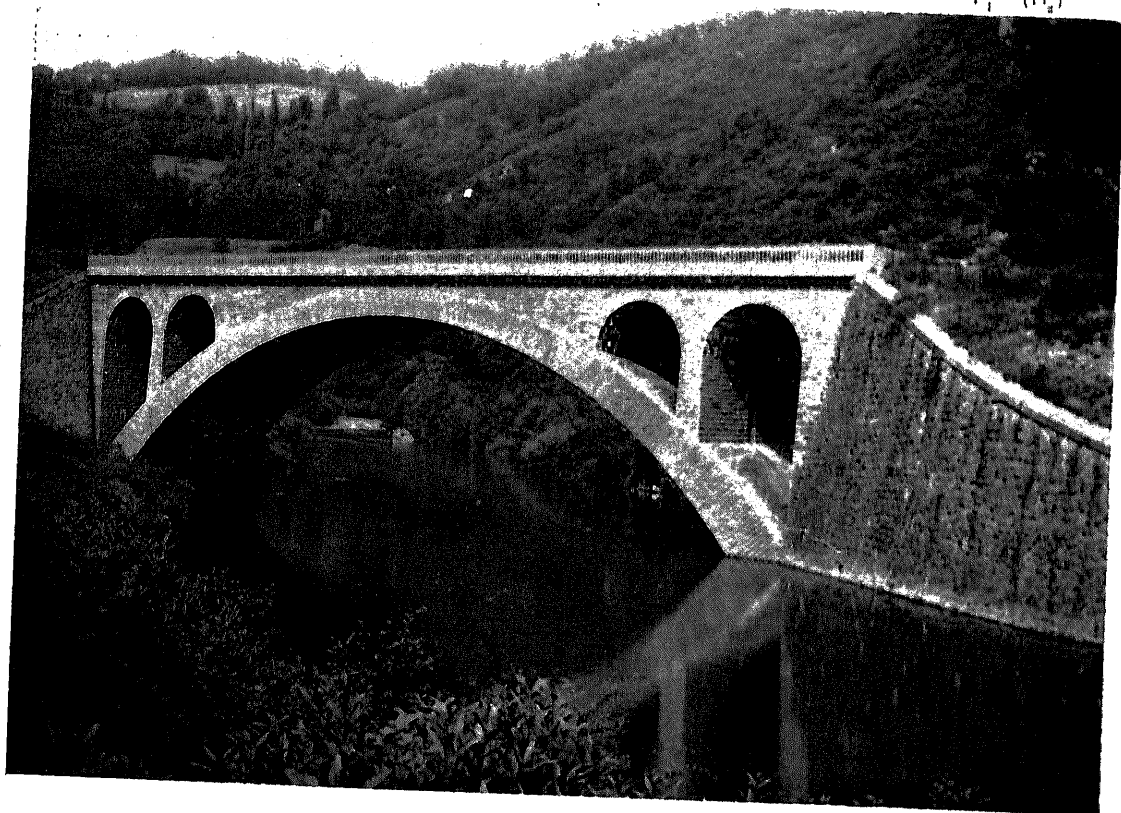
PONT SUR LA VÈZÈRE, A POUCH (CORRÈZE)

Ligne de Limoges à Brive, par Uzerche¹

1890

\hat{A}^1 Fr ($\geq 40m$) 7

Φ_1 (S₂)



1. Pourquoi on a fait une grande voûte. — Le tracé est à 44° sur la Vézère : une grande voûte a évité des piles biaises en rivière.

2. Cintre. — Il est imité de celui du pont Antoinette².

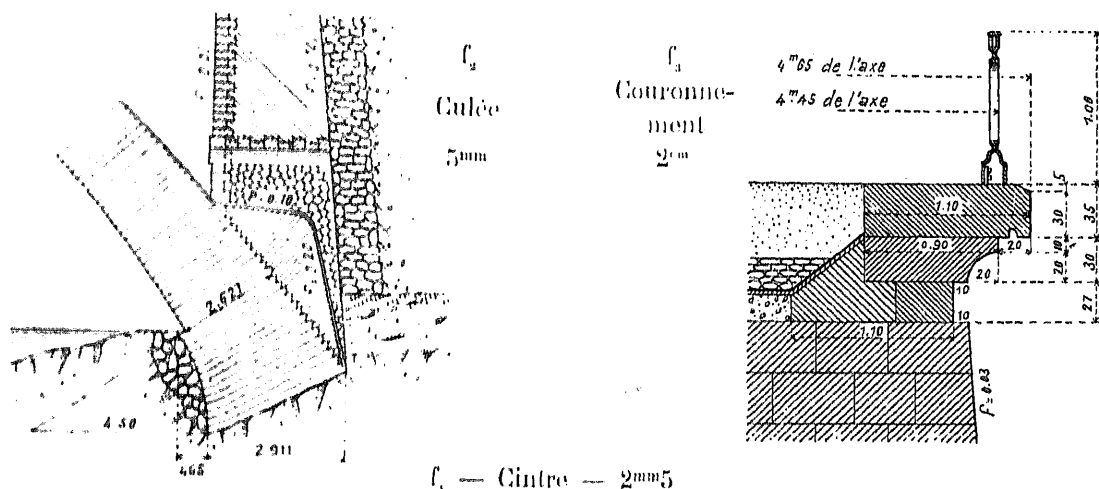
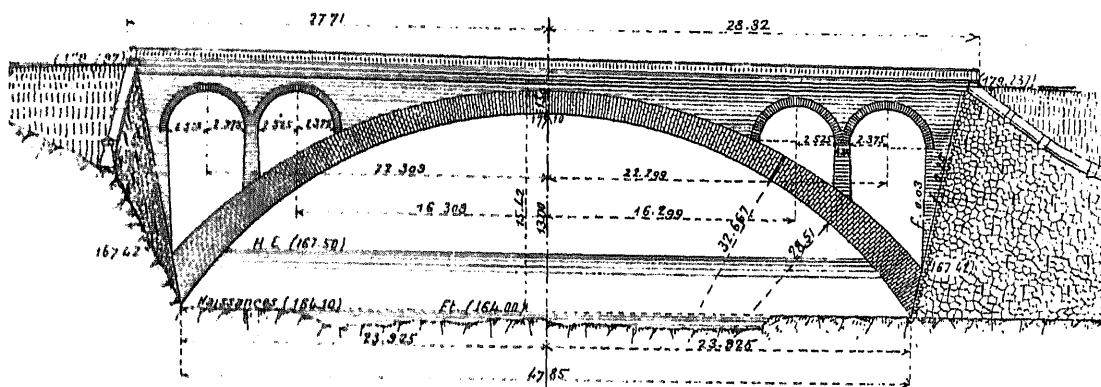
Comme on ne pouvait creuser le rocher, même à l'aiguille, on nettoya sa surface, et on la régularisa avec du béton de ciment, sur 0^m20 à 0^m40.

On fixa dessus des lambourdes, sur lesquelles on appuya le pied des pieux.

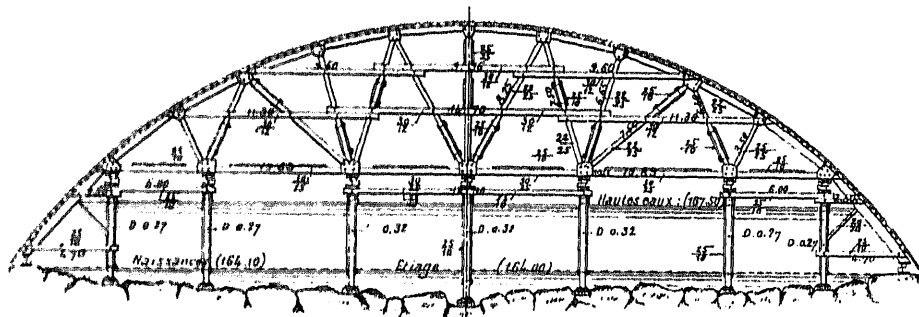
3. Construction de la voûte. — Elle a été construite du 1^{er} mars au 10 juin 1890, en trois rouleaux.

1. — Entre les stations d'Estivaux et d'Allasac, à 2730 d'Estivaux.

2. — \hat{A}^1 Fr ($\geq 40m$) 5 — Tome II.

$$f_1 = \text{elevation} = 2\text{mm}$$


l_1 — Centre — 2mm5



4. Personnel.

Ingénieurs. — en chef : M. Daigremont; — ordinaire : M. Guillaume.

Entrepreneurs : MM. Paviot, Lafeuille et Chaumeil.

SOURCES :

S₁. Chemin de fer de Limoges à Brive, par Uzerche. — Rapport sur l'exécution des travaux, p. 56 à 59, Pl. 16.

S₄. — Ce que j'ai vu — juin 1908.

PONT SUR LA VÈZÈRE, A FREYSSINET (CORRÈZE)

Ligne de Limoges à Brice, par Uzerche¹

1890-1891

\widehat{A}^1 Fr ($\geq 40m$)⁸

ϕ_1 (S₂)



1. Pourquoi on a fait une grande voûte. — Le tracé coupe la Vézère sous un angle de 50° : une grande voûte a évité des piles blaises en rivière.

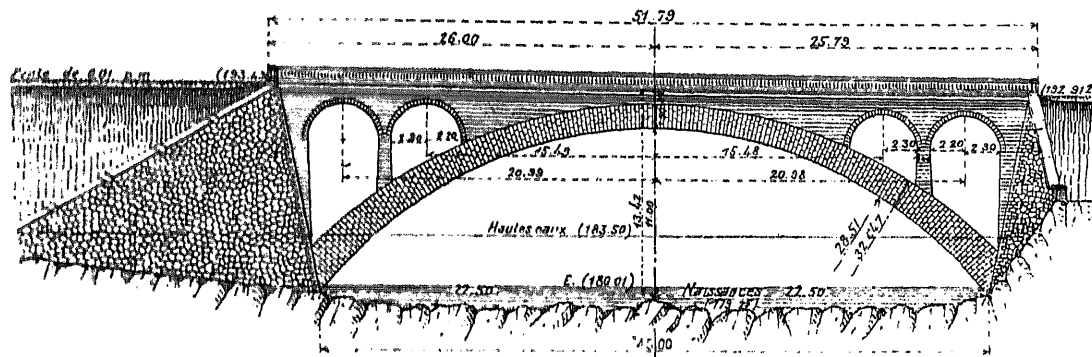
2. Appareil. — Couronnement. — Comme au pont de Pouch².

3. Cintre. — On y a réemployé celui du pont de Pouch.
Comme à Pouch, les pieux portent sur des lambourdes fixées sur un lit de béton régularisant la surface du rocher, mise à nu et nettoyée.

1. — Entre les stations d'Estivaux et d'Allussac, à 1260 d'Estivaux.

2. — \widehat{A}^1 Fr ($\geq 40m$)⁷ — Tome III.

f₁ — Élévation — 2mm



4. Personnel. — Comme au pont de Pouch².

SOURCES :

S₁. Chemin de fer de Limoges à Brive, par Uzerche, - Rapport sur l'exécution des travaux, p. 56 à 59, Pl. 15.

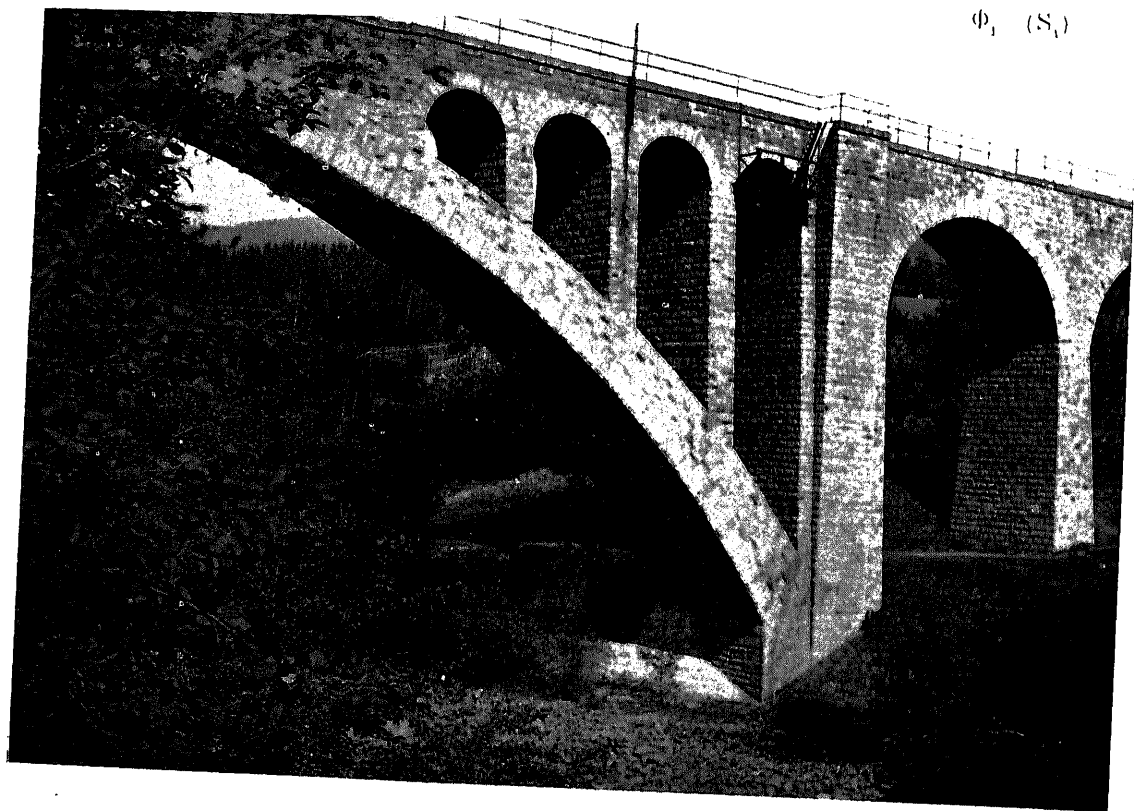
S₂. Ce que j'ai vu - juin 1908.

PONT SUR LE PRUTH, A JAREMCZE¹ (AUTRICHE, - Galicie)
Ligne de Stanislaw (Galicie) — Woronienka — Szigeth (Hongrie)

1893-1894

\widehat{A}^1 1^{re} (40m)

Φ_1 (S₁)



1. Pourquoi on a adopté une grande voûte (S₁). — La ligne traverse en biais la rivière.
 On a accepté la portée de 65^m, après les essais sur les voûtes, faits en Autriche en 1890-1891².

2. Aspect (S₂). — Cette grande voûte porte sur de courts pieds-droits : sans eux, l'aspect serait meilleur, la voûte moins tendue.
 Les dernières piles d'élégissement sont trop hautes.

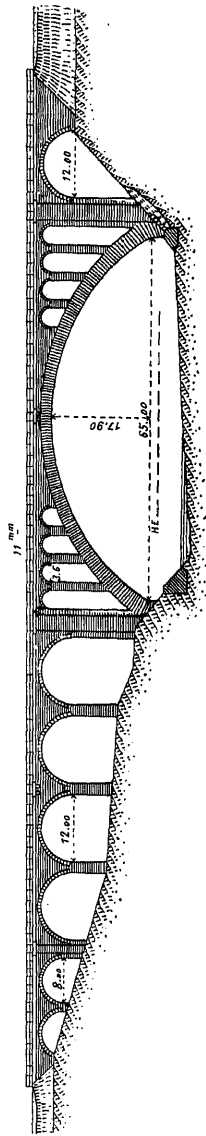
3. Chape (S₂). — Sur 5 à 9^m de béton, 2^m d'asphalte recouverte, après prise, de sable grossier³.

1. — A 650^m au-delà, vers Woronienka, de la station de Jaremcze.

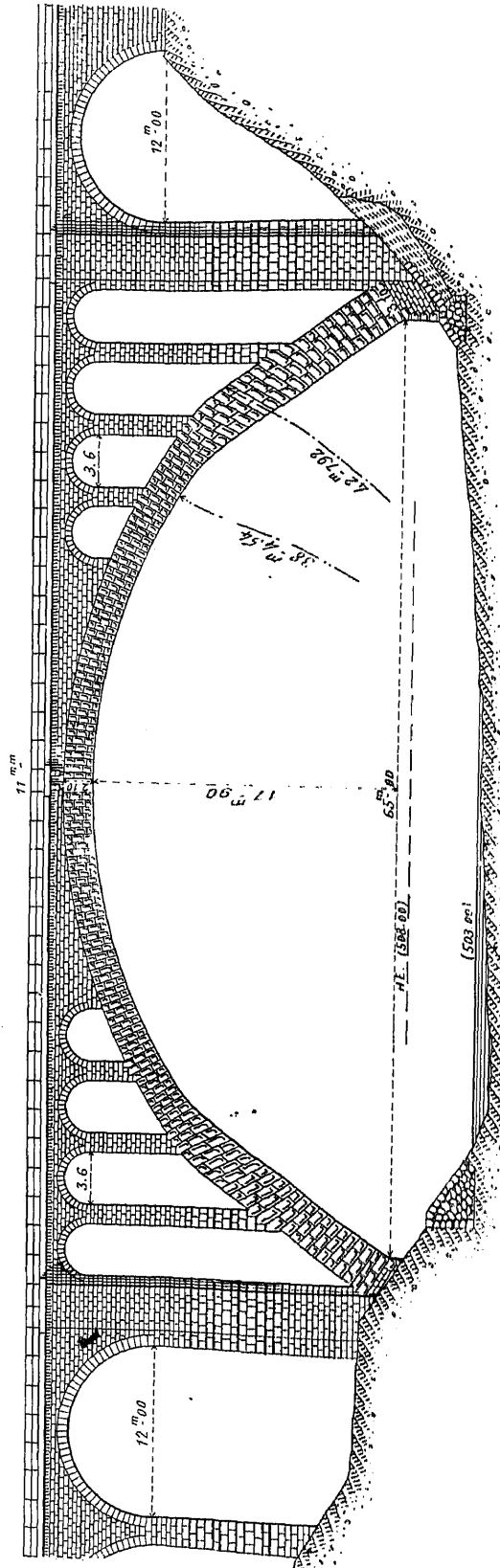
2. — Ils sont exposés plus loin : Tome III, Livre II.

3. — Prix du m. q. : 6^{fr} 88^{kr} = 14^{fr} 45.

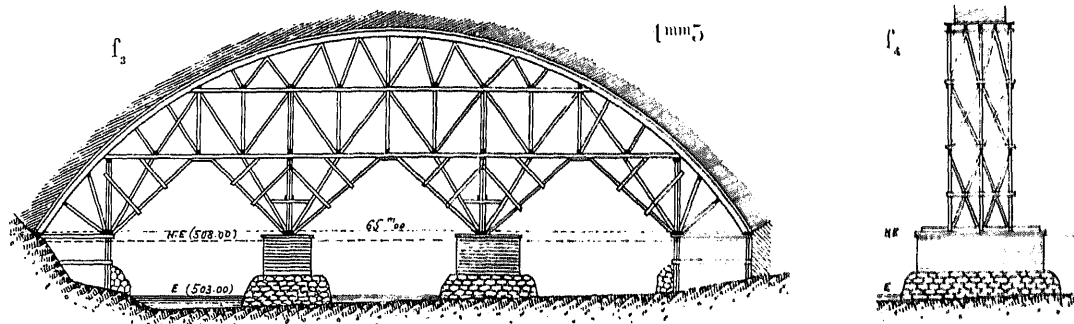
f_1 — Ensemble — 0mm75 (S₁)



f_2 — Grande voûte — 2mm



1. — Agrandi d'après S₁. — L'appareil est dessiné d'après mes photographies.

4. Cintre (S₁).

5. Exécution de la grande voûte. — A l'exemple des ponts français⁵, la grande voûte a été construite en trois rouleaux (S₄).

Au 1^{er}, les voussoirs étaient posés à sec, d'abord en 6 attaques, plus tard en 8, avec joints de 18^{mm} au moins, sur liteaux en bois, matés ensuite en 5 jours 1², au mortier humide.

En mars 1894, on posait 6 à 10 assises par jour (S₄).

6. Avantages du malage (S₃). — « L'expérience a montré qu'il était
« très utile de poser à sec et de mater. Le mortier atteint une dureté inouïe; sa
« liaison à la pierre est aussi intime qu'entre ses molécules elles-mêmes; il n'y a
« pas d'espace vide, car on peut exercer une surveillance minutieuse en raison de la
« courte durée de la construction. »

7. Main-d'œuvre et fournitures pour la grande voûte (S₄).

On y a employé :		en tout	par m.c. de moellons (1060 ^m)
Journées de	maçons	679 i	0 i 64
	manœuvres	1071 i	1 i 00
	chevaux	52 i	0 i 05
Ciment Portland		55 i 2	52 i 1
Mortier malé		121 ^m	0 ^m 114

8. Dates.

Achèvement du cintre (S ₄).....		décembre 1893		
Grande voûte	Commencement	mars 1894 (S ₄)		
	{ 1 ^{er} rouleau {	Fin de la pose.....	8 avril	
		{	Clavage (malage des joints).....	mi-avril (S ₄)
			Clavage du 3 ^e rouleau.....	10 mai
Achèvement des voûtes d'élégissement et d'accès.....		fin juillet		
Décintrement.....		2 ^e moitié d'août		
Ouverture à la circulation.....		20 novembre 1894		

5. — « Im Einklange mit französischen Bauausführungen... » (S₁).

9. Épreuves (S_1). — Aucune déformation sous un train de 3 locomotives, le 11 novembre 1894.

10. Grandes voûtes imitées de celle de Jaremeze. — Les dispositions principales de Jaremeze ont été reproduites à toutes les grandes voûtes sous chemin de fer :

d'Autriche (Ponts de Jamna, Worochta, Krenngraben, Steyrling, Salcano⁶, Palmgraben, Schalehgraben, Rothweinbach⁷).

du Grand Duché de Bade (Ponts sur la Gutach, sur le Schwändeholzdobel, de Langenbrand⁸).

C'a été un pont type.

11. Personnel.

Ingénieurs :

Projet : M. Huss, Ingénieur en chef de la Direction des Chemins de fer, à Vienne (S_1).

Direction des Travaux : M. Kosinski, Inspecteur à Stanislau (Galicie) (S_2).

Entrepreneur : M. Johann Koller, à Stanislau (S_3).

6. \widehat{A}^1 Pr. 1 = 40m(10, 11, 17, 18, 19 — Tome III.

7. \widehat{A}^1 Pr. 1 = 40m(8, 9, 10 — Tome II.

8. \widehat{A}^1 Pr. 1 = 40m(12, 13, 21 — Tome III.

SOURCES :

Zeitschrift des österreichischen Ingenieur- und Architekten Vereins :

S_1 . — 20 octobre 1893, p. 545 à 547, Pl. XXIV : « *Mittheilungen über die grossen gewölbten Brücken der K. K. Staatsbahn Stanislau-Woronienka* », von Ober-Inspector Ludwig Huss, Vorstand des Bureau für Unterbau und Brücken der K. K. General-Direktion der österreichischen Staatsbahnen, — octobre 1893.

(Cet article a été écrit avant la construction de la voûte).

S_2 . — 1894, p. 533 à 535 : « *Die Bauvollendung der grossen gewölbten Brücken der K. K. Staatsbahn Stanislau-Woronienka.* » Ludwig Huss.

S_3 . — Renseignements qu'a bien voulu me donner, sur place, M. G. Geyer, Directeur du réseau de Galicie, — septembre 1909.

S_4 . — Ce que j'ai vu — septembre 1909.

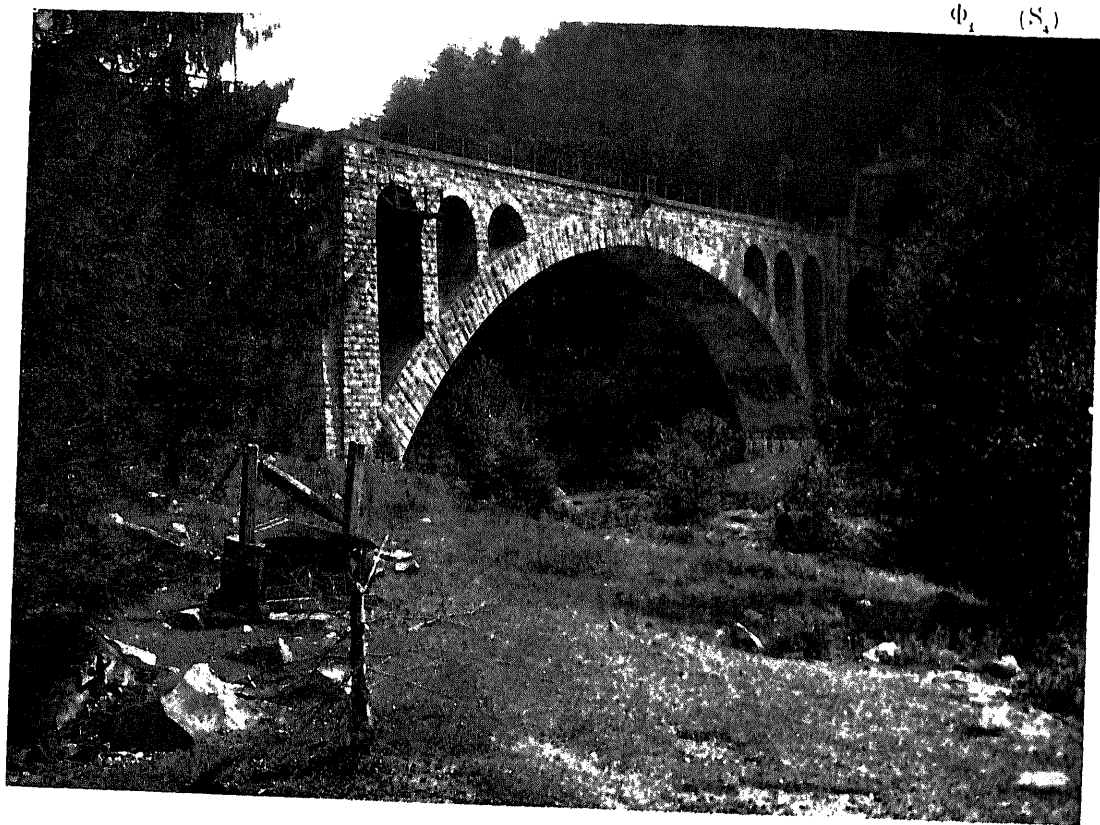
PONT SUR LE PRUTH, A JAMNA¹ (AUTRICHE, - Galicie)

Ligne de Stanislaw (Galicie) — Woronienka — Szigeth (Hongrie)

1893-1894

\widehat{A}^1 Fr ($\geq 40m$)¹⁰

Φ_1 (S₁)



1. Quelques observations (S₁). — Même appareil, mêmes maçonneries, même chape qu'à Jaremeze².

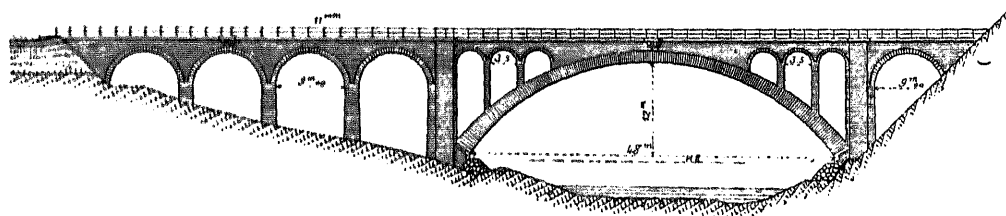
L'appareil du bandeau se continue dans le pilastre.
La plinthe paraît maigre.

2. Exécution de la grande voûte. — Même méthode qu'à Jaremeze², mais avec 2 rouleaux au lieu de 3.

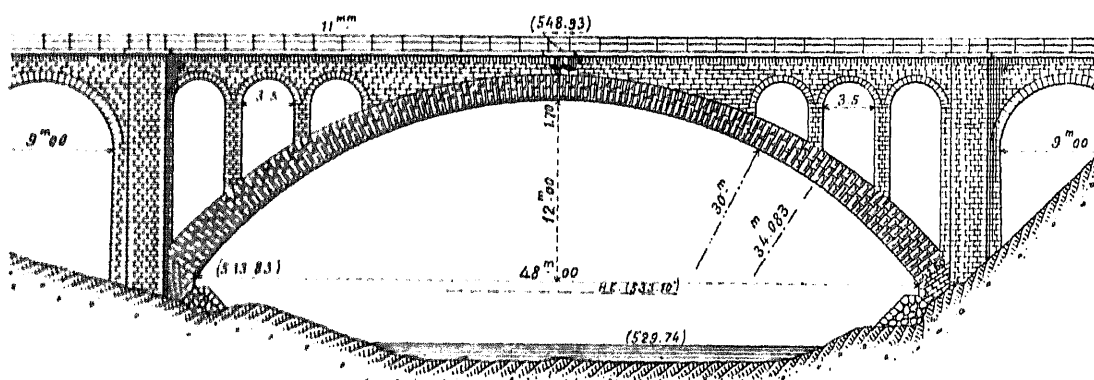
1. — A 1⁰096 en deçà, vers Stanislaw, de la station de Jamna.

2. — \widehat{A}^1 Fr ($\geq 40m$)⁹ — Tome III, p. 114.

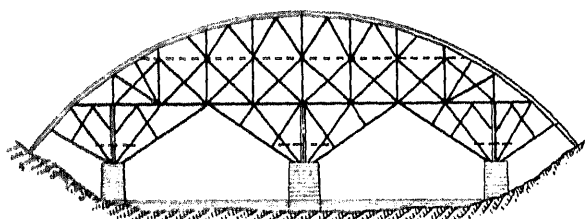
f_1 — Ensemble — 1mm



f_2 — Grande voûte — 2mm



f_3 — Cintre



3. Dates.

Commencement des travaux.....	1893
Achèvement du cintre.....	décembre (S_2)
	1894
Fin de la pose des moellons du premier rouleau.....	8 avril
Clavage du 2 ^e rouleau.....	10 mai
Achèvement des voûtes d'élégissement et d'accès.....	fin juillet
Décintrement.....	2 ^e moitié d'août
Épreuves (même résultat qu'au Pont de Jaremeze ²).....	11 novembre
Ouverture à la circulation.....	20 novembre

4. Personnel. — Comme au Pont de Jaremeze².

3. — Agrandi d'après S_1 . — L'appareil est dessiné d'après Φ_1 .

4. — Calqué sur une photographie (S_3 , p. 534).

SOURCES :

Celles du Pont de Jaremeze \widehat{A}^1 Fr ($\geq 40m$)⁹, p. 117.

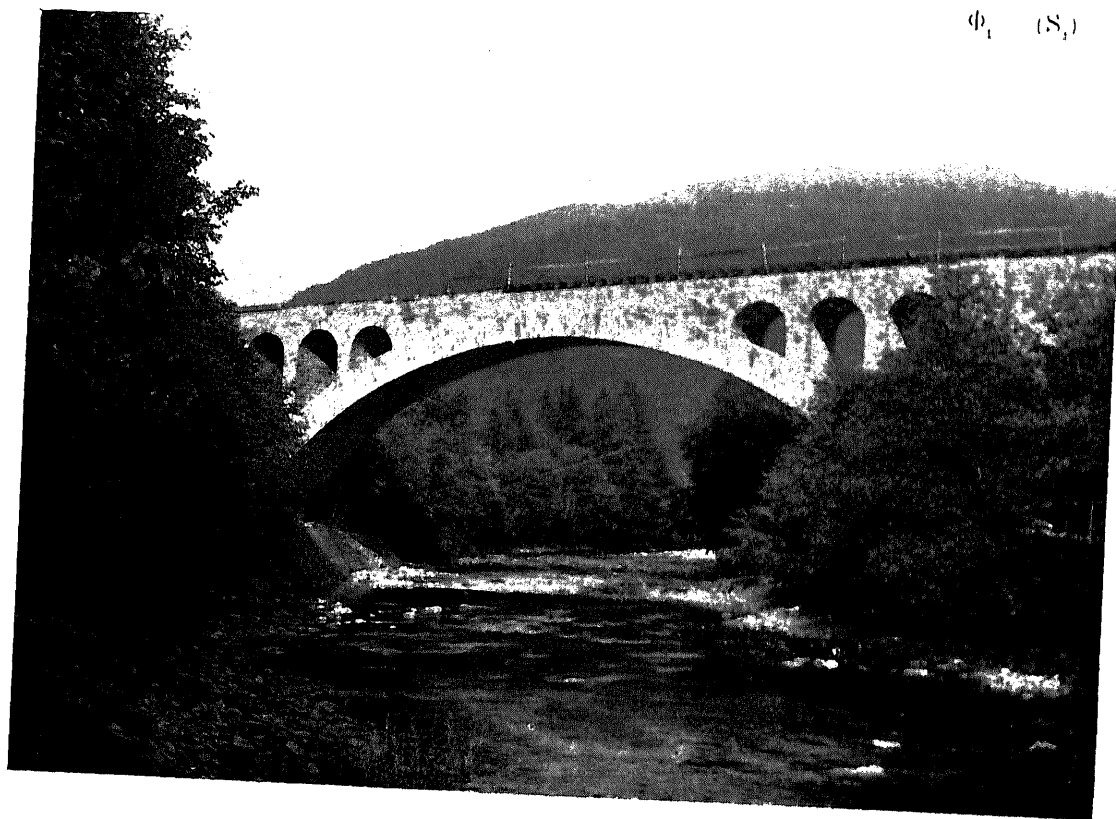
PONT SUR LE PRUTH, PRÈS DE WOROCHTA ^{1,2} (AUTRICHE, - Galicie)

Ligne de Stanislaw (Galicie) — Woronienka — Szigeth (Hongrie)

1893-1894

\widehat{A}^1 Fr ($\geq 40m$) II

Φ_1 (S₁)



1. Quelques observations (S₁). — Mêmes dispositions générales qu'à Jaremcze ³ et à Jamna ⁴.

Les bandeaux ont un léger bossage ; la douelle, à taille plate, a mêmes épaisseurs d'assise.

La plinthe paraît maigre.

Beaucoup de moellons de douelle sont attaqués.

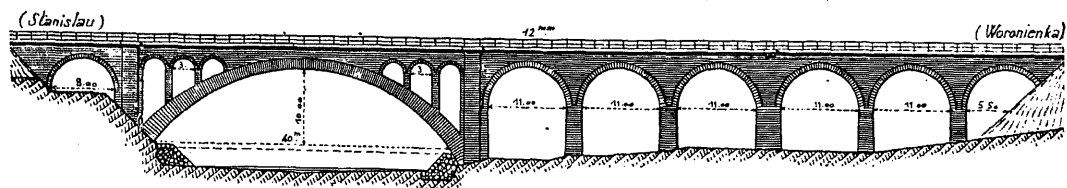
1. — A 523^m en deçà, vers Stanislaw, de la station de Worochta.

2. — Il y en a un autre, — voûte en arc peu surbaissée, de 34^m60 d'ouverture, avec tympans élégs, entre deux viaducs d'accès (S₁).

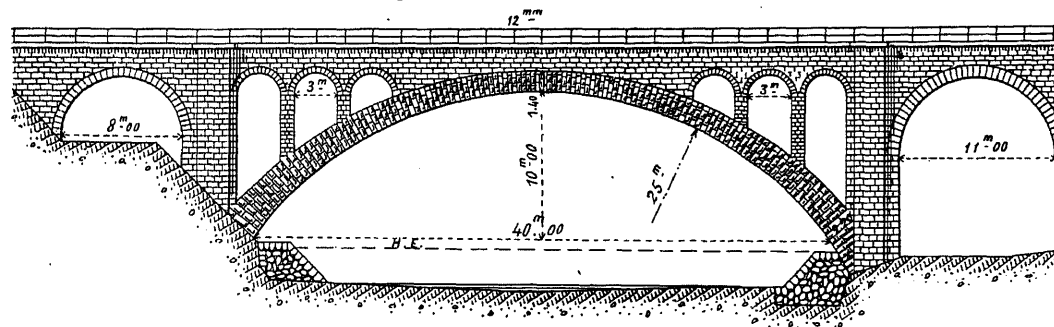
3. — \widehat{A}^1 Fr ($\geq 40m$) 9, — Tome III.

4. — \widehat{A}^1 Fr ($\geq 40m$) 10, — Tome III.

f_1 . — Ensemble — 1^{mm} (S_1)



f_2^s — Grande voûte — 2^{mm}



En août 1909, on refaisait la chape : le carton bitumineux employé en 1894 n'avait pas duré.

2. Personnel. — Comme au Pont de Jaremeze ³.

5. — Agrandi d'après S_1 . — L'appareil est dessiné d'après Φ_1 .

SOURCES :

S_1 du Pont de Jaremeze, \widehat{A}^1 Fr ($\geq 40^m$)⁹, p. 117.

S_2 . — Ce que j'ai vu — septembre 1909.

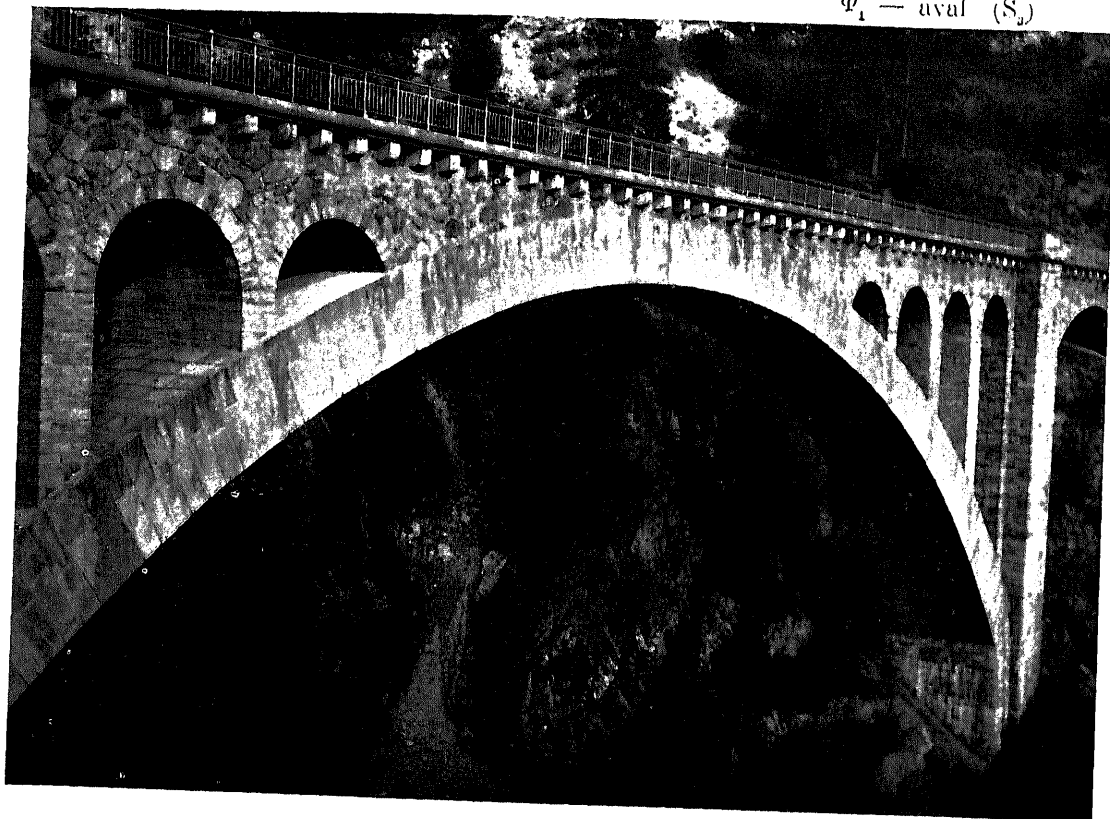
PONT SUR LA GUTACH (ALLEMAGNE, - Grand Duché de Bade)

Ligne de Neustadt à Donaueschingen¹

1899-1900 .

\widehat{A}^1 Fr ($\geq 40^m$) 12

Φ_1 — aval (S_2)



1. Pieds-droits de la grande voûte. — Comme au Pont de Jaremeze², dont celui-ci est une réplique, la grande voûte, au lieu de retomber directement sur le sol, porte sur de petits pieds-droits.

2. Joints de dilatation. — On a ménagé, au-dessus des voûtes d'élégissement voisines des pilastres, des joints verticaux secs j (f_2). Ils traversent la plinthe; ils sont prolongés, dans la voûte d'élégissement, par une feuille de plomb disposée suivant un joint normal à l'intrados.

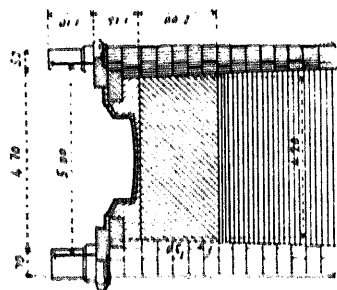
3. Chape. — L'extrados de la grande voûte a été peint à l'huile. La chape est en feuilles de « Tektolith ».³

1. — Cette ligne prolonge celle de Fribourg-en-Brisgau à Neustadt, dite « Hœllenthalbahn ». Le pont est entre les stations de Kappel et de Röttenbach, près de celle de Kappel, à environ 39° de Fribourg.

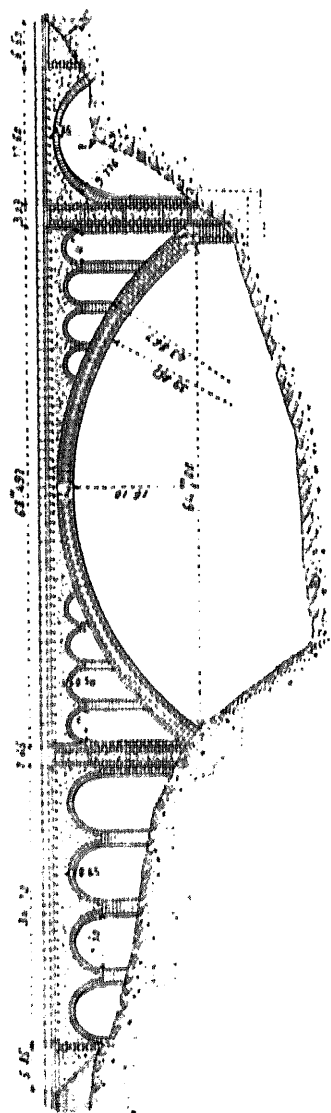
2. — \widehat{A}^1 Fr ($\geq 40^m$) 9 — Tome III.

3. — Tissue asphalté.

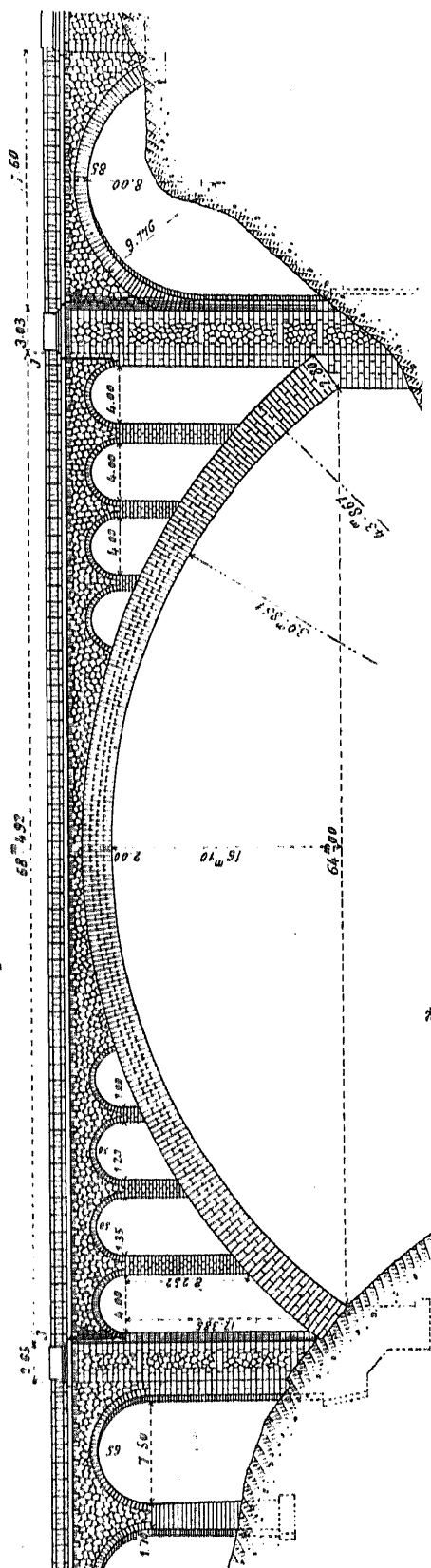
— 1917 —



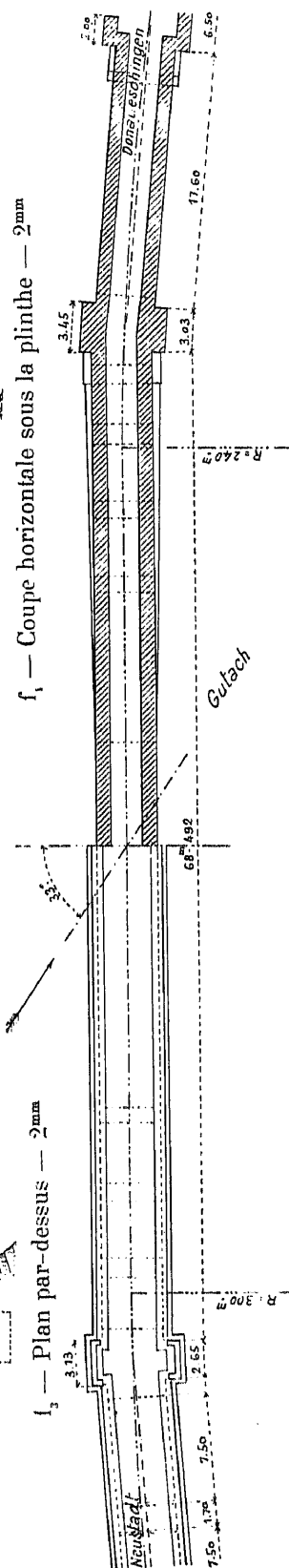
— Amle — 1 —



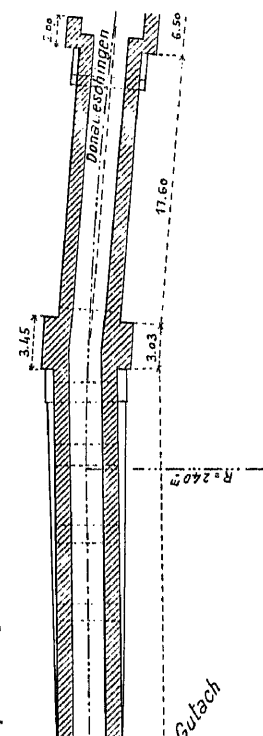
1. — Grande route — 2mm



1₃ — Plan par-dessus — 2mm

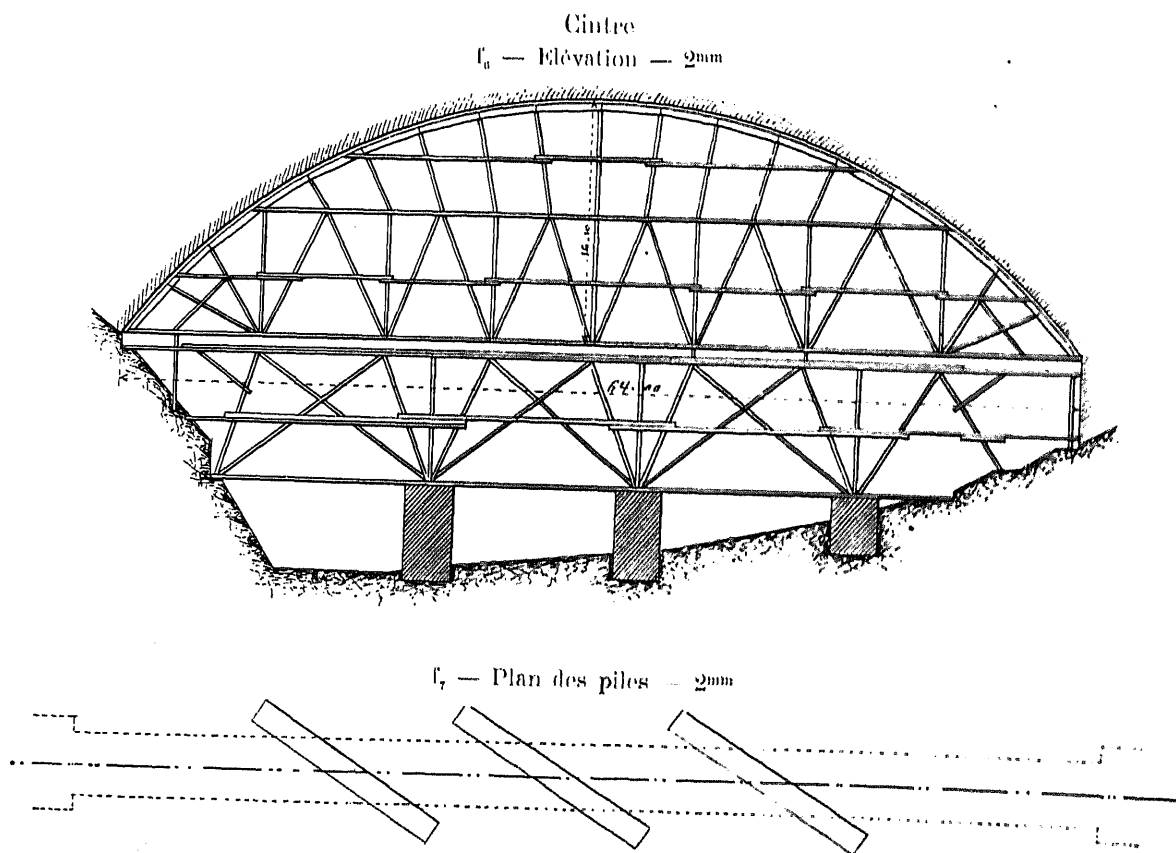


f₁ — Coupe horizontale sous la plinthe — 2^{mm}



4. Tlinthe. — Elle est en encorbellement sur consoles ancrées dans les tympan.

5. Cintre. — Les deux étages supérieurs ont la même disposition qu'au pont de Lavour⁴.



6. Exécution de la grande voûte. — « Comme les constructions... françaises... prises pour modèle »⁵, elle a été faite en deux rouleaux.

Le premier a été construit du 24 septembre au 3 octobre 1899, en 6 attaques. On a posé à sec tous les voussoirs sur liteaux de 15^{mm} à 22^{mm}.

Ses moellons courts avaient la moitié de l'épaisseur totale de la voûte, soit 1^m à la clef et 1^m40 aux retombées; ses longs dépassaient de 30^{cm}.

Les joints secs ont été matés au mortier de ciment, du 3 au 6 octobre 1899.

Le deuxième rouleau a été construit du 3 au 13 mai 1900 : on matait tous les joints sur la hauteur de ses moellons courts.

4. — \hat{A}^1 Fr ($\geq 40^m$)⁴ — Tome II.

5. — « Im Einklang mit den österreichischen oder vielmehr den französischen Bauausführungen die hierfür vorbildlich waren... » (S₄, p. 272).

7. Tassements moyens à la clef, comptés à partir du 24 septembre 1899, commencement de la construction du premier rouleau.

Dates		Tassements en mm	Température de l'air en degrés Celsius
Tassement du cintre	1899		
	3 octobre (avant le clavage du 1 ^{er} rouleau).	53	»
	1900		
	1 ^{er} mai (avant la construction du 2 ^e rouleau).	79	»
Tassement de la voûte	14 mai (après la construction du 2 ^e rouleau).	85	»
	9 juin.....	89	+ 12°
	11 juin.....	110	+ 12°
	22 août.....	129	+ 19°
	30 novembre.....	144	+ 1°
	1901		
	14 février.....	168	— 12°
	10 juillet.....	150	+ 22°

Sans surcharge, la voûte porte 11 tonnes par mètre courant.

A aucun moment, on n'y a observé de fissure.

SOURCES :

S₁. — « Die Fortsetzung der Höllenthalbahn von Neustadt über Löffingen nach Hüfingen », — Karlsruhe, Chr. Fr. Müllers'sche Hofbuchdruckerei, 1901, p. 25 à 28, Pl. hors-texte : « Gutachbrücke ».

S₂. — La Schweizerische Bauzeitung du 21 décembre 1901 donne, p. 271 à 275, un article de M. R. Moser, Ingénieur en chef : « Grosse Steinbrücken im Grossherzogtum Baden » dont les renseignements sont extraits de S₁.

S₃. — Ce que j'ai vu — août 1908.

PONT SUR LE SCHWÄNDEHOLZDOBEL

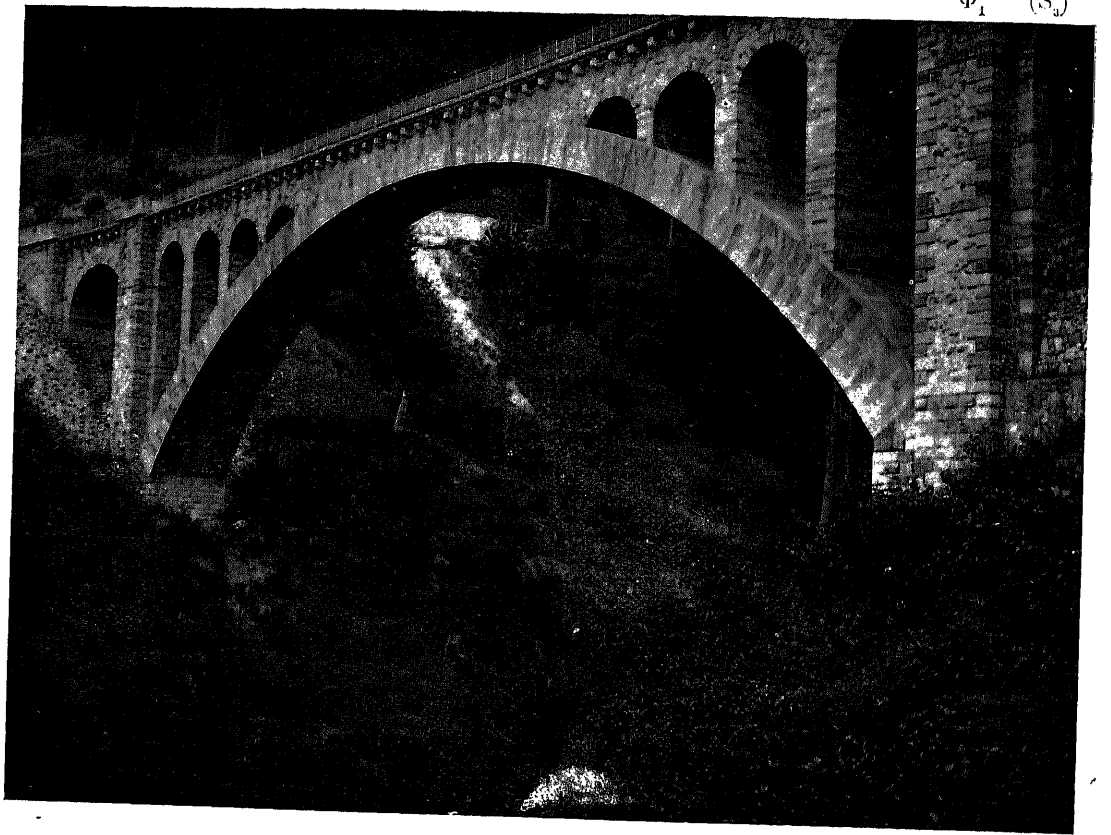
(ALLEMAGNE, - Grand-Duché de Bade)

Ligne de Neustadt à Donaueschingen ¹

1899-1900

\widehat{A}^1 Fr ($\geq 40m$)¹³

Φ_1 (S_d)



1. Pieds-droits de la grande voûte. — Comme au Pont sur la Gutach ², construit en même temps, réplique comme lui du Pont de Jaremcze ³, la grande voûte, au lieu de retomber sur le sol, porte sur de petits pieds-droits.

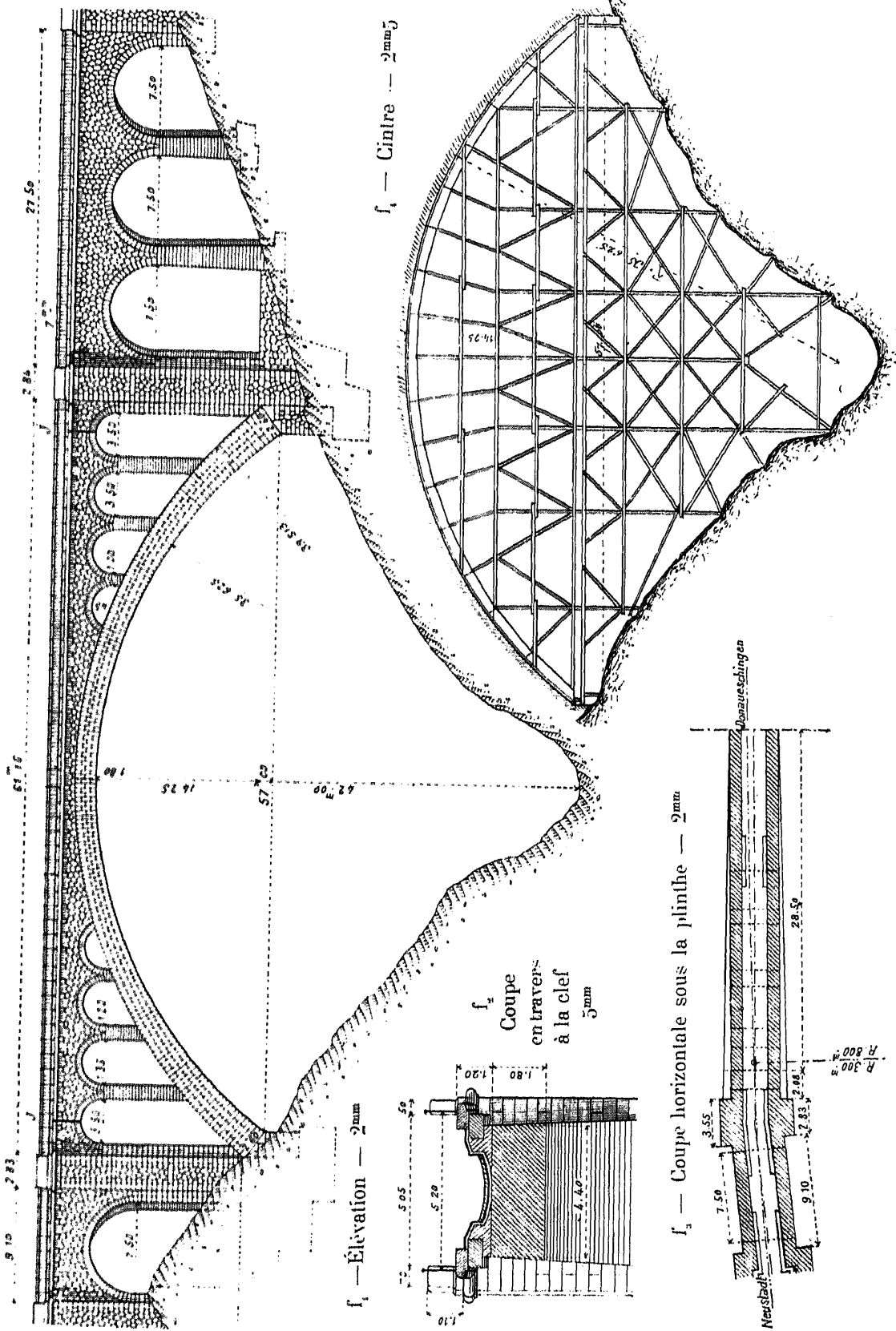
2. Joints de dilatation. — On a laissé vide un joint vertical j (f_1), depuis la clef de la voûte d'évidement voisine du pilastre, jusqu'à la plinthe.

3. Plinthe. — Elle est en encorbellement sur consoles ancrées dans les tympans.

1. — Le pont est entre les stations de Kappel et de Röthenbach, à 1^{re} 5 environ du pont sur la Gutach \widehat{A}^1 Fr ($\geq 40m$)¹².

2. — \widehat{A}^1 Fr ($\geq 40m$)¹² - Tome III.

3. — \widehat{A}^1 Fr ($\geq 40m$)⁹ - Tome III.



4. Cintre (f_4). — Les deux étages supérieurs ont la même disposition qu'au pont de Lavour ⁴.

5. Exécution de la grande voûte. — Même mode de construction qu'au pont sur la Gutach ⁵ : deux rouleaux avec découpe de 0^m30.

6. Dates.

1 ^{er} rouleau	Construction.....	23-30 avril 1900
	Clavages.....	30 avril - 2 mai 1900
2 ^e rouleau.....		23 mai - 1 ^{er} juin 1900

7. Tassements moyens à la clef, comptés à partir du 25 avril 1900, pendant la construction du premier rouleau.

Dates		Tassements en <i>mm</i> .	Température de l'air en degrés Celsius
1900			
Tassement du cintre	6 mai (après clavage du 1 ^{er} rouleau)	66	»
	21 mai (avant construction du 2 ^e rouleau).....	79	»
	1 ^{er} juin (après construction du 2 ^e rouleau).....	87	+ 15°
	13 juillet (avant décintrement).....	99	+ 20°
Tassement de la voûte	13 juillet (après décintrement).....	120	+ 20°
	3 novembre.....	172	+ 10°
	1901		
	14 février.....	200	- 17°
	10 juillet.....	183	+ 25°

On n'a pas constaté de fissure dans la voûte.

4. — \widehat{A}^1 Fr ($\geq 40^m$)⁴ - Tome II.

5. — \widehat{A}^1 Fr ($\geq 40^m$)¹² - Tome III.

SOURCES :

S₁. — « Die Fortsetzung der Höllenthalbahn von Neustadt über Löffingen nach Hüfingen », Karlsruhe, Chr. Fr. Müllers'sche Hofbuchdruckerei, 1901, p. 28 à 30, Pl. hors-texte : « Die « Schwändeholzdobelbrücke » ».

S₂. — La Schweizerische Bauzeitung du 21 décembre 1901 donne, pages 271 à 275, un article de M. R. Moser, Ingénieur en chef : « Grosse Steinbrücken im Grossherzogtum Baden », dont les renseignements sont extraits de S₁.

S₃. — Ce que j'ai vu — août 1908.

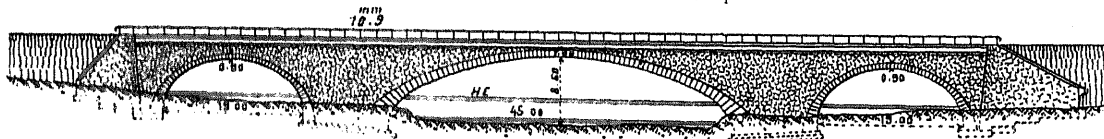
PONT SUR LA CHEMNITZ (SAXE)

Ligne¹ de Chemnitz à Wechselburg²

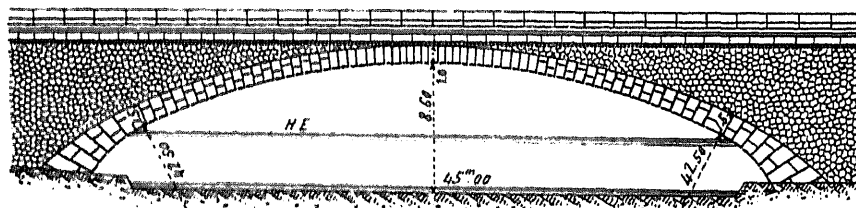
1901-1902

\bar{A}^1 1^{er} $\geq 40^m$ 14

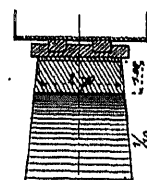
f_1 — Ensemble — 1^{mm} (S'₁)



f_2 — Grande voûte³ — 2^{mm} (S''₁)



f_3 — Coupe en travers à la clef — 4^{mm} (S'₁)



ϕ_1 (S''₁)



1. Dispositions à signaler. — L'ouvrage traverse en biais la Chemnitz (S''₁).

Il n'a que 2^m70 de largeur en haut.

Le parapet et les trottoirs sont en encorbellement. On a simulé des bandeaux avec un crépi jouant le granit; la douelle est barbouillée de mortier (S''₁).

2. Personnel.

Exécution : MM. Liebold et C^{ie}, de Langebrück (Saxe).

1. — d'intérêt local à voie normale.
2. — au point 21st647 de la ligne.
3. — La portée est 46^m d'après S''₁.

SOURCES :

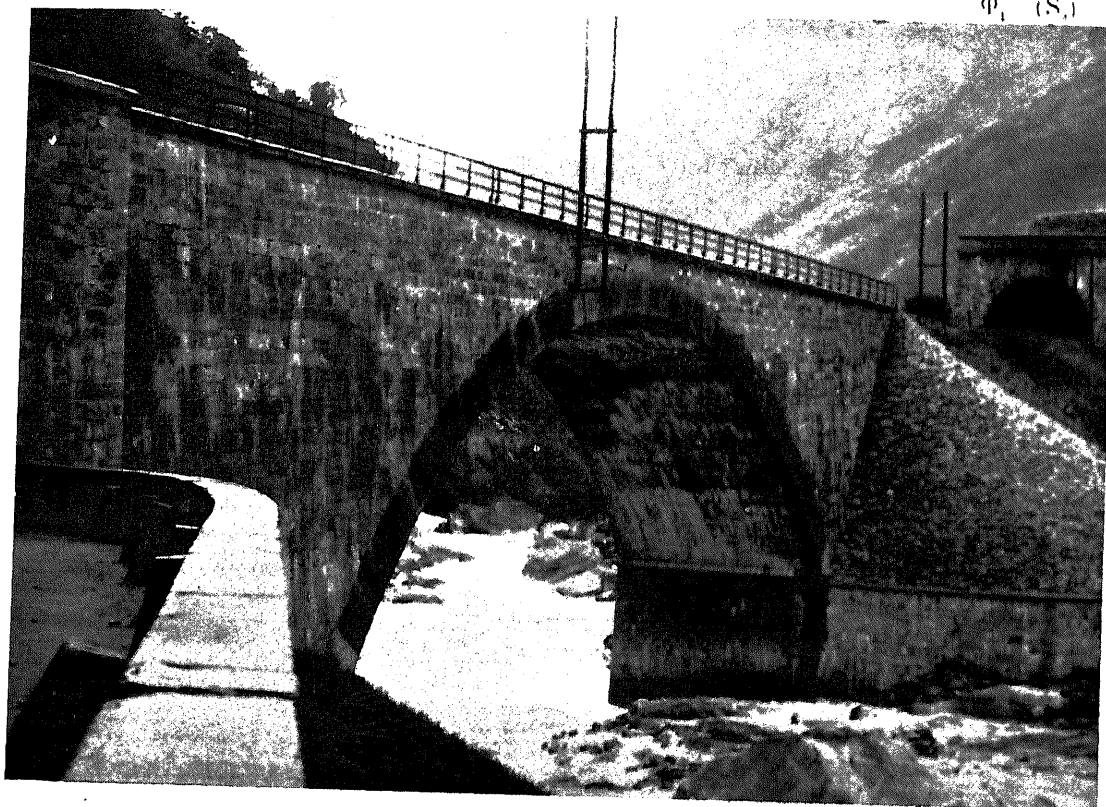
S₁. — Dessins (S'₁) et album (S''₁) qu'a bien voulu me remettre M. Liebold, en 1908.

PONT SUR LE TORRENT DIVERIA (ITALIE, - Province de l'Ossola)
 Ligne de Domodossola à Iselle¹ (Descente du Simplon à Milan)

1902

A¹ 1^{re} (10m) 15

Φ_1 (S.)



1. Quelques observations. — Le pont traverse en biais le torrent : on l'y entonne par de longs guideaux.

Les guideaux, tympan, piédroits, plinthes, pilastres, sont en granit ; la voûte est en briques.

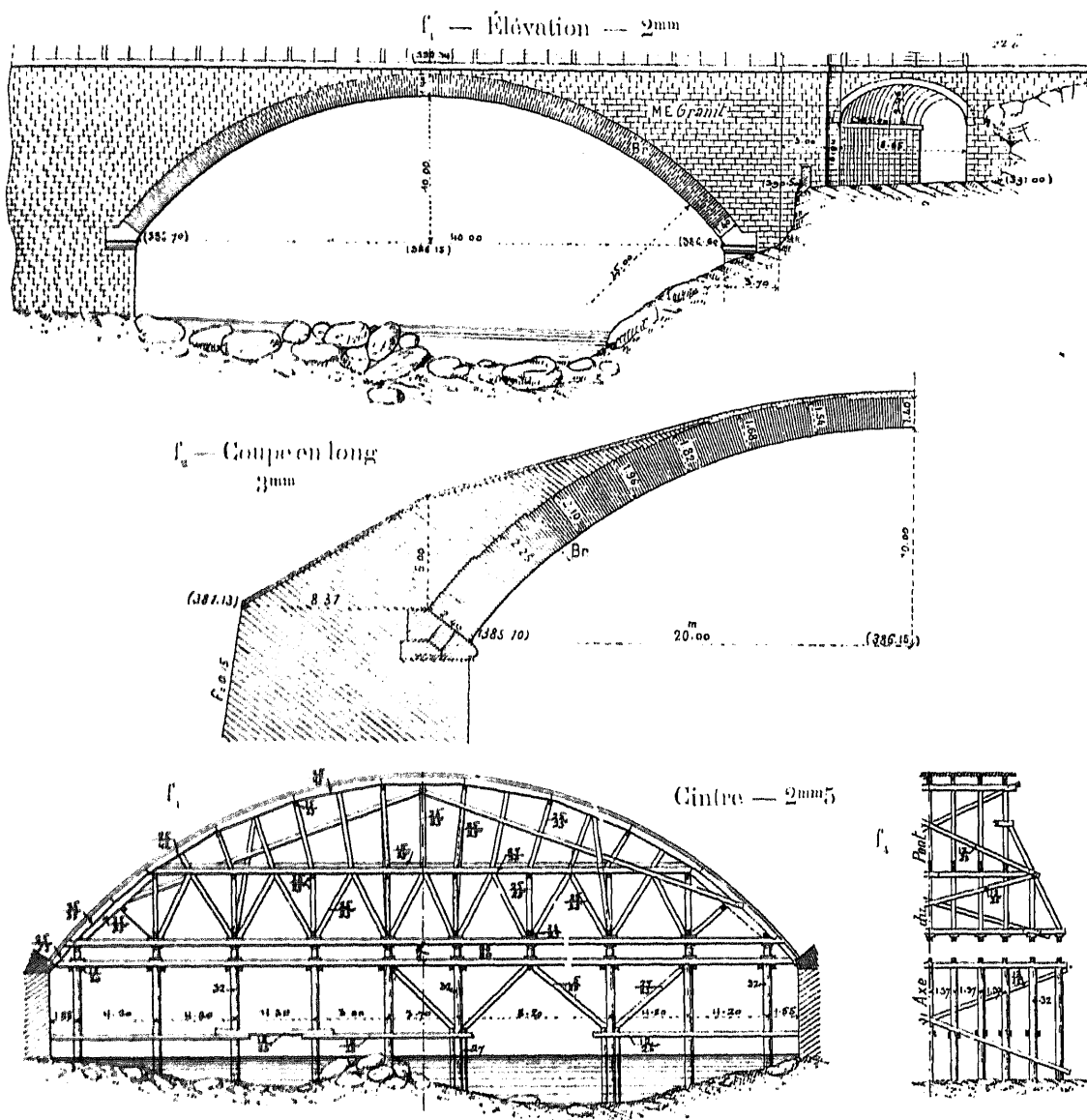
La plinthe paraît maigre.

2. Cintre.

Pieux.....	117 ^m
Fermes.....	150
Brise-lame.....	7
Contreventement transversal.....	39
Platelage.....	42
En tout.....	355 ^m

3. Dates. — La voûte fut commencée dans les premiers jours de mai 1902, terminée vers le milieu de juillet.

1. — au Pt. 6*911^m de cette ligne, entre les stations de Varzo et Preglia, à 3*1 environ en amont de Preglia.



4. Personnel².

Projet : M. Giuseppe Oliva, alors Directeur du Service de la Construction et de l'Entretien de la Société des Chemins de fer de la Méditerranée ; depuis, Directeur Général de cette Société.

Exécution en régie.

2. — Indication gracieusement donnée par M. Edouard Garneri, Chef du Service de l'Entretien des Chemins de fer de l'Etat, à Bologne.

SOURCES :

S₁. — Società Italiana per le Strade Ferrate del Mediterraneo. — Servizio delle Costruzioni : « *Relazione sugli Studi e Lavori eseguiti dal 1897 a 1905* », — texte : chapitre II, pages 99 et 100 ; — dessins : tav. XVII, — Rome 1906.

S₂. — Ce que j'ai vu — juillet 1908.

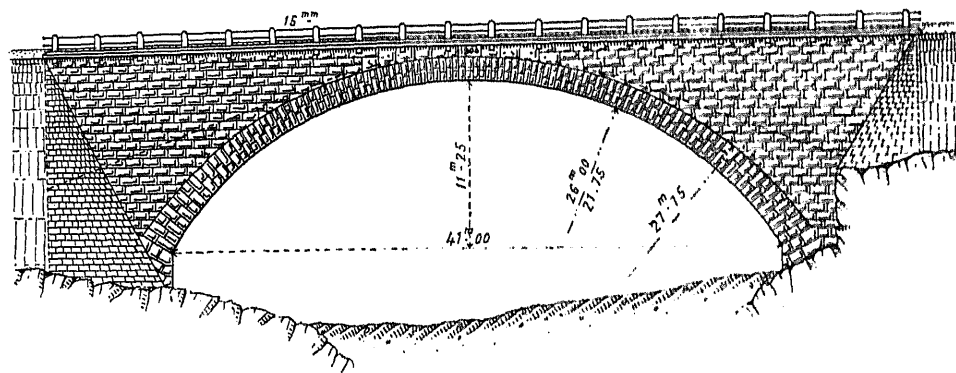
PONT SUR LE STRANDEELVEN, PRÈS DE VOSS (NORVÈGE)

Chemin de fer de Christiania à Bergen

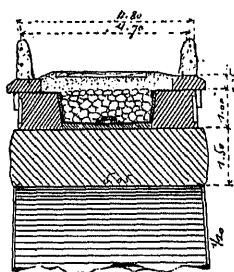
1902-1904

A¹ 1^{re} 40^m, 16

f₁ — Élévation — 2mm



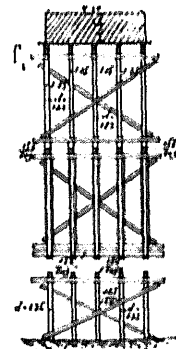
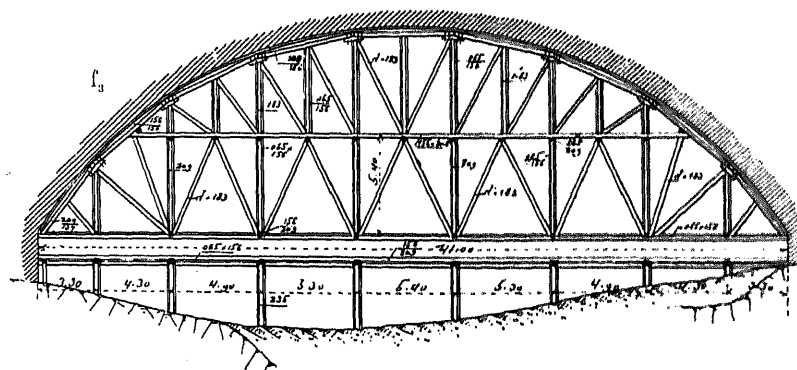
f₂ — Coupe en travers
à la clef — 5mm



1. Dates.

Commencement des travaux.....	automne 1902
Construction de la voûte.....	6 août — 22 septembre 1903
Décintrement.....	14 septembre 1904
Ouverture à la circulation.....	octobre 1904

Cintre — 2mm

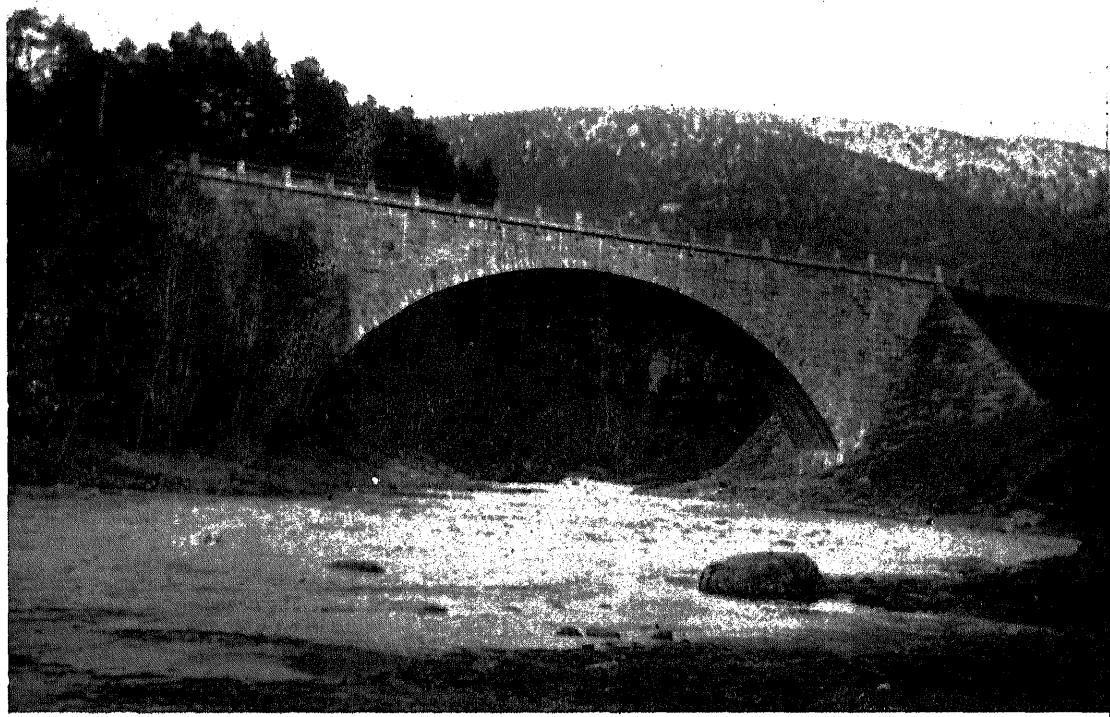


2. Personnel.

Projet : Service de la Construction des Chemins de fer de l'État norvégien.

Direction des Travaux : L'Ingénieur en Chef du Chemin de fer de Bergen (partie ouest).

Φ_1 (S₁)



SOURCE :

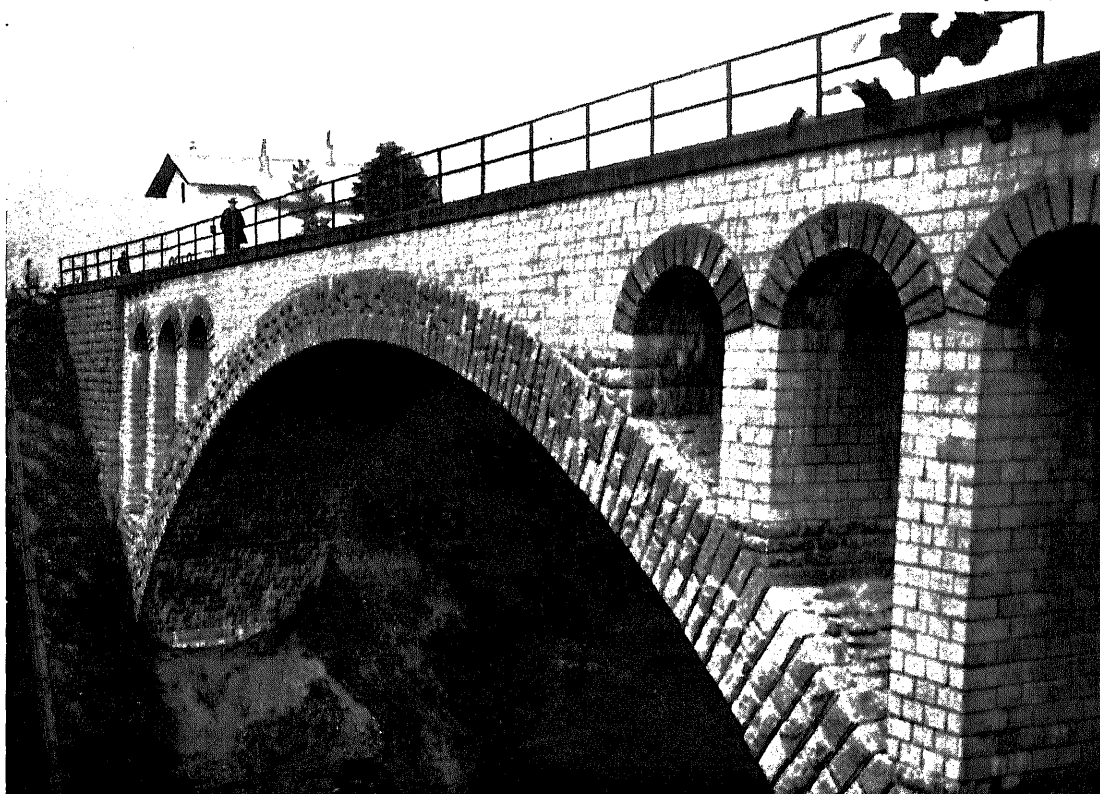
S₁. Dessins d'exécution, renseignements et photographies qu'a bien voulu me communiquer la Direction des Chemins de fer norvégiens, sur la gracieuse intervention de M. E. A. H. Sinding, Directeur de l'École Polytechnique de Christiania, — mai 1911.

PONT SUR LE KRENNGRABEN PRÈS DE DIRNBACH¹ (Haute-AUTRICHE)
Ligne de Klaus-Stegrling à Selzthal (Pyhrnbahn)

1904-1905

\widehat{A}^1 R^r (> 40^m) 17

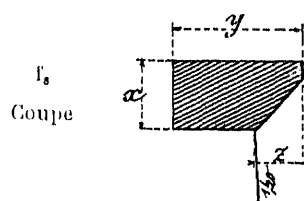
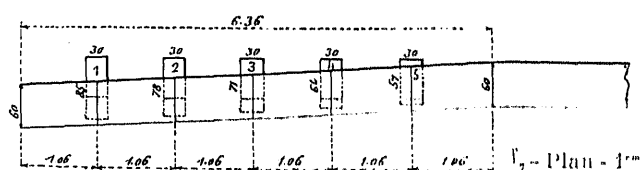
Φ_1 (S₁)



1. Dispositions en vue de la courbe² du tracé. — Les têtes sont planes.

A la tête du côté du centre, la plinthe est en ligne brisée. Les côtés extrêmes sont posés sur 5 corbeaux (Φ_1, f_1, f_2, f_3), dont voici les dimensions :

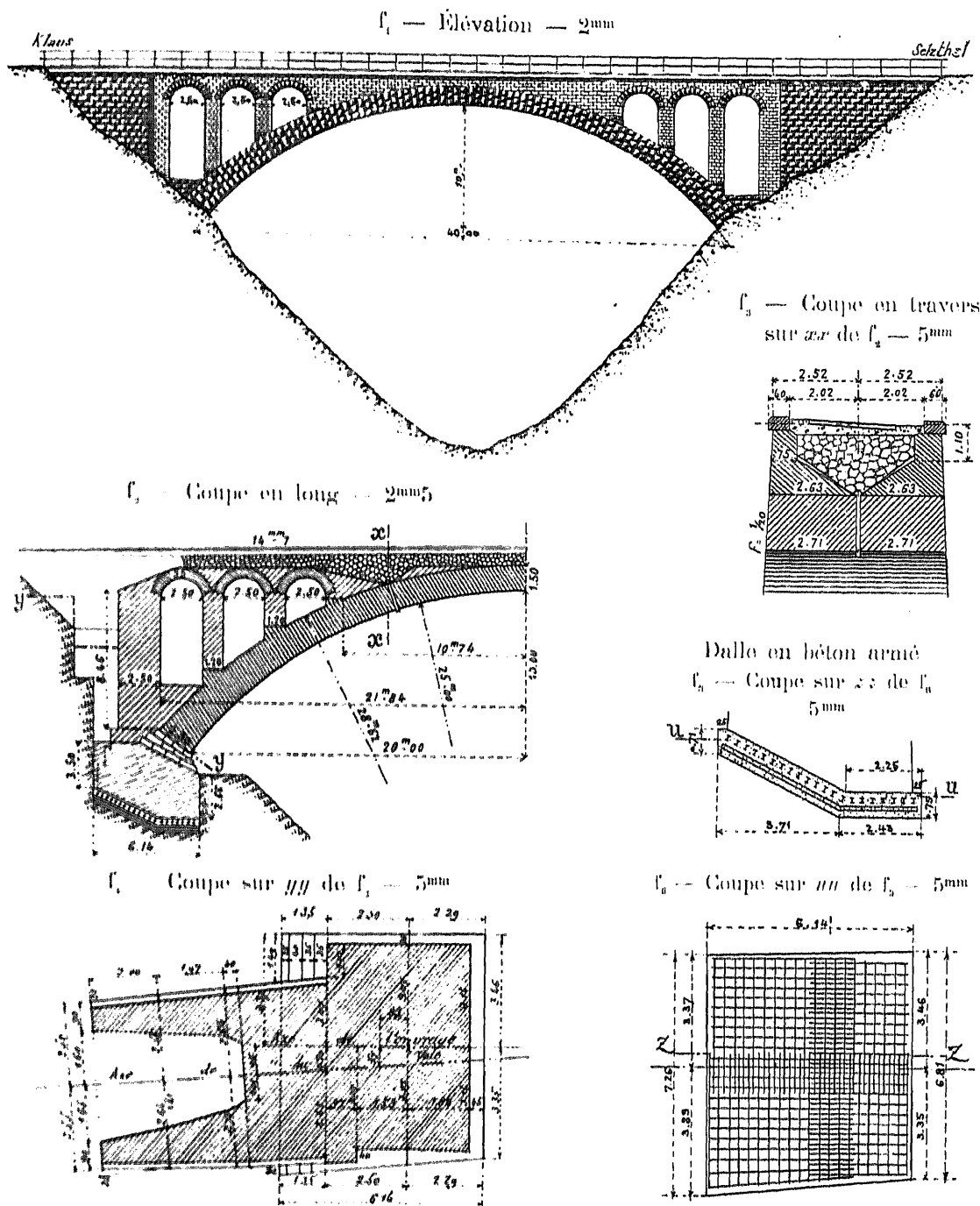
Corbeaux



N ^o	x'	y	z
1	45'	85'	31'
2	40	78	24
3	35	71	18
4	30	64	11
5	25	57	4

1. — entre la station de Dirnbach et la halte de St. Pankraz.

2. — Sur S₁, le rayon n'est pas coté. — D'après les ordonnées de la courbe, il est d'environ 320^m.



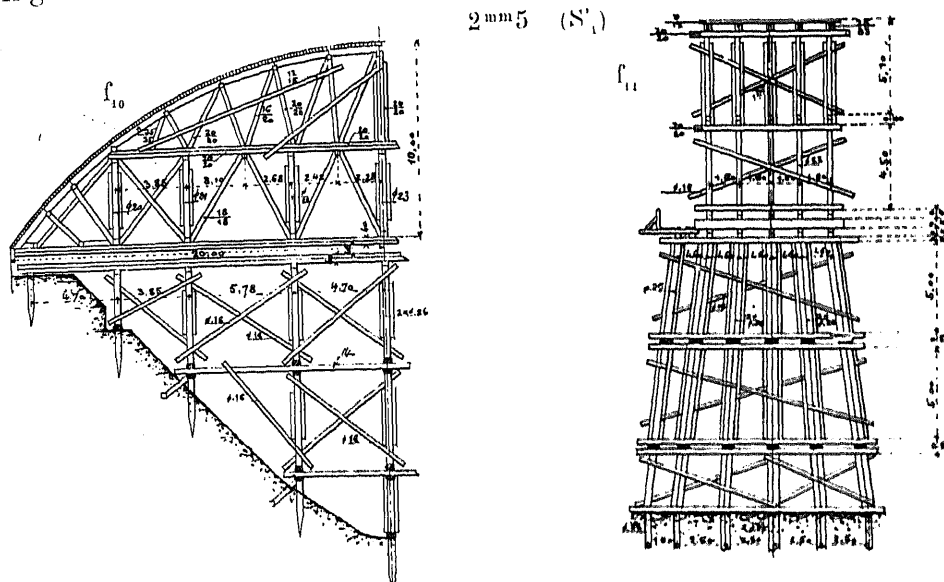
2. Viaduc d'évidement. — Les bandeaux et la douelle sont en calcaire ; les piles et tympans, en béton moulé (S_1).

Les crossettes d'appui des piles, en granit, dépassent l'extrados de la grande voûte : elle n'est pas entamée.

3. Aspect. — Il y a trop de tympan au-dessus de la clef.

Les piles d'écléssissement sont trop épaisses (1^m20 pour une portée de 2^m50).

4. Cintre. — On a inauguré là le mode de décintrement inventé par M. l'Ingénieur en chef Zuffer³.



Il n'a fallu que deux traits de scie pour détacher le cintre (S_1).

5. Dates.

Fondations.....	1904
Grande voûte.....	1905
Ouverture à la circulation.....	novembre 1905

6. Personnel (S'').

Ingénieurs : *Projet et Direction des Travaux* : Service de la Construction des Chemins de fer de l'Etat.

Direction générale à Vienne : M. J. Zuffer, Directeur du Service.

Direction locale à Windischgarsten.

Entrepreneurs : MM. E. Prost et C^o, à Vienne.

3. — décrit dans la monographie du Pont sur le Palmgraben \widehat{A}^1 Fr ($> 40^m$)⁸ — Tome II.

SOURCES :

S_1 . — Dessins (S'_1) et renseignements (S''_1) que m'a gracieusement communiqués le Ministère des Chemins de fer, à Vienne, sur la demande qu'en a bien voulu faire l'Ambassadeur de France à Vienne, M. Philippo Crozier.

S_2 . — Geschichte der Eisenbahnen der österreichisch-ungarischen Monarchie, VI Band, 1898-1908, II Band. « Der Brückenbau der neuen Alpenbahnen. — A. Steinbrücken ». Josef Zuffer, p. 74 à 87.

S_3 . — Zeitschrift des österreichischen Ingenieur-und Architekten Vereines, 1908, p. 174 à 176 : « Die Ausrüstung der grossen Wölbrücken im Zuge der neuen Alpenbahnen », J. Zuffer, K. K. Ober-Baurat.

S_4 . — Ce que j'ai vu — août 1909.

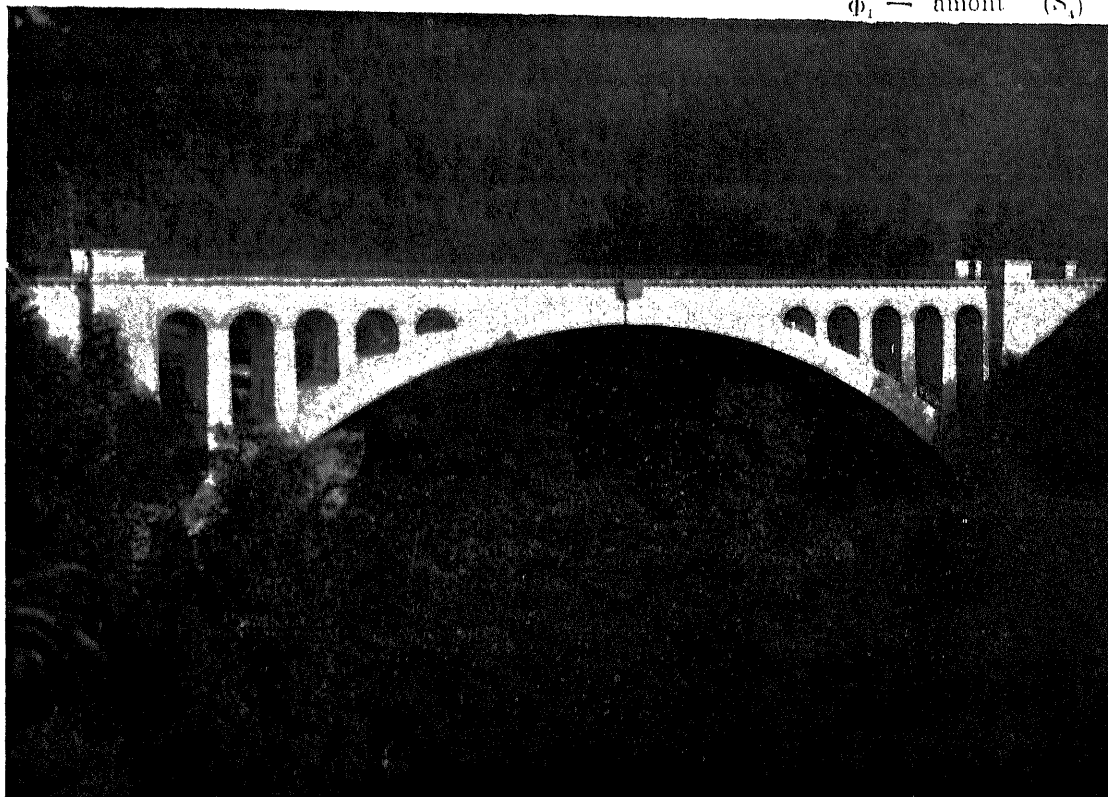
PONT SUR LA STEYRLING (*Haute-AUTRICHE*)

Ligne de Klaus-Steyrling à Selzthal¹ (Pyhrnbahn)

1904-1905

\widehat{A}^1 1^{re} ($\geq 40^m$) 18

Φ_1 — amont (S_1)



1. Tympan. — Les voûtes d'évidement sont, comme leurs piles, en béton moulé.

Ces piles sont trop épaisses : pour 3^m25 de portée, 1^m45, 1^m40, 1^m35, 1^m25.

Il y a trop de plein au-dessus des petites voûtes.

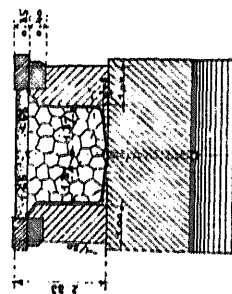
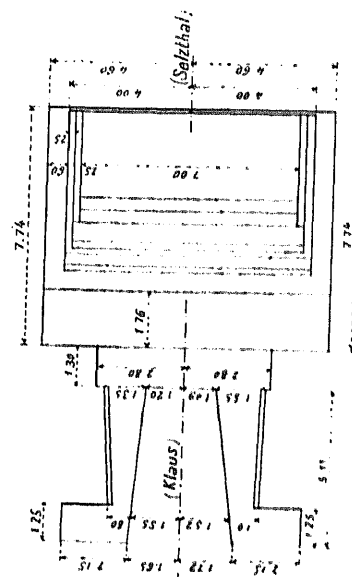
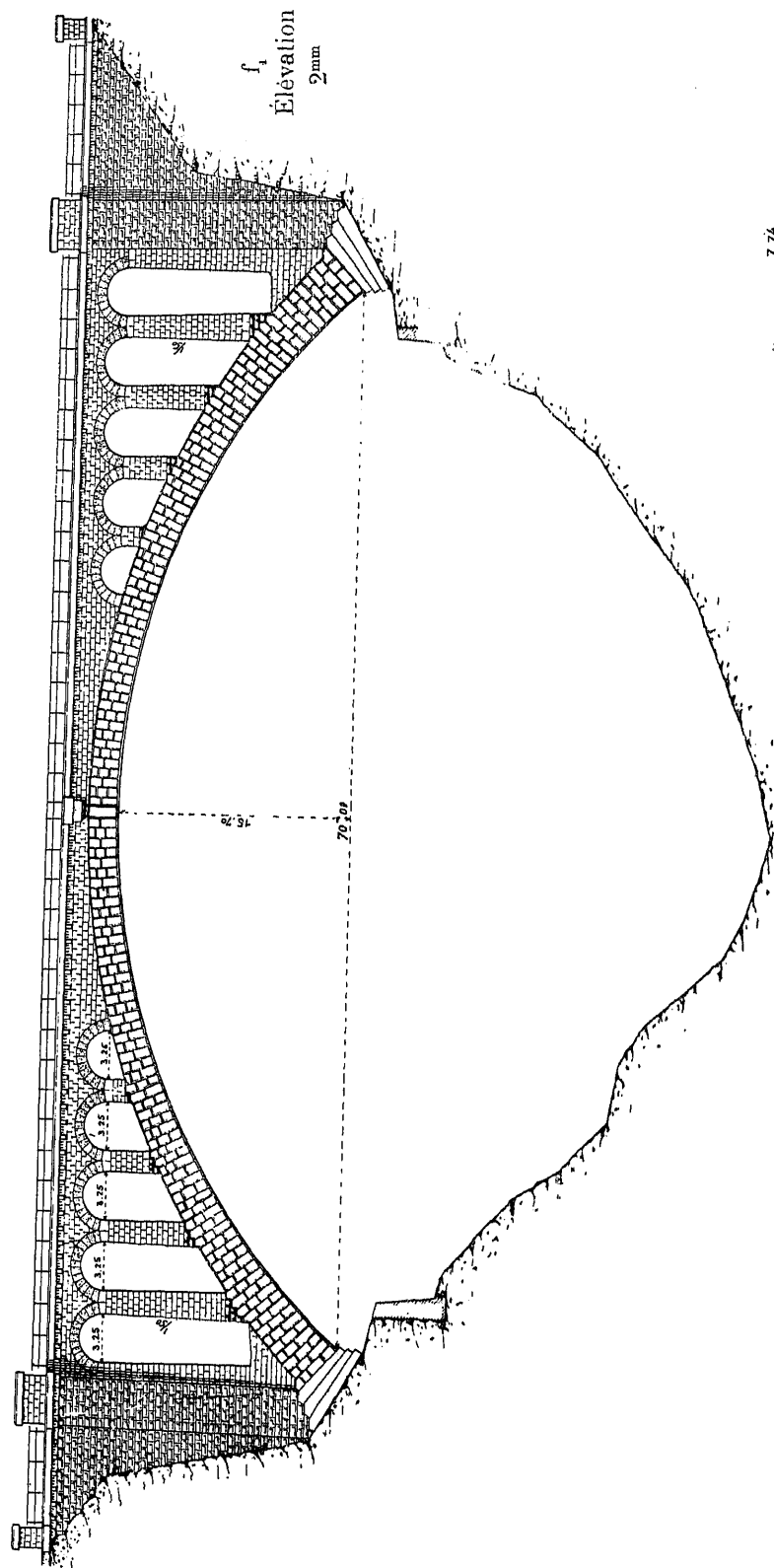
Les corbeaux sous la plinthe ne saillent pas assez.

2. Cartouche de clef (S_1). — Le refuge au-dessus de la clef porte, sur granit poli, cette inscription :

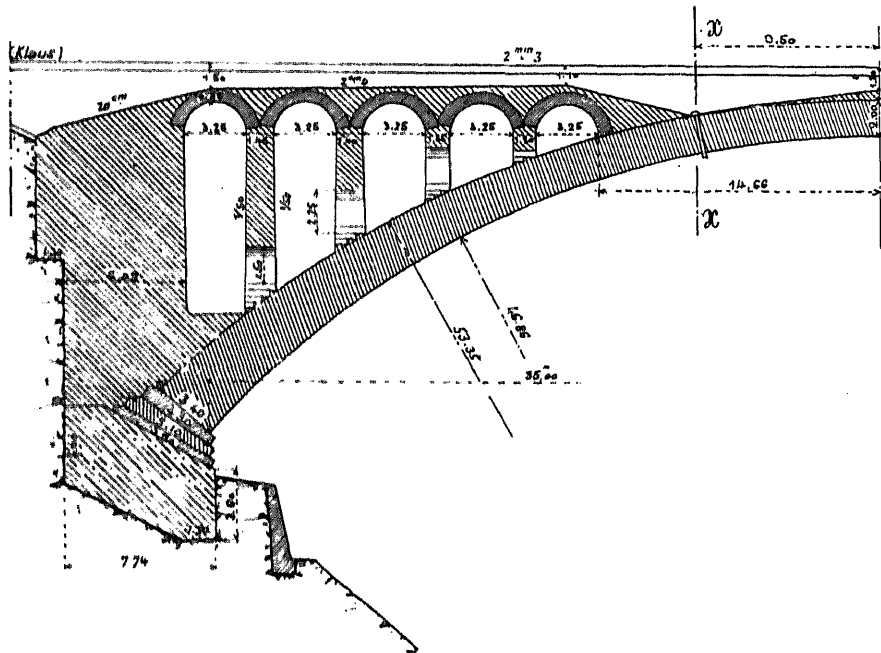
Steyrling
Brücke
erbaut
1905

On aurait pu la mieux placer.

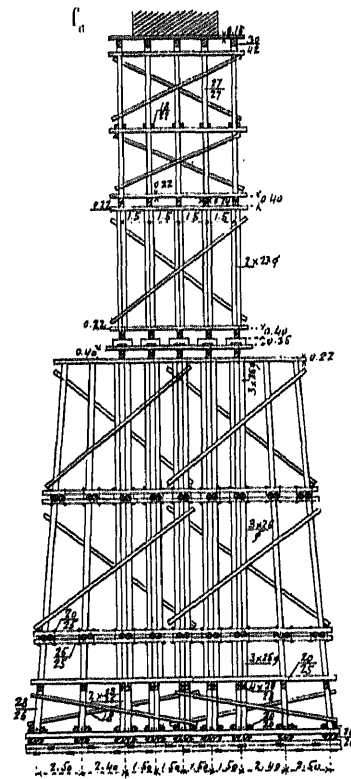
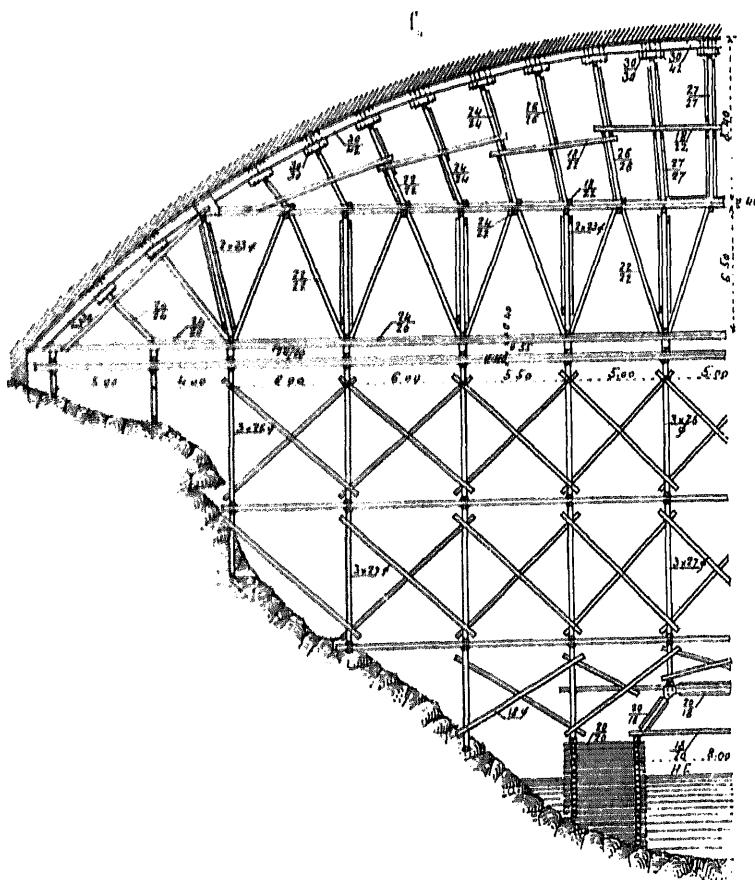
1. — Entre les stations de Klaus et Steyrling, tout près de la station de Steyrling.

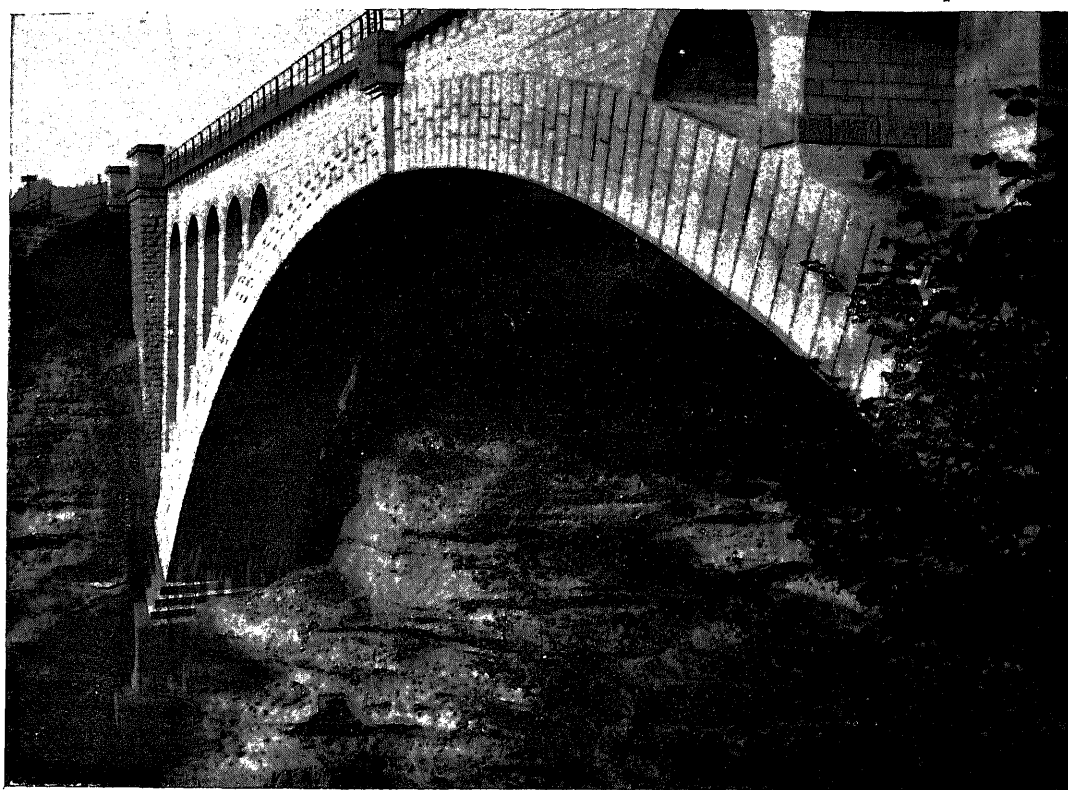


f₁ — Coupe en long — 2mm5



Gintre — 2mm5 (S₃)



Φ_2 (S_4)

3. Dates.

Commencement des travaux.....	été 1904
Grande voûte.....	automne 1904 — printemps 1905
Ouverture à la circulation.....	19 novembre 1905

4. Personnel (S'').

Projet et Direction des Travaux : Comme au Pont sur le Krenngraben ².

Entrepreneur : MM. E. Gross et C^{ie}.

2. — \widehat{A}^1 $l^r (\geq 40^m)$ ¹⁷, - Tome III.

SOURCES :

S_1, S_2 , du Pont sur le Krenngraben \widehat{A}^1 $l^r (\geq 40^m)$ ¹⁷.

S_3 . — Dessins du cintre, gracieusement communiqués par M. H. Studer, Ingénieur des chemins de fer rhétiques, à Zuoz (Engadine), — novembre 1912.

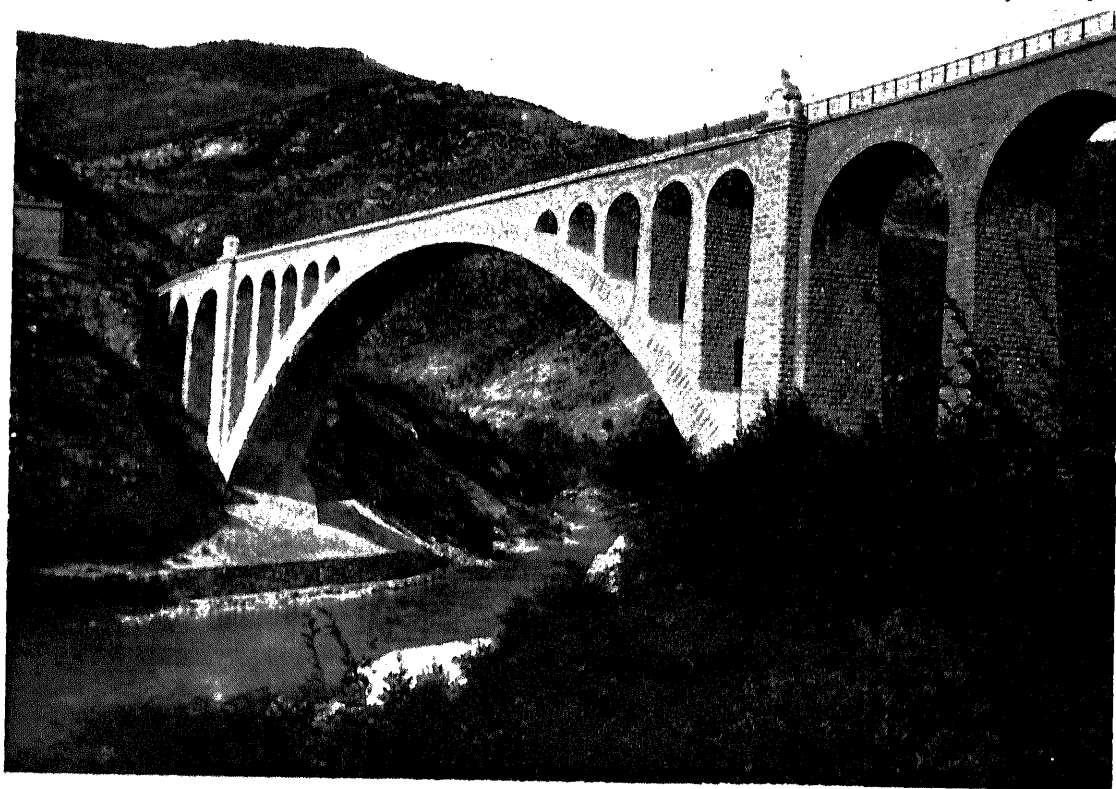
S_4 . — Ce que j'ai vu — août 1909.

PONT SUR L'ISONZO, PRÈS DE SALCANO¹ (AUTRICHE, — Küstenland
Ligne d'Assling (Carinthie) à Trieste, par Goritz² — Wocheinerbahn

1904-1906

\widehat{A}^1 1^{er} (20m) 19

ϕ_1 (S₁)



1. Pourquoi on a fait un pont en maçonnerie (S₀). — Un pont métallique était cher à monter, difficile à remplacer.

2. Pourquoi on a fait une voûte de 85^m. — On avait d'abord projeté une voûte de 80^m. En 1904, on en commença les fouilles. Mais sous le conglomérat dur de la surface, on trouva : à gauche, du sable, — à droite, un éboulis argileux³.

Après avoir reconnu le sol par des puits et une galerie de sondage, on déplaça la culée gauche (Goritz) de 14^m en amont sur le conglomérat, et on conserva la culée rive droite.

L'ouverture de la voûte fut ainsi portée à 85^m (S₁).

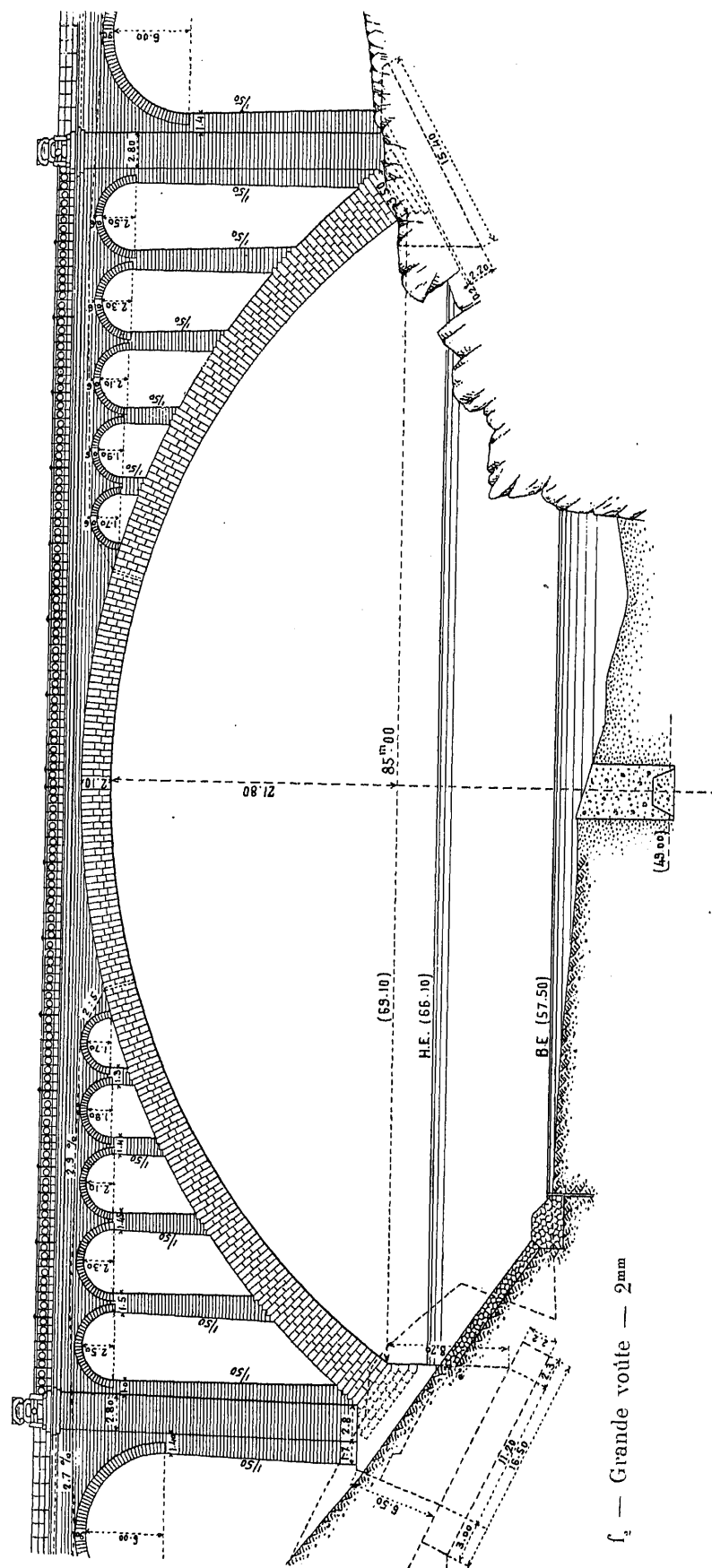
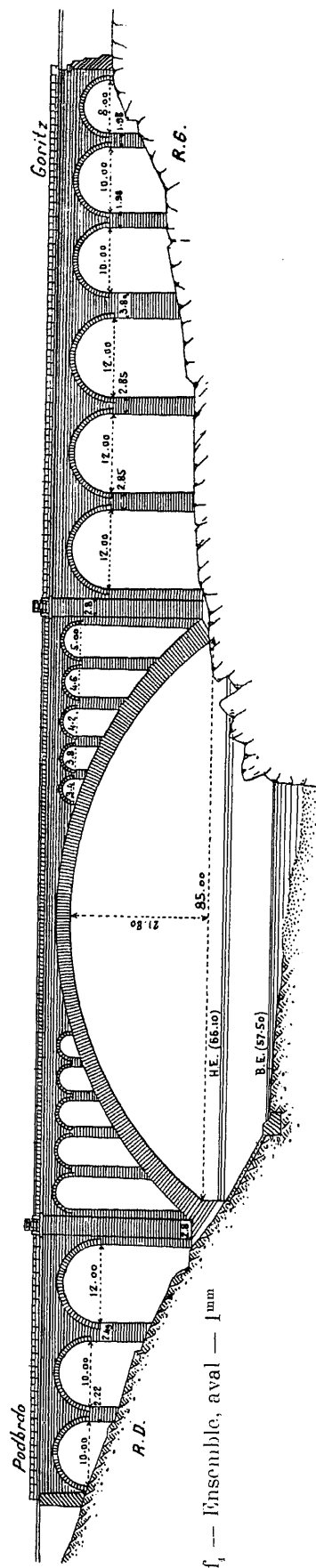
3. Aspect (S₁). — L'ouvrage est bien et simplement traité.

Le corps central est en calcaire blanc ; les viaducs d'accès sont en calcaire gris-bleuâtre, à parements moins soignés.

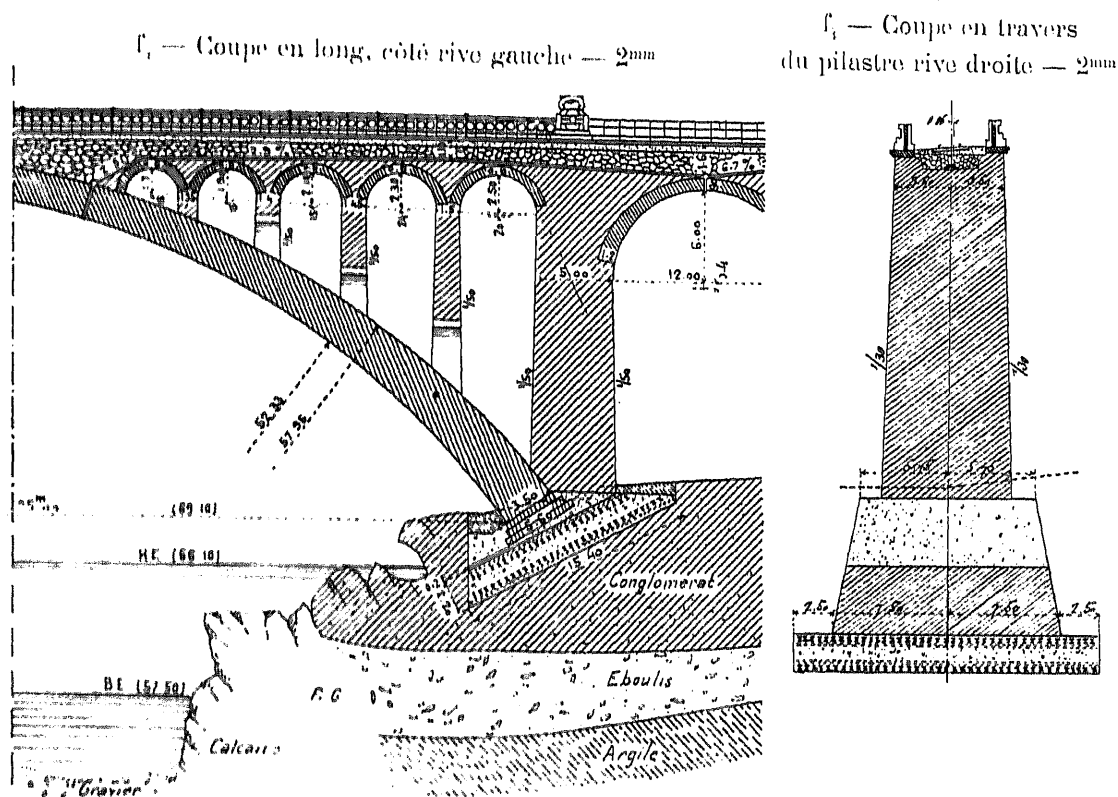
1. — Près de Goritz, entre le « Staatsbahnhof » de Goritz et la station de Plava.

2. — En allemand : Goriz.

3. — « Lehmiges Bergschüttmaterial ».



Les pilastres qui encadrent la grande voûte sont secs, maigres, assez pauvrement couronnés.



La plinthe de la grande voûte pourtourne les pilastres, au lieu de s'y arrêter. Son garde-corps, bien que plus étoffé, se voit à peine.

Le viaduc de rive gauche a, entre les voûtes de 10^m et 12^m, une pile plus épaisse que les autres, sans contrefort ou saillie qui la distingue des voisines.

4. Chape (S_1). — La même qu'au Pont sur le Palmgraben¹.

5. Joints de dilatation (S_2). — Les deux dernières voûtes d'évidement retombent sur une couche d'amiante de 9^{mm} entre deux voussoirs à surface polie ; le tympan au-dessus est coupé par un joint vertical de feutre asphalté, caché aux têtes par du mortier, lequel s'est fissuré.

Au-dessus, la chape est recourbée : elle peut ainsi s'étendre sans se fendre.

A la fin de 1909, on n'avait pas observé de fissures dans les tympan.

6. Matériaux. — A. Grande voûte (S_1). — Elle est tout entière en pierre de taille de calcaire de Nabresima (résistant à 1200^k en cubes de 6^m), à mortier de ciment à 1^{re} 3^e.

Les efforts maxima sont :

Clef.....	28 ^k
Naissances.....	40 ^k
Joints de rupture.....	51 ^k

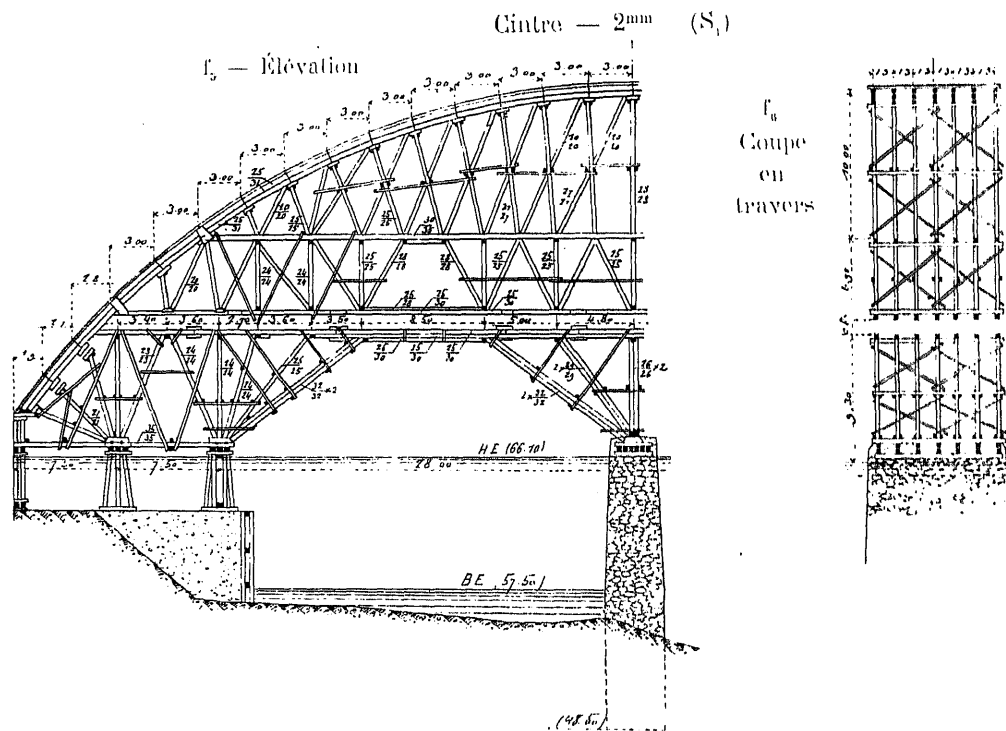
soit, par rapport à la résistance en cubes de 6^m, un coefficient de sécurité de 23^a.

B. *Autres parties de l'ouvrage* (S_1). — Sauf dans la grande voûte et les gradins des appuis, les maçonneries sont à mortier de ciment à 1/5, et moellons ordinaires, assisés en parement.

7. *Cintre*. — On n'osa pas retrousser le cintre entre les deux berges. D'autre part, dans un torrent à crues de 8^m60^a, on ne pouvait pas l'appuyer sur une palée en bois ; on le soutint en son milieu par une pile en maçonnerie fondée à l'air comprimé, sur caisson en mélèze, encastré de 0^m50 dans le schiste, à 9^m sous l'étiage. On la fit sauter à la mine, l'ouvrage fini (S_2).

C'était, pourtant, la fondation toute faite d'un pont à deux arches.

Sur berges, le cintre s'appuyait sur des socles en béton.



5. — Soient : k_1 , la résistance d'une pierre taillée en cubes,
 k_2 , celle du mortier,

K , la résistance sur laquelle on peut compter pour la maçonnerie.

On a proposé la formule :

$$K = 1/3 k_1 + 2/3 k_2$$

formule indiquée dans la Zeitschrift für Architektur- und Ingenieurwesen, 1907, p. 403 à 440 : « Über weitgespannte Wölbbbrücken » — Karlsruhe, mai 1907, - Dr Ing. Fr. Engesser, - p. 426.

Elle donne ici 570^k, soit un coefficient de sécurité de 11 (S_1).

6. — L'Isonzo monte de 8^m en quelques heures (S_2).

Pendant qu'on fondait la pile du cintre, il y eut, de mai à décembre 1904, 6 crues de plus de 3^m50. Le 24 juin, le bateau installé pour battre les pieux fut coulé ; le 14 septembre, une partie de l'échafaudage fut emporté, un charpentier tué ; le 24 novembre (crue de 6^m), l'échafaudage, le sas à air, la grue, furent emportés (S_2).

On soigna les assemblages (tenons et mortaises), et on boulonna tous les croisements (S_1).

Φ_a — amont (S''_a)



Comme on ne comptait pas construire par rouleaux, le cintre a été calculé pour « presque tout le poids de la voûte » (S_1), avec un travail maximum de 60^k (S_1).

8. Fondations (S_1). — On rencontra dans le conglomérat de rive gauche des fissures et des cavernes qu'on bourra de béton à 1/12.

Pour ne pas dépasser 4^k , on établit, au fond de chaque fouille, une dalle en béton à 1/2/3 (S_1) de 2^m20 d'épaisseur, ayant, à la rive gauche, $15^m4 \times 14^m5$, — à la rive droite, $20^m \times 16^m5$, armée de 4 cours de fers en II croisés, badigeonnés au préalable d'un lait de ciment.

Il y a, dans les deux dalles, 100 tonnes de fer.

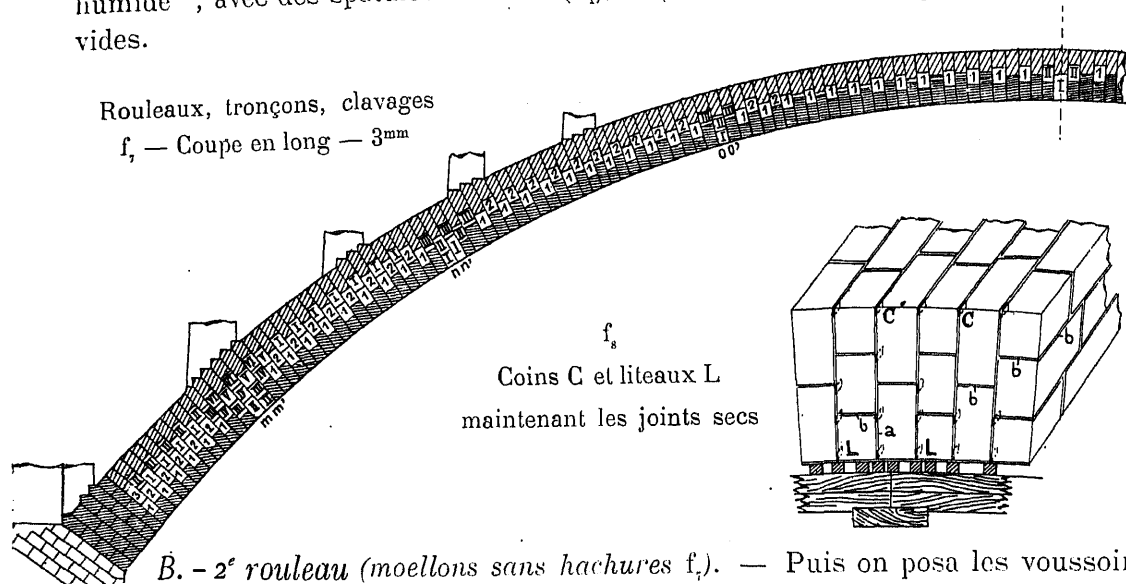
La pression de la voûte est étalée sur les dalles en béton par 3 assises de pierre de taille en gradins.

On eut soin de murer et de bétonner (béton à 1/12) la fouille abandonnée de la culée rive gauche, et on en protégea le pied.

9. Exécution de la grande voûte (S_1). — A. - 1^{er} rouleau (thachures serrées, f_1). — On posa sur le cintre, à sec, tous les moellons de douelle; on les répartit par des taquets en 8 tronçons ⁷ (S_2).

7. - La pierre taillée avec soin, glisse sur le platelage à partir de 55° sur la verticale.

Les joints de 16^{mm} (S_3), étaient maintenus par des coins C (f_8), et des liteaux L (S_1). On les mata tous au mortier de ciment Portland ⁹ à 1/3, à l'état de terre humide ¹⁰, avec des spatules en fer ¹¹ (S_1), les intervalles des taquets demeurant vides.

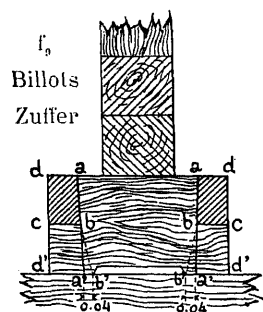


B. - 2^e rouleau (moellons sans hachures f_1). — Puis on posa les voussoirs 1, 2 (f_1) sur lits de mortier dans les joints b (f_1), en matant les joints montants a (f_1).

Après prise, on clava à la fois les deux rouleaux, aux taquets mm' , nn' , oo' , par les moellons I et II (f_1) (S_1). On posa en même temps le queutage dans l'ordre I à VI (f_1) (S_1).

C. - 3^e rouleau (hachures espacées f_1). — On posa les voussoirs et on mata aussitôt les joints « sans s'astreindre à aucun ordre » (S_1).

10. Décintrement. — Les billots Zuffer, précédemment employés à Palmgraben ¹², Schalchgraben ¹³, Krenngraben ¹⁴, Steyrling ¹⁵, ont été, à Salcano, disposés comme l'indique le croquis f_9 (S_1).



La surface d'appui $b'd'$ était calculée pour $60^k/0^m01^2$.

On enleva d'abord les angles $abcd$ — ce qui ne réduit pas encore la surface d'appui, mais diminue la hauteur à scier.

Ensuite, on donna les traits de scie ba' , puis bb' (S_1).

On attaqua en même temps, aux 7 fermes, les billots de deux files transversales symétriques par rapport à la clef, en allant des retombées vers la clef au premier trait de scie, en sens inverse au deuxième (S_2).

Le premier fit tasser la clef de 4^{mm} . Le deuxième, donné après arrêt du tassement, détacha le cintre (S_3). En moins de 5 heures, on libéra l'arc.

8. — On les avait prévus à 12^{mm} . Mais, surtout dans les plus profonds (1^m20), on ne pouvait introduire facilement le mortier à la truelle, bien que les lits eussent été dressés avec soin. On les élargit de 2 et 4^{mm} , ce qui augmenta le développement de l'arc : on compensa, en réduisant de 6^{mm} à 8^{mm} l'épaisseur des assises de clavage (S_3).

9. — de l'Adriatischen Portlandzement-Aktiengesellschaft de Spalato.

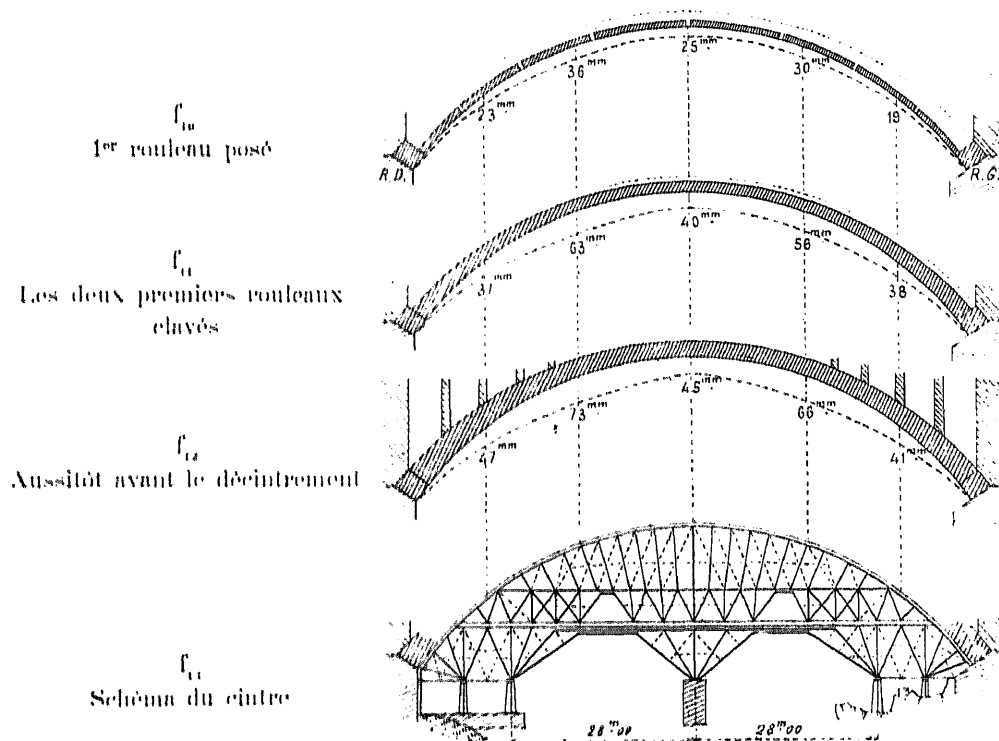
10. — A la fin du matage, l'eau reflua à la surface (S_3).

11. — A chaque coup de masse, on sentait vibrer le voussoir (S_3). On pouvait retirer à la main les coins C le lendemain du matage (S_1).

12. - \hat{A}^1 Fr ($\geq 40^m$)⁸ ; 13. - \hat{A}^1 Fr ($\geq 40^m$)⁹, Tome II. 14. - \hat{A}^1 Fr ($\geq 40^m$)¹⁷ ; 15. - \hat{A}^1 Fr ($\geq 40^m$)¹⁸, Tome III.

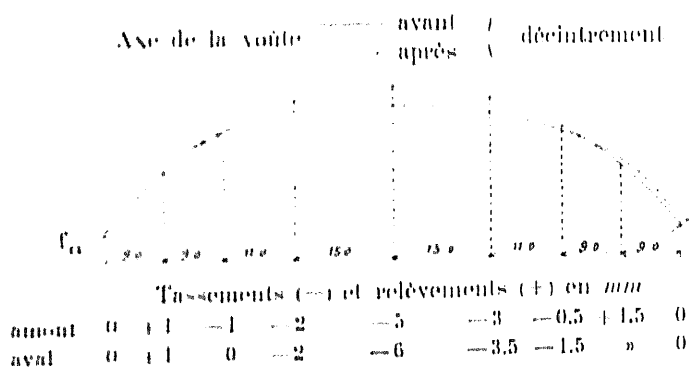
Les billots Zuffer se comportèrent « de manière véritablement remarquable »¹⁶.

11. Tassements du cintre pendant la construction de la voûte (S_6).



Le tassement a continué après le clavage des 2 premiers rouleaux¹⁷.
Au-dessus des passes, la voûte a plus tassé qu'au droit des appuis.

12. Mouvements de la voûte au décentrement (S_6). — Tout



au contraire, au décentrement, elle s'est aplatie au cerveau et cambrée aux reins.

On a donné cette explication :

D'après l'épure, la résultante des actions sur le sol agit sur la moitié arrière. Créée par le décentrement, elle a comprimé l'éboulis et le conglomerat plus à l'arrière qu'à l'avant, et fait pivoter la culée vers l'arrière.

On n'a pas constaté de fissures dans la voûte.

Chaque culée a reculé de 0^m2 environ.

On avait surhaussé la clef de 20^m : elle n'a tassé que de 5^m. On a racheté la différence (15^m) en réduisant de 102^m à 87^m la revanche du rail sur l'extrados.

16. « in wirklich ausgezeichnete Weise » (M. Zuffer, - S_5).

17. — contrairement à ce qui s'est passé pour la plupart des grandes voûtes construites par rouleaux (voir Tome V).

13. Mouvements de la clef dus aux variations de température (S_0).

Dates	Températures en degrés Celsius		Abaissements par rapport au 15 septembre 1905	
	au soleil	à l'ombre	de la température à l'ombre	de la clef
Septembre 1905 { 15 — 3 ^h s.....	+ 35°	+ 27°	»	»
{ 18 — 8 ^h m.....	»	+ 18°	9°	45 ^{mm}
Janvier 1906 { 5 — 3 ^h s.....	»	+ 3°	24°	55 ^{mm} 5
{ 8 — 3 ^h s.....	+ 9°	+ 2°	25°	27 ^{mm} 5

14. Dates (S_1, S_3).

Fondations.....	juillet 1904 — mars 1905
Cintre { Pile en maçonnerie.....	octobre 1904 — février 1905
{ Fermes.....	février — fin avril 1905
Grande voûte { Commencement (après pose et maçonnerie des 5 premières assises).....	5 juin 1905
18 jours { 1 ^{er} rouleau { Fin de la pose à sec.....	10 juin
de travail effectif { Fin du matage.....	14 juin
(90 [»] par jour) { 2 ^e rouleau. — Commencement.....	15 juin
{ 3 ^e rouleau.....	25 juin — 1 ^{er} juillet
{ Décintrement.....	8 août
Achèvement des maçonneries.....	mi-novembre 1905
Ouverture à la circulation.....	19 juillet 1906 (S_3)

15. Quantités et Dépenses (Partie centrale, entre les clefs des voûtes voisines de la grande arche, - 9420^{mc}) (S_0).

A. Quantités et Prix d'unité.

A. Quantités et Prix d'unité.		Quantités	Prix d'unité
Fouilles dans la terre et le rocher.....		7600 ^{mc}	2 ^r 18
Maçonneries à ciment Portland	Béton à 1/4/6.....	1189 ^{mc}	28 ^r 98
	Moellons ordinaires.....	3338 ^{mc}	28 ^r 98
	— appareillés en voûte.....	351 ^{mc}	39 ^r 48
	Moellons équarris id.	171 ^{mc}	54 ^r 86
	Parements vus de moellons ordinaires.....	2800 ^{mc}	3 ^r 02
Pierres de taille pour la grande voûte.....		1941 ^{mc}	162 ^r 75
Dalles en béton armé des fondations	Béton à 1/2/3.....	1270 ^{mc}	39 ^r 90
	Poutrelles en fer.....	102 ^r	340 ^r
Pont de service (Bois ronds 510 ^{mc} ; bois équarris 116 ^{mc}).....		626 ^{mc}	»
Cintre	Bois { Partie supérieure.....	568 ^{mc}	»
	Chêne..... 23 ^{mc} { — inférieure.....	463 ^{mc}	»
	Bois tendre { rond... 120 ^{mc} { Pieux.....	178 ^{mc}	»
	{ équarri 1066 ^{mc} {	10 ^r	»
	Fers (Partie supérieure 4 ^r 7)....	716 ^{mc}	182 ^r 70
Pile en maçonnerie	Fondation à l'air comprimé.....	336 ^{mc}	23 ^r 62
	Elévation.....	1066 ^r 3	
Poids de ciment Portland de Spalato.....			

B. Prix totaux.

Culées		Rive droite	Rive gauche	
	Terrassements.....	19530 ^f	2541 ^f	
	Dalles en béton armé.....	52437 ^f	30355 ^{f5}	
	Pierres de taille sous les retombées.....	17577 ^f	11896 ^{f5}	
	Autres maçonneries.....	45486 ^f	6972 ^f	
		135030 ^f	51765 ^f	186795 ^f
	Pilastres, jusqu'au niveau des retombées des voûtes voisines (a).....			46620 ^f
	Grande voûte (b).....			286440 ^f
	Maçonneries au-dessus de a et b.....			64260 ^f
	Clape, gargouilles, remplissage.....			12180 ^f
	Plinthes, des, parapets.....			46515 ^f
	Cintre (Pile en rivière : 142590 ^f).....			287910 ^f
	Défenestration et assèchement des fouilles.....			15750 ^f
	Sondages, précautions contre le feu, travaux en régie.....			13020 ^f
	Fouille rive gauche abandonnée.....			15540 ^f
				975030 ^f

16. Personnel (S₁, S₂).

Ingénieurs :

Projet d'ensemble et Direction générale des Travaux. — Service de la Construction des Chemins de fer de l'Etat.

« Hofrat » J. Zuffler, Directeur du Service, à Vienne.

Direction locale. M. Léopold di Gasperra, puis M. Otto v. Bertele, Ingénieurs en chef à Goritz. — M. Heinrich Bincer, Ingénieur (S₁).

Projet de détail et Surveillance des Travaux. M. Örley, Ingénieur à Salcano (S₂).

Calculs. M. Robert Schönhöfer, Ingénieur (S₂).

Entrepreneurs : (Grande voûte et ses deux pilastres) : les frères Redlich et Berger.

SOURCES :

S₁. — Zeitschrift des österreichischen Ingenieur- und Architekten Vereines, 29 octobre 1909, p. 701 à 705, Pl. IX : « Die gewölbte Brücke über den Isonzofluss bei Salcano », Ingénieur Rudolph Jausner, Inspektor im K. K. Eisenbahn-Ministerium.

Les dessins t₁ à t₅ sont extraits de S₁.

S₂. — Geschichte der Eisenbahnen der österreichisch-ungarischen Monarchie, VI Band, 1898-1908, II Band, « Der Brückenbau der neuen Alpenbahnen. — A. Steinbrücken ». Josef Zuffler, p. 74 à 87.

S₃. — Renseignements (S₁) et photographie (S₂) gracieusement donnés par le Ministère des Chemins de fer à Vienne.

S₄. — Ce que j'ai vu : (S₁) octobre 1908, (S₂) août 1909.

S₅. — Zeitschrift des österreichischen Ingenieur- und Architekten Vereines, 1908, p. 174 à 176 : « Die Ausrüstung der grossen Wölbbbrücken im Zuge der neuen Alpenbahnen », J. Zuffler, K. K. Ober-Baurat.

S₆. — Id., 1910, — 19 août, p. 529 à 532 ; 26 août, p. 541 à 546, « Erfahrungen und Beobachtungen beim Bau der 85^m weiten Wölbbbrücke über den Isonzo bei Salcano » von Ing. Dr. Leopold Örley, Baukommissär der K. K. österreichischen Staatsbahnen.

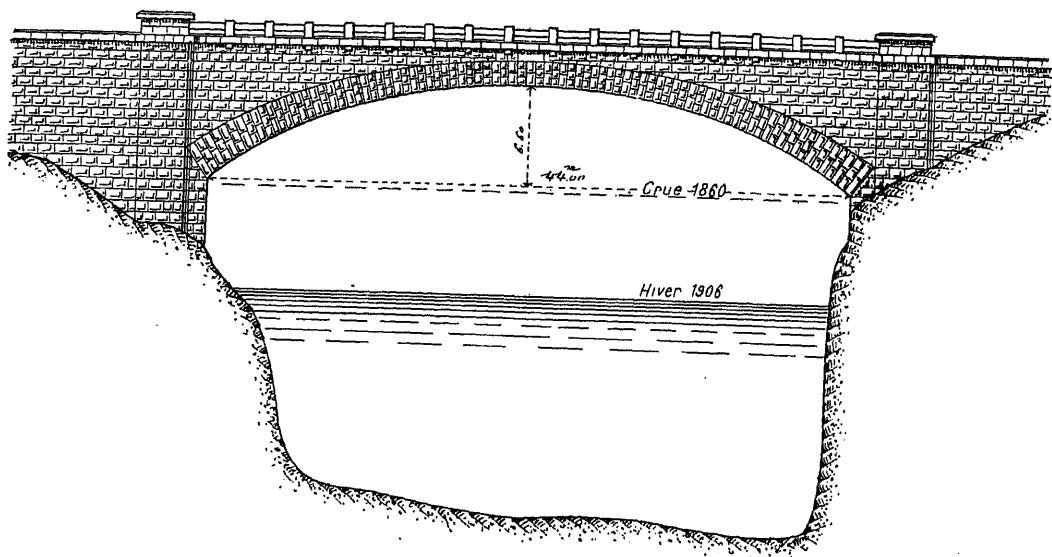
PONT SUR LE HALLINGDALSELVEN, A SVENKERUD (NORVÈGE)

Chemin de fer de Christiania à Bergen

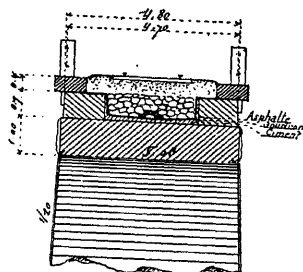
1905-1907

$\bar{A}^1 Fr (\geq 40m) 20$

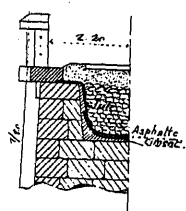
f_1 — Élévation — 2mm



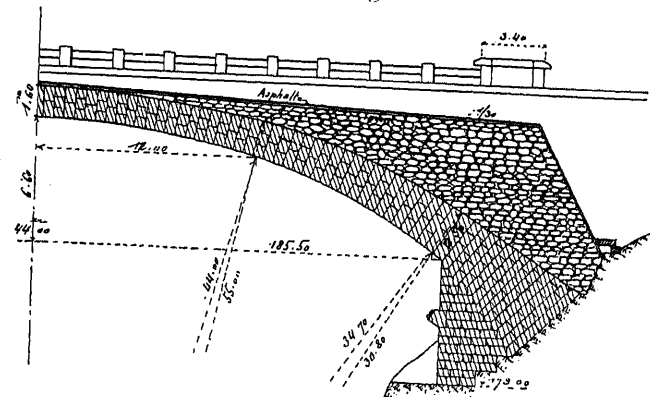
f_3 — Coupe en travers
à la clef — 5mm



f_4 — Chape — 5mm



f_2 — Coupe en long — 2mm5



1. Dates (S").

Commencement des travaux.....	septembre 1905
Construction de la voûte.....	10 juillet - 26 octobre 1906
Décintrement.....	2 mai 1907
Ouverture à la circulation.....	13 mai 1907

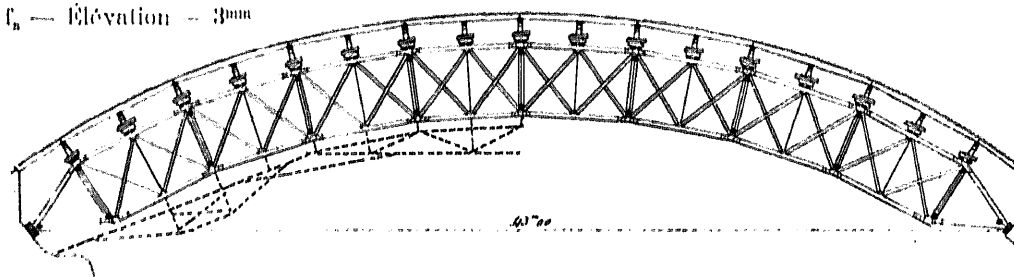
2. Personnel (S").

Projet : Service de la Construction des Chemins de fer de l'Etat norvégien.
Direction des Travaux : L'Ingénieur en chef du Chemin de fer de Bergen
(partie Est).

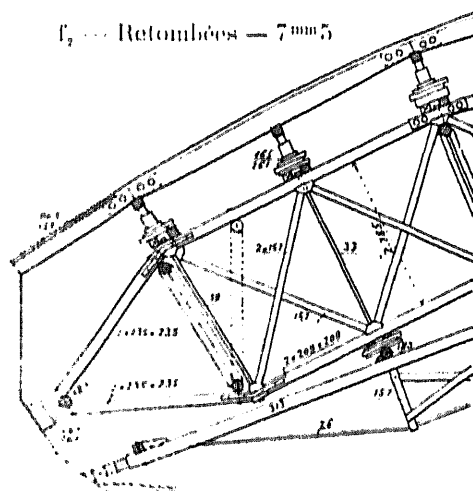


Centre

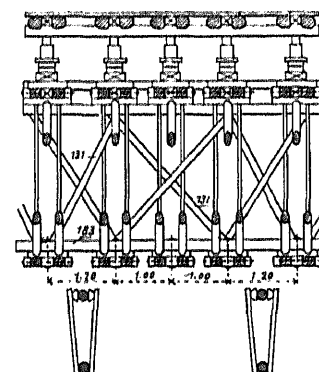
E_n — Élévation — 3mm



E_7 — Retombées — 7mm5



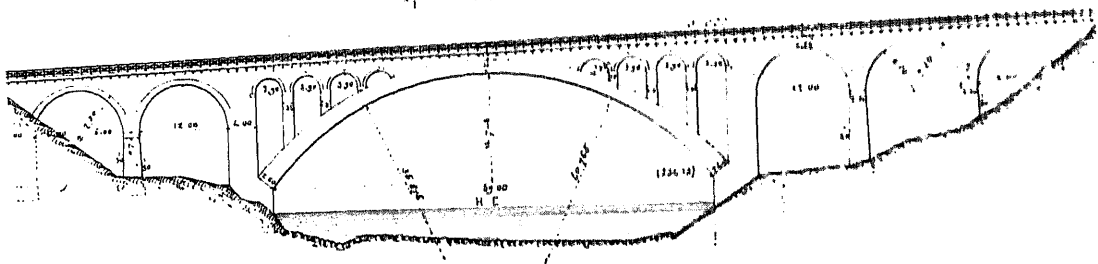
E_n — Coupe en travers à la clef
7mm5



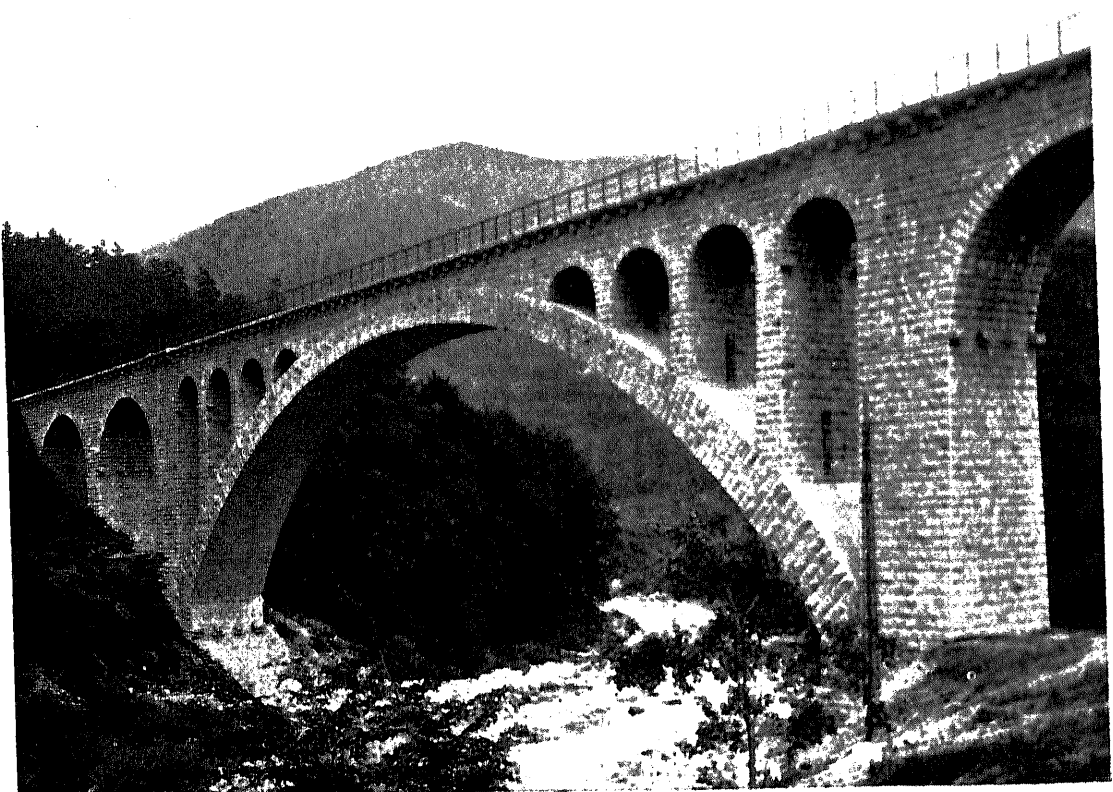
SOURCES : Celles du Pont sur le Strandeelven \widehat{A}^1 1^{er} (40m)16 — Tome III.

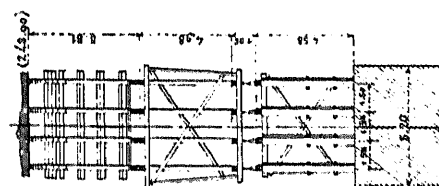
(ALLEMAGNE, - Grand-Duché de Bade)

1907-1909

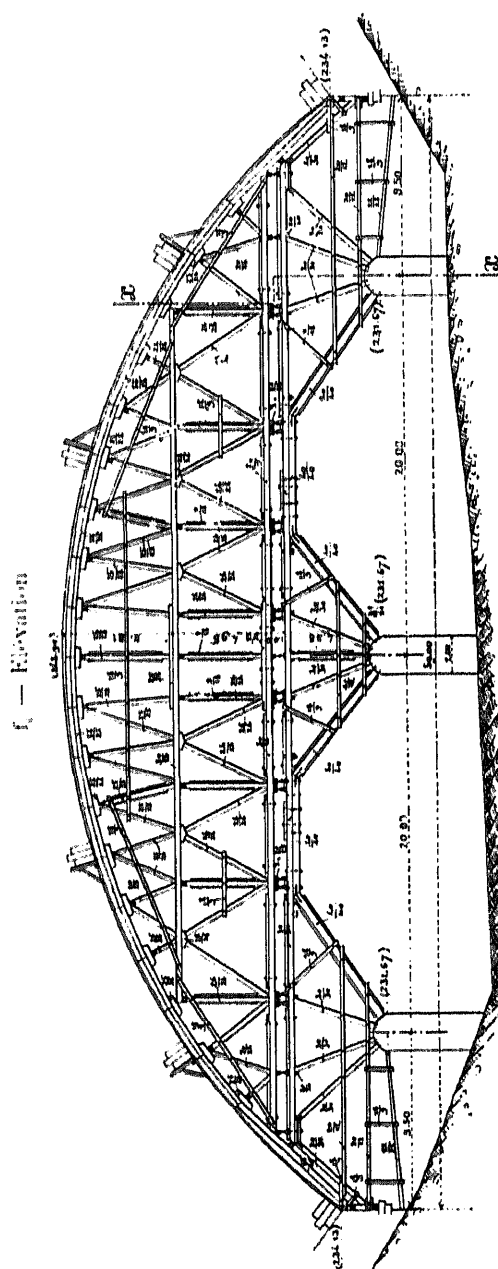
 $\widehat{\mathbf{A}}^1$ per (1.40m) 21
$$f_1 = \text{Ensemble} \quad \text{min}$$


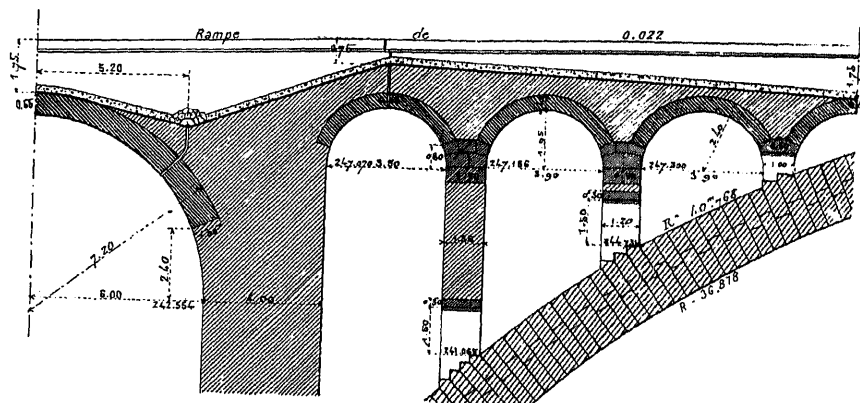
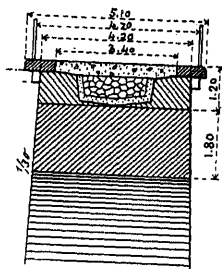
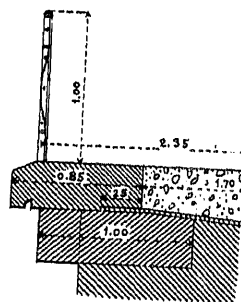
Fondations.....	1 ^{er} septembre 1907 — 1 ^{er} mai 1908
Grande voûte.....	30 septembre — 14 décembre 1908
Décintrement.....	8 février 1909
Achèvement des travaux.....	fin août 1909 (S ₂)

$$\phi_1(S_2)$$




f_1
Coupe
en travers
sur xy
de f_0



f_3 — Coupe en long — 4mm f_1 — Coupe en travers
à la clef — 5mm f_2 — Plinthe — 2mm

2. Personnel (S'').

Projet et Direction des Travaux : Inspection de la Construction des Chemins de fer, à Gernsbach.

Entrepreneur : M. Wilhelm Bruch, de Berlin.

SOURCES :

S_1 . — Dessins d'exécution (S'_1) et renseignements (S''_1), gracieusement communiqués par la Direction des Chemins de fer du Grand Duché de Bade.

S_2 . — Deutsche Bauzeitung, 1910 : 17 septembre, p. 593 à 595 ; 24 septembre, p. 609 et 610 ; 1^{er} octobre, p. 629 à 634 : « Eine neue Schwarzwaldbahn Weisenbach-Forbach », von Regierungs-Baumeister Gaber, in Heidelberg.

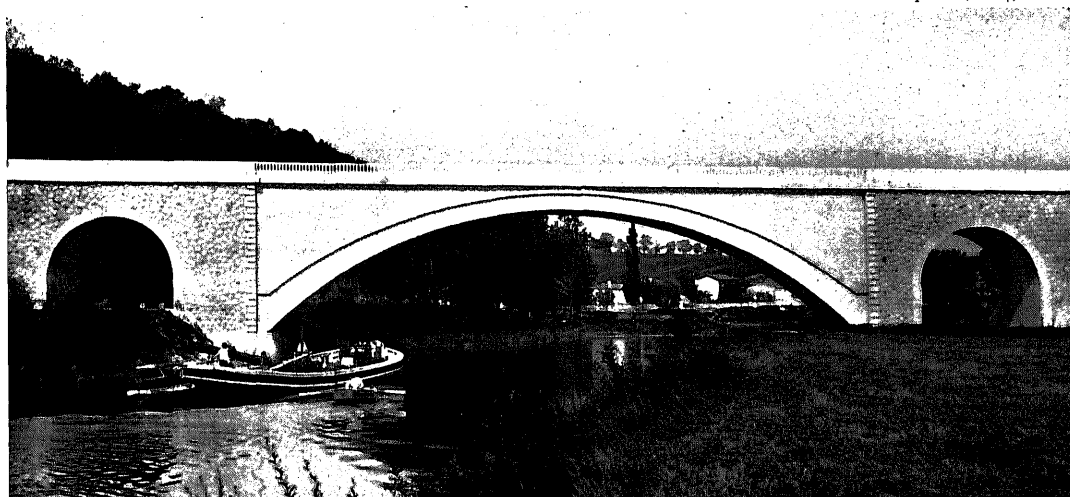
PONT SUR LA CHARENTE¹, PRÈS DE LUSSERAT (CHARENTE-INFÉRIEURE)

Ligne de Saint-Jean-d'Angély à Saujon

1908-1910

$\hat{A}^1 F^r (\geq 40^m) 22$

$\Phi_1 (S''')$



1. Pourquoi on a fait une grande voûte. — Pour ne pas gêner la navigation.

2. Appareil. — *A. Bandeau.* — Le dessous de l'archivolte et les arcs passant par les queues des voussoirs divisent chaque joint en 5 parties égales.

B. Culées (S₁). — Au-dessus de murs à joints incertains et gros bossages, un couronnement en pierre de taille lisse ne semble pas à sa place.

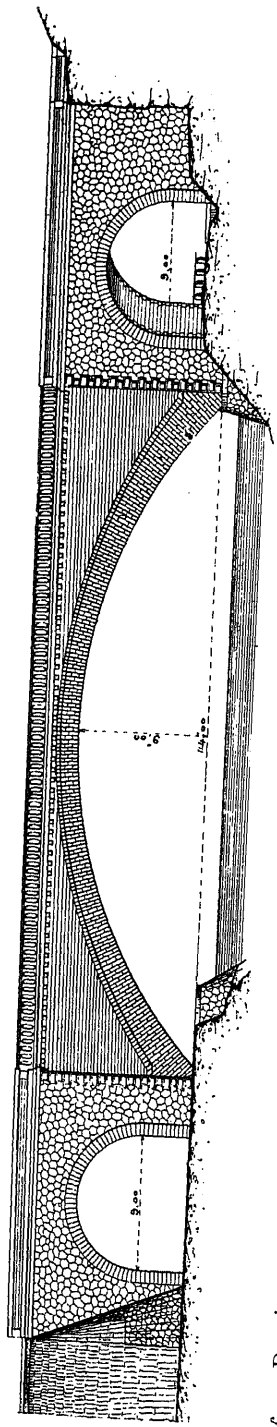
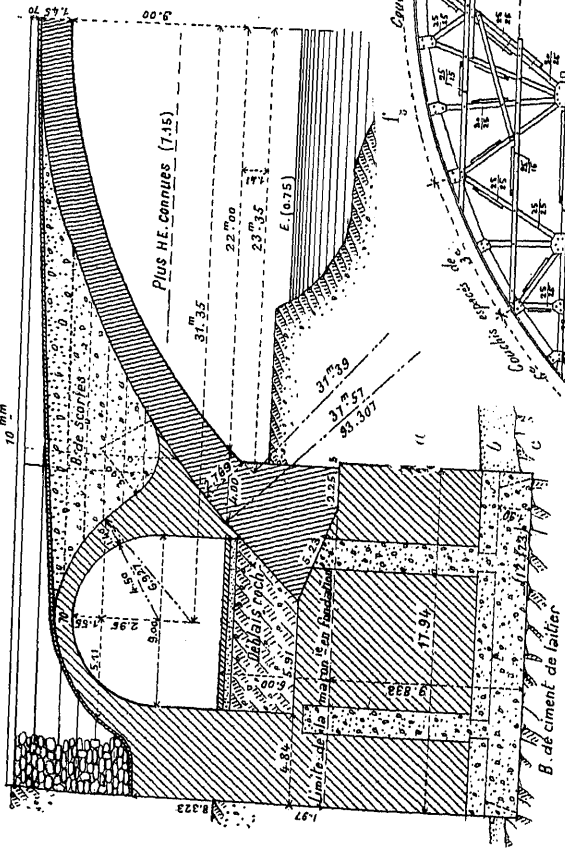
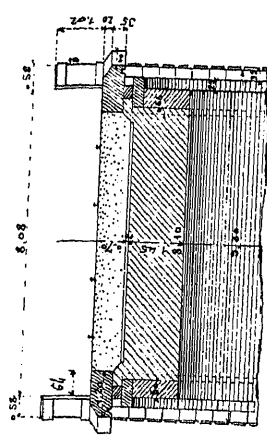
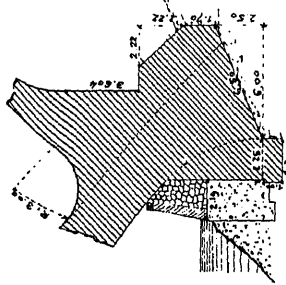
Les bandeaux des voûtes latérales paraissent maigres.

3. Fondation, à l'air comprimé, de la culée rive droite (f₂). On put, dans le caisson, déblayer l'argile à sec, jusqu'à 7^m60 sous l'étiage.

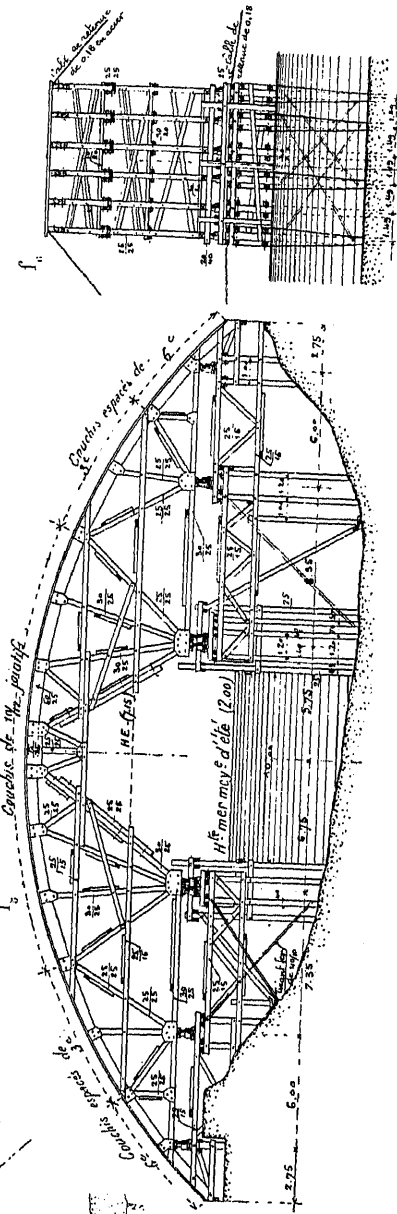
Après l'avoir rempli, on y comprima un coulis de ciment², à 2^k/0^m01²: il entra très peu.

1. — à 3^e en amont de Saintes.

2. — Comme au Pont de Marmande. (Annales des Ponts et Chaussées, février 1883, « Fondations à l'air comprimé d'un pont sur la Garonne, à Marmande ». M. Séjourné).

f_1 — Élévation — 2 mm f_2 — Demi-coupe en long, côté rive droite — 2 mm 5 f_3 — Culée rive gauche — 2 mm 5

Cintre — 2 mm 5

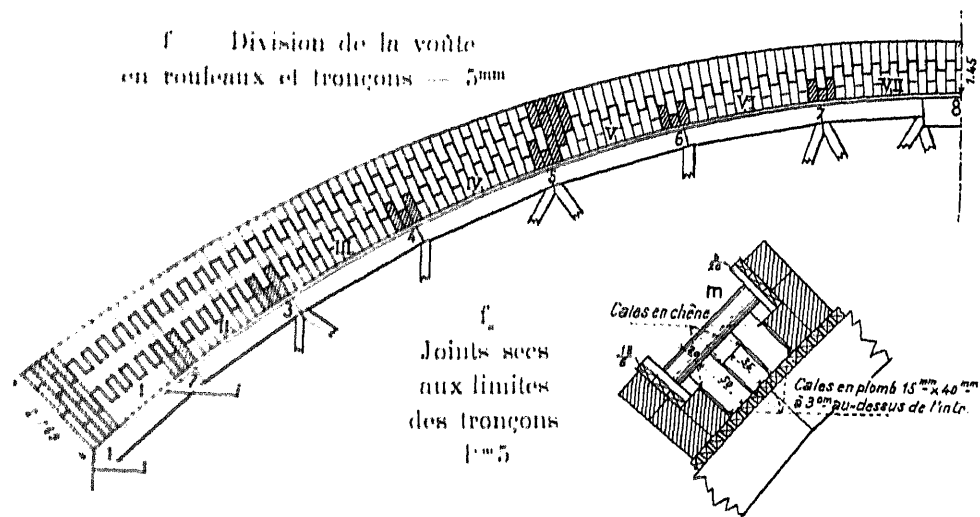


- a) Argile d'alluvions.
- b) Gravier.
- c) Rocher calcaire.

Φ_a (S_a)

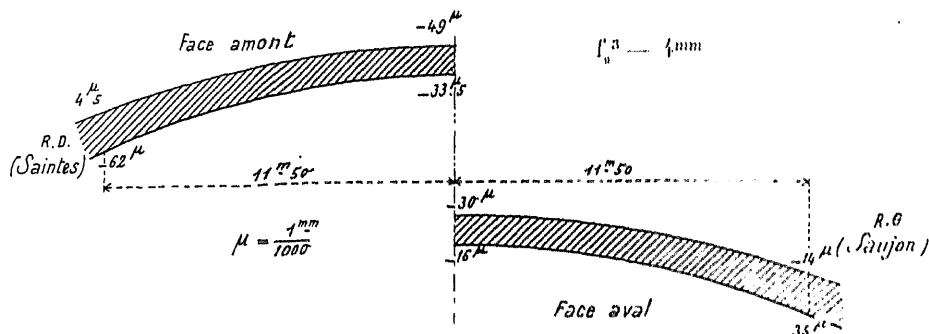


4. Exécution de la grande voûte (f , f_a). — *A. - Division en rouleaux.*
Elle a été construite en 3 rouleaux, le 2^e limité aux reins.



B. - 1^{er} Rouleau. — On l'a exécuté en 13 tronçons, séparés, au-dessus des points fixes du cintre, par 14 intervalles formés de 3 voussoirs posés à sec (f_a).
Les moellons de queutage du 1^{er} rouleau s'appuyaient sur des madriers m (f_a).

5. Mouvements au décintrement (mesurés avec 8 appareils Manet-Rabut à tiges de 1^m) (S''₁).



6. Mouvements dus à la température (S''₁). — Pour un abaissement de température moyenne de 17° (de + 13° à - 4°), on a observé un abaissement à la clef de 6^{mm}.

7. Dates (S''₁).

Fondations.....	avril-décembre 1908
Grande voûte.....	août-octobre 1909
Décintrement.....	26 octobre 1909

8. Personnel (S''₁).

Ingénieurs en chef	{ jusqu'en 1908..... M. Meunier.
	{ après..... M. Perrier.
Ingénieur ordinaire.....	M. Alexandre.
Entrepreneurs :	MM Marlaud.

3. — De ces chiffres, M. Alexandre conclut qu'au décintrement, la courbe de pression passait, à la clef, à 6^{mm} au-dessus de la fibre moyenne, — aux reins, près du 1/3 inférieur (S₂).

4. — M. Alexandre donne ce calcul :

Le développement moyen de la voûte est de 54^m, dont pour les joints de mortier : $0,4 \times 54^m = 21,60$. Si on admet pour le coefficient de dilatation du mortier de ciment, 11×10^{-6} , et si on considère la pierre calcaire comme non dilatable, on trouve, pour un abaissement de 17°, un raccourcissement de :

$$17^\circ \times 11 \times 10^{-6} \times 21,60 = 4^{\text{mm}}$$

En supposant encore que la courbe déformée reste un arc de cercle, l'abaissement correspondant à la clef est 4^{mm} au lieu des 6 mesurés.

SOURCES :

S₁. — Dessins d'exécution (S'₁), renseignements (S''₁) et photographie (S'''₁) gracieusement communiqués par M. Alexandre.

S₂. — Ligne de Saint-Jean-d'Angély à Saujon. — Rapport sur l'exécution des travaux et les dépenses effectuées. — MM. Perrier et Alexandre, — p. 55 à 63, Pl. 8 et 9 : « Pont sur la Charente ».

S₃. — Ce que j'ai vu — octobre 1909.

Ce qui n'est pas spécifié S₁ ou S₂ est de S₃.

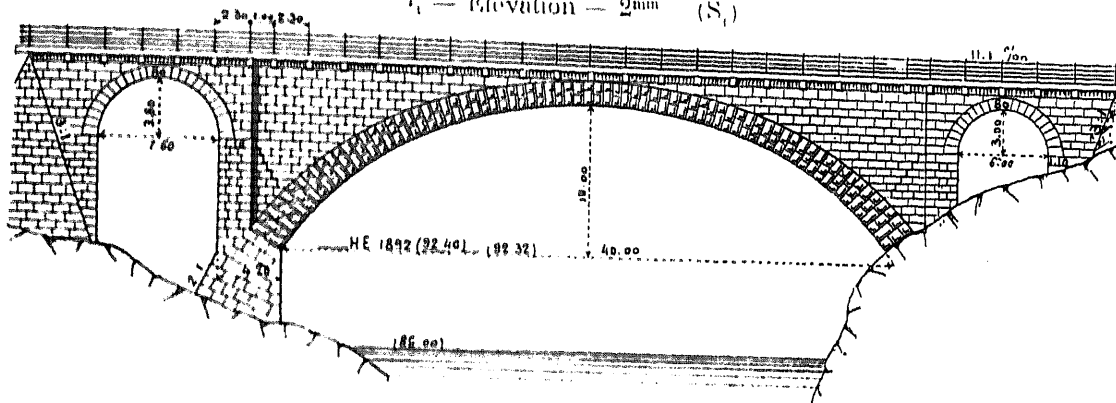
PONT SUR LE NIDELVEN, A BOÏLEFOS (NORVÈGE)

Ligne d'Arendal à Aamli

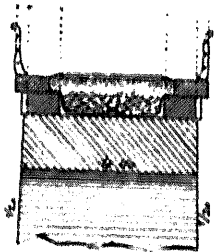
1908-1911

A¹ 1^{er} (240m) 23

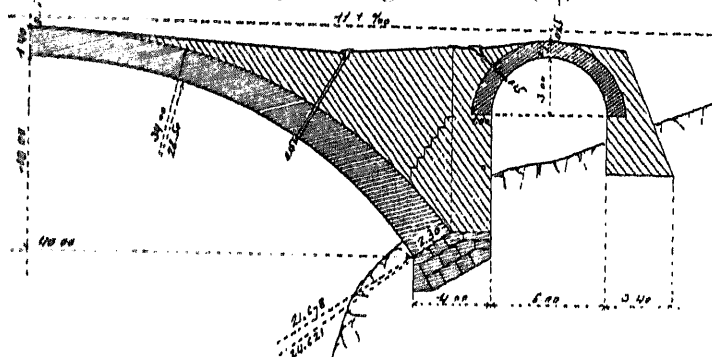
f₁ — Élévation — 2mm (S₁)



f₁ — Coupe en travers
à la clef — 5mm (S₁)

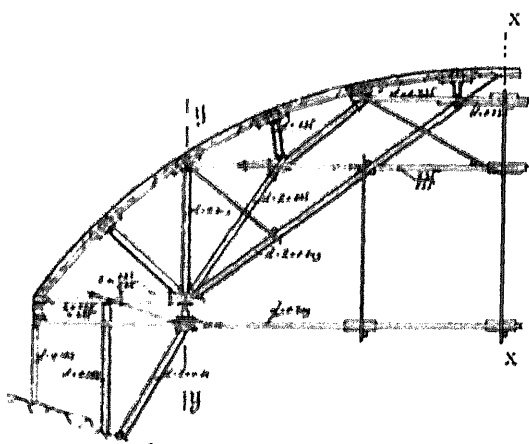


f₂ — Coupe en long — 2mm,5 (S₁)

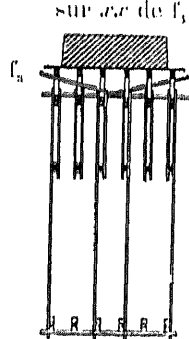


Cintre — 3mm (S₂)

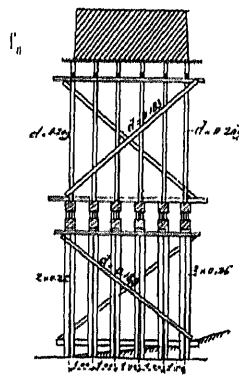
f₃ — Demi-élévation



Coupes en travers
sur ax de f₃



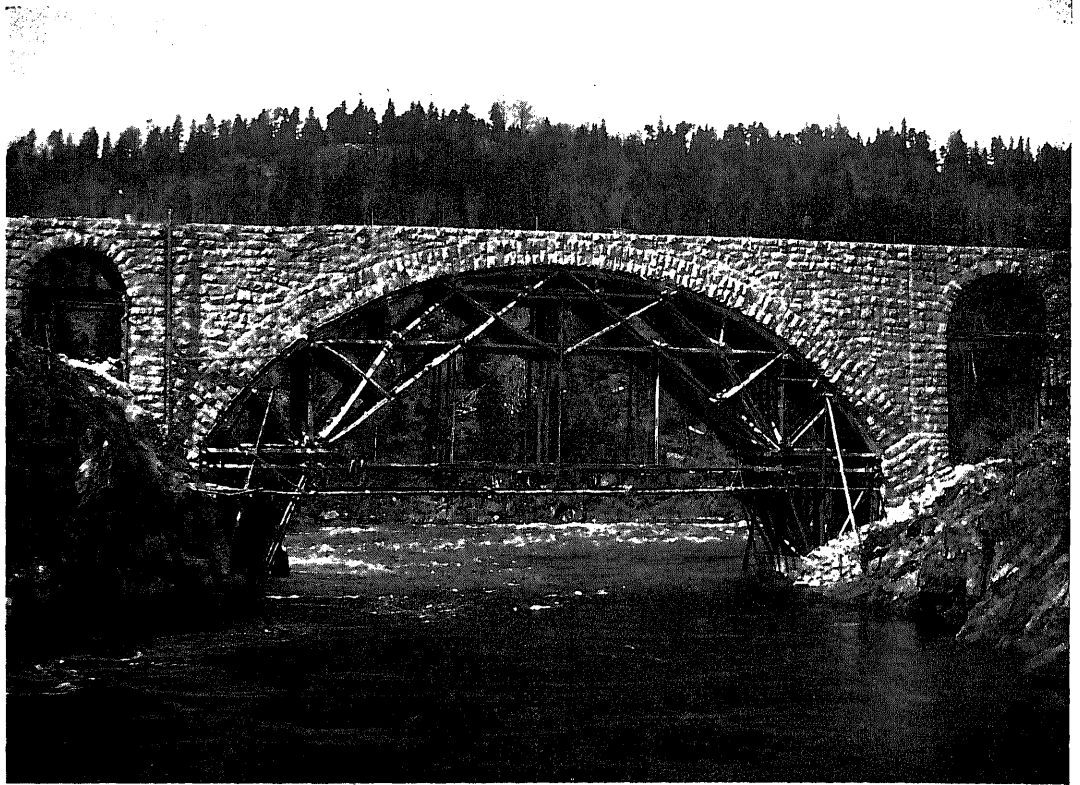
sur yy de f₃



L. Personnel (S₁).

Projet : Service de la Construction des Chemins de fer de l'Etat norvégien.

Direction des Travaux : L'Ingénieur de la ligne Arendal-Aamli.

Φ_1 (S_3)

SOURCES :

S_1 . — Dessins d'exécution gracieusement communiqués par M. O. Carlsen, Directeur de l'Ecole Polytechnique de Bergen, — avril 1911.

S_2 . — Dessins du cintre et renseignements, gracieusement adressés par M. Fleischer, (Direction des Chemins de fer de l'État norvégien à Christiania), — mai 1912.

S_3 . — Photographie qu'a bien voulu me donner M. Jenssen (Direction des Chemins de fer de l'État norvégien à Christiania), — novembre 1912.

PONT SUR LA THUR, A LICHTENSTEIG (SUISSE, - Saint-Gall)
Ligne Romanshorn-St. Gall-Uznach (Bodensee-Toggenburg-Zurichsee)

1907-1909

\widehat{A}^1 1^{re} $\geq 40m^2$

Φ_1 (S₁)

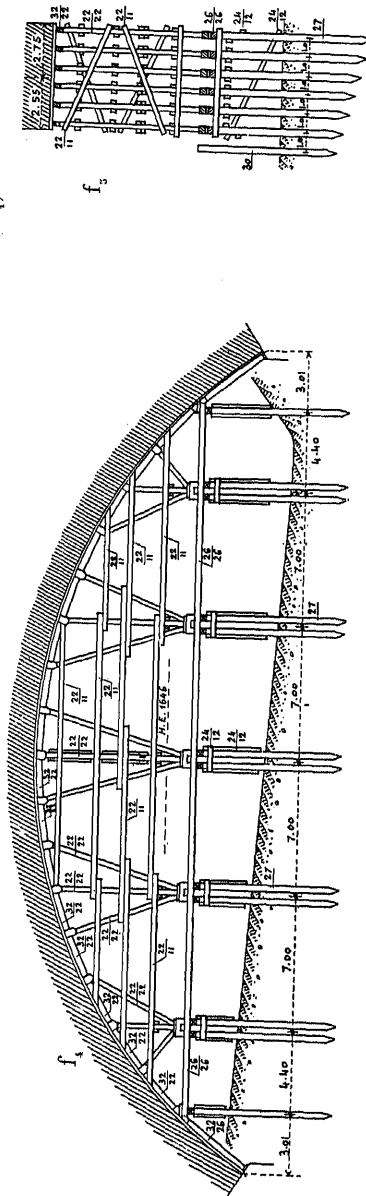
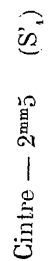
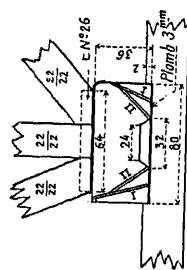
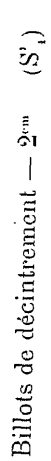
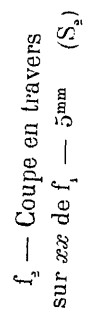
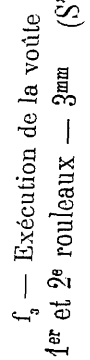
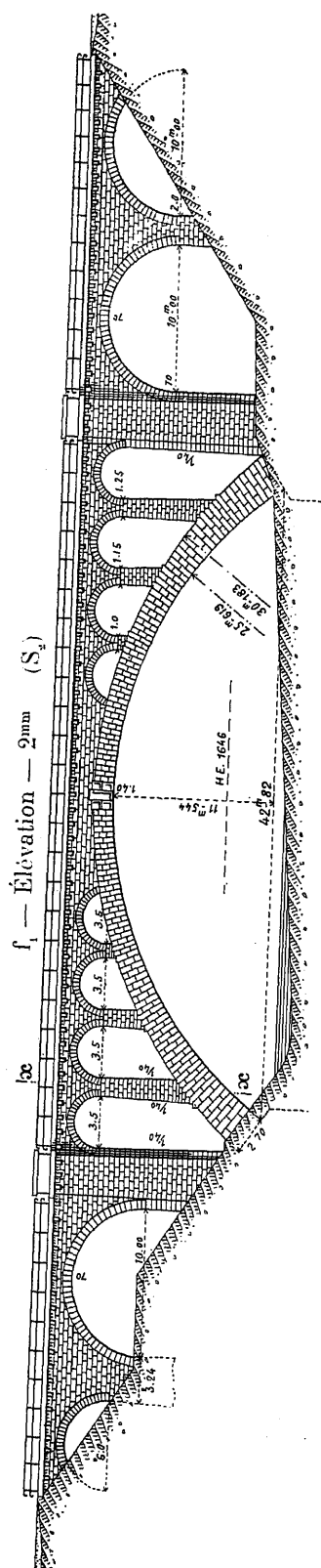


1. Efforts dans la voûte en kg/cm², (Méthode Ritter).

sous une surcharge de 1800 ^k /m ² ;	Clef	Joints de rupture	Retombées
a. sans tenir compte des variations de température (S'' ₁).....	27 ^k 5	28 ^k 0	23 ^k 2
b. pour une variation de température de 15° (S ₂).	31 ^k 5	— 1 ^k 5 (tension)	
E = 1 × 10 ⁶ en kg/cm ² ; α = 8,8 × 10 ⁻⁶ (S'' ₁)			
c. pour un recul des culées de 1 ^m (S ₃):			
c ₁ avec résistance à la tension.....	38 ^k		— 9 ^k 0 (tension)
c ₂ sans résistance à la tension.....	40 ^k		42 ^k

2. Cintre. — A. - Efforts (S'). — Les montants et contrefiches travaillent à 23^k5; les vaux à 80^k (limite admise); les billots de décintrement, à 20^k normalement aux fibres, à 60^k dans le sens des fibres.

Les pieux portaient au plus 42^k5.



B. - *Surhaussement de 80^{mm}* (S'₁). — On l'a calculé par la formule :

$$3^{mm} + 2^{mm}5 \left[2a \text{ (portée en mètres)} - b \text{ (montée en mètres)} \right].$$

3. Dates (S''₁).

Commencement des travaux.....	automne 1907
Grande voûte.....	octobre 1908 — mai 1909
Décintrement.....	juin 1909
Ouverture à la circulation.....	octobre 1910

4. Personnel (S''₁).

Projet : Service de la Construction du Bodensee-Toggenburgbahn.

Direction des Travaux : M. R. Weber, Ingénieur en Chef.
M. Hünerwadel, Ingénieur.

Exécution en régie.

SOURCES :

S₁. — Dessins (S'₁) et renseignements (S''₁) gracieusement communiqués, en septembre et novembre 1912, par M. Aantos, Ingénieur en chef du Bodensee-Toggenburgbahn, à Saint-Gall.

S₂. — Bodensee-Toggenburg-Zürichsee, — Denkschrift über die Eisenbahn-Verbindung Romanshorn-S. Gallen-Wattwil-Uznach, — p. 95, Pl. 11 : « *Der Thurviadukt bei Lichtensteig* », — Zollikofer et C^{ie}, Saint-Gall, 1911.

S₃. — Ce que j'ai vu — juillet 1912.

PONT SUR LA THUR, A KRUMMENAU (SUISSE, - Saint-Gall)

Ligne d'Ebnat à Nesslerau

1910-1911

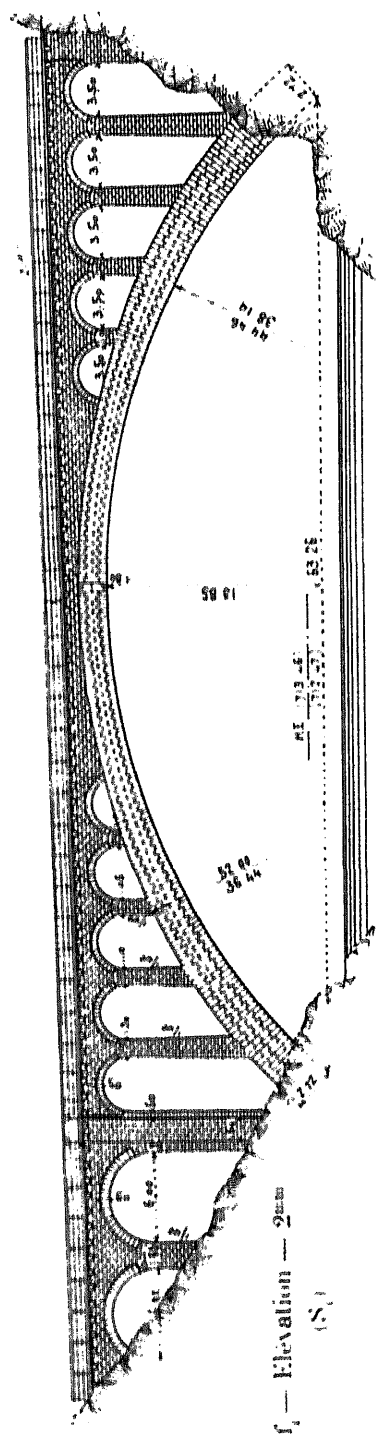
A' Fr (≥ 40 m) 25

Φ_1 (S₁)

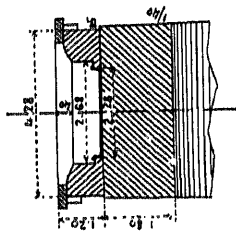


1. Efforts dans la voûte, en kg/cm^2 (S₁), calculés sans tenir compte de la résistance à la tension.

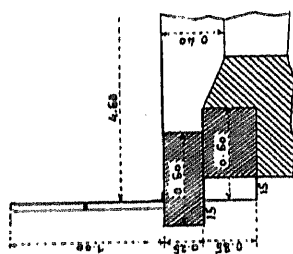
Distance horizontale du milieu du joint à la clef.....		Côté Ebnat (RD)				Côté Nesslerau (le plus haut) (RG)			
		Retombée	28m	18m	9m	Clef	9m	18m	28m
Sous le poids propre	Extrados	15 ^k	8 ^k	14 ^k	20 ^k	18 ^k	"	"	"
	Intrados	20	31	26	22	25	"	"	"
Sous la surcharge :									
1° sans tenir compte des variations de température	Extrados	Effort MAX..	30	14	20	29	26	34	23
		— min..	7	5	8	12	15	17	9
	Intrados	— MAX..	31	33	33	32	31	27	31
		— min..	8	23	17	15	20	9	15
2° pour une variation de température de $\pm 15^\circ$	Extrados	Effort MAX..	36	"	"	"	30	36	"
		— min..	"	"	7	"	11	"	"
	Intrados	— MAX..	"	"	34	"	36	"	37
		— min..	2	"	"	"	15	7	"



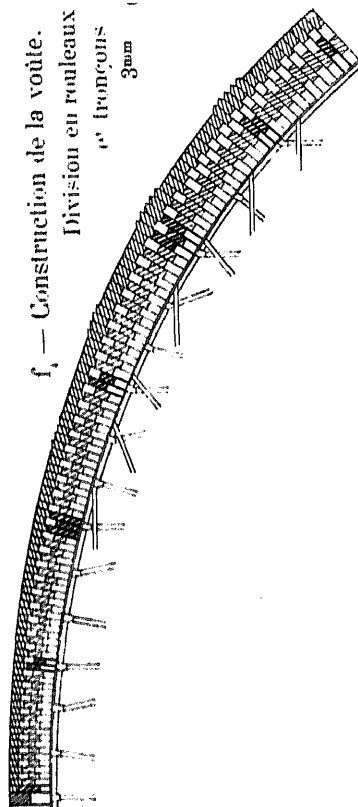
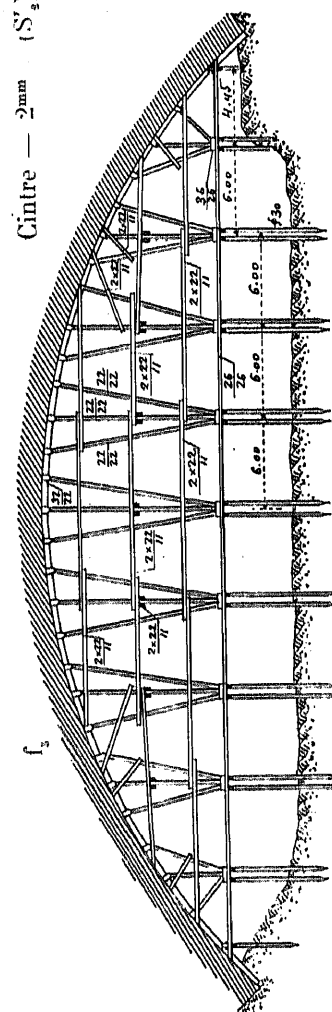
f_2 — Coupe en travers
à la clef — \bar{y}_{max} (S_1)



r_2 — Couronnement — $\frac{2}{3} \pi (S_1 + S_2)$



f₁ — Construction de la route.
Division en rouleaux
1" francs
3mm (S₁)

Cintre — 2mm (S₂)

2. Cintre (S'). — *A. - Efforts.* — Les montants et contrefiches travaillaient au plus à $18^k6/0^m01^2$, les vaux à 60^k , le platelage à 87^k .

Les pieux, de 28^{cm} , battus au refus de 7^{mm} , avec un mouton de 480^k tombant de 4^m , portaient 13 tonnes.

B. - Surhaussement de 130^{mm} . — On l'a calculé par la formule :
 $4^{mm} + 2^{mm}5 [2a \text{ (portée en mètres)} - b \text{ (montée en mètres)}]$.

C. - Prix de revient.

<i>1° Palées¹.</i>			
Fournitures		3.144'60	
Pieux : $49^{m}3$ à $33'$ = $1626'90$.		3.054'25	
Main-d'œuvre		557'90	
Outils et frais généraux (9 %/o)		2.125'	
Brise-lame pour protéger les palées			8.881'75
<i>2° Cintre proprement dit.</i>			
Fournitures :			
Bois équarri : 194^{m} à $55'$	10.670'		
Planches : 23^{m} à $50'$	1.150'		
Fers	2.969'		
Divers	350'		
		15.139	
Main-d'œuvre :			
Façon des bois ²	1.260'		
Transport et montage ³	2.322'60		
Abaissement du cintre, démontage, transport au dépôt	1.102'50		
		4.685'10	
		19.824'10	
Outils et frais généraux 9 %/o		1.785'15	
			21.601'25
Prix total du cintre			30.490'
A déduire, valeur du matériel conservé			4.990'
Prix net du cintre (sans bénéfice de l'Entrepreneur)			25.500'
soit par mc. de maçonnerie de voûte ³	32'70		
par mq. de surface d'élévation sous la douelle	37'		

D. - Salaires. — Prix de l'heure (S'').

Maître-charpentier	1'
Charpentier	0'63
Maçon	0'63
Mineur	0'50
Mancœuvre	0'43

1. — Longueurs moyennes : d'un pieu, 5^m73 ; de fiche, 1^m51 . — Le mètre courant de pieu a coûté, y compris les sabots, 9'45.

2. — La main-d'œuvre a coûté, par m. c. de bois équarri : façon des bois, 6'50 ; transport et montage, 12'.

3. — Par m. c. de maçonnerie de voûte (780^{m}), on a employé 0^m365 de bois ; — par m. c. de bois (285^{m}), 23^k de fer, 40, 8 heures de travail.

3. Exécution de la voûte. — Comme au pont de Montanges⁴, les voussoirs se découpent, non seulement d'une assise à l'autre, mais dans la même assise (S''').

Le mortier n'a pas été maté, mais seulement fiché (S_1).

4. Dates.

Commencement des travaux.....	juillet 1910
Grande voûte.....	mai — 10 août 1911
Décintrement.....	8 septembre 1911
Ouverture à l'exploitation.....	1 ^{er} octobre 1912

5. Tassement des fermes de rive, en *mm* (S_1).

Distance horizontale à la clef		Côté Elbat (RD)				Côté Nesslerau (RG)					
		22 ^m 40		11 ^m 60		Cleff		12 ^m 20		22 ^m 20	
		<i>am</i> ¹	<i>av</i> ¹	<i>am</i> ¹	<i>av</i> ¹	<i>am</i> ¹	<i>av</i> ¹	<i>am</i> ¹	<i>av</i> ¹	<i>am</i> ¹	<i>av</i> ¹
Dates (1911)											
1 ^{er} rouleau.....	27 mai.....	-4	0.5	4	3	0.5	0.5	0	7	3	0.5
	8 juin.....	7	10.5	5	4	0	0.5	3.5	3	2	10
	16 juin.....	12.5	14	11	10.5	8.5	9	8	7.5	7.5	14.5
2 ^e et 3 ^e rouleaux.....	23 juin.....	13	13.5	11.5	11.5	5	0	7	7	8	15
	11 juillet....	20	34.5	24.5	26	18	18	24	25	26	37.5
4 ^e rouleau.....	19 juillet....	33.5	35	27	27	20.5	20.5	28	28.5	28	37.5
	1 ^{er} août....	30.5	33.5	27.5	27	24	24	28	28.5	28	36.5
	14 août....	32.5	35.5	33	28.5	26.5	24	33	32	29.5	39.5

6. Tassement des bandeaux, en *mm* (S_1).

Distance horizontale à la clef	Côté Elhat (RD)				Côté Nesslerau (RG)					
	22m 40		12m 80		Cleff		11m 80		22m 20	
	am^1	av^1	am^1	av^1	am^1	av^1	am^1	av^1	am^1	av^1
Dates des observations (1911)										
1 ^{er} août (par rapport au 19 juillet)...	0	1.5	2	1	4.5	4.5	2	2	0	0
14 août	2	2	5.5	1.5	2.5	0	5	3.5	1.5	3
8 septembre (décintrement).....	0	1	2	2	4.5	2	2	2	1	1
(toutes les piles et les 6 voûtes extrêmes d'évidement construites)										
19 septembre	9.5	0	9.5	17	11	11	12	14	8	8.5
(des voûtes d'évidement achevées)										
1 ^{er} décembre	0	2	0	2	11	13	13.5	13.5	10	1.5
(le pont achevé)										

7. Personnel.

Ingénieurs.

Projet : Service de la Construction du Bodensee-Toggenburgbahn.

Direction des Travaux : M. R. Weber, Ingénieur en chef.

Entrepreneurs : MM. Aebli, Stambach et C^{ie}.

SOURCES :

S₁. — Dessins d'exécution gracieusement communiqués par M. Acatos, Ingénieur en chef du Bodensee-Toggenburgbahn, à Saint-Gall.

S₂. — Documents qu'ont bien voulu me communiquer, à Krummenau, MM. Aebli et Stambach :

S'₂. — Dessins et photographie du cintre. S''₂. — Etat des dépenses du cintre.

S'''₂. — Photographie de la voûte en construction.

S₃. — Ce que j'ai vu — juillet 1912.

S₄. — Schweizerische Bauzeitung, 1913 : 1^{er} février, p. 53 à 57 ; 8 février, p. 69 à 73.
« Die Bahnlinie Ebnat-Nesslau », von Ingenieur A. Acatos, Oberingenieur-Stellvertreter der B.T.

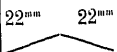
VOÛTES INARTICULÉES EN ARC ASSEZ SURBAISSÉ ¹

PONTS A PLUSIEURS GRANDES ARCHES
SOUS ROUTE

Série $\widehat{A}^n r^{to} (\geq 40^m)$

1 - Voir Préliminaires, Tome III, p. 3 et 4.
2 - pour la définition des arcs « assez surbaissés ».
3 - pour le sens de ce symbole.

PONT A PLUSIEURS GRANDES ARCHES SOUS ROUTE

PONT	PROJET							
	ENSEMBLE		GRANDES VOÛTES					
	Date	Longueur <i>entre abouts des parapets</i>	Largeurs <i>(entre parapets entre tympans sous la plinthe)</i>	INTRADOS	ÉPAISSEURS	MATÉRIAUX	PRESSIONS	1° ÉVIDEMENTS DES TYMPANS
Symbole		Déclivités	Fruit	Portée	CORPS	Mortier	en kg/m ²	2° DÉCORATION DES TÊTES
<i>En quoi consiste l'ouvrage</i>		Hauteur maxima de la chaussée au-dessus du sol ou de l'étiage	des tympans Revanche de la chaussée sur l'extrados	Montée Surbaissément Rayon	Clef Retombées	Poids, pour 1m. de sable, de chaux ou de ciment	Hypothèse adoptée Surcharges supposées	
1		2	3	4	5	6	8	9
du Vieux Château à Vérone <i>Italie</i> 1354-1356 Aⁿr^{te} ($\geq 40^m$)¹ 3 voûtes en arc : 1 de 48 ^m 70 à 1/4,024 (RD) ; 1 de 28 ^m 54 à 1/5,384 ; 1 de 24 ^m à 1/4,403 (RG).	119 ^m 44 <i>entre culées</i>  15 ^m	Clef Imposte { 5 ^m 95 6 ^m 50 { 6 ^m 80 7 ^m 35	Arc de cercle 48^m 70 12^m 10 $\frac{1}{4,024} = 0,248$ 30 ^m 55		1^m 50 1 ^m 80 (RD) 2 ^m 00 <i>en quelques points, RD.</i>	Bandeaux : PT ¹ irrégulière Calcaire Douelle : Br ¹ Quelques chaînes de PT ¹		
de Seythenex <i>France</i> 1908-1911 Aⁿr^{te} ($\geq 40^m$)² 2 voûtes en arc de cercle de 41 ^m 19 et 39 ^m 665 ; sur chaque rive, une voûte en plein cintre de 11 ^m .	125 ^m 43 0 56 ^m	{ 3 ^m 80 { 2 ^m 80 Pas de fruit (0 ^m 50)	Arc de cercle Voûte rive droite 41^m 19 40 ^m 05 $\frac{1}{4,008} = 0,243$ 26 ^m 13 Voûte rive gauche 39^m 665 40 ^m 05 ² $\frac{1}{3,946} = 0,253$ 26 ^m 13	0 ^m 90 1 ^m 10	0 ^m 90 1 ^m 10	PT ¹ 2 rangées de voussoirs Pierre de Seythenex (1400 ^k à 1000 ^k) Ciment Vicat n° 1 — 600 ^k	Pression maxima sous la surcharge : Clef : 23 ^k Retombées : 23 ^k Méry Surcharge 400 ^k 1 ^m	1° Chaussée sur plate-forme en béton armé portée par des colonnes en béton armé contreventées en long et en travers à 4 ^m 50 sous la chaussée. Dosage du béton armé : Ciment : 300 ^k Sable : 400 ^k Gravier : 800 ^k 2° n

1. — Pour le sens de ces abréviations, voir Avertissement, Tome III, p. II, n° 6.

2. — La retombée rive gauche est à 1^m 78 au-dessus de la retombée rive droite.

SÉRIE \widehat{A}^n $r^{1e} (> 40m)$

TABLEAU SYNOPTIQUE

EXÉCUTION										CUBE DE MAÇONNERIE A MORTIER	
GRANDES VOÛTES										Q	
CINTRES										DÉPENSE	
FERMES										D	
Type										Totaux	
Matière										et	
Appareils de										par unité {	
décintrement										de surface utile S_p^3	
Surhaussement										de volume « utile » W^4	
Totaux										18	
par mq de douelle ²											
13											
11											
15											
16											
17											

2. Pour le calcul de la surface de douelle, voir Avertissement, Tome III, p. III, n° 7 — A. 3. S_p = Longueur (col. 2) \times Largeur entre parapets (col. 3) — C'est la surface offerte à la circulation.

4. W = Surface sur de l'élévation \times Largeur entre parapets. 5. W' = Surface de l'élévation au-dessus des fondations \times Largeur entre parapets.

Pour S_p , W , W' , voir Avertissement, Tome III, p. III, n° 7 — B.

6. = Forfait comprenant aussi les cintres des voûtes d'accès.

VOÛTES INARTICULÉES EN ARC ASSEZ SURBAISSÉ
PONTS A PLUSIEURS GRANDES ARCHES SOUS ROUTE

SÉRIE $\widehat{A}^n r^{le} (\geq 40m)$

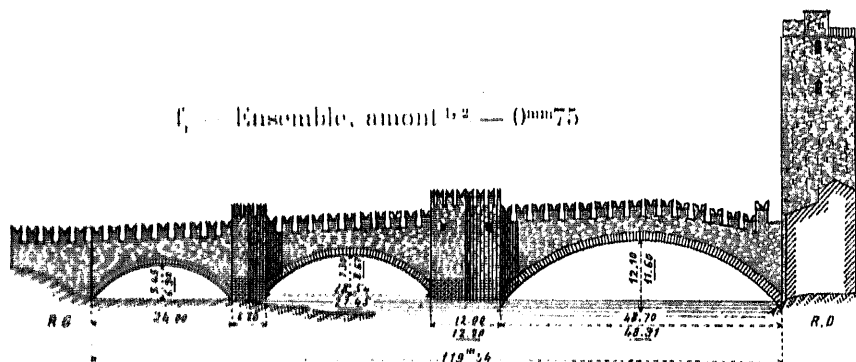
MONOGRAPHIES

PONT DU VIEUX-CHÂTEAU (CASTELVECCHIO) SUR L'ADIGE
A VÉRONE (ITALIE)

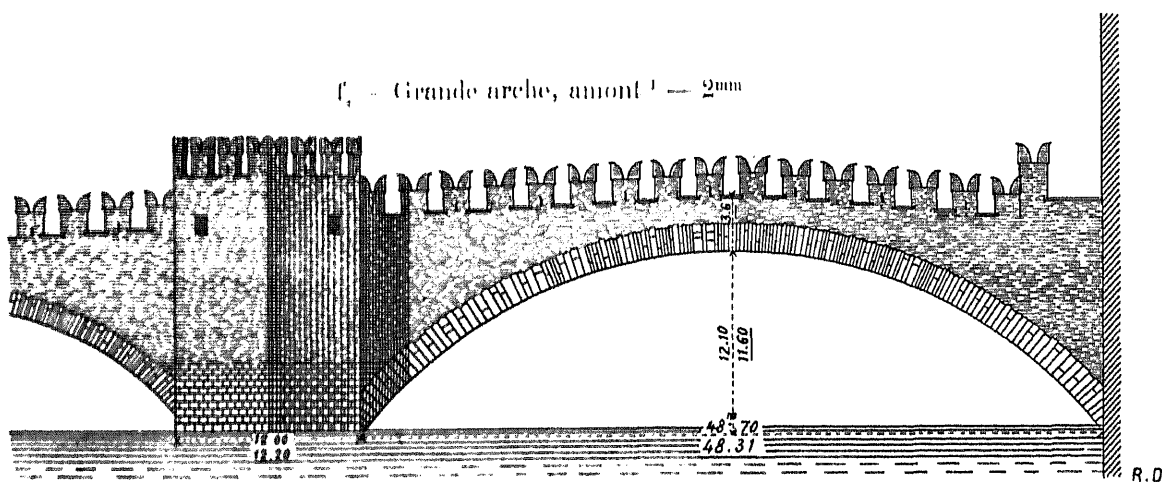
1354-1356

$\widehat{A}^n r^{le} (\geq 40m) 1$

f_1 — Ensemble, amont $1:2$ — (0mm)75



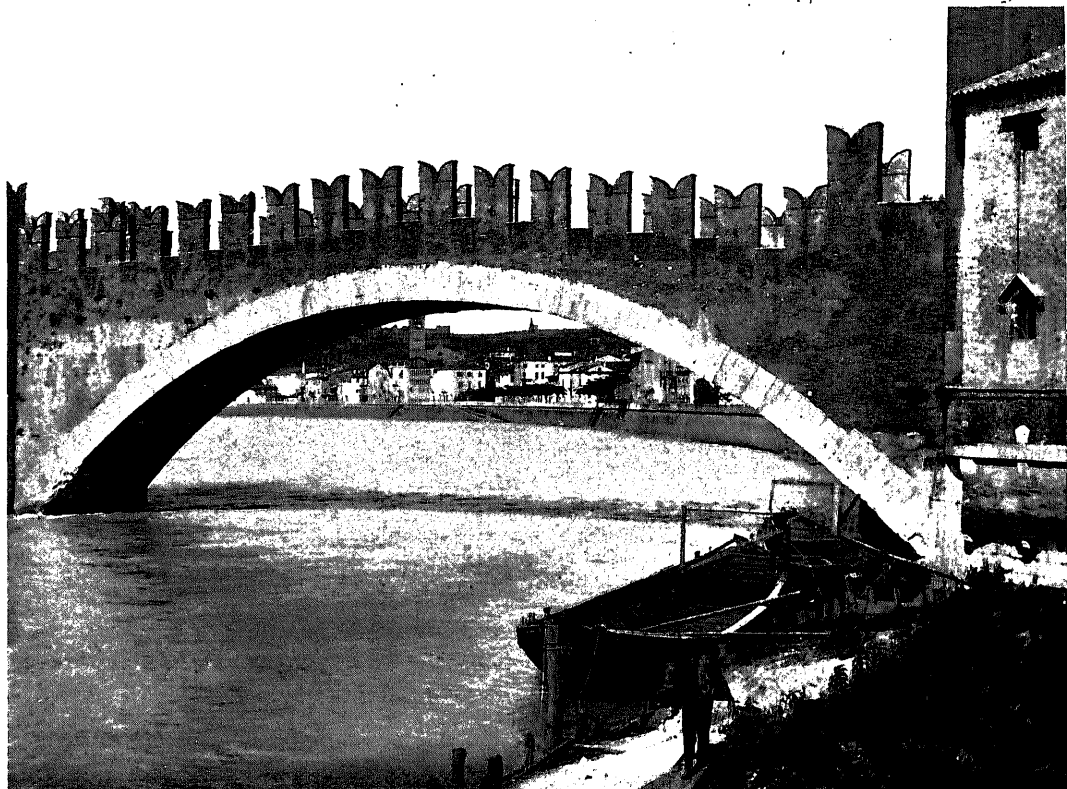
f_2 — Grande arche, amont $1:2$ — 2mm



1. — Ces deux figures, réduites de S_1 , Pl. XVIII, ont été rectifiées d'après mes photographies.
Les dimensions en ont été relevées par M. Biadego (S_1). On a souligné celles mesurées par M. l'inspecteur Général de Dartin, qui a bien voulu me communiquer ses minutes.

2. — Gauthey donne un dessin fort inexact du pont avec une grande arche en anse de panier de 48^m73 , 2 arches en plein cintre de 15^m27 et 11^m . (*Construction des Ponts*, tome I, p. 26, Pl. I, fig. 20, — Paris, 1809). Il a été reproduit par Croizette-Desnoyers. (*Construction des Ponts*, Pl. IV, fig. 5).

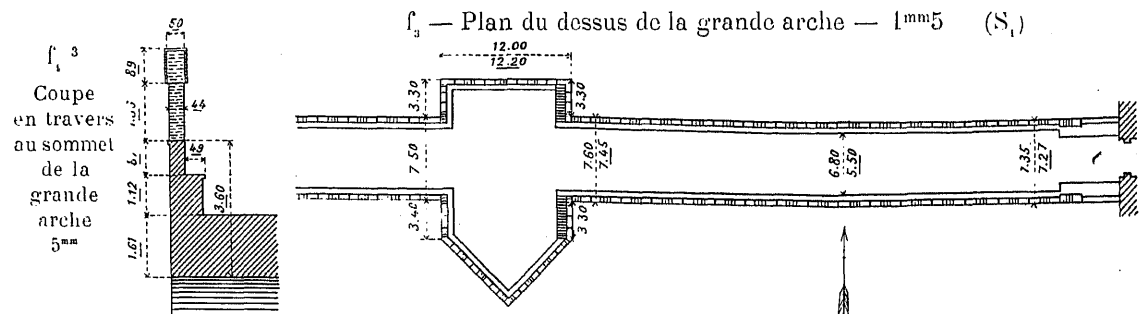
Φ_1 — amont (S_2)



1. Grande arche. Courbe en plan. — La grande arche est en chevron courbe contre le courant.

La flèche est (S_1) :

à la tête amont.....	0 ^m 23
à la tête aval.....	0 ^m 78

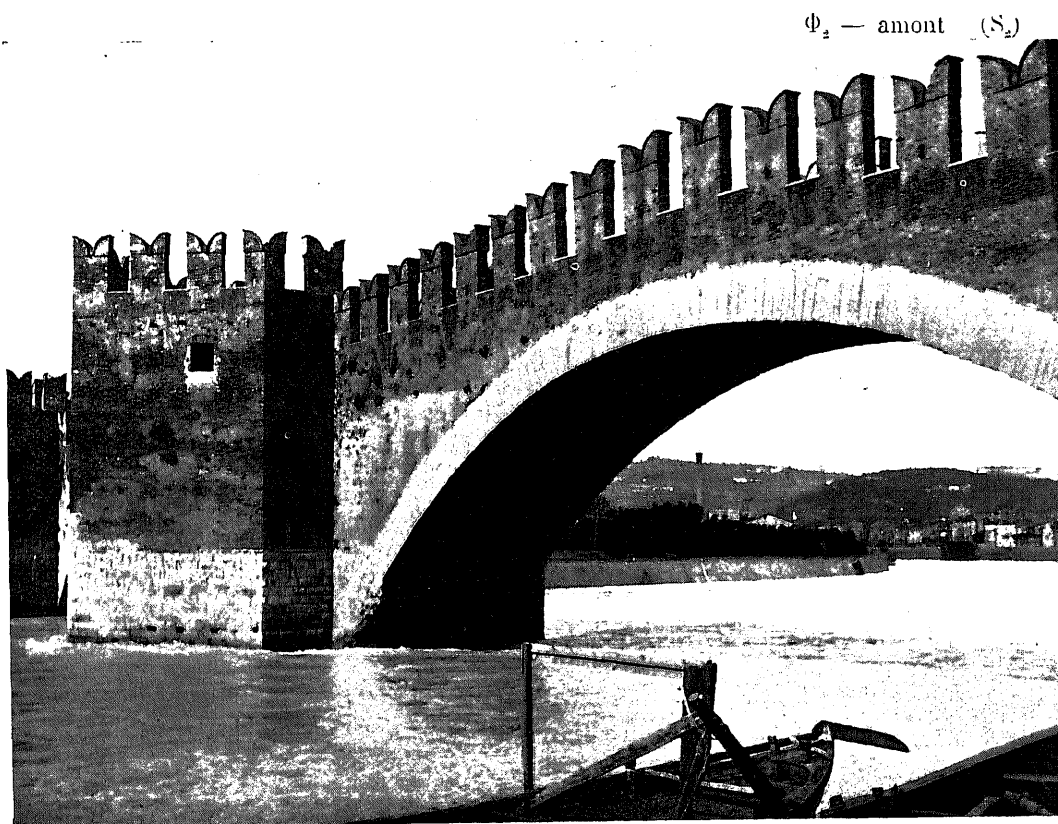


La largeur est (S_1) :

	entre têtes	entre parapets
au droit de l'imposte.....	7 ^m 35	6 ^m 50
au droit de la clef.....	6 ^m 80	5 ^m 95

3. — Relevé de M. de Dartain.

A-t-on voulu continuer la courbe du chemin d'accès ? Le cintre s'est-il déformé ? La voûte a-t-elle été mal exécutée ?



2. Matériaux. — *A. Pile (S).* — La base, jusqu'à 4^m environ au-dessus des eaux ordinaires, est revêtue d'assises horizontales de marbre blanc et rouge, de 0^m56 de hauteur, en morceaux de 1^m50 à 2^m et jusqu'à 2^m75 de longueur, quelques-uns empruntés à des monuments romains détruits.

Au-dessus, tout est en briques.

B. Bandeaux. — Les bandeaux ont des creux, des bosses, des surplombs.

Les voussoirs en pierre de taille calcaire, en général sans saillie sur les tympans ni sur la douelle, sont fort irréguliers d'épaisseur, de hauteur et d'extrados. Ils ne sont pas ravalés. Quelques-uns ont leur face oblique sur la tête. Aux reins, à l'amont, quelques-uns sont cassés.

C. Douelle. — La douelle, en briques dont beaucoup sont creusées, est traversée, d'une tête à l'autre, d'assises de pierre de taille calcaire.

D. Dimensions des briques (S_1). — $22^m \times 13^m5 \times 6^m5$ — $27^m \times 13^m5 \times 5^m5$.

3. Dates (S_1). — Le pont a été commencé en 1354 par Can Grande II della Scala, podestat de Vérone, en même temps que le Vieux-Château auquel il sert d'accès du côté du fleuve. La construction n'aurait duré que 3 ans (1354-1356) ¹. François I^{er} d'Autriche le fit réparer en 1524.

4. Ingénieurs (S_1). — Peut-être Jean de Ferrare et Jacques de Gozzo, qui auraient, 20 ans après, construit le pont « *delle Nari* » à Vérone ².

4. — De 1345 à 1377, on a construit en Italie 5 grands ponts :

1345 (date donnée par Ferroni). — Pont Vieux « *Ponte Vecchio* » dit aussi Pont des Orfèvres, sur l'Arno, à Florence, dû à Taddeo Gaddi. — Arc du milieu : 29^m180 , et 4^m476 de fleche.
« *De la véritable courbe des Arches du Pont de la Trinité, à Florence* ». — Mémoire géométrique et historique de Pierre Ferroni. — Inséré dans le tome XIV de la Société italienne des Sciences (1808).

1351-1356. — Pont couvert, sur le Tessin, à Pavie. — 6 arches : les 3 plus grandes en arc, — 2 petites en plein cintre, — une intermédiaire qui paraît en plein cintre (S_1).

D'après une inscription sur la première pile rive gauche, rapportée par Malibran, on a commencé en 1351 à le réparer ou à le refaire.

Morandière en donne (Pl. 61, fig. 1 à 5) des dessins d'après Malibran. — La plus grande arche, celle de rive droite, a, à Pèchelle, environ 28^m .

J'ai contrôlé ces dessins par mes photographies.

Gauthier donne un dessin et une description fort détaillée d'un pont saugrenu, qui n'a rien de commun avec l'ouvrage existant : 7 ogives égales, tympans évidés en triangle, pile à coupe horizontale en forme de lentille (*Construction des Ponts*, tome 1, p. 22, Pl. 1, fig. 21, 21 bis. — Paris 1809).

1354-1356. — Pont du Vieux-Château, sur l'Adige, à Vérone. — 3 arcs — \widehat{A}^n 1^{re} (— 40^m) ¹

1373-1375. — Autre Pont sur l'Adige, à Vérone, dit « *delle Nari* », ruiné plusieurs fois par des crues. — 4 arcs de 16^m80 , 24^m50 , 15^m35 et 22^m40 (S_1), construit sous Can III della Scala (ou Can Signorico, frère de Can II).

1370-1377. — Pont de Trezzo, sur l'Adda, ruiné en 1416. — Arc de 72^m — \widehat{A}^1 1^{re} (— 40^m) — Tome III.

5. — Ils sont désignés comme Ingénieurs du Pont de Pavie par Torello Sarina dans son « *Histoire de Vérone* », 1649. — (Malibran : *Mission d'Italie*).

SOURCES :

S_1 . — G. B. Biadego : « *Del Ponte nuovo sull' Adige a Verona* », Vérone, Turin, 1885, Memoria IV, p. 251, Pl. XVIII. — Cette planche indique le pont tel qu'il a été dessiné, à la fin du XVIII^e siècle, par l'Ingénieur Bertolini, Professeur au Collège militaire.

S_2 . — Ce que j'ai vu, — juin 1908.

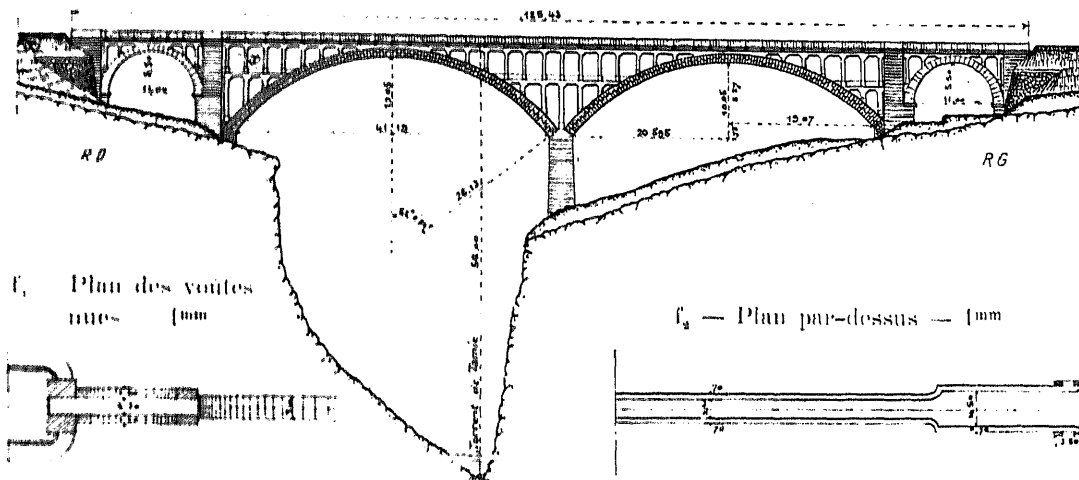
PONT SUR LE RUISSEAU DE TAMIÉ, PRÈS DE SEYTHENEX¹ (Hte-SAVOIE)

Chemin vicinal ordinaire

1908-1911

$\widehat{A}^{nre} (\geq 40m)^2$

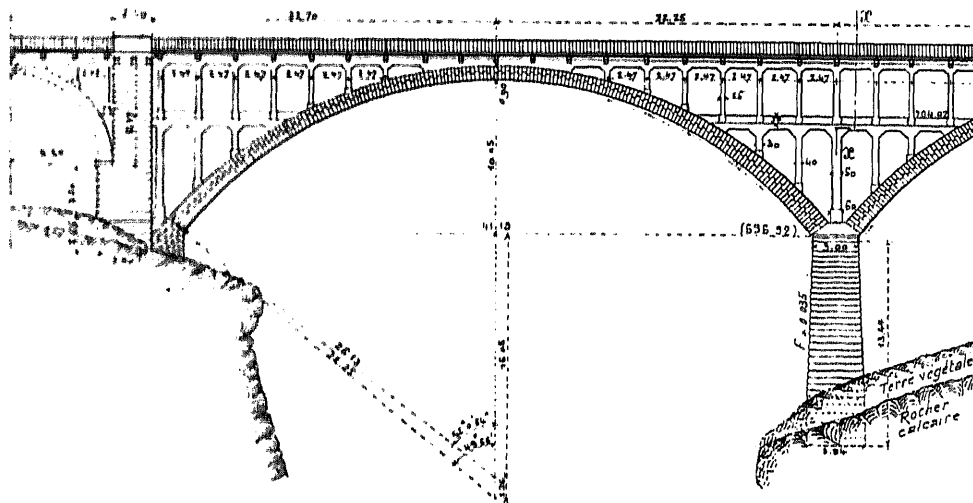
f_1 — Ensemble, aval — 1mm



1. Pourquoi deux grandes arches ? — L'arche de 39^m665, rive gauche, ne paraît pas imposée.

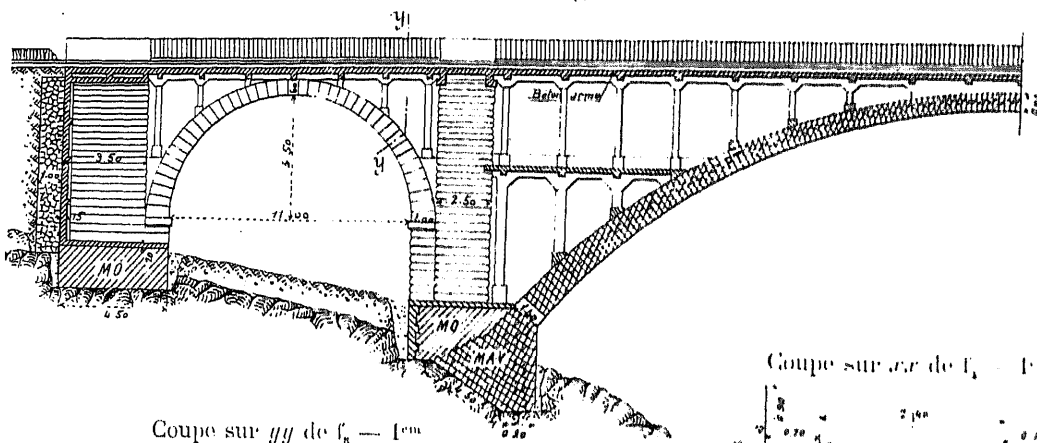
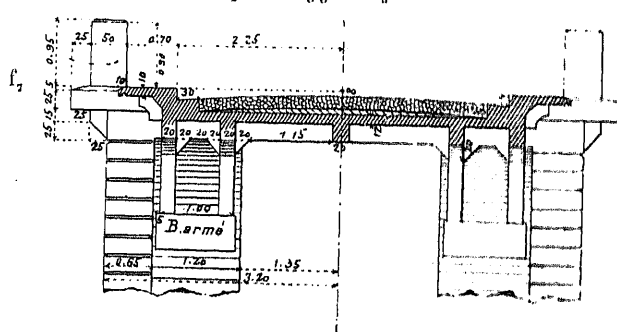
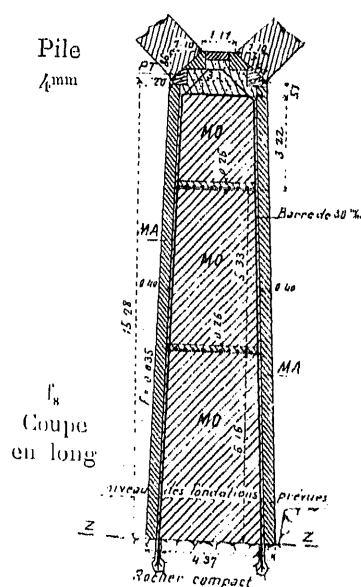
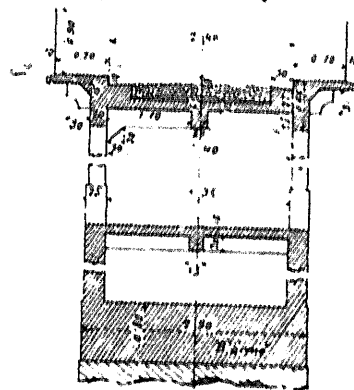
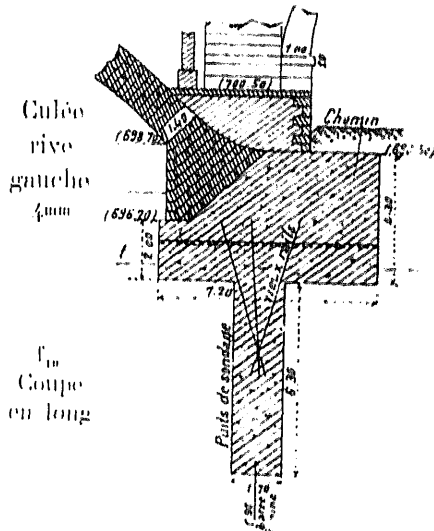
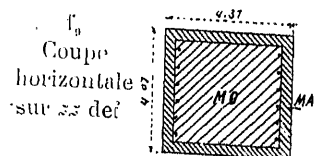
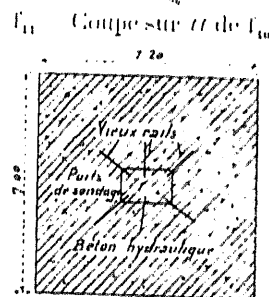
Peut-être aurait-on facilement ajusté aux lieux une grande voûte rampante au-dessus du creux, et un viaduc d'accès sur le glacis de rive gauche.

f_1 — Grande voûte rive droite — 2mm



2. Arches d'accès en deux anneaux. — On a élargi à bon compte les entrées du pont, en plaçant un plancher en béton armé sur deux anneaux de voûte (f_2 , f_1).

1. — A 3^e de Faverges (station de la ligne d'Annecy à Albertville).

f_5 — Coupe en long — 3mmCoupe sur yy' de f_6 — 1cmCoupe sur xx' de f_6 — 1cm f_8
Coupe
en longCulée
rive
gauche
 f_{10}
Coupe
en long f_9
Coupe
horizontale
sur zz' de f_8  f_{11} — Coupe sur tt' de f_{10}

3. Matériaux

(S). — Sont :

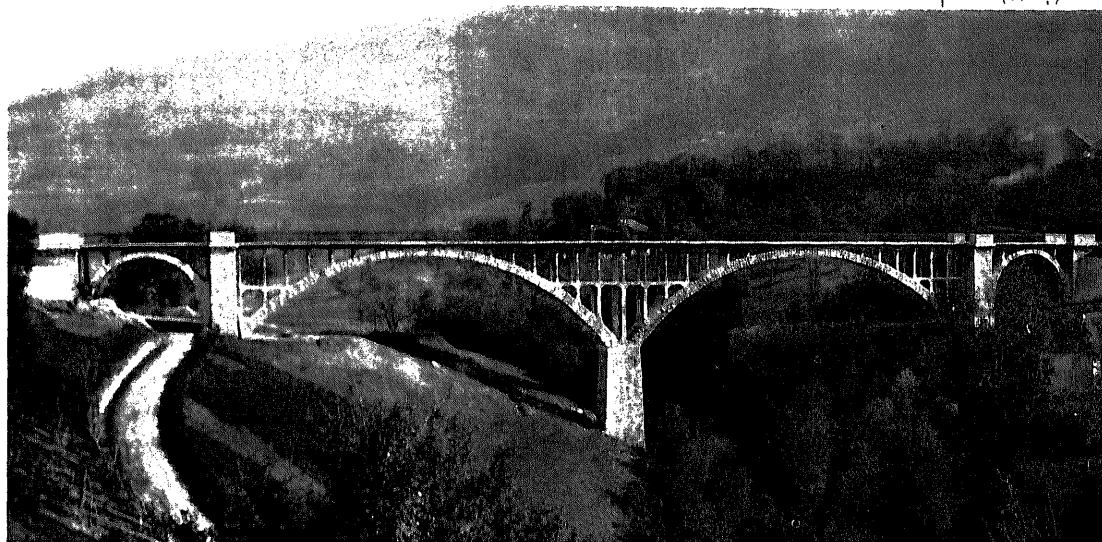
en béton armé : le tablier sous la chaussée, les colonnes qui le portent, le plancher entre les anneaux des arches d'accès (f_5, f_7) ;
en maçonnerie, le reste.

4. Pile et culées

(S'') (f_8, f_{10}). — La pile est armée ; elle est ancrée dans des poches creusées à l'acide dans le rocher.

Comme les culées, elle est traversée par des dalles en béton armé pour répartir les pressions, prévenir ou arrêter les fissures (f_9, f_{11}).

5. Joints de dilatation (S'''). — Le tablier sous chaussée est coupé à 4m 70 de chaque côté des clefs et à l'aplomb des naissances.

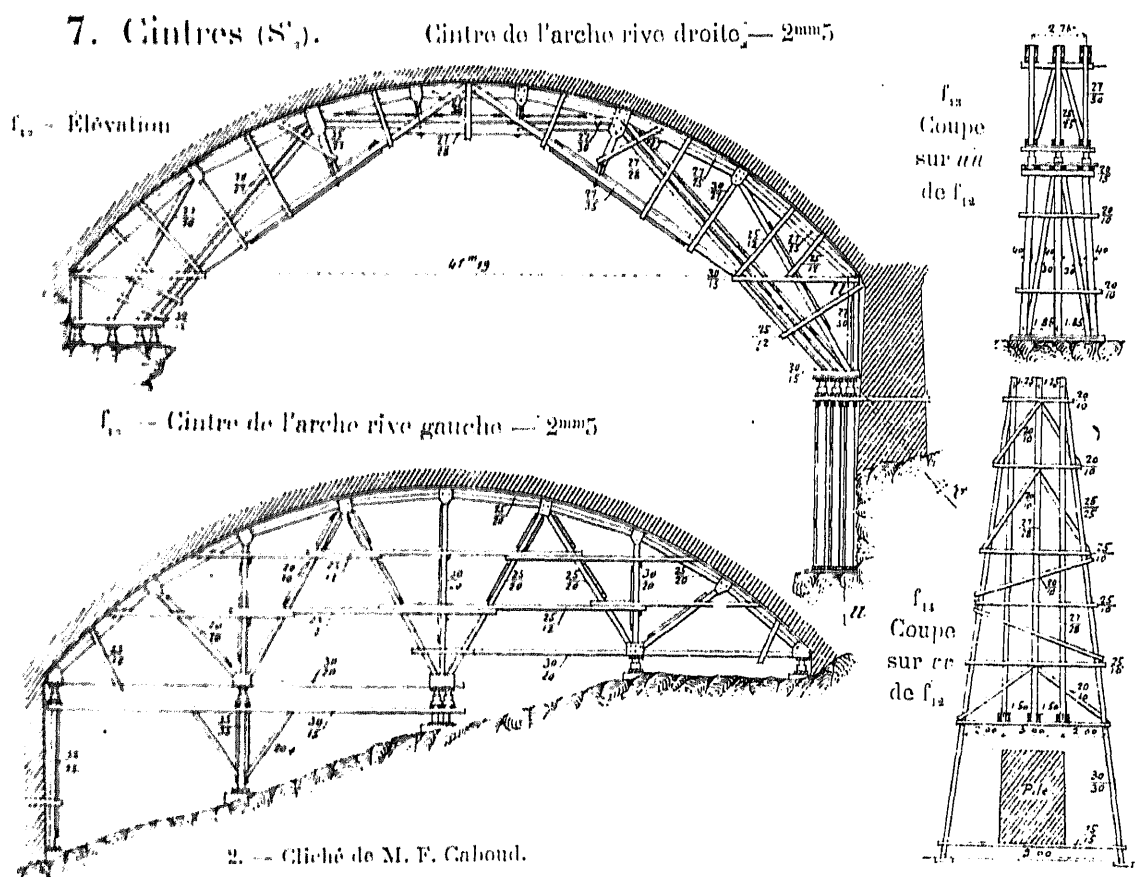


6. Fondation de la culée rive gauche (f_{10} , f_{11}). — Un sondage de 13^m50 n'a pas atteint le rocher.

On a fondé sur un massif de béton de 8^m × 7^m30 × 3^m50, armé dans les deux sens, de 54 barres de 25^{mm}.

On a rempli le puits de sondage de béton, qu'on a relié au massif de fondation par 6 vieux rails.

7. Cintres (S'). Cintre de l'arche rive droite — 2^m5



8. Décintrement (S''_1). — En matant les joints secs, on a exhaussé et décintré les voûtes. Aussi, pas de tassement au décintrement.

9. Dates (S''_1).

Commencement des travaux.....	septembre 1908
Fondations.....	octobre-novembre 1909
Grandes voûtes (construites en même temps).....	2 avril 1910 - 15 novembre 1910
Décintrement.....	30 novembre 1911
Ouverture à la circulation.....	12 mars 1912

10. Quantités et Dépenses (S''_1).

1^o Travaux à l'Entreprise.

10. Quantités et Dépenses (S ^m).		Quantités	Prix			
			à l'unité sans rabais	totaux rabais de 2 % deduit		
1 ^{re} Travaux à l'Entreprise.						
Fouilles.....		1032 ^m 75	1'20 à 5/10	2565'94		
Béton de fondation.....		245 ^m 42	20'	4810'23		
Dalles armées, dans la pile et la culée rive gauche	Béton...	21 ^m 58	50'	1057'42		
	Acier...	3291 ^m 38	0'50	1612'78		
Cintres (<i>forfait</i>).....		"	"	17248'00		
Pierres sèches.....		313 ^m 44	6'60	2027'33		
Maçonnerie à mortier	{ Moellons	ordinaires.....	779 ^m 01	14'10	10764'36	
		équarris.....	37 ^m 37	23'10	845'98	
		d'appareil.....	270 ^m 09	23'10	6114'30	
		Pierre de taille	de Seythenex.....	420 ^m 55	70'	28849'73
			de Ruoms (<i>dés des garde-corps</i>)	29 ^m 68	100'	2908'64
Parements vus de maçonnerie	{ Moellons	équarris....	158 ^m 34	1'65	256'03	
		d'appareil.....	816 ^m 62	4'40	3521'27	
	Pierre de taille	de Seythenex.....	1219 ^m 85	7'00	8368'17	
		de Ruoms.....	126 ^m 84	8'50	1056'58	
Indemnités allouées.....				7967'00		
Plate-forme et piliers en béton armé (216 ^m), garde-corps en fer, chaussée (<i>forfait</i>)				30000'00		
Total des travaux à l'Entreprise...				130003'76		
2 ^{re} Travaux en régie, indemnités de terrains, divers.....				6339'57		
Prix de revient total.....				136343'33		

11. Personnel (S''_1).

Projet : M. Schœndorffer, Ingénieur en chef ; — M. Pernoud, Agent-Voyer Principal.

Direction des travaux : M. Schœndorffer, puis M. Reuss, Ingénieurs en chef ; — M. Pernoud ; — M. Millet, Ingénieur ordinaire.

Entrepreneurs { Maçonnerie et Cintres : M. Mercier ;
Béton armé : MM. Mazet et Limousin.

SOURCES :

S_1 . — Dessins d'exécution (S'_1), renseignements (S''_1) et photographie (S'''_1) gracieusement communiqués par MM. Schœndorffer et Reuss.

S_2 . — Dessins du cintre (S'_2) et renseignements (S''_2) qu'a bien voulu m'adresser M. Pernoud.

VOÛTES INARTICULÉES EN ARC ASSEZ SURBAISSÉ ¹

PONTS A PLUSIEURS GRANDES ARCHES

SOUS CHEMIN DE FER A VOIE NORMALE

Série  ⁿ F^r ($\geq 40^m$) ²

Voir Préliminaires, Tome III, p. 3 et 4 :

1. — pour la définition des arcs « assez surbaissés »,

2. — pour le sens de ce symbole.

PONTS A PLUSIEURS GRANDES ARCHES SOUS CHEMIN DE FER

[illegible]

1 — Pour le sens de ces abréviations, voir Avertissement, Tome III, page II, n° 6.

TABLEAU SYNOPTIQUE

2. Pour le calcul de la surface de douelle, voir Avertissement, Tome III, p. III, n° 7 — A. 3. $S_p = \text{Longueur (col. 2)} \times \text{Largeur entre parapets (col. 3)}$ — C'est la surface offerte à la circulation.
4. $W = \text{Surface sur de l'élévation} \times \text{Largeur entre parapets}$. 5. $W' = \text{Surface de l'élévation au-dessus des fondations} \times \text{Largeur entre parapets}$.
Pour S_p , W , W' , voir Avertissement, Tome III, p. III, n° 7 — B.

VOÛTES INARTICULÉES EN ARC ASSEZ SURBAISSÉ
PONTS A PLUSIEURS GRANDES ARCHES
SOUS CHEMIN DE FER A VOIE NORMALE

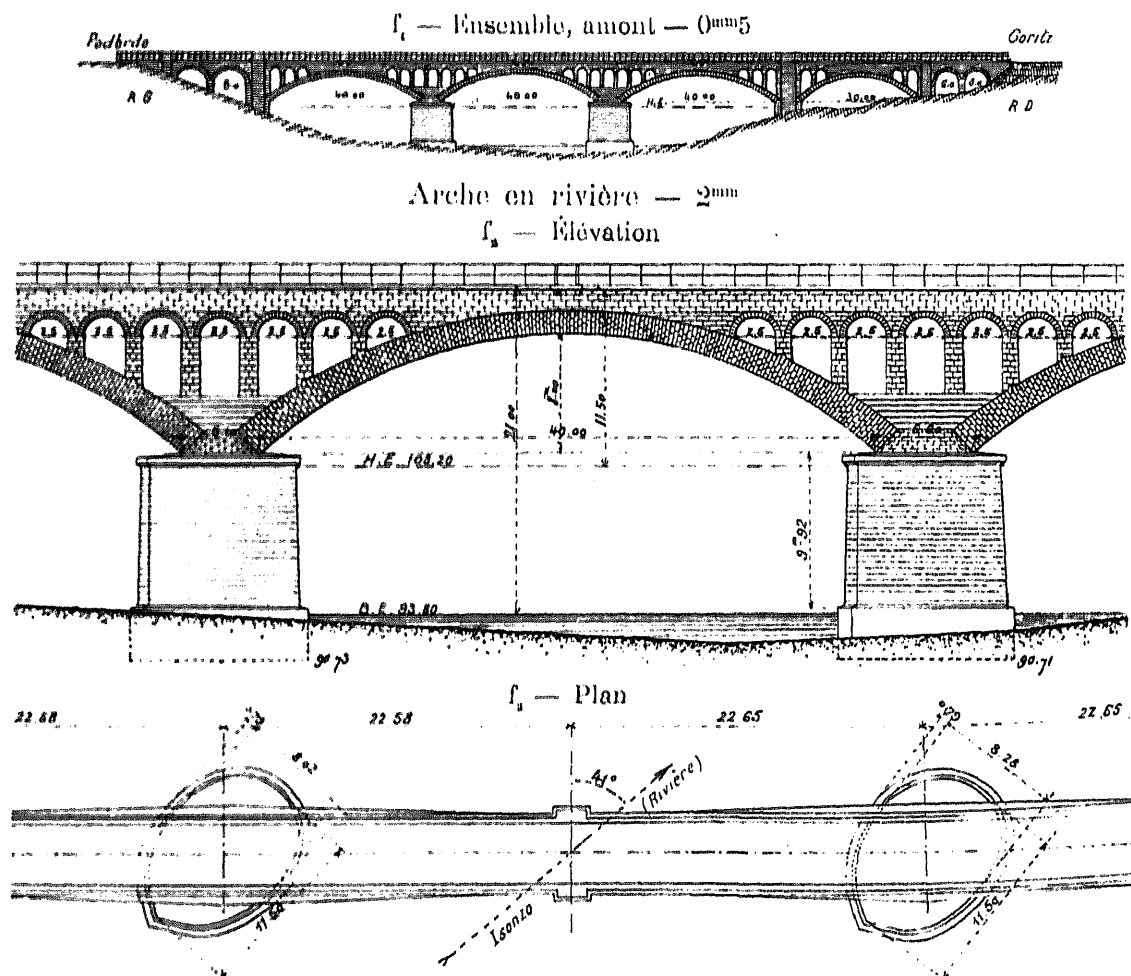
SÉRIE \widehat{A}^n 1^{re} ($\geq 40m$)

MONOGRAPHIES

PONT SUR L'ISONZO, PRÈS DE CANALE¹ (AUTRICHE, - Küstenland)
Ligne d'Assling (Carinthie) à Trieste, par Goritz² - Wocheinerbahn

1904-1906

\widehat{A}^n 1^{re} ($\geq 40m$)¹



1. Piles biaises. — Le pont est droit sur piles à section ovale (f_2) orientée suivant le courant des crues, là, très violentes (S_1).

1. — à l'environ en amont de la station de Canale.
2. — en allemand : Görz.

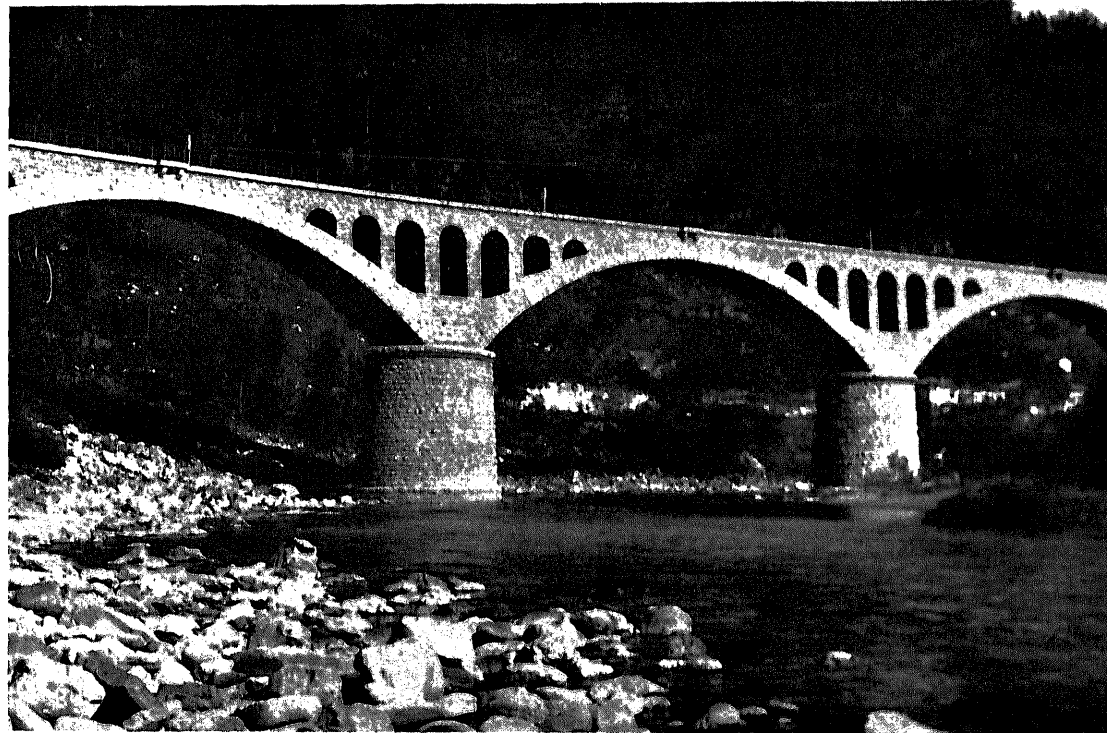
2. Aspect (S_2). — Ces grosses tours qui engourent les retombées, on les accepte, à la réflexion, sans trop de difficulté.

On voit trop de tympan au-dessus des clefs.

Les refuges ne paraissent pas à leur place aux clefs des voûtes de 40^m.

Les pilastres de la voûte de 30^m ne portent rien.

Φ_1 — Les 3 arches de 40^m — (S_1)



3. Matériaux (S_3). — L'ouvrage est, comme il convient, simplement traité.

Les tympans et les pilastres sont en moellons grossièrement équarris à assises horizontales inégales.

Les piles sont parementées en gros libages.

4. Exécution des grandes voûtes. — Après clavage du premier rouleau, on exécuta le deuxième en partant des retombées et de la clef. « Cette « méthode se montra excellente » (S'_1).

5. Dates (S'_1).

Commencement des travaux.....	mars 1904
Fondations.....	juillet - septembre 1904
Voûte centrale.....	11 mai - 5 juin 1905
Décintrement.....	9 août 1905
Ouverture à la circulation.....	juillet 1906

Φ_3 — Cintres (S'')



6. Personnel (S').

Projet et Direction des Travaux : M. l'Ingénieur Pabo Yelle « Baukommissär ».

Entrepreneurs : MM. Sard, Lenassi et C^{re}.

SOURCES :

S₁. — Renseignements (S') et photographies (S'') gracieusement donnés par le Ministère des Chemins de fer à Vienne.

S₂. — Geschichte der Eisenbahnen des österreichisch-ungarischen Monarchie, - VI Band, - 1898-1908, II Band, « Der Brückenbau der neuen Alpenbahnen. — A. Steinbrücken. » Josef Ziffer, p. 74 à 87.

S₃. — Ce que j'ai vu — octobre 1908.

S₄. — Le Genie Civil, 2 mai 1908 : « Les nouvelles lignes de chemins de fer dans les Alpes autrichiennes », F. Hofer, p. 1 à 6, Pl. I.

Les dessins sont réduits de S₄.

VOÛTES INARTICULÉES

EN

ARC TRÈS SURBAISSÉ¹



Voir Préliminaires, Tome III, p. 3 et 4 :
1. pour la définition des arcs « très surbaissés »,
2. pour le sens de ce symbole



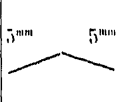

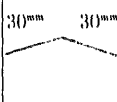

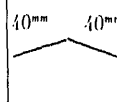
VOÛTES INARTICULÉES EN ARC TRÈS SURBAISSÉ ¹

PONTS A UNE SEULE GRANDE ARCHE
SOUS ROUTE

Série  r^{lc} ($\geq 40^m$) ²

Voir Préliminaires, Tome III, p. 3 et 4 :
1. - pour la définition des arcs « très surbaissés »,
2. - pour le sens de ce symbole.

PONT A UNE SEULE GRANDE ARCHE SOUS ROUTE

PONT	PROJET							
	ENSEMBLE		GRANDE VOÛTE					
	Longueur entre abouts des parapets	Largeurs entre parapets entre tympans sous la plinthe	INTRADOS Portée Montée Surlissement Rayon	ÉPAISSEURS		MATÉRIAUX	PRESSIONS	ÉVIDEMENTS
Date	Déclivités	Fruit des tympans		CORPS	TÊTES	Mortier	en kg/cm ²	DES
Symbole	Hauteur maxima de la chaussée au-dessus du sol ou de l'étiage	Revanche de la chaussée sur l'extrados		Clef	Clef	Poids, pour 1m ³ de sable, de chaux ou de ciment	Hypothèse adoptée	TYMPANS
1	2	3	4	5	6	7	8	9
Mosca à Turin <i>Italie</i> 1834  1 ^{re} (≥ 40m)1	91 ^m	{ 12 ^m 18 " } Pas de fruit	Arc de cercle 45 ^m 00 5 ^m 50 $\frac{1}{8,182} = 0,122$ 48 ^m 773	{ 1 ^m 50 2 ^m 50 }	{ 1 ^m 50 " }	PT 1 Granit Chaux grasse de Palazzolo 450		1 ^{re} " 2 ^{re} Voissure en corne de rache
de Teinach <i>Allemagne</i> 1882  1 ^{re} (≥ 40m)2	43 ^m 	{ 6 ^m 20 5 ^m 60 } Pas de fruit	Au-dessus du sol, Arc de cercle 33 ^m 00 3 ^m 30 $\frac{1}{10} = 0,10$ 42 ^m 927 Sur le sol de fondation, Portée : 46 ^m 00	{ 1 ^m 00 1 ^m 60 à 22° 36' 17"	{ 1 ^m 00 1 ^m 60 }	Au-dessus du sol : PT 1 Épaisseur au claveau 10 tirants de 60 ^{mm} x 10 ^{mm} Grès à 3000 ^{kg} Ciment Portland 10000 ^{kg} A la clef et aux retombées : 15000	Pression maxima Clef : 20 ^{kg} Retombées : 27 ^{kg} Sur le béton de fondation : 11 ^{kg} Méry 100 ^{kg} moy	1 ^{re} 3 voûtes longitudinale en plein cintre de 1 ^m , sur murs de 0 ^m 50 Barres filées entre tympans 2 ^{re} "
de Huzenbach <i>Allemagne</i> 1889  1 ^{re} (≥ 40m)3	35 ^m 75 	{ 3 ^m 80 3 ^m 00 entre bandeaux } Pas de fruit	Aux retombées sur le béton : 35 ^m 00 4 ^m 70 $\frac{1}{7,44} = 0,134$ Sur le sol de fondation, Portée : 41 ^m 50	{ 0 ^m 60 0 ^m 95 }	{ 0 ^m 60 0 ^m 88 }	PT 1 grossière Grès Méry	Pression maxima Clef : 40 ^{kg} Retombées : 52 ^{kg} Méry	1 ^{re} Pas d'évidement 2 ^{re} "
de Wengern <i>Allemagne</i> 1904  1 ^{re} (≥ 40m)4	" 	{ 7 ^m 00 5 ^m 50 } Pas de fruit	Arc d'anse de panier 50 ^m 00 5 ^m 50 $\frac{1}{9,10} = 0,11$	{ 1 ^m 20 2 ^m 00 }	{ 1 ^m 20 2 ^m 00 }	Voûte en petits moellons Aux têtes, crépi simulant de grandes PT 1 Ciment = 0 ^m 333	Pression à la clef 20 ^{kg}	1 ^{re} 2 vides longitudinaux de 1 ^m 00. Mur entre eux de 0 ^m 50 Dessus, une plate-forme en béton armé 2 ^{re} "

1. — Pour le sens de ces abréviations, voir Avertissement, Tome III, p. II, n° 6.

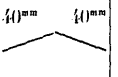
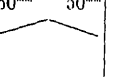
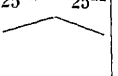
SÉRIE A¹ r¹⁰ (> 40m)

TABLEAU SYNOPTIQUE

EXÉCUTION						CUBE DE MAÇONNERIE A MORTIER		
GRANDE VOÛTE						Q		
FONDATIONS	CINTRE		Cubo de bois		MODE DE CONSTRUCTION	DÉCINTREMENT État d'avancement du Pont Temps entre le dernier clavage et le décintrement Date	TASSEMENTS DE LA CLIEF sur cintre t _c au décin- tremement t _v après t _v	DÉPENSE D Totaux et par unité
	Type Matière Appareils de décintrement	Nombre Épaisseur Écartement d'axe en axe Surhaussement	Totaux	par mq de douelle				
Nature du sol								
Profondeur sous l'étiage								
Pressions sur le sol en kg/0m ²								
Procédé								
10	11	12	13	14	15	16	17	18
"	Retroussé soutenu au milieu	10			A pleine épaisseur Voussoirs posés à sec Lames de plomb : aux reins, à l'intrados; au cerveau, à l'extrados; ailleurs, coins en fer.	"	t _v ¹ (après 5 jours) 153mm	D = 1348552 ^f (Pont et abords) D : S _p = 1216 ^f 7 D : W = 137 ^f 5
"	"	"			"	Décintrement commencé 20 jours après le clavage.	t _v ² (après 4 mois) sous charge de 3000 T = 41mm	
"	"	"			"	"	y compris l'enfoncement des culées	
Pilotis	Coinc	26mm						
Grès	Fixe réemployé en 1906, au Pont de Marbach	5			A pleine épaisseur	Voûte nue	t _c 10mm	D
- 8m (RD)	A ¹ 40m ² Tome IV	25m			3 joints secs aux retombées	12 jours	t _v ¹ 43mm	
Pression maxima :	Montants et contreclous	"			Voûte clavée en même temps à la clef et aux retombées	"	t _v ² (après 24 j.) 24mm (après 90 j.) 17mm	
RD 5*	"						t _v ¹ + t _v ² = 84mm	
RG 5*5	"							
Épaissements	Boîtes à sable							
Guéiss	Retroussé sur 10 ^m		"	"	"	"	t _v ¹ 60mm	D
"	"		"	"	"	"	t _v ² 20mm	
Pression maxima :	"		1641 ^f	15 ^f 8	23 jours	"	t _v ¹ + t _v ² 80mm	
4*5	"				"	"		
"	"				"	"		
"	"				"	"		
Pression : 3*	"				"	"		
Béton, armé de rails.	"				"	"		
Pilotis	"				"	"		

2. Pour le calcul de la surface de douelle, voir Avertissement, Tome III, p. III, n° 7 — A. 3. S_p = Longueur (col. 2) × Largeur entre parapets (col. 3) — C'est la surface offerte à la circulation.
4. W = Surface vue de l'élévation × Largeur entre parapets. 5. W' = Surface de l'élévation au-dessus des fondations × Largeur entre parapets.
Pour S_p, W, W', voir Avertissement, Tome III, p. III, n° 7 — B.

PONT A UNE SEULE GRANDE ARCHE SOUS ROUTE

PONT	PROJET							
	ENSEMBLE		GRANDE VOÛTE				1° ÉVIDEMENTS DES TYMPANS	2° DÉCORATION DES TÊTES
	Longueur entre abouts des parapets Déclivités Hauteur maxima de la chaussée au-dessus du sol ou de l'étiage	Largeurs (entre parapets entre tympans sous la plinthe Fruit des tympans Revanche de la chaussée sur l'extrados	INTRADOS Portée Montée Surbaissement Rayon	ÉPAISSEURS		MATÉRIAUX Mortier Poids, pour 1 ^m de sable, de chaux ou de ciment	PRESSIONS en kg/0 ^m 01 ² Hypothèse adoptée Surcharges supposées	
Date				CORPS	TÊTES			
Symbole				Clef Retombées	Clef Retom- bées			
1	2	3	4	5	6	7	8	9
de Ziegenhals Allemagne 1905 $\bar{A}^1 r^{1e} (\geq 40^m)5$	»  5 ^m 50	» » » 0 ^m 35	Arc d'anse de panier à 3 centres $40^m,00$ $4^m,20$ $\frac{1}{9,52} = 0,105$ Rayons : Cerveau : 60 ^m Reins : 25 ^m 676	0 ^m ,85 1 ^m ,70	0 ^m ,85 1 ^m ,70	Voûte en petits moellons Aux têtes, crépi simulant de grandes PT ¹ Ciment — 0 ^m c333		1° Pas d'évidements. 2° »
de Michelau Allemagne 1905-1906 $\bar{A}^1 r^{1e} (\geq 40^m)6$	55 ^m 60  6 ^m 70	{ 5 ^m 00 4 ^m 60 Pas de fruit 0 ^m 40	Arc d'anse de panier à 3 centres $42^m,00$ $5^m,20$ $\frac{1}{8,07} = 0,124$ Rayons : Cerveau : 50 ^m Reins : 26 ^m 637	0 ^m ,80 1 ^m ,30	0 ^m ,80 1 ^m ,30	Comme au Pont de Ziegenhals $\bar{A}^1 r^{1e} (\geq 40^m)5$ Le crépi des têtes est à 1 de ciment, 4 de sable	Pression maxima : sans surch. avec surch. Clef 18k6 22k Joint de rupt. 25k1 29k4 Retom- 13k 15k3 bées Surcharge : 600k/1 ^m 4	1° 2 voûtes transversales vues, en plein cintre de 3 ^m 80, 2° »
de Neuhammer Allemagne Projet : 1905 $\bar{A}^1 r^{1e} (\geq 40^m)7$	109 ^m 70 » »	{ 6 ^m 00 6 ^m 00 » 0 ^m 35	Arc d'anse de panier à 3 centres $52^m,00$ $6^m,00$ $\frac{1}{8,7} = 0,115$	1 ^m ,05 1 ^m ,80	1 ^m ,05 1 ^m ,80	Comme au Pont de Ziegenhals $\bar{A}^1 r^{1e} (\geq 40^m)5$ La douelle est enduite de ciment		1° Pas d'évidements. 2° »
de Schwusen Allemagne 1907 $\bar{A}^1 r^{1e} (\geq 40^m)8$	72 ^m 00  8 ^m 50 (sol)	{ 5 ^m 00 4 ^m 60 Pas de fruit 0 ^m 40	Arc d'anse de panier à 3 centres $48^m,00$ $5^m,75$ $\frac{1}{8,347} = 0,119$ Rayons : Cerveau : 60 ^m Reins : 40 ^m	0 ^m ,90 1 ^m ,30	0 ^m ,90 1 ^m ,30	Comme au Pont de Ziegenhals $\bar{A}^1 r^{1e} (\geq 40^m)5$		1° 2 voûtes transversales vues, en plein cintre 2° »

1. — Pour le sens de ces abréviations, voir Avertissement, Tome III, p. II, n° 6.

SÉRIE A¹ r^{1e} (> 40m)

TABLEAU SYNOPTIQUE (Suite)

EXÉCUTION										CUBE DE MAÇONNERIE A MORTIER		
GRANDE VOÛTE										Q		
FONDATIONS	CINTRE				MODE DE CONSTRUCTION	DÉCINTREMENT État d'avancement du pont Temps entre le dernier clavage et le décintrement Date	TASSEMENTS DE LA CLEF sur cintre t ₀ au décin- trement après t _v	DÉPENSE D Totaux et par unité { de surface utile S _p ³ de volume « utile » W ⁴				
	FERMES		Cube de bois Poids de fer Dépenses									
	Type	Nombre	Totaux	par mq de douelle ²								
	Matière	Épaisseur Écartement d'axe en axe Surhaussement										
Nature du sol	Appareils de décintrement											
Profondeur sous l'étiage												
Pressions sur le sol en kg/0m01 ²												
Procédé												
10	11	12	13	14	15	16	17	18				
"												
"												
"												
Béton, armé de rails												
Pilotis												
	Fixe	6										
Pression maxima :	Montants et contrefiches	" a partir des têtes (1m45) (1m85) (1m80)				41 jours						
sans surcharge 5m9	"	"				6 juillet						
avec surcharge 0m4	"	"										
Rocher												
"												
Pression : 3*												
"	Fixe	7										
"	Montants et contrefiches	" a partir des têtes (1m85) (1m70) (1m65)										
Pilotis	"	"										
Pieux verticaux et pieux inclinés	"	"										

Q = 675 ^{mc}
Q : S _p = 2 ^{me} 43
Q : W = 0 ^{me} 30

2. Pour le calcul de la surface de douelle, voir Avertissement, Tome III, p. III, n° 7 — A. 3. S_p = Longueur (col. 2) × Largeur entre parapets (col. 3) — C'est la surface offerte à la circulation
4. W = Surface vue de l'élévation × Largeur entre parapets. 5. W' = Surface de l'élévation au-dessus des fondations × Largeur entre parapets
Pour S_p, W, W', voir Avertissement, Tome III, p. III, n° 7 — B.

PONTS A UNE SEULE GRANDE ARCHE SOUS ROUTE

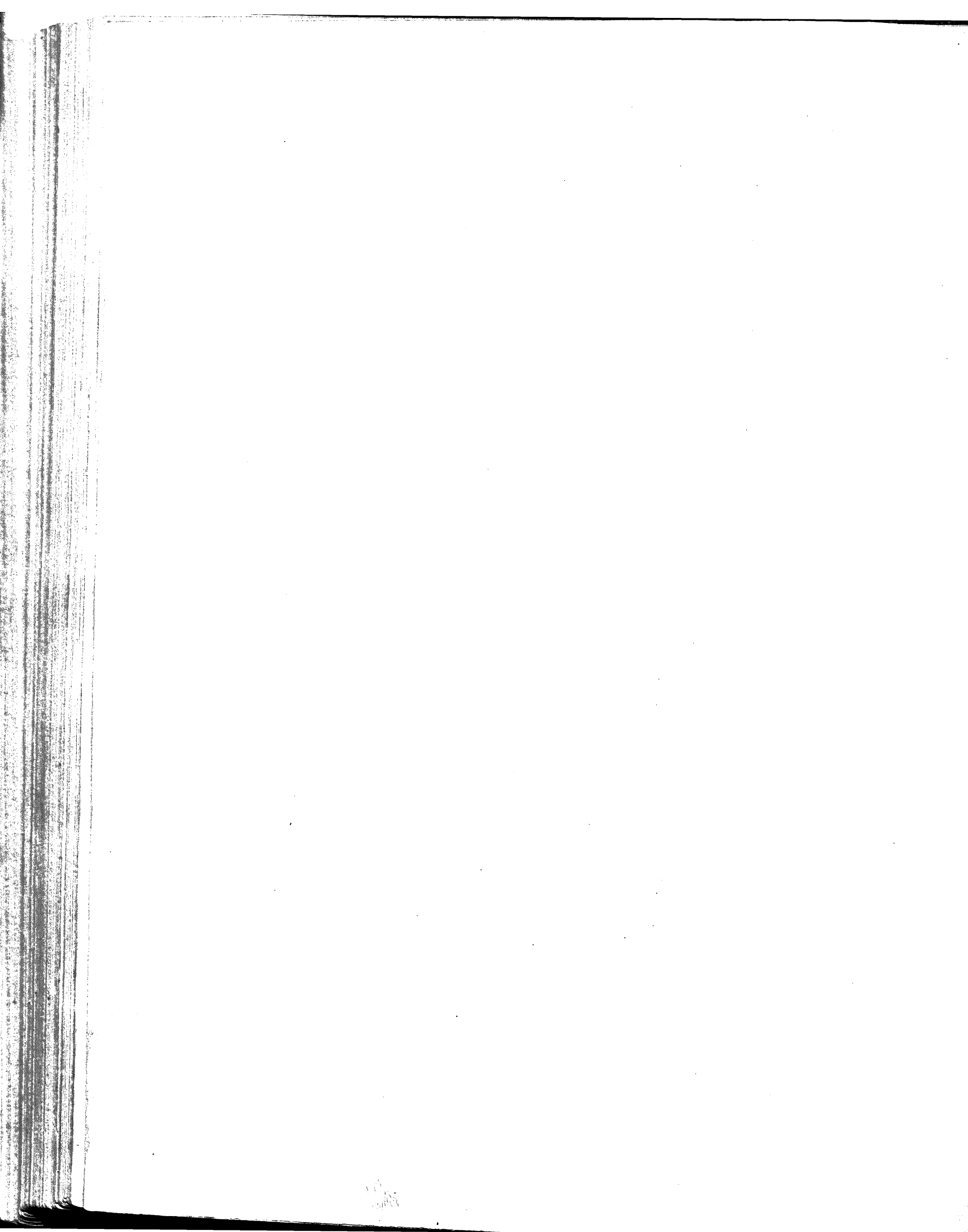
1. — Pour le sens de ces abréviations, voir Avertissement, Tome III, p. II, n° 6.

SÉRIE A¹ r^{1e} (≥ 40m)

TABLEAU SYNOPTIQUE (Suite)

EXECUTION										CUBE DE MAÇONNERIE A MORTIER	
GRANDE VOÛTE										Q	
FONDATIONS	CINTRE					MODE	DÉCINTREMENT	TASSEMENTS		DÉPENSE	
Nature du sol	FERMES		Cube de bois		DE	CONSTRUCTION	État	DE LA CLEF	sur	Totaux	et
Profondeur sous l'étiage	Type	Nombre	Poids de fer	Dépenses	DE	CONSTRUCTION	d'avancement du pont	sur	cintre	t _a	de surface utile S _p *
Pressions sur le sol en kg (mm) ²	Matière	Épaisseur	Totaux	par mq de douelle ²	DE	CONSTRUCTION	Temps entre le dernier clarage et le décintrement	au décin- trement	t _v	après	de volume « utile » W *
Procédé	Appareils de décentrement	Écartement d'axe en axe Surhaussement	Totaux	par mq de douelle ²	DE	CONSTRUCTION	Date	après	t _v	18	
10	11	12	13	14	15		16	17			
"											
"											
"											
Pilotis											
Pieux verticaux et pieux inclinés.											

2. Pour le calcul de la surface de douelle, voir Avertissement, Tome III, p. III, n° 7 — A. 3. S_p = Longueur (col. 2) × Largeur entre parapets (col. 3) — C'est la surface offerte à la circulation
4. W = Surface vue de l'élévation × Largeur entre parapets. 5. W' = Surface de l'élévation au-dessus des fondations × Largeur entre parapets
Pour S_p, W, W', voir Avertissement, Tome III, p. III, n° 7 — B.



VOÛTES INARTICULÉES EN ARC TRÈS SURBAISSÉ
PONTS A UNE SEULE GRANDE ARCHE SOUS ROUTE

SÉRIE $\bar{A}^1 r^{1e} (\geq 40m)$

MONOGRAPHIES

PONT MOSCA, SUR LA DORA RIPARIA, A TURIN
via Ponte Mosca

1834 (S₄)

$\bar{A}^1 r^{1e} (\geq 40m) I$

Φ_1 (S₉)



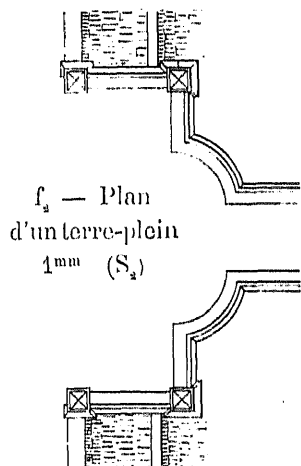
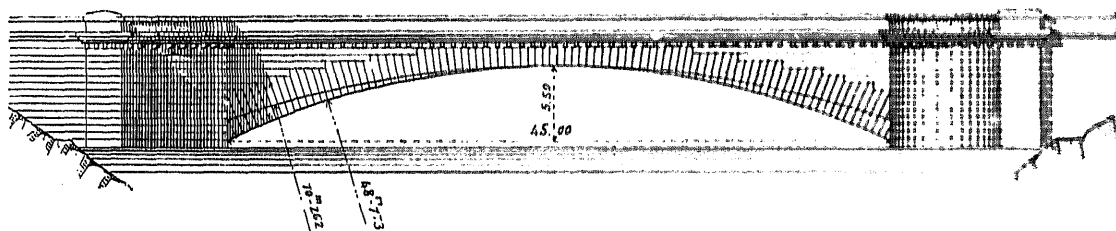
1. Le pont Mosca est imité du « Pont d'une arche de 150 pieds
« d'ouverture, projeté (par Perronet) pour être construit sur chacun
« des deux bras de la Seine à Melun »¹. — Le projet de Perronet compor-
tait, comme le pont Mosca, une arche unique en arc sur l'axe, avec cornes de
vache aux têtes, bandeaux à crossettes sans saillie sur les tympans. C'est bien le
même pont.

1. — Perronet : « Description des projets et de la construction des Ponts de Neuilly, de Mantas,
« d'Orléans, et autres », Tome second, Paris, Imprimerie Royale MDCCLXXXII, p. 31, 32, 33, Pl. XLIV.

Voici, comparées, les principales dimensions des deux projets :

		Projet de Perronet	Pont Mosca	
Portée.....		150 Pieds = 48m726	45m	
Intrados	Rayon {	de la voûte.....	200 Pieds = 64m068	48m773
		de la corne de vache.....	300 Pieds = 97m452	70m262
	Surbaissement {	de la voûte.....	1 10,2	1 8,2
		de la corne de vache..	1 15,7	1 12,2
Épaisseur à la clef.....		5 Pieds = 1m624	1m50	
Largeur	{	entre têtes.....	30 Pieds = 12m068	12m18 (S ₂)
		entre parapets.....		

f₁ — Élévation — 2mm (S₁)



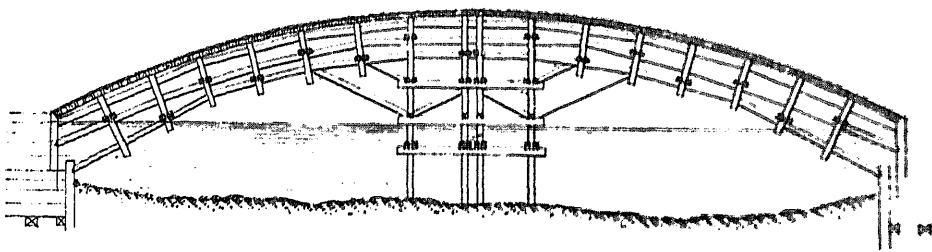
f₂ — Plan
d'un terre-plein
1mm (S₂)

Les culées, beaucoup plus larges que le corps central, s'y raccordent :

au Pont de Perronet, par de courtes courbes concaves ;

au Pont Mosca, par deux tours rondes convexes (f₂), comme au Vieux Pont de Lavaur².

f₃ — Cintre — 2mm5 (S₃)



2. Cintre. — C'est à peu près exactement le projet de Perronet pour Melun³. Les appuis au cerveau ne devaient servir qu'en cas de besoin. » *L'impla-*

2. — E¹ ^{re} (> 40m)² — Tome I.

3. — Perronet *Loc. cit. renvoi 1*, Pl. XLIV.

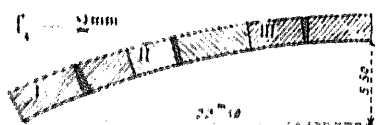
« tissement de la grande voûte exigera d'en soutenir le cintre..... avec trois files
« de forts pieux dans leur milieu..... : le dessous du milieu de chaque ferme de
« cintre sera disposé de manière qu'elle soit isolée à 2 pieds de distance de ce point
« d'appui, pour n'y avoir recours que lorsqu'on le trouvera convenable pendant
« la construction de la voûte. Cet intervalle de 2 pieds sera garni de pièces de
« charpente, taillées en forme de coins, qui serviront, en les ôtant lors du décin-
« trement, à faciliter le décèstissement des couchis. »⁴

On mit 45 jours à tailler et monter les fermes.

3. Fondations. — Cette grande voûte très plate a été fondée sur pilotis, comme Perronet l'avait prévu pour son pont de Melun⁵. C'était hardi.

4. Exécution de la voûte. — Deux maçons seulement, servis par quelques manœuvres, posèrent en 75 jours, sans aucun accident, les 651 voussoirs de la voûte : ils pesaient de 5 à 8 tonnes, sauf ceux de la première assise des naissances, qui pesaient de 15 à 18 tonnes.

Comme au pont de Nemours⁶, on tint les joints plus larges là où, d'après les expériences de Perronet et de Boistard, on craignait les écrasements, c'est-à-dire à l'intrados des reins, à l'extrados du cerveau.



Considérons 3 tronçons (f_i). Dans le tronçon I voisin des naissances, les joints étaient plus larges à l'intrados qu'à l'extrados ; dans le tronçon II, ils étaient égaux ; dans le tronçon III, ils étaient plus minces à l'intrados.

Les épaisseurs des joints dans les tronçons I et III variaient suivant une certaine progression.

Les intervalles entre les assises étaient maintenus aux reins de l'intrados et au sommet de l'extrados par des lames de plomb ; dans le corps de la voûte, par des coins en fer.

Les voussoirs des assises des naissances étaient liés par des crampons en fer.

Tous les voussoirs étant en place, sur cales, les joints vides furent remplis avec du mortier de chaux et de sable propre en parties égales, retenu en douelle par de l'étonpe.

Puis, on retira les coins en fer.

5. Décintrement. — Au moment de décintrer, on dégrada sur 3^m tous les joints d'intrados et d'extrados.

6. Durée d'exécution. — 4 ans.

4. — Perronet. *Loc. cit.*, renvoi 1, p. 31, in fine.

5. — id. Pl. XLIV.

6. — Projeté par Perronet en 1771, puis modifié. Construit par Boistard, de 1795 à 1804. — Arcs de 16^m25 au 1 15,3.

7. Dépense. — Pont et abords..... 1.348.552^{fr} 37 ^{fr} 8

8. Ingénieur. — Mosca ^o.

7. — « *Sulle Cause che produssero la ruina del ponte in muratura sul Liri* », Conferenza dell' Ingegnere Pasquale Sasso, — Naples, 1880.
Morandière (S₂) donne 1.400.000^{fr}.

8. — Il était estimé 710.000 liras dans un devis signé le 10 janvier 1823 par G. Mosca « Capitano Ingegnere di 1^a classe di Ponti e Strade ». « *Capitoli d'appalto per la costruzione d'un ponte ad un sol arco sulla Dora Riparia presso Torino* ». Turin, Imprimerie royale, 1823. (Bibliothèque de l'École des Ponts et Chaussées. Fonds italien. N° 5871).

9. — Il est porté comme Élève de notre École des Ponts et Chaussées, aux Annuaires de 1811 1812 (3^e classe), 1813 (1^{re}).

SOURCES :

S₁. — Transactions of the Institution of Civil Engineers, - volume I, 1836, p. 183 et suivantes : « *Details of the construction of a Stone Bridge erected over the Dora Riparia near Turin* » by chevalier Mosca, — M. Albano, A. Inst. C. E.

S₂. — Morandière, Construction des Ponts, p. 302, Pl. 61, fig. 8 à 11 ; Pl. 136, fig. 7 : « *Pont de Turin, sur la Dora* ».

S₃. — Ce que j'ai vu — octobre 1903.

Tout ce qui n'est pas spécifié S₂ ou S₃ est de S₁.

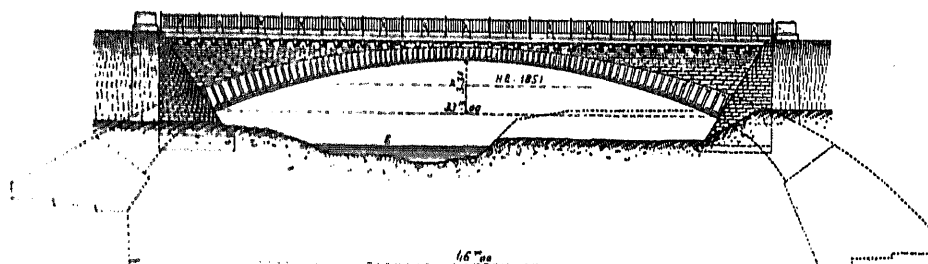
PONT SUR LA NAGOLD, A TEINACH¹ (ALLEMAGNE, - Wurtemberg)

Route de Nagold à Calw

1882

A¹ r^{1e} (≥ 40m)2

f₁ — Élévation — 2mm



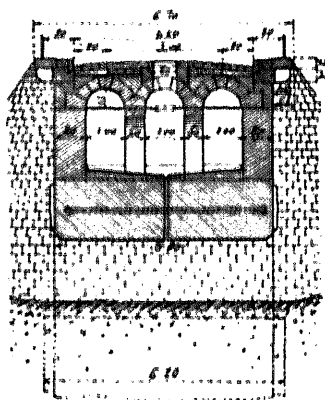
1. Grande voûte. — C'est la première grande voûte du Wurtemberg (S₁). On l'a faite par économie² et pour faciliter le flottage.

Les dimensions en ont été fixées « d'après les principes appliqués en France « pour de grands ponts récents » ».³

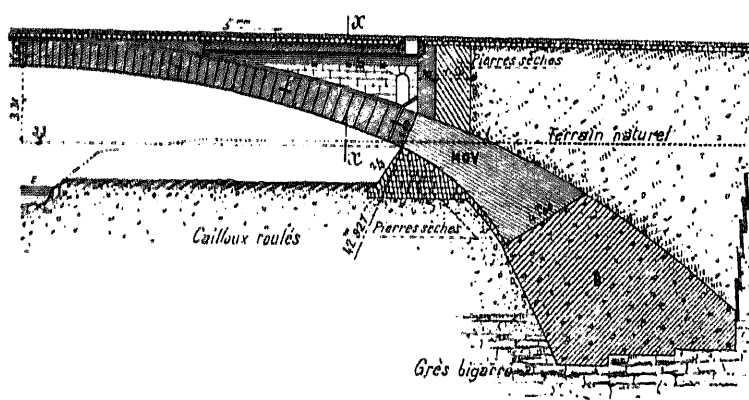
2. Chaussée. Trottoirs. — La chaussée est empierrée. Ses pentes de 5^{mm} écoulent mal les eaux.

Les trottoirs, asphaltés, sont en porte-à-faux de 0^m55 sur consoles ancrées dans les tympans.

f₂ — Coupe en travers sur axe de f₁ — 5mm



f₃ — Coupe en long — 3mm



1. — Près de la gare, — Ligne de Pforzheim à Horb, à 30^k de Pforzheim.

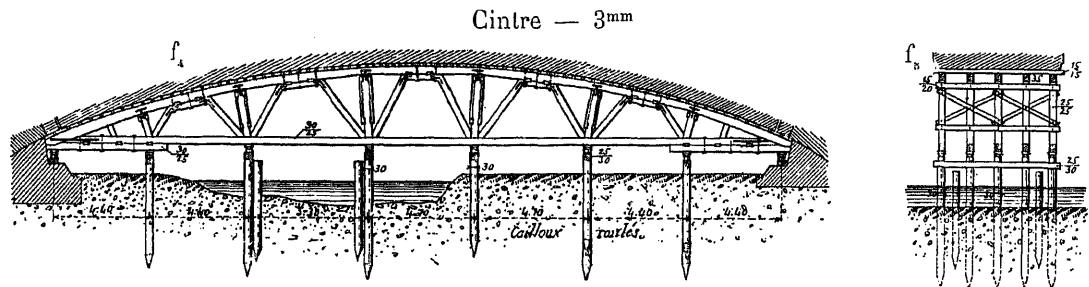
2. — On avait estimé (S₁) :

3 arcs de panier de 11 ^m 40, 12 ^m 40, 11 ^m 40.....	63.000 Mark.
3 arcs de cercle de mêmes portées.....	60.000
2 arcs de cercle de 17 ^m	55.000
1 arc de cercle de 33 ^m à culées verticales.....	53.000
1 arc de cercle de 33 ^m à culées perdues.....	46.000

3. — « Die Bemessung der Querschnittsdimensionen des Brückenbogens erfolgte nach den Grundsätzen « welche neuerdings bei grossen Brücken in Frankreich in Uebung gekommen sind. » (S₁).

3. Chape. — Sous la chaussée, enduit lissé de ciment, puis feutre asphalté de 7^{mm}, puis 10^{cm} de sable; sous les évidements, chape en ciment.

La voûte n'a pas été traversée par l'eau.



4. Cintre. — Les bois travaillaient au plus à 30^k; on plaçait une feuille de plomb aux abouts des pièces fatiguées.

Pas de platelage : chaque assise était posée sur un couchis.

Les boîtes à sable, en fonte, à section carrée de 25/25, étaient reliées électriquement à la chambre du gardien.

Le sable était lavé, séché, et garanti de la pluie par une tôle.

5. Fondations. — On posa dans le béton 1/3 de grosses pierres, par assises normales à la courbe de pression.

Après 1 jour à l'air et 6 jours à l'eau, le mortier à 1/3 devait résister à une tension, par $\overline{0m01}^2$, de 4^k (ciment prompt)⁴, 5^k (ciment lent)⁴.

La maçonnerie de moellons ordinaires lités, au-dessus du béton (f_3), fut faite au mortier de ciment à 1/3 en bas, 1/1 en haut, par assises normales à la courbe de pression.

Quand on fut arrivé aux retombées de la voûte, on s'arrêta pour laisser durcir le béton.

6. Exécution de la voûte. — On déposa tous les voussoirs près de leur place définitive. Les pistons des boîtes à sable s'enfoncèrent de 10^{mm}.

Avant de poser une assise, on vérifiait l'emplacement de son couchis.

On posa aux retombées 3 assises à sec⁵ : à l'extrados, sur lattes de peuplier tendre de 1^{cm} d'épaisseur et 40^{cm} de long; à l'intrados, sur des cordes de chanvre entourées de caoutchouc, de 16^{mm} d'épaisseur, à 15^{cm} de la douelle.

Le caoutchouc employé se comprima trop : le joint se réduisit à l'intrados à 5^{mm}, au lieu des 10^{mm} prévus.

On posa les voussoirs à sec, assise par assise, en garnissant d'étaupe les joints par lesquels le mortier aurait pu s'échapper. On mouillait les joints et on versait du mortier très fluide qu'on fichait ensuite; puis, une heure après, on enlevait l'étaupe.

4. — Stuttgarter Cementfabrik — Blaubeuren.

5. — « comme au pont de Claix » (S_2) \widehat{A}^1 r^{te} ($\geq 40^m$)⁵ — Tome III.

On a regretté de n'avoir pas donné aux joints 15^{mm} au lieu de 10^{mm}.

On coula du mortier en même temps aux assises de clef et aux joints secs des retombées.

On avait constaté que le cintre, mouillé par les pluies, s'était élevé de 15^{mm} à la clef : un peu avant de claver, on en arrosa copieusement le sommet.

7. Décintrement. — Il fut opéré par 20 hommes.

Les boîtes à sable n'avaient qu'un orifice : deux se rompirent.

8. Fissures et tassements. — De légères fissures apparurent à l'extrados de la retombée rive droite⁶. Elles disparurent 6 semaines après, l'ouvrage achevé.

La voûte a tassé :

au décintrement (voûte nue), de..... 43^{mm}.

à l'achèvement de l'ouvrage, de..... 67^{mm}.

Au bout de 3 mois, le tassement atteignit son maximum.. 84^{mm}.

On ne constata aucune nouvelle fissure pendant 5 mois.

D'après les calculs basés sur les expériences de Bauschinger, la contraction de l'arc devait être 34^{mm}, le tassement de la clef, 22^{mm}.⁷

Il est possible que les poches d'argile sableuse, que contient le rocher de fondation, se soient détrempées et aient tassé sous le poids de la voûte.

9. Durée d'exécution.

	en semaines
Fouilles et bétonnage (travail de nuit avec des torches à l'huile minérale).	7
Maçonnerie de moellons ordinaires lités, en fondation, sur le béton (f ₃)...	3
Grande voûte en pierre de taille.....	3
Maçonneries au-dessus de la voûte.....	6

10. Personnel. — *Projet et Direction des Travaux* : M. Leibbrand, « Oberbaurat » à Stuttgart.

Direction locale : M. Paul Braun « Baumeister » à Calw.

6. — C'est pour les éviter, qu'en Wurtemberg on articulera désormais les grandes voûtes (S₂).

7. — La contraction au microns μ par mètre pour le grès de Bavière est de :
150 μ , sous 10° ; - 300 μ , sous 20° ; - 370 μ , sous 30° ; - 450 μ , sous 40°.

SOURCES :

S₁. — Zeitschrift für Baukunde, 1883, Heft 6, p. 347 à 356, Pl. 26 : « Steinbrücke über die Nagold bei Teinach (Württemberg) », Stuttgart, im juni 1883, Leibbrand.

S₂. — Zeitschrift für Bauwesen 1888, p. 235 à 260, Pl. 38 et 40 : « Steinbrücken mit gelenk-artigen Einlagen ». — Stuttgart, novembre 1887, Leibbrand, - Kgl. Ober-Baurath.

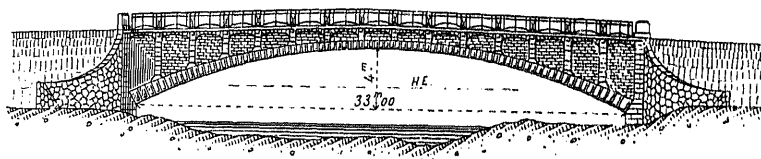
Tout ce qui n'est pas spécifié S₂ est de S₁.

PONT SUR LA MURG, A HUZENBACH¹ (ALLEMAGNE, - Wurtemberg)

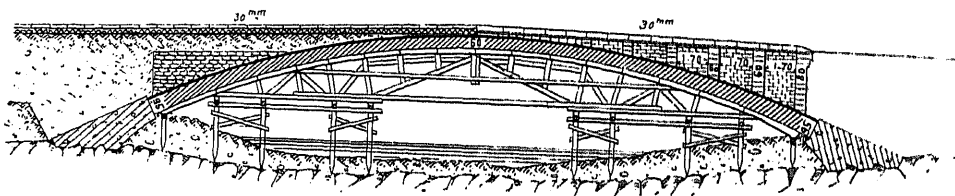
1889

\bar{A}^1 r^{1e} (> 40m)³

f_1 — Élévation — 2mm



f_2 — Cintre et demi-coupes en long — 2mm5 (S'')
sur l'axe | en avant du tympan



1. — à 10^e environ en aval de Baiersbrunn.

SOURCES :

S₁. — Fortschritte der Ingenieurwissenschaften, - Zweite Gruppe, 7 Heft : « *Gewölbte Brücken* », von Karl von Leibbrand, Präsident der K. Württ. Ministerial-Abteilung für den Strassen-und Wasserbau.

S'₁. — Tableaux statistiques, p. 22.

S''₁. — Dessins, Pl. I, fig. 35 à 39.

PONT SUR LA MALAPANE, A WENGERN

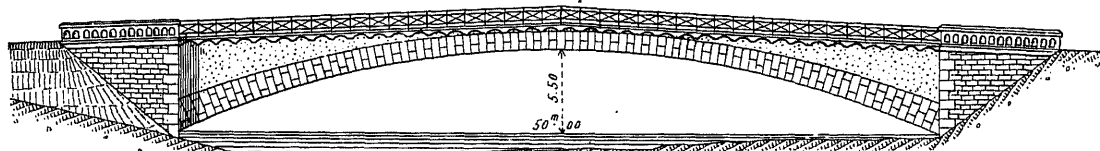
(ALLEMAGNE, - Silésie, - Cercle d'Oppeln)

Route d'Oppeln à Yellouca

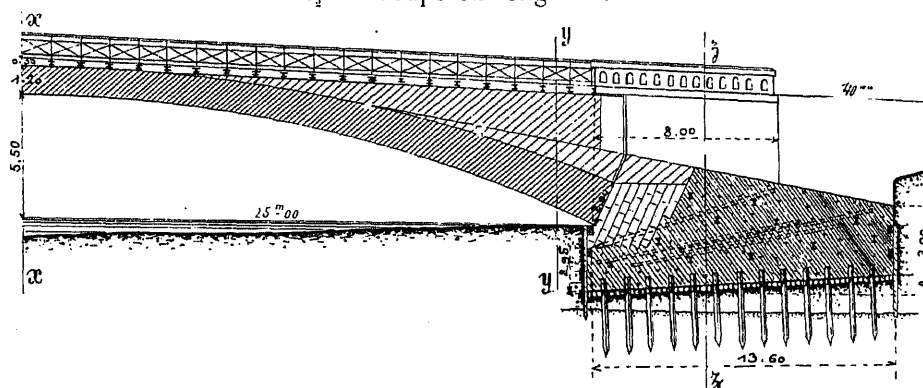
1904 (S₁)

A¹ r^{1e} ($\geq 40^m$)⁴

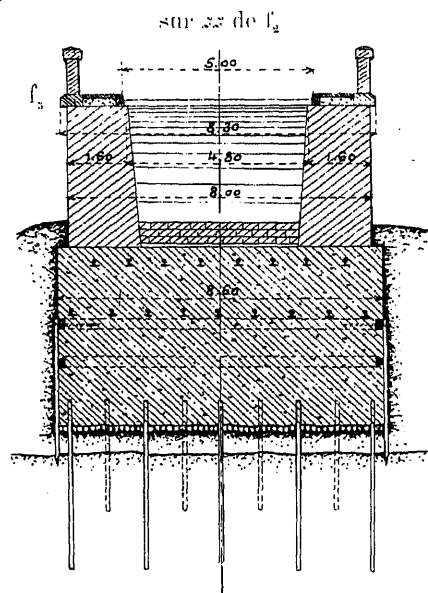
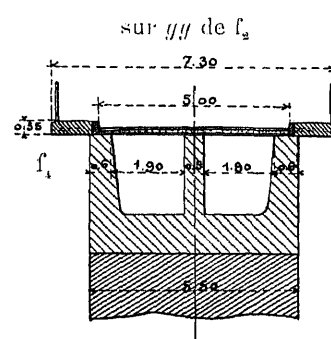
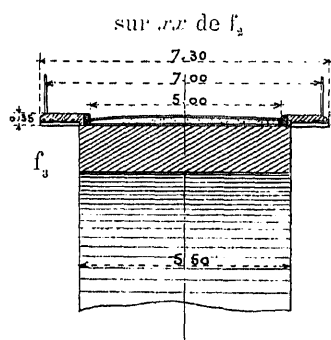
f₁ — Élévation — 2^{mm}



f₂ — Coupe en long — 3^{mm}



Coupes en travers — 5^{mm}



1. Personnel. — *Projet et Entreprise* : MM. Liebold et C^{ie}, de Langenbrück (Saxe).

SOURCE :

S₁. — Dessins d'exécution qu'ont bien voulu me remettre MM. Liebold, en 1908.

PONT SUR LA FREIWALDAUER BIELE, A ZIEGENHALS

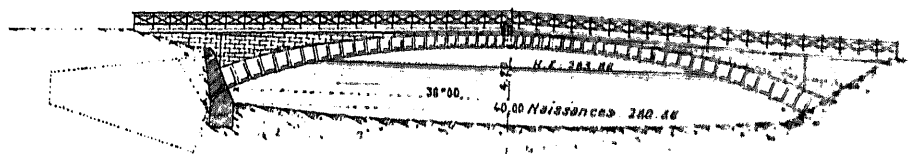
(ALLEMAGNE, - Silésie, - Cercle de Neisse)

Route de Ziegenhals à Zuckmantel

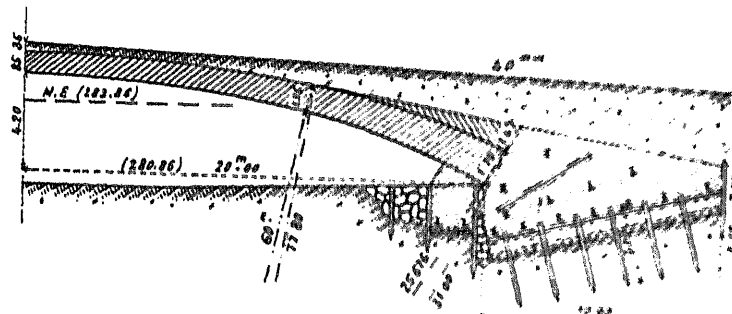
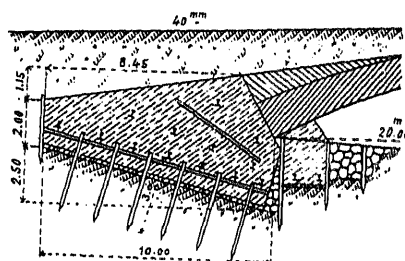
1905

A¹ r¹⁰ (> 40m²)

f₁ — Élévation — 2mm



f₂ — Coupe en long — 3mm



1. Personnel. — *Projet et Entreprise* : MM. Lichold et C^{ie}, de Langenbrück (Saxe).

SOURCE :

S₁. — Dessins d'exécution que m'ont gracieusement remis MM. Lichold, en 1908.

PONT SUR LA GLATZER NEISSE, A MICHELAU

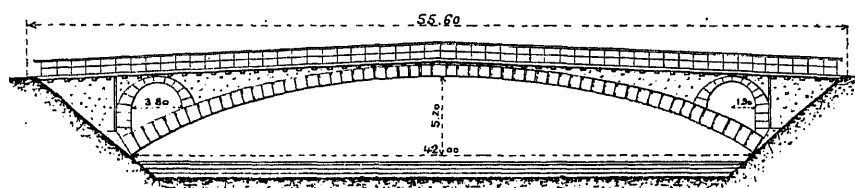
(ALLEMAGNE, - Silésie, - Cercle de Brieg)

Route de Michelau à Gross Saarne

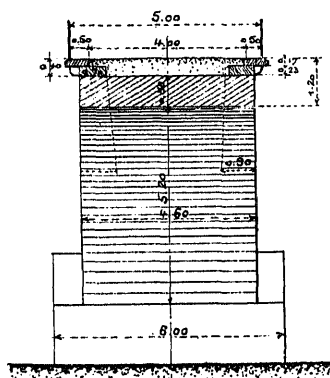
1905-1906

$\bar{A}^1 r^{te} (\geq 40m, 6)$

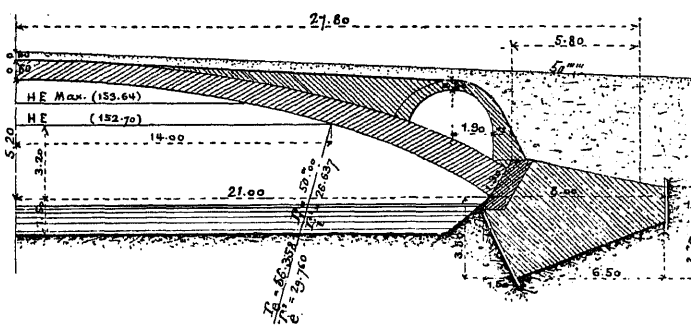
f_1 — Élévation — 2mm



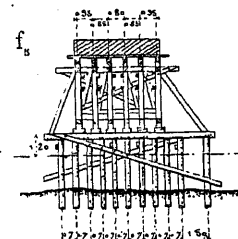
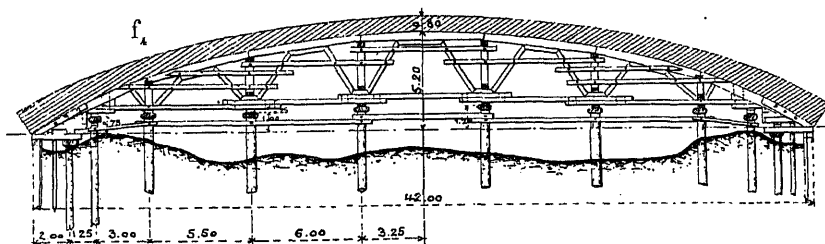
f_2 — Coupe en travers
à la clef — 5mm



f_3 — Coupe en long — 3mm



Cintre — 2mm5



1. Dates (S₂).

Commencement des travaux.....	27 septembre 1905
Grande voûte.....	15-26 mai 1906
Décintrement.....	6 juillet 1906
Ouverture à la circulation.....	24 août 1906

Φ_1 (S₂)

2. Personnel (S₂) — *Projet et Entreprise* : MM. Liebold et C^{ie}, de Langebrück (Saxe).

Direction des Travaux : M. Schleicher, « Regierungsbaumeister ».

SOURCES :

S₁. — Dessins d'exécution qu'ont bien voulu me remettre MM. Liebold, en 1908.

S₂. — Renseignements et photographie que m'a gracieusement adressés, en juillet 1909, M. Gretschel « Landesbaurat », à Breslau.

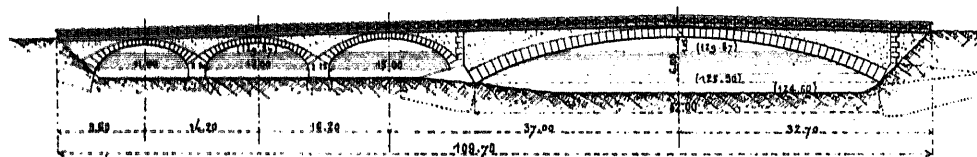
PONT SUR LA QUEIS, A NEUHAMMER

(ALLEMAGNE, - Silésie, - Cercle de Sagan)

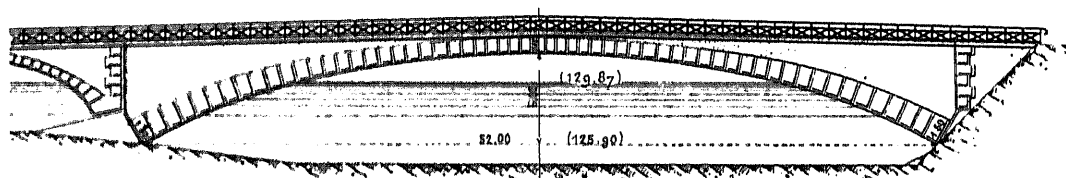
Route du village à la gare

Projet : 1905 (S₁) **A¹** 1^{re} 40m7

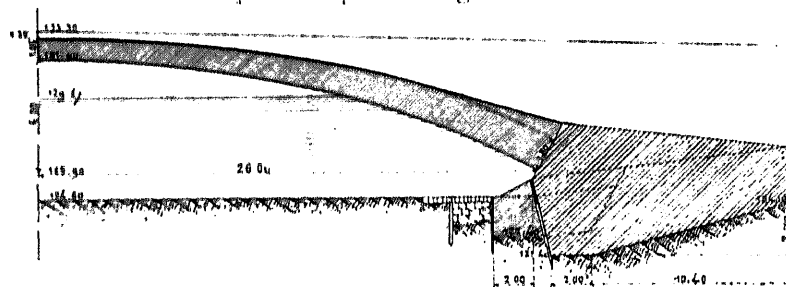
f₁ — Ensemble — 1mm



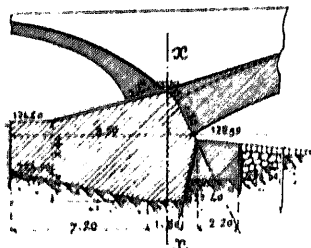
f₂ — Grande arche — 2mm



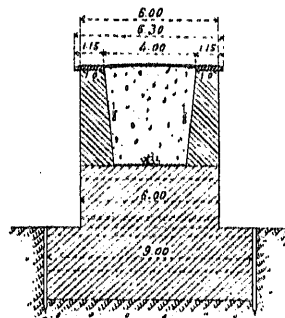
f₃ — Coupe en long — 2mm5



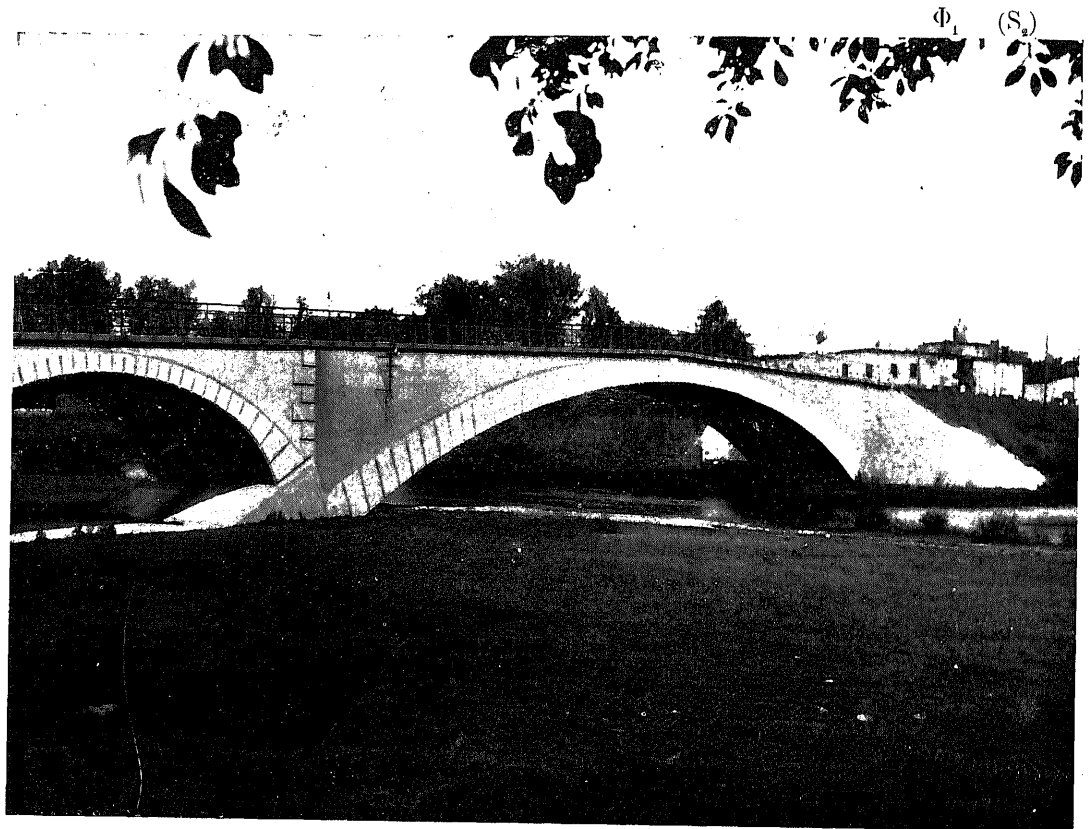
f₄ — Culée — 2mm5



f₅ — Coupe en travers sur ax de f₁ — 3mm



1. Aspect (S_2). — On a simulé de très grosses pierres de taille aux têtes et aux chaînes d'angle.



Les tympans sont crépis. La douelle est barbouillée de mortier.
On paraît s'être peu préoccupé de l'aspect.

2. Personnel. — *Projet et Entreprise* : MM. Liebold et C^{ie}, de Langbrück (Saxe).

SOURCES :

- S_1 . — Dessins d'exécution qu'ont bien voulu me remettre MM. Liebold, en 1908.
 S_2 . — Ce que j'ai vu — août 1909.
-

PONT SUR LA BARTSCH, A SCHIWUSEN

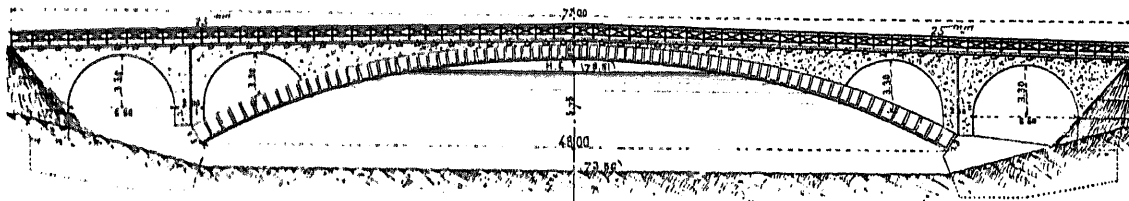
(ALLEMAGNE, - Silésie, - Cercle de Glogau)

Route de Schwusen à Fraustadt

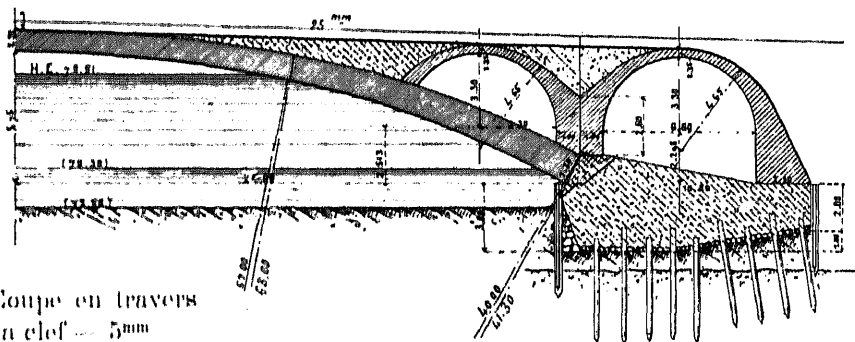
1907

A¹ r¹⁰ (> 40m)⁸

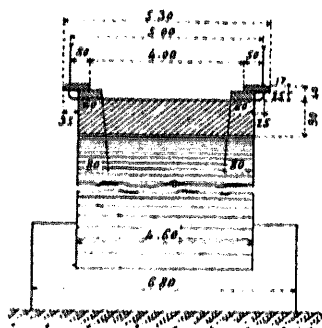
f₁ — Élévation — 2mm



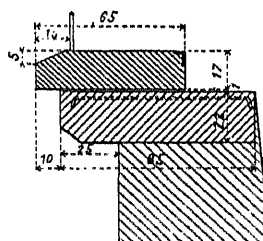
f₂ — Coupe en long — 3mm



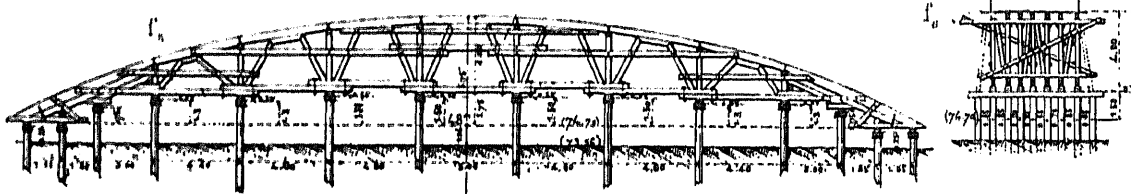
f₃ — Coupe en travers à la clef — 5mm



f₄ — Couronnement — 3mm



Centre — 2mm5



1. Personnel. — *Projet et Entreprise* : MM. Liebold et C^{ie}, de Langenbrück (Saxe).

SOURCE :

S_p. — Dessins d'exécution que m'ont gracieusement remis MM. Liebold, en 1908.

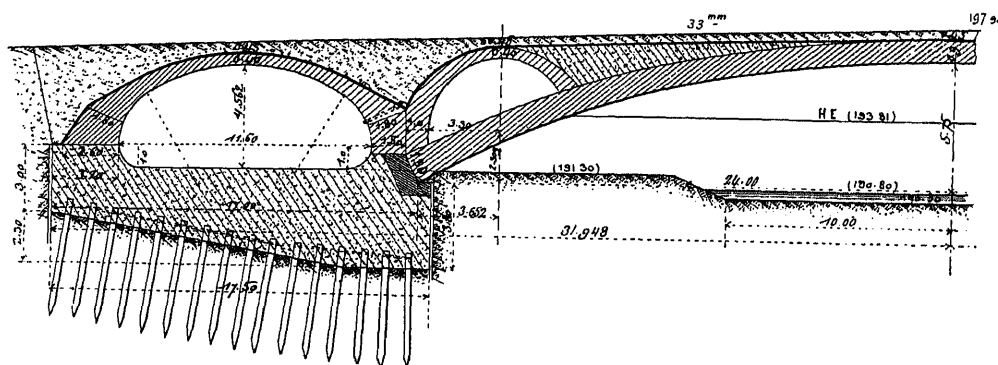
PONT SUR LA FREIWALDAUER BIELE, A KUPFERHAMMER
(ALLEMAGNE, - Silésie, - Cercle de Neisse)

Route de Weidenau à Neisse

1907

A¹ r^{le} (≥ 40m) 9

f₁ — Coupe en long — 3mm



1. Personnel. — *Projet et Entreprise* : MM. Liebold et C^{ie}, de Langgebrück (Saxe).

SOURCE :

S₁. — Dessin qu'ont bien voulu me remettre MM. Liebold, en 1908.

VOÛTES INARTICULÉES EN ARC TRÈS SURBAISSÉ ¹

PONTS A UNE SEULE GRANDE ARCHE
SOUS CONDUITE D'EAU
(AQUEDUCS)

Série $\overset{\text{AQUEDUC}}{\text{A}}^1 \text{aq} (> 40^m)$ ²

Voir Préliminaires, Tome III, p. 3 et 4.
1. ... pour la définition des arcs « très surbaissés ».
2. ... pour le sens de ce symbole.

PONTS A UNE SEULE GRANDE ARCHE SOUS CONDUITE D'EAU

[illegible]

1 — Pour le sens de ces abréviations, voir Avertissement, Tome III, page II, n° 6.

SÉRIE A¹ aq ($\geq 40\text{m}$)

TABLEAU SYNOPTIQUE

[illegible]

2. Pour le calcul de la surface de douelle, voir Avertissement, Tome III, p. III, n° 7 — A. 3. S_p = Longueur (col. 2) \times Largeur entre parapets (col. 3) — C'est la surface offerte à la circulation.
4. W = Surface vue de l'élévation \times Largeur entre parapets. 5. W' = Surface de l'élévation au dessus des fondations \times Largeur entre parapets.
Pour S_p , W , W' , voir Avertissement, Tome III, p. III, n° 7 — B.

VOÛTES INARTICULÉES EN ARC TRÈS SURBAISSÉ
PONTS A UNE SEULE GRANDE ARCHE
SOUS CONDUITE D'EAU (AQUEDUCS)

SÉRIE $\bar{A}^1_{aq} (C > 40m)$

MONOGRAPHIES

PONT SUR LA MURG, PRÈS DE WEISENBACH¹

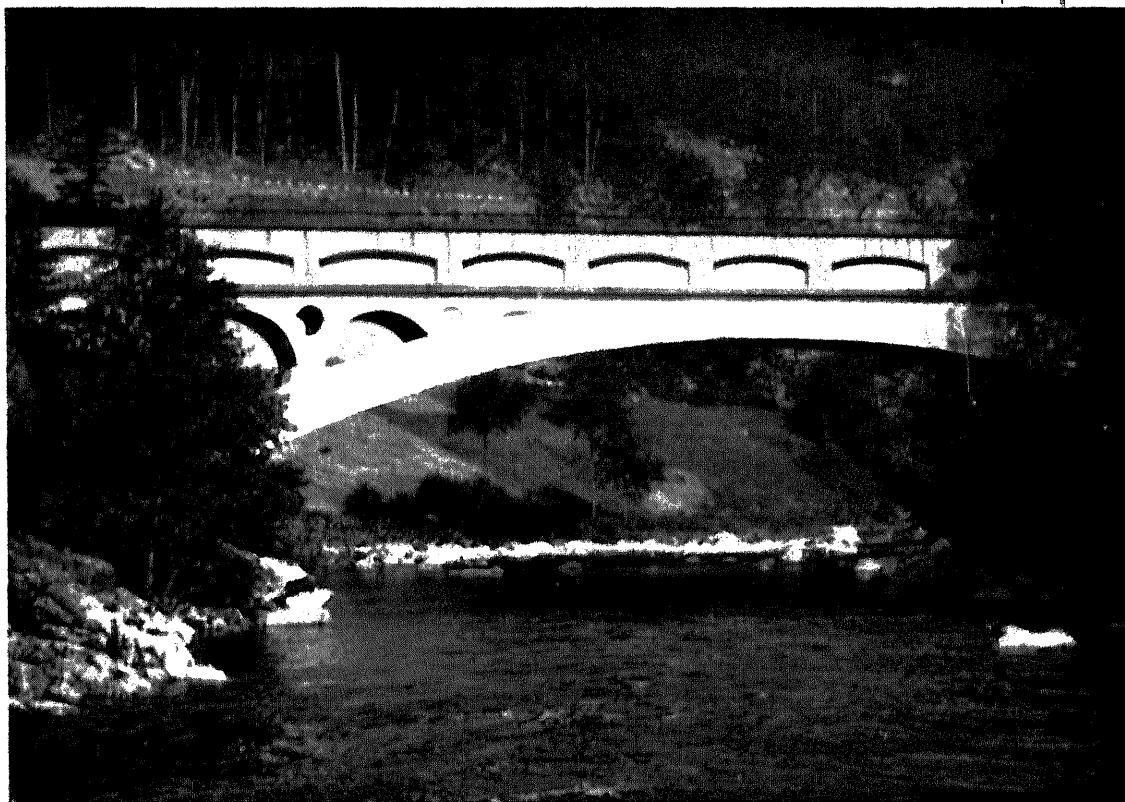
(ALLEMAGNE, - Grand Duché de Bade)

Canal d'amènée à l'usine Holzmann

1885

$\bar{A}^1_{aq} (C > 40m)$

$\Phi_1 (S_1)$



1. à 3' environ en amont (S₁).

1. Exécution de la voûte (S₁). — On pilonnait le béton par couches parallèles à la douelle, entre cloisons transversales espacées de 4 à 5^m. On enlevait ces cloisons, puis on dressait les parois des tranches.

On n'a pas eu à soutenir les tranches des reins.

2. Date (S₁). — Le pont a été achevé à la fin de l'automne 1885.

3. Personnel (S₁).

Ingénieur : M. Karl von Muller, de Fribourg en Brisgau.

Entrepreneurs : MM. Thormann et Schneller, d'Augsbourg.

Le projet de cintre est de MM. Thormann et Stiefel.

SOURCES :

S₁. — Lettres de M. Karl von Muller à M. Max Leibbrand, Landesbaurat à Sigmaringen (7 et 9 août 1906), que M. Leibbrand a bien voulu me communiquer, — juillet 1909.

S₂. — Ce que j'ai vu — septembre 1908.

VOÛTES INARTICULÉES EN ARC TRÈS SURBAISSÉ ¹

PONTS A UNE SEULE GRANDE ARCHE
SOUS CHEMIN DE FER A VOIE NORMALE

Série $\overset{\text{arc}}{\text{A}}^1 \text{I}^n (\geq 40^m)$ ²

Voir Préliminaires, Tome III, p. 3 et 4 :

1. -- pour la définition des arcs « très surbaissés »,

2. -- pour le sens de ce symbole.

PONT A UNE SEULE GRANDE ARCHE SOUS CHEMIN DE FER

PONT	PROJET																																											
	ENSEMBLE		GRANDE VOÛTE					1° ÉVIDEMENTS DES TYMPANS 2° DÉCORATION DES TÊTES																																				
	Longueur entre abouts des parapets Déclivités Hauteur maxima du rail au-dessus du sol ou de l'étiage	Largeurs { entre parapets entre tympans sous la plinthe Fruit des tympans Revanche du rail sur l'extrados	INTRADOS { Portée Montée Surbaissement Rayon	ÉPAISSEURS		MATÉRIAUX Mortier Poids, pour 1 ^{me} de sable, de chaux ou de ciment	PRESSIONS en kg/0 ^m 01 ² Hypothèse adoptée Surcharges supposées																																					
				CORPS { Clef Retombées	TÊTES { Clef Retom- bées																																							
Date	2	3	4	5	6	7	8	9																																				
Symbole	1																																											
de Bellows Falls États-Unis 1899 A¹ Fr ($\geq 40^m$) ¹ 2 routes égales buttant contre le même rocher. Ce sont deux A¹ , ce n'est pas un Aⁿ .	109 ^m 98 » 24 ^m 38	{ Pas de parapets 8 ^m 23 Pas de fruit 2 ^m 438 jusqu'au-dessus du rail	Arc de cercle { 42 ^m 672 6 ^m 096 $\frac{1}{7} = 0,143$ 40 ^m 386	{ 1 ^m 219 1 ^m 219 rouleau d'épaisseur uniforme	{ 1 ^m 219 1 ^m 219	Bandeaux et Douelle : L ¹ Hauteur uniforme.. 1 ^m 219 Épaisseur : Intrados..... 0 ^m 616 Extrados..... 0 ^m 635 • Aux reins, à partir de 7 ^m de la clef, remplissage en maçonnerie de 0 à 3 ^m 50 d'épaisseur Ciment Portland	Pression <table><tr><td>Intrad.</td><td>Extrad.</td></tr><tr><td colspan="2">sans surcharge</td></tr><tr><td>Clef</td><td>39^k 4 19^k 7</td></tr><tr><td>Retom- bées</td><td>58^k 6 14^k 6 (effort MAX.)</td></tr><tr><td colspan="2">avec surcharge</td></tr><tr><td colspan="2">1^{re} sur toute la voûte</td></tr><tr><td>Clef</td><td>49^k 7 24^k 1</td></tr><tr><td>A 10^m de la clef</td><td>25^k 8 54^k 7 (effort MAX.)</td></tr><tr><td>Retom- bées</td><td>53^k 7 36^k 1</td></tr><tr><td colspan="2">2^{de} sur une 1/2 voûte</td></tr><tr><td>Clef</td><td>50^k 5 16^k</td></tr><tr><td colspan="2">a - 1/2 voûte chargée</td></tr><tr><td>Retom- bées</td><td>76^k 7^k 3 (effort MAX.)</td></tr><tr><td colspan="2">b - 1/2 voûte non chargée</td></tr><tr><td>A 4^m de la clef</td><td>57^k 1 10^k (effort MAX.)</td></tr><tr><td>Retom- bées</td><td>29^k 8 50^k 8</td></tr><tr><td colspan="2">»</td></tr><tr><td colspan="2">8940^k / 1^{me}</td></tr></table>	Intrad.	Extrad.	sans surcharge		Clef	39 ^k 4 19 ^k 7	Retom- bées	58 ^k 6 14 ^k 6 (effort MAX.)	avec surcharge		1 ^{re} sur toute la voûte		Clef	49 ^k 7 24 ^k 1	A 10 ^m de la clef	25 ^k 8 54 ^k 7 (effort MAX.)	Retom- bées	53 ^k 7 36 ^k 1	2 ^{de} sur une 1/2 voûte		Clef	50 ^k 5 16 ^k	a - 1/2 voûte chargée		Retom- bées	76 ^k 7 ^k 3 (effort MAX.)	b - 1/2 voûte non chargée		A 4 ^m de la clef	57 ^k 1 10 ^k (effort MAX.)	Retom- bées	29 ^k 8 50 ^k 8	»		8940 ^k / 1 ^{me}		1° Pas d'évidements 2° »
Intrad.	Extrad.																																											
sans surcharge																																												
Clef	39 ^k 4 19 ^k 7																																											
Retom- bées	58 ^k 6 14 ^k 6 (effort MAX.)																																											
avec surcharge																																												
1 ^{re} sur toute la voûte																																												
Clef	49 ^k 7 24 ^k 1																																											
A 10 ^m de la clef	25 ^k 8 54 ^k 7 (effort MAX.)																																											
Retom- bées	53 ^k 7 36 ^k 1																																											
2 ^{de} sur une 1/2 voûte																																												
Clef	50 ^k 5 16 ^k																																											
a - 1/2 voûte chargée																																												
Retom- bées	76 ^k 7 ^k 3 (effort MAX.)																																											
b - 1/2 voûte non chargée																																												
A 4 ^m de la clef	57 ^k 1 10 ^k (effort MAX.)																																											
Retom- bées	29 ^k 8 50 ^k 8																																											
»																																												
8940 ^k / 1 ^{me}																																												

1. — Pour le sens de ces abréviations, voir Avertissement, Tome III, p. II, n° 6.

EXÉCUTION										CUBE DE MAÇONNERIE A MORTIER	
GRANDE VOÛTE										Q	
CINTRE										DÉPENSE	
FONDATIONS	FERMES		Cube de bois Poids de fer Dépenses		MODE DE CONSTRUCTION	DÉCINTREMENT État d'avancement du pont Temps entre le dernier clarage et le décintrement Date	TASSEMENTS DE LA CLEF sur cintre t _c au décin- trement t' _v après t'' _v		Totaux et par unité { de surface utile S _p ² de volume « utile » W ⁴		
	Type Matière Appareils de décintrement	Nombre Épaisseur Écartement d'axe en axe Surhaussement	Totaux	par mq de douelle ²							
10	11	12	13	14	15	16	17		18		
Rocher	Arche sur la rivière :	6 25 ^m 1 ^m 530	Pour les 2 cintres :		Joints matés à la spatule	Arche Est			Q = 3069 ^{m³} Q : S _p = 3 ^m 30 Q : W = 0 ^m 23		
	Retroussé sur 11°38		548 ^{m³}	0 ^m 65		"	t _c 25 ^{mm}				
"	"					21 jours	t' _v 0		D = 282 310 ^f y compris la démolition de l'ancien pont.		
"	Coin sous les coulis	76 ^{mm}				"					
"	Arche de décharge :					Arche Ouest			D : S _p = 311 ^f 9 D : W = 21 ^f 1 D : Q = 92 ^f 0		
"	Fixe					"					
"	"					30 jours					
"	Coin sous les coulis					"					

le calcul de la surface de douelle, voir Avertissement, Tome III, p. III, n° 7 - A. 3. S_p = Longueur (col. 2) × Largeur entre parapets (col. 3) - C'est la surface offerte à la circulation
4. W = Surface vue de l'élévation × Largeur entre parapets. 5. W' = Surface de l'élévation au-dessus des fondations × Largeur entre parapets
Pour S_p, W, W', voir Avertissement, Tome III, p. III, n° 7 - B.

VOÛTES INARTICULÉES EN ARC TRÈS SURBAISSÉ
PONT A UNE SEULE GRANDE ARCHE
SOUS CHEMIN DE FER A VOIE NORMALE

SÉRIE \overline{A}^1 1^{re} ($\geq 40^m$)

MONOGRAPHIES

PONT DE BELLOWS FALLS, SUR LE CONNECTICUT
(ÉTATS-UNIS, - Vermont)

Ligne de Boston¹ à Montréal, par Fitchburg et Rutland
(Boston and Maine R.R.)

1899

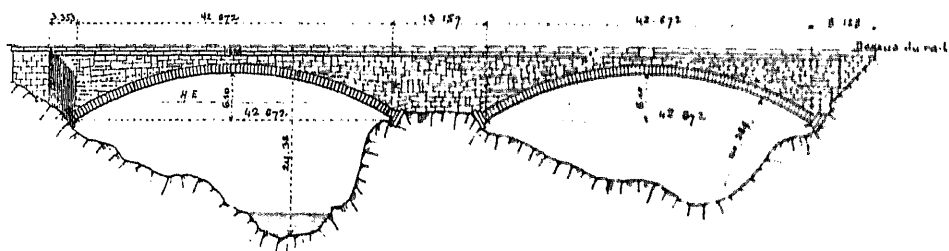
\overline{A}^1 1^{re} ($\geq 40^m$)

Φ_1 (S₂)

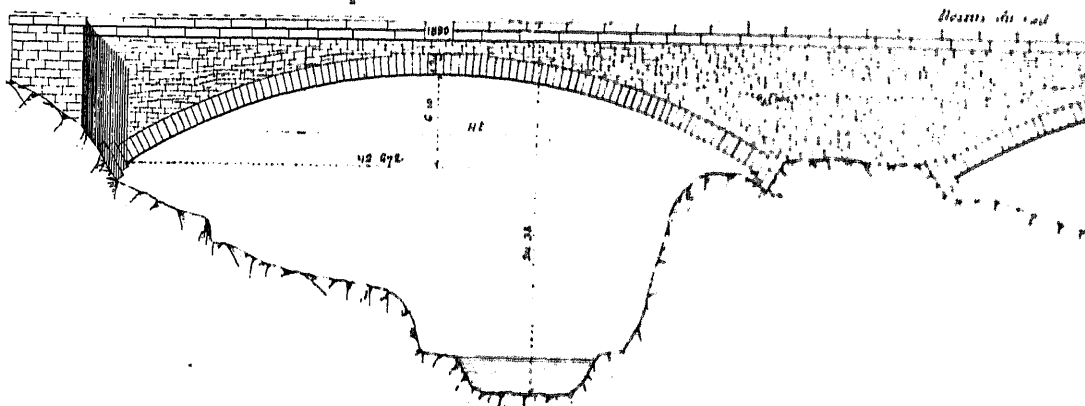


1. Pourquoi il est dans la série \overline{A}^1 . — Ce n'est pas un pont à deux arches (\overline{A}^n). Ce sont deux arches uniques buttant contre le même rocher.

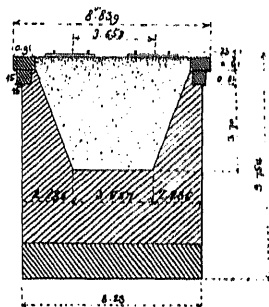
¹ à 114 milles de Boston.

$$f_1 = \text{Ensemble} \rightarrow 1 \text{ min}$$


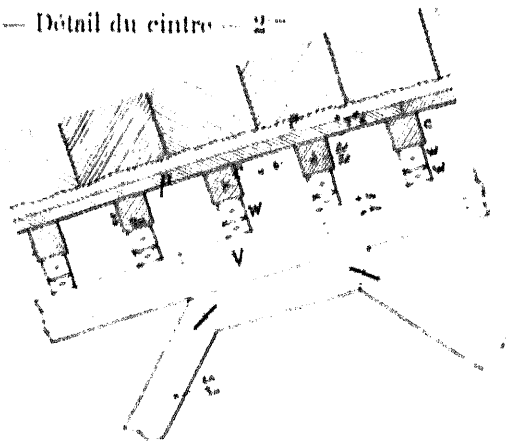
f_g — Archo sur la rivière — 2mm



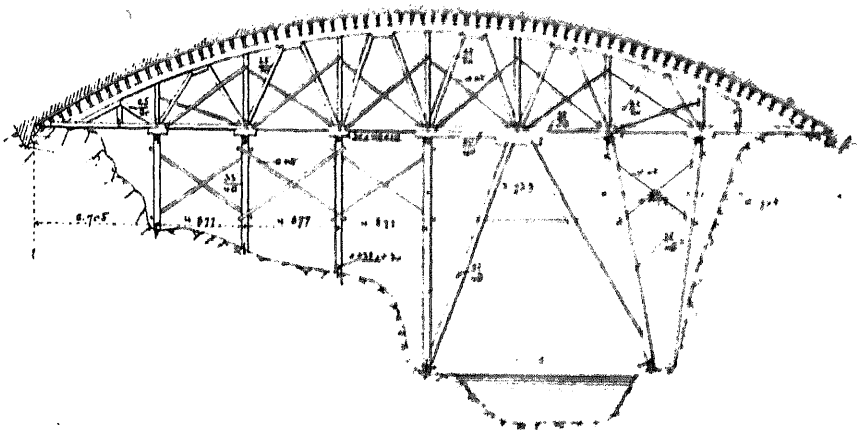
f_g — Coupe en travers
aux retombées — 3^{mm}



f_n TECHNICAL **Détail du cintre** 1:10 **2**



f_4 — Centre de l'arche sur la rivière — 2000 m.



2. Pourquoi on a fait un pont en maçonnerie. — Il remplace un pont en bois à deux travées : on a adopté des arches en maçonnerie, comme les plus vite faites et les moins chères.

3. Couronnement. — La plinthe est en deux assises en porte-à-faux de 15^m chacune.

Il n'y a pas de garde-corps.

4. Cintres. — A. - *Partie au-dessus des naissances.* — Elle est la même pour les deux cintres.

Les montants et contrefiches sont en sapin de 25^m × 30^m.

Les assemblages tiennent par des broches : les pièces n'en sont pas entaillées.

Les vaux V (f₁) sont formés de 4 cours de planches de 7^m6 × 25^m4, clouées l'une sur l'autre en découpe.

Les couchis c, de 20^m × 20^m, portent sur des coins en chêne W de 15^m de largeur et 45^m7 de longueur. Il y a une paire de coins par couchis et par ferme, soit 72 par ferme, 432 par voûte.

Au décentrement, il a été très difficile de décoller ces coins, probablement parce qu'ils étaient en bois vert non raboté.

Les couchis portent un platelage p de 7^m6 (f₂).

Pour tenir compte des bosses des voussoirs en douelle, on a ménagé entre le platelage et la douelle théorique, un jeu c de 7^m6 (S₄). On a posé les voussoirs sur des liteaux taillés en V, puis bourré le vide de fil de caret².

B. - *Partie au-dessous des naissances.* — Les montants sont en pin dur de 35^m × 40^m.

A cause de la violence du courant, on a dû retrousser sur 11^m58 le cintre de l'arche en rivière : il porte sur deux montants inclinés s'appuyant sur une semelle posée sur une plate-forme en béton étalée sur le rocher.

Les autres montants du cintre en rivière, et tout l'étage inférieur de l'autre, s'appuient directement sur le rocher préalablement nivelé.

Des goujons de 30^m de long, 38^{mm} de diamètre, pénétrèrent par moitié dans le rocher, par moitié dans les montants.

La charge sur les poteaux du milieu est d'environ 30 tonnes.

5. Exécution des voûtes. — Les joints des libages, de 13^{mm} à l'intrados et 51^{mm} à l'extrados, ont été matés³ au mortier de ciment Portland, avec des spatules⁴ en fer, de 13^{mm} d'épaisseur et 76^{mm} de largeur.

La voûte Est, cubant 458^m7, a été construite en 4 jours.

2. = *carpet ground*.

3. = *comped*.

4. = *strips*.

6. Quantités.

Voûtes et socles.....	964 ^{me} 8
Plinthes.....	218 ^{me} 6
Tympans et remplissage.....	1886 ^{me}
Béton en fondation (cintre).....	137 ^{me} 6
	<hr/> 3207 ^{me} 0

7. Dates. — Les travaux ont commencé le 12 septembre 1899. Les trains ont passé sur le pont le 10 décembre 1899, soit 90 jours après.

8. Personnel.

Projet : M. A. S. Cheever, Ingénieur en chef de la Division de Fitchburg, (Boston and Maine R.R.)

Entrepreneur : M. J. W. Rollins, Jr, Ingénieur de la Maison Hollbrook, Cabot et Daly.

SOURCES :

S₁. — Engineering News, 21 juin 1900, p. 402 : « *New double 140 Ft. span stone arch « bridge for the Fitchburg R.R., at Bellows Falls, Vt.* »

S₂. — Dessins d'exécution et photographies, gracieusement communiqués par M. A. S. Cheever, Member Am. Soc. C. E. « Superintendent Fitchburg Div. », Boston and Maine R. R.

Ce qui n'est pas spécifié S₂ est de S₁.

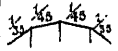
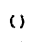
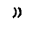
VOÛTES INARTICULÉES EN ARC TRÈS SURBAISSÉ ¹

PONTS A PLUSIEURS GRANDES ARCHES
SOUS ROUTE

Série $\overset{\text{arc}}{\text{A}}^{\text{n}} \text{r}^{\text{te}} (\geq 40^{\text{m}})$ ²


Voir Préliminaires, Tome III, p. 3 et 4 :
1. — pour la définition des arcs « très surbaissés »,
2. — pour le sens de ce symbole.

PONT A PLUSIEURS GRANDES ARCHES SOUS ROUTE

PONT	PROJET								1 ^o ÉVIDEMENTS DES TYMPANS 2 ^o DÉCORATION DES TÊTES
	ENSEMBLE		GRANDES VOÛTES						
	Longueur entre abouts des parapets Déclivités Hauteur maxima de la chaussée au-dessus du sol ou de l'étiage	Largeurs (entre parapets entre tympans sous la plinthe Fruit des tympans Revanche de la chaussée sur l'extrados	INTRADOS Portée Montée Surbaissément Rayon	ÉPAISSEURS CORPS Clef (Retombées		TÊTES Clef (Retom- bées	MATÉRIAUX Mortier Poids, pour 1 ^m de sable, de chaux ou de ciment	PRESSIONS en kg 0 ^m 01 ² Hypothèse adoptée Surcharges supposées	
Date Symbole En quoi consiste l'ouvrage	1	2	3	4	5	6	7	8	9
de Putney Angleterre 1882-1883 Aⁿ r^{le} ($\geq 40m$) ¹ 5 voûtes en arc : une centrale de 43m 891 à 1/7,46 2 intermédiaires de 39m 319 à 1/7,94 2 de rive de 34m 138 à 1/8,61		{ 13 ^m 411 14 ^m 325 Léger fruit	Arc de cercle 43 ^m 891 5 ^m 86 $\frac{1}{7,46} = 0,133$ 43 ^m 97	1 ^m 372 1 ^m 676 vers les retombées		Bandeaux : PT Granit Ciment Portland		1 ^o Dalles sur murs longitudinaux de 0 ^m 57 espacés de 1 ^m 06 et 1 ^m 07 2 ^o "	
Boucicaut France 1888-1890 Aⁿ r^{le} ($\geq 40m$) ² 5 voûtes égales de 40m		{ 8 ^m 00 8 ^m 70 Pas de fruit 11 ^m 36 0 ^m 55	Arc de projection de chaînette renflé par rapport à l'arc de cercle de 0 ^m 264 à 70 ^m de la 1/2 portée à partir de la clef 40 ^m 00 5 ^m 00 $\frac{1}{8} = 0,125$ 53 ^m 90 26 ^m 07	1 ^m 05 1 ^m 238	1 ^m 03 1 ^m 238	Bandeaux : PT Lauts de 2 ^m Douelle et Quenillage : MAX Dalles sur les tympans Calcaire de Villebois (0 ^m 06 en moyenne) et de retombées Ciment artificiel Vicat 1896	Pression moyenne à la clef 1 ^m 03 Coulée de pavation posant sur des poutres en bois aux points de clef et de retombées	1 ^o Pas d'évidements 2 ^o Médallions dans les tympans au dessus des piles	
de Mehring Allemagne 1903-1904 Aⁿ r^{le} ($\geq 40m$) ³ 4 voûtes égales de 46m		{ 6 ^m 50 6 ^m 30 " 12 ^m 70	Arc d'anse de panier à 3 centres 46 ^m 00 6 ^m 17 $\frac{1}{7,455} = 0,134$ 60 ^m 31 ^m 93	1 ^m 00 1 ^m 30	1 ^m 00 1 ^m 30	Béton : 1 ^o , 3 ^o , 5 ^o Pression max 21,3 min 31,5 5,20 ^m net Boues et vases de 18 ^m	Pression max 21,3 min 31,5 5,20 ^m net Boues et vases de 18 ^m	1 ^o 8 voûtes transversales vides, en plein cintre, de 2 ^m 00, sur piles de 0 ^m 70 2 ^o "	

1. — Pour le sens de ces abréviations, voir Avertissement, Tome III, p. II, n° 6.

PONT A PLUSIEURS GRANDES ARCHES SOUS ROUTE

PONT	PROJET								ÉVIDEMENTS DES TYMPANS
	Date	ENSEMBLE		INTRADOS	GRANDES VOÛTES		PRESSIONS		
		Longueur entre abouts des parapets	Largeurs entre parapets entre tympans sous la plinthe		CORPS	TÊTES		MATÉRIAUX	
Symbole	Hauteur maxima de la chaussée au-dessus du sol ou de l'étiage	Revanche de la chaussée sur l'extrados	Portée	Montée	Retombées	Mortier	en kg 0m01 ²	Hypothèse adoptée	
En quoi consiste l'ouvrage	1	2	3	4	5	6	7	8	9
d' Orléans <i>France</i> 1904-1906 $\bar{A}^n r^{te} \geq 40m)^4$ 7 voûtes égales	353 ^m 42  10 ^m 4 ^m RD = 48 ^m = RI	$\left\{ \begin{array}{l} 13^m 45 \\ 13^m 80 \end{array} \right.$ Pas de fruit 0 ^m 000	Arc de projection de chaînette renflé par rapport à l'arc de cercle de 0 ^m 13 à 72 ^m 00 de la 1/2 portée à partir de la clef. 43 ^m 83 5 ^m 80 $\frac{1}{7,56} = 0,132$ $\left\{ \begin{array}{l} 18^m 827 \\ " \end{array} \right.$	$\left\{ \begin{array}{l} 1^m 25 \\ 1^m 58 \end{array} \right.$	$\left\{ \begin{array}{l} 1^m 23 \\ 1^m 58 \end{array} \right.$	Bandeaux : PT Douelle : MAV Calcaire de Massangis (Yonne) 710 ^g Quettlage : MAV Calcaire d'Ancy le Franc, de Lorrys (Lure), de Chassignelles (Yonne), etc. Parties vues de l'extrados Calcaire de Massangis (Yonne) Senozan (Saône et Loire), Saint-Elorent (Cher), Comblanchien (Côte d'Or), etc. à 100 ^g Ciment tout Coudrot 600 ^g	Pression $\left \begin{array}{l} MAX. \\ moy. \end{array} \right.$ sans surcharge Clef 26 ^m 8 18 ^m 9 Retom- 33 ^m 9 18 ^m 9 bées avec surcharge sur toute la voûte Clef 20 ^m 1 20 ^m 5 Retom- 30 ^m 8 20 ^m 5 bées Surcharge de la partie à partir de l'appui Clef 20 ^m 4 19 ^m 7 Retom- 30 ^m 5 19 ^m 6 bées Pression 0 ^m 3 Arc élastique 300 ^g moy	1 ^{re} 8 voûtes transversales vues, en arc de cercle de 2 ^m 80 à 1 0,51, sur piles de 0 ^m 05, percées de 4 voûtes en plein cintre, de 1 ^m 60 2 ^{de} Archivoltes	
de Krappitz <i>Allemagne</i> 1905 $\bar{A}^n r^{te} \geq 40m)^5$ Une voûte de 50 ^m ; entre 2 voûtes en arc, de 25 ^m à 1/5,55	" " 9 ^m (lit)	" " 0 ^m 40	Arc d'aise de panier à 3 centres 50 ^m 00 6 ^m 00 $\frac{1}{8,33} = 0,12$ 6 ^m 10 41 ^m 90	$\left\{ \begin{array}{l} 1^m 20 \\ 2^m 00 \end{array} \right.$	$\left\{ \begin{array}{l} 1^m 20 \\ 2^m 00 \end{array} \right.$	Voûte en petits moellons, Aux têtes, crepi surmontant de grandes pierres de taille Ciment 0 ^m 111		1 ^{re} 12 voûtes transversales vues, en plein cintre, de 1 ^m , sur piles de 1 ^m 2 ^{de}	
de Gross-Kunzendorf <i>Allemagne</i> $\bar{A}^n r^{te} \geq 40m)^6$ Une voûte de 40 ^m entre 2 voûtes en arc, de 20 ^m à 1/5,55	100 ^m 80 " 7 ^m (étiage)	$\left\{ \begin{array}{l} 8^m 30 \\ 7^m 20 \end{array} \right.$ " 0 ^m 45	40 ^m 00 4 ^m 20 $\frac{1}{9,523} = 0,105$	$\left\{ \begin{array}{l} 0^m 90 \\ 1^m 35 \end{array} \right.$	$\left\{ \begin{array}{l} 0^m 90 \\ 1^m 35 \end{array} \right.$	Comme au Pont de Krappitz $\bar{A}^n r^{te} \geq 40m)^5$		1 ^{re} Pas d'évidements 2 ^{de}	

1 — Pour le sens de ces abréviations, voir Avertissement, Tome III, page II, n° 6.

SÉRIE Aⁿ r¹⁰ (~ 40m)

TABLEAU SYNOPTIQUE (Suite)

FONDATIONS	EXECUTION							CUBE DE MAÇONNERIE A MORTIER			
	GRANDES VOÛTES							Q			
	CINTRES				MODE ou CONSTRUCTION	DÉCINTREMENT État d'avancement du Pont Temps entre le dernier clavage et le décintrement Date	TASSEMENTS DE LA CLEF sur cintre t _c au décin- trement t' _v après t'' _v	DÉPENSE			
	Type Matière Appareils de décintrement	Nombre Épaisseur Écartement d'axe en axe Surhaussement	Cube de bois Poids de fer Dépenses					D			
Nature du sol	11	12	Totaux	par mq de douelle	15	16	17	Totaux et par unité { de surface utile S _p ² de volume « utile » W ⁴			
Profondeur sous l'étiage											
Pressions sur le sol en kg/cm ²											
Procédé											
10											
Morne	Aux 2 arches RD:	9	Moyenne des 7 cintres Pieux compris		A pleine épaisseur	Voûtes nues	t _c (en mm)	Q	Fon- dations	Élé- vation	En- semble
	Retroussé sur 9" mariniers		370 ^m	0 ^m 58			Cintres: contants (20 à 25 à (20 38,5				
	4 ^m à 18 ^m	25 ^m	9637 ^k	15 ^k 2	10 tronçons		mar- niers (38 à 14 à (50 20,5				
	Aux 5 autres arches:	1 ^m 70	25413 ^k	40 ^k 1	11 clavages		t' _v (en mm) moyenne des 2 têtes				
Pression maxima:	Fixe					Arches n° 1 (100) 59 j... 8 ^m n° 2 63 j... 6 ^m 6 n° 3 51 j... 8 ^m 3		D	922462 ^k	1369472 ^k	2291934 ^k
Culées: 17 ^k 3	Montants et contre-fiches					29-31 mai		D: S _p	194 ^k 1	288 ^k 1	482 ^k 2
Piles: 0 ^k 4						Arches n° 4 et 5, décintrees partiellement avec 1, 2, 3, complètement avec 6 et 7		D: W	15 ^k 8	23 ^k 4	39 ^k 2
	Séjour					Arches 1 6 68 j... 5 ^m n° 1 7 (100) 62 j... 7 ^m 4		D: Q	64 ^k 3	72 ^k 8	69 ^k 1
Air comprimé	Boites à sable					21-25 juillet					
Béton armé de rails, sur pilotis											
Arrière ferme											
Béton armé de rails, sur pilotis											

2. Pour le calcul de la surface de douelle, voir Avertissement, Tome III, p. III, n° 7 — A = 3. S_p = Longueur (col. 2) × Largeur entre parapets (col. 11) — C'est la surface offerte à la circulation.
 4. W = Surface vue de l'élévation × Largeur entre parapets. 5. W' = Surface de l'élévation au-dessus des fondations × Largeur entre parapets.
 Pour S_p, W, W', voir Avertissement, Tome III, p. III, n° 7 — R.

PONT A PLUSIEURS GRANDES ARCHES SOUS ROUTE

PROJET									
PONT	ENSEMBLE			GRANDES VOÛTES				1 ^o ÉVIDEMENTS DES TYMPANS	
	Longueur entre abouts des parapets	Largeurs entre parapets entre tympans sous la plinthe	INTRADOS	ÉPAISSEURS		MATÉRIAUX	PRESSIONS		
Date	Déclivités	Fruit des tympans	Portée	CORPS	TÊTES	Mortier	en kg/cm ²	2 ^o DÉCORATION DES TÊTES	
Symbole	Hauteur maxima de la chaussée au-dessus du sol ou de l'étiage	Revanche de la chaussée sur l'extrados	Montée Surbaissément Rayon	Clef	Clef	Poids, pour 1 m ³ de sable, de chaux ou de ciment	Hypothèse adoptée Surcharges supposées		
En quoi consiste l'ouvrage	1	2	3	Retombées	Retom- bées	7	8	9	
de Schweich <i>Allemagne</i> 1905-1906 Aⁿ r^{te} (≥ 40 m) 7 15 voûtes en arc : 3 de 16m, 3 de 10m (RD), 9 de 10 à 15m (RG).	309m 15 0 au-dessus des voûtes de 4m 15m (lit)	{ 7m 00 6m 60 Pas de fruit 0m 30	Arche d'anse de panier à 3 centres 46m 00 6m 17 $\frac{1}{7,455} = 0,134$ 60m 00 31m 95	1m 00 1m 30		Béton Ciment 1 ^{er} Sable de la Moselle 285 Gravier de la Moselle 58	Pression avec surcharge : MAX. 1000 Clef 33° 8' 21" 1 Retom- bées 32° 8' 10" 3 4000 m ² auq et Rouleau à vapeur de 24t	1 ^{re} 10 voûtes transversales vides, en plein cintre, de 2m, en béton armé, sur piles de 0m 70 à 1m 30 2 ^{de} "	
d' Avignon <i>France</i> 1905-1909 Aⁿ r^{te} (≥ 40 m) 8 10 voûtes de 40m.	165m Dos d'âne Déclivités maxima : 6mm 3 (RD) 13mm (RG) 12m 87 (étiage)	{ 10m 00 8m 20 Pas de fruit 0m 64	Arche de projection de chaînette renflée par rapport à l'arc de cercle de 0m 264 à 70 o/o de la 1 ^{re} portée à partir de la clef 40m 00 5m 00 $\frac{1}{8} = 0,125$ 53m 90 26m 07	1m 05 1m 237	1m 03 1m 237	Bandeaux : PT Joints de 1cm Douelle et Queulage : MAV Joints de 1cm Calcaire de Romans Ciment maritime Pavin de Lefarge 600 Mortier fait à la main	Pression maxima : Clef 31° 5' Retombées 37° 2' Arc élastique	1 ^{re} Pas d'évidements Remplissage en gravier. 2 ^{de} "	
de Trittenheim <i>Allemagne</i> 1907-1908 Aⁿ r^{te} (≥ 40 m) 9 4 voûtes en arc : 3 de 16m, 1 de 30m à 1/6, 711.	208m 30mm 10mm 19m (lit)	{ 6m 50 6m 10 Pas de fruit 0m 35	Arche d'anse de panier à 3 centres 46m 00 6m 17 $\frac{1}{7,455} = 0,134$ 56m 00 33m 55	1m 00 1m 30		Béton Ciment 1 ^{er} Sable de la Moselle 285 Gravier de la Moselle 58	Pression avec surcharge : MAX. 1000 Clef 22° 5' Retom- bées 20° 2' 21" 6 5000 m ² auq et Rouleau à vapeur de 24t	1 ^{re} 10 voûtes transversales vides, en plein cintre, de 2m, en béton armé. 2 ^{de} "	

1. — Pour le sens de ces abréviations, voir Avertissement, Tome III, page 11, n° 6.

SÉRIE $\bar{A}^{n^{\text{e}}}$ (c. 40m)

TABLEAU SYNOPTIQUE (Suite)

EXÉCUTION										CUBE DE MAÇONNERIE A MORTIER			
GRANDES VOÛTES										Q			
CINTRES										D			
FONDATIONS	FERMES		Cintres		MODE de CONSTRUCTION	DÉCINTREMENT		TASSEMENTS		DÉPENSE			
	Type	Nombre	Cube de bois	Poids de fer		État	Temps entre le	DE LA CLEF		Totaux	et	de surface utile S_p	de volume utile W
Nature du sol	Matière	Épaisseur	Totaux	par mq		d'avancement	dernier clavage	sur					
Profondeur sous l'étiage	Appareils de	Ecartement d'axe en axe		de douelle		du pont	et le décentrement	cintre t_c					
Pressions sur le sol en kg/cm ²	decintrement	Surhaussement				Date		au décentrement					
Procédé								après t_v					
10	11	12	13	14	15	16		17		18			
Rocher	Arche centrale :	7	Cintre marinier :		A pleine épaisseur			t_c 90mm		Q 6963 ^{mc}			
"	Retroussé sur 16" (marinier)	20 ^{mm} 1 ^m 06	Pieux 37" Lage inf 46" Lage sup 160" Planchage 16"		Tranches de 1 ^m 50 de largeur			(Arche centrale)		Q : S_p 3 ^m 05 Q : W 0 ^m 29			
Pression maximum : 8kg	Autres arches :		250 ^{mm}	0 ^m 87				t_v 20 ^{mm} environ		D			
"	Fixes	1 ^m 00 ^{mm}								Fon- dations	Élé- vation	En- semble	
"	Coinc									D : S_p 35'4	100'4	135'2	
										D : W 3'4	9'6	13'0	
										D : Q	"	"	14'3
Culée RG et Piles 1 et 3	Fixes	6	Moyenne des 5 cintres :		A pleine épaisseur	Voûtes nues		t_p		Q 24304 ^{mc}			
Marne -13 ^m 10 à -15 ^m 01		30 ^{mm} 1 ^m 30	239 ^{mm}	0 ^m 69	9 clavages.			min : 6 ^{mm} (x 1 ^m 10) MAX : 100 ^{mm} (x 1 ^m 10)		Q : S_p 53 ^m 2 Q : W 0 ^m 48			
Piles 2, 3, 4			16574 ^{mm}	48 ^{mm}				t_v					
Gravier -13 ^m 87 à -16 ^m 34								moyenne des 2 tetes					
Piles 6 à 9 et Culée RD			16808 ^{mm}	48 ^{mm} 7						D			
Rocher calcaire -14 ^m 03 à -6 ^m										Fon- dations	Élé- vation	En- semble	
Pression maximum 12kg	Boites à sable									D : S_p 146'5	249'2	365'7	
Air comprimé										D : W 13'0	20'2	33'2	
										D : Q	"	"	68'9
Rocher	Arche centrale :	6			A pleine épaisseur					Q 4920 ^{mc}			
"	Retroussé sur 16" (marinier)	20 ^{mm} 1 ^m 17			Tranches de 1 ^m 50 de largeur			t_v		Q : S_p 3 ^m 03 Q : W 0 ^m 27			
Pression 4kg	Autres arches :							12 ^{mm} à 15 ^{mm}		D			
"	Fixes	1 ^m 00 ^{mm}								Fon- dations	Élé- vation	En- semble	
										D : S_p 51'6	158'3	209'9	
										D : W 3'8	11'6	15'4	
										D : Q	"	"	57'7

1. Pour le calcul de la surface de douelle, voir Avertissement, Tome III, p. III, n° 7 -- A. 3. S_p Longueur (col. 2) \times Largeur entre parapets (col. 4). C'est la surface offerte à la circulation.
4. W Surface sur de l'élevation \times Largeur entre parapets. 5. W' Surface de l'élevation au dessus des fondations \times Largeur entre parapets.
Pour S_p , W , W' , voir Avertissement, Tome III, p. III, n° 7 -- B.

PONT A PLUSIEURS GRANDES ARCHES SOUS ROUTE

PONT	PROJET							
	ENSEMBLE		GRANDES VOÛTES					1° ÉVIDEMENTS DES TYMPANS
	Longueur entre abouts des parapets Déclivités Hauteur maxima de la chaussée au-dessus du sol ou de l'étiage	Largeurs entre parapets entre tympans sous la plinthe Fruit des tympans Revanche de la chaussée sur l'extrados	INTRADOS Portée Montée Surbaissément Rayon	ÉPAISSEURS		MATÉRIAUX Mortier Poids, pour 1 ^{me} de sable, de chaux ou de ciment	PRESSIONS en kg/0 ^m 01 ² Hypothèse adoptée Surcharges supposées	
Date Symbole En quoi consiste l'ouvrage	2	3	4	CORPS Clef Retombées	TÊTES Clef Retom- bées	7	8	9
de Longuich Allemagne 1909-1911 Aⁿ r^{te} (≥ 40^m)10 4 voûtes en arc : une de 46 ^m , 2 de 43 ^m , une de 34 ^m .	248 ^m Dos d'âne Déclivité maxima : 60 ^{mm}	$\left\{ \begin{array}{l} 4^m 60 \\ 4^m 10 \end{array} \right.$ Pas de fruit 0 ^m 35	<i>Voûte de 46^m</i> Arc de cercle $\left\{ \begin{array}{l} 46^m 00 \\ 6^m 17 \\ \frac{1}{7,455} = 0,134 \\ 45^m 95 \end{array} \right.$ <i>Voûtes de 43^m</i> Arc de cercle $\left\{ \begin{array}{l} 43^m 00 \\ 5^m 34 \\ \frac{1}{8,052} = 0,124 \\ 45^m 95 \end{array} \right.$	$\left\{ \begin{array}{l} 1^m 05 \\ 1^m 20 \end{array} \right.$	$\left\{ \begin{array}{l} 1^m 05 \\ 1^m 20 \end{array} \right.$	Béton Ciment..... 1 ^r Sable naturel et gravier..... 8 ^r	» » Courbes de pression avec points de passage arbitrairement choisis 500 ^k /mq et Rouleau à vapeur de 24 ^t	1° Piliers en béton armé de 40 ^{cm} × 40 ^{cm} , portant une plate-forme armée. 2° »

1. — Pour le sens de ces abréviations, voir Avertissement, Tome III, p. II, n° 6.

SÉRIE Aⁿ_I^{de} (> 40m)

TABLEAU SYNOPTIQUE (Suite)

EXÉCUTION										CUBE DE MAÇONNERIE A MORTIER		
GRANDES VOÛTES										Q		
CINTRES										DÉPENSE		
FONDATIONS	Type	FERMES		Cube de bois		MODE DE CONSTRUCTION	DÉCINTREMENT	TASSEMENTS	DE LA CLEF	D		
		Matière	Nombre	Poids de fer	Dépenses					Totaux		
Nature du sol	Profondeur sous l'étiage	Pressions sur le sol en kg./cm ²	Appareils de décintrement	Écartement d'axe en axe Surhaussement	Totaux	par mq de douille	État d'avancement du Pont	sur cintre t _c	au décin- trement t _v	et		
Procédé	10	11	12	13	14	15	Temps entre le dernier chargement et le décintrement Date	16	17	par unité { de surface utile S _p ² de volume « utile » W ⁴ .		
										18		
Voûte de 46 ^m										Q = 3230 ^{m³}		
Rocher	Retroussé sur 20°	5	Bois 150 ^{m³}	0 ^{m³} 76	A pleine épaisseur.	Plate-forme construite				Q : S _p = 2 ^{m²} 83		
"	Poutre métallique sur la passe matinière	20 ^m 0 ^m 46	Poutre métallique 20 ^m Boulons Crampous 3 ^m		Tranches isolées.			t _c 40 ^{mm}		Q : W = 0 ^{m³} 31		
"	Couirs	120 ^{mm}	Métal 23 ^m	116 ^k				t _v 20 ^{mm}				
Voûtes de 43 ^m										Q		
Épaulements dans des batardeaux	Fixe	5	Bois 150 ^{m³}	0 ^{m³} 82		15 septembre				Fon- dations	Élé- vation	En- semble
	Montants et contre-fiches	20 ^m 0 ^m 46	Boulons Crampous 3 ^m	16 ^k						D : S _p	53 ^{m²} 4	112 ^{m²} 4
	"									D : W	5 ^{m³} 9	12 ^{m³} 5
	Couirs	120 ^{mm}								D : Q	"	"
											58 ^{m³} 7	

2. Pour le calcul de la surface de douille, voir Avertissement, Tome III, p. III, n° 7 - A. 3. S_p = Longueur (col. 2) × Largeur entre parapets (col. 6). C'est la surface offerte à la circulation.
4. W = Surface sur de l'élévation × Largeur entre parapets. 5. W' = Surface de l'élévation au-dessus des fondations × Largeur entre parapets.
Pour S_p, W, W', voir Avertissement, Tome III, p. III, n° 7 - B.

VOÛTES INARTICULÉES EN ARC TRÈS SURBAISSÉ
PONTS A PLUSIEURS GRANDES ARCHES SOUS ROUTE

SÉRIE $\bar{A}^n_{P^{10}} (\geq 40m)$

MONOGRAPHIES

PONT DE PUTNEY¹ SUR LA TAMISE (ANGLETERRE)

1882-1883

$\bar{A}^n_{P^{10}} (\geq 40m)^1$

$\Phi_1 (S_3)$



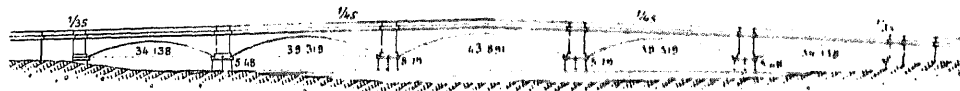
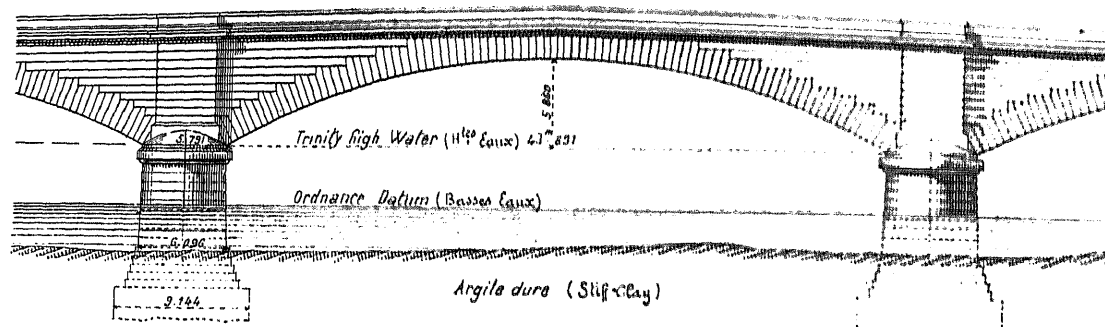
1. Quelques dispositions. — Les tympanes (parements en granit et corps en briques) sont élagés par 7 murs longitudinaux en briques, portant une file de dalles, puis une plate-forme continue de dalles (S_3) (f_1, f_2).

Sous chaque trottoir passent 3 tuyaux en fonte : deux de 0^m61, un de 0^m30.

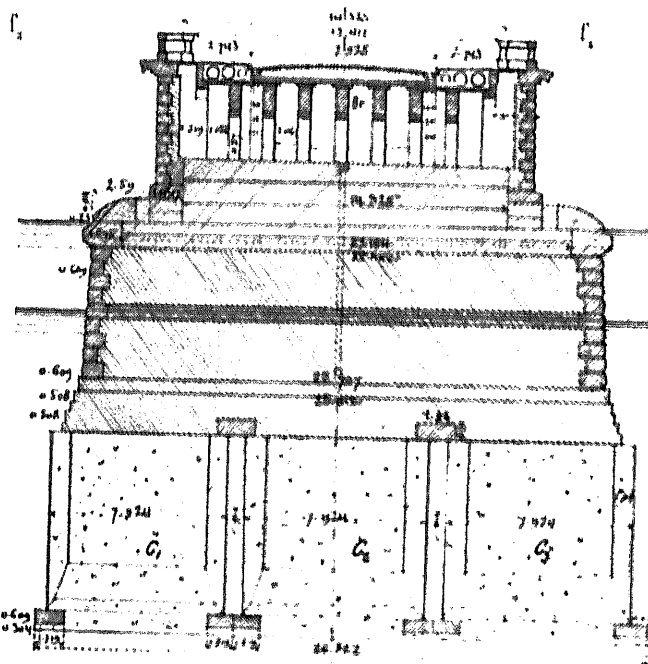
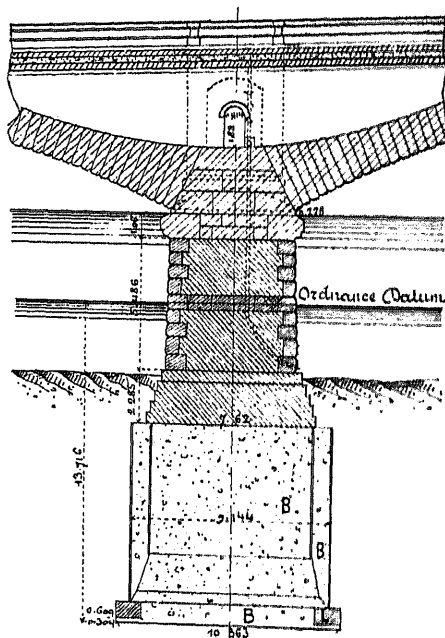
La haute mer noie les piles jusqu'au chaperon (S_3)².

1. — Il relie Fulham (rive gauche) à Putney (rive droite), en amont et près de Londres.

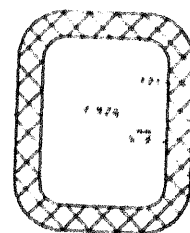
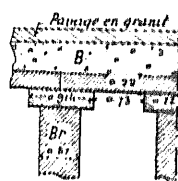
2. — Voir la photographie du pont à marée haute (S_3 , p. 626).

f_1 — Ensemble — 0^{mm}5 f_2 — Arche centrale — 2^{mm}

Coups d'une pile de l'arche centrale — 3^{mm}
 en travers en long

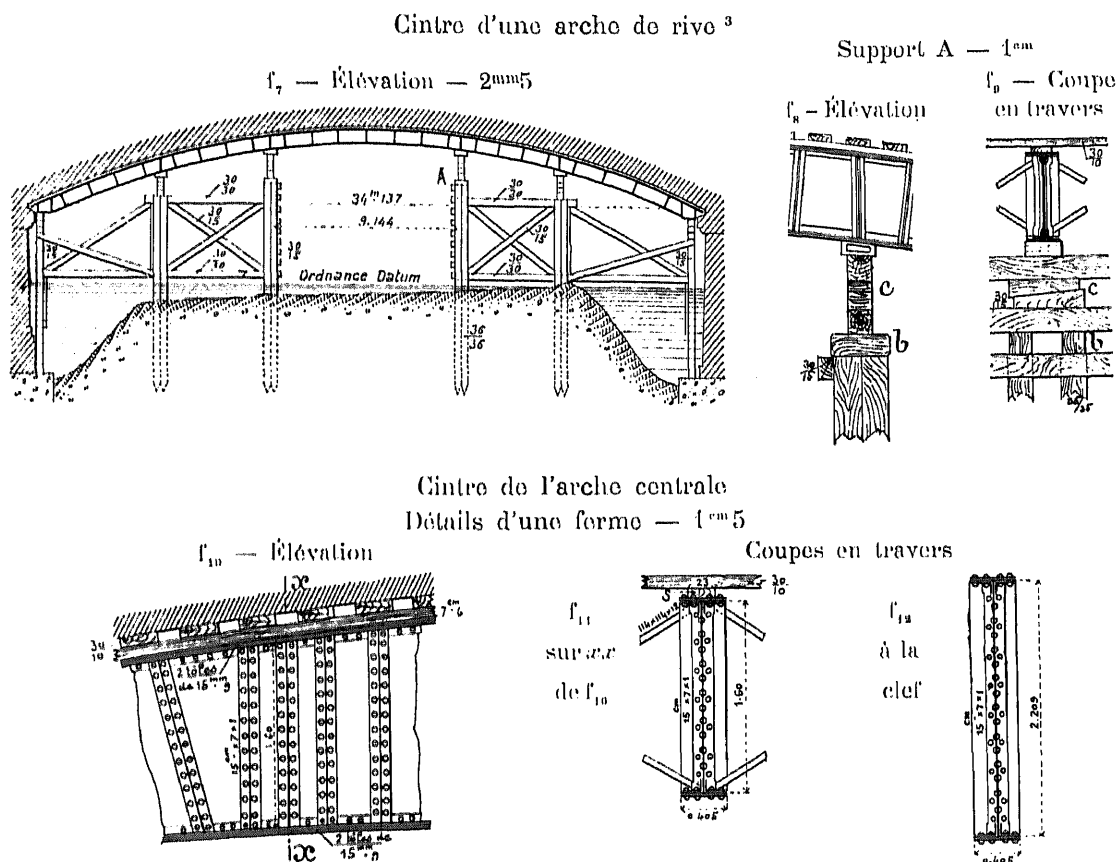


f_5 — Dalles
 sous
 chaussée
 1^{cm}



f_6 — Plan d'un
 pilon central
 3^{mm}

2. Cintres (f_7 à f_{12}). — Les fermes en tôle portent sur pieux de $36^{cm}/36^{cm}$ par des billots b , puis par des coins c (f_8, f_9), qui ont servi à mettre les fermes de niveau, puis à décintrer (S_1, S_2).



Le cintre de l'arche centrale laissait une passe libre de $16^{m}76$ de largeur avec $3^{m}66$ de revanche au-dessus de la haute mer (S_4).

Aux autres arches, la passe avait $9^{m}14$ de largeur, $3^{m}35$ de revanche (S_2).

La semelle supérieure de chaque ferme portait une fourrure en bois s (f_{11}), sur laquelle on cloua un platelage non jointif (f_{10}, f_{11}).

On a chargé lourdement les cintres, pour prévenir leur tassement sous le poids des voûtes (S_3).

3. Fondations. — A. — Piles. — Les piles et culées sont fondées dans l'argile dure⁴ (S_4). Chaque pile (f_1) repose sur trois caissons rectangulaires en fer C_1, C_2, C_3 , à deux parois, dont l'intervalle a été rempli de béton au fur et à mesure de la descente (S_1).

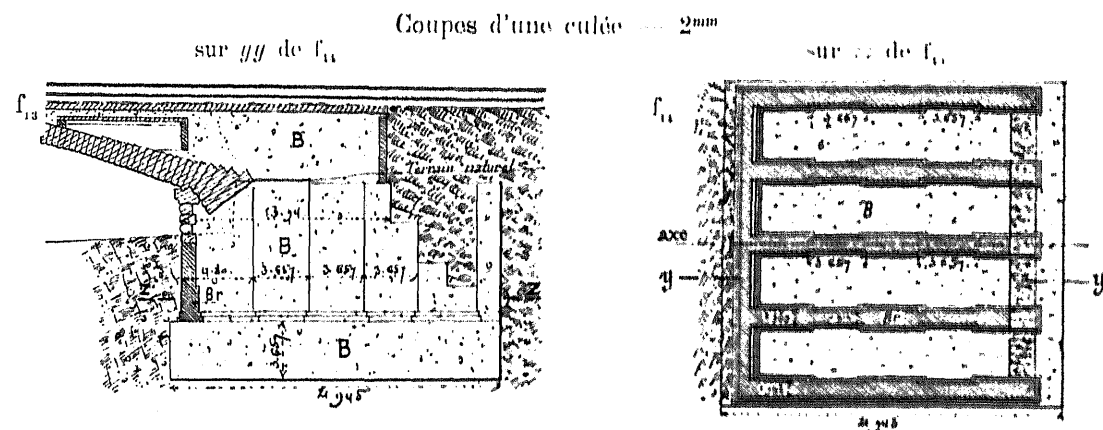
3. — S_1 ne donne pas le dessin d'ensemble du cintre de l'arche centrale, seulement celui d'une arche de rive, mais spécifie qu'ils sont, pour les 5 arches, du même type.

4. — «Stiff clay».

On descendit ces caissons dans l'argile, en les guidant par des files de pieux. On débaya à l'intérieur, puis, sur 0^m91 de profondeur au-dessous des couteaux et 0^m61 de largeur en dehors. Au fond, on étala d'abord une couche de béton de 0^m30, et, sur ce béton et sous les couteaux, une file de libages de 0^m61 d'épaisseur (S_2).

On remplit ensuite de béton l'intérieur des caissons, par couches de 0^m30 (S_1), et on recouvrit l'intervalle de 0^m91 qui les sépare, de dalles de 1^m83 \times 0^m91 \times 0^m91 (S_3).

B. - Culées. — Les culées sont fondées dans des batardeaux à deux enceintes de pieux et palplanches (S_4).



Leurs murs sont en briques avec parements en granit ; le noyau est en béton dans des cloisons de briques (S_1 , S_4). Tout est à mortier de ciment (S_4).

4. Exécution des voûtes. — Les voussoirs avaient au moins 1^m22 de longueur suivant les génératrices de douelle, avec découpe de 46^{mm} (S_1) ; on les posait sur deux bandes de plomb de 5^{mm} d'épaisseur et 5^{mm} de largeur, disposées suivant toute la hauteur du joint, à 15^{mm} des arêtes (S_1).

Lorsqu'une assise était posée, on remplissait les joints de mortier de ciment de Portland (S_1).

5. Personnel.

Ingénieurs { *Projet* : Sir J. W. Bazalgette,
 Exécution : M. Edw. Bazalgette (S_1).
 Entrepreneur : M. John Waddell, d'Edimbourg.

SOURCES :

S_1 . — *Engineering*, 23 juillet 1886, p. 85 et 86, « *Bridge over the Thames at Putney : « Details of centering ».*

S_2 . — *Engineering*, 17 mai 1895, p. 624 à 626 : « *Thames Bridges Putney Road « Bridge ».*

Ce qui n'est pas spécifié S_2 est de S_1 .

S_3 . — Ce que j'ai vu — juin 1903.

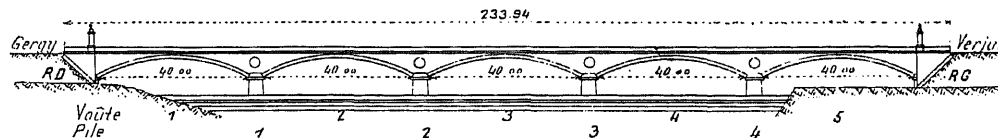
PONT BOUCICAUT¹ SUR LA SAÔNE, A VERJUX² (SAÔNE-ET-LOIRE)

Chemin d'intérêt commun

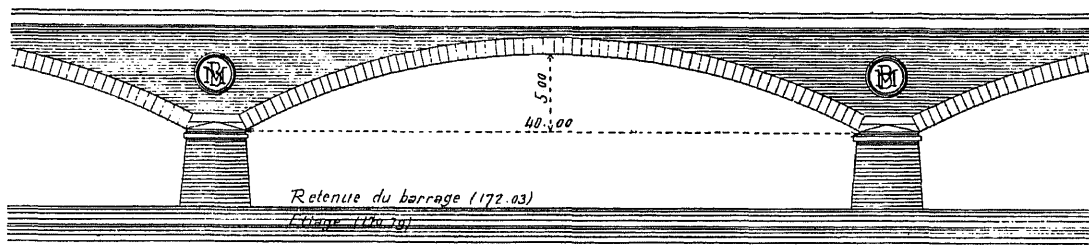
1888-1890

$A^{\text{n}} r^{\text{le}} \geq 40^{\text{m}} 2$

f_1 — Ensemble, aval — 0^m5



f_2 — Une arche — 2^mm



1. Tracé de l'intrados. — L'intrados est défini par l'équation :

$$y = \frac{b}{2r} \left[\omega^{\frac{r}{a}} + \omega^{-\frac{r}{a}} - 2 \right]^3$$

dans laquelle

$$a \text{ (1/2 portée)} = 20^{\text{m}}$$

$$b \text{ (montée)} = 5^{\text{m}}$$

$$r = 2,484138^4$$

$$\omega = 6,821685^4$$

On vérifie que l'intrados peut s'écrire ainsi :

$$y = 1,006486 \left[e^{\frac{r}{10,41608}} + e^{-\frac{r}{10,41608}} - 2 \right]$$

1. — Construit aux frais de M^{me} Marguerite Boucicaut, propriétaire des Magasins du Bon Marché, née à Verjux.

2. — entre Gergy et Verjux, à 16^{km} en amont de Chalon-sur-Saône.

3. — C'est une projection de chaînette.

Soient en effet :

$$\omega^{\frac{r}{a}} = e^{\frac{r}{m}} \quad \text{et} \quad \frac{b}{2r} = K \times \frac{m}{2}$$

L'équation devient :

$$y = K \frac{m}{2} \left[e^{\frac{r}{m}} + e^{-\frac{r}{m}} - 2 \right] = KY'$$

Y' étant une chaînette de paramètre m .

Gauthey a profilé en chaînette le cerveau des voûtes, ou au moins de l'une des 5 voûtes du pont de Navilly sur le Doubs (1782-1790).

Cet emploi de la chaînette, ensuite abandonné et perdu, a été retrouvé et repris un siècle après, à 18^{km} environ de Navilly, par un arrière-successeur de Gauthey. (Annales des Ponts et Chaussées, 1904, 3^e trimestre : M. de Dartin : « La vie et les travaux d'Emiland Gauthey », p. 115 et 116).

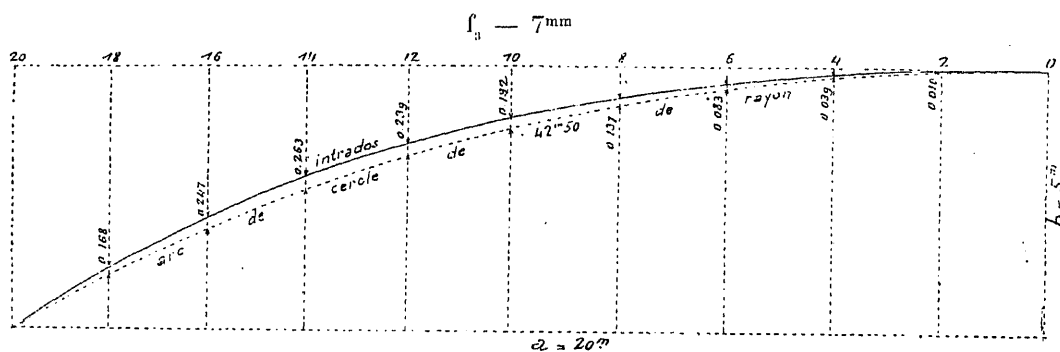
4. — On trouvera plus loin, dans ce Tome III, Livre II, comment ont été déterminés r et ω .

La chaînette proprement dite, — courbe d'un fil pesant, — de mêmes termes en e est :

$$Y = \frac{10,41608}{2} \left[e^{\frac{x}{10,41608}} + e^{-\frac{x}{10,41608}} - 2 \right]$$

Ses ordonnées sont contractées dans le rapport $\frac{5,20804}{1,006486}$.

2. Renflement de l'intrados par rapport à l'arc de cercle de même portée et même montée.



Abscisses comptées à partir du sommet de l'arc.....	2 ^m	4 ^m	6 ^m	8 ^m	10 ^m	12 ^m	14 ^m	16 ^m	18 ^m	20 ^m
Ordonnées de l'arc de cercle de même portée et même montée.....	0,047	0,189	0,420	0,760	1,193	1,729	2,372	3,127	4,000	5,000
Ordonnées de l'intrados.....	0,037	0,150	0,343	0,623	1,001	1,490	2,109	2,880	3,832	5,000
Différences (renflement).....	0,010	0,039	0,083	0,137	0,192	0,239	0,263	0,247	0,168	0,000

L'écart maximum est de 0^m263 à 14^m de la clef (70/100 de la demi-portée).

L'arc de cercle a 42^m50 de rayon. L'intrados adopté a un rayon de 53^m90 à la clef, de 26^m07 aux naissances : il retombe moins durement sur les piles.

3. Extrados. — « L'arc d'extrados a ses ordonnées, par rapport à l'horizontale tangente au sommet, proportionnelles à celles de l'arc d'intrados, et dans le rapport (S_1) :

$$\frac{y'}{y} = 0,919668$$

4. Pourquoi on a adopté des voûtes en projection de chaînette.

— M. Tourtay⁵ les justifie ainsi⁶ :

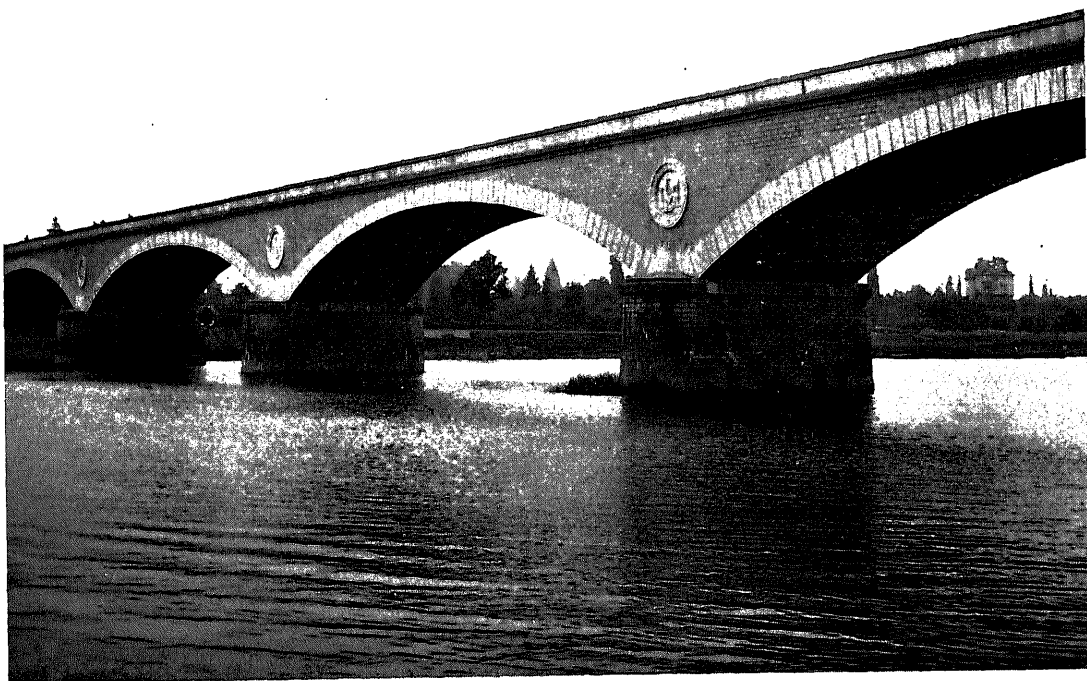
« 1^o On peut y tracer une courbe de pression qui passe à très peu près par les milieux de tous les joints.....

5. — La méthode de M. Tourtay est exposée plus loin dans ce Tome III, Livre II.

6. — Exposition, Paris, 1900. — Notices, Travaux Publics, p. 27 et 28.

« 2° Cette courbe de pression moyenne ne sera pas, en général, réalisée avec les
« procédés habituels de clavage et de décintrement; mais les autres courbes de pression
« qu'on peut tracer, par exemple celle qui passe par le tiers supérieur du joint de clef et
« par le tiers inférieur du joint de naissance, restent... dans la région moyenne de
« la voûte. Dans la voûte en arc de cercle, au contraire, la courbe de pression se
« rapproche plus ou moins de l'extrados vers les reins... »

$\Phi_1 (S_0)$

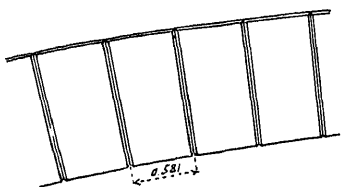


5. Pourquoi on a réduit l'épaisseur de la voûte. — « L'épaisseur
« des voûtes... (1^m05 à la clef, 1^m24 aux naissances) est sensiblement plus faible que
« celle adoptée pour les grandes arches de dimensions comparables... Dans les
« grandes arches surbaissées, on ne réduit pas sensiblement les pressions en
« augmentant l'épaisseur au-delà d'une certaine limite... »

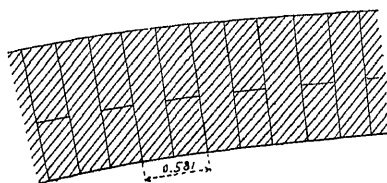
« Ainsi la pression moyenne calculée à la clef, qui est de 19^k 9 par centimètre
« carré avec l'épaisseur de 1^m05 adoptée, serait de 17^k 3 avec une épaisseur de 1^m50
« et de 15^k 8 avec une épaisseur de 2^m ». »

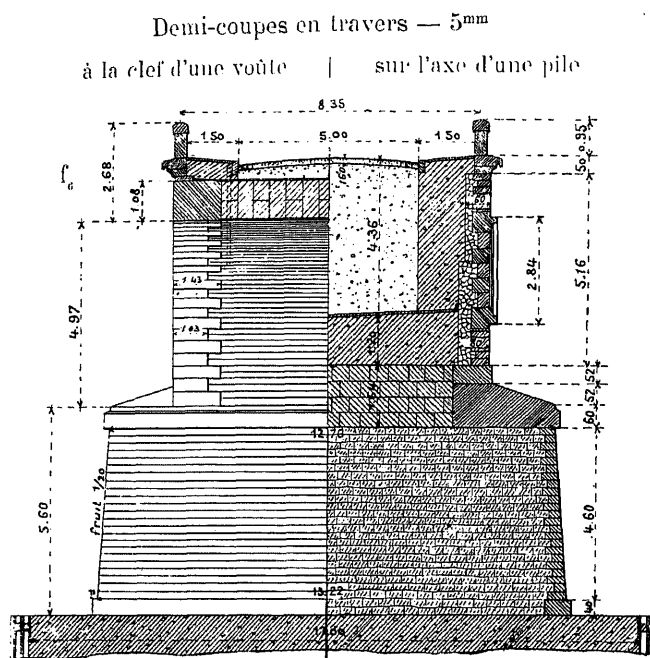
6. Appareil des voûtes.

f_1 — Bandeau



f_2 — Corps





7. Tympan. — Pour une hauteur maxima de plus de 5^m, ils ont seulement 0^m80 à la base, 0^m60 au sommet (f_0). Ils sont doublés par un mur en béton maigre (100^k de chaux hydraulique pour 1^{me} de gravier).

L'intervalle entre les tympanes est rempli de gravier : il n'est pas élégi.

Au projet de M. Tourtay, on a ajouté : dans les tympanes, des médaillons portant le monogramme M. B. — ils sont petits et plats ; — aux extrémités, de maigres obélisques (S_3).

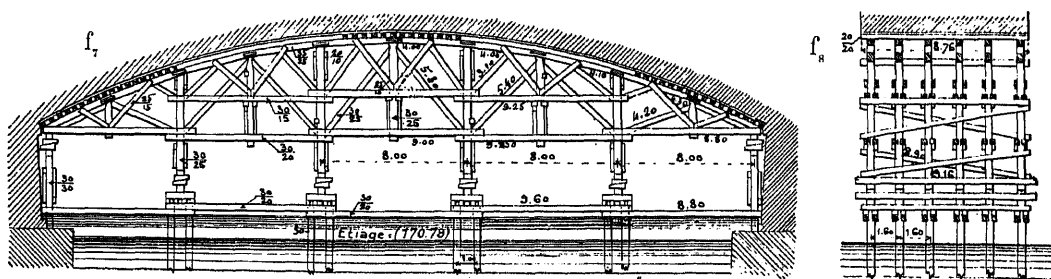
8. Couronnement. — Le parapet en pierre de taille semble un peu lourd.

Comme à d'autres ponts en arcs très surbaissés, on y observe (mai et septembre 1909) des bosses sur les piles, des creux aux clefs des voûtes.

On regrette que ce grand pont n'ait pas un léger dos d'âne.

9. Cintres.

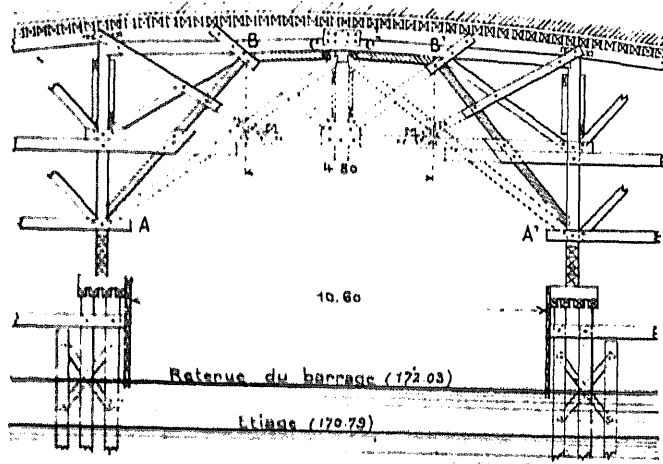
Cintre courant — 2^{mm}5



La voûte extrême rive droite avait un cintre marinier, avec passe de 10^m60 (f_0).

Pour satisfaire le Service de la Navigation, on dut plus tard agrandir cette passe, sous la voûte fermée (S_2).

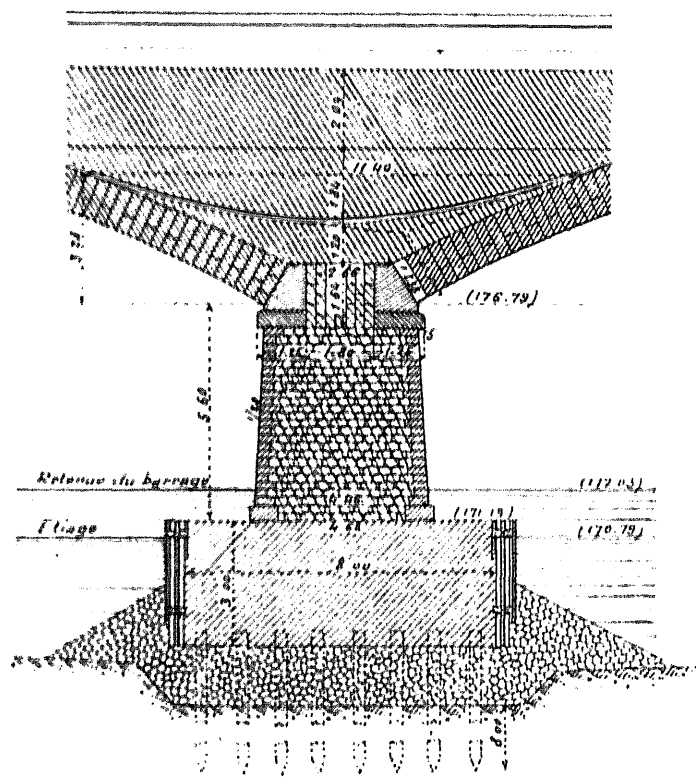
f_n - Cintre marinier. - Agrandissement de la passe - 5^m



mouton à vapeur Lacour de 1200^k, tombant de 1^m en moyenne, c'est-à-dire avec mouton lourd et petite chute ⁷.

On arrêtait le battage, soit quand la fiche sous le fond dragué atteignait

f_m - Coupe en long d'une pile - 5^m



Au dessin f_n , on a indiqué par des lignes ponctuées les pièces supprimées, par des hachures les pièces ajoutées AB, A'B', qu'on a serrées par les coins cc'.

Cette opération n'a provoqué aucun tassement (S_s).

La voûte tassa plus tard de 44^{mm} au décintrement.

10. Fondations. - A. Piles.

A l'emplacement de chaque massif, on a dragué, puis battu 136 pieux en sapin de 0^m35, au

8^m, soit quand le refus était de 4^{mm} seulement par volée de 10 coups avec 1^m de chute.

On a ensuite immergé entre les pieux des enrochements (f_m) sur une hauteur de 2^m à la pile 1, 1^m50 à la pile 2, 1^m à la pile 3. Il n'y en a pas sous la pile 4.

Les pieux furent recépés à 0^m50 au-dessus des enrochements ; puis on échoua sur eux un caisson sans fond de 17^m de long, 8^m de large, 4^m20 de hauteur, dont le bordage était calfaté à sa partie supérieure sur 0^m60.

Dedans, on immergea du béton par couches d'au moins 40^{cm}, au moyen d'un tube en planches à débit continu ⁸, de 0^m40 de côté.

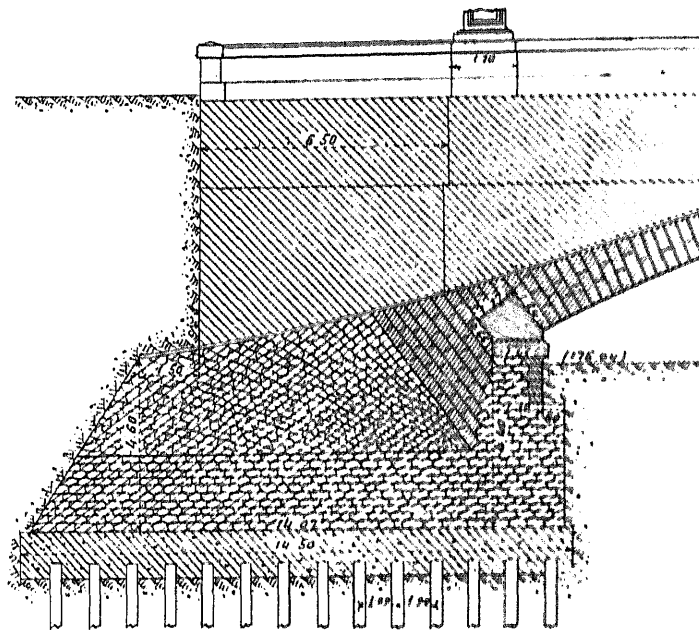
⁷ Sur 1179 pieux, on n'en a cassé que 2. Dans un battage d'essai, on en avait cassé 3 sur 7 avec un mouton de 600^k tombant de 5^m20.

⁸ - Annales des Ponts et Chaussées, 1885, I, p. 776 à 780 : « Note sur un procédé simple pour couler le béton sous l'eau », M. H. Heude, Ingénieur des Ponts et Chaussées.

On coula à chaque pile 400^m de béton (70^m à 80^m par jour).

B. Culées.

f_{11} — Coupe en long d'une culée 5^mm



11. Exécution des voûtes. — Elles ont été construites à pleine épaisseur en 6 tronçons menés de front : aux naissances, sur coffrages ; plus haut, sur taquets au sommet des poteaux du cintre.

On clava à partir de la clef.

Au moment où on allait claver la voûte 2 (f_1), les têtes des palées supportant le cintre, qui n'avaient peut-être pas été battues bien verticalement, se déplacèrent dans le sens longitudinal, de la pile 1 vers la pile 2, sous les fermes qui, au-dessus des coins, n'avaient pas bougé. Le déplacement atteignit 11^m à la ferme aval.

On étré sillonna les palées entre elles et sur les piles.

Au cintre de la voûte 4, l'ensemble des pieux commençant à se déplacer transversalement, on battit, à quelques mètres de chaque palée en mouvement, un pieu vers la base duquel on appuya une contrefiche coincée à la partie supérieure de la palée.

12. Décintrement. — On dégagait, au moyen de deux vérins, chaque paire de coins en chêne supportant les montants verticaux ; 1 6^e tour de vérin produisait un abaissement de 2^mm (48 vérins par voûte).

A. Voûte 1 (sur cintre marinier). — Pour satisfaire le Service de la Navigation, alors que les voûtes 1 et 2 étaient seules chargées, les 3 autres étant fermées

sur cintre, mais non chargées, on décintra la voûte 1. Elle n'était pas assez contre-butée et tassa de 44^{mm}, « *abaissement... anormal* » (S₁).

Quelques voussoirs de tête, aux naissances, furent légèrement épaufrés à l'intrados.

B. Voûtes 2 à 5. — « *Les 4 autres voûtes ont été décintrées ultérieurement ensemble... le pont... complètement chargé jusqu'au niveau de l'extrados...* »

« *On a d'abord desserré les coins aux voûtes nos 2, 3, 4 et 5, en y portant successivement les verrins; on a alors décintré la voûte n° 5 complètement, au moyen des verrins. Pour les autres voûtes nos 2, 3 et 4, les coins étaient suffisamment desserrés pour qu'on pût, en les frappant à petits coups sans attendre qu'ils se resserrassent, mener simultanément ou à très peu près, le décintrément des trois voûtes (S₁).* »

13. Mouvements observés.

		Voûtes N ^{os}					Cintre R 0
		Piles N ^{os}	1	2	3	4	
Date du dernier clavage.....			19 oct. 1889	10 nov. 1889	2 déc. 1889	30 mars 1890	
Nombre de jours sur cintre.....			229	207	185	67	
Tassements en tota ^x		totaux (des clefs des voûtes)	10				
	au décintrément (5 juin 1890)	T ₀	13 ^{mm}	18 ^{mm}	11 ^{mm}	14 ^{mm}	
	Tympanes montés au niveau des extrados.	partiels { Piles seules : t _p ...	5	5	5	5	0
		Voûtes seules : t _v T ₀ $\frac{t_p^n + t_{p+1}^n}{2}$	8	13	6	11	
	augmentation de tasse- ment, du décintré- ment (5 juin 1890), au 11 octobre 1890.	totaux (des clefs des voûtes) ΔT.....	20	22	20	31	
	Ouvrage livré à la circulation le 21 août 1890.	partiels { Piles seules : Δt _p ...	5	5	3	4	0
		Voûtes seules : Δt _v ΔT ₀ $\frac{\Delta t_p^n + \Delta t_{p+1}^n}{2}$	15	18	16	29	
		totaux (des clefs des voûtes) T = T ₀ + ΔT.....	33	40	31	45	
	le 11 octobre 1890.	partiels { Piles seules : t _p t _p + Δt _p	10	10	8	9	0
		Voûtes seules : t _v t _v + Δt _v T ₀ $\frac{t_p^n + t_{p+1}^n}{2}$	23	31	22	40	

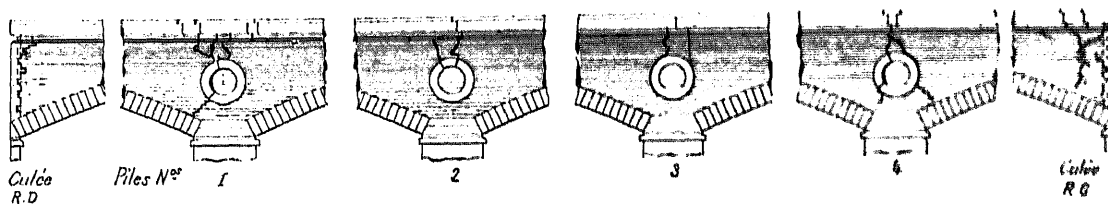
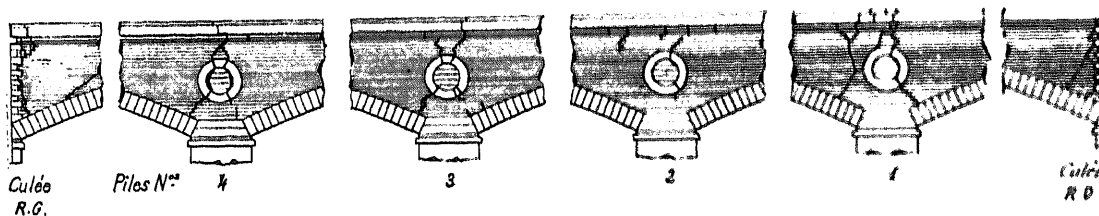
10. — S₁. Note additionnelle, p. 477, 478. — Dans sa note : « *Détermination des pressions réelles dans les voûtes surbaissées en forme de chaînette* » (Annales des Ponts et Chaussées, 1888. — I, p. 565 à 636), M. Fourlay trouvait un tassement de 16^{mm} ou 27^{mm} avec un coefficient d'élasticité de 1×10^{11} ou $0,6 \times 10^{11}$.

10. — Les chiffres gras sont les tassements mesurés.

A partir du 11 octobre 1890, les voûtes tassèrent encore de 6 à 8^{mm}, probablement sous l'influence de la température. Le 13 mai 1891, elles étaient revenues à la position du 11 octobre 1890 ¹¹.

En mai 1909, on observait dans les tympans, au droit des piles, de minces fissures ¹² (f_{12} , f_{13}) comme dans presque tous les ponts en arc très surbaissés.

Fissures dans les tympans

 f_{13} — Tête aval — 2^{mm} f_{12} — Tête amont — 2^{mm}

Aucune de ces fentes ne se continue dans les voûtes.

Voici les mouvements au-dessus des clefs et des appuis, entre le 28 mai et le 14 décembre 1909 ¹² : (abaissements ↓, relèvements ↑)

		f_{12}									
		RD.									
		Voûte N°									
		Pile N°									
			1	2	2	3	3	4	4	5	
Mouvements en m.m.	amont ↑	12	1/2	0	18	13	11	11	11	12	12
	aval ↓	13	17	12	13	11	19	0	13	14	12

44. Personnel.

Ingénieurs :

Projet : M. Tourtay, Ingénieur des Ponts et Chaussées ;

Exécution : M. Jozon, Ingénieur en chef ;

M. Tourtay, Ingénieur ordinaire.

Entrepreneur : M. Bruno.

11. — S₁. Note additionnelle, p. 477.

12. — Observations de M. Bouteloup, Ingénieur des Ponts et Chaussées, à Chalon-sur-Saône.

SOURCES :

S_1 . — Annales des Ponts et Chaussées, octobre 1892, p. 445 à 497, Pl. 29 : « *Notice sur la construction du Pont Bougicaut* », M. Tourtay.

S_2 . — Renseignements qu'a bien voulu me communiquer M. Tourtay.

S_3 . — Ce que j'ai vu — mai 1909.

Tout ce qui n'est pas spécifié d'une autre source est de S_1 .

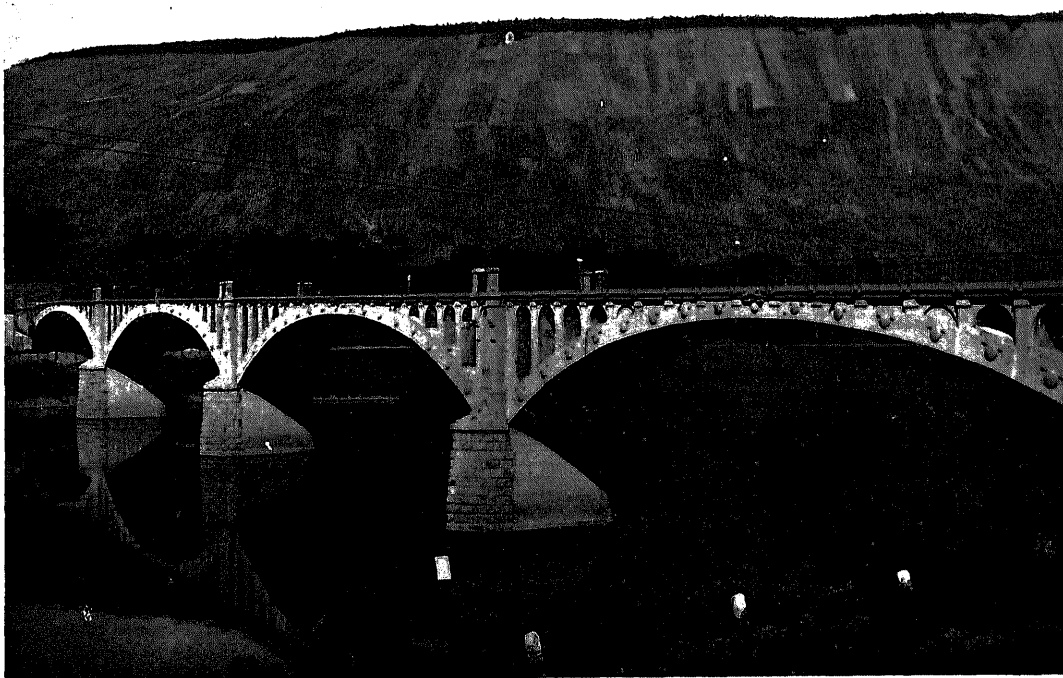
PONT SUR LA MOSELLE, A MEHRING (ALLEMAGNE, - Prusse-Rhénane)

Route du village à la station¹

1903-1904

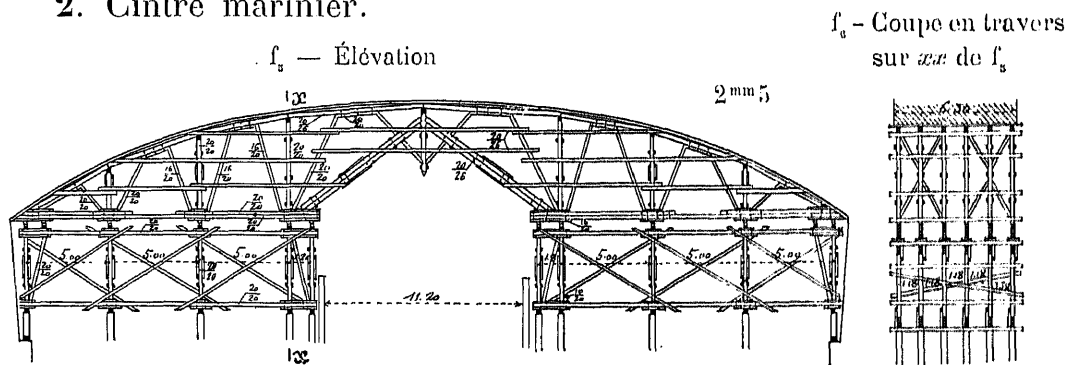
$\bar{A}^n r^{1e} (\geq 40^m)^3$

Φ_1 — amont (S_2)

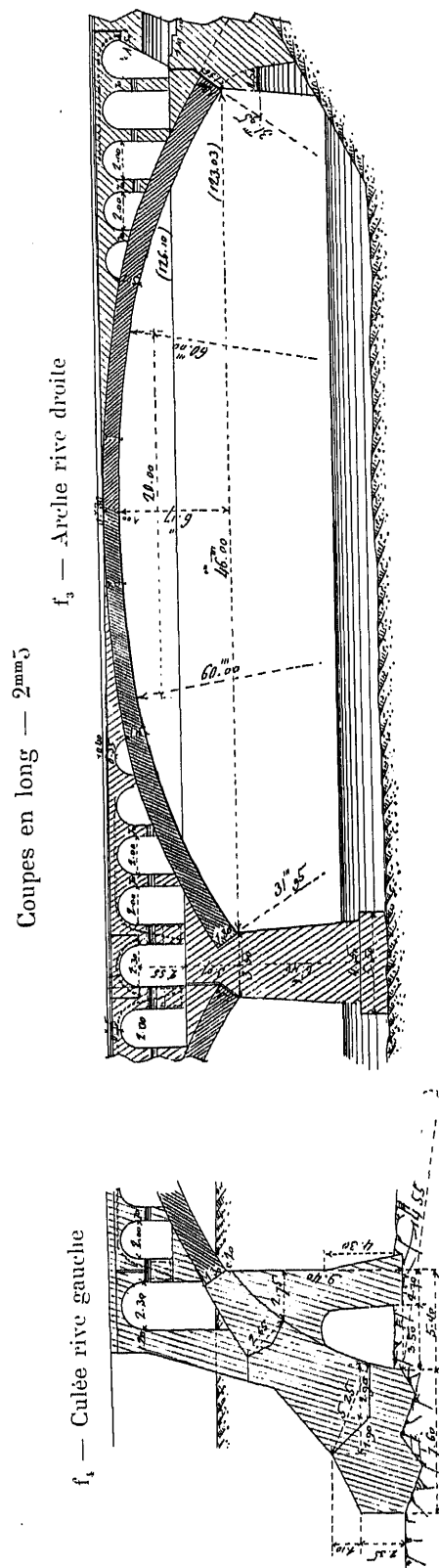
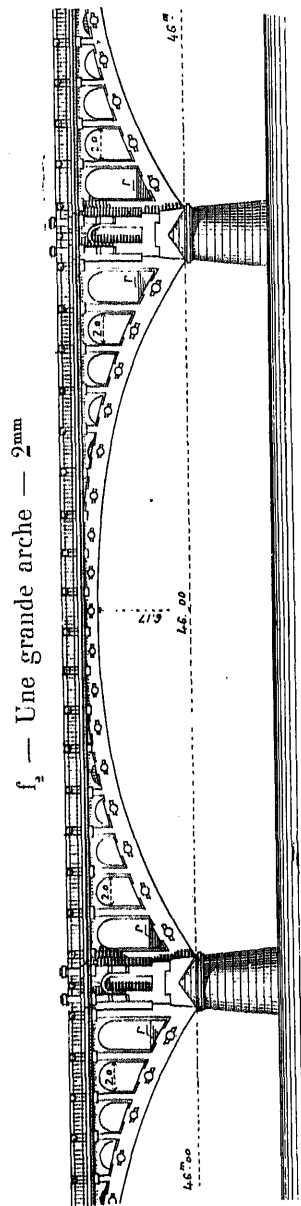
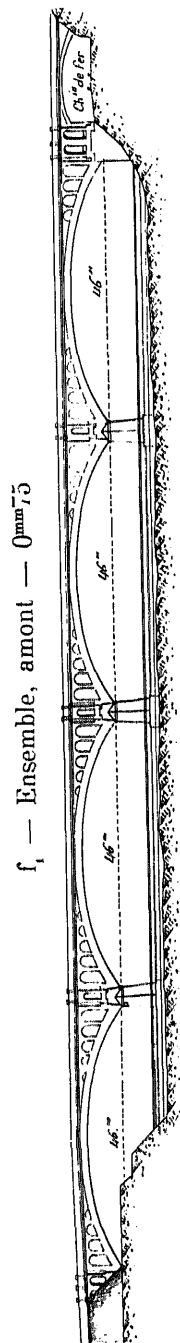


1. Matériaux. — Sauf les parements des avant-becs, qui sont en granit, tout est en béton, même les trottoirs et leurs bordures.
Sur les arrière-becs, on a dessiné des assises.
Pour l'aspect, on peut critiquer les dièdres de béton des retombées (r de f_4).

2. Cintre marinier.



1. — Chemin de fer d'intérêt local de Trèves à Bullay (Moseltalbahn), à 17⁴ de Trèves. — Le pont est à 100^m en amont de la station.



3. Dates.

Commencement des travaux.....	1 ^{er} novembre 1903	
Achèvement des piles.....	1 ^{er} juillet 1904	
Grandes voûtes (de la rive droite à la rive gauche) }	1 ^{er} -6	} août 1904
	7 - 12	
	18 - 23	
	13 - 20	
Décintrement.....	8 octobre 1904	
Ouverture à la circulation.....	1 ^{er} janvier 1905	

4. Personnel. — *Projet et Entreprise* : MM. B. Liebold et C^{ie}, d'Holzminden.

Direction des Travaux : M. Treplin, « Baurat » à Trèves.

SOURCES :

S₁. — Dessins d'exécution (S') et renseignements (S''), gracieusement communiqués par M. B. Liebold, en octobre 1910.

S₂. — Ce que j'ai vu — septembre 1910.

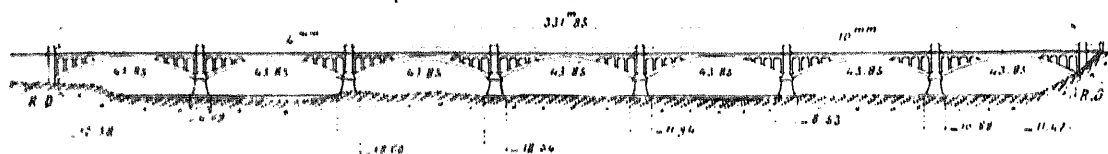
PONT SUR LA LOIRE, A ORLÉANS ¹ (LOIRET)

Route nationale n° 152 de Briare à Angers

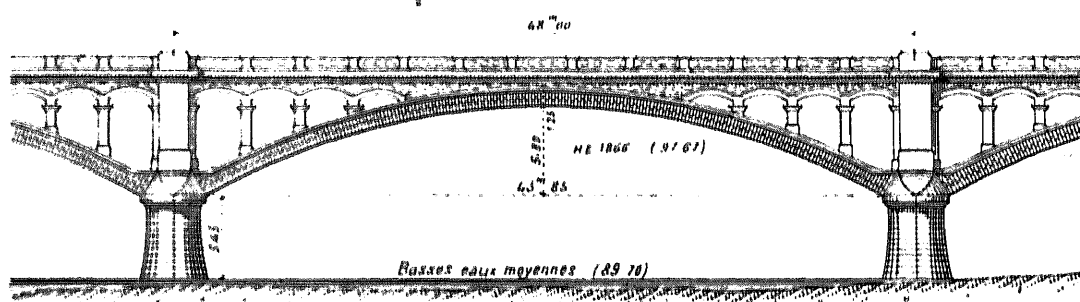
1904-1906

$\bar{A}^n \Gamma^{10} (> 40m)^4$

f_1 — Ensemble, aval — 0mm4



f_2 — Une arche — 2mm



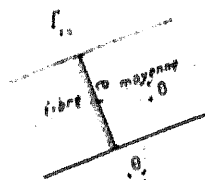
1. Déclivités. — A partir du milieu du pont, la chaussée est en pente de 10mm vers la première voûte rive gauche, de 4mm vers la culée rive droite; ces deux pentes sont raccordées par une parabole de 48m de corde (S_1 , S_2).

Les 7 arches ont la même portée et la même montée (S_1).

Les naissances de deux arches voisines sont à des niveaux différents : les piles ont des hauteurs inégales (S_2).

2. Intrados. — Par rapport à l'arc de cercle de même portée et de même montée, l'intrados est cambré suivant une projection de chaînette ², comme l'indique ce tableau (S_3) :

Abcisses à partir du sommet.....	11m 836	13m 803	15m 766	17m 726	19m 682
Ordonnées y de l'arc de cercle.....	1,000	2,203	2,808	3,607	4,608
Ordonnées z de l'intrados.....	1,505	2,082	2,771	3,582	4,527
Différences.....	0m 101	0m 121	0m 127	0m 115	0m 081



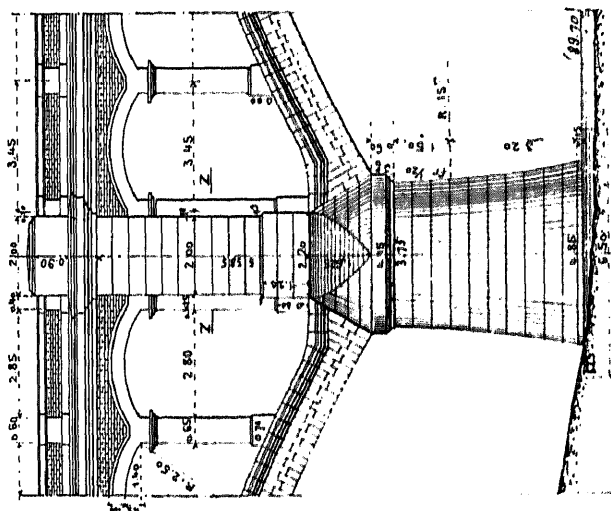
3. Épaisseur de la voûte. — L'épaisseur e de la voûte au point où la fibre moyenne est inclinée de θ sur l'horizon (f_3) est $\frac{e_0}{\cos. \theta}$.

La pression moyenne par unité est ainsi à peu près constante dans la voûte ³.

1. — au droit du Boulevard des Princes.
2. — appelée « chaînette » par l'auteur du projet (Annales des Ponts et Chaussées, - 1900, - 4^e trimestre - « Mémoire sur le tracé et le calcul des routes en maçonnerie », M. Legay).
3. — Voir plus loin, Tome III, Livre II.

Technical drawing of a pile foundation for a bridge pier. The drawing shows a cross-section of the pier and its supporting piles. The pier has a trapezoidal shape with a top width of 12.50m and a bottom width of 6.85m. The height of the pier is 15.00m. The piles are driven into the ground, with a depth of 4.80m. The drawing includes various dimensions and labels, such as 'pile 5m' and '1.25'.

t. — Élévation

[illegible]

grande:
voulés
3^m

des
voûtes
d'évide-
ment
5^m

I₄ - Couronnement - 3^{cm}

f. - Coup horizontal - urzder

4. Piles. — Comme au pont de Charrey ¹, les becs sont en ogives persanes, et les retombées des voûtes s'appuient sur le couronnement, qui est en saillie de 0^m20 (f_m).

Par suite, l'ouverture réelle de chaque arche est : $43^m85 + 2 \times 0^m20 = 44^m25^s$.

L'épaisseur des piles se réduit à : $4^m15 - 2 \times 0^m20 = 3^m75$ (f_p).

Les chaperons sont imités du pont de Homps sur l'Aude (1781-1788) ⁶ (S_3).

ϕ_1 aval (S''_3)



5. Tympan. Couronnement. Aspect. — La corniche est empruntée aux pilastres du pont de Navilly sur le Doubs (1782-1790) ⁷ (S_4).

Les tympan sont en briques ; elles y font bon effet.

Sur ce pont léger, le parapet plein, avec ses dés en pierre de taille, paraît un peu lourd.

1. — Annales des Ponts et Chaussées, 1893, 2^e semestre, p. 737 et suivantes : « Notice sur le grand pont en maçonnerie construit sur la Saône à Charrey », M. Moequery, Ingénieur en chef des Ponts et Chaussées (5 arcs de 30^m au 1/8^e).

5. — Aux culées, le couronnement n'est pas en saillie : l'ouverture des arches de rive est $43^m85 + 0^m20 = 44^m05$.

6. — M. de Dartem, Etudes sur les Ponts en pierre remarquables par leur décoration, Ponts français du XVIII^e siècle, volume III — Languedoc, Paris, Béranger, 1908, p. 173 à 184, Pl. 41 à 44, « Le Pont de Homps sur l'Aude ».

7. — Id., — vol. IV, — Bourgogne, p. 173 à 189, Pl. 23 à 30, « Le Pont de Navilly sur le Doubs ».

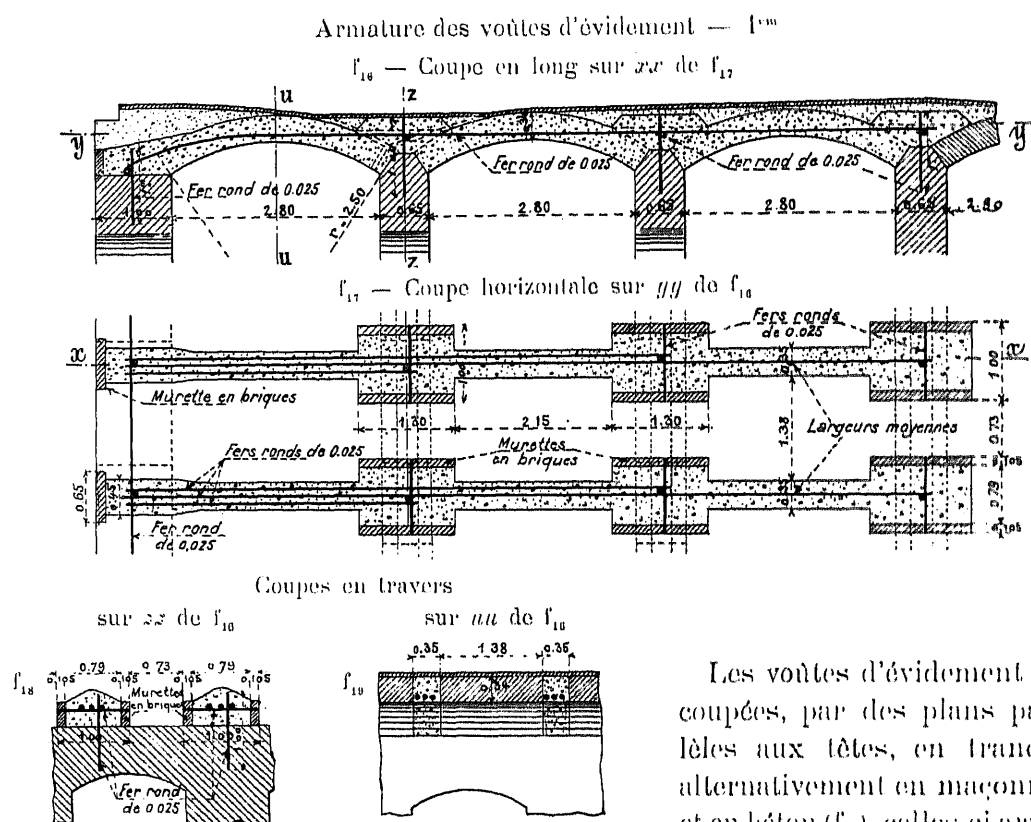
Il y a, à 660^m en amont, un fort beau pont du XVIII^e siècle⁸, vigoureux, robuste, solide.

Très sagement, on a traité le nouveau de façon tout opposée : ce pont léger, presque trop, à lignes fines, presque menues, fait un heureux contraste avec la lourde masse du vieux pont.

6. Dispositions pour permettre, sans fissures, les mouvements des tympans dus aux variations de température. — En s'abaissant par le froid, les grandes voûtes entraînent avec elles leurs tympans, d'où fissure inévitable au-dessus de la pile, point fixe.

Il fallait donc l'accepter, la cacher, et, en même temps, contre-buter la poussée de la dernière voûte d'évidement.

Voici le très judicieux dispositif adopté (S_1) :



Les voûtes d'évidement sont coupées, par des plans parallèles aux têtes, en tranches, alternativement en maçonnerie et en béton (f_{16}), celles-ci armées

de fers longitudinaux qui absorbent la poussée de la dernière voûte (f_{16} à f_{19}).

Entre la demi-pile du viaduc d'évidement et le pilastre, est ménagé, jusqu'au parapet, un vide masqué en élévation par le pilastre qui, lui, est fixe comme la pile (f_0).

C'est le premier grand ouvrage français en maçonnerie où l'on ait assuré le jeu de la dilatation.

8. — 1751-1760. — 9 arches en anse de panier à 3 centres. Arche centrale de 100 pieds (32^m18) d'ouverture, 28 pieds (9^m10) de montée ; arches de rive de 92 pieds (29^m80) d'ouverture, 25 pieds (8^m12) de montée. — Largeur entre têtes : 46 pieds (14^m94). — Longueur entre culées : 166 toises, 4 pieds (324^m84). — Projet de Hupeau, adjugé le 29 mars 1751. — On a mis 4 ans à le fonder, 4 ans à faire les voûtes, 2 ans à l'achever. — Livré au public fin 1760. — Fondé, après épuisements dans des batardeaux, sur pilotis et grillage. Les fondations ont été fort difficiles. — On en lira la description avec intérêt et profit.

Perronet, *Description des Projets et de la Construction des Ponts de Neuilly, de Mantes, d'Orléans et autres*, . . . Tome second, Paris, Imprimerie Royale, MDCCCLXXXIII, « Pont d'Orléans », p. 1 à 24, Pl. XXXI à XXXIX.

7. Pressions par $\overline{0^m01^2}$ (S').

A. - Dans les voûtes :

		à l'intrados	sur la fibre moyenne	à l'extrados
Sous la charge permanente seule.....	Clef.....	11 ^k 04	18 ^k 90	26 ^k 76
	Retombées.	33 ^k 92	18 ^k 90	3 ^k 88
Sous une surcharge de 500 ^k /mq, couvrant	toute la voûte.....	Clef.....	20 ^k 53	29 ^k 07
		Retombées.	20 ^k 53	4 ^k 21
	les 4/5 de la 1/2 portée	Clef.....	19 ^k 71	29 ^k 62
	à partir de l'appui (Position la plus défavorable)	Retombées ⁰	19 ^k 57	- 0 ^k 32 tension

B. - Dans la 2^e pile rive droite (où les fondations sont les plus profondes).

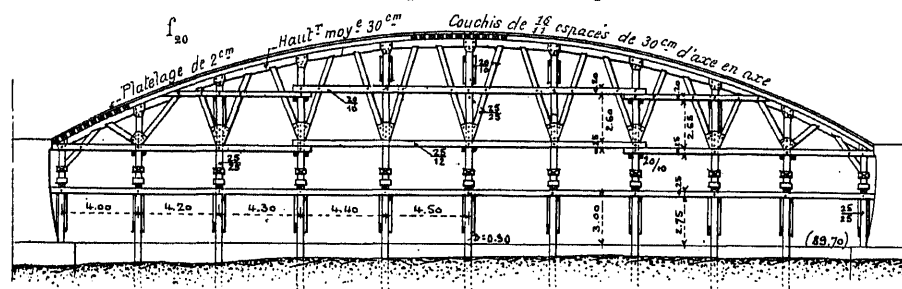
	sous le couronnement	à la base de la pile	sur le sol de fondation Pression calculée sur 1 ^m de largeur	toute la largeur
Sous la charge permanente.....	8 ^k 87	7 ^k 96	10 ^k 44	9 ^k 01
Sous une surcharge de 500 ^k /mq couvrant les 2 demi-voûtes	9 ^k 51	8 ^k 48	10 ^k 83	9 ^k 40

C. - Sur le sol de fondation, sous la culée rive gauche (sans tenir compte de la poussée des terres).

	moyenne	maxima
Sous une surcharge de 411 ^k /mq couvrant la voûte rive gauche.....	8 ^k 64	17 ^k 28

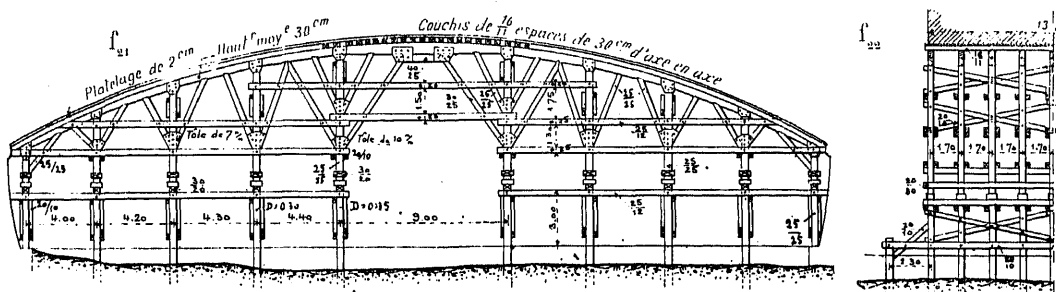
8. Cintres. — Pour les 5 arches à partir de la rive gauche, on adopta le type des cintres du pont de Tolbiac à Paris (1879-1882) ¹⁰ (S₂).

Cintre des 5 arches à partir de la rive gauche — 2^m5



Sous les cintres des deux voûtes extrêmes de rive droite, on ménagea une passe libre de 9^m, pour faciliter le passage des glaçons (S₂).

Cintres des deux arches de rive droite — 2^m5



9. — Avec l'épaisseur à la clef portée de 1^m25 à 1^m40, ces trois efforts étaient : 38^k08, 18^k33, -1^k32. On diminuait donc très peu la compression, et il y avait plus de tension. — Avec l'épaisseur réduite à 1^m10, les trois efforts étaient : 41^k48, 21^k03, 0^k58. On avait un peu plus de compression et pas de tension. — Il y aurait eu intérêt à réduire l'épaisseur à 1^m10. On a mis 1^m25 « moins par prudence que par des considérations d'esthétique » (S₁).

10. — 5 ellipses de 29^m10, 32^m15, 35^m20.

A la première arche (rive droite), la fiche des pieux varia de $1^{\text{m}}50$ à 3^{m} ; à la deuxième, elle atteignit 10^{m} . Pour les autres, les pieux furent presque tous entés, quelques-uns eurent 3 entures et une fiche de plus de 20^{m} . Pour quelques-uns, on se contenta d'un refus de 5^{mm} (mouton de 700^{k} tombant de $1^{\text{m}}50$ à $1^{\text{m}}80$). Quand on ne l'obtenait pas, on battait à côté un autre pieu (S_2).

9. Fondations (S_2). — De janvier 1904 à janvier 1905, soit en moins d'un an, les 8 caissons furent descendus à l'air comprimé de $4^{\text{m}}69$ à $18^{\text{m}}60$ sous l'étiage, sur marne blanche supportant de 15^{k} à 20^{k} par $0^{\text{m}}01^2$.

Pour atteindre la marne, on avait à traverser des couches calcaires avec veines de tuf ou de silex, et quelques cavernes.

A la culée rive droite, on dut abandonner la descente du caisson, à cause de la déformation de ses parois¹¹. On refoula l'eau à $0^{\text{m}}80$ au-dessous du couteau en forçant la pression, et on battit dans les poches des pieux en sapin de $1^{\text{m}}80$ de hauteur, $0^{\text{m}}15$ de diamètre, espacés de $0^{\text{m}}50$ d'axe en axe; puis on nettoya ces poches, et on les remplit de béton ou de sacs de ciment quand on ne pouvait épuiser.

Le béton étant arasé au niveau de la tête des pieux, on le recouvrit de deux planchers superposés de rails disposés à angle droit, qu'on noya dans du béton de ciment.

10. Exécution des voûtes. — A. Dates. — Le devis prescrivait de construire en même temps les 7 voûtes (S_3).

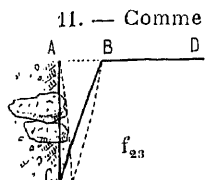
Voici les dates d'exécution (S_3) :

Voûte	1 (rive dr.)	2	3	4	5	6	7 (rive g.)
Commence- ment. . . .	30 oct. 1905	7 nov. 1905	18 sept. 1905	18 juil. 1905	10 nov. 1905	17 sept. 1905	6 mars 1906
Fin.	17 mars 1906	27 mars 1906	5 avril 1906	5 mai 1906	7 mai 1906	17 mai 1906	23 mai 1906

B. Joints secs. — Les voûtes furent exécutées avec toute leur épaisseur¹², (3 moellons en général), en 4 attaques.

On ménagea des joints secs au-dessus de tous les poteaux du cintre.

A l'intrados, les moellons à sec de douelle étaient posés, — non sur les lames de plomb prévues, parce que trop difficiles à enlever, — mais sur de petites cales en chêne de $30^{\text{mm}} \times 25^{\text{mm}}$ de côté, 12^{mm} d'épaisseur, maintenues par des liteaux en sapin de 25^{mm} de hauteur et 8^{mm} d'épaisseur, placés sur le cintre; à l'extrados, ils étaient tenus par des coins en chêne.

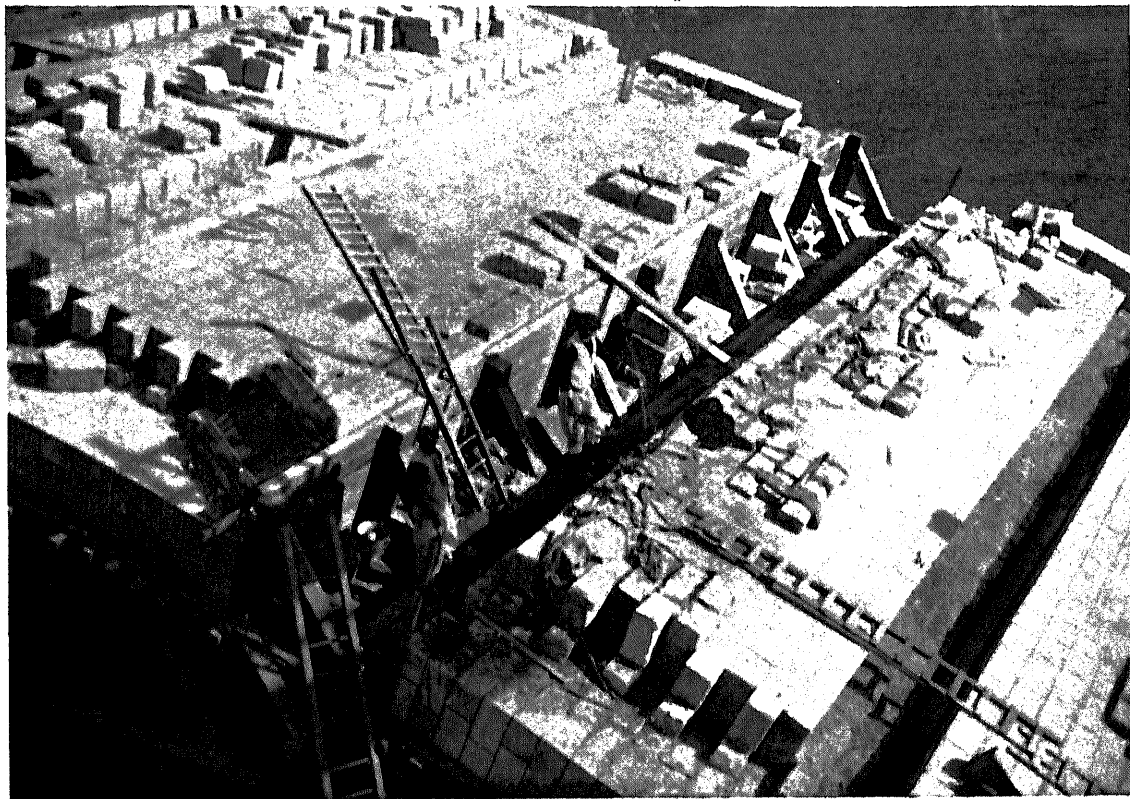


11. — Comme aux ponts Alexandre III, de Passy, . . . la tôle du plafond DB, au lieu de se continuer en BA, était pliée le long de BC. La crinoline ACB était remplie de béton par en haut avant le fonçage. La paroi AC a rencontré de grosses pierres qui l'ont déformée.

12. — On a craint que la construction par rouleaux n'abaissât la courbe de pression, déjà basse dans ces voûtes très tendues (S''_1).

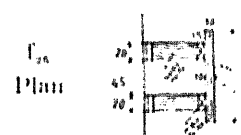
Les tronçons des naissances étaient soutenus à l'extrados par des coffrages, à l'intrados, par 3 moellons dont 2 à sec (f₄₁).

Φ₄ — Exécution d'une voûte (S'₄)

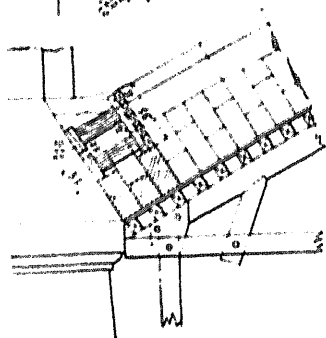


Les tronçons des reins reposaient sur des taquets fixés au-dessus des troisièmes poteaux du cintre à partir des naissances (f₄₆, Φ₇).

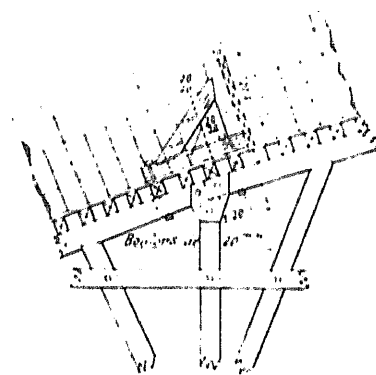
Coffrage f₄₆



f₄₁
Coupe
en long



f₄₆ Taquet f₄₁



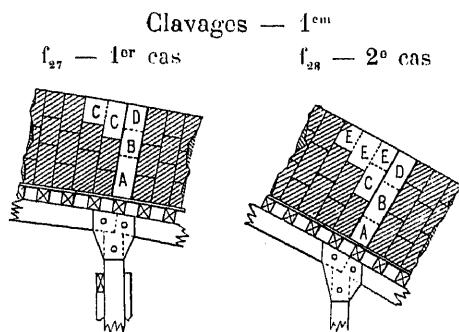
Les joints secs furent remplis de sable aux 5 premières voûtes, — laissés vides aux deux dernières, sauf ceux des naissances : des sacs les garantissaient à l'extrados.

Toutes les assises étaient posées en douelle sur liteaux, pour permettre le rejointoiement.

A la voûte extrême rive droite, une fissure s'ouvrit entre la clef et le premier poteau du cintre, due au fléchissement du vau de la passe.

A la voûte voisine, également sur cintre retroussé, on ménagea là un joint sec.

C. Clavages (S_2). — On clava, à partir de la clef, en matant au refus, par petites épaisseurs, du mortier à 600^k à l'état de sable humide. On termina par les naissances, laissées ouvertes jusqu'au dernier moment.



Dans les deux cas indiqués aux croquis f_{27} , f_{38} , A est posé à sec en exécutant la voûte.

1^{er} Cas (f_{27}). — On pose B, on le mate ; puis on pose C et D. On maçonne C à mortier ; 48 heures après, on mate D.

2^e cas (f_{38}). — On pose B à sec ; on pose C sur mortier ; 48 heures après on mate B. On pose D à sec ; on maçonne E ; 48 heures après, on mate D.

On a clavé de la rive droite à la rive gauche.

D. Enlèvement des coffrages (S_3). — On enlevait les coffrages sur 3^m à chaque tête ; on maçonnait : on matait les joints en partant des têtes.

11. Décintrement (S''_1). — Au moment du premier décintrement, la voûte n° 7 était clavée depuis 6 jours.

On décintra d'abord les trois voûtes rive droite (n° 1, 2, 3), tout en desserrant progressivement les cintres des deux voûtes suivantes (n° 4, de 3^{mm}5, — n° 5, de 2^{mm}), pour ne pas faire fléchir les piles ; puis, deux mois après, on décintra les 4 voûtes rive gauche.

Au premier décintrement, on opéra sur 4 palées seulement à la fois (36 boîtes à sable, 4 équipes de 9 hommes) ; au deuxième, sur 5 palées.

On n'a constaté ni fissure, ni épaufrage. Le tassement et le déplacement des piles ont été insignifiants.

Voici les conditions et les résultats de ces deux décintrements :

Decintrement										Mouvements en mm observés après decintrement	
N° des voûtes	Age moyen des maçonneries au début du decintrement	Nombre de jours après le dernier étrépage	Séries successives d'abaissément des pistons					Decintrement aux totes complet		Mouvements en mm observés après decintrement	
			Dans les 1 ^{re} , 2 ^{de} , 3 ^{de} , 4 ^{de} , 5 ^{de} séries de 100 dans les dérivées par descentes de 1 ^{re} , 2 ^{de} , 3 ^{de} , 4 ^{de} , 5 ^{de} séries de 100					Abais- sement de la des- cension		Mouvements en mm observés après decintrement	
			1 ^{re} série	2 ^{de} série	3 ^{de} série	4 ^{de} série	5 ^{de} série	Abais- sement de la des- cension	Abais- sement de la des- cension	Mouvements en mm observés après decintrement	
1 ^{re}											
Decintrement complet											
Voûtes	1	174	2	3	3	3	3	2mm	24a28mm	7.1	7.1
Voûtes	2	161	2	3	3	3	3	2	24a28	7.2	7.2
Voûtes	3	210	2	3	3	3	3	2	28a32	7.3	7.3
Voûtes	4	284	2	3	3	3	3	1		7.4	7.4
Voûtes	5	241	2	3	3	3	3	2		7.5	7.5
Voûtes	6	297	2	3	3	3	3	2		7.6	7.6
Voûtes	7	103	2	3	3	3	3	2		7.7	7.7
Voûtes	8	139	2	3	3	3	3	2		7.8	7.8
Voûtes	9	103	2	3	3	3	3	2		7.9	7.9
Voûtes	10	103	2	3	3	3	3	2		8.0	8.0
Voûtes	11	103	2	3	3	3	3	2		8.1	8.1
Voûtes	12	103	2	3	3	3	3	2		8.2	8.2
Voûtes	13	103	2	3	3	3	3	2		8.3	8.3
Voûtes	14	103	2	3	3	3	3	2		8.4	8.4
Voûtes	15	103	2	3	3	3	3	2		8.5	8.5
Voûtes	16	103	2	3	3	3	3	2		8.6	8.6
Voûtes	17	103	2	3	3	3	3	2		8.7	8.7
Voûtes	18	103	2	3	3	3	3	2		8.8	8.8
Voûtes	19	103	2	3	3	3	3	2		8.9	8.9
Voûtes	20	103	2	3	3	3	3	2		9.0	9.0
Voûtes	21	103	2	3	3	3	3	2		9.1	9.1
Voûtes	22	103	2	3	3	3	3	2		9.2	9.2
Voûtes	23	103	2	3	3	3	3	2		9.3	9.3
Voûtes	24	103	2	3	3	3	3	2		9.4	9.4
Voûtes	25	103	2	3	3	3	3	2		9.5	9.5
Voûtes	26	103	2	3	3	3	3	2		9.6	9.6
Voûtes	27	103	2	3	3	3	3	2		9.7	9.7
Voûtes	28	103	2	3	3	3	3	2		9.8	9.8
Voûtes	29	103	2	3	3	3	3	2		9.9	9.9
Voûtes	30	103	2	3	3	3	3	2		10.0	10.0
Voûtes	31	103	2	3	3	3	3	2		10.1	10.1
Voûtes	32	103	2	3	3	3	3	2		10.2	10.2
Voûtes	33	103	2	3	3	3	3	2		10.3	10.3
Voûtes	34	103	2	3	3	3	3	2		10.4	10.4
Voûtes	35	103	2	3	3	3	3	2		10.5	10.5
Voûtes	36	103	2	3	3	3	3	2		10.6	10.6
Voûtes	37	103	2	3	3	3	3	2		10.7	10.7
Voûtes	38	103	2	3	3	3	3	2		10.8	10.8
Voûtes	39	103	2	3	3	3	3	2		10.9	10.9
Voûtes	40	103	2	3	3	3	3	2		11.0	11.0
Voûtes	41	103	2	3	3	3	3	2		11.1	11.1
Voûtes	42	103	2	3	3	3	3	2		11.2	11.2
Voûtes	43	103	2	3	3	3	3	2		11.3	11.3
Voûtes	44	103	2	3	3	3	3	2		11.4	11.4
Voûtes	45	103	2	3	3	3	3	2		11.5	11.5
Voûtes	46	103	2	3	3	3	3	2		11.6	11.6
Voûtes	47	103	2	3	3	3	3	2		11.7	11.7
Voûtes	48	103	2	3	3	3	3	2		11.8	11.8
Voûtes	49	103	2	3	3	3	3	2		11.9	11.9
Voûtes	50	103	2	3	3	3	3	2		12.0	12.0
Voûtes	51	103	2	3	3	3	3	2		12.1	12.1
Voûtes	52	103	2	3	3	3	3	2		12.2	12.2
Voûtes	53	103	2	3	3	3	3	2		12.3	12.3
Voûtes	54	103	2	3	3	3	3	2		12.4	12.4
Voûtes	55	103	2	3	3	3	3	2		12.5	12.5
Voûtes	56	103	2	3	3	3	3	2		12.6	12.6
Voûtes	57	103	2	3	3	3	3	2		12.7	12.7
Voûtes	58	103	2	3	3	3	3	2		12.8	12.8
Voûtes	59	103	2	3	3	3	3	2		12.9	12.9
Voûtes	60	103	2	3	3	3	3	2		13.0	13.0
Voûtes	61	103	2	3	3	3	3	2		13.1	13.1
Voûtes	62	103	2	3	3	3	3	2		13.2	13.2
Voûtes	63	103	2	3	3	3	3	2		13.3	13.3
Voûtes	64	103	2	3	3	3	3	2		13.4	13.4
Voûtes	65	103	2	3	3	3	3	2		13.5	13.5
Voûtes	66	103	2	3	3	3	3	2		13.6	13.6
Voûtes	67	103	2	3	3	3	3	2		13.7	13.7
Voûtes	68	103	2	3	3	3	3	2		13.8	13.8
Voûtes	69	103	2	3	3	3	3	2		13.9	13.9
Voûtes	70	103	2	3	3	3	3	2		14.0	14.0
Voûtes	71	103	2	3	3	3	3	2		14.1	14.1
Voûtes	72	103	2	3	3	3	3	2		14.2	14.2
Voûtes	73	103	2	3	3	3	3	2		14.3	14.3
Voûtes	74	103	2	3	3	3	3	2		14.4	14.4
Voûtes	75	103	2	3	3	3	3	2		14.5	14.5
Voûtes	76	103	2	3	3	3	3	2		14.6	14.6
Voûtes	77	103	2	3	3	3	3	2		14.7	14.7
Voûtes	78	103	2	3	3	3	3	2		14.8	14.8
Voûtes	79	103	2	3	3	3	3	2		14.9	14.9
Voûtes	80	103	2	3	3	3	3	2		15.0	15.0
Voûtes	81	103	2	3	3	3	3	2		15.1	15.1
Voûtes	82	103	2	3	3	3	3	2		15.2	15.2
Voûtes	83	103	2	3	3	3	3	2		15.3	15.3
Voûtes	84	103	2	3	3	3	3	2		15.4	15.4
Voûtes	85	103	2	3	3	3	3	2		15.5	15.5
Voûtes	86	103	2	3	3	3	3	2		15.6	15.6
Voûtes	87	103	2	3	3	3	3	2		15.7	15.7
Voûtes	88	103	2	3	3	3	3	2		15.8	15.8
Voûtes	89	103	2	3	3	3	3	2		15.9	15.9
Voûtes	90	103	2	3	3	3	3	2		16.0	16.0
Voûtes	91	103	2	3	3	3	3	2		16.1	16.1
Voûtes	92	103	2	3	3	3	3	2		16.2	16.2
Voûtes	93	103	2	3	3	3	3	2		16.3	16.3
Voûtes	94	103	2	3	3	3	3	2		16.4	16.4
Voûtes	95	103	2	3	3	3	3	2		16.5	16.5
Voûtes	96	103	2	3	3	3	3	2		16.6	16.6
Voûtes	97	103	2	3	3	3	3	2		16.7	16.7
Voûtes	98	103	2	3	3	3	3	2		16.8	16.8
Voûtes	99	103	2	3	3	3	3	2		16.9	16.9
Voûtes	100	103	2	3	3	3	3	2		17.0	17.0

1^{re}. A partir de la 1^{re} série, on diminue les abaisséments en se rapprochant des maçonneries. Les chiffres indiqués sont les abaisséments au sommet du cloître.
 2^{de}. A l'assèment opère le relèvement observé à la suite de la 1^{re} série. — 3^{de}. Les nombres précédés de — sont des relèvements.
 4^{de}. A l'assèment s'ajoute au 1^{er} decintrement, et non différence du relèvement du 1^{er} et de l'abaissément du 2^e.

12. Dépenses (S_3).

	Fondations	Élévation	Ensemble
Entreprise.....	862.505'76	1.244.117'65	2.106.623'41 ¹⁷
Régie.....	28.124'56	69.721'29	97.845'85
Dépenses générales (surveillants, etc).....	17.981'01	26.525'21	44.506'22
Sommes allouées aux Entrepre- neurs.....	13.850'63	29.108'34	42.958'97 ¹⁸
Totaux.....	922.461'96	1.369.472'49	2.291.934'45 ^{19, 20, 21}

13. Personnel.

Ingénieurs { en chef : M. Renardier.
ordinaires { M. Levesque - *Choir de l'ouverture*.
M. Legay - *Projet définitif, Etudes de stabilité, Travaux.*

Entrepreneurs : MM. Dedeyn et Perchot (S_3).

17. — Décompte non accepté par les Entrepreneurs.

18. — Non compris les intérêts de 4760'59 que l'Etat doit payer à l'Entreprise.

19. — Non compris les frais d'expertise, dont une partie (2553') est à la charge de l'Etat.

20. — Les prévisions (abords compris) s'élevaient à..... 2.430.000' ainsi réparties :

à la charge de l'Etat, à forfait..... 1.075.000'

à la charge de la Ville : $\frac{2.430.000'}{5} =$ 486.000'

à la charge du Département, le reste..... 869.000'

La Ville n'a voulu subventionner qu'un pont en pierre.

21. — Procès-verbal de la réception de l'ancien Pont, par Perronet, 1763 - 17 octobre et jours suivants :

	Livres	Sous
Adjudication du 29 mars 1751.....	2 084 000	
Augmentation.....	586 856	13
Façade de la rue Royale d'Orléans.....	2 670 856	13
Reste pour le pont et ses abords.....	100 000	
	2 570 856	13

Perronet. *loc. cit. renvoi 8*, p. 15, 16, 17, 18.

SOURCES :

 S_1 . — Dessins d'exécution. S'_1 . — Mémoire technique, M. Legay, 5 février 1903. S''_1 . — Note sur le décintrement, M. Legay, 10 septembre 1906. S_2 . — Génie Civil, 29 septembre 1906, p. 337 à 345, Pl. XXII : « *Nouveau pont en maçonnerie sur la Loire à Orléans* » M. A. Dumas.

Renseignements qu'ont bien voulu me donner :

 S_3 . — M. Renardier. S_4 . — M. Legay. S_5 . — Ce que j'ai vu — juillet 1908. S'_5 . — avril 1906. S''_5 . — juillet 1908.

PONT SUR L'HOTZENPLOTZ, A KRAPPITZ

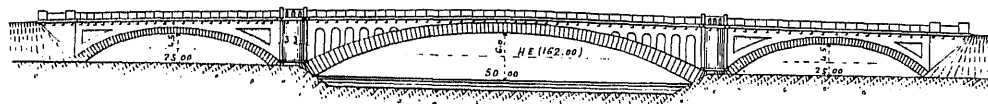
(ALLEMAGNE, - Silésie, - Cercle d'Oppeln)

Route de Krappitz à Zywoleczytz

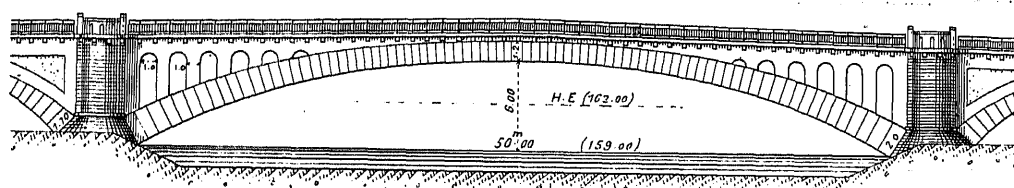
1905

$\text{A}^{\text{n}} \text{r}^{\text{te}} (\geq 40\text{m})^{\text{5}}$

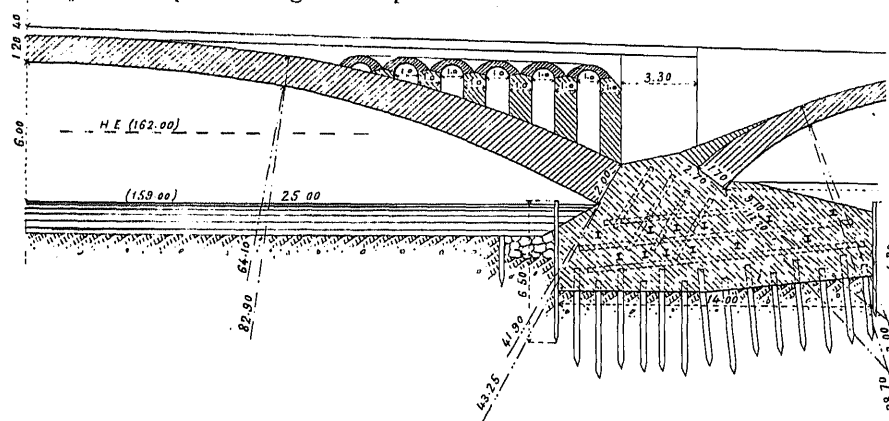
f_1 — Ensemble — 1^{mm}



f_2 — Grande voûte — 2^{mm}

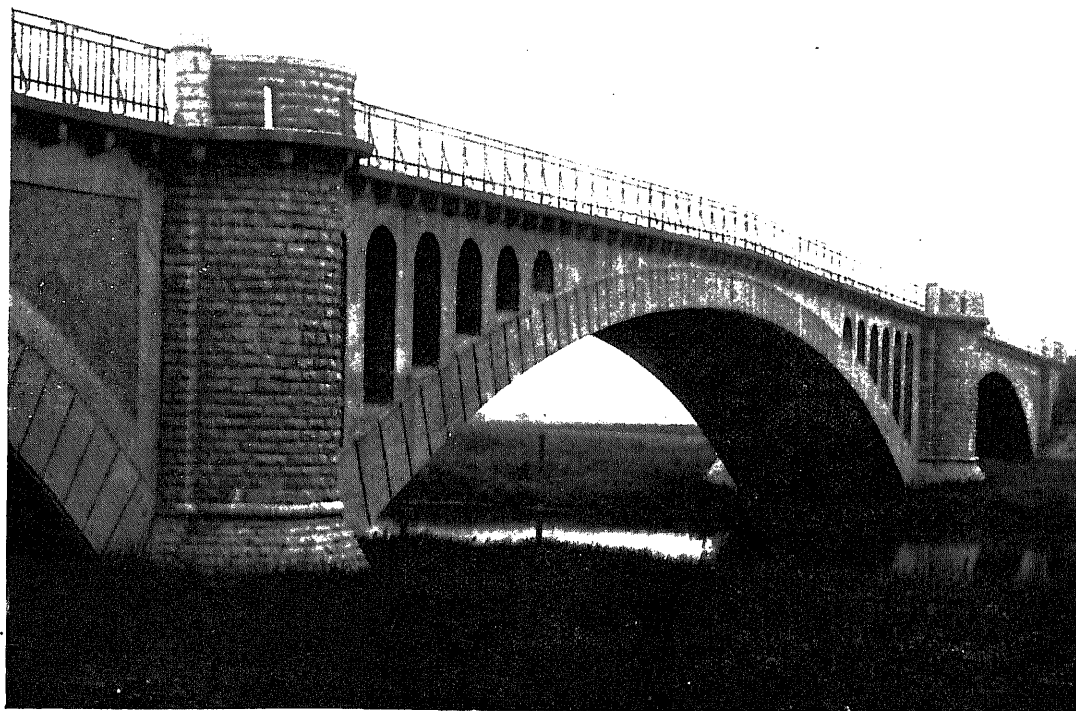


f_3 — Coupe en long d'une pile et des demi-voûtes voisines — 3^{mm}



1. Personnel¹. — *Projet* : M. Hirnschal, « Kreisbaumeister », à Oppeln.
Entrepreneurs : MM. Liebold et C^{ie}, de Langebrück (Saxe).

1. — Renseignements qu'a bien voulu me donner M. Hirnschal.

Φ_1 (S_2)

SOURCES :

S_1 . — Dessins d'exécution que m'ont gracieusement remis MM. Liebold, en 1908.

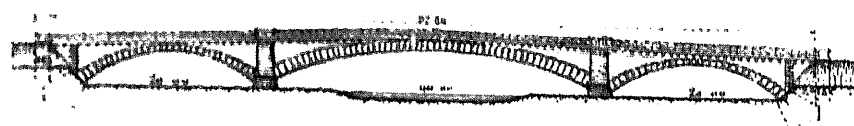
S_2 . — Ce que j'ai vu, — juillet 1909.

PONT SUR LA FREI WALDAUER BIELE, A GROSS-KUNZENDORF (ALLEMAGNE, - Silésie, - Cercle de Neisse)

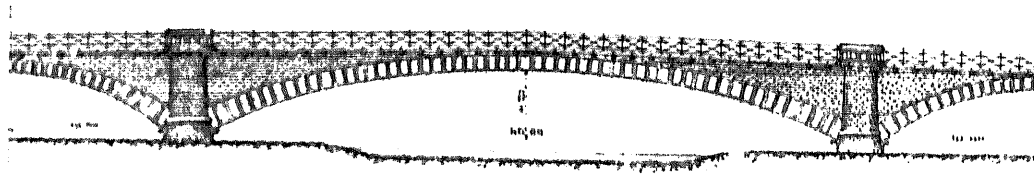
Route de Neisse à Gross-Kunzendorf

\overline{A}^n pile (= 40m) 6

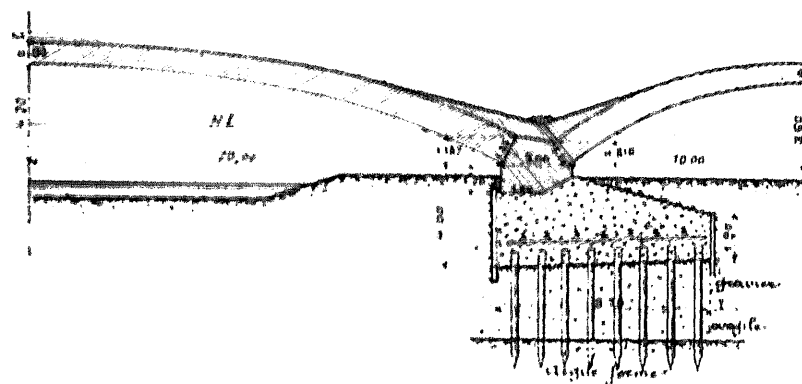
Γ_1 Ensemble 1mm



Γ_2 Grande voûte 2mm

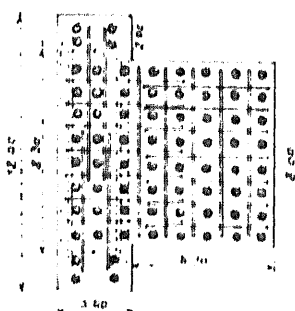


Γ_3 Coupe en long d'une pile et des demi-voûtes voisines 3mm



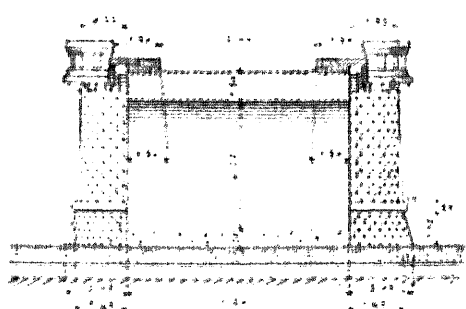
Γ_4 Pilotis

et armature de la pile 3mm



Couronnement 2m

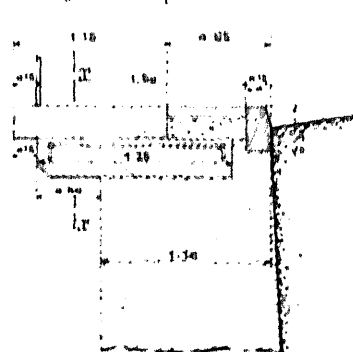
Γ_5 Coupe en travers à la clef 4mm



Γ_6 Coupe sur xx de Γ_5



Γ_7 Coupe en travers



I. Personnel. — *Projet et Entreprise* : MM. Liebold et C^{re}, de Langenbrück (Saxe).

SOURCE :

S. Dessins d'exécution qu'ont bien voulu me remettre MM. Liebold, en 1908.

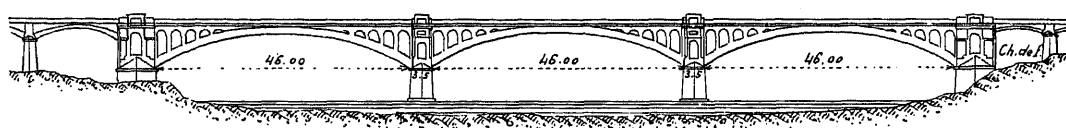
PONT SUR LA MOSELLE, A SCHWEICH¹ (ALLEMAGNE - Prusse-Rhénane)

Route de Schweich à Trèves

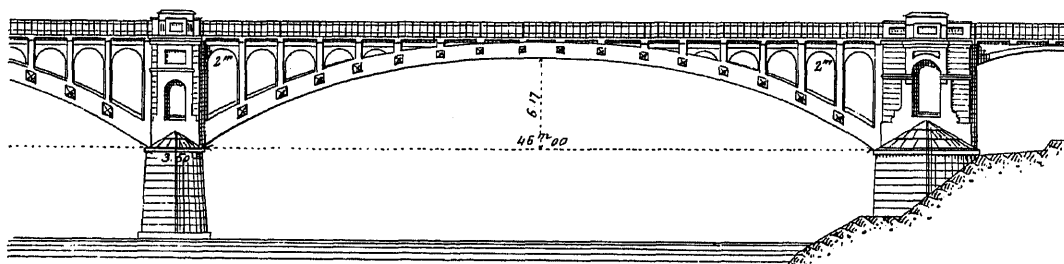
1905-1906

Aⁿ r^{te} ($\geq 40^m$)⁷

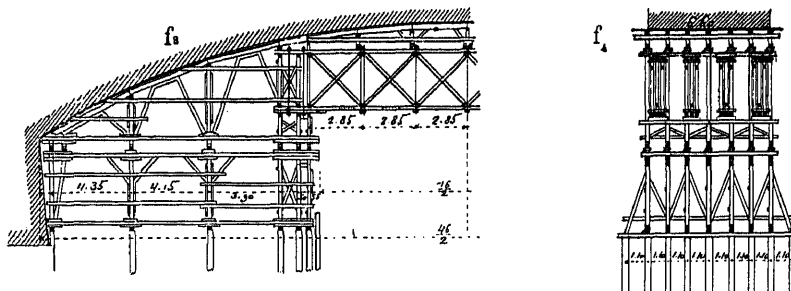
f₁ — Ensemble des grandes arches, amont — 0^{mm}75



f₂ — Une des grandes arches — 2^{mm}



Cintre de l'arche centrale — 2^{mm}5



1. Matériaux (S₁). — Tout est en béton, sauf les parements des avant-becs qui sont en granit.

Au-dessus des naissances, les parements sont colorés en rouge.

2. Quelques observations. — On a réduit, aux têtes, l'épaisseur des voûtes.

Les trottoirs sont coupés au droit de chaque pile par deux joints de dilatation.

Un fer apparent protège les bordures en béton des trottoirs.

1. — Entre le village et la station du chemin de fer d'intérêt local de Trèves à Bullay (Moseltalbahn), à 10^m6 de Trèves. Le pont est à 50^m en amont de la station.

Φ_1 — aval (S_4)



3. Dates (S'_1).

Commencement des travaux.....	mai 1905		
Piles et culées.....	juin - octobre		
Grandes voûtes	{	rive droite.....	15 - 29 mai 1906
		centrale.....	fin juin - 7 juillet
		rive gauche.....	15-29 mai
Décintrement : 4 à 5 semaines après l'achèvement.			
Ouverture à la circulation.....	10 octobre 1906		

4. Personnel (S''_1). — *Projet et Entreprise* : MM. B. Liebold et C^{re}, d'Holzminden.
Direction des Travaux : M. Möhle, Ingénieur.

SOURCES :

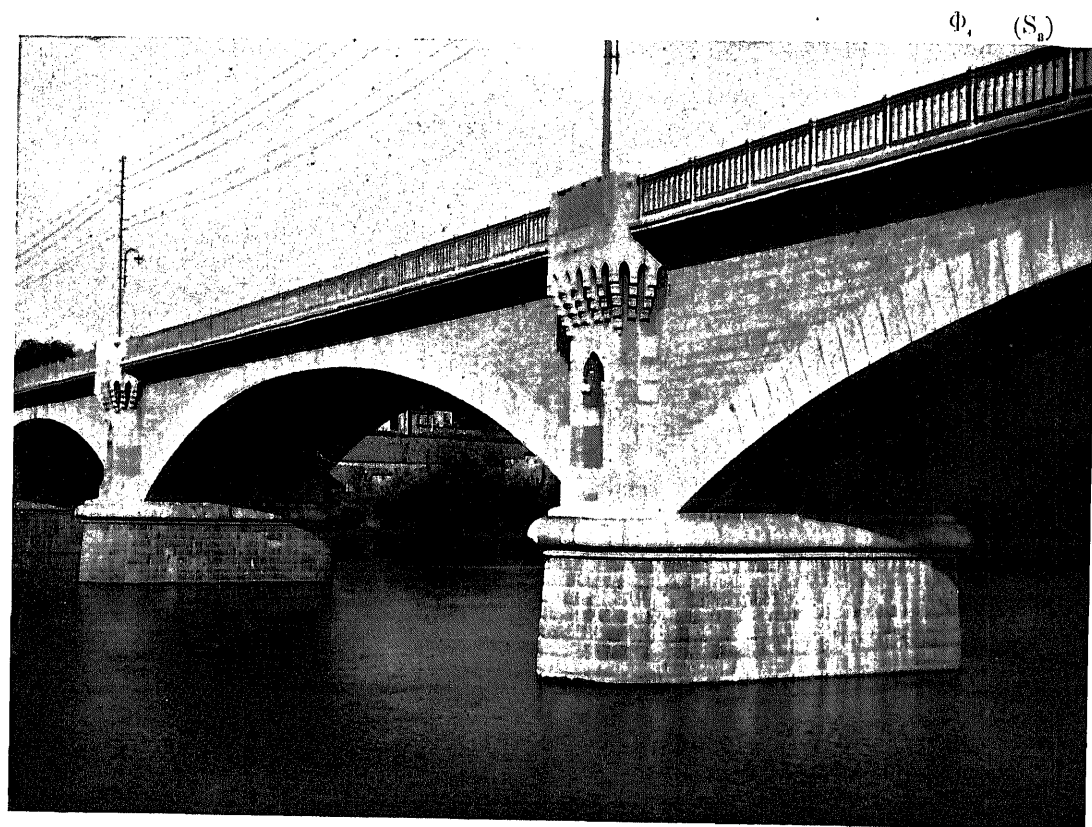
- S_1 . — Dessins d'exécution (S'_1) et renseignements (S''_1), gracieusement communiqués par M. B. Liebold en juillet 1910.
 S_2 . — Ce que j'ai vu - septembre 1910.

PONT SUR LE BRAS DROIT DU RHÔNE, DIT DE VILLENEUVE,
A AVIGNON¹ (VAUCLUSE)

Route nationale n° 100 de Montpellier à Coni

1905-1909

$\bar{A}^{n}_{r^{te}} (\geq 40m)8$



1. Principales dispositions et dimensions. — Ce sont celles du pont Boucicaut² : même portée, même surbaissement, mêmes courbes d'intrados et d'extrados en projection de chaînette, mêmes épaisseurs des voûtes et des piles, même appareil, même mode d'exécution des grandes voûtes....

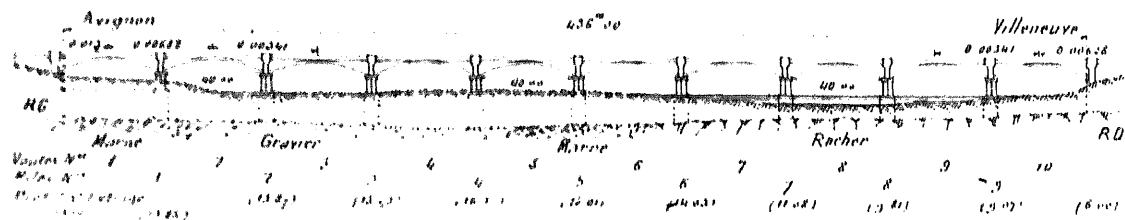
Les cordes des voûtes 3 à 9 (f_1) sont horizontales ; celles de rive (1, 2, 10) sont en rampe de 0°30 par arche.

2. Piles. — Les arcades aveugles des pilastres et leurs corbeaux sont imités des remparts d'Avignon : les arcades semblent petites.

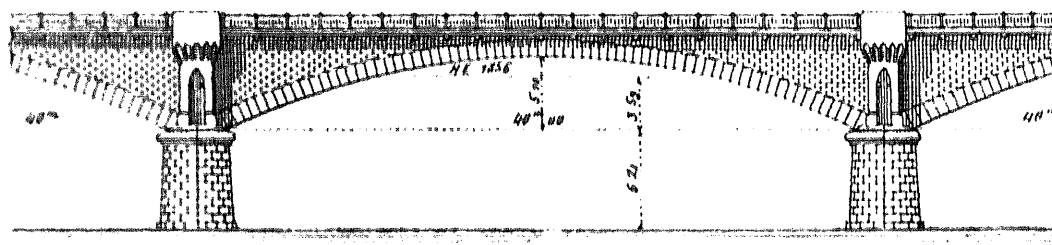
3. Trottoirs en encorbellement. — Les trottoirs et le garde-corps en fonte sont en encorbellement sur consoles en béton armé. La largeur disponible entre parapets est ainsi de 10^m, pour 8^m20 entre têtes.

1. — A la place du pont en bois de 1809. On a maintenu la circulation pendant la construction, par une passerelle provisoire en bois, établie à 50^m environ en amont.

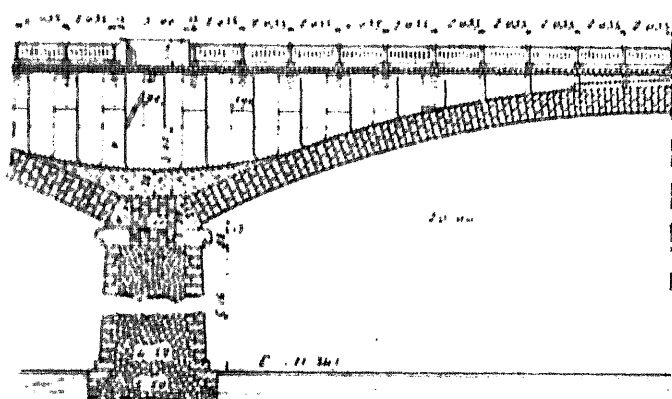
2. — $\bar{A}^{n}_{r^{te}} (\geq 40m)2$ — Tome III.

$$f_1 = \text{Ensemble, amount} = 0 \text{ mm}$$


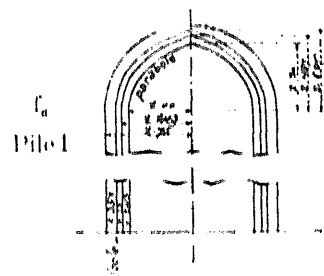
C_1 = Une voile de 2mm



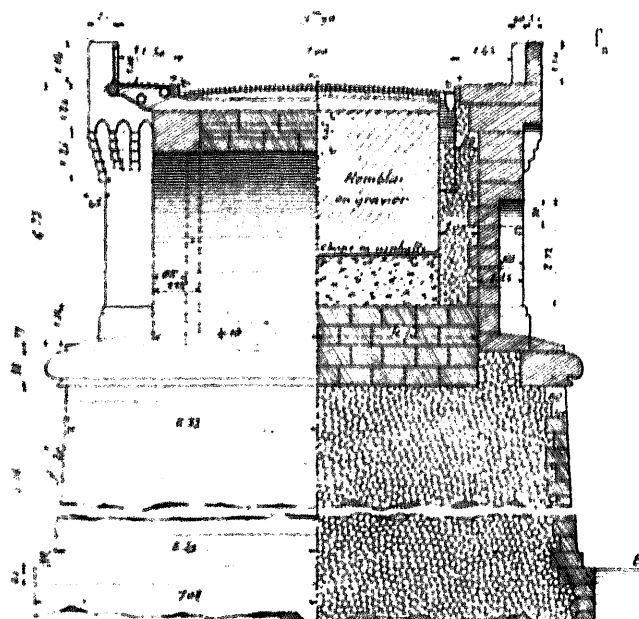
7. Comparison long 3mm



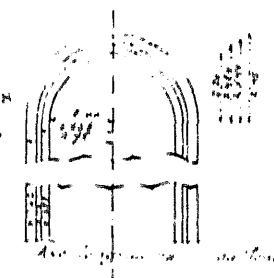
Bees 4mm
Coupe horizontale sous le
cordon



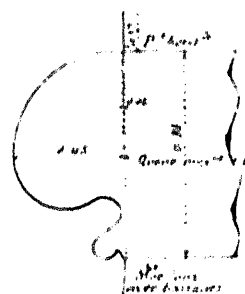
Couques en travers 5mm
à la clef d'une voûte sur l'axe d'une pile



A. pilos



l_n = Cordon des piles 3 m

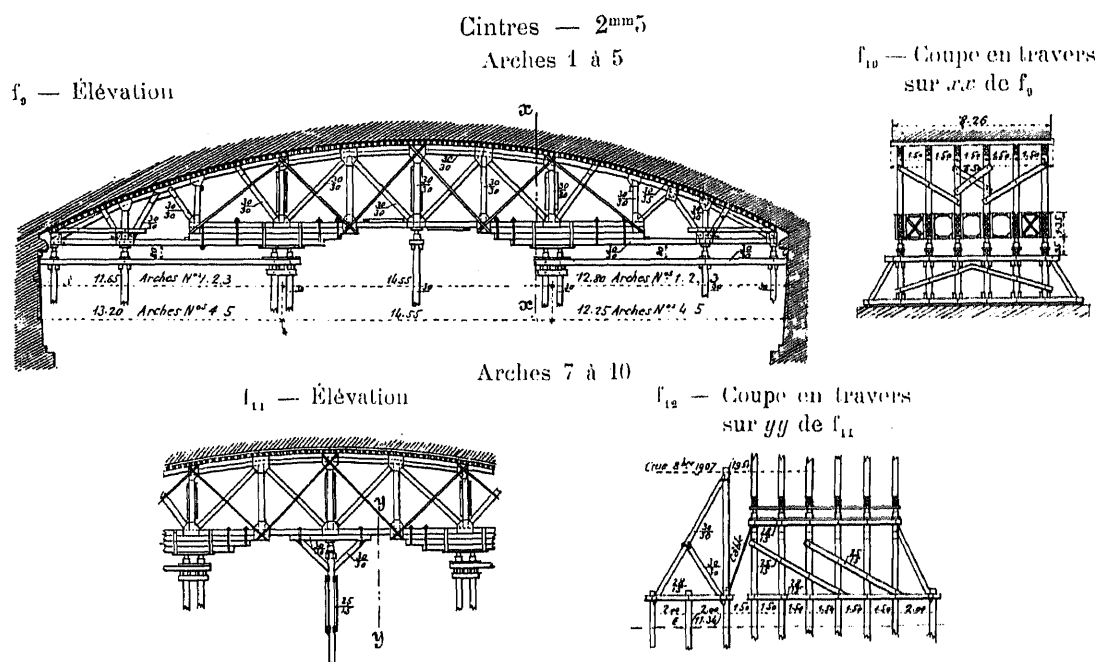


4. Cintres. — Les cintres des 5 arches à partir de la rive gauche ont été réemployés aux 5 autres.

Les palées simples sont enfoncées de 4^m environ dans le gravier, au refus de 0^m01 par 10 coups d'un mouton de 800^k, tombant de 3^m.

Les palées doubles reposent sur les fondations en béton de l'ancien pont en charpente.

Les cintres ont été montés par 18 charpentiers.



5. Fondations à l'air comprimé (janvier 1905 – mars 1907). — A la pile 4, le rocher était en pente : le caisson s'est déversé de 0^m16 environ et, sur une petite partie du pourtour, le couteau ne l'a pas atteint. On a fermé avec des sacs de ciment l'intervalle entre le rocher et le couteau.

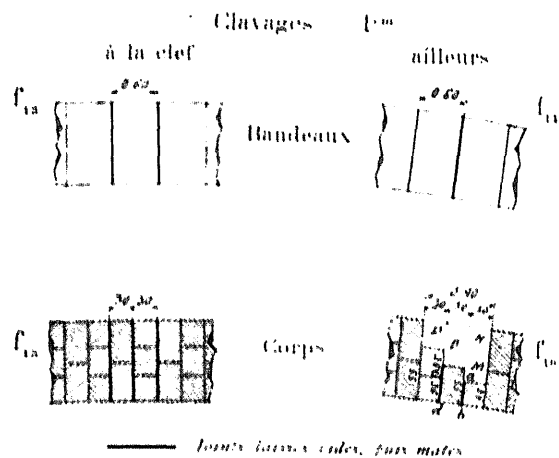
Les chambres de travail ont été remplies de béton de chaux à 2 volumes de mortier à 400^k pour 3 de galets.

Les massifs de fondation sont en moellons ordinaires à chaux ; leurs parements, en moellons de choix équarris ; leurs couronnements, en libages.

6. Exécution des voûtes. — Elles ont été construites voûte par voûte, de la rive gauche à la rive droite.

On maçonnait sur toute l'épaisseur ; on ménageait en 9 points (clef, naissances et 3 points intermédiaires de chaque côté, au-dessus des points fixes du cintre), des joints secs, matés ensuite simultanément, au mortier à l'état de sable humide (S_1).

Le mortier de matage était, comme pour le reste de la voûte, à 600^k de ciment maritime Pavin de Lafarge. La quantité d'eau variait suivant que le sable était plus ou moins sec ; elle était en moyenne de 180 litres (S_1).



On matait d'abord les bandeaux (f_{1a} , f_{1b}).

Dans le corps, on matait les joints ab , cd (f_{1a}); puis on posait les voussoirs M, N, O, P, dont on matait les joints.

Les joints de matage avaient 8^{mm} aux têtes, 12 à 15^{mm} dans le corps de la voûte.

Quelques poteaux de la passerelle de service traversaient l'emplacement de la voûte pour s'appuyer sur les cintres. On remplissait les vides

laissés par eux dans la voûte, et on en matait les joints.

Aux premières voûtes, la courbe d'intrados s'est un peu déformée, parce que les tirants du cintre n'étaient pas bien réglés, et peut-être aussi parce qu'on avait employé quelques bois du vieux pont.

On a occupé à la construction des voûtes 30 maçons et 20 manœuvres.

4 ouvriers faisaient un clavage en 2 à 3 jours.

7. Tassement des cintres.

Voûte n°		Sous hauteur de la clef en mm	Tassement de la clef en mm sous la charge :									
			des 2 5 de la voûte Bandeaux posés		de la moitié de la voûte		des 2 3 de la voûte	des 4 5 de la voûte	de toute la voûte			
			Tasse- ment observé à la clef	Tasse- ment propre de la tête des pieux	Tasse- ment observé à la clef	Tasse- ment propre de la tête des pieux	de la voûte	Ban- deaux posés	non clavée	Tasse- ment observé à la clef	Tasse- ment propre de la tête des pieux	Nombre de jours entre le clavage et l'observa- tion
1 (R G)	amont	34 mm	Centre charge du pont de service.					19	58			
	aval	17					3		61			
2	amont	31	34	12						57		9 j
	aval	31	29	11						47		
3	amont	45					32	Bandeaux posés		54	6	2 j
	aval	48					51 j			73	12	
4	amont	65						60		70		12 j
	aval	67						68		100		
5	amont	57			26					57		22 j
	aval	50			28					72		
6	amont	38					48			52		10 j
	aval	43					36			60		
7	amont	55			12					64		8 j
	aval	43			34					38		
8	amont	43			54	17				57		2 j
	aval	41			21	18				59		
9	amont	63			45					84		3 j
	aval	59			52					66		
10 (R D)	amont	29			1					38		7 j
	aval	29			10					36		

8. Dates d'exécution des voûtes. — Mouvements, en mm, observés à chaque décincrement.

Voûte n°	Dates de construction]		Date du décin- tremement	Voûte n° 1 (RC)										Mouvements horizontaux des piles.																																																																																																																																																																																																																																																																																																																																																																																																																																																																																																																																																																																																																																																																																																																																																																																																																																																																																																																																																																																																																																																																																																																																																																																																																																																																																																																																																																																										
	Com- mence- ment	Clavage		2		3		4		5		6		7		8		9		10 (RD)																																																																																																																																																																																																																																																																																																																																																																																																																																																																																																																																																																																																																																																																																																																																																																																																																																																																																																																																																																																																																																																																																																																																																																																																																																																																																																																																																																																				
1	1907 11-IX	1907 14-X	1908 20-II 729 f	10	→ 1,5	↑ 1,1																																																																																																																																																																																																																																																																																																																																																																																																																																																																																																																																																																																																																																																																																																																																																																																																																																																																																																																																																																																																																																																																																																																																																																																																																																																																																																																																																																																																		</

3. — On n'a pas mesuré les abaisssements des appuis ;
on n'a donc pas le tassement propre des voûtes.

9. Dépenses.

	Fondations	Élévation	Ensemble
Entreprise.....	649.660 ¹ 78	958.423 ¹ 14	1.608.083 ¹ 92
Régie.....	14.000 ¹	61.000 ¹	75.000 ¹
	663.660 ¹ 78	1.019.423 ¹ 14	1.683.083 ¹ 92

10. Personnel.

Ingénieurs :

Projet. — en chef : M. Dyrion ; — ordinaire, M. Armand ;

Exécution. — en chef : M. Gubiand ; ordinaires, M. Armand, puis M. Hugues.

Entrepreneur : M. Joseph Fayolle, de Grenoble.

SOURCES :

S₁. — Dessins et renseignements gracieusement communiqués par MM. Armand et Hugues.

S₂. — Renseignements qu'a bien voulu me donner M. Gubiand.

S₃. — Ce que j'ai vu — janvier 1913.

Ce qui n'est pas spécifié S₄ est de S₁.

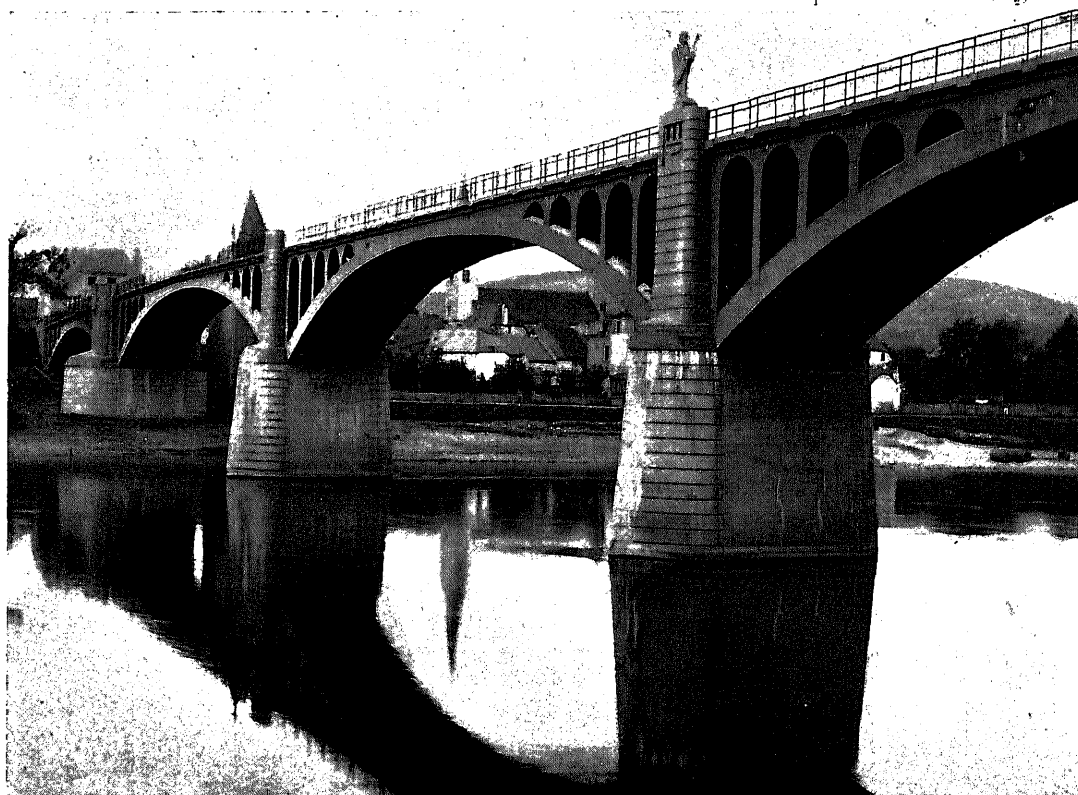
PONT SUR LA MOSELLE, A TRITTENHEIM (ALLEMAGNE, - Prusse-Rhénane)

Route de Trittenheim à Trèves¹

1907-1908

$\bar{A}^{n_{te}} \geq 40m^4$

Φ_1 — amont (S_2)



1. Matériaux (S'_1 , S_1). — Tout est en béton, sauf l'arête des avant-becs qui est en granit,

Au-dessus des naissances, les parements vus, sauf les douelles des grandes voûtes, sont colorés en rouge, peut-être pour imiter le grès rouge.

2. Quelques observations. — On a abattu par un chanfrein l'arête d'extrados (S_3).

On a armé les voûtes d'évidement (S''_1).

Au-dessus des piles, la chaussée et les trottoirs sont portés par une dalle en béton armé appuyée sur les pilastres (S''_1).

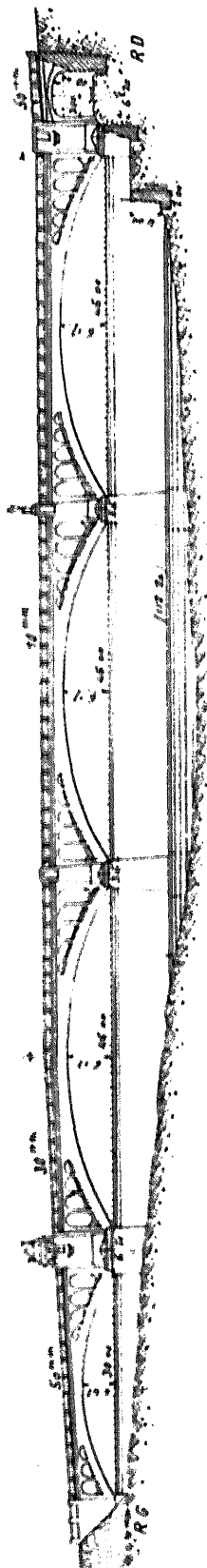
Un fer apparent protège les bordures en béton des trottoirs (S_3).

Le pilastre amont de la pile rive droite porte une statue de Jean Trithemius².

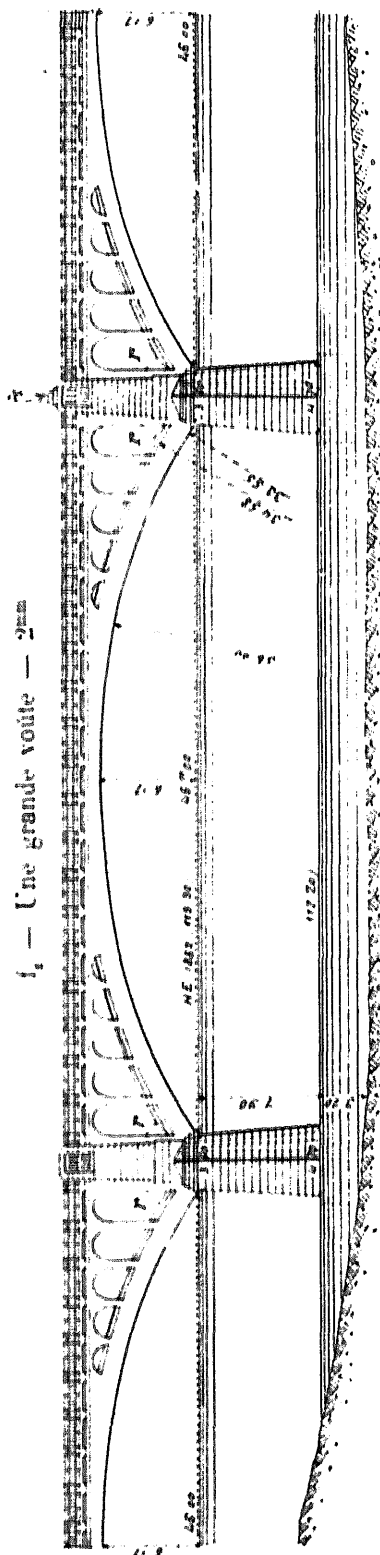
1. — entre le village et la station du chemin de fer d'intérêt local de Trèves à Bullay (Moseltalbahn), à 31*7 de Trèves. Le pont est à 150^m en amont de la station.

2. — Historien et théologien, né à Trittenheim en 1462, mort à Wurtzbourg en 1510.

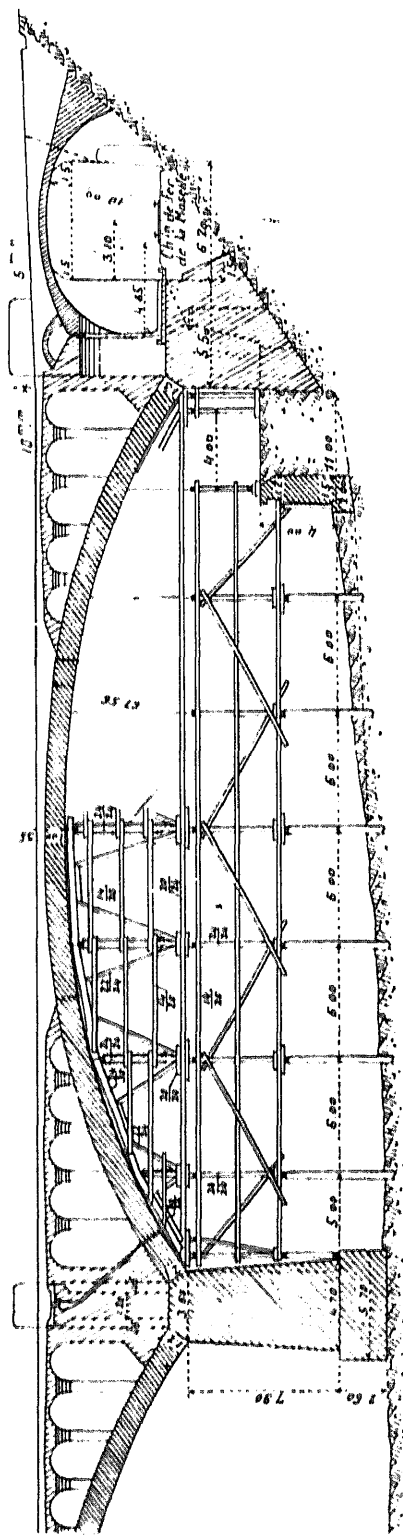
f₁ — Ensemble, amont — 1^{er} m



f₂ — Une grande voûte — 2^{ème} m



f₃ — Coupe en long et centre de l'arche rive droite — 2^{ème} m



Elle est à bonne échelle pour les gens qui passent sur le pont, trop petite pour ceux qui le regardent.

Sur le pilastre aval de la pile rive gauche, est une niche pour le préposé au péage.

3. Aspect (S_2). — On voit trop les changements de courbure de l'extrados.

Les dièdres de béton (r de f_2) sont d'aspect assez fâcheux.

Les piles des voûtes d'élégissement paraissent maigres.

On n'a pas fait disparaître : aux têtes, les limites des tranches de bétonnage et les empreintes des planches ; en douelle, l'empreinte du platelage.

4. Dates (S''_1).

Commencement des travaux.....	commencement de juillet 1907
Piles et culées.....	23 juillet - octobre 1907
Grandes voûtes.....	4 - 21 août 1908
Ouverture à la circulation.....	1 ^{er} janvier 1909

5. Personnel (S''_1). — Celui du Pont de Schweich³.

3. — $\bar{A}^{n \text{ r}^{\text{te}}} (\geq 40^{\text{m}})^7$, - Tome III.

SOURCES :

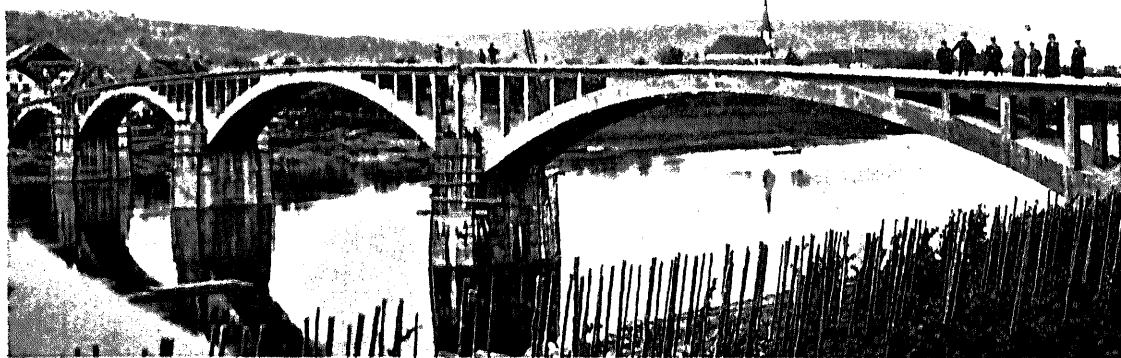
Celles du Pont de Schweich, $\bar{A}^{n \text{ r}^{\text{te}}} (\geq 40^{\text{m}})^7$ - Tome III, p. 269.

PONT SUR LA MOSELLE, A LONGUICH¹ (ALLEMAGNE, - Prusse-Rhénane)
Route de Longuich à Mehring

1909-1911

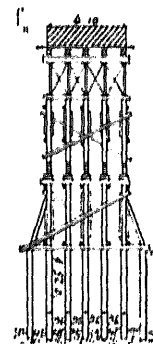
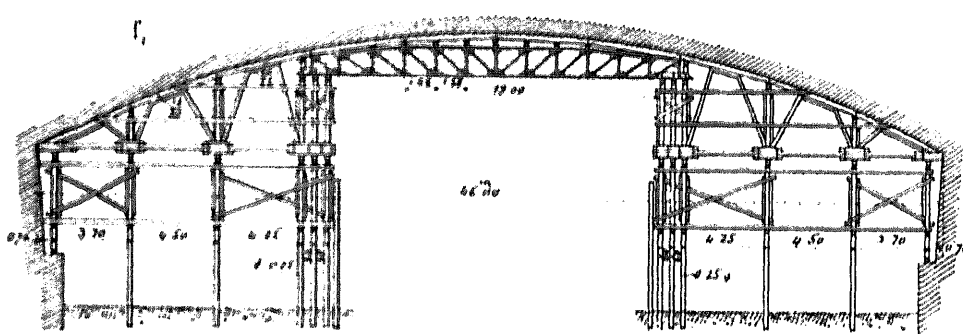
$\overline{A}^n_{r^{to}} (\approx 40m) 10$

Φ_1 — amont (S'')

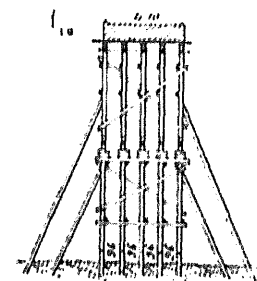
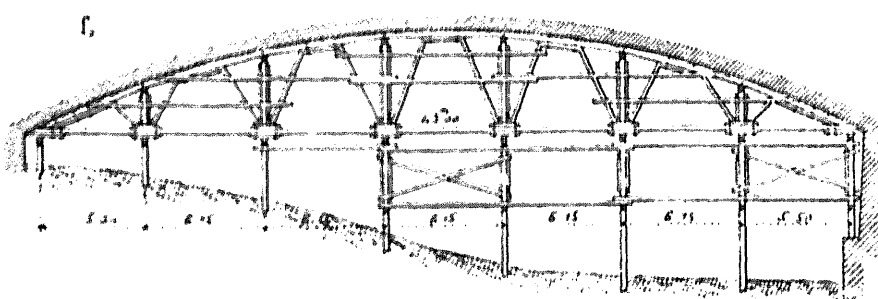


1. Cintres.

Cintre de l'arche de 46m — 2mm5



Cintre des arches de 43m — 2mm5



¹ Station du chemin de fer d'intérêt local de Trèves à Bullay (Moseltalbahn), à 12^m5 de Trèves.

2. Dates.

Commencement des travaux.....	2 mai 1910
Piles et culées.....	commencement de juin - 15 octobre 1910
Grandes voûtes.....	20 juillet - 8 août 1911
Décintrement.....	15 septembre 1911
Ouverture à la circulation.....	1 ^{er} janvier 1912

3. Personnel.

Projet : M. Herm. Möhle, Ingénieur;

Direction des Travaux : M. G. Möhle.

Entrepreneurs : MM. B. Liebold et C^{re}, d'Holzminden (Brunswick).

SOURCES :

S₁ — Dessins d'exécution (S'₁), photographie (S''₁) et renseignements (S'''₁), qu'a bien voulu m'adresser M. Liebold, — mars 1912.

QUELQUES VOÛTES INARTICULÉES

QU'ON AURAIT, A TORT, CHERCHÉES

DANS LES SÉRIES DU LIVRE I

Après les voûtes inarticulées de 10^m et plus de portée, j'en vais décrire sommairement quelques autres qu'on aurait pu chercher dans les séries du Livre I.

Ce sont :

1^{re} des voûtes de 10^m ou plus, en béton assez peu armé pour qu'on les ait calculées sans tenir compte du métal. — On les trouve dans des statistiques de voûtes non armées ;

2^{re} des voûtes de 10^m ou plus, tombées pendant qu'on les construisait ;

3^{re} des voûtes auxquelles on a attribué à tort 10^m ou plus, — voûtes qui existent, — voûtes ruinées, — voûtes qui n'ont jamais existé.

TITRE I

VOÛTES INARTICULÉES $\geq 40^m$

PONT	PROJET							
	ENSEMBLE	GRANDES VOÛTES						1°
Date	Longueur de l'ouvrage	Largeurs entre parapets	INTRADOS	ÉPAISSEURS	COMMENT	MATÉRIAUX	PRESSIONS	ÉVIDEMENTS DES TYMPANS
Symbole	Déclivité	entre tympans sous la plinthe	Portée	CORPS ET TÊTES	SONT ARMÉES	Mortier	en kg/m^2	2°
En quoi consiste l'ouvrage	Hauteur maxima de l'ouvrage au-dessus du sol ou de l'étiage	Fruit des tympans	Surbaisement Rayons de courbure : à la clef aux naissances	(Clef Retombées)	LES VOÛTES	Poids, pour 1 ^{me} de sable, de chaux ou de ciment	Hypothèse adoptée	DÉCORATION DES TÊTES
1	2	3	4	5	6	7	8	9
sur la Delaware <i>États-Unis</i> 1909-1910 7 voûtes biaises en ellipse : 5 de 45 ^m 72 2 de rive de 36 ^m 58 sous chemin de fer à voie normale.	442 ^m 56 5 ^m 5 21 ^m 64	{ 8 ^m 534 10 ^m 363 Pas de fruit 2 ^m 50 environ	Ellipses { 45 ^m 72 12 ^m 192 $\frac{1}{3,75} = 0,266$ [42 ^m 86 6 ^m 50	{ 1 ^m 829 4 ^m 40 environ au milieu de la montée en long 32 53 en travers 25 91	A l'intrados et à l'extrados, grillage de barres carrées Epais mm Ecart cm en long 32 53 en travers 25 91	B ¹ 1 ^v , 3 ^v , 5 ^v		1° Murs transversaux de 0 ^m 91, espacés de 3 ^m 062, portant une plate-forme. Aux têtes seulement, voûtes. Le tout en béton armé 2° Archivoltes
de la Monroe Street à Spokane <i>États-Unis</i> 1909-1911 Pont en 2 anneaux, à une grande arche de 85 ^m 65 en arc peu surbaissé, entre 2 de 36 ^m 58 en plein cintre, sous route.	181 ^m env. 16 ^m 39 ^m 36 (étiage)	{ 20 ^m 72 Anneaux, en douelle à la clef 4 ^m 877 Vide entre eux 6 ^m 096 1 ^m 829	Arc de cercle peu surbaissé { 85 ^m 65 34 ^m 67 $\frac{1}{2,470} = 0,404$ 43 ^m 78	{ 2 ^m 058 5 ^m 638	Barres carrées de 25 ^{mm} 4 à l'intrados et à l'extrados	B ¹ Corps 1 ^v , 2 ^v 5, 5 ^v Clefs 1 ^v , 2 ^v , 4 ^v Culées 1 ^v , 3 ^v , 6 ^v	Pressions avec surcharge : MAX. min. Clef 36 ^k 4 4 ^k 9 Re-tomb. 20 ^k 7 10 ^k 5 Arc élastique Surcharge 10 % de la charge totale Chaussée : 2 voitures de tramway de 50 ^t Rouleau de 15 ^t Trottoirs : 488 ^k /1 ^m 2	1° Sur chaque tête, 2 murs de 0 ^m 61, percés de 10 voûtes transversales en plein cintre de 5 ^m 16 sur piles de 1 ^m 07 reliées par des murs transversaux. Le tout en béton armé. 2° »

1. — Pour le sens de ces abréviations, voir Avertissement, Tome III, p. II, n° 6.

EN BÉTON PEU ARMÉ

TABLEAU SYNOPTIQUE

EXÉCUTION										CUBE DE MAÇONNERIE A MORTIER	
GRANDES VOÛTES										Q	
CINTRES										DÉPENSE	
FERMES		Cube de bois Poids de fer Dépenses		MODE	DÉCINTREMENT	TASSEMENTS			D		
Type	Nombre			DE	État	DE LA CLEF					
Matériau	Épaisseur			CONSTRUCTION	d'avancement	sur					
Appareils de	Écartement	Totaux	par mq		du pont	cintre					
décintrement	d'axe en axe		de douelle		Temps entre le	au décin-					
11	12	13	14	15	et le décintrement	tremement					
	Surhaussement		2		Date	t'v					
					16	après					
						17					

1 de la surface de douelle, voir Avertissement, Tome III, p. III, n° 7 — A. 3. S_p = Longueur (col. 2) × Largeur entre parapets (col. 3) — C'est la surface offerte à la circulation
4. W = Surface vue de l'élévation × Largeur entre parapets. 5. W' = Surface de l'élévation au-dessus des fondations × Largeur entre parapets
Pour S_p , W , W' , voir Avertissement, Tome III, p. III, n° 7 — B.

VOÛTES INARTICULÉES $\geq 40^m$

PONT	PROJET							
	ENSEMBLE			GRANDES VOÛTES				1° ÉVIDEMENTS DES TYPANS
	Date Symbole En quoi consiste l'ouvrage 1	Longueur de l'ouvrage Déclivité Hauteur maxima de l'ouvrage au-dessus du sol ou de l'étiage 2	Largeurs (entre parapets entre tympans sous la plinthe Fruit des tympans Revanche de la voie portée sur l'extrados 3	INTRADOS Portée Montée Surbaissement Rayons de courbure : à la clef, aux naissances 4	ÉPAISSEURS CORPS ET TÊTES Clef (Retombées) 5	COMMENT SONT ARMÉES LES VOÛTES 6	MATÉRIAUX Mortier Poids, pour 1 ^{re} de sable, de chaux ou de ciment 7	PRESSIONS en kg/0 ^m 1 ² Hypothèse adoptée Surcharges supposées 8
de Boberullersdorf Prusse 1908-1909 Une seule grande arche sous route	70 ^m 20 O 12 ^m 60	{ 6 ^m 00 5 ^m 40 Pas de fruit 0 ^m 30	Arc d'anse de panier à 3 centres assez surbaissé 58 ^m 10 8 ^m 80 et 9 ^m 60 Moyenne : 9 ^m 20 $\frac{1}{6,315} = 0,158$ 47 ^m 21 ^m	{ 1 ^m 00 1 ^m 30	Fersronds de 20 ^{mm} au cerveau à l'intrados	B ¹ Ciment..... 1 ^v Sable..... 2 ^v 5 Gravier..... 5 ^v (Granit)	Pressions avec surcharge : MAX. moy. Clef 39 ^k 7 24 ^k 8 Retom- 33 ^k 6 23 ^k bées 400 ^k /1 ^m ² et Rouleau de 23 ^r , ou 1190 ^k /1 ^m ²	1° 18 voûtes transversales vues, en plein cintre, en béton armé, de 1 ^m 95, sur piles de 0 ^m 5, 0 ^m 7, 0 ^m 8. 2° »
d' Elsen Prusse 1909-1910 Une seule grande arche sous route	58 ^m 40 ^{mm} 40 ^{mm} 7 ^m 20	{ 7 ^m 00 7 ^m 00 Pas de fruit 0 ^m 30	Arc d'anse de panier à 3 centres très surbaissé 46 ^m 00 5 ^m 10 $\frac{1}{9,019} = 0,111$ 62 ^m 90 38 ^m 80	{ 0 ^m 80 1 ^m 10	Fersronds au cerveau à l'intrados	Bandeaux : MEV ¹ Calcaire Corps : B ¹ Ciment..... 1 ^v Sable..... 2 ^v Pierre cassée... 4 ^v (Calcaire)	Pression max.: avec sans influence de la température Clef 51 ^k 5 50 ^k 2 Joints 42 ^k 2 41 ^k 3 de rupt. Retom- 30 ^k 8 25 ^k 2 bées Arc élastique 1000 ^k /1 ^m ²	1° Pas d'évidements. 2° »
de Cassel Prusse 1909-1910 Une seule grande arche sous route	79 ^m 60 32 ^{mm} 2 31 ^{mm} 7 8 ^m	{ 16 ^m 00 16 ^m 60 Pas de fruit 0 ^m 48	Arc d'anse de panier à 3 centres très surbaissé 57 ^m 50 5 ^m 23 $\frac{1}{10,994} = 0,091$ 90 ^m 75 ^m 469	{ 1 ^m 10 1 ^m 30	Fersronds de 25 ^{mm} et 15 ^{mm} au cerveau à l'intrados, aux reins à l'extrados	Bandeaux Grès Corps : B ¹ Ciment Vorwöhler 1 ^v Sable { basaltique 1 ^v / 2 ^v de la Fulda 1 ^v) Basalte cassé..... 3 ^v Résistance moyenne à 40 j. : 349 ^k	Pressions avec surcharge : MAX. moy. Clef » 35 ^k 9 Joints 45 ^k 28 ^k 3 derupt. Retom- » 30 ^k 3 bées Courbe de pression construite avec points de passage arbitrairement choisis. 800 ^k /1 ^m ² .	1° Entre tympans pleins, 10 murs transversaux de 50 ^{cm} espacés de 3 ^m , portant une plate-forme de 20 ^{cm} en béton armé. 2° Archivolte de 20 ^k de hauteur.

1. — Pour le sens de ces abréviations, voir Avertissement, Tome III, p. II, n° 6.

EN BETON PEU ARMÉ

TABLEAU SYNOPTIQUE (Suite)

EXÉCUTION							CUBE DE MAÇONNERIE A MORTIER		
GRANDES VOÛTES							Q		
CINTRES		Cube de bois Poids de fer Dépenses		MODE ou CONSTRUCTION	DÉCINTREMENT État d'avancement du pont Temps entre le dernier clarage et le décintrement Date	TASSEMENTS DE LA CLEF sur cintre t_c au décin- trement t_v après t_v'	DÉPENSE D		
Type Matière Appareils de décintrement	Nombre Épaisseur Écartement d'axe en axe Surhaussement	Totaux	par mq de douelle ²				Totaux et par unité { de surface utile S_p ³ de volume « utile » W ⁴		
11	12	13	14	15	16	17	18		
Fixe	6	180 ^{me}	(0 ^{me} 55)	A pleine épaisseur	"	t_c 100 ^{mm}	Q 1371 ^{me}		
Montants et contre-fiches	20 ^{me} 1 ^m 04	"	"	Tranches de 1 ^m 50 environ alternées	1 mois 1 2 environ	t_v 50 ^{mm}	Q : S_p 3 ^{me} 25 Q : W 0 ^{me} 32		
Coins entre billots de bois dur	150 ^{mm}	"	"		Milieu d'août		D 41396'		
							D : S_p	27'4	148'7
							D : W	2'7	14'8
							D : Q	"	54'0
Fixe	7			A pleine épaisseur	Tympan construits	t_c 20 ^{mm}	Q 1437 ^{me}		
Montants et contre-fiches	20 ^{me} 0 ^m 88			Tranches isolées	1 mois 1 2 environ	t_v 110 ^{mm}	Q : S_p 3 ^{me} 54 Q : W 0 ^{me} 31		
Coins	120 ^{mm}				Octobre	t_v' 0	D 24951'		
							D : S_p	61'5	101'7
							D : W	5'4	9'0
							D : Q	"	46'4
Fixe	17	"	"	A pleine épaisseur	Tympan construits	t_c 100 ^{mm}	Q 7383 ^{me}		
Passer navigable de 6 ^m	20 ^{me} 1 ^m 025	13574'	14'0	Tranches isolées	1 mois 1 2 environ	t_v 40 ^{mm}	Q : S_p 4 ^{me} 75 Q : W 0 ^{me} 80		
Montants et contre-fiches	150 ^{mm}	"	"		Août		D 44487'		
Coins							D : S_p	9'0	231'0
							D : W	1'2	31'7
							D : Q	"	41'4

1. de la surface de douelle, voir Avertissement, Tome III, p. III, n° 7 — A. 3. S_p — Longueur (col. 2) \times Largeur entre parapets (col. 4) — C'est la surface offerte à la circulation
4. W — Surface vue de l'élévation \times Largeur entre parapets. 5. W' — Surface de l'élévation au-dessus des fondations \times Largeur entre parapets
Pour S_p , W, W', voir Avertissement, Tome III, p. III, n° 7 — B.

VOÛTES INARTICULÉES > 40^m EN BÉTON PEU ARMÉ

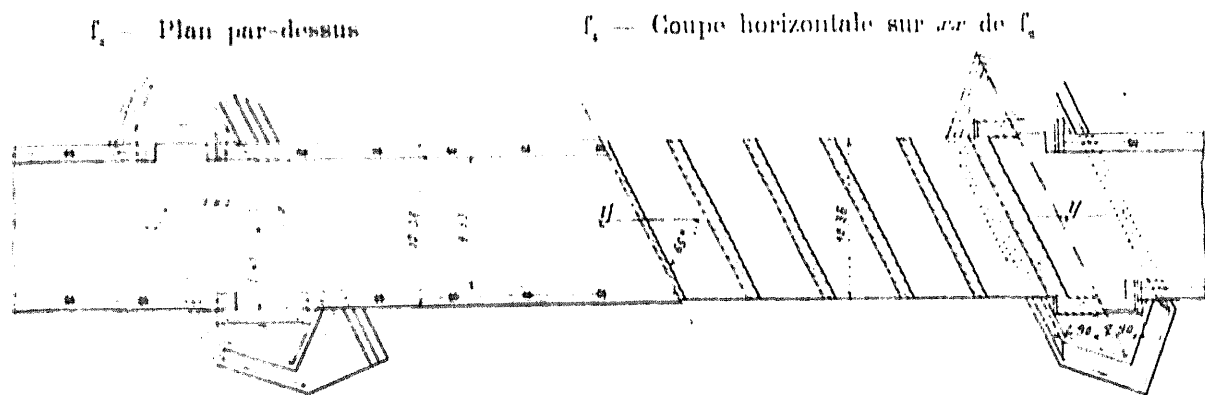
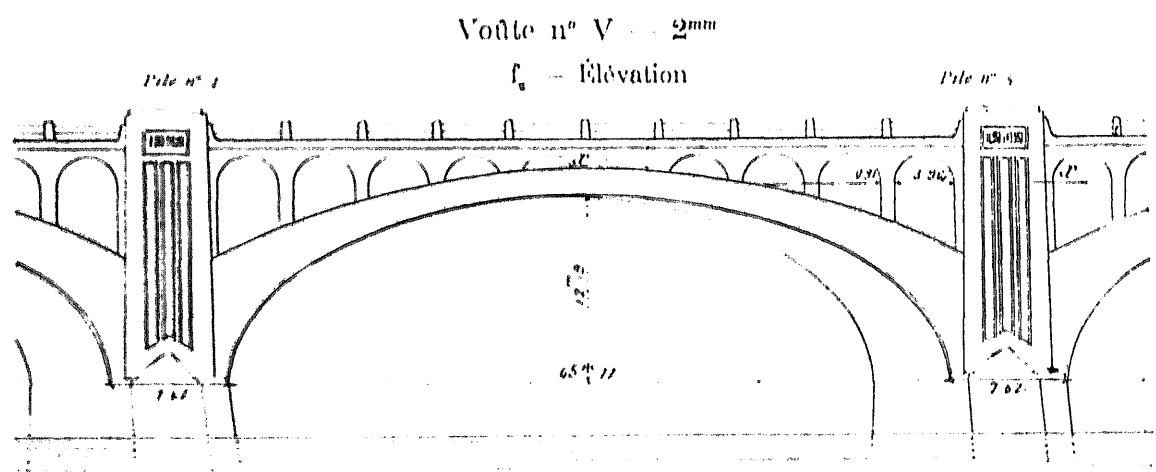
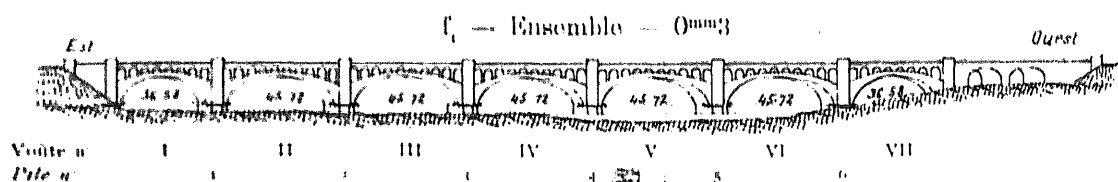
MONOGRAPHIES

1. — PONT SUR LA DELAWARE, PRÈS DE PORTLAND

(ÉTATS-UNIS, - Pennsylvanie)

Raccourci Slateford-Hopateong (Delaware, Lackawanna and Western R. R.)

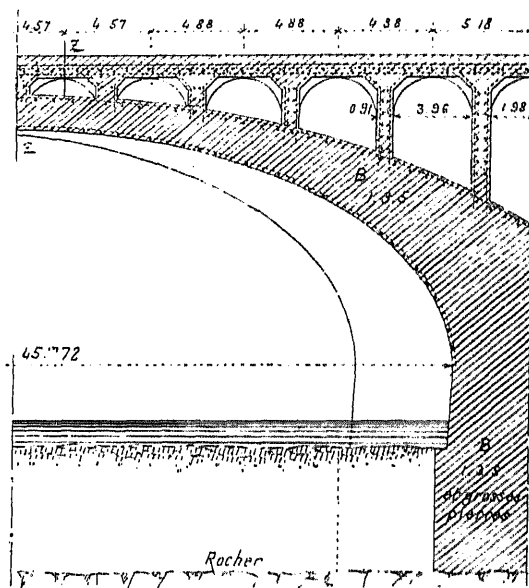
1909-1910



1. Pile-culée n° 4 (f_1). — A la fin de la campagne de 1909, il restait à faire les voûtes V et VI. A cause des glaces, on ne pouvait laisser, pendant l'hiver, la voûte IV sur cintre. On élargit et on renforça la pile 4 (f_1 , f_2 , f_3).

Celles qui ont traversé la plate-forme, celles qui sont jetées par le vent sur l'extrados, s'écoulent par des sillons d (f_0) creusés dans l'extrados, parallèlement aux têtes.

f_3 — Demi-coupe en long sur yy de f_1 — 2^{mm}5



3. Parements. — Les arêtes des piles en rivière sont en granit.

Aux têtes des voûtes, les planches des cloisons avaient été placées suivant le rayon.

4. Appui des voûtes biaises sur les piles.

Les retombées présentaient 6 redans normaux aux têtes.

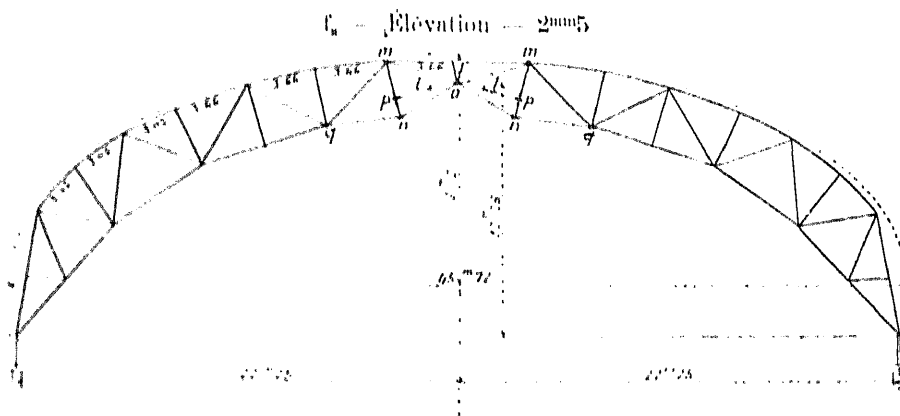
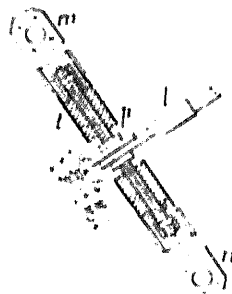
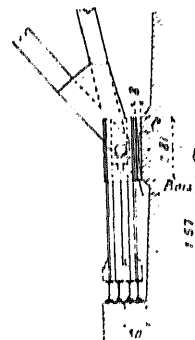
A la retombée Ouest de la voûte VII (f_1), chacun de ces redans était découpé en gradins horizontaux.

5. Culée Est. — Ses murs sont reliés par des poutres P (f_r) en béton armé.

6. Cintres. — A. - *Voûtes de rive*. — On a bâti l'arche VII sur le cintre, en bois, de l'arche I (f_1), transporté.

Y96.A1111
E6 E1111261 .A556563
Y96.A064331
A116.V2265 .A556563 V1

B. - Voûtes de 45^m72. — B_1 . Nombre de cintres. — Ceux des voûtes II et III ont servi aux 3 autres.

Cintre des voûtes de 45^m72 f_{10} — Appareil de manœuvre ($m n$ de f_v) — 2^m f_v — Appuis — 1^m

B_1 . Fermes (f_v). — Chaque ferme est un arc d'acier à 3 articulations, appuyé aux naissances : verticalement, sur le socle de la pile (f_v) ; horizontalement, sur un corbeau c en béton (f_h), rasé après décintrement.

B_2 . Dispositif pour mettre les fermes à hauteur et pour décintrer (f_v , f_{10}). — Les deux quadrilatères $m q n o$ (f_v) sont articulés. Leurs diagonales $m n$ sont formées de deux pièces $m p$, $n p$ dont les bouts s'engagent dans une tige filetée t (f_{10}) à pas de vis contraires. En manœuvrant un levier l on fait varier les longueurs $m n$ par suite $q o$ (f_v) : on peut ainsi abaisser ou relever le cerveau du cintre.

Pour décintrer, on enlève les pièces reliant les fermes, puis on manœuvre les leviers l .

B_4 . *Travail permis.* — Sous les charges : à la compression, $11^k9/0^{m001^2}$; à la tension, 11^k2 .

Sous les variations de température : la limite même d'élasticité.

Le cintre est une construction provisoire et l'écart maximum de température admis au calcul, 78° , ne pouvait pas se produire.

B_5 . *Tassements.* — Pour un béton pesant 2430^k , on avait calculé que le cintre tasserait :

sous le poids propre du cintre	de $2^{mm}4$
sous le poids de la voûte	de $34^{mm}1$
pour un abaissement de température de 78° Centigr	de $13^{mm}5$

Les tassements mesurés ont été sensiblement ceux-là.

7. Personnel.

A. - *Ouvrage.*

Projet : Ingénieurs en chef : M. Lincoln Bush, M. Am. Soc. C. E.,
puis M. G. J. Ray ;

Ingénieur : M. B. H. Davis, Assoc. M. Am. Soc. C. E.

Direction des Travaux : M. F. L. Wheaton, Ingénieur.

Entrepreneurs : MM. Smith et McCormick, d'Easton, (Pennsylvanie).

B. - *Cintre.*

Projet, construction, montage et démontage ¹.

McClintic Marshall Construction Co, à Pittsburg.

Ingénieurs en chef : M. Paul L. Wolfel, M. Am. Soc. C. E.

Ingénieur : M. David S. Gendell, Jr.

1. — Démontage sous la direction des Entrepreneurs du Pont.

SOURCES :

S_1 . — Engineering News, 30 décembre 1909, p. 713 à 716 : « *The Delaware River concrete Bridge, Slateford-Hopatcong Cut-off; Delaware, Lackawanna and Western R. R.* »
Les dessins sont de S_1 .

S_2 . — Railway Age Gazette, 3 janvier 1913, p. 9 à 14 : « *The Hopatcong-Slateford Cut-off* » by C. W. Simpson, Resident Engineer, Delaware, Lackawanna and Western ; p. 12 à 14 : « *Delaware River Bridge* ».

S_1 signale, p. 713, un autre grand pont en béton de la même ligne, sur le Paulins Kill, près de Hainesburg (New-Jersey).

S_2 le décrit, p. 11 et 12. Il a 5 voûtes en plein cintre de 36^m58 , en béton peu armé.

2. — PONT DE LA MONROE STREET, SUR LE SPOKANE A SPOKANE (ÉTATS-UNIS, - Washington)

1909-1911

Φ_1 — aval (S''_a)



1. Deux ponts jumeaux. — Deux ponts jumeaux, écartés de 6^m006, portent une plate-forme en béton armé qui les déborde de 2^m00. Sur deux anneaux, larges ensemble de 9^m754, on a 20^m72 entre parapets.

C'est une réplique des Ponts de la Rocky River¹ et de Walnut Lane², comme ceux-ci du pont de Luxembourg^{3, 4}.

2. Cintre. — Un premier cintre, retroussé, contreventé par des haubans, fut renversé le 21 juin 1910 par un vent de 19^m à la seconde.

Le cintre a été ripé du premier anneau sous l'emplacement du second.

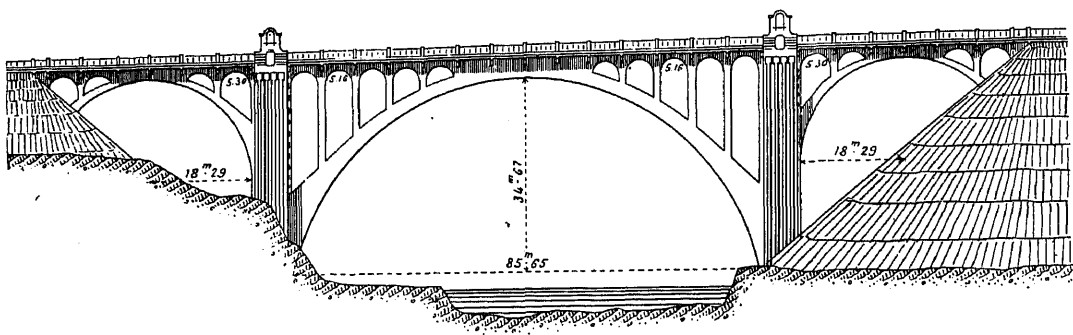
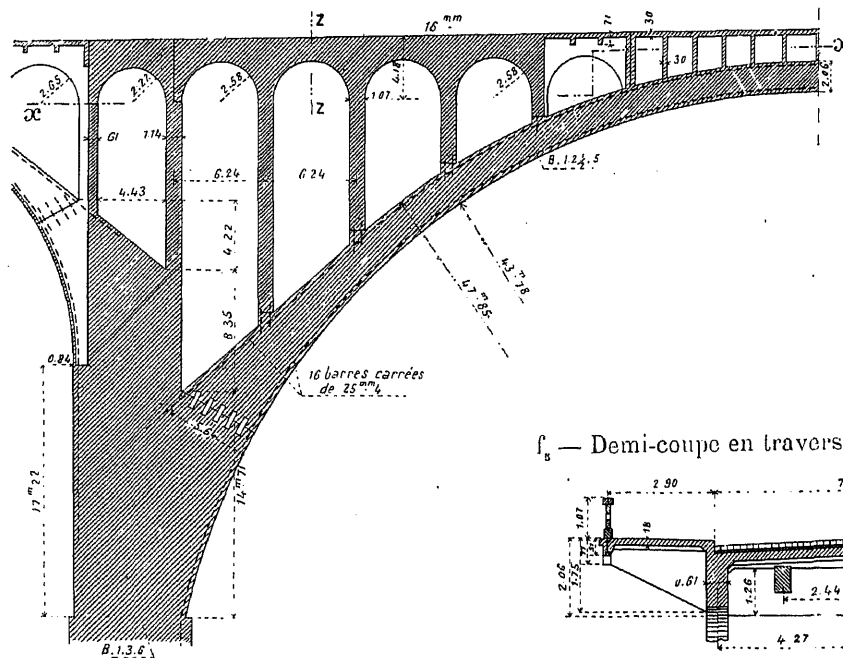
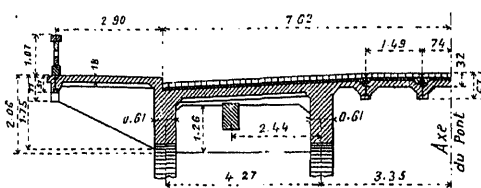
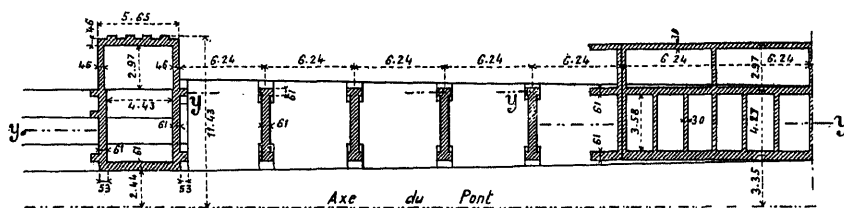
1. — $\hat{A}^1 \hat{A}^1 r^{1e} (\approx 40m)^3$ 2. — $\hat{A}^1 \hat{A}^1 r^{1e} (\geq 40m)^2$ 3. — $\hat{A}^1 \hat{A}^1 r^{1e} (\leq 40m)^1$ — Tome II.

4. — On a récemment exécuté à Pittsburg 2 grands ponts de même aspect :

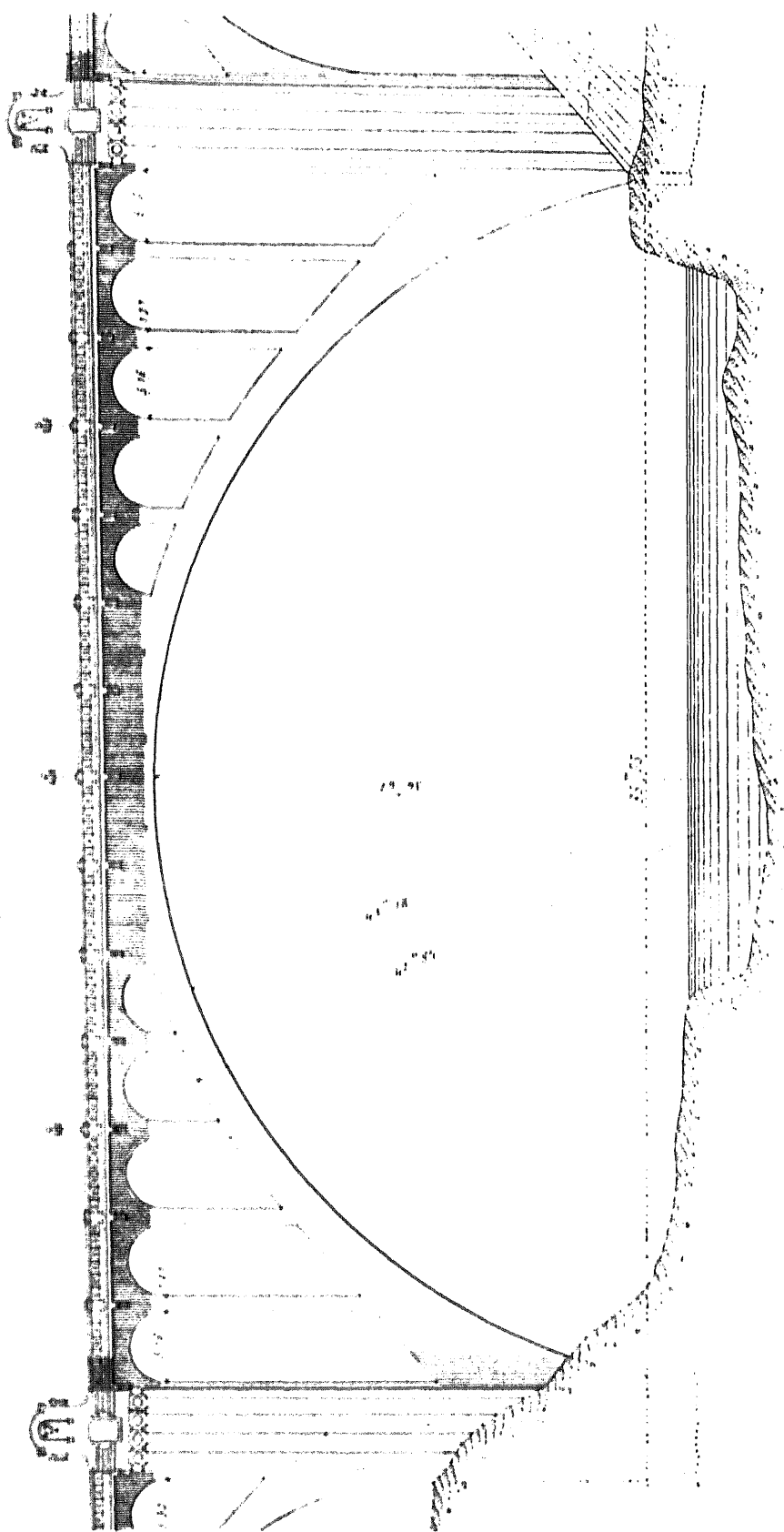
 Pun en trois anneaux, Pont de la Meadow Street, terminé en 1910 (Portée : 63^m70) (*Engineering News*, 1^{er} décembre 1910) ;

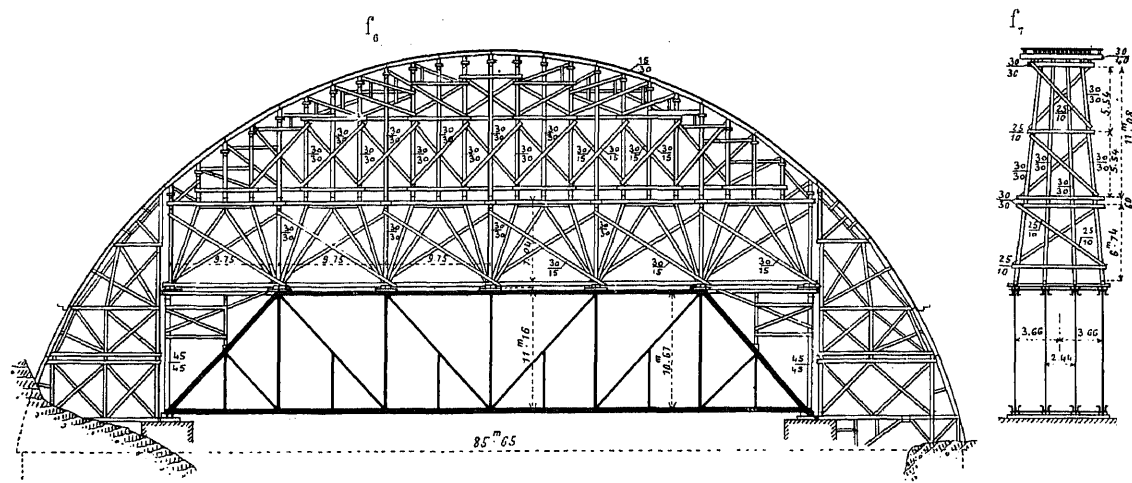
 l'autre en deux anneaux, Pont de la Larimer Avenue, terminé en août 1912 (Portée : 91^m57) (*Engineering News*, 19 décembre 1912).

Mais ces deux ponts sont tout entiers en béton armé.

f_1 — Ensemble 0^m75 f_2 — Coupe en long sur yy de f_1 — 2^mm f_3 — Demi-coupe en travers sur zz de f_2 — 5^mm f_4 — Coupe horizontale sur xx de f_2 — 2^mm

1. -- Grande arche



Cintre — 1^m5

3. Dates.

Commencement des travaux..... septembre 1909
 Achèvement des fondations..... avril 1910

	1 ^{er} anneau	2 ^e anneau
Grandes voûtes.....	5-11 mai 1911	5-13 juillet 1911
Décintrement.....	8 juin	10 août
Ouverture à la circulation.....	23 novembre 1911	

On a attendu 6 mois les poutres d'acier du cintre : l'exécution a duré 1 an 5 mois.

4. Personnel.

Projet : M. John C. Ralston, M. Am. Soc. C. E., « City Engineer ».

Architecture : MM. Cutter et Mulmgreen, Architectes.

Exécution (en régie) : M. John C. Ralston ; puis, à partir d'avril 1910, M. Morton Macartney, M. Am. Soc. C. E., « City Engineer », MM. J. F. Greene, P. F. Kennedy et Roy Maloney « Assistant Engineers ».

On a armé les grandes voûtes sur les conseils du Professeur Wm. Burr, de New-York (S^{rs}).

SOURCES :

S₁. — Renseignements et photographies qu'a bien voulu me donner M. J. C. Ralston, mai 1911.

S₂. — Dessins d'exécution (S'₂), renseignements (S''₂) et photographies (S'''₂) gracieusement communiqués par M. Morton Macartney, - février 1912.

S₃. — Engineering News :

S'₃. — 2 septembre 1909, p. 241 à 243 : « *The Monroe St. Bridge, Spokane, Washington : A concrete bridge containing a 281-ft Arch* ».

S''₃. — 4 mai 1911, p. 546, 547 : « *The Centering for the 281 ft Concrete Arch of the Monroe St. Bridge, Spokane, Wash.* » by P. F. Kennedy.

3. — PONT SUR LA BOBER, A BOBERULLERSDORF

(PRUSSE, - Silésie, - Cercle de Hirschberg)

Route de Boberullersdorf à Boberröhrsdorf

1908-1909

$\Phi'_1 - (S''_1)$



1. Trottoirs. — Ils sont en encorbellement sur des consoles en béton armé (f_1).

2. Parements vus. — Après la construction d'un barrage en aval, le pont sera noyé jusqu'à 2^m20 sous la clef. On s'est contenté de recouvrir les parements vus d'un enduit de ciment lissé (S''_1).

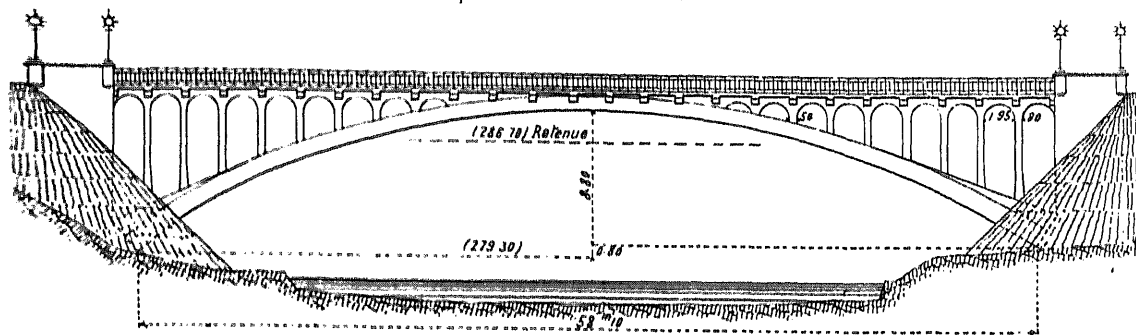
3. Joints de dilatation. — Il y en a 4 au-dessus de chaque demi-voûte.

4. Dates.

Commencement des travaux	8 avril 1908
Montage du cintre.	15 mai - 15 juin
Grande voûte	20 juin - 4 juillet
Décintrement	Milieu d'août
Ouverture à la circulation	1909

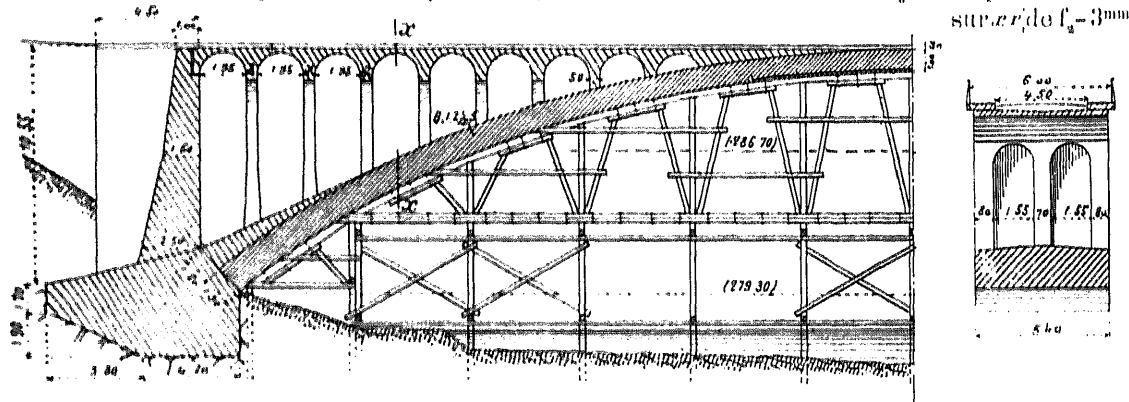
1. — Cliché *Germania*, Hirschberg, Silésie.

f₁ — Élévation — 2mm



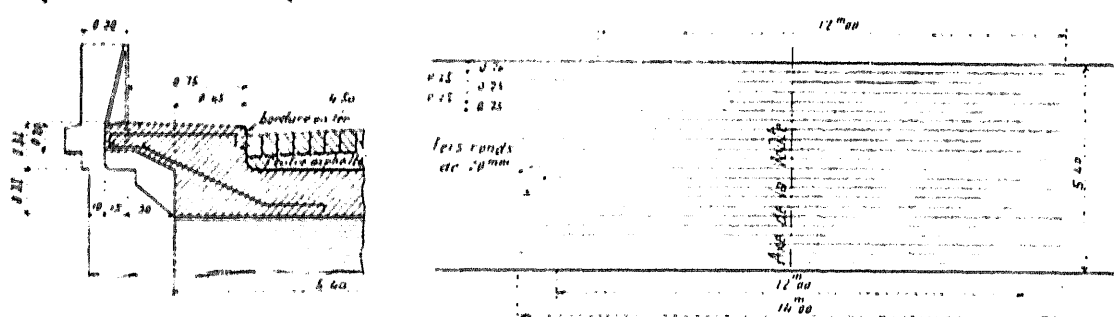
f₂ — Demi-coupe en long et cintre — 3mm

f₃ — Coupe en travers sur x'x' de f₂ — 3mm



f₄ — Couronnement — 2mm

f₅ — Comment est armé le cerceau de la voûte
Plan — 5mm



5. Personnel.

Projet et Entreprise : MM. B. Liebold et C^{ie}, d'Holzminden.

Direction des Travaux : M. Riemenschneider, Ingénieur.

SOURCES :

S₁ — Dessins d'exécution (S'₁), renseignements (S''₁) et photographie (S'''₁), gracieusement adressés par M. B. Liebold, en août 1909.

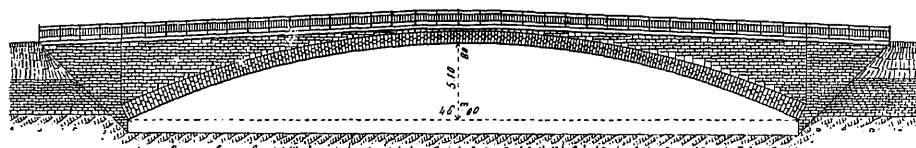
S₂ — Renseignements qu'a bien voulu me donner M. Lau « Landesbaurat » à Breslau.

4. — PONT SUR L'ALME, A ELSSEN¹ (PRUSSE, - Cercle de Paderborn)

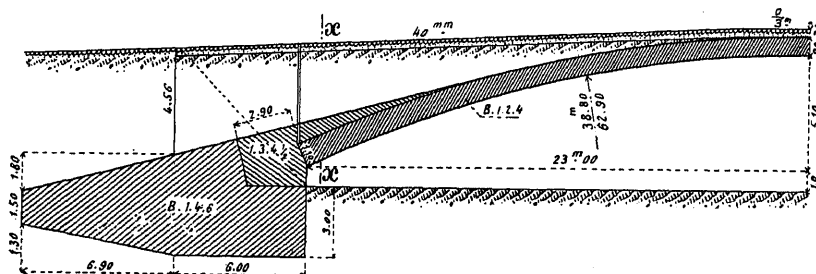
Route de Paderborn à Elsen-Bentfeld

1909-1910

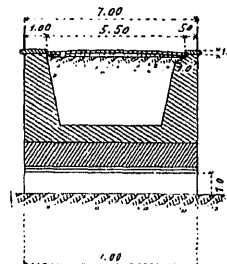
f_1 — Élévation — 2^{mm}



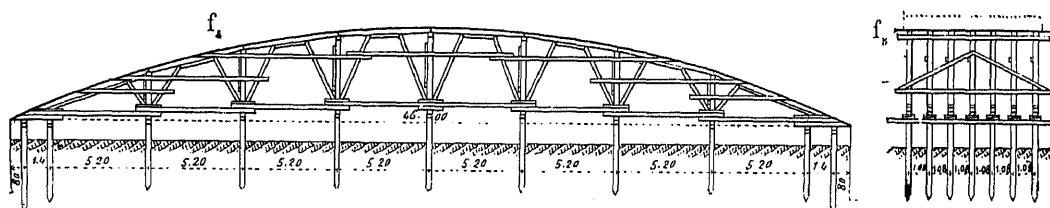
f_2 — Coupe en long — 3^{mm}



f_3 — Coupe en travers sur xx de f_2 — 3^{mm}



Cintre — 2^{mm}5



1. Joints de dilatation (S_2). — Il y en a 8, à égale distance les uns des autres.

2. Dates (S'').

Commencement des travaux.....	Fin octobre 1909
Grande voûte.....	1 ^{re} moitié d'août 1910
Décintrement.....	Commencement d'octobre
Ouverture à la circulation.....	Fin novembre

1. — près de Paderborn.



3. Personnel (S''_1).

Ingénieurs.

Projet : M. Wehrmann, « Kreisbaumeister » à Paderborn ;

M. B. Liebhold, d'Holzminden.

Direction des Travaux : M. Linnenberg.

Entrepreneurs : MM. B. Liebhold et C^{ie}, d'Holzminden.

SOURCES :

S_1 . — Dessins (S'_1), renseignements (S''_1) et photographie (S'''_1) que m'a gracieusement adressés M. B. Liebhold, mars 1912.

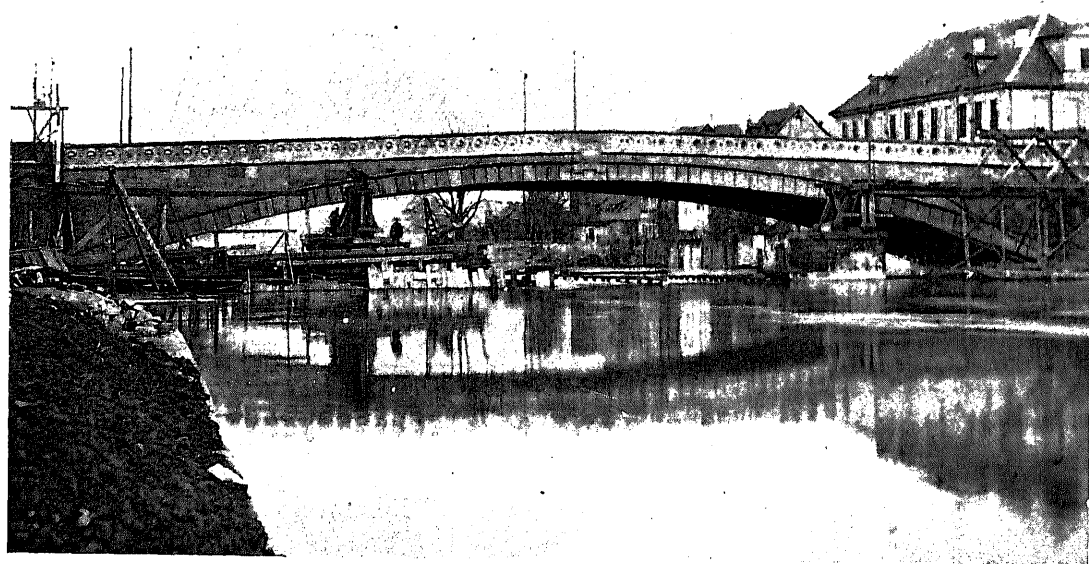
S_2 . — Dr Ingenieur F. von Emperger. — Handbuch für Eisenbetonbau. Zweite neubearbeitete Auflage. Sechster Band. Brückenbau, p. 513 à 515 : « Strassenbrücke über die Alme » bei Elsen ».

5. — PONT SUR LA FULDA, A CASSEL (PRUSSE)

Rue reliant la vieille Ville à la nouvelle

1909-1910

Φ_1 (S''')



1. Parements vus. — Les bandeaux et tympans sont en pierre de taille (grès jaunâtre du Mein). Les voussoirs de tête sont en saillie de 6^{cm}.

2. Joints de dilatation. — Il y en a un au-dessus de chaque retombée.

3. Dates.

Commencement des travaux.....	Milieu d'avril 1909
Grande voûte.....	Milieu de juin 1910 - commencement de juillet
Décintrement.....	Milieu d'août
Ouverture à la circulation.....	Commencement de décembre

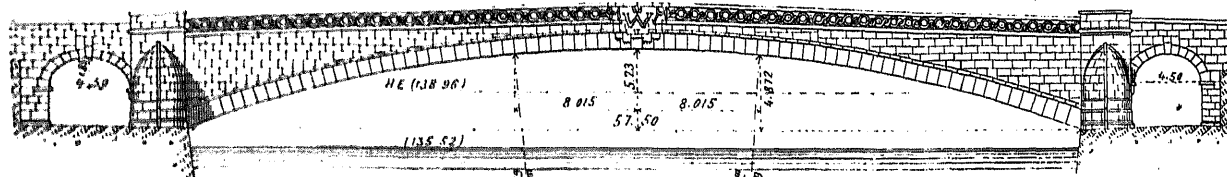
4. Personnel.

Projet et Entreprise : MM. B. Liebold et C^{ie}, d'Holzminden.

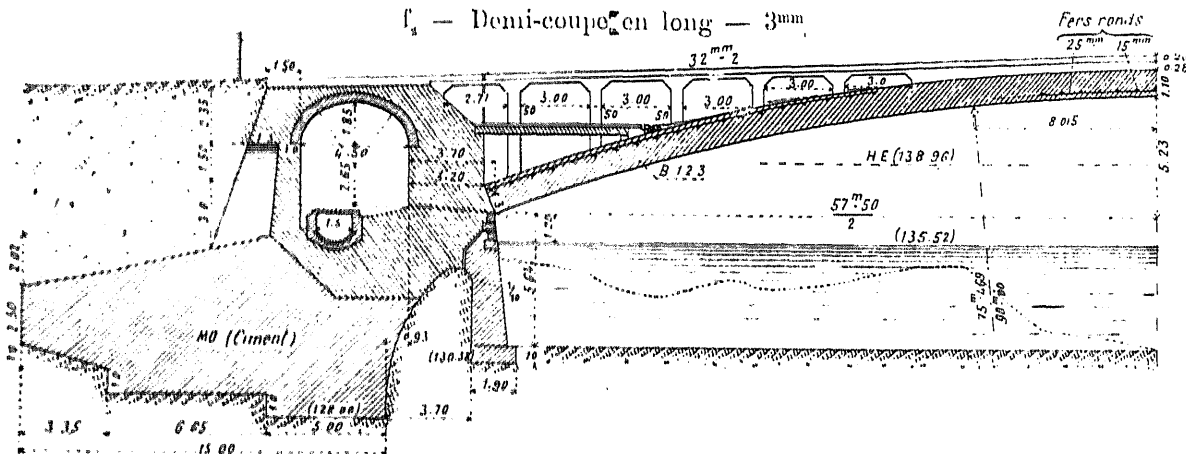
Architecture : M. Roth, Architecte à Dresde.

Direction des Travaux : M. Riemenschneider.

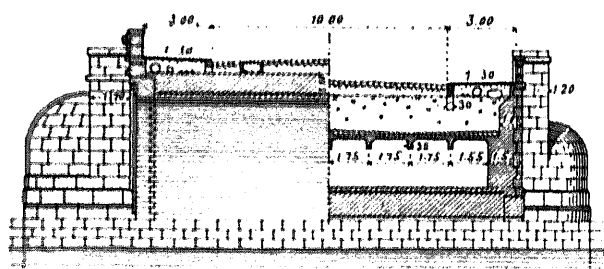
f_1 — Élévation — 2^{mm}



f₃ — Demi-coupe en long — 3mm

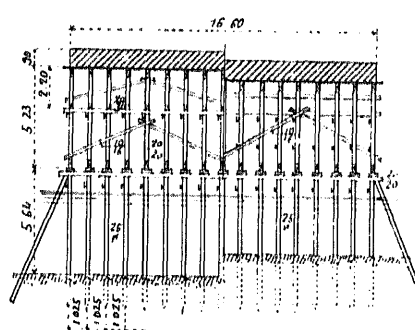


f₁ — Demi-coupes en travers — 3mm
à la clef aux retombées

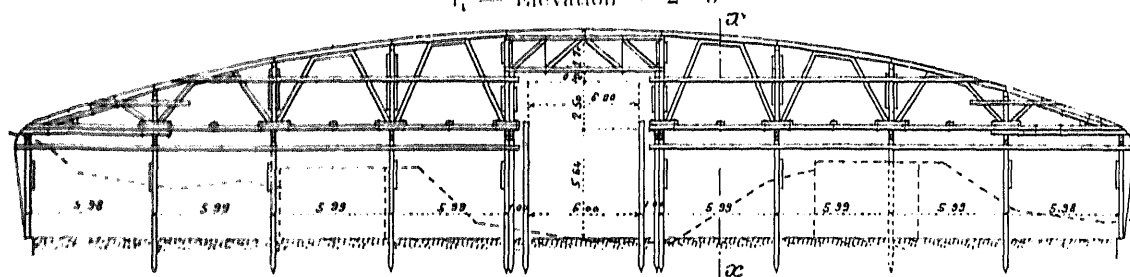


Cintre

f_8 — Demi-coupes on travers — 2^{mm}5
à la clef sur xx de f_1



Centre
Elevation = 2mm5



SOURCES :

S₁. — Dessins (S'₁), renseignements (S''₁) et photographies (S'''₁), gracieusement communiqués par M. B. Liebold, mars 1912.

S., — Dr Ingenieur F. von Emperger. — Handbuch für Eisenbetonbau. — Zweite
neubearbeitete Auflage. Sechster Band. Brückenbau, p. 509 à 511 : « *Strassenbrücke über die*
« *Fulda in Kassel* ».

TITRE II

VOÛTES INARTICULÉES

DE 40^m DE PORTÉE OU PLUS

TOMBÉES PENDANT QU'ON LES CONSTRUISAIT

1. — PONT DE MARBRE, A PISE (ITALIE) (indiqué sous toutes réserves

Arc de 72^m 389 (??) tombé en 1644.

« ...le fameux (pont) de Pise, essayé par Alexandre Bartolotti d'un seul arc de 121 brasses (72^m 389)¹ de corde, ... étant encore sur le cintre et après une dépense de 25.000 Ducats, tomba en 1644, comme Michelini l'avait prédit... »²

2. — PONT DE MANSART, SUR L'ALLIER, A MOULINS (ALLIER)

Emporté en 1710 (Arche centrale : 44^m 83)

Le pont d'Hardouin Mansart³, « Surintendant des Bâtiments du Roy », avait 3 arches en anse de panier⁴ : une centrale de 23 toises (44^m 828), 2 de rive de 17 toises 1/2 (34^m 108), 2 piles épaisses de 39 pieds (12^m 669).

1. — C'est la portée du Pont de Trezzo, \hat{A}^1 1^{re} (— 40^m)¹, Tome III, p. 19.

2. — « De la véritable courbe des arches du Pont de la Trinité à Florence ». Mémoire géométrique et historique de Pierre Ferroni². — Inséré dans le Tome XIV de la Société italienne des Sciences, 1808). Mahéran « Mission d'Italie, en 1852 ». (Bibliothèque de l'École des Ponts et Chaussées, M. S., n° 404).

² Ferroni, de Florence (1744-1824), professeur de mathématiques à Pise (Grande Encyclopédie).

3. — « ... Il (Mansart) fit un pont à Moulins, où il alla plusieurs fois. Il le crut un chef d'œuvre de solidité, il s'en vanta avec complaisance. Quatre ou cinq mois après qu'il fut achevé, Charlus, père du duc de Lorraine, vint au lever du roi, arrivant de ses terres tout proche de Moulins, ... C'étoit un homme d'esprit, peu content, et volontiers caustique. Mansart, qui s'y trouva, voulut se faire louer, lui parla du pont, et tout de suite pria le roi de lui en demander des nouvelles. Charlus ne disait mot. Le roi, voyant qu'il n'entrait point dans la conversation, lui demanda des nouvelles du pont de Moulins. — Sire, repandit froidement Charlus, je n'en ai point depuis qu'il est parti, mais je le crois bien à Nantes présentement. — Comment ! dit le roi, de qui croyez-vous que je vous parle ? C'est du pont de Moulins. — Oui, Sire, repliqua Charlus avec la même tranquillité, c'est le pont de Moulins qui s'est détaché tout entier la veille que je suis parti, et tout d'un coup, et qui s'en est allé à eau l'eau... »

⁴ Saint Simon, Paris, 1846-1857, t. II, Hachette, volume 4^e, p. 140.

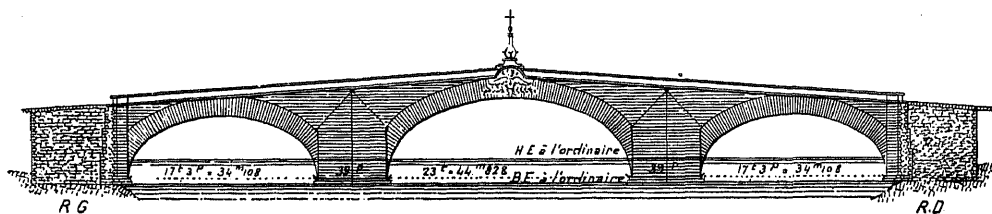
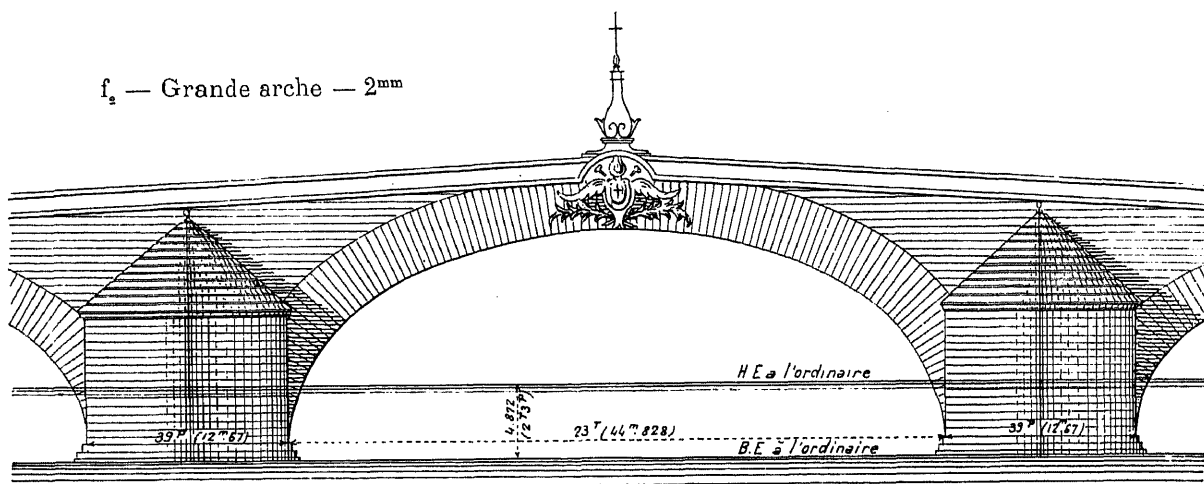
De Regemortes (renvoi 5) spécifie que le pont est tombé le 8 novembre 1710. La conversation rapportée par Saint Simon est de quelques jours après.

Or, Mansart serait mort en 1708. (Grande Encyclopédie).

4. — D'après des dessins dont l'un, du 20 juillet 1709, est signé comme « vu » par « Mansart de Sagone ». (Bibliothèque de l'École des Ponts et Chaussées, M. S., n° 1628.)

La date et la signature sont d'encre et d'écriture différentes : on a indiqué l'avancement des travaux sur un ancien dessin.

« La première pierre fut posée le 3 Septembre 1705; les Arches entièrement fermées étaient encore sur leur ceintre, sans que le dessus du Pont fut achevé; « lorsque le 8 Novembre 1710, une crue occasionna la chute de la plus grande partie de cet ouvrage, construit avec un soin & une exactitude tant sur le choix « que sur l'emploi des matériaux, dont il n'y a peut-être point d'exemple. »⁵

f₁ — Ensemble — 0^{mm}75f₂ — Grande arche — 2^{mm}

La clef de l'arche centrale était décorée d'un cartouche; au-dessus, devait se dresser une pyramide comme plus tard à Blois (1716-1724).

Tout était fondé sur pilotis; les voûtes étaient construites sur cintre retroussé, du type adopté plus tard par Perronet.

En 1707, les massifs s'élevaient à 3 assises au-dessus des naissances.

Le 20 juillet 1709, les piles étaient montées à mi-hauteur du chaperon; comme plus tard à Blois, l'arrière-bec était en trapèze.

Le débouché total, de 58 toises (113^m 04), était tout à fait insuffisant: de là, les affouillements qui ont fait tomber le pont.

Le pont construit plus tard par de Régemortes (achevé en 1763) a 13 arches de 10 toises, soit un débouché de 130 toises (253^m 37).

5. — « Description du nouveau Pont de pierre construit sur la Rivière d'Allier à Moulins, par « M. de Régemortes, Premier Ingénieur des Turcies et Levées », M. DCC. LXXI, Paris, Imprimerie de Lottin, (Avant-propos, p. 1).

3. — PONT SUR LE PANARO, PRÈS DE MODÈNE (ITALIE)

Arche de 49^m 376, tombée en 1789

« Dans l'Italie entière, il n'y aurait pas eu un pont si extraordinaire et majestueux que celui que Bolognini... voulut de nos jours élever sur le Panaro, le composant d'un seul arc de 152 pieds de Paris de corde (49^m 376), 48 de flèche (15^m 592) et 8 d'épaisseur à la clef (2^m 599), sur la nouvelle route de Modène... mais... quoique moins grand... il eut le même sort sinistre... déjà arrivé à Bartolotti. »⁶.

Au sujet de cet ouvrage, M. l'Ingénieur en chef Zanotti a bien voulu consulter le Directeur des Archives de Modène, M. Giovanni, lequel lui a donné les renseignements que voici :

Une ordonnance du duc Hercule III, en date du 19 mars 1786, approuva la construction d'un pont à une arche sur le Panaro, de 152 pieds d'ouverture, 48 pieds de flèche, appelé Pont Saint-Ambroise, à construire sous la voie Emilienne, entre Modène et Bologne, à environ 6^k de Modène.

On commença les travaux le 24 avril 1788 ; mais, le 24 juin 1789, le cintre céda, entraînant la voûte.

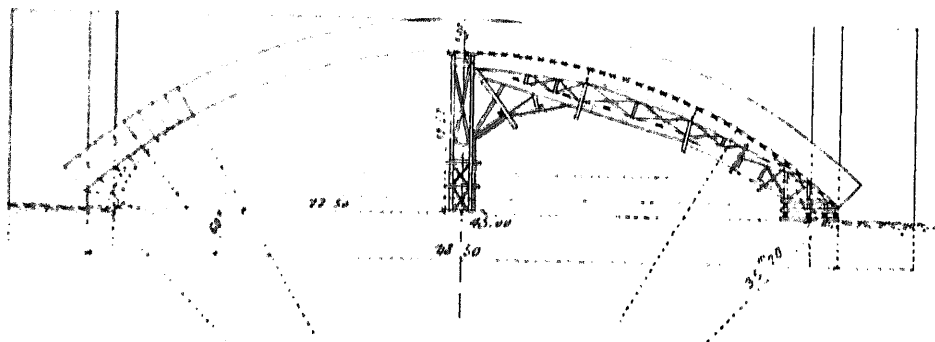
4. — PONT DE SAINT-GEORGES, SUR LE LIRI (ITALIE)

Route de Formia à Cassino

Voûte de 45^m tombée en 1873⁷

L'entrepreneur devait exécuter l'ouvrage en deux ans, pour 134.000 liras.

Fig. — Élévation et Cintre — 2^{mm}



En 1872, on construisit les culées ; en 1873, le cintre et la voûte. On allait la terminer⁸, lorsque, dans la nuit du 15 octobre, elle s'écroula avec son cintre.

6. — Source indiquée renvoi 2.

7. — « Sulle cause che produssero la ruina del Ponte in muratura sul Liri presso S. Giorgio. » Conferenza dell'Ingegnere Pasquale Sasso.

(Estratto dagli Atti del Collegio degli Ingegneri et Architetti in Napoli, Anno V, fasc. 16, Nov. e Dic. 1886). — Naples, 1886.

8. — « che, compiuta quasi, ruinò... »

308 VOÛTES INARTICULÉES $\geq 40^m$ TOMBÉES PENDANT QU'ON LES CONSTRUISAIT

Il paraît que l'exécution n'a pas été conforme au projet.

Le cintre était d'un mauvais type, en mauvais bois, et mal exécuté ¹⁰.

10. — Le même entrepreneur construisit, en 1878, un pont de 20^m sur le Vulturne : il s'écroula au décintrement. Il subsista, encastée dans une culée, une plaque de marbre portant son nom.

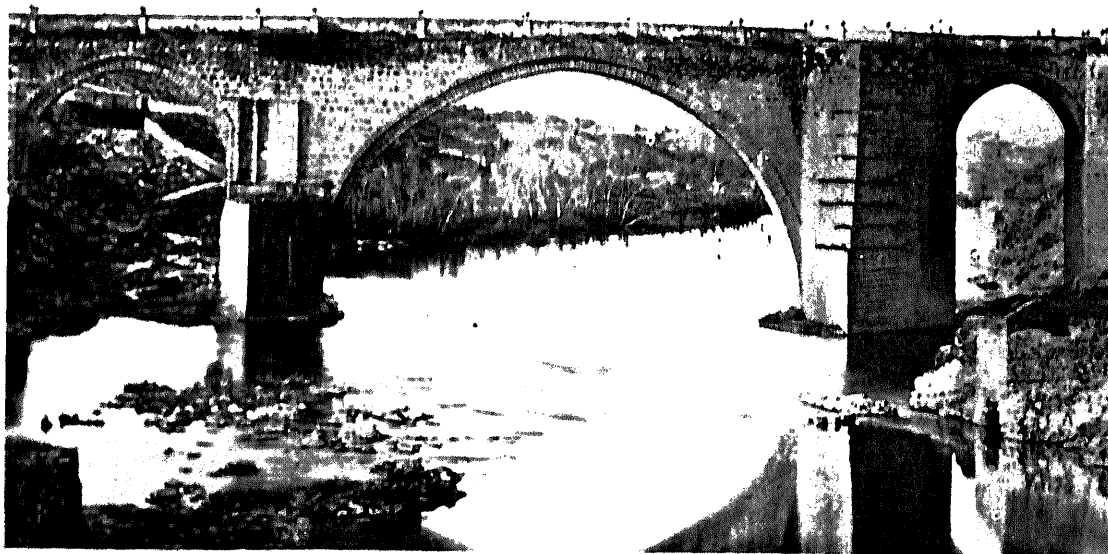
TITRE III

VOÛTES INARTICULÉES AUXQUELLES ON A ATTRIBUÉ A TORT 40^m DE PORTÉE OU PLUS

III. A. — PONTS QUI EXISTENT, MAIS QUI N'ONT PAS 40^m

1. — PONT SAINT-MARTIN, SUR LE TAGE, A TOLEDE (ESPAGNE, - Nouvelle-Castille)

Φ_1 — amont ¹



On lui a attribué une portée de 40^m25 ².

L'ouverture, difficile à mesurer directement, est réellement de 39^m75 ; la montée, de 20^m45 ³.

1. — Photographie gracieusement donnée en 1908 par M. Carlos Alfonso, Ingénieur en chef des Ponts et Chaussées, Directeur des Travaux Publics de la Province de Tolède.

2. — Croizette-Desnoyers : « Construction des Ponts », Tome I, p. 43, Pl. IV, fig. 8.

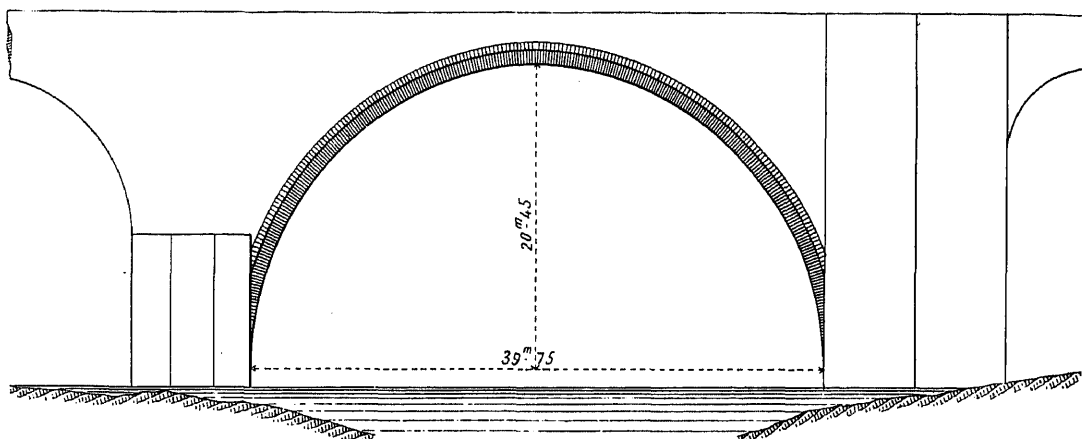
3. — Ces dimensions ont été gracieusement relevées, sur ma demande, en mai 1908, par les soins de M. l'Ingénieur en chef Carlos Alfonso.

C'est la plus grande voûte d'Espagne ⁴.

L'intrados est une ogive mousse, très peu surhaussée, presque un plein cintre.

Les têtes sont en deux rouleaux superposés, celui de dessus en saillie. Les bandeaux et la douelle sont en granit ⁵.

f₁ — Grande arche — amont — 2^{mm}



Voici quelques indications empruntées à l'histoire d'un Archevêque de Tolède ⁶:

Il y eut là un pont romain, emporté par une crue en 1211 ⁷ ou en 1203 ⁸.

4. — Voici les plus grandes voûtes d'Espagne : toutes sont antiques :

	Intrados	Portée	Montée	Siècle	
Pont St-Martin, à Tolède	Ogive surhaussée	39 ^m 75	20 ^m 45	XIV ^e	Voir sa monographie, p. 311.
Pont d'Orense, sur le Miño	id.	37 ^m 60	19 ^m 60	XIV ^e ?	
Pont de Martorell, sur le Llobregat	Ogive surbaissée	37 ^m 30	15 ^m 20	?	id. p. 314.
Pont d'Almaraz, sur le Tage (Province de Cacérés, Route de Madrid à Cacérés).	Plein cintre	38 ^m		XVI ^e ?	Indications qui m'ont été données, en 1885, par l'Ingénieur de Cacérés. — Croizette-Desnoyers, Tome I, p. 59, Pl. VI, fig. 12.
	Ogive	32 ^m 46		restauré en 1842-45	

5. — Renseignement pris, sur ma demande, par M. Renaudot, Ingénieur en chef des Ponts et Chaussées.

6. — S₁ - « Historia de D. Pedro Tenorio, Arçobispo de Toledo » por El. D. (Doctor ?) Eugenio Narbona, natural de la ciudad de Toledo, su Capellan, — Tolède M.DC.XXIII (Bibliothèque Nationale, Oo. 664).

7. — S₁ - p. 111 (verso) « comme en témoignent les Annales de Tolède ».

8. — S₁ - p. 114 (recto).

Inscription sur une plaque de marbre blanc posée sous Philippe II :

PONTEM CIVIS RVINAE INDECLIVII ALVEO PROXIME VISVNTVR. FLVMINIS INVNDATIONE QVAE ANNO DOMINI M.CC.III SVPER IPSVM EXCREVIT DIRVTVM. TOLETANI IN HOC LOCO EDIFICAVERT. IN BEGILA (sic) HOMINVM CONSILIA. QVEM IAM AMNIS LAEDERE NON POTERAT PETRO, ET HENRICO FRATRIBVS PRO REGNO CONTENDENTIBVS, INTERRUPTVM PETRVS TENORIVS ARCHIEPISCOPVS TOLETAN. REPARANDVM CVRAVIT

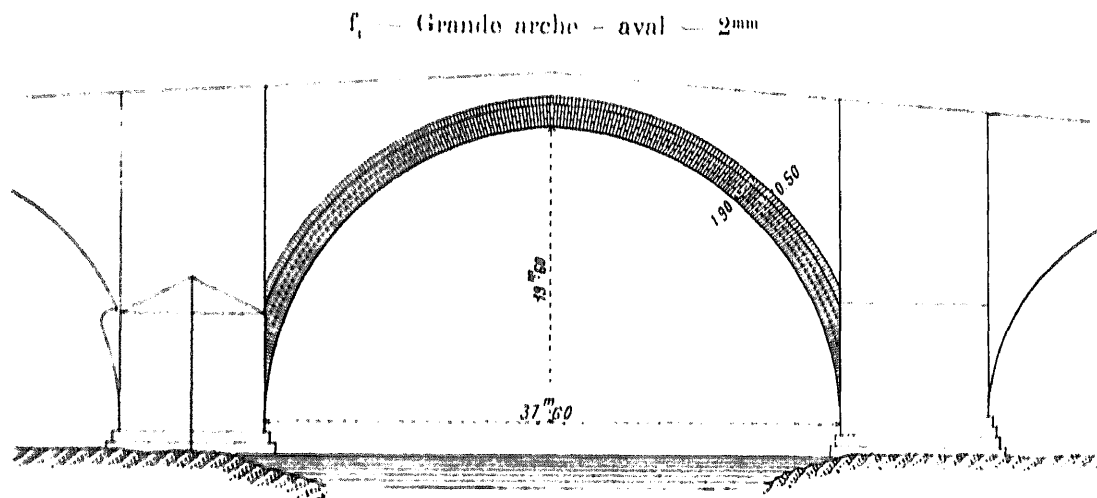
Les Toledans en bâtirent un nouveau, un peu en amont, avec 2 tours et 2 portes. Plus tard, demeurés fidèles à Pierre I^{er} (le Cruel), ils furent assiégés par son frère Henri de Transtamare, et, pour se défendre, ruinèrent la grande arche ⁹ de leur pont (1368, 1369?).

Don Pedro Tenorio, Archevêque de Tolède de 1376 à 1399, fit reconstruire la grande voûte, achever les tours ^{9, 10, 11}.

Philippe II y fit quelques réparations.

2. — PONT D'ORENSE SUR LE MIÑO (ESPAGNE, - Galice)

*Route de Villacastin à Vigo,
entre la ville d'Orense et le chemin de fer de Monforte à Vigo.*



Le pont d'Orense a 7 arches, dont 5 en ogive.

9. — S₁ - p. 112 (verso).

10. — S₁ - p. 113 (recto). — Eugène de Narbonne conte cette jolie anecdote :

Le Constructeur s'aperçut, la voûte presque clavée, qu'il s'était trompé dans ses projets, et qu'elle tomberait sûrement au décentrement; il confia ses angoisses à sa femme. Celle-ci, jalouse de la réputation de son mari, mit, une nuit, le feu aux bois du centre; l'arche s'écroula, mais sa chute fut attribuée à l'incendie.

L'Archevêque répara, à ses frais, le dommage. La femme lui avoua ce qu'elle avait fait, et pourquoi: le Prélat goûta fort son action, et l'en récompensa.

11. — Sur le « Pont de l'Archevêque » s'élevaient deux hautes tours. (Los Reyes nuevos de Toledo, Christoval Lozano, 1667. — Bibliothèque nationale, Ol. 387. Réserve, p. 267).

On ne les y voit plus.

A la voûte du milieu, on a attribué une ouverture de 44^m¹², 43^m45¹³, 39^m¹⁴.

Elle a, réellement, 37^m60 de portée et 19^m60 de montée; elle est légèrement surhaussée, en ogive peu pointue, comme celle du pont Saint-Martin, à Tolède.

Φ_1 — Arches centrales, — aval¹⁵.



La base des piles de la grande voûte est à grand appareil, peut-être romain.

Toute l'élévation est du moyen-âge : par les rampes qui étaient de 91^{mm} et 66^{mm} avant la modification de 1880; — par ses ogives, dont quelques-unes ont un joint à la clef; — par le petit appareil de ses voûtes; — par ses becs pointus; — par ses deux rouleaux superposés de 1^m40 et 0^m50.

Aux reins de la voûte, on voit des trous carrés comme au pont de Céret¹⁶ : sans doute des trous de boulin pour appuyer le cintre.

Tout est en granit : il y a quelques mauvaises pierres.

Ces renseignements ont été, sur ma demande, gracieusement donnés par M. Juan B. Uriarte, Ingénieur des Ponts et Chaussées à Orense.

12. — Germond de Lavigne : « *Itinéraire de l'Espagne* », — Paris, 1866, p. 273. — M. Alfred Léger : « *Les travaux publics, les mines et la métallurgie au temps des Romains.* »

Dans la Statistique des Annales des Ponts et Chaussées d'octobre 1866, p. 542^{re}, n° 25, j'ai reproduit cette indication « *sous toutes réserves* ».

13. — M. L. Gaztelu, Marquis d'Echandia : « *Los grandes Arcos de Fábrica en los Puentes de España* ». (Revista de Obras Públicas, 12 juin 1899).

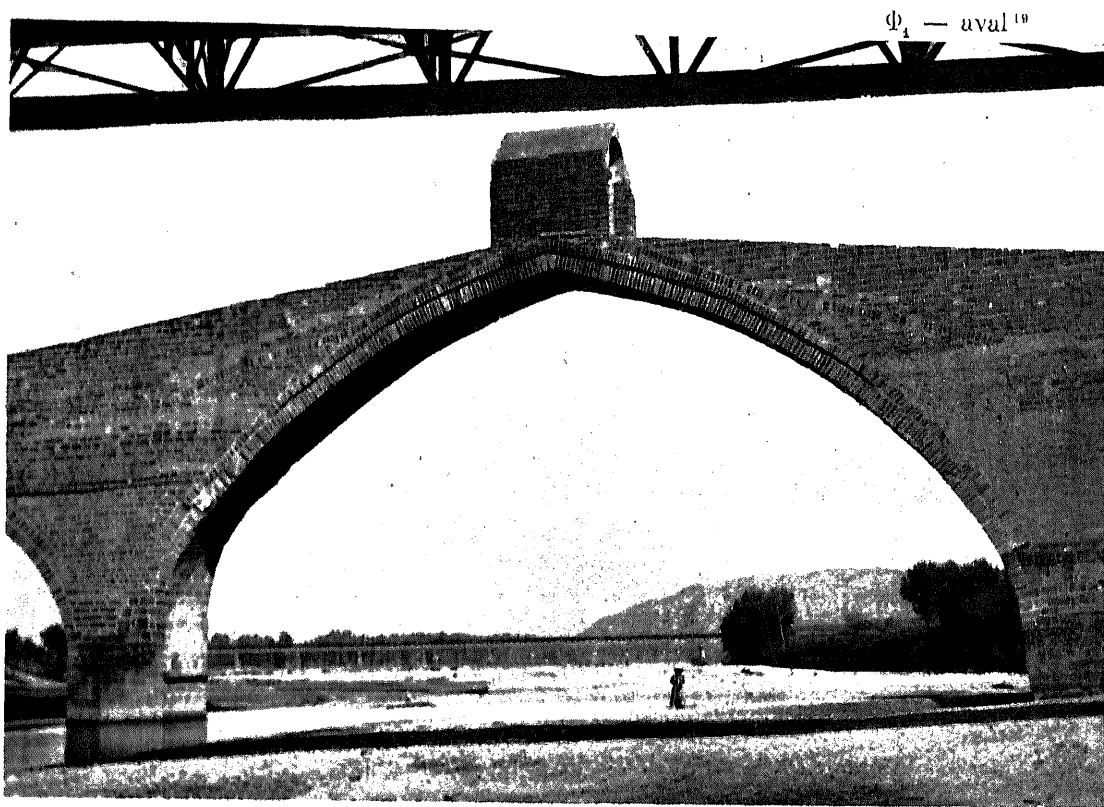
14. — Croizette-Desnoyers, « *Construction des Ponts* », Tome I, p. 45.

15. — Photographie qu'a bien voulu remettre M. Juan B. Uriarte.

16. — C¹ r^{te} ($\geq 40^m$)¹ — Tome I, p. 15.

3. — PONT DU DIABLE, SUR LE LLOBREGAT¹⁷, A MARTORELL¹⁸

(ESPAGNE, - Catalogne)



Voici les dimensions exactes de la voûte²⁰ :

Portée... 37^m30,

Montée... 15^m20.

C'est une ogive surbaissée, — forme rare et intéressante, — déformée en élévation et en plan. Une petite chapelle en charge utilement la pointe.

D'après l'appareil et le mode de construction, les culées, les bases des piles et l'arc de triomphe de la culée gauche, qui sont en grandes pierres de taille, sont romains. Les voûtes actuelles, en deux rouleaux superposés, et en petits matériaux, sont du Moyen-âge.

17. — et non sur la Noya comme le disent à tort Gauthier (*Construction des Ponts*, Tome I, p. 35), puis Crozet-Desnoyers (*Construction des Ponts*, Tome I, page 43).

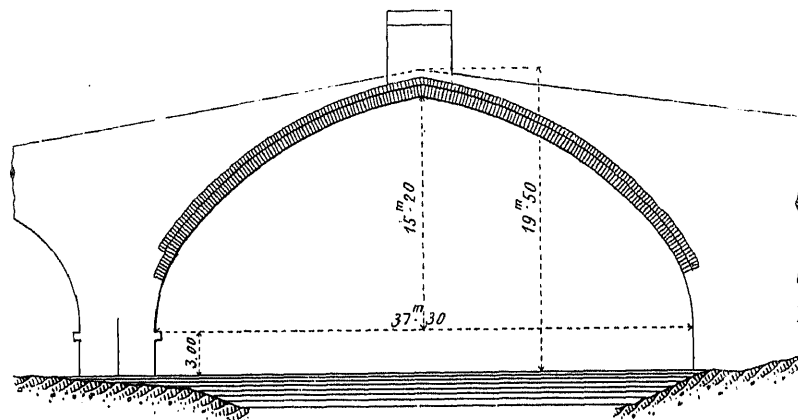
18. — Station du chemin de fer de Barcelone à Tarragone.

19. — Ce que j'ai vu — septembre 1907.

20. — gracieusement relevées sur ma demande, fin 1907, par M. Ortega, Ingénieur des Ponts et Chaussées à la Direction des Travaux Publics de la Province de Barcelone.

L'ouvrage a été restauré en 1768²¹.

f₁ — Grande arche, - aval — 2^{mm}



Une inscription de 1768, dans la chapelle de la clef, l'attribue à Annibal²¹.

La forme et l'appareil de l'ouvrage ne permettent pas de l'admettre ; l'Histoire non plus²².

21. — « Por los años de 535 de la fundación de Roma, fué construido este admirable puente por el « grande Anibal Capitán Cartaginés, é hizo erigir el Arco Triunfal que aun existe á su salida, en honor « de su padre Amilcar. Despues de 1985 años de duración, se hallara esta Fábrica muy mal tratada y en « estado de arruinarse enteramente; Pero á fin de conservar un Monumento de tan rara antigüedad lo « mandó restablecer en este año de 1768 la Magestad del Señor Don Carlos III Rey de España,... »

Texte qu'a bien voulu collationner, en 1913, M. l'Alcalde de Martorell.

22. — En effet, d'après l'inscription²¹, ce pont aurait été construit 1985—1768=217 ans avant J.-C. (L'inscription admet que la fondation de Rome est en l'an 535+217=752 avant J.-C. — Duruy (« Histoire des Romains », vol. 1, p. 7) adopte 754.

En 227, Asdrubal, gendre d'Amilcar, a conquis l'Espagne jusqu'à l'Ebre où les Romains l'arrêtèrent par un traité. En 221-220, Annibal, qui lui succéda dans le commandement des armées puniques, achève la soumission de l'Espagne jusqu'à l'Ebre.

En 219, il se jette sur Sagonte et l'emporte. Au printemps de 218, il part de Carthagène ; cinq mois après, il est à Turin (Duruy : « Histoire des Romains », volume 1 ; — Polybe : « Histoire générale », livres II et III).

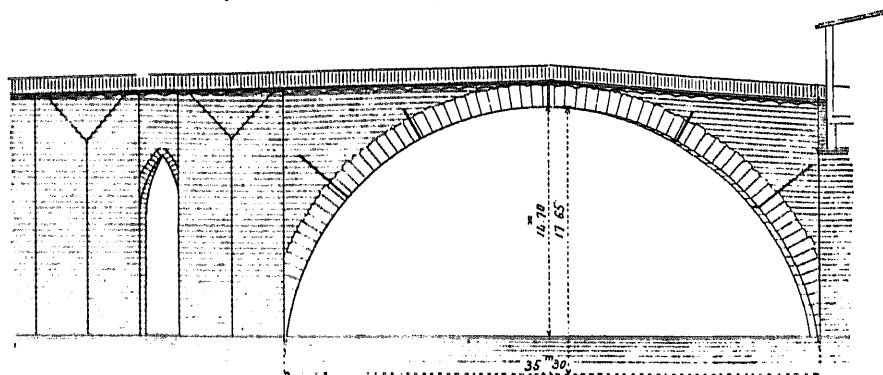
Ainsi, Annibal n'a pu traverser l'Ebre (lequel est encore à 40 lieues au sud de Martorell) avant 219, à cause du traité d'Asdrubal ; — ni en 219, à cause du siège de la grande ville de Sagonte qu'il n'emporte qu'après huit mois d'une résistance furieuse, ce qui ne lui a pas permis de distraire une partie de ses forces pour aller, en pays ennemi, où les Romains avaient déjà pris pied, à 80 lieues de Sagonte, faire construire un pont qui a demandé beaucoup plus d'une année et dont il n'avait que faire, puisque le Llobregat est presque partout guéable. En 218 seulement, il franchit l'Ebre, mais pour suivre à marches forcées la route d'Italie. Le pont qu'on lui attribue, étroit et à très fortes pentes, ne permettait pas le passage de sa cavalerie et, encore moins, de ses éléphants.

Après 218, il ne revint plus en Espagne, que fermaient aux armées puniques les victoires des Scipions.

4. — PONT DE VILLENEUVE D'AGEN, SUR LE LOT (LOT-ET-GARONNE)

Route Nationale n° 21 de Paris à Barèges

f_1 — Grande arche, - amont — 2^{mm}



Toni Fontenay le donne comme construit en 1732, avec une voûte en plein cintre de 40^m43²³.

La grande arche a exactement 35^m30²⁴.

Elle a été construite par Richelieu, en 1642-1643, à la place de deux arches du pont anglais de la fin du XIII^e siècle, emportées en 1636²⁵.

23. — Toni Fontenay, « *Construction de Viaducs, Ponts-aqueducs, Ponts et Ponceaux en maçonnerie* », Paris, 1852. — Statistique, p. 278, 279, n° 142.

24. — Renseignement gracieusement donné par M. Thérél, Ingénieur en chef des Ponts et Chaussées à Agen (Relevés faits en 1852).

25. — Fernand Cassany de Mazet : « *Histoire de Villeneuve-sur-Lot* », (Bibliothèque Nationale, L⁷, 10430-A).

III. B. — PONTS RUINÉS

1. — PONT SUR LA NÉRA, PRÈS DE NARNI¹ (ITALIE, - Ombrie)

Il a été construit par Auguste sur la voie Flaminienne.

Gauthey décrit un viaduc sur la Néra, près de Terni, à 17 arches de 40^m en plein cintre, sur piles hautes de 34^m².

C'était un pont à 4 arches de 20^m50³, 34^m75, 15^m75, 15^m75, ouvertures mesurées sur les dessins de M. Choisy⁴.

Les deux naissances de la grande arche sont à des niveaux différents.

« L'arche rampante de Narni demeure une des plus remarquables conceptions de l'architecture antique⁴ ».

C'a été peut-être la plus grande voûte romaine⁵.

L'ouvrage a péri parce qu'il était mal fondé⁴.

2. — PONT DE TRAJAN, SUR LE DANUBE⁶ (HONGRIE)

D'après Perronet, « le pont construit à Worhel, sur le Danube, en Hongrie, par Trajan, d'après les dessins d'Apollodore de Damas, était composé de 20 arches; chacune de 170 pieds d'ouverture en plein cintre (55^m22)⁷... »

Ces assertions sont empruntées en partie à Dion Cassius (Epit., lib. LXVIII-13).

1. — à environ 100⁸ à l'Est de Rome, sur la route d'Ancône.

2. — « Construction des Ponts », - Tome I, p. 20, Pl. IV, fig. 68, — Paris 1809.

3. — Arche restaurée. — La route d'Ancône passe dessous.

4. — « L'Art de bâtir chez les Romains », p. 139, 140, Pl. XXI, Paris 1873.

La Pl. XXI est reproduite dans la « Construction des Ponts » de Croizette-Desnoyers, Tome I, p. 12, et dans les « Ponts en maçonnerie » de MM. Degrand et Résal, Tome II, p. 38.

5. — Viendraient ensuite les deux pleins cintres de 28^m et 30^m du pont d'Alcantara sur le Tage, province de Cacerès, - construit par Trajan en 98. (Croizette-Desnoyers, « Construction des Ponts », Tome I, p. 16).

6. — à 21⁸ en aval d'Orsova. Rapport de M. Lalanne, Inspecteur Général des Ponts et Chaussées, Président de la Commission technique pour la construction d'un pont sur le Bas Danube, 30 décembre 1879. (Annales des Ponts et Chaussées 1880, 2^e sem. p. 267 à 296.

7. — « Mémoire sur les moyens de construire de grandes arches de pierre de 200, 300, 400 et jusqu'à 500 pieds d'ouverture », - Art. 105 », — Paris, 1793.

D'après la même source, Gauthey en a établi un dessin. Il spécifie : « *les pierres qui servirent à construire ce pont étaient énormes*⁸ ».

Or, d'après un bas-relief de la Colonne Trajane donnant une vue, d'ailleurs, « *toute conventionnelle* »⁹, et d'après une médaille de la Bibliothèque Nationale¹⁰, le pont était en charpente, à 3 cours d'arcs^{11, 12}.

Il avait 21 travées de près de 36^m⁶.

3. — PONT DE JUSTINIEN, SUR LE FLEUVE SANGARIS (ASIE-MINEURE)

Perronet cite : « *L'arche de 200 pieds (64^m97) d'ouverture en plein cintre construite par Justinien sur le fleuve Sangaris dans l'Asie-Mineure*¹³... »

Or, le pont de Justinien, près d'Ada-Bazar, est composé de huit arches de 23^m au plus, et il n'y a pas en Asie-Mineure d'autre arche antique de grande portée¹⁴.

Ce pont n'est d'ailleurs pas sur le Sakaria (ancien Sangaris), mais sur un affluent, le Tchark-Son.

Il existe, en un point du Sakaria, en amont du confluent avec le Tchark-Son, sur chaque rive, des vestiges d'ancienne maçonnerie. Le Sakaria, très encaissé en ce point, y a de 60 à 70^m de largeur ; mais il n'existe aucune trace de route ayant jamais pu y aboutir¹⁵, et il n'est pas vraisemblable que ces ruines soient d'anciennes culées¹⁶.

8. — Gauthey, « *Construction des Ponts* », Tome I, p. 20, Pl. IV, fig. 69.

9. — M. Choisy : « *Art de bâtir chez les Romains* », p. 161, 162.

10. — Reproduites par Duruy : « *Histoire des Romains* », Tome IV, p. 753.

11. — Voir aussi « *La Colonne Trajane d'après le surmoulage exécuté à Rome en 1861 et 1862* » par W. Froehner, Conservateur du Louvre, — Paris, Rothschild, 1871.

12. — M. Choisy en a essayé une restitution. — « *Histoire de l'Architecture* ». Paris. Gauthier-Villars, 1899. Tome I, p. 533.

13. — « *Mémoire sur la recherche des moyens de construire de grandes arches de pierre de 200, 300, 400 et jusqu'à 500 pieds d'ouverture* », Art. 106, — Paris, 1793.

14. — Renseignements qu'avait bien voulu me fournir M. Galland, Ingénieur en chef des Ponts et Chaussées, Directeur au Ministère des Travaux Publics à Constantinople.

On trouve un croquis et une description assez complète du pont de Justinien dans l'ouvrage de Charles Texier sur l'Asie-Mineure.

15. — Renseignements fournis par l'Ingénieur résidant à Ada-Bazar, communiqués par M. Sellié, Ingénieur de la Compagnie des Eaux de Constantinople.

16. — Renseignements qu'a bien voulu prendre récemment au Ministère des Travaux Publics de Turquie, M. Louis Godard, Ingénieur en chef des Ponts et Chaussées.

III. C. — PONTS QUI N'ONT JAMAIS EXISTÉ ¹

1. — PONT DE MARBRE, SUR L'ARNO, A FLORENCE (ITALIE)

Gauthey en donne un dessin ², et le décrit ainsi :

« Ce pont, bâti par Michel-Ange, est composé d'une seule arche en arc de
« cercle, de 42^m23 d'ouverture et de 9^m1 de flèche... La voûte n'a que 1^m62
« d'épaisseur à la clef, et la corniche a été taillée dans les voussoirs, après l'affais-
« sement de l'arche. Le parapet du pont est formé par des balustres; cet ouvrage
« est d'une telle délicatesse, qu'à une grande distance, l'épaisseur à la clef disparaît
« à la vue... »

Ce pont n'existe pas.

1. — On a cité, comme en maçonnerie, le Pont de Vauxhall, sur la Tamise, à Londres : il est en acier.

2. — « Construction des Ponts », Paris, 1809, Tome I, p. 23, Pl. I, fig. 17.

LIVRE II

CE QUE L'EXPÉRIENCE

ENSEIGNE DE SPÉCIAL

AUX

VOÛTES INARTICULÉES

TITRE I

COMMENT ON TRACE UNE VOÛTE

CHAPITRE I

PREMIÈRES INDICATIONS

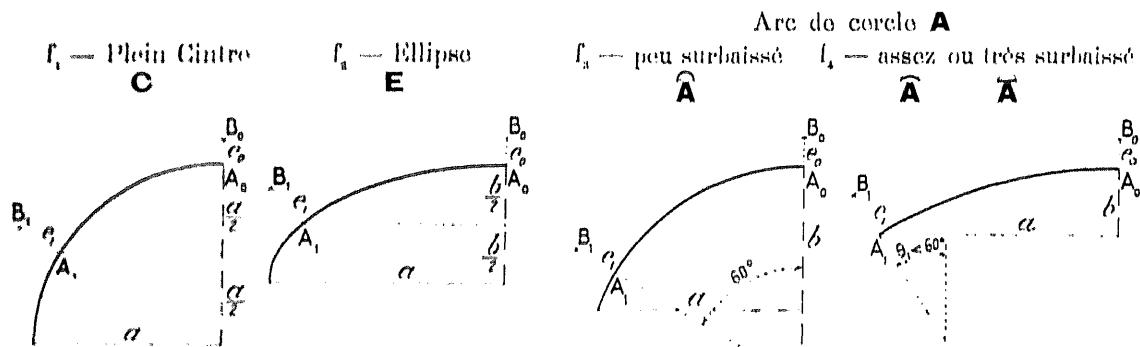
L'intrados adopté, on a, par des formules empiriques, — c'est-à-dire par comparaison avec les voûtes faites, — d'après sa forme, sa portée, sa montée, l'épaisseur à la clef e_n , l'épaisseur e_i en un autre point.

Cet autre point est :

le milieu de la montée pour les pleins cintres et les ellipses (f_1 , f_2);

à 60° de la clef, pour les arcs peu surbaissés $\hat{\mathbf{A}}$ (f_2);

la naissance, pour les autres $\bar{\mathbf{A}}, \bar{\mathbf{A}}^*$ (f_i).



Ces deux points B_0 B_1 de l'extrados, on les réunit par une courbe qui sera presque toujours un arc de cercle.

On a ainsi, tout de suite, une voûte qui tient.

Cela suffit pour les voûtes courantes.

Mais les grandes, les très surbaissées, celles qu'on veut faire minces, sont tracées d'après leurs charges, leurs surcharges, et même, les variations de température, le vent, le freinage,... de façon à encadrer au mieux les courbes de pression.

Pour l'intrados, on ne s'en tient plus aux courbes usuelles : plein cintre, ellipse, arc de cercle ; on les déforme, on les cambre.

Peu importe que l'équation de la courbe soit simple ou compliquée ; avec un tableau d'abscisses et d'ordonnées, elle s'exécute très facilement.

Dans une voûte mieux tracée, on utilise mieux les matériaux; on réduit l'épaisseur et, avec elle, le poids et la poussée des voûtes, c'est-à-dire les piles et les culées.

CHAPITRE II

COURBES D'INTRADOS

§ 1. — PLEIN CINTRE **C**

Le plein cintre est la courbe la plus simple, la plus facile à tracer, à calculer, à exécuter ; la plus connue des entrepreneurs, des charpentiers, des appareilleurs ; celle de la plupart des voûtes romaines (ponts, aqueducs, portes de ville, arcs de triomphe, amphithéâtres,...)¹, des berceaux romans, des arcades de la Renaissance, de presque tous nos ouvrages courants, nos viaducs,...

§ 2. — COURBES ELLIPTIQUES SURBAISSÉES **E**

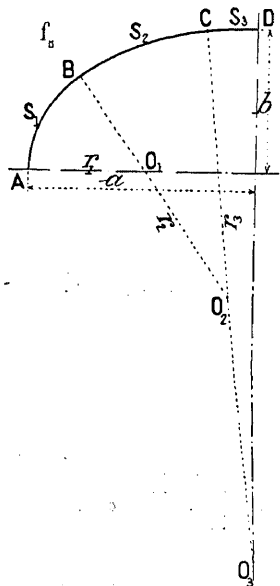
Art. 1. — Anse de panier.

A. — Définition. — Une anse ABCD (f_0) est faite d'une suite d'arcs de cercle S_1, S_2, \dots tangents entre eux, décrits avec des rayons r_1, r_2, \dots croissant des naissances à la clef.

Elle est à 3, 5, ... $(2n-1)$ centres.

On prend les rayons des naissances et de clef assez grands pour envelopper l'ellipse de mêmes sommets².

Pour les courbes peu surbaissées, $\frac{1}{2,5}, \frac{1}{3}$, on s'est souvent contenté de 3 centres. Au $\frac{1}{4}$, les deux rayons seraient trop différents, les changements de courbure choquants : on augmente le nombre de centres : il y en a 11 au pont de Neuilly.



B. — Tracés d'anses de panier.

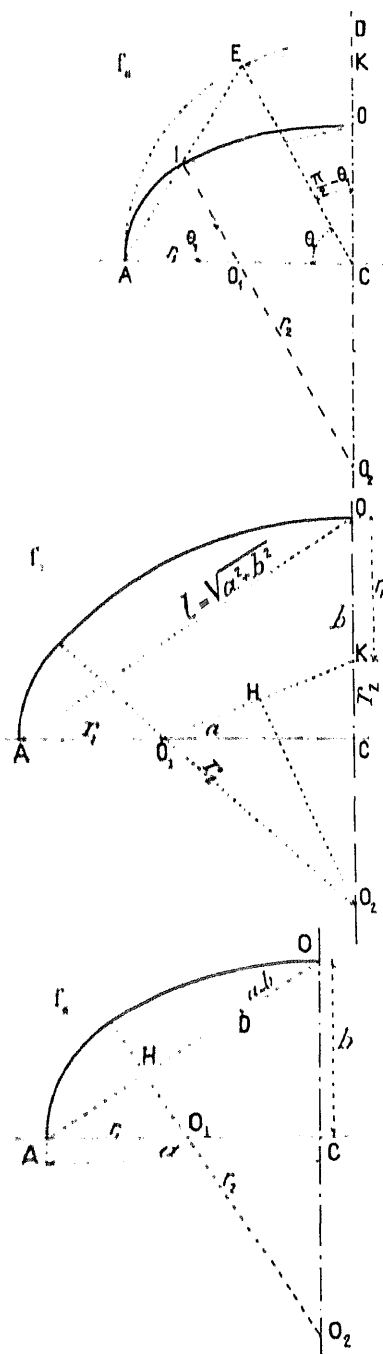
B₁. — à 3 centres. — Bien qu'en pratique on leur doive préférer l'ellipse, j'indique quelques tracés d'anses de panier pour le cas où on en aurait à réparer ou à refaire.

1° — On se donne le 1^{er} angle θ_1 (f_0). — Décrire le $\frac{1}{4}$ de circonférence AD. — Tirer les cordes DE, EA. — Mener OI parallèle à DE, puis IO₂ parallèle à CE.

O₁, O₂ sont les centres cherchés.

1. — Les Romains l'ont peut être appris des Étrusques (Choisy : « Histoire de l'Architecture », I, p. 247, 513, 539, 587.

2. — Dans le cas de 3 centres, on vérifie facilement que pour avoir $r_2 > \frac{a^2}{b}$, il faut avoir pris $r_1 > \frac{b}{a} \frac{a+b}{2}$.



Si $\theta_1 = 60^\circ$, c'est l'ovale de Huyghens.

Si θ_1 est tel que $EK = \frac{1}{2} CK$ (c'est-à-dire $\theta_1 = 63^\circ 26'$), c'est l'ovale « antique »³.

L'ovale antique enveloppe l'anse de Huyghens; toutes deux enveloppent l'ellipse de mêmes sommets : aux reins, elles sont plus rondes.

2^e — On se donne le premier rayon r_1 (f_1). — Prendre $OK = r_1$. Joindre $O_1 K$. Élever au milieu H une perpendiculaire à $O_1 K$; elle donne r_2 ⁴.

Dans le triangle $O_1 O_2 C$, on a :

$$(r_2 - r_1)^2 = (a - r_1)^2 + (r_2 - b)^2$$

D'où :

$$r_2 = \frac{l^2 - 2ar_1}{2(b - r_1)} \quad \frac{r_2}{r_1} = \frac{l^2 - 2ar_1}{2r_1(b - r_1)}$$

Ce rapport est minimum pour : $r_1 = \frac{l}{2a} [l - (a - b)]$

On a alors :

$$r_2 = \frac{al}{l - (a - b)}.$$

Voici, pour avoir r_1 , r_2 , le tracé indiqué par Bossut⁵ (f_2) : il a été fort appliqué.

Sur la corde $OA = l$, prendre $OD = a - b$.

Alors $AD = l - (a - b)$.

Sur le milieu H de AD , lui élever une perpendiculaire : elle donne les deux centres O_1 , O_2 ⁵.

3. — Morandière, p. 173, Pl. 34, fig. 3.

On aurait ainsi courbé des ressorts d'une machine de guerre (Notice et extraits des Manuscrits de la Bibliothèque nationale... publiés par l'Institut National de France... (Tome 26^e, Paris, Imprimerie nationale, MDCCCLXXVII, 2^e Partie : « La Chiroballiste d'Héron d'Alexandrie », par Victor Prou, Ingénieur civil, p. 154, 155 et 156).

$$4. \quad O_2 K - O_2 O_1 = r_2 - r_1 = \frac{(a - r_1)^2 + (b - r_1)^2}{2(b - r_1)} \quad (\text{triangles semblables } O_2 H K, O_1 K C)$$

$$\text{Le minimum de } r_2 - r_1 \text{ est pour } r_1 = b - \frac{1}{\sqrt{2}} (a - b)$$

L'anse ainsi tracée est désagréable.

$$5. \quad \text{Pour le minimum de } \frac{r_2}{r_1}, \text{ il faut en effet : } r_1 = \frac{OA \times AD}{2 AC}.$$

Or, c'est ce que donnent les triangles semblables AHO_1 , AOC .

Cours de Mathématiques, 3^e Partie : « Traité élémentaire de géométrie et de la manière d'appliquer l'algèbre à la géométrie », par M. l'abbé Bossut, de l'Académie Royale des Sciences... Paris, Claude Antoine Jombert, Fils Aîné, M.DCC.LXXVII. Page 491 : « De la meilleure figure des côtes cintrées en anse de panier à trois centres. »

B_2 . — à plus de 3 centres. — Pour $2n-1$ centres, n rayons, Michal a généralisé⁶ la méthode de Huyghens.

Ses anses ont les angles aux centres égaux, soit pour $2n-1$ centres :

$$\theta = \frac{180^\circ}{2n-1}.$$

Les données sont a , b , $2n-1$, d'où θ .

Sur les n rayons, $n-2$ sont arbitraires : Michal les a calculés pour que l'anse de panier se rapprochât le plus possible de l'ellipse de mêmes axes^{7, 8}.

Voici ses tables :

Anse de panier à :						
Surbaissement $\sigma = \frac{b}{2a}$	5 centres 3 rayons	7 centres 4 rayons		9 centres 5 rayons.		
	$\frac{r_1}{a}$	$\frac{r_1}{a}$	$\frac{r_2}{a}$	$\frac{r_1}{a}$	$\frac{r_2}{a}$	$\frac{r_3}{a}$
0,20	Angle aux centres : $\frac{180^\circ}{5} = 36^\circ$	Angle aux centres : $\frac{180^\circ}{7} = 25^\circ 42' 51''$		0,166	0,228	0,443
0,21				0,185	0,251	0,474
0,22				0,203	0,276	0,504
0,23				0,222	0,296	0,535
0,24				0,240	0,318	0,556
0,25	0,396	0,205	0,419	0,259	0,341	0,597
0,26		0,289	0,445	Angle aux centres : $\frac{180^\circ}{9} = 20^\circ$		
0,27		0,312	0,472			
0,28		0,336	0,498			
0,29		0,359	0,525			
0,30		0,383	0,551			
0,31		0,423	0,406			
0,32		0,450	0,431			
0,33		0,477	0,455			
0,34		0,504				
0,35		0,530				
0,36		0,556				

Emploi des tables de Michal. — Tracer une anse à 7 centres, pour $a = 15^m$, $b = 7^m50$ ($\sigma = 0,25$) (f_0).

$$\frac{r_1}{a} = 0,205, \quad \text{d'où } r_1 = 3^m990.$$

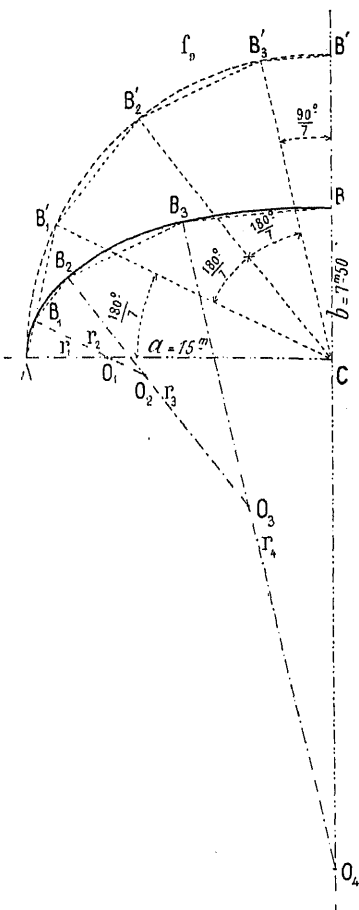
$$\frac{r_2}{a} = 0,419, \quad \text{d'où } r_2 = 6^m30.$$

6. — Annales des Ponts et Chaussées, 1831, 2^e semestre, Tome II, p. 49 : « Notice sur les courbes en anse de panier employées dans la construction des ponts. »

7. — « Dans cette intention nous adopterons pour longueur de chacun de ces rayons le rayon de courbure qui, dans l'ellipse correspondante à l'anse de panier à tracer, partagerait en deux parties égales chacun des arcs de l'anse de panier. » (Id., p. 52 et 53).

8. — Lerouge (Annales des Ponts et Chaussées, 1839, 2^e semestre, Tome II, p. 335) a cherché, lui aussi, à construire des anses très voisines de l'ellipse ; ses rayons croissent en progression arithmétique ; il trouve un nombre excessif de centres (déjà 15, pour $\sigma = 0,31$).

Les méthodes Michal et Lerouge ont été résumées dans leur Cours de Ponts : par Morandière p. 172 à 178 (Paris, Dunod, 1874) ; par Croizette-Desnoyers, Tome I, p. 395 à 401 (Paris, Dunod, 1885).



Avec r_1 , on place O_1 sur AC ; on décrit l'arc AB_1 de $25^\circ 42' 51''$.

O_1B_1 est parallèle à CB'_1 .

Avec r_2 , on place O_2 sur B_1O_1 ; on décrit l'arc B_1B_2 de $25^\circ 42' 51''$.

O_2B_2 est parallèle à CB'_2 , et B_1B_2 à $B'_1B'_2$.

Puis, comme pour l'anse à 3 centres, on tire B_2B_3 parallèle à $B'_2B'_3$, BB_3 parallèle à $B'_1B'_3$.

On mène par B_3 une parallèle à B'_3C ; elle donne O_3, O_4 .

C. - Emploi. — On a fait autrefois grand usage de l'anse de panier⁹, parce que l'on considérait comme fort avantageux de tracer l'intrados avec le compas.

Or, on ne trace au compas que le dessin sur le papier. C'est par abscisses et ordonnées que, sauf pour les tout petits ouvrages, on trace l'intrados en vraie grandeur.

Les anses de panier ont, presque toujours, des jarrets ou une brisure aux changements de rayons.

On n'en fait presque plus.

Art. 2. — Ellipse. — Ce n'est guère qu'au XIX^e siècle¹⁰, qu'on

9. — On a dit que les voûtes du pont de Toulouse (1543-1632 ?) sont les premières de France en anse de panier.

Au XVIII^e siècle, on a fort employé les anses, très souvent à 3 centres : Ponts de Vizille, Lavaur, Gignac (Tome I, p. 93, 97, 103); Ponts de Blois (1716-1724), d'Orléans (1750-1760), de Moulins (1756-1764), de Saumur (1756-1770)....

Dans la 2^e moitié du XVIII^e, Perronet a tracé avec 11 centres les arches des Ponts de Mantes (1757-1765), de Nogent (1766-1769), de Neuilly (1766-1774). Celles de Tours (1764-1777) ont aussi 11 centres. Sauf Neuilly, surbaissé au 1/4, les autres ne le sont qu'au 1/3, ou très peu plus.

On trouve encore quelques anses de panier dans la 2^e moitié du XIX^e siècle, et même après. On a décrit, Tome I : les ponts Annibal (1868-1870) (p. 112) et du Diable (1871-1872) (p. 116), 5 centres; le pont de Signac (1871-1872), 19(!) centres (p. 131); le pont de l'Avenue Edmondson à Baltimore (1903-1909), 3 centres (p. 122), le pont de l'Empereur François à Prague (1898-1901), 7 centres. (p. 168).

10. — Dupuit croit que c'est par ignorance que les anciens constructeurs préféraient l'anse de panier (« *Equilibre des voûtes* », Paris Dunod, 1870, p. 214).

Mais, bien avant le XIX^e siècle, on connaissait « l'ovale du jardinier »; on savait la tracer à l'aide d'un cordeau attaché à ses deux foyers.

Belidor l'indique pour tracer un intrados (« *Architecture hydraulique* », - 2^e Partie, Tome II, Livre IV, Chapitre XI, p. 443; Paris M.DCC.LXXXV).

J'ai décrit, Tome I, les ponts anglais en ellipse de Gloucester (1826-1827) p. 107, de Londres (1824-1831) p. 147.

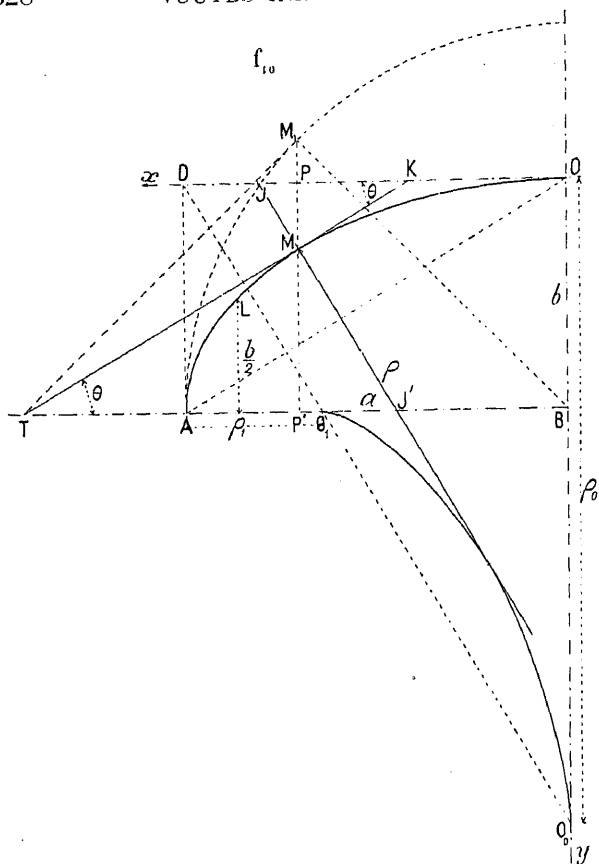
Le pont de Waterloo à Londres (1816-1818) était encore en anse de panier.

En France, ce n'est que dans la 2^e moitié du XIX^e qu'on commence à employer couramment l'ellipse.

A Paris : Pont de l'Alma (1854-1855) (Tome I, p. 153); Pont au Change (1859-1860); Pont Louis-Philippe (1860-1862); Pont de Bercy (1863-1864).

Sous chemin de fer : Ponts de Chalonnès et de Nantes (1863-1866).

Les premiers grands ponts de chemin de fer (Ponts de Cinq-Mars, 1846-1847, de Port-de-Piles, 1846-1848; — les ponts de Morandière : Montlouis, 1843-1845, Plessis-lez-Tours, 1855-1857) étaient encore en anse de panier.



s'est enfin avisé qu'au lieu de construire, assez péniblement, des anses de panier se rapprochant de l'ellipse, il était bien plus simple de calculer les ordonnées d'une ellipse ¹¹.

On a :

Equation (ℓ_{10}) :

$$y = b \left(1 - \sqrt{1 - \frac{x^2}{a^2}} \right)$$

$$\left. \begin{array}{l} \text{Tangente} \\ \left\{ \begin{array}{l} \text{Inclinaison} \\ \text{de la tangente} \\ \text{sur } o.x, \\ \text{ou de la normale} \\ \text{sur } o.y. \end{array} \right\} \end{array} \right\} \begin{array}{l} \text{Tang } \theta = \frac{b}{a^2} \frac{x}{\sqrt{1 - \frac{x^2}{a^2}}} = \frac{b^2}{a^2} \frac{x}{b - y} \\ \text{Sous-tangente PK : } S_t = \frac{a^2 y}{b^2 x} (b - y). \end{array}$$

On a de suite la tangente en menant TM_1 , tangente en M_1 , dont M est la projection, et tirant TM .

$$\left. \begin{array}{l} \text{Normale} \\ \left\{ \begin{array}{l} \text{Sous-normale} \end{array} \right\} \end{array} \right\} \begin{array}{l} \text{PJ} = \frac{b^2}{a^2} \frac{xy}{b - y} \\ \text{P'J'} = \frac{b^2}{a^2} x. \text{ — Elle est proportionnelle à l'abscisse.} \end{array}$$

On construit, ou on calcule ainsi très facilement les normales.

$$\left. \begin{array}{l} \text{Milieu de la montée} \\ y' = \frac{b}{2} \end{array} \right\} \begin{array}{l} \text{Abcisse : } x' = \frac{a\sqrt{3}}{2} \\ \text{Tang } \theta' = \frac{b}{a} \sqrt{3} = 2\sigma\sqrt{3} \\ \text{Sous-normale} = \frac{b^2\sqrt{3}}{2a} = 2a\sigma^2\sqrt{3} \end{array}$$

Point pour lequel la normale est à 60° sur la verticale :

$$x = \frac{a^2\sqrt{3}}{\sqrt{3a^2 + b^2}} \quad y = b \left[1 - \frac{b}{\sqrt{3a^2 + b^2}} \right]$$

11. — Au Tome V, APPENDICE, on trouvera, dans un extrait des tables de Legendre, le développement des arcs OA et OL .

Rayon de courbure :

$$\left\{ \begin{array}{l} \text{en M : } \rho = \frac{a^2}{b} \left(1 - \left(1 - \frac{b^2}{a^2} \right) \frac{x^2}{a^2} \right)^{\frac{3}{2}} \\ \text{en O : } \rho_0 = \frac{a^2}{b} \\ \text{en A : } \rho_1 = \frac{b^2}{a} \end{array} \right. \quad \left\{ \begin{array}{l} \text{Trçons le rectangle O D A B, sa diagonale OA :} \\ \text{sur la perpendiculaire à OA menée par D sont} \\ \text{les centres de courbure } O_1 \text{ (} O_1 A = \rho_1 \text{) et } O_0 \\ \text{(} O_0 O = \rho_0 \text{).} \end{array} \right.$$

$$\text{en L (milieu de la montée) : } \rho_1 = \frac{(a^2 + 3b^2)^{\frac{3}{2}}}{8ab}$$

L'enveloppe des normales à l'intrados (sa développée) rapportée à BA, BO est :

$$(aX)^{\frac{2}{3}} + (bY)^{\frac{2}{3}} = (a^2 - b^2)^{\frac{2}{3}}$$

Elle peut servir à tracer rapidement sur le papier les joints des bandeaux.

L'ellipse est très gracieuse, surbaissée à plus de 1/3,5, à moins de 1/5.

Le rayon de courbure au sommet, $\rho_0 = \frac{a^2}{2\sigma}$, augmente vite avec le surbaissement : une ellipse de 10^m au 1/6 a le cerveau d'un plein cintre de 120^m.

Perronet lui a reproché, — à tort, — d'avoir un trop petit rayon de courbure aux naissances $\frac{b^2}{a}$, et d'être difficile à exécuter¹².

Art. 3. — Courbe parallèle à une ellipse. — Soit (E) une ellipse E (a, b).

Considérons deux ellipses auxiliaires E' ($a-k, b-k$), E'' ($a+k, b+k$) et traçons, à une distance k , la courbe C' parallèle extérieure à E' , la courbe C'' parallèle intérieure à E'' ¹³.

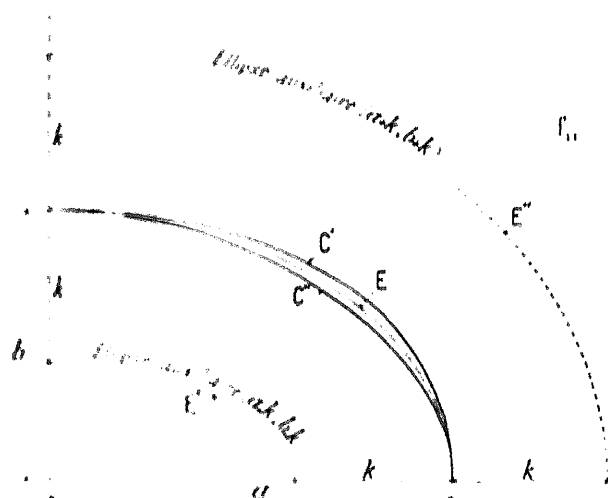
E, C', C'' ont les mêmes sommets.

C'' est intérieure à E ; C' , extérieure.

Leurs rayons de courbure sont :

pour C' , ceux de E' augmentés de k ;

pour C'' , ceux de E'' diminués de k ;



donc	à la clef	aux naissances	
pour C'	$\frac{a-k^2}{b-k} + k$	$\frac{(b-k)^2}{a-k} + k$	plus grands que ceux de E.
pour C''	$\frac{a+k^2}{b+k} - k$	$\frac{(b+k)^2}{a+k} - k$	plus petits que ceux de E.

¹² « ... chaque petite portion de l'ellipse étant d'une courbure différente, son exécution étoit trop difficile et assujettissante pour les Ouvriers; et les parties de la voûte elliptique les plus proches des naissances ne s'élevant pas assez à proportion de la clef, opposoient encore trop d'obstacle au cours de l'eau dans le temps des crues,.... » (Perronet : « Description des projets et de la construction des Ponts de Neuilly, de Montreuil,.... » Tome I, p. 55, Paris, Imprimerie Royale, M.DCC.LXXIII.

Perronet, à Neuilly, n'a pourtant pas craint les traces compliquées.

¹³ Une ellipse et toutes ses parallèles ont même développée : on les peut tracer en déroulant un fil enroulé sur cette développée.

On construit facilement $C'C''$ en ajoutant ou retranchant k aux normales aux ellipses E', E'' : il est assez laborieux de les calculer ¹⁴.

On ne se sert pas assez de ces courbes : elles sont agréables ; — le rayon de courbure y croît continuellement à partir de la clef ; — elles n'ont pas de faux sommets.

Art. 4. — Ellipse déformée, en ajoutant à ses ordonnées, ou en en retranchant, la différence n entre celles d'un arc et d'une ellipse auxiliaires.

A. - en ajoutant n (Courbes intérieures à l'ellipse). — Dans la monographie du pont des Amidonniers, j'ai indiqué (Tome I, p. 194) comment on peut tracer graphiquement et calculer un intrados de mêmes sommets qu'une ellipse a, b , mais intérieur à elle, en ajoutant à l'ordonnée PM d'un arc de cercle de portée $2a$, de flèche $b - p$, l'ordonnée KN d'une ellipse a, p (f_{12}).

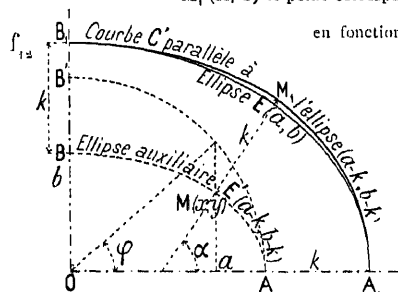
14. — Equation de C' , extérieure à l'ellipse E .

Soient (f_{12}) : $M(x, y)$ un point de l'ellipse auxiliaire E' ($a - k, b - k$) :

$$\frac{x^2}{(a-k)^2} + \frac{y^2}{(b-k)^2} = 1$$

$M_1(X, Y)$ le point correspondant de la courbe C' parallèle extérieure à E' à la distance k . On a :

en fonction de x, y de l'ellipse $a - k, b - k$:



$$\left\{ \begin{array}{l} X = x + k \cos \alpha \\ Y = y + k \sin \alpha \end{array} \right. \quad \text{tang } \alpha = \frac{(a-k)^2 y}{(b-k)^2 x}$$

$$(I) \quad \left\{ \begin{array}{l} X = x + k \frac{(b-k)^2 x}{\sqrt{(b-k)^2 x^2 + (a-k)^2 y^2}} \\ Y = y + k \frac{(a-k)^2 y}{\sqrt{(b-k)^2 x^2 + (a-k)^2 y^2}} \end{array} \right.$$

en fonction de φ :

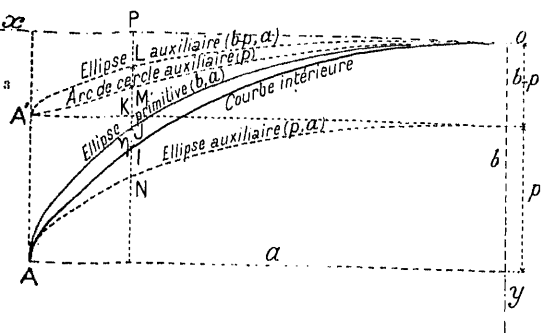
$$\left\{ \begin{array}{l} x = (a-k) \cos \varphi \\ y = (b-k) \sin \varphi \end{array} \right.$$

$$(II) \quad \left\{ \begin{array}{l} X = (a-k) \cos \varphi + k \frac{(b-k) \cos \varphi}{\sqrt{(b-k)^2 \cos^2 \varphi + (a-k)^2 \sin^2 \varphi}} \\ Y = (b-k) \sin \varphi + k \frac{(a-k) \sin \varphi}{\sqrt{(b-k)^2 \cos^2 \varphi + (a-k)^2 \sin^2 \varphi}} \end{array} \right.$$

en fonction de $\text{tang } \frac{\varphi}{2} = t$:

$$(III) \quad \left\{ \begin{array}{l} X = (a-k) \frac{1-t^2}{1+t^2} + k \frac{(b-k)(1-t^2)}{\sqrt{(b-k)^2(1-t^2)^2 + 4t^2(a-k)^2}} \\ Y = (b-k) \frac{2t}{1+t^2} + k \frac{(a-k)2t}{\sqrt{(b-k)^2(1-t^2)^2 + 4t^2(a-k)^2}} \end{array} \right.$$

On passe de C' à C'' en changeant le signe de k .



$$PI = PM + KN = R \left[1 - \sqrt{1 - \frac{x^2}{R^2}} \right] + p \left[1 - \sqrt{1 - \frac{x^2}{a^2}} \right]$$

$$\text{avec } R = \frac{a^2 + (b-p)^2}{2(b-p)}$$

L'ordonnée PJ de l'ellipse à déformer OJA augmente de : $IJ = \eta = PI - PJ =$

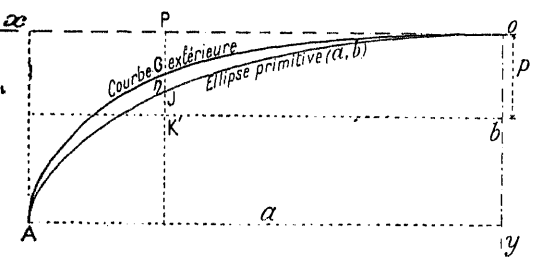
$$= R \left[1 - \sqrt{1 - \frac{x^2}{R^2}} \right] - (b-p) \left[1 - \sqrt{1 - \frac{x^2}{a^2}} \right]$$

C'est la différence LM des ordonnées de l'arc OMA' et d'une 2^e ellipse auxiliaire OLA' (a, b - p).

En faisant varier p, on peut avoir le rayon de courbure à la naissance de la courbe résultante $\rho_1 = \frac{p^2}{a}$ aussi petit, par conséquent la courbe aussi pointue que l'on veut.

On obtient ainsi toutes les courbes intermédiaires intérieures à l'ellipse, depuis l'ellipse a, b pour p = b, jusqu'à l'arc de cercle pour p = 0.

B.- en retranchant η (Courbes extérieures à l'ellipse). — Au lieu d'ajouter à PJ la différence $\eta = JI = LM$ (f_{11}), retranchons-la.



On a (f_{11}) : $PG = PJ - \eta = Y'$

$$= (2b-p) \left[1 - \sqrt{1 - \frac{x^2}{a^2}} \right] - R \left[1 - \sqrt{1 - \frac{x^2}{R^2}} \right]$$

Posons (comme Tome I, page 194, renvoi 3) :

$$\beta = \sqrt{1 - \frac{x^2}{a^2}} \quad \gamma = \sqrt{1 - \frac{x^2}{R^2}}$$

on trouve :

$$\text{Tang } \theta \left(\begin{array}{l} \text{inclinaison sur } Ox \\ \text{de la tang en G} \end{array} \right) = x \left[\frac{2b-p}{a^2 \beta} - \frac{1}{R \gamma} \right]$$

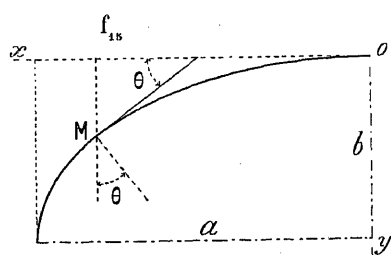
$$\rho \text{ (rayon de courbure en G)} = \frac{\left[\beta^2 \gamma^2 + x^2 \left\{ \frac{2b-p}{a^2} \gamma - \frac{\beta}{R} \right\}^2 \right]^{\frac{3}{2}}}{\frac{2b-p}{a^2} \gamma^3 - \frac{1}{R} \beta^3}$$

	A la clef $x=0 \quad \beta=1 \quad \gamma=1$	Aux naissances $x=a \quad \beta=0$
Tang θ	0	∞
Rayon de courbure	$a^2 \frac{a^2 + (b-p)^2}{p a^2 + (2b-p)(b-p)^2}$	$\frac{(2b-p)^2}{a}$ c'est celui de l'ellipse (a, 2b-p).

Art. 5. — Projection de chaînette. — On l'a déjà vue aux ponts Boucicaut¹⁶ et d'Orléans¹⁷. On dira plus loin¹⁸ que c'est la courbe d'équilibre d'une voûte infiniment mince, ayant pour ligne de charge une horizontale.

15. — et non $\frac{p^2}{R}$, erreur typographique de la page 194 du Tome I, déjà signalée à l'Errata du Tome I.

16. — Tome III, p. 243. 17. — Tome III, p. 255. 18. — Tome III, Livre II, Titre III, Chap. II, § 2, art. 4.



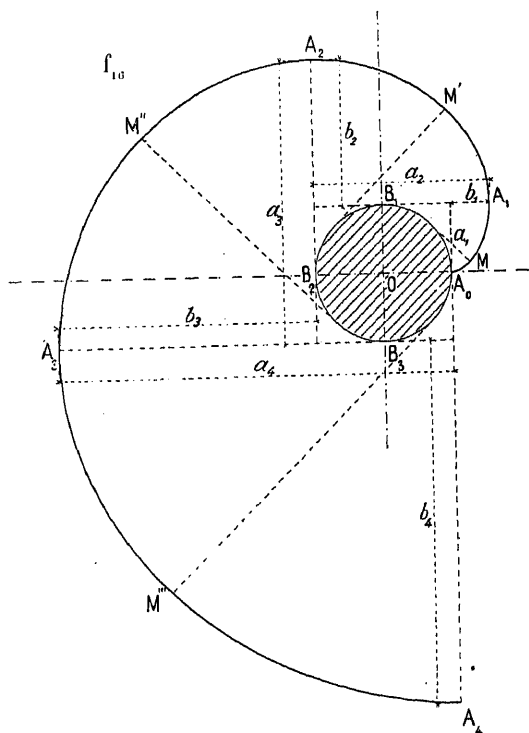
$$y = \frac{\alpha m}{2} \left[e^{\frac{x}{m}} + e^{-\frac{x}{m}} - 2 \right]$$

$$\text{Tang } \theta = \frac{\alpha}{2} \left[e^{\frac{x}{m}} - e^{-\frac{x}{m}} \right] = \frac{1}{m} \sqrt{y(y + 2\alpha m)}$$

$$\rho = \frac{[m^2 + y(y + 2\alpha m)]^{\frac{3}{2}}}{m(y + \alpha m)} \quad \rho_0 \text{ (au sommet)} = \frac{m}{\alpha}$$

ρ diminue du sommet jusqu'au point $y_1 = m \left[-\alpha + \frac{1}{\sqrt{2}} \sqrt{1 - \alpha^2} \right]$, puis croît jusqu'à l^∞ : pour y_1 , il y a un faux sommet; il est bon pour l'aspect qu'il soit plus bas que les naissances, soit $y_1 > b$.²⁰

Art. 6. — Développante de cercle. — Déroulons à partir de Λ_0 un fil enroulé sur la circonférence O ²¹ (f_{10}).



A chaque quadrant $\Lambda_0 B_1$, $B_1 B_2$,... correspondent des segments de développante $\Lambda_0 A_1$, $\Lambda_1 A_2$,... à forme d'ellipse surbaissée, d'abord à 0,285, puis à 0,414,....²²

En un point quelconque, le rayon de courbure est l'arc de la circonférence développée. Il est nul en Λ_0 ; il croît indéfiniment.

Deux tangentes quelconques à angle droit interceptent des arcs MM' , $M'M''$, $M''M'''$,... à forme d'ellipse : M variant, on a tous les surbaissements de 0,285 à 0,50.

Ces arcs sont toujours intérieurs à l'ellipse de mêmes sommets : moins de débouché, moins bon aspect.

Il est très facile de tracer la développante, moins de la calculer.

19. — On peut la calculer avec des tables de fonctions hyperboliques (par exemple celles de Houel, Paris, Gauthier-Villars, 1885).

$$\text{Sin. hyper. de } x : (\text{Sh } x) = \frac{e^x - e^{-x}}{2}$$

$$\text{Cos. hyper. de } x : (\text{Ch } x) = \frac{e^x + e^{-x}}{2}$$

20. — Au pont Boucicaut $b = 5^m$; $y_1 = 5^m 22$; au pont d'Orléans $b = 5^m 80$; $y_1 = 6^m 03$. On n'y voit pas de faux sommet.

21. — Comme toutes les courbes que l'on peut tracer avec un fil, elle doit être fort anciennement connue. Ferroni* l'indique comme ayant été appliquée aux Ponts sur le Sestaion (ou Sestajone), (2 arches de 23^m935 de portée, 8^m173 de montée), et sur la Lima (Route royale de Pistoie à Modène), « tous deux dessinés par l'ex-jésuite Ximénès »**.

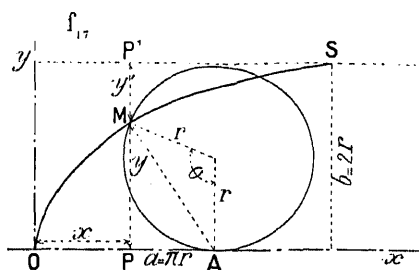
(Mémoire géométrique et historique inséré dans le Tome XIV de la Société italienne des Sciences, 1808 : « De la véritable courbe des arches du pont de la Trinité, à Florence »).

* Ferroni (Pierre), Florentin (1744-1825), professeur de mathématiques à Pise (Grande Encyclopédie).

** Ximénès (Léonard), Italien (1716-1786).

22. — Pour un quadrant d'ordre n , le surbaissement est : $\frac{1}{2} \times \frac{n\pi - 2}{(n-1)\pi + 2}$

Art. 7. — Cycloïde ^{23, 24} (f_{17}). Projection de cycloïde. — La cycloïde est surbaissée à $\frac{1}{\pi}$: la portée impose la montée.



$$x = r(\theta - \sin \theta) \quad y = r(1 - \cos \theta)$$

$$\frac{dy}{dx} = \cotang \frac{\theta}{2}$$

MA est normale en M.

L'enveloppe des normales est la même cycloïde, abaissée de $2r$, puis déplacée de πr .

$$\rho \text{ (en M)} = \frac{1}{2} r \sin \frac{\theta}{2} = 2 MA \quad \text{arc SM} = 2 \sqrt{2 r y'}$$

Elle est à peine verticale aux naissances ($\rho_0 = 0$) : l'aspect est médiocre ²⁴.

x et y de la cycloïde en fonction de θ (f_{17})

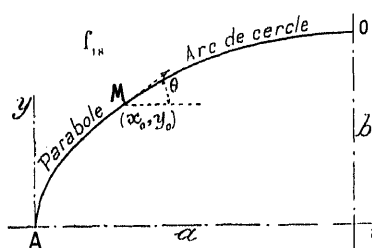
θ en degrés	en longueur d'arc de circonférence de rayon 1	$\sin \theta$	$\cos \theta$	$\frac{x}{r} = \theta - \sin \theta$	$\frac{y}{r} = 1 - \cos \theta$
0°	0	0	1	0	0
15°	0,26180	0,25882	0,96593	0,00298	0,03407
30°	0,52360	0,5	0,86603	0,02360	0,13397
45°	0,78540	0,70711	0,70711	0,07829	0,29289
60°	1,04720	0,86603	0,5	0,18117	0,5
75°	1,30900	0,96593	0,25882	0,34307	0,74118
90°	1,57080	1	0	0,57080	1
105°	1,83260	0,96593	0,25882	0,86667	1,25882
120°	2,09440	0,86603	0,5	1,22837	1,5
135°	2,35619	0,70711	0,70711	1,64908	1,70711
150°	2,61799	0,5	0,86603	2,11799	1,86603
165°	2,87979	0,25882	0,96593	2,62097	1,96593
180°	3,14159	0	1	3,14159	2

Multiplications ses ordonnées par $\frac{k}{r}$: $x = r(\theta - \sin \theta) \quad y = k(1 - \cos \theta)$

Le surbaissement est $\frac{k}{\pi r}$: par k , on en dispose.

Art. 8. — Courbes elliptiques composées de deux courbes.

A. — Arc de cercle au cerveau, parabole aux reins (f_{18}). — L'arc de cercle

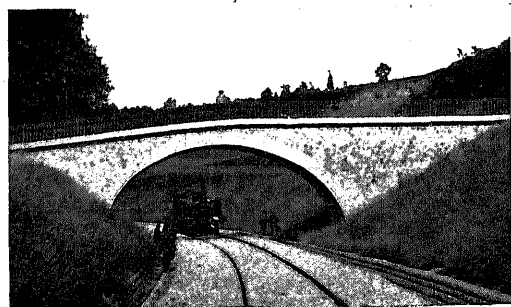


du cerveau est continué aux reins par une parabole du 3^e degré osculatrice ^{25, 26} : $y^2 = Ax + Bx^2 + Cx^3$

On écrit : qu'elle passe par le point M ; qu'en M, elle a même tangente et même rayon de courbure que le cercle.

Si l'on veut une condition de plus, on ajoute un terme Dx^4 .

Φ_1 — Intrados en cycloïde



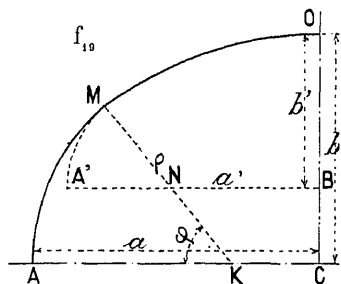
23. — Petit pont en Etrurie sur le torrent Arzana (Ferroni, loc. cit., renvoi 21).

24. — Passage supérieur de Corabeuf (Φ_1) (Ligne d'Épinac à Dijon, 1901-03) ; projet et construction faciles.

25. — Pont de Valence, Tome I, p. 176. — J'avais proposé cette disposition en 1883 pour le pont de St-Waast sur l'Agoût (Ligne de Montauban à Castres, arche de 65"), projet qui n'a pas été approuvé.

26. — Au pont de la Croix sur le Doubs (Ligne de Frasne à Vallorbe) on a pris la parabole : $(y - mx)^2 - qx = 0$ simplement tangente en M (f_{18}) à l'arc du cerveau : elle y a à peu près même rayon de courbure.

B. — Arc d'ellipse au cerveau, arc de cercle aux reins (f_{10}). — Au pont de Mauzac sur la Dordogne²⁷, on a prolongé l'ellipse du cerveau O M par un arc de cercle M A osculateur en M, ayant son centre K sur la ligne des naissances.



Ce n'est pas à imiter.

Le cercle osculateur, traversant la courbe, donne un jarret au point de tangence.

L'aspect est inférieur à celui de l'ellipse, dont la courbure diminue continuellement de la clef aux retombées, le débouché, très peu augmenté.

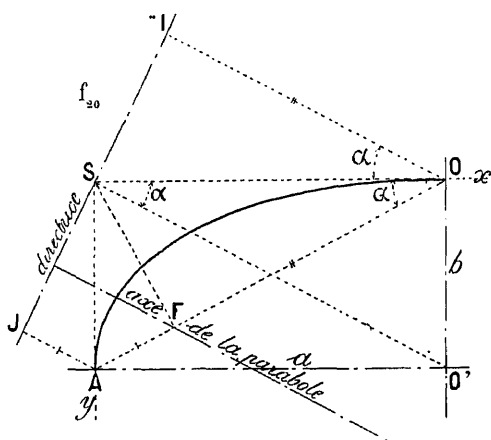
C. — Deux paraboles tangentes à l'ellipse a, b, au sommet et aux naissances (f_{20}).

L'équation :

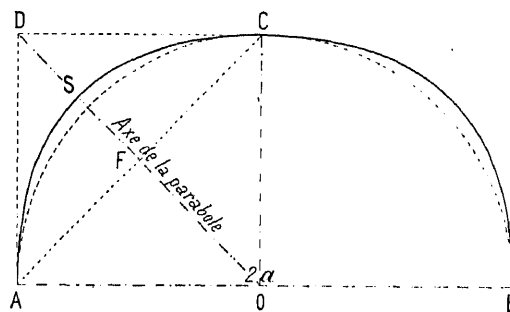
$$\left(\frac{y}{b} - \frac{x}{a}\right)^2 - 2\left(\frac{y}{b} + \frac{x}{a}\right) + 1 = 0$$

représente une parabole rapportée à Sx et Sy , tangente en O à Sx , en A à Sy ^{28, 29}.

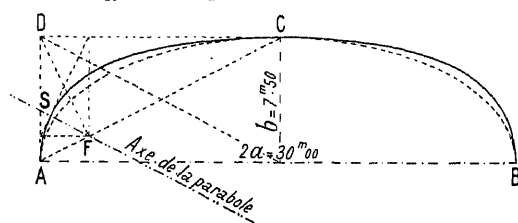
Les deux paraboles symétriques, tangentes en O, font une courbe elliptique qui enveloppe l'ellipse a, b, (f_{21}) le cercle a (f_{22}).



f_{22} — Plein cintre cambré



f_{21} — Ellipse au 1/4 cambrée



27. — Ligne de Bergerac au Buisson (1876-1877).

O M arc d'ellipse d'axes a' , b' .

M A arc de cercle de rayon $\rho = MK$, rayon de courbure en M de l'ellipse a' , b' .

Pour les 5 inconnues a , y , ρ , a' , b' , on a les 5 équations :

$$\begin{aligned} a'^2 y^2 + b'^2 a^2 &= a'^2 b'^2 & \rho &= \frac{[a'^4 - (a'^2 - b'^2) a^2]^{3/2}}{a'^4 b'} & \text{Tang } \varphi &= \frac{a'^2 y}{b'^2 a} \\ \rho \sin \varphi + b' - y &= b & \rho - \rho \cos \varphi + a &= a \end{aligned}$$

28. — C'est la parabole que l'on obtient en divisant en m parties SO, SA, et joignant.

29. — La droite SO' (de coefficient angulaire $\frac{b}{a}$) est parallèle à l'axe.

La directrice passe par S (angle droit circonscrit), est perpendiculaire à SO'.

Elle est polaire du foyer F. Donc F est sur OA.

J'abaisse SF, perpendiculaire sur OA. — SOI, SOF sont égaux (SO commun, — angles égaux).

Donc OI = OF. F est le foyer.

§ 3. COURBES ELLIPTIQUES SURHAUSSÉES $E_h^{30, 31}$

On a construit en anse de panier surhaussée : au XVIII^e siècle, le pont de Ronda (Andalousie) ; en 1846-51, les viaducs sur le Gœltzsch et sur l'Elster (Ligne de Leipzig à Hof)³² ; tout récemment le pont de Wiesen³³.

C'est la courbe des souterrains à une voie.

Comme pour les voûtes surbaissées, on doit à l'anse de panier préférer l'ellipse, qui est à courbure continue, qui n'a pas de jarrets, et qui, tout compte fait, est d'emploi plus facile.

§ 4. ARCS SURBAISSÉS **A**

Art. 1. — Arc de cercle. — C'est une courbe très simple, très facile à tracer, à exécuter ; très naturelle, — même plus que le plein cintre, — entre deux herges.

C'est celle de très anciens ponts³⁴.

On a (f_{11}) :

$$b = 2 a \sigma \quad \tan \frac{\theta_1}{2} = \frac{b}{a} = 2 \sigma$$

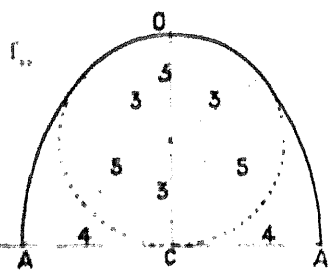
$$R = \frac{a^2 + b^2}{2b} = \frac{a}{\sin \theta_1} = a \frac{1 + \frac{1}{4} \sigma^2}{\frac{1}{2} \sigma}$$

$$\text{Pour un point M : } y = R \left(1 - \sqrt{1 - \frac{x^2}{R^2}} \right)$$

$$x = R \sin \theta$$

$$y = R (1 - \cos \theta) = 2 R \sin^2 \frac{\theta}{2}$$

Au Tome V, APPENDICE, on trouvera des tables numériques.



Les arches centrales sont en anse de panier surhaussée à 3 centres (id., p. 253).

30. — Les ovales surhaussés sont fort anciens. Ont été tracés d'après le triangle égyptien (triangle rectangle 3, 4, 5 ($\sigma = \frac{6}{8} = 0,75$)) (f_{30}) ; les berceaux du Ramesseum en Égypte ; plus tard, de Firouz-Abad en Perse (Choisy : « *Histoire de l'Architecture* », Tome I, p. 53 et 123).

31. — Le berceau de l'église de Tournus est en anse de panier surhaussée. (id., Tome II, p. 149).

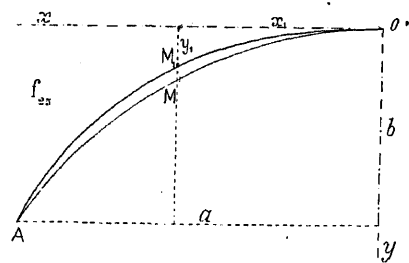
32. — Annales des Ponts et Chaussées, 1853, 1^{er} semestre, p. 241 ; Notes recueillies en 1851, pendant sa mission en Allemagne, par M. de Villiers, Ingénieur des Ponts et Chaussées.

33. — Tome I, p. 235.

34. — Tome I, p. 235.

34. — Sont en arc peu surbaissé : le pont Fabricius, à Rome (An 63 avant J.-C.) (Raynaud : « *Traité d'Architecture* », p. 492, Pl. 69) ; les ponts de Nyons, de Tournon (XIV^e siècle) (Tome II, p. 25, p. 30), d'Avignon (XIV^e), de la Guillotière (XIV^e), de Pont-Saint-Esprit (XIII^e) (Tome II, p. 25, renvois 3, 4, 5).

Hauteur au-dessous du la	Arche centrale (Étage supérieur)		
	Portée et rayon aux naissances.	Montée	Rayon du cerceau
Viaduc sur le Gœltzsch.....	80°34	30°87	20°39
Viaduc sur l'Elster.....	69°68	30°59	19°50



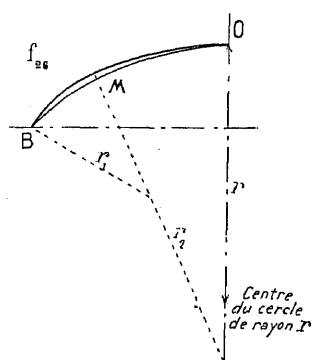
Art. 2. — Arc d'ellipse. — Proposons-nous de cambrer l'arc de cercle OMA (f_{23}) suivant un arc d'ellipse OMA passant par un point $M_1(x_1, y_1)$, choisi d'ordinaire vers les 70/100 de la 1/2 portée à partir de la clef.

Pour que l'arc d'ellipse :

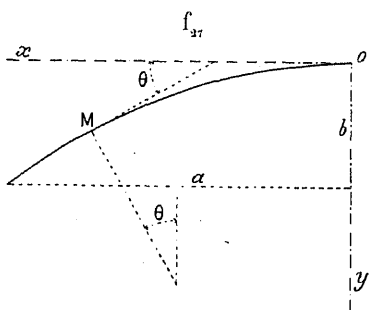
$$y = b' \left(1 - \sqrt{1 - \frac{x^2}{a'^2}} \right)$$

passe par les points M_1 et A, il faut :

$$a' = \frac{b^2 x_1^2 - y_1^2 a^2}{2 \sqrt{y_1 b (b - y_1) (b x_1^2 - y_1 a^2)}} \quad b' = \frac{b^2 x_1^2 - y_1^2 a^2}{2 (b x_1^2 - y_1 a^2)}$$



Art. 3. — Arc d'anse de panier. — On a cambré en anse de panier des arcs OMB (f_{26}).



Art. 4. — Arc de la courbe

$$y = b' \left(1 - \sqrt[n]{1 - \frac{x^2}{a'^2}} \right).$$

Elle a 3 paramètres a' b' n .

La courbe doit passer par les naissances a , b .

On dispose de deux conditions : par exemple

35. — En prenant, au Pont Boucicaut, Tome III, p. 243, $x_1 = 70/100$ de la 1, 2 portée et y_1 de la projection de chaînette adoptée, on trouve : $a' = 24^m 219$ $b' = 11^m 44$.
L'écart maximum entre les deux courbes est $\pm 31^m$.
Le rayon de courbure à la clef est : pour l'ellipse, $51^m 27$; pour l'intrados adopté, $53^m 90$; pour l'arc de cercle, $42^m 50$.

36. — Ponts allemands, en arcs très surbaissés, $\bar{A} r^{\circ} (\geq 40^{\circ})$, Tome III :

	r_0 Clef	r_1 Naissances		r_0 Clef	r_1 Naissances
Ziegenhals	60 ^m	25 ^m 676	Mehring	60 ^m	31 ^m 95
Michelau	50 ^m	26 ^m 637	Schweich	60 ^m	31 ^m 95
Schwusen	60 ^m	40 ^m	Trittenheim	56 ^m	33 ^m 55
Krappitz	64 ^m 1	41 ^m 90			

$$37. — \text{Tang } \theta = \frac{2 b'}{n a'^2} \cdot \frac{n}{\left(1 - \frac{x^2}{a'^2}\right)^{1 - \frac{1}{n}}}$$

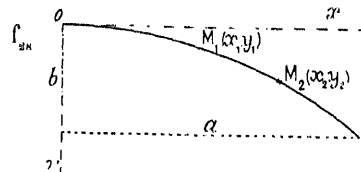
$$r \left(\begin{array}{c} \text{Rayon} \\ \text{de courbure} \\ \text{en M} \end{array} \right) = \frac{n a'^2}{2 b'} \cdot \frac{\left[\left(1 - \frac{x^2}{a'^2}\right)^2 - \frac{2}{n} + \frac{4 b'^2 x^2}{n^2 a'^4} \right]^{\frac{3}{2}}}{\left(1 - \frac{x^2}{a'^2}\right)^{1 - \frac{2}{n}} \left[1 + \frac{x^2}{a'^2} \frac{n-2}{n} \right]}$$

$$r_0 \text{ (au sommet O)} = \frac{n a'^2}{2 b'}$$

deux points, ou un point et le rayon de courbure au sommet³⁸.

Art. 5. — Parabole $y = Ax^2 + Bx + Cx^3 + \dots$

Si on prend 3 termes, on trouve :



Conditions :	3 points (ab, x_1, y_1, x_2, y_2) (f_{28})	2 points (ab, x_1, y_1) et Rayon de courbure au sommet $\rho_0 = \frac{1}{2A}$
A	$\frac{a^2 x_1^2 x_2^2}{(a^2 - x_1^2)(x_1^2 - x_2^2)(x_2^2 - a^2)} \left\{ \frac{b}{a^3} (x_2^2 - x_1^2) + \frac{y_1}{x_1^3} (a^2 - x_2^2) + \frac{y_2}{x_2^3} (x_1^2 - a^2) \right\}$	$\frac{1}{2 \rho_0}$
B	$\frac{b}{a^3} (x_2^2 - x_1^2) + \frac{y_1}{x_1^3} (a^2 - x_2^2) + \frac{y_2}{x_2^3} (x_1^2 - a^2)$	$\frac{a^3 y_1 - x_1^3 b}{a^4 x_1^3 (a^2 - x_1^2)} - \frac{a^2 + x_1^2}{2 \rho_0 a^2 x_1^2}$
C	$\frac{b}{a^3} (x_2^2 - x_1^2) + \frac{y_1}{x_1^3} (a^2 - x_2^2) + \frac{y_2}{x_2^3} (x_1^2 - a^2)$	$\frac{b x_1 - y_1 a^2}{a^4 x_1^3 (a^2 - x_1^2)} + \frac{1}{2 \rho_0 a^2 x_1^2}$

Si on ne prend que deux termes, on trouve :

Conditions :	2 points (ab, x_1, y_1)	1 point (ab) , et ρ_0
A	$\frac{a^3 y_1 - x_1^3 b}{a^4 x_1^3 (a^2 - x_1^2)}$	$\frac{b}{a^3} - \frac{y_1}{a^2 x_1^2}$
B	$\frac{1}{2 \rho_0}$	$\frac{1}{a^2} \left(\frac{b}{a^2} - \frac{1}{2 \rho_0} \right)$

Art. 6. — Courbe pour remplacer pratiquement une projection de chaînette, $y = \frac{b(n^2 - a^2)}{a^2} \cdot \frac{x^2}{n^2 - x^2}$. — Les intrados des ponts Boucicaut³⁹, d'Orléans⁴⁰, d'Avignon⁴¹, sont en projection de chaînette, d'équation assez peu maniable : celle-ci, beaucoup plus simple, en est fort rapprochée⁴².

38. — Au pont de Luxembourg, on a écarté l'ellipse $y = 34,907 [1 - \sqrt{1 - 0,00055 x^2}]$ et adopté : $y = 141,2981 [1 - \sqrt{1 - 0,0004 x^2}]$ (Tome II, p. 68).

Les rayons de courbure sont :

à la clef $\rho_0 = 53^m08$; aux retombées $\rho_1 = 42^m19$ (Tome II, p. 60).

La courbe enveloppe un arc de cercle de 48^m10 de rayon.

39. — Tome III, p. 243.

40. — Id., p. 255.

41. — Id., p. 270.

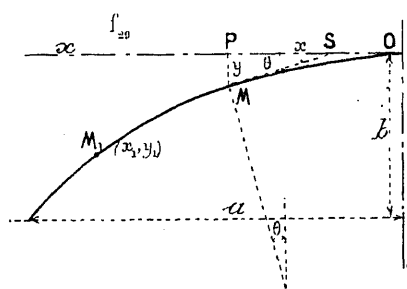
42.

	a	b	n^2	$m = \frac{b(n^2 - a^2)}{a^2}$	Ecart maximum en mm par rapport à la courbe adoptée.
Pont Boucicaut (Tome III, p. 243)	20 ^m	5 ^m	1661,09	15,77161	11 ^{mm}
Pont d'Orléans (Id., p. 255)	21 ^m 925	5 ^m 79	2918,998	29,440556	31 ^{mm}

On trouve (f_{30}) :

$$\text{Tang } \theta = \frac{2 n^2 b (n^2 - a^2)}{a^2} \cdot \frac{x}{(n^2 - x^2)^2}$$

$$\text{Sous tang PS} = \frac{y}{\text{tang } \theta} = \frac{x (n^2 - x^2)}{2 n^2}$$



$$\rho \left(\begin{array}{c} \text{rayon de courbure} \\ \text{en M} \end{array} \right) = \frac{\left[(n^2 - x^2)^4 + \frac{4 n^4 b^2 (n^2 - a^2)^2}{a^4} x^2 \right]^{\frac{3}{2}}}{\frac{2 n^2 b (n^2 - a^2)}{a^2} (n^2 + 3 x^2) (n^2 - x^2)^3}$$

$$\text{Pour } x = 0 \quad \rho_0 \left(\begin{array}{c} \text{rayon} \\ \text{de courbure} \\ \text{au sommet O} \end{array} \right) = \frac{n^2 a^2}{2 b (n^2 - a^2)}$$

$$\text{Pour } x = a \quad \rho_1 \left(\begin{array}{c} \text{rayon} \\ \text{de courbure} \\ \text{à la naissance A} \end{array} \right) = \frac{[(n^2 - a^2)^2 a^2 + 4 n^4 b^2]^{\frac{3}{2}}}{2 n^2 a b (n^2 - a^2) (n^2 + 3 a^2)}$$

Pour définir n^2 , on peut se donner :

soit ρ_0 ; alors :

$$n^2 = \frac{2 \rho_0 b a^2}{2 \rho_0 b - a^2}$$

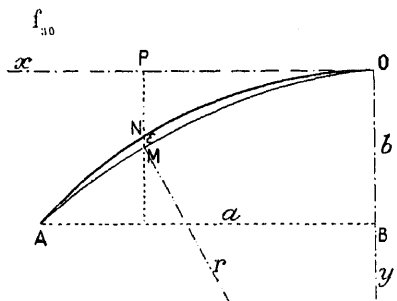
$$y = \frac{b x^2}{2 \rho_0 b \left(1 - \frac{x^2}{a^2} \right) + x^2}$$

soit un point $M_1 (x_1, y_1)$; alors :

$$n^2 = \frac{a^2 x_1^2 (b - y_1)}{b x_1^2 - a^2 y_1}$$

y , tang θ , ρ sont ∞ pour $x = n$. On s'assurera qu'entre O et A, il n'y a pas de faux sommet.

Art. 7. — Arc de cercle cambré en retranchant quelque chose de chaque ordonnée. — Soit (f_{30}) un arc :



$$y = MP = r \left(1 - \sqrt{1 - \frac{x^2}{r^2}} \right)$$

Retranchons la quantité :

$$MN = \varepsilon = k x^m (a - x)^n \quad 43, 44.$$

Pour $x = \frac{m a}{m + n}$, ε a son maximum, qui est :

$$\text{MAX } \varepsilon = k \frac{m^m n^n a^{m+n}}{(m+n)^{m+n}}$$

43. — On a fait ainsi au pont de Saint-Loup sur l'Allier (Ligne de la Ferté-Hauterive à Gannat) (7 arcs de 33° à 1/7,5), $\varepsilon = k x^4 (a - x)^2$.

Pour l'intrados, $k = \frac{330}{10^6}$; ε atteint 0°15 aux 2/3 de la 1/2 portée à partir de la clef.

Pour l'extrados, $k = \frac{247}{10^6}$.

44. — L'équation de la courbe cambrée est :

$$Y = r \left(1 - \sqrt{1 - \frac{x^2}{r^2}} \right) - k x^m (a - x)^n$$

$$\frac{dy}{dx} = \frac{x}{\sqrt{r^2 - x^2}} - k x^{m-1} (a - x)^{n-1} (m + n) \left[\frac{m a}{m + n} - x \right]$$

On vérifie que :

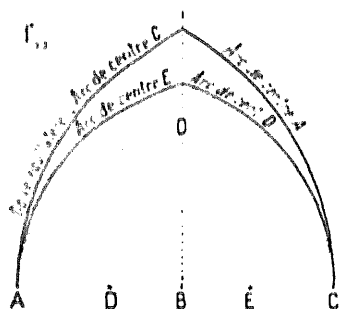
la courbe déformée et l'arc de cercle ont même tangente et même rayon de courbure pour : $x = 0$ si $m \geq 2$, $x = a$ si $n \geq 2$;
des tangentes parallèles au point où l'écart est maximum, c'est-à-dire pour $x = \frac{ma}{m+n}$

A partir de la clef, le rayon de courbure diminue, puis augmente jusqu'à r , aux naissances.

Il y a un faux sommet, mais très peu apparent.

§ 5. — OGIVES⁴⁵ ○

Art. 1. — Ogive surhaussée. — C'est l'ogive des cathédrales⁴⁶.



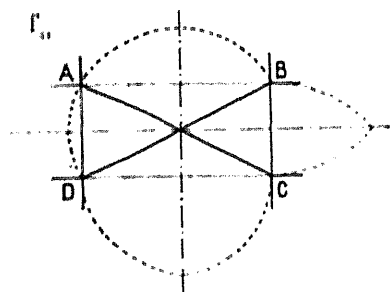
Sur la ligne des naissances $AC(f_{11})$, prenons, à égale distance du milieu B , deux points D, E , comme centres des arcs de rayon DC, EA . Plus D et E seront loin de B , plus l'ogive sera haute et pointue. S'ils se confondent avec les naissances A et C , l'ogive est équilatère^{47, 48}.

Art. 2. — Ogive surbaissée. — J'ai cité (Tome III, p. 313) le pont de Martorell sur le Llobregat :

$$2a = 37^m30; \quad b = 15^m30; \quad \sigma = 0,56$$

45. — Sont déjà en ogive, par assises horizontales empilées en surplomb : le Dôme d'Abydos (Égypte) (Choisy : *Histoire de l'Architecture*, Tome I, p. 19, 20); le « Trésor d'Atrée », à Mycènes (Id., p. 231; — Raynaud : « *Art de bâtir* », p. 356, Pl. 43).

L'ogive remonte, en Syrie, à l'antiquité romaine (Choisy, Tome II, p. 20). Elle paraît avoir été importée de Syrie vers la fin du XI^e siècle par les pèlerins et les Croisés (Id., p. 512).



46. — Soit $ABCD(f_{11})$ le plan d'une voûte d'arête. Les arcs diagonaux AC, BD étaient presque toujours en plein cintre, les arcs « formerets » AD, BC , les arcs « doubleaux » AB, CD , en courbe brisée.

Or, c'étaient les arcs diagonaux en plein cintre AC, BD , et non les arcs pointus des têtes, qu'au moyen-âge on appelait « ogives » (Choisy, II, p. 271).

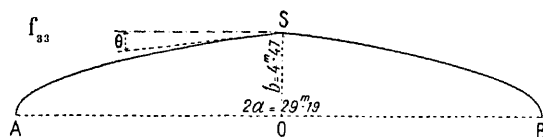
47. — En pratique, on divise $AB, BC(f_{11})$ en n parties égales : les centres sont les premiers points de division.

On a pris, en Syrie, $n = 8$ (Choisy, II, p. 115); en Occident au XII^e siècle, $n = 5$; au commencement du XIII^e, $n = 3$ (ogive tiers-point); puis $n = 1$ (ogive équilatère) (Choisy, II, p. 342).

48. — M. Dieulafoy a relevé un grand nombre de ponts persans et indiqué le tracé d'une ogive assez compliquée, presque inscriptible dans une demi-circonférence. (*Annales des Ponts et Chaussées*, Juillet 1883 : Notice sur la construction des ponts en Perse, p. 23).

On n'en voit guère l'application à nos intrados : autant adopter le plein cintre, qui a un peu plus de débouché et qui, lui, n'a pas besoin d'être chargé à la clef.

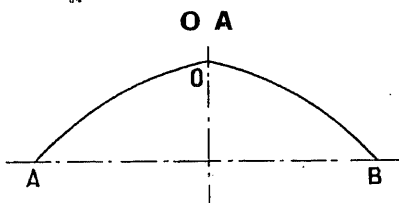
On a profilé en ogive persane les becs des ponts de Charrey, d'Orléans (Tome III, p. 257).



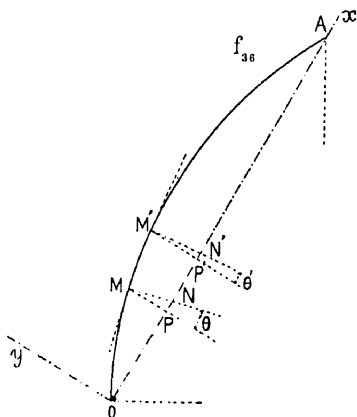
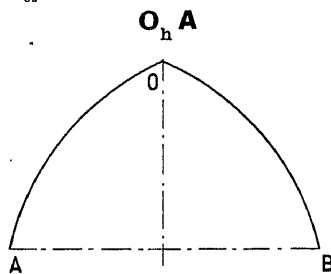
L'intrados du pont de la Trinité à Florence (milieu du XVI^e siècle) est fait de deux courbes elliptiques qui se coupent^{49, 50} (f_{33}).

Art. 3. — Arcs brisés. — Pour soutenir un poids isolé en O, on brise l'intrados (f_{34} , f_{35}).

f_{34} — Arc brisé surbaissé



f_{35} — Arc brisé surhaussé



Aux arcs de cercle, on peut substituer une autre courbe, pour mieux encadrer les courbes de pression.

Si l'intrados doit passer par deux points M, M', (f_{36}) on peut adopter la forme :

$$y = \alpha x (1 + \beta x + \gamma x^2)$$

On a fait ainsi à Fontpédrouse (Voir Tome V)⁵¹.

49. — Ferroni, loc. cit. renvoi 21.

50. — Soit proposé de construire une ellipse ayant un sommet en A (f_{33}), son grand axe sur AO, et tangente à une droite d'inclinaison θ au sommet S (a , b).

On trouve pour les 1/2 axes inconnus a' et b' :

$$a' = \alpha \frac{b - a \operatorname{Tang} \theta}{b - 2 \alpha \operatorname{Tang} \theta} \quad b'^2 = b \frac{(b - a \operatorname{Tang} \theta)^2}{b - 2 \alpha \operatorname{Tang} \theta}$$

$$\rho_1 (\text{en } \Lambda) = \frac{b'^2}{a'} = \frac{b (b - a \operatorname{Tang} \theta)}{\alpha}$$

51. — On trouve :

$$\beta = \frac{x_1 y_2 (c^2 - x_1^2) - x_2 y_1 (c^2 - x_2^2)}{c [x_2^2 y_1 (c - x_2) - x_1^2 y_2 (c - x_1)]}$$

$$\gamma = \frac{x_2 y_1 (c - x_2) - x_1 y_2 (c - x_1)}{c [x_2^2 y_1 (c - x_2) - x_1^2 y_2 (c - x_1)]}$$

$$\alpha = \frac{y_1}{x_1 [1 + \beta x_1 + \gamma x_1^2]}$$

En un point M :

$$\operatorname{Tang} \theta = \alpha (1 + 2 \beta x + 3 \gamma x^2) \quad \rho_0 = \frac{[1 + \alpha^2 (1 + 2 \beta x + 3 \gamma x^2)^2]^{\frac{3}{2}}}{2 \alpha (\beta + 3 \gamma x)}$$

à l'origine :

$$\operatorname{Tang} \theta_0 = \alpha \quad \rho_0 = \frac{(1 + \alpha^2)^{\frac{3}{2}}}{2 \alpha \beta}$$

ÉPAISSEUR D'UNE VOÛTE

§ 1. — ÉPAISSEUR A LA CLEF e_0

Art. 1. — Graphiques de e_0 en fonction de la portée $2a$ et du surbaissement $\sigma = \frac{b}{2a}$.

J'ai représenté graphiquement les épaisseurs e_0 , avec les portées en abscisses, pour un grand nombre de voûtes, par intrados (pleins cintres, ellipses, arcs de divers surbaissements), en distinguant les ponts sous route des ponts sous rails.

Les graphiques montrent que les constructeurs ont choisi e_0 , souvent suivant les matériaux et les hommes dont ils disposaient, d'après leur hardiesse, d'après l'aspect de l'ouvrage, souvent aussi par sentiment.

Art. 2. — Pour une voûte donnée, il y a une valeur de e_0 qu'on n'a pas intérêt à dépasser.

On pourrait croire que, pour une voûte d'ouverture, de montée, de surcharges données, la pression par centimètre carré diminue indéfiniment quand on augmente indéfiniment l'épaisseur; il n'en est rien.

C'est qu'en effet, la pression moyenne à la clef β est la somme de deux pressions : β_p due à la charge sur la voûte (tympans, remplissage, couronnement,

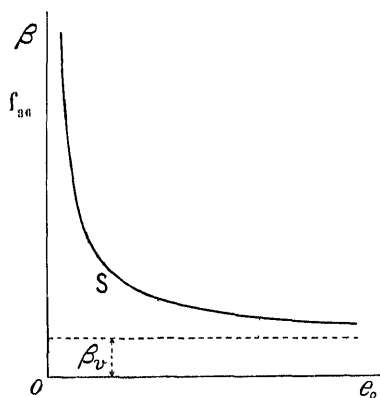
surcharge); β_v due à la voûte seule, qui compte dans la charge totale toujours pour plus de 40 %, et jusqu'à 80 % dans les ponts-route très surbaissés.

β_v ne dépend pas de l'épaisseur à la clef⁴⁶.

β_p diminue quand e_0 augmente; admettons qu'elle est de la forme $\frac{k}{e_0}$

La pression moyenne totale est :

$$\beta = \beta_v \left(\begin{smallmatrix} \text{indépendant} \\ \text{de } e_0 \end{smallmatrix} \right) + \frac{k}{e_0}$$



Il ne faut pas trop s'écarter du sommet S de cette hyperbole : à gauche, on augmente démesurément la pression ; à droite, on augmente l'épaisseur, sans réduire beaucoup la pression^{47, 48}.

46. — De même que, dans une colonne cylindrique non chargée, la pression par unité à la base est indépendante du diamètre.

47. — M. Tourtay, qui a fait cette remarque, donne cet exemple appliqué au pont Boucicaut (l'ome III, p. 243) :

$$\beta = 10^* + \frac{10,85}{e_0}$$

Épaisseur à la clef e_0	0 ^m 20	0 ^m 30	0 ^m 40	0 ^m 50	0 ^m 80	1 ^m 00	1 ^m 50	2 ^m 00	2 ^m 50	3 ^m 00
Pression moyenne β (Kg/cm ²)	64 ¹ 2	46 ¹ 2	37 ¹ 1	31 ⁷	23 ⁶	20 ⁸	17 ²	15 ⁴	14 ³	13 ³

En portant l'épaisseur de 1^m à 1^m50, on n'abaisse la pression moyenne que de 20⁸ à 17², et on élève la poussée sur la culée (anneau de largeur) de 208^r à 258^r.

On a, très sagement, adopté 1^m05.

Nouvelles Annales de la Construction, septembre, octobre et novembre 1902. — « Méthode de calcul rapide des voûtes et de leurs culées », par C. Tourtay, Ingénieur en Chef des Ponts et Chaussées.

48. — Au pont d'Orléans (l'ome III, p. 255), on a adopté $e_0 = 1^m25$.

« ... Il n'y avait pas lieu de l'augmenter en vue de réduire la pression..., le gain... est... insignifiant quand on passe de... 1^m25 à... 1^m40. Il y aurait eu, au contraire, avantage..., à abaisser l'épaisseur à 1^m10 ou 1^m15... »

Génie Civil, 29 septembre 1906, p. 340 : « Nouveau pont en maçonnerie sur la Loire, à Orléans ».

Dans les petites et moyennes voûtes, le corps est en moellons ordinaires lités. Sur une ligne de chemin de fer, il y en a beaucoup, et on ne peut pas les suivre de près.

C'est dans ces voûtes-là qu'il faut être le moins hardi : un supplément d'épaisseur y coûte peu.

Les très grandes voûtes, elles, sont surveillées avec un soin particulier.

On n'y emploie que des matériaux de choix permettant les fortes pressions : ces matériaux coûtent cher.

Il importe d'y réduire à juste ce qu'il faut l'épaisseur e_0 : on diminue ainsi, non seulement le cube de la voûte, mais son poids et sa poussée.

Art. 3. — Depuis le milieu du XVIII^e siècle, on réduit constamment le rapport $\frac{e_0 \text{ (Épaisseur à la clef)}}{2 a \text{ (Portée)}}$

A Lavaur (1771)⁴⁹, on avait pris 9 pieds pour 150 pieds, soit $e_0 = 0,06 (2 a)$.

Au XVIII^e siècle, on a souvent pris $e_0 = \frac{1}{24} (2 a)$ ⁵⁰ = $\frac{4,2}{100} (2 a)$

$\frac{e_0}{2 a}$ est descendu à 1/50 aux ponts de Chester⁵¹ et de Luxembourg⁵², à 1/60 au pont de Plauen⁵³.

Art. 4. — Quelques formules empiriques de e_0 (Perronet, Dupuit, Croizette-Desnoyers).

On a attribué à Perronet la formule : $e_0 = 0,325 + 0,035 (2 a)$ ⁵⁴

Toute formule linéaire donne de trop fortes épaisseurs pour les grandes portées.

Dupuit exprima e_0 en fonction, non plus de $2 a$, mais de $\sqrt{2 a}$; il proposa⁵⁵ :

pour les pleins cintres et les ellipses : $e_0 = 0,20 \sqrt{2 a}$

pour les arcs (1/4 en moins !) : $e_0 = 0,15 \sqrt{2 a}$

Ces formules ne tiennent compte que de la portée, non de la forme de l'intrados, ni des surcharges (route ou chemin de fer), ni du surbaissement.

Pour les très petites portées, e_0 est trop petit : il faut dans les formules un terme constant.

49. — Tome I, p. 97.

50. — C'est ce que Perronet a admis à Neuilly (arche de 120 pieds au 1/4 : $e_0 = \frac{120}{24} = 5$ p.).

51. — Tome III, p. 29.

52. — Tome II, p. 67.

53. — Tome III, p. 52.

54. — Il ne l'a pas ainsi énoncée, ni donnée comme de lui ; il a écrit : « On est dans l'usage de leur donner (aux voussoirs de clef) en longueur de coupe, pour les grandes arches qui sont surbaissées du tiers, la vingt-quatrième partie de leur diamètre ; »...

* « Il convient de donner aux voussoirs des clefs des petites arches, un pied de coupe de plus que ce vingt-quatrième, et la diminuer ensuite à raison d'une ligne pour chaque pied d'ouverture des arches, ... on peut donner un peu moins de longueur de coupe... lorsque les voûtes sont en plein cintre. »

« Mémoire sur la réduction de l'épaisseur des Piles, et sur la courbure qu'il convient de donner aux Voûtes », lu à l'Académie des Sciences, le 12 novembre 1777.

En anciennes mesures, ces indications seraient ainsi formulées :

Pour les grandes voûtes au 1/3 : $e_0 \text{ (en pieds)} = \frac{2 a}{24}$

Pour les petites : $e_0 \text{ (en pieds)} = 1^p + \frac{2 a}{24} - 1$ ligne par pied de portée = $1^p + 2 a \text{ (en pieds)} \left[\frac{1}{24} - \frac{1}{144} \right]$,

ou $e_0 \text{ (en m)} = 0,325 + 2 a \text{ (en m)} \left[\frac{1}{24} - \frac{1}{144} \right]$ C'est cette formule que donne Sganzin dans son Cours de Construction, comme « en usage dans les Ponts et Chaussées », mais sans l'attribuer à Perronet.

Soit $e_0 = 0,325 + 0,034 (2 a)$. Léveillé l'a écrit : $e_0 = \frac{1}{3} \left[1 + \frac{2 a}{10} \right]$ (Note sur les ponts en maçonnerie. Le Mans 1855, p. 5).

55. — « Traité de l'équilibre des voûtes », J. Dupuit, Paris, Dunod, 1870, p. 185.

Croizette-Desnoyers réalisa un très sensible progrès en exprimant ainsi e_0 :

$$e_0 = \alpha + \beta \sqrt{2r} \quad (r \text{ rayon de l'arc de mêmes portée et montée})$$

Il distingua entre les ponts-route et les ponts de chemin de fer, mais non entre un arc et une ellipse de même surbaissement.

Art. 5. — Formule empirique proposée $e_0 = \alpha (1 + \sqrt{2a}) \mu$.

α est un coefficient numérique dont voici les valeurs :

Valeurs de α	Ponts sous			Valeurs de α
	route	chemin de fer à :		
		voie normale	voie étroite	
0,12	Limite inférieure	Limite inférieure	Limite inférieure	0,12
0,13				0,13
0,14				0,14
0,15	Bonne moyenne	Bonnes moyennes	Bonne moyenne	0,15
0,16				0,16
0,17				0,17
0,18	Limite supérieure	Bonnes moyennes	Limite supérieure	0,18
0,19				0,19
0,20				0,20
0,21		Limite supérieure		0,21

Si les matériaux sont excellents, on se tiendra au-dessous des « bonnes moyennes » ; si médiocres, au-dessus.

On est déjà timide aux limites supérieures, bientôt poltron au-delà.

On est déjà hardi aux limites inférieures, bientôt téméraire en-deçà.

Il est quelquefois permis d'être hardi, même très hardi : mais il faut savoir qu'on l'est.

Ces valeurs de α sont justifiées dans l'annexe à la fin de ce Tome.

μ , fonction du surbaissement σ , est :

pour les pleins cintres : $\mu = 1$

pour les ellipses surbaissées : $\mu = \frac{4}{3 + 2\sigma}$

pour les arcs ⁵⁷ $\mu = \frac{4}{3} (1 - \sigma + \sigma^2)$.

56. —

Pour $\sigma = \left\{ \begin{array}{l} 1/2 \text{ à } 1/4 \\ 1/6 \\ 1/8 \\ 1/10 \\ 1/12 \end{array} \right\} \beta =$	Ponts - route	Ponts de chemin de fer
	0,15 0,15 0,14 0,13 0,12 0,11	0,20 0,17 0,16 0,15 0,14 0,13

Croizette-Desnoyers : « Cours de Construction des Ponts », Tome II, p. 10 et 21, Paris, Dunod, 1885.

57. — Aux arcs peu surbaissés, c'est-à-dire de surbaissement $\sigma \geq \frac{1}{2\sqrt{3}}$, soit φ (1/2 angle au centre) $\geq 60^\circ$, il est d'usage de donner la même épaisseur à la clef qu'au plein cintre de même rayon r , c'est-à-dire $\alpha (1 + \sqrt{2r})$.

Or, pour $\sigma \geq \frac{1}{2\sqrt{3}}$, les épaisseurs données par les deux formules :

$$e_0 = \alpha (1 + \sqrt{2r}) \quad e_0 = \alpha (1 + \sqrt{2a}) \mu$$

ne diffèrent que de quelques millimètres.

Il est plus simple d'appliquer la même, quel que soit le surbaissement.

Si la voûte est en rouleaux superposés de briques, e_0 sera un multiple de la hauteur des briques.⁵⁸

On trouvera, au Tome V, APPENDICE, des tables de :

$$e_0 = \alpha \left(1 + \frac{1}{2\alpha}\right), \text{ pour } 2\alpha \text{ variant de } 0^m60 \text{ à } 100^m, \text{ et } \alpha \text{ de } 0,10 \text{ à } 0,25.$$

$$\mu' = \frac{4}{3 + 2\sigma}, \text{ pour } \sigma \text{ variant de } \frac{1}{2} \text{ à } \frac{1}{6}.$$

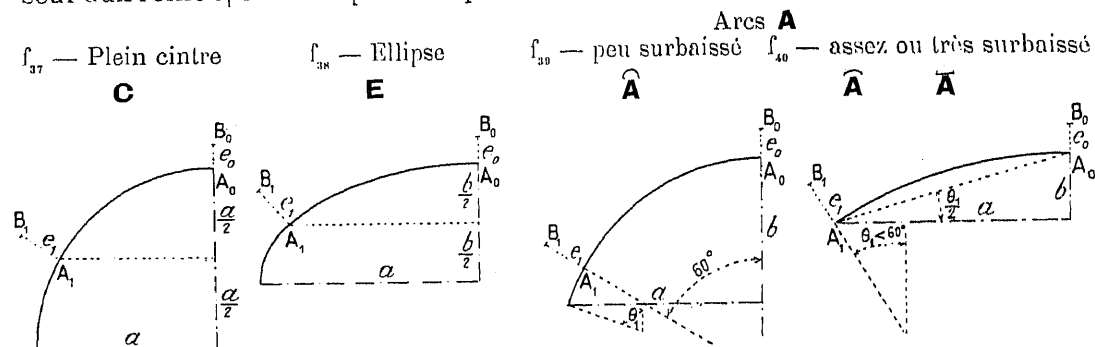
$$\mu'' = \frac{4}{3} (1 - \sigma + \sigma^2), \text{ pour } \sigma \text{ variant de } \frac{1}{2} \text{ à } \frac{1}{10}.$$

§ 2. — ÉPAISSEUR AUX REINS e_1

EXTRADOS CACHÉ PAR DES TYMPANS PLEINS

$$e_1 = \lambda e_0$$

Art. 1. — Formules empiriques proposées pour λ . — On a l'épaisseur aux reins e_1 en multipliant l'épaisseur à la clef e_0 par un coefficient λ .



On peut sans risques admettre :

Pleins cintres **C** (f_{37})

Ellipses **E** (f_{38})

Arcs **A** { peu surbaissés \hat{A} $\theta_1 \geq 60^\circ$ $\sigma \geq \frac{1}{2\sqrt{3}} (f_{39})$

Arcs **A** { assez ou très surbaissés \hat{A}, \bar{A} $\theta_1 \leq 60^\circ$ $\sigma \leq \frac{1}{2\sqrt{3}} (f_{40})$

Joint AB, sur lequel on prend l'épaisseur e_1	$\lambda = \frac{e_1}{e_0}$ ⁵⁹
Milieu de la montée.	2 ^{50 bis}
..... id.	$1 + 2\sigma$
A 60° de la clef.	2
Naissances	$1 + 12\sigma^2$

On trouvera au Tome V, APPENDICE, des tables de λ .

Art. 2. — Épaisseur e_1 définie par la condition que sa projection verticale soit e_0 . — La pression moyenne β_m sur un joint MM' (f_{11}) est :

$$\beta_m = \frac{H \left(\begin{smallmatrix} poussée \\ horizontale \end{smallmatrix} \right)}{e \cos \theta}$$

58. — Pont sur la Gimone (Ligne de Toulouse à Auch, 1875-76), anse de panier de 33" au 1/3, 3 rouleaux de briques de 0^m42.

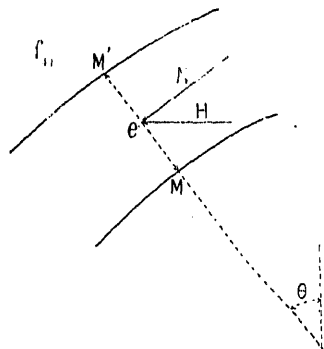
Pont de Saint-Waast (Ligne de Montauban à Castres, 1882-1884) pleins cintres de 20" ; 3 rouleaux de briques de 0^m29.

59. — λ résulte moins nettement des voûtes faites que α dans la formule de e_0 .

59 bis. — Toutefois, pour les tout petits pleins cintres ($2\alpha \leq 8^m$), la formule $e_1 = 2e_0$ donnerait des épaisseurs aux reins supérieures à celles des culées aux naissances.

J'indiquerai pour eux la règle à suivre, Tome V, APPENDICE.

ρ_m sera constante dans toute la voûte si $e \cos \theta$, projection verticale de e , l'est aussi⁶⁰.



$$e = \frac{e_0 \text{ (épaisseur à la clef)}}{\cos \theta} = e_0 \sqrt{1 + \tan^2 \theta} \quad 61$$

Avec cette règle, on trouve, pour le joint $A_1 B_1$ défini à l'art. 1 :

Pleins cintres et arcs peu surbaissés : $e_1 = 2 e_0$.

C'est l'épaisseur usuelle.

Ellipses : $e_1 = e_0 \sqrt{1 + 12 \sigma^2}$

Arcs assez ou très surbaissés : $e_1 = e_0 \frac{1 + 4 \sigma^2}{1 - 4 \sigma^2}$

C'est au-dessous des épaisseurs usuelles.

§ 3. — CE QUE VALENT LES FORMULES EMPIRIQUES PROPOSÉES POUR e_0 , e_1

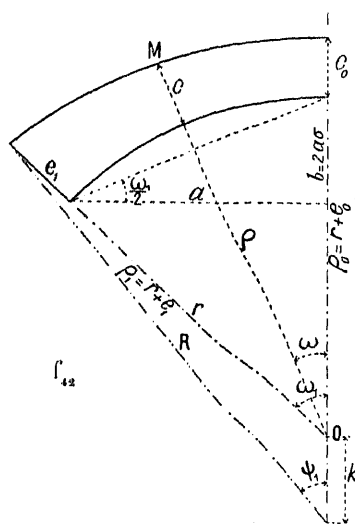
Avec ces formules, on reste dans les moyennes éprouvées : si on s'en écarte, on est prévenu.

Elles suffisent pour une voûte courante, pour le premier essai d'une voûte exceptionnelle,

§ 4. — EXTRADOS DU CORPS DES VOÛTES

Art. 4. — Règle. — On cherchera un extrados qui, avec l'intrados, encadre au mieux les courbes de pression : on le trouvera parmi les courbes d'intrados précédemment décrites⁶².

On se borne le plus souvent à réunir par un arc de cercle les 2 points $B_0 B_1$ que définissent les épaisseurs e_0 , e_1 ⁶³ (f_{37} à f_{40} , — p. 344).



60. — Cette remarque a été faite par Déjardin : « Routine de l'établissement des voûtes », Paris, 1845, p. 36.

61. — Ceci est développé plus loin : Titre III, Chap. III.

62. — Tome III, p. 324 à 340.

63. — Supposons l'intrados en arc de cercle de rayon r .

Soient (f_{42}) :

$$\rho_0 = r + e_0 \quad \rho_1 = r + e_1$$

On trouve :

$$R \left(\begin{array}{c} \text{Rayon} \\ \text{de} \\ \text{l'extrados} \end{array} \right) = \frac{f_0^2 + f_1^2 - 2 f_0 f_1 \cos \omega_1}{2 (f_0 - f_1 \cos \omega_1)}$$

$$k = R - r = \frac{f_1^2 - f_0^2}{2 (\rho_0 - \rho_1 \cos \omega_1)} \quad \sin \phi_1 = \frac{f_1}{R} \sin \omega_1$$

Équation de l'extrados en coordonnées polaires avec O comme pôle :

$$\rho = -k \cos \omega + \sqrt{R^2 - k^2 \sin^2 \omega}$$

Épaisseur e de la voûte en M : $e = \rho - r$

Équation de la ligne des milieux :

$$\rho_m = r + \frac{e}{2} = \frac{1}{2} \left[r - k \cos \omega + \sqrt{R^2 - k^2 \sin^2 \omega} \right]$$

Elle est très voisine du cercle passant par les milieux de la clef et des retombées.

Si l'intrados est en plein cintre ou en arc peu surbaissé, $\omega_1 = 60^\circ$, $\cos \omega_1 = \frac{1}{2}$

$$R = \frac{(f_1 - f_0)^2 + f_0 f_1}{2 \rho_0 - \rho_1} \quad k = \frac{(\rho_1 - \rho_0) (\rho_1 + \rho_0)}{2 \rho_0 - \rho_1}$$

Si, de plus, $e_1 = 2 e_0$:

$$\rho_1 = r + 2 e_0 \quad \rho_0 = r + e_0$$

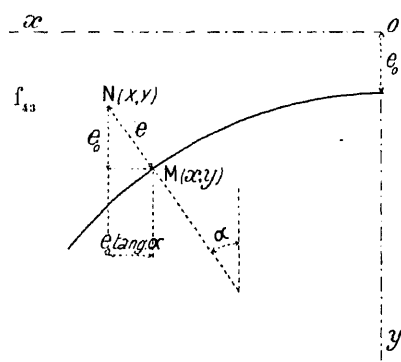
$$R = r + \frac{3 e_0}{2} \left(r + e_0 \right)$$

$$\rho_1 - \rho_0 = e_0$$

$$k = \frac{e_0}{r} \left[2 r + 3 e_0 \right]$$

Art. 2. — Extrados d'une voûte dont l'épaisseur e en un point quelconque M a une projection verticale constante : $e = \frac{e_0}{\cos \alpha}$

1° *Ellipse.*



On a (f_{13}) :

$$\begin{cases} X = x + e_0 \tan \alpha = x + e_0 \frac{dy}{dx} \\ Y = y - e_0 \end{cases}$$

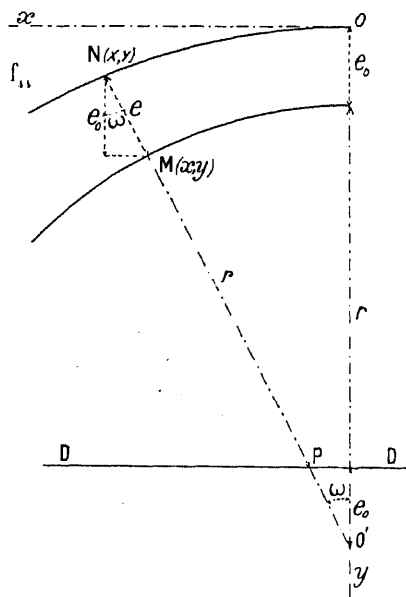
Avec :

$$y = e_0 + b \left(1 - \sqrt{1 - \frac{x^2}{a^2}} \right)$$

on trouve :

$$X = \frac{a^2 (b - Y) + b^2 e_0}{ab (b - Y)} \sqrt{Y (2b - Y)} \quad 61$$

Cet extrados est horizontal à la clef. Il a quelque part un point d'inflexion : on s'assurera qu'il est au-dessous des naissances.



2° *Arc de cercle.* — Faisons, dans cette équation, $a = b = r$.

On trouve :

$$X = \frac{r - Y + e_0}{r - Y} \sqrt{Y (2r - Y)}$$

En coordonnées polaires, on a de suite :

$$\rho = r + e = r + \frac{e_0}{\cos \omega} \quad 65$$

64. — Pour le milieu de la montée :

$$y = e_0 + \frac{b}{2} \quad x = \frac{a\sqrt{3}}{2} \quad \tan \alpha = \frac{b}{a} \sqrt{3} \quad X = \sqrt{3} \left[\frac{a}{2} + e_0 \frac{b}{a} \right] \quad Y = \frac{r}{2}$$

65. — Traçons une droite DD, à e_0 de O' (f_{13}).

$$O'P = \frac{e_0}{\cos \omega} \quad PN = r$$

L'extrados est une conchoïde de Nicomède.

BANDEAUX

§ 1. — SOUS TYMPANS PLEINS

Art. 1. — Réduction des épaisseurs par rapport au corps de la voûte. — On réduit l'épaisseur du bandeau : par économie, parce que le bandeau est en matériaux chers ; pour l'aspect, l'œil n'admet pas aux reins les épaisseurs usuelles des voûtes.

On cherchera une courbe qui s'ajuste bien à l'intrados parmi celles décrites plus haut ⁶⁶.

Art. 2. — Pleins cintres. — Dans les viaducs ⁶⁷, le bandeau est, presque toujours, extradossé parallèlement.

Dans de grands pleins cintres, on lui a conservé l'épaisseur du corps ⁶⁸ : l'effet n'est pas heureux : il y a trop de différence entre la clef et les reins.

Art. 3. — Ellipses. — *A. — L'intrados est, aux naissances, tangent à deux piles, ou à deux culées, ou à une pile et une culée.*

On a souvent défini l'extrados par un arc de cercle unique $B_0 B_1 (f_0)$.



Mais, à partir de la clef, le bandeau semble d'abord extradossé parallèlement, et même, bien que les joints aillent un peu en croissant, paraît, quelquefois, démaigri vers 20 à 30 % du développement à partir de la clef ⁶⁹.

Aux reins, l'épaisseur croît démesurément, et exagère la hauteur des becs.

On cherchera une courbe qui fasse bon effet.

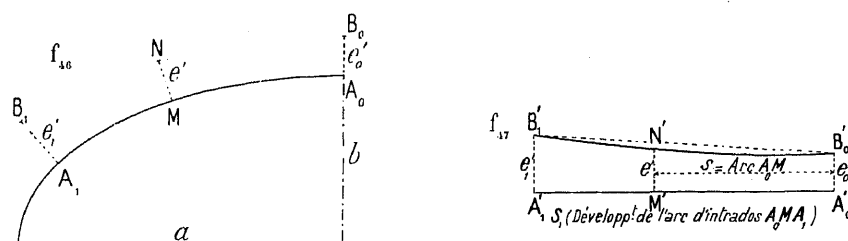
On peut, par exemple, faire croître l'épaisseur e' en fonction de la longueur de l'intrados à partir de la clef, depuis e_0 épaisseur à la clef jusqu'à l'épaisseur e_1 adoptée aux reins.

⁶⁶ — Tome III, p. 324 à 340.

⁶⁷ — Tome V, APPENDICE, Viaducs.

⁶⁸ — Ponts de Collonges (Tome I, p. 31), d'Oloron (id., p. 45).

⁶⁹ — Ponts de Berzy à Paris, de Port-Sainte-Marie sur la Garonne, (ligne de Condom à Port-Sainte-Marie).



Au pont de Marmande (f_{16}, f_{17})⁷⁰, nous avons adopté :

$$e' = e'_0 + (e'_1 - e'_0) \frac{s^2}{S_1^2}$$

Ce sont les ordonnées de la parabole $B'_0 B'_1$ (f_{17}) : l'effet est bon.

Au pont de Valence⁷¹ on a pris :

$$e'^2 = e'^2_0 + (e'^2_1 - e'^2_0) \frac{s^2}{S_1^2}$$

$B'_0 B'_1$ est un arc d'hyperbole⁷².

Il faut être bien sûr que la courbe adoptée a une tangente horizontale à la clef⁷³.

*B. — L'extrados est une demi-courbe complète*⁷⁴. — Quand, au lieu de s'arrêter à une pile ou à une culée, l'extrados est une demi-courbe complète, on l'étudiera de même en vue du meilleur effet.

Pour l'aspect, on fera croître l'épaisseur à partir de la clef.

Si, par économie, on doit accepter une épaisseur constante k , on extradosera, non suivant une ellipse $a + k, b + k$ ⁷⁵, mais suivant une courbe parallèle à l'ellipse d'intrados⁷⁶.

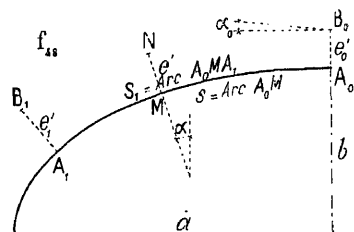
70. — $a = 18^m$; $b = 10^m$; $e'_0 = 1^m35$; $e'_1 = 2^m10$.

71. — Tome I, p. 173.

72. — Supposons e' calculée par cette formule (s compté sur la fibre moyenne), et la fibre moyenne en arc de cycloïde.

On peut alors calculer assez simplement, par la méthode de M. Résal, les éléments de la courbe de pression.

(Note présentée à l'Académie des Sciences par M. Auric, Ingénieur des Ponts et Chaussées. Annales des Ponts et Chaussées, 4^e trimestre 1905, p. 282).



73. — Par exemple, on n'acceptera pas la droite $B'_0 B'_1$ (f_{17}).

$$e' = e'_0 + (e'_1 - e'_0) \frac{s}{S_1}$$

Elle donne à la clef un angle rentrant (f_{17}, f_{18}).

On trouve, en effet :

$$\tan \alpha_0 = \frac{(e'_1 - e'_0) a^2}{(a^2 + b e'_0) S_1}$$

74. — à tangentes verticales aux naissances. (Preliminaires, Tome III, p. 3).

75. — Les têtes des souterrains à une voie en anse de panier surhaussée, extradosées parallèlement, semblent maigres au tiers supérieur de la montée.

76. — Tome III, p. 329.

Art. 4. — Arcs. — On a souvent extradossé les bandeaux parallèlement, c'est-à-dire avec une épaisseur uniforme ⁷⁷.

L'œil veut un peu d'accroissement, mais pas trop.

Au pont des Invalides (ares de 31^m66 au 1/10,2 et de 31^m49 au 1/7,6), on a conservé pour le bandeau les épaisseurs du corps : 1^m20 à la clef, 1^m70 aux retombées : c'est trop aux reins.

Au pont de Saint-Loup sur l'Allier ⁷⁸ (ares de 33^m à 1/7,5), nous avons adopté 1^m15, 1^m30.

Dans les arcs très tendus, on ne gagne pas grand'chose à réduire le bandeau : on lui donne partout les mêmes épaisseurs qu'à la voûte ⁷⁹.

On s'assurera que la courbe choisie pour l'extrados a une tangente horizontale à la clef ⁸⁰.

On se gardera, par exemple, au-dessus d'un intrados en arc, de faire varier l'épaisseur proportionnellement à la distance angulaire au sommet ⁸¹ : mais on la pourra faire varier comme son carré ⁸².

§ 2. — BANDEAUX SOUS TYMPANS

TRAVERSÉS PAR DES ÉVIDEMENTS APPARENTS

Art. 1. — Épaisseur. — Dans les ouvrages à tympans pleins, l'extrados du corps des voûtes est caché ; on y peut, sans dommage pour l'aspect, réduire le bandeau.

Mais, quand les tympans sont évidés par des arches transversales, l'extrados est vu comme l'intrados : le bandeau et le corps de la voûte ont partout la même épaisseur : on a quelquefois réduit par un chanfrein les bandeaux ⁸³ ; mais, de loin, c'est l'extrados de la voûte que l'on voit.

77. — Pont National à Paris (Portée : 31^m50 ; montée : 1^m50).

78. — Ligne de Gannat à La Ferté-Hauterive.

79. — Pont Boucieut, Tome III, p. 243.

80. — Voir ce qui a été dit plus haut pour l'extrados des voûtes en ellipse (renvoi 73).

81. — On aurait alors (r_a) : $r' = r'_a + (r'_1 - r'_a) \frac{\omega}{\omega_1}$

L'extrados est une spirale d'Archimède :

$$\rho = r + r'_a + (r'_1 - r'_a) \frac{\omega}{\omega_1}$$

Et aussi la ligne des milieux : $\rho = r + \frac{r'}{2}$

$$\text{Tang } u = \omega + \frac{(r + r'_a) \omega_1}{r'_1 - r'_a}$$

Pour $\omega = 0$, u n'est pas 90°, la courbe n'est pas horizontale au sommet.

82. — On a alors $\rho = r + r'_a + (r'_1 - r'_a) \frac{\omega^2}{\omega_1^2}$
Pour $\omega = 0$ $u = 90^\circ$

$$\text{Tang } u = \frac{(r + r'_a) \omega_1^2}{2(r'_1 - r'_a)} + \frac{\omega}{2}$$

83. — Ponts sur la Moselle de Schweich, Tritenheim, Tome III, p. 268, p. 276.

Sous tympans évidés, on réduit les épaisseurs adoptées aux reins pour le corps des voûtes sous tympans pleins, pour deux motifs :

parce qu'aux reins la charge est réduite, la courbe de pression moins cambrée, l'effort moindre ;

pour l'aspect, parce que, comme on l'a dit plus haut pour les bandeaux, l'œil n'accepte pas une voûte trop épaisse aux reins⁸⁴.

Ainsi nous avons adopté pour λ au pont de Lavour⁸⁵ : 1,70 au lieu de 2 ; au pont de Luxembourg⁸⁶ : 1,50 au lieu de 1,70.

On pourra, comme première approximation, prendre pour les pleins cintres et les arcs, $0,85 \lambda$ (λ des formules pour tympans pleins données plus haut, p. 344).

Les voûtes en ellipse ont une grande épaisseur aux reins⁸⁷ et doivent être fort réduites. Au pont des Amidonniers⁸⁸, aux retombées des bandeaux amont du pont amont, une voussure réduit l'épaisseur à 74/100 (voûte de 46^m), 77/100 (voûtes de 42^m), 79/100 (voûtes de 38^m50), de celle du corps.

Art. 2. — Courbe d'extrados. — Comme dans le cas des tympans pleins, on cherchera une courbe qui s'ajuste bien à l'intrados, ait une tangente horizontale à la clef, et encadre au mieux les courbes de pression^{89, 90}.

84. — Reins trop épais aux ponts évidés de Brent, (Tome I, p. 34), de Céret, (Tome II, p. 160).

85. — Tome II, p. 135. 86. — Tome II, p. 67. 87. — Verdun-sur-le-Doubs (Tome I, p. 165).

88. — Tome I, p. 193. 89. — Pont de Luxembourg (Tome II, p. 68), $e = e_0 + ky^{n,6}$
 e croît agréablement et la courbe est horizontale à la clef.

90. — Extrados du pont des Amidonniers, voûte de 46^m (Tome I, p. 195).

On donnait un point des reins de l'extrados :

$$x_1 = 24^m78 \quad y_1 = 8^m78 \quad (l_{50})$$

On a trouvé : $y = 11,34728 \left(1 - \sqrt[3]{1 - 0,001545 x^2}\right)$

$$y = 19,245 \left(1 - \sqrt[3]{1 - 0,001366 x^2}\right)$$

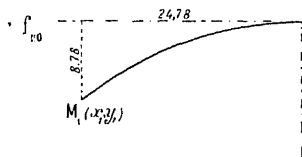
$$y = 27,294155 \left(1 - \sqrt[4]{1 - 0,001283 x^2}\right)$$

$$\dots \dots \dots$$

$$y = 51,7825 \left(1 - \sqrt[7]{1 - 0,0011849 x^2}\right) \quad (\text{adopté})$$

L'indice du radical augmentant, les courbes sont de plus en plus au-dessous de l'ellipse.

L'arc de cercle est $y = 39,35858 \left(1 - \sqrt[2]{1 - 0,0006455 x^2}\right)$.



TITRE II

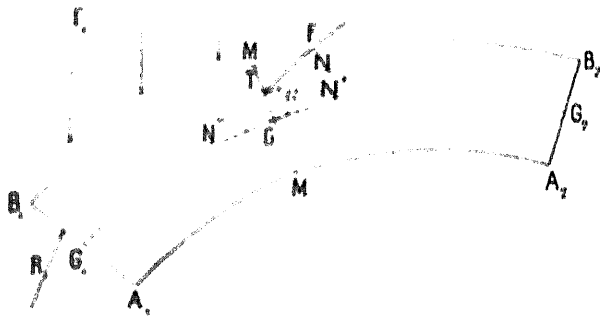
COMMENT ON CALCULE LES EFFORTS DANS LES GRANDES VOÛTES HYPOTHÈSE ÉLASTIQUE

CHAPITRE I

COMMENT ON DETERMINE POUR UNE SECTION QUELCONQUE L'EFFORT NORMAL ET LE COUPLE DE FLEXION

§ 1. COMPOSANTES DE L'EFFORT TOTAL SUR UNE SECTION COUPLE DE FLEXION

Art. 1. — Effort normal à la section N . — Effort tranchant T . —
Couple de flexion Nu (α).



Soient :

$A_1 B_1 A_2 B_2$ un arc ;
 $G_1 G_2$ sa fibre moyenne, — lieu
des centres de gravité des sections
transversales, telles que $M G M$,
faites par des plans également incli-
nés sur l'intrados et l'extrados ; —
c'est, en pratique, le lieu des milieux
des joints normaux à l'intrados.

On suppose l'arc symétrique par rapport au plan vertical de la fibre moyenne,
et toutes les forces extérieures dans ce plan.

La partie d'arc à droite de la section $M M$ exerce sur elle un effort F égal et
directement opposé à la résultante des forces extérieures appliquées à gauche
de $M M$.

F peut se décomposer en 2 forces :

N , normale à la section : c'est l'effort « normal » ;

T , dans le plan de la section : c'est l'effort « tranchant ».

Dans les voûtes en maçonnerie, F est à peu près normal à la section : on
convient de négliger T .

Je mène par le centre de gravité G deux forces égales à N et de sens
contraires N', N'' .

Tout se réduit :

1° à l'effort normal $N' = N$ appliqué en G ;

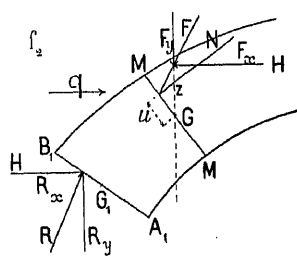
2° au couple de flexion Nu , — égal au moment M par rapport à G des
forces extérieures à gauche de la section $M M$.

Art. 2. — Poussée horizontale II. — A la rencontre de F avec la verticale de G , décomposons F en forces verticale F_y et horizontale F_x (f_2).

S'il n'y a que des forces verticales à gauche de M , F_x est égale à la composante horizontale R_x de la réaction de l'appui.

Elle est constante à toute hauteur : c'est la « poussée horizontale » de la voûte, II.

$$II = Nu = Hs$$

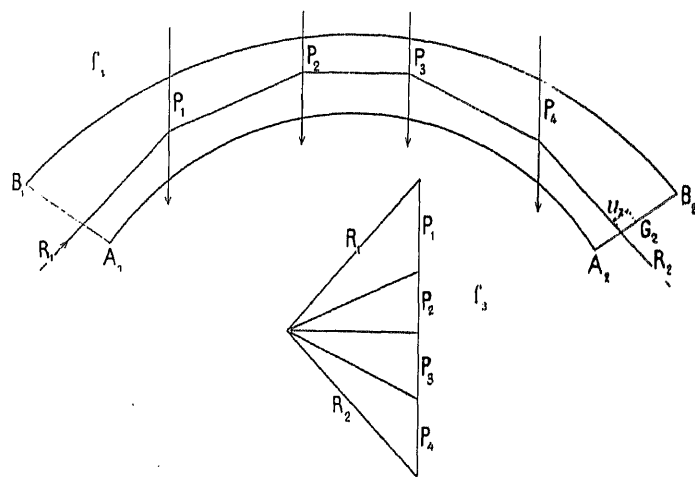


Si la voûte reçoit d'une voûte transversale d'élégissement une poussée q (f_2),

$$II = q + R_x$$

La poussée horizontale de la retombée est réduite de q .

§ 2. — SI ON CONNAIT LA RÉACTION D'UN APPUI,
ON PEUT, POUR CHAQUE SECTION,
CALCULER OU CONSTRUIRE L'EFFORT NORMAL N
ET SON BRAS DE LEVIER u .



Supposons connue en grandeur et direction, la réaction de l'appui de droite R_2 . Avec le polygone des forces (f_1), on a la réaction de l'autre appui R_1 .

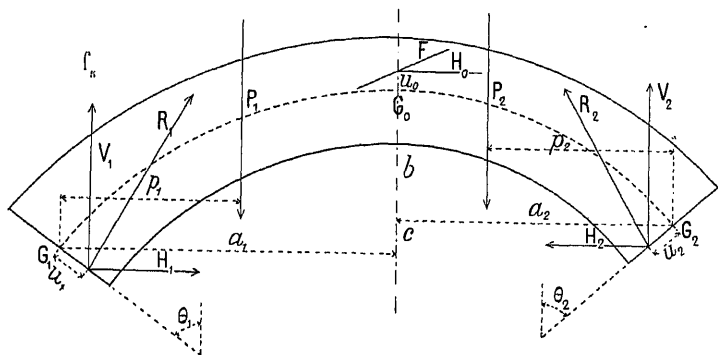
Si on a, de plus, le point d'application de R_2 (à u_2 de G_4), on peut construire le funiculaire

(f_1), qui se ferme par R_1 et donne pour chaque section N et u , sur l'appui de gauche R_1 et u_1 .

§ 3. — COMMENT ON DÉTERMINE LA RÉACTION D'UN APPUI

Art. 1. — La Statique ne donne que 3 équations pour 6 inconnues. — Soit une voûte de fibre moyenne $G_1 G_0 G_2$ (f_3).

Pour simplifier, je la suppose soumise seulement à des forces verticales.



Soient :

R_1, R_2 les réactions de ses appuis, appliquées à u_1, u_2 des milieux $G_1 G_2$, positifs au-dessous de $G_1 G_2$;

$V_1, H_1; V_2, H_2$ leurs composantes verticales et horizontales;

P_1, P_2 la résultante

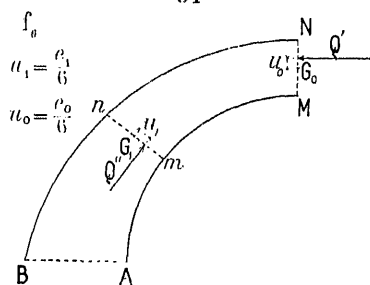
des forces verticales appliquées entre G_1 et G_0 , entre G_0 et G_2 .

Il y a 6 inconnues : $V_1, H_1, u_1; V_2, H_2, u_2$.

La Statique donne 3 équations d'équilibre¹ : il en manque trois. Si les voussoirs étaient indéformables, il faudrait se les donner arbitrairement².

Art. 2. — Hypothèses proposées pour avoir trois autres équations, en supposant les voussoirs indéformables.

A. — Hypothèse de Navier³. — « Nous admettrons (f_6) :



« Que les deux voussoirs séparés par le joint
« MN ne pressent point l'un contre l'autre par
« l'arête inférieure M .

«
« Le point d'application de la résultante Q'
« est aux $2/3$ de la hauteur du joint, à compter de
« l'extrémité inférieure M
«

1. — $V_1 + V_2 = P_1 + P_2$ $H_1 = H_2$
(Moments autour de G_1) $V_1 u_1 \sin \theta_1 + H_1 u_1 \cos \theta_1 + V_2 [a_1 + a_2 - u_2 \sin \theta_2] + H_2 (c - u_2 \cos \theta_2) = P_1 p_1 + P_2 (a_1 + a_2 - p_2)$

2. — Pour une voûte articulée aux reins, en G_1, G_2 , on a : $u_1 = 0$ $u_2 = 0$.

S'il y a une troisième articulation à la clef, on a : $u_0 = 0$.
Tout est défini.

3. — Navier. — Résumé des leçons données à l'École royale des Ponts et Chaussées sur l'application de la mécanique à l'établissement des constructions et des machines. — Première partie, p. 164 et suivantes, Paris, Firmin-Didot père et fils — MDCCCXXVI.

« En considérant maintenant le joint de rupture mn , on admettra également que la pression est nulle à l'arête supérieure n , où le joint tend à s'ouvrir, et qu'elle augmente uniformément depuis cette arête jusqu'en m , où cette poussée est à son maximum. »

C'est supposer que la courbe de pression coupe la clef MN au $1/3$ supérieur, le « joint de rupture » mn au $1/3$ inférieur.

B. — Méthode de Méry⁴. — Au vrai, Méry n'a pas tiré des expériences de Boistard une méthode pratique : il n'a pas fixé de point de la courbe de pression, il a seulement indiqué comment on la construit, si on en connaît deux points.

La méthode connue sous son nom⁵ consiste tout simplement à admettre les deux hypothèses enseignées bien avant par Navier, à savoir :

que la courbe de pression passe par M_0 (f_1), tiers supérieur de la clef A_0B_0 ; M , tiers inférieur d'un joint dit « de rupture », à déterminer aux reins;

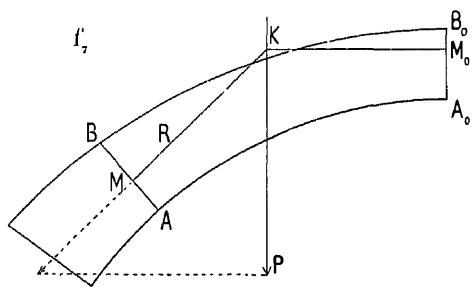
qu'en ces deux points elle est tangente aux bords du noyau central, et normale aux joints A_0B_0 , AB (f_2).

Il eût été juste de l'appeler : méthode Navier-Méry.

Les deux hypothèses de Navier fournissent les 3 équations qui manquent ;

$$u_1 = \frac{e_1}{6} \quad u_2 = \frac{e_2}{6} \quad u_0 = \frac{e_0}{6}$$

Pour les pleins cintres, les ellipses, les arcs peu surbaissés, on détermine ainsi le « joint de rupture »⁶ :



Soient (f_1) : AB un joint quelconque, P la résultante des charges entre AB et la clef.

On mène par le $1/3$ supérieur de la clef une horizontale M_0K , par K une perpendiculaire à AB .

Si $MA = \frac{1}{3} AB$, AB est le joint de rupture. On essaye un joint plus haut, si $MA < \frac{AB}{3}$, plus bas, si $MA > \frac{AB}{3}$.

4. — Annales des Ponts et Chaussées, 1840, 1^{er} semestre, page 50, « Sur l'équilibre des voûtes en berceau », par M. E. Méry.

5. — Elle est exposée par Morandière : « Traité de la Construction des Ponts et Viaducs », p. 246. — Paris, Dunod, 1874.

6. — M. Résal : « Emplacements, — Débouchés, — Fondations, — Ponts en maçonnerie, » p. 188, Paris, Baudry et C^{ie}, 1896.

7. — Morandière et Croizette-Desnoyers admettent comme angle du joint de rupture avec la verticale :

Tympan pleins						Plein cintre à tympan élégis
Plein cintre	Ellipse		Arc			
	au 1/3	au 1/4	au 1/5	à moins de 1/5		
Morandière.....	60°	45°	40°	naissances	naissances	"
Croizette-Desnoyers.	60°	45°	40°	43°	naissances	58° à 56°

Morandière : Loc. cit., renvoi 5, p. 208, Paris, Dunod, 1874.

Croizette-Desnoyers : « Cours de Construction des Ponts », p. 412 et 462, Paris, Dunod, 1885.

Pour les arcs assez et très surbaissés, on admet que le joint des naissances est le joint de rupture, bien que la résultante passant par le 1/3 ne lui soit pas normale.

La méthode, dite de Méry, a été appliquée à un très grand nombre de grandes voûtes qui ont tenu : elle est fort simple, très pratique, très suffisante pour les voûtes courantes⁸.

Il est bon de toujours commencer par faire une épure Méry : elle donne fort approximativement la poussée, elle indique si et comment il faut modifier la courbe moyenne.

En Allemagne, on a souvent ainsi opéré :

On étale la surcharge sur toute la voûte; on trace la courbe Méry, et une autre par les milieux de la clef et des retombées.

Puis on ne surcharge qu'une demi-voûte; on trace une courbe de pression par le milieu de la clef, par le 1/3 inférieur de la retombée du côté chargé, par le 1/3 supérieur de la retombée du côté non chargé.

Si toutes ces courbes restent dans le noyau central, on suppose la voûte stable.

Art. 3. — Si les voussoirs sont élastiques (élastiques comme l'entend la Résistance des Matériaux), on leur peut appliquer les 3 équations « de déformation ».

A. — *La pierre est beaucoup plus déformable que l'acier.* — Soient :

E , le coefficient d'élasticité d'un « matériau »,

$$E \text{ (en kg/cm}^2\text{)} = \varepsilon \times 10^9 \quad \text{ou} \quad E \text{ (en kg/cm}^2\text{)} = \varepsilon \times 10^5$$

ΔL , le raccourcissement évalué en microns (μ) d'un prisme de 1^m de long, sous une pression β (kg/cm²)

$$\text{On a :} \quad \Delta L \text{ (en } \mu \text{ sur 1}^m\text{)} = \frac{10 \beta \text{ (kg/cm}^2\text{)}}{\varepsilon}$$

ε est, pour l'acier, 22 à 25; pour la maçonnerie de voûte, 0,3 à 3.⁹

A pression égale par cm², les raccourcissements sont de 7 à 83 fois plus grands dans la maçonnerie que dans l'acier¹⁰.

Il était donc fort naturel de calculer les grandes voûtes comme des arcs élastiques homogènes, c'est-à-dire avec les deux hypothèses que traduisent les formules dites de déformation de la Résistance des Matériaux : je suis, pour être clair, forcé de les rappeler.

B. — Hypothèses de la Résistance des Matériaux.

B₁ — *Hypothèse de Hooke*¹¹. — *Tant que l'effort par unité reste au-dessous*

8. — Pour les petites voûtes, on adopte, sans épure, des épaisseurs justifiées par une longue pratique.

9. — Voir plus loin, Titre III, chap. IV, § 1 et 2.

10. — L'acier travaillant à 1.000^k, une pierre de $\varepsilon = 1$ travaillant à 40^k, ont la même déformation.

11. — « *ut tensio sic vis* », — Robert Hooke (1635-1703) : « *De Potentia restitutiva* », — Londres, 1678.

Soit (f_i) une tranche d'épaisseur ds , symétrique par rapport au plan vertical contenant les forces extérieures, pressée par une force normale N , à u de son centre de gravité G .

Ω la surface de la section $m m$;

E le « coefficient d'élasticité » dans le sens de la fibre moyenne.

N' comprime uniformément la tranche de $\frac{N ds}{E \Omega}$ (Hooke).

En supposant que chaque fibre, telle que kk' « se comporte comme une tige isolée et qu'elle n'est pas influencée par les fibres voisines, »¹³ que, par conséquent, on peut lui appliquer l'hypothèse de Hooke, — que toute la section reste plane après flexion (Navier), qu'ainsi, non seulement la partie comprimée et la partie tendue sont chacune restées planes après déformation, mais aussi la section entière, c'est-à-dire que les coefficients d'élasticité à la tension et à la compression sont égaux, on trouve : $d\theta = \frac{Nu \, ds}{EI}$.

α , le coefficient de
dilatation linéaire.

13. — Bresse, « *Résistance des Matériaux* ». p. 33, Paris, 1866.

Supposons appliqués :

1° au G de chaque section transversale, un effort normal N ;

2° autour de G de chaque section, un couple $\mathfrak{N} = N u$.

(N et u variables d'une section à l'autre).

Supposons enfin que la température de l'air change de t° .

Les déplacements de M_0 ($\Delta x_0, \Delta y_0, \Delta \theta_0$) étant supposés connus, ceux de M_1 ($\Delta x_1, \Delta y_1, \Delta \theta_1$) sont donnés par ces trois formules dites de déformation ¹⁴ :

$$\begin{aligned}\Delta \theta_1 &= \Delta \theta_0 + \int_{s_0}^{s_1} \frac{\mathfrak{N} ds}{E I} \\ \Delta x_1 &= \Delta x_0 - \Delta \theta_0 (y_1 - y_0) - \int_{s_0}^{s_1} \frac{\mathfrak{N} (y_1 - y) ds}{E I} + \int_{x_0}^{x_1} \frac{N dx}{E \Omega} + \alpha t (x_1 - x_0) \\ \Delta y_1 &= \Delta y_0 + \Delta \theta_0 (x_1 - x_0) + \int_{s_0}^{s_1} \frac{\mathfrak{N} (x_1 - x) ds}{E I} + \int_{y_0}^{y_1} \frac{N dy}{E \Omega} + \alpha t (y_1 - y_0)\end{aligned}$$

Si l'arc est inarticulé, ou, — comme on le dit souvent, — « encastré » aux naissances, les points M_0, M_1 , les sections M_0, M_1 sont immobiles :

$$\Delta x_0, \Delta y_0, \Delta \theta_0 \quad \Delta x_1, \Delta y_1, \Delta \theta_1 \quad \text{sont nuls.}$$

La première équation se réduit à :

$$\int_{s_0}^{s_1} \frac{\mathfrak{N} ds}{E I} = 0$$

Elle exprime que la somme des rotations de chaque section par rapport à la précédente est nulle entre les retombées.

Les deux autres deviennent :

$$\begin{aligned}\int_{s_0}^{s_1} \frac{\mathfrak{N} y ds}{E I} + \int_{x_0}^{x_1} \frac{N dx}{E \Omega} + \alpha t (x_1 - x_0) &= 0 \\ - \int_{s_0}^{s_1} \frac{\mathfrak{N} x ds}{E I} + \int_{y_0}^{y_1} \frac{N dy}{E \Omega} + \alpha t (y_1 - y_0) &= 0\end{aligned}$$

\mathfrak{N}, N , s'expriment en fonction des forces extérieures autres que la réaction de l'appui M_0 , lesquelles sont connues, et en fonction de cette réaction inconnue.

14. — Bresse. — « Cours de Mécanique appliquée », 2^e édition, 1^{re} Partie, Paris, Gauthier-Villars, 1866, p. 90 et suivantes.

M. Résal. — *Résistance des Matériaux*. — Paris, Baudry, 1898, p. 247 et suivantes.

M. Résal a, le premier en France, enseigné à calculer des voûtes par les formules de déformation^{15, 16}.

D. — Les équations de déformation ne tiennent pas compte de la rigidité des tympans. — Elles supposent que l'arc se déforme librement, que les charges lui sont transmises comme par des tiges verticales isolées.

Il n'en est point ainsi : les tympans, les plinthes sont rigides et soulagent l'arc¹⁷.

On l'a observé aux viaducs de la ligne d'Issy à Viroflay¹⁸, aux ponts de Laval¹⁹ et Antoinette²⁰.

Art. 4. — En pratique, graphiquer au lieu de calculer.

Le calcul est laborieux, rebutant : on y peut, sans s'en apercevoir de quelque temps, commettre de grosses erreurs.

Le graphique fatigue moins ; il se prête mieux à toutes les combinaisons de surcharges ; avec lui, on voit.

Tous deux viennent d'hypothèses inexactes : la précision du calcul y est fort inutile ; celle du graphique suffit ; il n'y a vraiment pas à s'inquiéter des décimales quand les entiers sont suspects.

A l'APPENDICE, Tome V, je donnerai tout ce qu'il faut pour faire une épure de voûte, et ce qui résulte d'un grand nombre d'épures.

15. — MM. Degrand et Résal : « *Ponts en maçonnerie* », Tome premier : « *Stabilité des voûtes* », p. 103 et suivantes, — Paris, Baudry et C^e, 1887.

M. Résal : « *Emplacements, débouchés. Fondations des Ponts en maçonnerie* », p. 191 et suivantes, — Paris, Baudry, 1896.

M. Résal : « *Stabilité des Constructions* », p. 367 et suivantes, — 564 et suivantes, — Paris, Béranger, 1901.

Voir aussi :

M. Pigeaud : *Annales des Ponts et Chaussées*, 1905, 2^e trimestre, p. 202 : « *Calcul des arcs encastrés* ».

M. Auric : « *Ponts en maçonnerie : Calcul et Construction* », p. 250 et suivantes, — Paris, Octave Doin et fils, 1911.

16. — Je me permets de rappeler ici une indication donnée en 1886 :

« Avec des modules de résistance moindres et un coefficient d'élasticité bien plus voisin de celui de « rupture, une voûte à ciment se comporte comme un arc en fonte encastré aux naissances ; on lui doit donc appliquer, non plus les hypothèses surannées basées sur les expériences de Boistard, mais les formules de la Résistance des Matériaux, contrôlées par la mesure directe, faite avec des instruments assez précis, des mouvements au décentrement, sous l'action des charges et de la température, du coefficient d'élasticité... »

Annales des Ponts et Chaussées, octobre 1886, p. 427 : « *Construction des Ponts du Castelet, de Laval et Antoinette* ».

Ce contrôle des formules de déformation, on l'attend encore.

17. — C'est ainsi que les longerons et le tablier d'un ouvrage en métal, en béton armé, solidarissent ses pièces de pont, reportent sur ses voisines une partie de ce qui en charge une. *Génie Civil*, 24 août 1912 : « *Etude sur la solidarité des pièces de pont* », M. Lossier.

18. — *Revue Générale des Chemins de fer*, juillet 1902, p. 9 : « *Notes sur les travaux de la ligne d'Issy à Viroflay* », M. Rabut.

19. — Tome II, p. 143

20. — Tome II, p. 149.

CHAPITRE II

ON CONNAIT L'EFFORT TOTAL N SUR UNE SECTION, SA DISTANCE u AU CENTRE DE GRAVITÉ. COMMENT N SE DISTRIBUE-T-IL SUR LA SECTION ? EFFORTS PAR UNITÉ EN CHAQUE POINT

§ 1. — FORMULES

Menons par le centre de gravité G , deux forces N' , N'' égales à N et de sens contraires (f_{10}).

L'effort normal N' produit une pression uniforme $\frac{N}{\Omega}$.

Le couple de flexion Nu produit en un point K à z de G un effort : $\frac{N u z}{I}$.

L'effort total par unité à z de G est donc :

$$\beta_z = \frac{N}{\Omega} + \frac{N u z}{I} = \frac{N}{\Omega} \left[1 + \frac{u z \Omega}{I} \right]^{21}$$

Soit, pour une section rectangulaire de hauteur e et de 1^m de largeur²² :

$$\beta = \frac{N}{e} \left[1 + \frac{12 u z}{e^2} \right].$$

L'effort par unité est maximum à l'extrémité M du même côté que N par rapport à G ($z = \frac{e}{2}$), minimum à l'autre ($z = -\frac{e}{2}$)

$$\begin{cases} \text{Max } \beta \text{ (en } M) = \frac{N}{e} \left[1 + \frac{6 u}{e} \right] \\ \text{Min } \beta \text{ (en } M') = \frac{N}{e} \left[1 - \frac{6 u}{e} \right] \end{cases}$$

§ 2. — REPRÉSENTATION GRAPHIQUE

Art. 1. — Le centre de pression U est dans le noyau central :

$u < \frac{e}{6}$. — (Règle du trapèze).

Soient (f_{11}) : $MH = \text{Max } \beta$; $M'H' = \text{min } \beta$.
Considérons le trapèze $M H M' H'$.

KK' est l'effort par unité en K , à z de G .

L'effort par unité en G , GG' est la pression

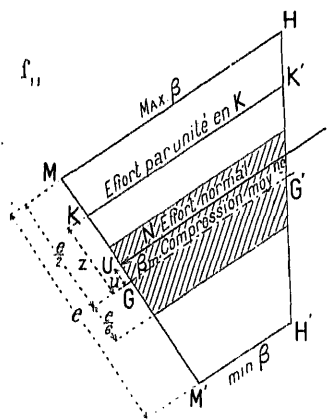
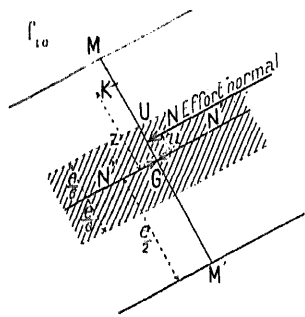
moyenne : $\beta_m = \frac{N}{e} = \frac{\text{Max } \beta + \text{min } \beta}{2}$.

L'effort normal N fait équilibre à toutes les forces élémentaires développées sur MM' : il passe donc par le centre de gravité du trapèze et est égal à sa surface.

Si N passe par G , $u = 0$: le trapèze devient un rectangle de surface N ; sur MM' , la pression est partout $\frac{N}{e}$.

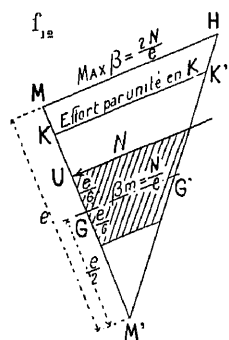
21. — N en kilogs, les longueurs en m . — Alors β en $\text{kg}/1^m^2$.

22. — $\Omega = e$ $I = \frac{1}{12} e^3$ (e en m).



Art. 2. — Le centre de pression U est à la limite du noyau central : $u = \frac{e}{6} (f_{12})$.

$$MH = \text{MAX } \beta = \frac{2N}{e} = 2\beta_m \quad \text{Min } \beta = 0.$$



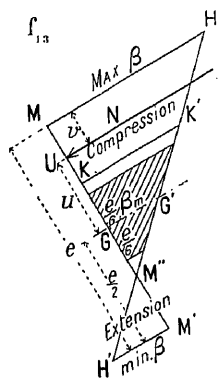
Le trapèze $MH M' H'$ de f_{11} est devenu le triangle $MH M'$ de f_{12} .

KK' est l'effort par unité en K .

L'effort normal N passe par le centre de gravité du triangle et est égal à sa surface.

Art. 3. — Le centre de pression U est hors du noyau central $u > \frac{e}{6}$.

A. — Si la maçonnerie pouvait travailler à la tension.



Soient (f_{12}) :

$$MH = \text{MAX } \beta \quad M' H' = \text{min } \beta \quad (\text{ici négatif})$$

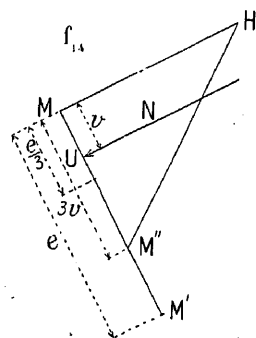
$$MM'' = MM' \frac{MH}{MH + M' H'} = \frac{1}{2} [e + 6u]$$

$$\text{Soit } v = \frac{e}{2} - u, \quad MM'' = 2e - 3v.$$

KK' est l'effort par unité en K . C'est une compression du même côté que N par rapport à M'' , — une tension du côté opposé.

N est la différence des surfaces $MH M''$, $M'' H' M'$.

B. — Si la maçonnerie ne peut pas travailler à la tension (*Règle du triangle*). — En pratique, on convient de ne pas tenir compte de la partie tendue, mais seulement de la partie comprimée, limitée à $3v (f_{12})$.



Alors, MH (comme dans le 2^e cas) $= \frac{2N}{3v}$ (2 fois l'effort sur 3 fois la bande comprimée).

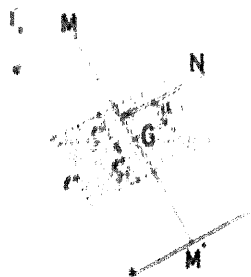
TITRE III

RELATION ENTRE LES CHARGES ET LA FORME DE LA VOÛTE

CHAPITRE I

ON DOIT TRACER LA FIBRE MOYENNE DE FAÇON QUE LES COURBES DE PRESSION S'EN ÉCARTENT LE MOINS POSSIBLE

En tous les points d'un ouvrage, la maçonnerie devrait travailler à son effort maximum.



On vient de rappeler que, quand une section MM' (f_1) est soumise à un effort normal N , la pression maxima par unité β s'exerce en M , et est, pour $u \ll \frac{c}{6}$:

$$\text{MAX } \beta = \beta_m \left\{ = \frac{\text{pression}}{\text{moindre}} \frac{N}{c} \right\} \left(1 + \frac{6u}{c} \right)$$

Pour rapprocher $\text{MAX } \beta$ de β_m , il faut diminuer u , c'est-à-dire adopter une fibre moyenne telle que la courbe de pression la plus éloignée s'en écarte peu.

On s'est souvent borné à vérifier que les funiculaires des charges coupant la clef et les retombées en des points convenus, milieu ou tiers, ne sortaient pas du noyau central.

Mieux : on a tracé par les milieux de la clef et des retombées le funiculaire des poids morts, soit seuls, — soit en y ajoutant ou la moitié de la surcharge ou toute, — et pris ce funiculaire comme nouvelle fibre moyenne.

Pour les très grandes voûtes, les très surbaissées, on doit construire toutes les courbes de pression, puis modifier le tracé de la voûte, pour les rapprocher de la fibre moyenne.

CHAPITRE II

CAS D'UNE VOÛTE INFINIMENT MINCE

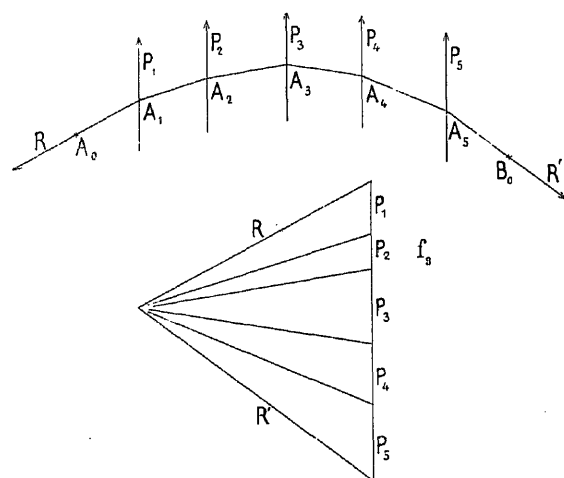
RELATION ENTRE :

D'UNE PART, LA FORME D'UNE VOÛTE INFINIMENT MINCE, INCOMPRESSIBLE, DONT CHAQUE ÉLÉMENT S'ORIENTE SUIVANT LA RÉSULTANTE DES FORCES QUI LUI SONT APPLIQUÉES¹, C'EST-À-DIRE UNE COURBE FUNICULAIRE DES CHARGES ;

D'AUTRE PART, UNE LIGNE LIMITANT LES CHARGES VERTICALES COMPTÉES A PARTIR DE LA VOÛTE, DITE LIGNE DE CHARGE.

§ 1. — PRÉLIMINAIRES

Art. 1. — Rappel de la notion des courbes funiculaires. — Considérons (f_1) un fil, sans poids, flexible, inextensible, attaché en deux points



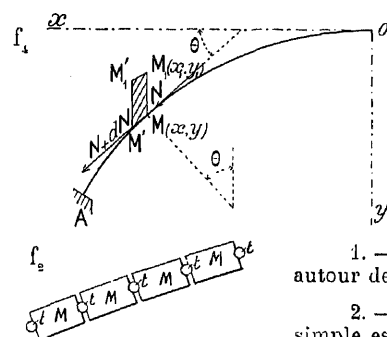
A_0 et B_0 , soumis à des forces verticales, mais agissant de bas en haut, P_1, P_2, \dots . Il prendra la forme d'un polygone dont chaque côté s'oriente suivant la résultante des actions d'un même côté, forces P_1, P_2, \dots et réaction de l'attache ; c'est le polygone funiculaire des forces P_1, P_2, \dots .

Si les forces se rapprochent, ses côtés diminuent, chacun d'eux demeurant orienté suivant la résultante des forces qui agissent sur lui, laquelle est ici une tension : les tensions des attaches sont égales et opposées à l'effort des côtés extrêmes.

Supposons maintenant que les forces verticales soient des poids, agissant de haut en bas ; que le fil soit incompressible au lieu d'être inextensible.

On aura le même polygone des forces, le même funiculaire ; chaque élément restera orienté suivant la résultante des forces situées d'un même côté ; mais cette résultante, les réactions des appuis, sont alors des compressions².

Art. 2. — Définition de la ligne de charge. — Soit O le sommet d'une voûte AO infiniment mince (f_1).



En un point quelconque $M(x, y)$, élevons une verticale sur laquelle MM_1 représentera, en hauteur de maçonnerie de même densité γ que celle de la voûte, la charge en M .

Le lieu de $M_1(x, y)$ est la *ligne de charge*.

1. — Par exemple une chaîne d'acier faite de maillons pleins M , mobiles autour de tourillons t (f_2).

2. — Pour se représenter de suite la forme de la fibre moyenne, le plus simple est de continuer à supposer le fil flexible et les forces de bas en haut.

Art. 3. — Relation entre la fibre moyenne (*courbe funiculaire*) et la ligne de charge. — $MM' (f_1)$ est en équilibre sous l'action de : N à droite de MM_1 , $N + dN$ à gauche de $M'M'_1$, $\gamma (y - y_1) dx$, poids de la tranche de maçonnerie $MM_1M'_1M'$.

Écrivons que :

la variation de la projection horizontale est nulle :

$$d(N \cos \theta) = 0 \quad \text{ou } N \cos \theta = \text{Constante} = H \text{ (poussée horizontale)};$$

la variation de la projection verticale est $\gamma (y - y_1) dx$:

$$d(N \sin \theta) = d \left[\frac{H}{\cos \theta} \sin \theta \right] = d(H \tan \theta) = H d \left(\frac{dy}{dx} \right) = \gamma (y - y_1) dx$$

$$\text{II } \frac{d^2 y}{dx^2} = \gamma (y - y_1)$$

Si on se donne la fibre moyenne y , la ligne de charge est :

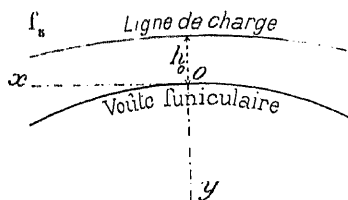
$$y_1 = y - \frac{\text{II}}{\gamma} \frac{d^2 y}{dx^2}$$

On l'a par une simple dérivation.

Si on se donne la ligne de charge y_1 , il faut, pour avoir la fibre moyenne y , intégrer une équation différentielle, ce qui n'est pas souvent possible.

Art. 4. — Poussée horizontale H dans une voûte funiculaire infiniment mince :

$$H \text{ (en kg.)} = \gamma \left(\begin{array}{l} \text{poids du m. c.} \\ \text{de maçonnerie,} \\ \text{en kg.} \end{array} \right) \times h_0 \left(\begin{array}{l} \text{charge à la clef} \\ \text{en hauteur de ma-} \\ \text{çonnerie, en m.} \end{array} \right) \times \rho_0 \left(\begin{array}{l} \text{rayon de courbure} \\ \text{de la voûte} \\ \text{à la clef, en m.} \end{array} \right)$$



Pour la clef (f_s) :

$$y = 0 \quad \frac{dy}{dx} = 0 \quad \rho_0 = \frac{1}{\left(\frac{d^2 y}{dx^2} \right)_0} \quad y_1 = -h_0$$

$$\text{II} = \gamma h_0 \rho_0$$

II est le produit du poids sur la clef γh_0 par le rayon de courbure à la clef³.

3. — On a proposé des formules empiriques de e_0 en fonction de ρ_0 .

Celle-ci : $e_0 = \frac{1}{3} (1 + 0,2 \rho_0)$ est attribuée à Saint-Guilhem par Déjardin (*Routine de l'établissement des voûtes*).

Dans la monographie du pont sur la Big-Muddy River (Tome I, p. 225, renvoi 2), j'ai cité celles de M. J. M. Rankine :

$$e_0 = 0,227 \sqrt{\rho_0} \text{ (ponts à plusieurs arches)}$$

$$e_0 = 0,191 \sqrt{\rho_0} \text{ (ponts à une arche)}$$

§ 2. — DE LA FIBRE MOYENNE, DÉDUIRE LA LIGNE DE CHARGE,

C'EST-A-DIRE :

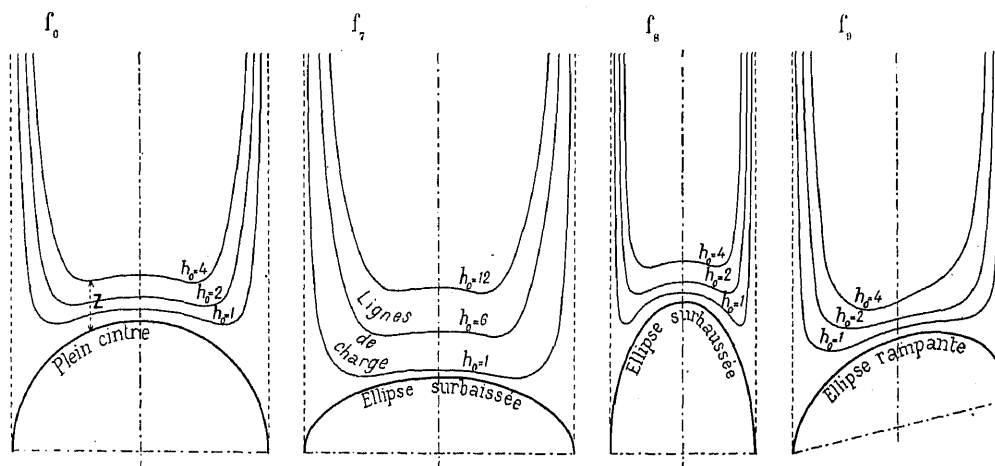
COMMENT FAUT-IL CHARGER UNE VOÛTE
POUR QU'ELLE SOIT UNE COURBE FUNICULAIRE DES CHARGES ?

Art. 1. — Plein cintre. Ellipse.

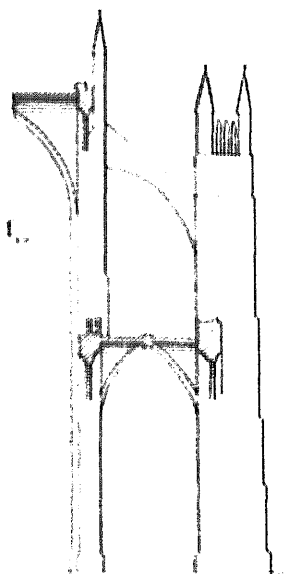
	Plein cintre (r)	Ellipse (a, b)
Fibre moyenne $y =$	$r \left(1 - \sqrt{1 - \frac{x^2}{r^2}} \right)$	$b \left(1 - \sqrt{1 - \frac{x^2}{a^2}} \right)$
Poussée horizontale $H = \gamma h_0 \rho_0 =$	$\gamma h_0 r$	$\gamma h_0 \frac{a^2}{b}$
Charge complétée à partir de la voûte (distance verticale entre la fibre moyenne y et la ligne de charge y_1):		
$Z = y - y_1 = \frac{H}{\gamma} \frac{d^2 y}{dx^2} = h_0 \rho_0 \frac{d^2 y}{dx^2} =$	$\frac{h_0}{\left(1 - \frac{x^2}{r^2} \right)^{\frac{3}{2}}}$	$\frac{h_0}{\left(1 - \frac{x^2}{a^2} \right)^{\frac{3}{2}}}$
Charge sur les naissances	∞	∞
	(Les verticales des appuis sont les asymptotes de y_1).	

Voici (f_6 à f_9) quelques lignes de charge :

Voûtes infiniment minces et leurs lignes de charge.



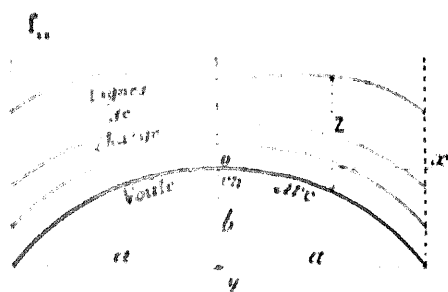
Au lieu du plein cintre entier de f_6 , n'en considérons qu'une moitié : la ligne de charge aura toujours une asymptote verticale à la naissance.



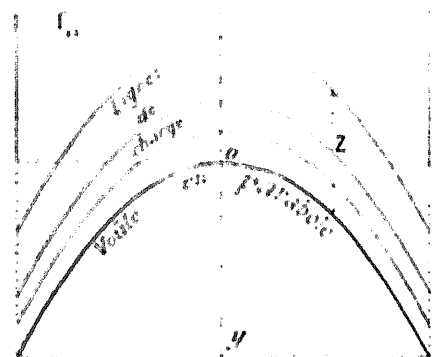
Supposons que l'arc soit la fibre moyenne d'un arc boutant poussé par une voûte d'arrêt (f_{1a}). La ligne de charge s'inscrira fort exactement dans l'arc boutant et son contrefort, si utilement lesté d'un pinacle.

Les Architectes de nos vieilles cathédrales sentaient l'équilibre des voûtes.

Art. 2. — Arc de cercle. Arc d'ellipse (f_{11}). — Arrêtons aux verticales des retombées ce qu'on vient de trouver pour le plein cintre et l'ellipse.



	Arcs de portée $2a$ de montée b	
	Arc de cercle (rayon r)	Arc d'ellipse ($\frac{1}{2}$ axes : a b)
Voûte $y =$	$r \left(1 - \sqrt{1 - \frac{x^2}{r^2}} \right)$	$b^2 \left(1 - \sqrt{1 - \frac{x^2}{a^2}} \right)$
Charge sur la voûte : $Z = y - h_0 =$	$\frac{h_0}{\left(1 - \frac{x^2}{r^2} \right)^{\frac{3}{2}}}$	$\frac{h_0}{\left(1 - \frac{x^2}{a^2} \right)^{\frac{3}{2}}}$
Charge aux retombées . . .	$\frac{h_0}{\left(1 - \frac{a^2}{r^2} \right)^{\frac{3}{2}}}$	$\frac{h_0}{\left(1 - \frac{a^2}{a^2} \right)^{\frac{3}{2}}}$



Art. 3. — Parabole (f_{12}). — A la funiculaire $y = p x^2$, de poussée $H = \gamma h_0 \rho_0 = \frac{\gamma h_0}{2p}$, correspond la ligne de charge :

$$y_1 = p x^2 - \frac{2 H p}{\gamma} = p x^2 - h_0.$$

C'est la funiculaire déplacée de h_0 .

La charge est constante, et partout h_0 .

Art. 4. — Projection de chaînette.

$$y = k \left(e^{\frac{x}{k}} + e^{-\frac{x}{k}} - 2 \right)$$

Pour une charge h_0 à la clef :

$$H = \gamma h_0 \rho_0 = \gamma h_0 \frac{p^2}{2k}$$

La ligne de charge est :

$$y_1 = y - \frac{H}{\gamma} \frac{d^2 y}{dx^2} = y - \frac{h_0 p^2}{2k} \cdot \frac{k}{p^2} \left[e^{\frac{x}{p}} + e^{-\frac{x}{p}} \right] = \frac{1}{k} \left(k - \frac{h_0}{2} \right) y - h_0$$

Pour $k = +\frac{h_0}{2}$, $y_1 = -h_0$.

La ligne de charge est une droite.

Ainsi, la projection de chaînette $y = \frac{h_0}{2} \left(e^{\frac{x}{p}} + e^{-\frac{x}{p}} - 2 \right)$ a comme ligne de charge la droite $y_1 = -h_0$.

La poussée est :

$$H = \gamma h_0 \frac{p^2}{h_0} = \gamma p^2.$$

On peut donc écrire l'équation sous cette forme :

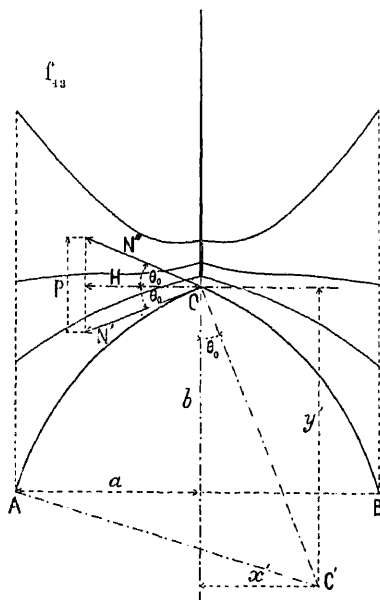
$$y = \frac{h_0}{2} \left[e^{\sqrt{\frac{H}{\gamma}}} + e^{-\sqrt{\frac{H}{\gamma}}} - 2 \right].$$

Nous la retrouverons.

Art. 5. — Courbe pouvant remplacer une projection de chaînette : $y = \frac{m x^2}{n^2 - x^2}$. — La charge est :

$$Z = y - y_1 = \frac{H}{\gamma} \frac{2 m n^2 (n^2 + x^2)}{(n^2 - x^2)^3};$$

$$\text{sur la clef : } h_0 = \frac{H}{\gamma} \frac{2 m}{n^2}.$$



Art. 6. — Ogive (f_{13}).

On a pour l'arc de gauche O A :

$$y = y' - \sqrt{r^2 - (x + x')^2}.$$

La charge est :

$$Z = y - y_1 = \frac{H}{\gamma} \frac{d^2 y}{dx^2} = \frac{H}{\gamma} \frac{r^2}{[r^2 - (x + x')^2]^{\frac{3}{2}}};$$

Sur la clef :

$$h_0 = \frac{H}{\gamma} \frac{r^2}{y'^3}.$$

A la clef, la compression N' sur l'arc de gauche est inclinée sous l'horizon de :

$$\text{Tang } \theta_0 = \frac{x'}{y'}$$

$$N' = \frac{H}{\cos \theta_0}$$

4. — Voir Tome III, p. 337.

Sur l'arc de droite, la compression $N'' = N'$ est inclinée de même sur l'horizon. Il faut, pour l'équilibre, charger la pointe de l'ogive d'un poids :

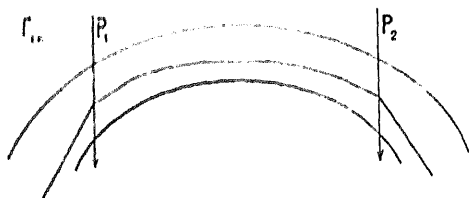
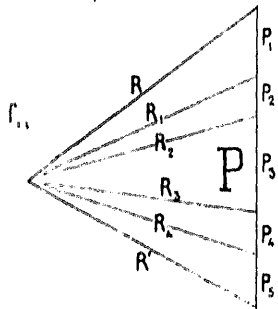
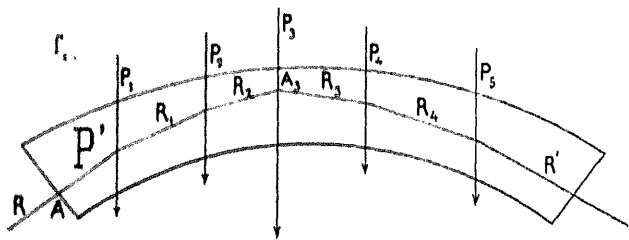
$$P = 2 N' \sin \theta_0 = 2 H \operatorname{Tang} \theta_0 = 2 \gamma h_0 \frac{y'^3}{r^2} \times \frac{x'}{y'} = 2 \gamma h_0 \frac{x' y'^2}{r^2}$$

§ 3. — RELATION ENTRE QUELQUES FORMES DE FUNICULAIRES ET QUELQUES DISPOSITIONS DES CHARGES

Soient $P_1, P_2, P_3, P_4, \dots$ les charges (f_{10}).

Supposons que l'on ait déterminé une des réactions R et son point d'application A .

Construisons le polygone des forces P (f_{10}) et le funiculaire P' (f_{10}).



Si un poids lourd P_3 est appliqué en A_3 , le funiculaire y a une chute : contre P_3 , la voûte fait pointe.

Si c'est au sommet, on brisera la voûte en ogive.

Réciproquement, il faut charger la clef d'une ogive⁵.

Si la voûte, peu chargée au cerveau, porte aux reins deux poids isolés P_1, P_2 (f_{10}), le funiculaire, plat au cerveau, aura une chute aux reins.

Réciproquement, pour la stabilité d'une voûte dont ce funiculaire est la fibre moyenne, il faut peu de charge au cerveau, deux poids isolés aux reins.

Si, sur le dos d'une voûte, court un viaduc, le funiculaire est un polygone dont chaque sommet est sous une pile du viaduc.

Les charges et la fibre moyenne sont réciproques.

Si la fibre moyenne a été tracée pour une certaine disposition des charges, il faut, pour la stabilité, lui faire porter ces charges-là.

Par exemple, on ne doit décentrer une voûte en ogive qu'après l'avoir chargée à la clef ; une voûte en arc de cercle cambrée en vue du poids des tympans, qu'après avoir construit les tympans.

Les derniers côtés d'un funiculaire de poids verticaux ne sont jamais verticaux : il y a toujours une poussée horizontale aux retombées.

5. — C'est ainsi qu'on a judicieusement chargé d'une petite chapelle la clef du pont de Martorell (Tome III, p. 313).

On peut l'annuler, soit complètement par une arche voisine de même poussée, soit partiellement par une arche de poussée moindre.

Mais dans une voûte isolée, la fibre moyenne n'est jamais verticale aux naissances : ceci condamne les pieds-droits verticaux et justifie les culées perdues.

On reviendra plus tard avec détails sur tout ceci : c'est assez important pour être dit deux fois.

CHAPITRE III

VOÛTE D'ÉPAISSEUR FINIE

SOUMISE A DES CHARGES OU SURCHARGES CONTINUES

RECHERCHE PAR LE CALCUL DE LA FORME A LUI DONNER
POUR QUE LE TRAVAIL MAXIMUM Y DÉPASSE PEU LE TRAVAIL MOYEN
C'EST-A-DIRE POUR QUE LES COURBES DE PRESSION
S'ÉCARTENT PEU DE LA FIBRE MOYENNE

§ 1. — HYPOTHÈSES ADMISES

Je laisse de côté, comme peu ou point appliquées, les méthodes de Carvallo⁶, Yvon Villarceau⁷, Saint-Guilhem⁸, et rappelle seulement les recherches de Denfert-Rochereau^{9,10}, de MM. Tourtay, Legay, Tolkmitt. Après Denfert-Rochereau, voici ce qu'ils admettent :

La courbe limitant la charge est une droite horizontale à h_0 au-dessus de la tangente au sommet : la surface de charge est continue, homogène, sans vides, même si les tympans sont évidés.

La voûte n'est soumise qu'à des forces verticales.

On a précédemment établi¹¹ que, réduite à sa fibre moyenne, courbe funiculaire, cette voûte est la projection de chaînette :

$$y = \frac{h_0}{2} \left[e^{\frac{x'}{\sqrt{H}} \gamma} + e^{-\frac{x'}{\sqrt{H}} \gamma} - 2 \right]^{12}$$

h_0 est la charge sur la clef en hauteur de maçonnerie, H la poussée horizontale, γ le poids du m. c. de maçonnerie.

6. — Annales des Ponts et Chaussées, 1853-I.

7. — Revue générale de l'Architecture et des Travaux Publics, 1844, p. 58 « *Equilibre des voûtes en berceau cylindrique* ».

8. — Après Yvon Villarceau, Saint-Guilhem suppose « *que la maçonnerie des reins et la surcharge de la voûte produisent sur l'extrados le même effet qu'un liquide homogène affectant la même forme et ayant la même densité que le massif de la voûte ;...* »

Il a donné des tables permettant de tracer l'intrados et l'extrados, de façon que la courbe de pression coïncide avec la fibre moyenne.

Annales des Ponts et Chaussées, 1859, 1^{er} semestre, p. 83 « *Mémoire sur l'établissement des arches de pont assujetties aux conditions du maximum de stabilité* ».

On a appliqué sa méthode à l'arche de 40^m de Signac, 1871-72 (Tome I, p. 131), à la voûte de 33^m sur la Gimone (Ligne de Toulouse à Auch), 1875-76...

9. — Le défenseur de Belfort, alors Capitaine du Génie, Professeur à l'Ecole d'Application de Metz.

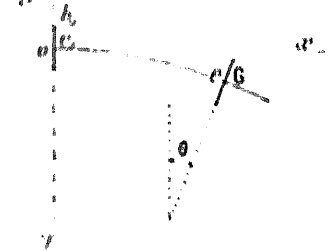
10. — Revue générale de l'Architecture et des Travaux Publics, 1859 « *Mémoire sur les voûtes en berceau portant une surcharge limitée à un plan horizontal* ».

11. — Chap. II, § 2, art. 4.

12. — Dans son Mémoire « *sur l'équilibre des voûtes en berceau* » (Annales des Ponts et Chaussées, 1840, I, p. 56), Méry avait signalé p. 69 « *l'analogie entre la chaînette et la courbe de pression* ».

La projection verticale $e \cos \theta$ de l'épaisseur e en un point quelconque est constante : c'est l'épaisseur à la clef e_0 (f.₁₇).

f.₁₇ ligne de charge



Dans une section quelconque la pression moyenne est :

$$\frac{N}{e} = \frac{N}{\frac{e_0}{\cos \theta}} = \frac{N \cos \theta}{e_0} = \frac{H \left(\begin{smallmatrix} \text{poussée} \\ \text{horizontale} \end{smallmatrix} \right)}{e_0}$$

Elle est constante.

§ 2. — MÉTHODE DE M. TOURTAY ¹³

M. Tourtay s'est proposé de déterminer, non la fibre moyenne, mais l'intrados, puis l'extrados de la voûte.

Il la suppose d'abord réduite à un filet élémentaire, projection de chaînette.

Pour passer à la voûte épaisse, voici son ingénieux raisonnement :

« Imaginons... qu'au lieu d'avoir un seul filet supportant la charge totale, nous superposons par le sommet un nombre n de ces filets, chacun d'eux supportant une fraction $\frac{1}{n}$ de la charge, et faisons croître n indéfiniment ¹⁴. »

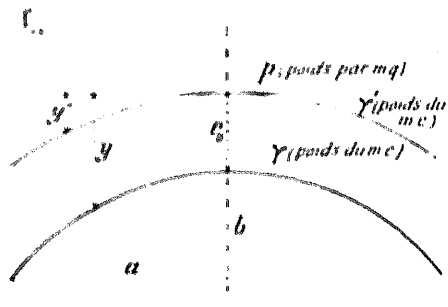
Si on pouvait superposer les filets sans vide, on constituerait une voûte ayant partout la même pression moyenne.

Il reste toujours du vide ; mais on détermine les constantes de manière à le réduire à un minimum négligeable pour les voûtes surbaissées à plus de $1/7$.

Dans une voûte ainsi constituée, on peut tracer une courbe de pression passant, à très peu près, au milieu de tous les joints.

Tous les filets, en particulier les courbes d'intrados et d'extrados, la fibre moyenne, toutes les courbes de pression, sont des projections d'une même chaînette.

Soit : $k = \frac{1}{2} \left(\omega + \frac{1}{\omega} - 2 \right)$



M. Tourtay établit ¹⁵ des formules qui se résument ainsi : (voir f.₁₈ pour le sens des lettres).

$$\frac{1}{k} = \frac{p + \gamma e_0}{\gamma' b} \left[1 - \frac{e_0 b \left[\frac{\gamma}{\gamma'} - 1 \right]}{\gamma' e_0 b + a^2 \left(\frac{\omega - 1}{\omega + 1} \right)^2 \frac{1}{(\text{Log. nep. } \omega)^2}} \right]$$

13. « Étude sur le calcul des arches surbaissées en maçonnerie », par G. Tourtay, Ingénieur des Ponts et Chaussées.

Revue Générale de l'Architecture et des Travaux Publics, — 43^e volume, Paris, André, Daly fils et C^{ie}, 1886, p. 15.

14. — ibid., p. 20.

15. — ibid., renvoi 13, p. 20, 64 et suivantes.

Dans une note du 11 novembre 1891 (non publiée), M. Tourtay a retrouvé des équations de même forme pour une chaussée en chaînette aplatie.

Voir aussi : « Notice sur la Construction du Pont Bouicaut », par M. Tourtay.

Annales des Ponts et Chaussées, octobre 1892, p. 482 et suivantes.

$$\text{Intrados : } 1 + \frac{k}{b} y = \frac{1}{2} \left[\omega^{\frac{x}{a}} + \omega^{-\frac{x}{a}} \right]$$

$$\text{Extrados : } y' = y \frac{\gamma - \frac{k}{b} (p + \gamma e_0)}{\gamma - \gamma'}$$

$$\text{Pression moyenne à la clef en kg/1}^m \left. \begin{array}{l} \beta_0 = \frac{(p + \gamma e_0) (k + 2)}{\gamma - \gamma'} \\ \text{Log. nep. } \frac{\gamma - \gamma'}{\gamma - \frac{p + \gamma e_0}{b} k} \end{array} \right\}$$

M. Tourtay a appliqué ses formules à nombre de grandes voûtes très minces¹⁶.

M. de Tedesco en a donné des tables et des graphiques¹⁷.

§ 3. — MÉTHODE DE M. LEGAY

M. Legay¹⁸ retrouve d'abord pour la voûte infiniment mince la projection de chaînette, qu'il appelle « caténoïde »¹⁹.

$$y = \frac{h_0}{2} \left\{ e^{\frac{x}{\sqrt{\frac{H}{\gamma}}}} + e^{-\frac{x}{\sqrt{\frac{H}{\gamma}}}} - 2 \right\}$$

Puis, il passe à une voûte d'épaisseur finie; il la suppose d'abord articulée aux reins et à la clef, en détermine la courbe de charge et la remplace par une horizontale équivalente, à h_0 au-dessus de la clef.

Il détermine h_0 , soit par essais successifs, ou mieux comme suit : il suppose la voûte en caténoïde avec h_0 arbitraire, cherche la courbe de pression passant par les milieux de la clef et des naissances, exprime que pour $x = \frac{2a}{3}$ la courbe de pression et la caténoïde ont même ordonnée : cette relation donne h_0 .

La caténoïde, fibre moyenne, et la courbe de pression, déjà communes à la clef et aux naissances, se coupent ainsi pour $x = \frac{2a}{3}$ point où, en général, le centre de pression est le plus loin de la fibre moyenne.

16.	Dates	Ponts (en arcs très surbaissés)	Nombre d'arches	Portée	Surbaiss ^t	
	1888-1890	Boucicaut, sur la Saône (α)	5	40 ^m	1/8	α . Intrados en projection de chaînette.
	1897-1899	d'Iguerande, sur la Loire (β)	7	28 ^m 60	1/7,62	β . Intrados en arc d'anse de panier ayant à la clef et aux retombées les rayons de la projection de chaînette.
	1898-1899	de Lays, sur le Doubs (β)	5	26 ^m	1/7,47	
	1900-1904	d'Arciat, sur la Saône (α)	7	31 ^m	1/7,12	
	1904-1908	de Digoïn, sur la Loire (β)	9	26 ^m	1/7,4	

17. — *Tables et graphiques pour le calcul des arches surbaissées en maçonnerie, d'après la méthode de M. Tourtay.* — Paris, Baudry, 1891.

18. — « *Méthode sur le tracé et le calcul des voûtes en maçonnerie* » par M. Legay, Ingénieur des Ponts et Chaussées.
Annales des Ponts et Chaussées, 4^e trimestre 1900.

19. — On avait, précédemment, appelé caténoïde la surface engendrée par une chaînette tournant autour de sa base.

« *Les fonctions elliptiques et leurs applications* » par Alfred-George Greenhill. Traduit de l'anglais par J. Griess, Paris, Carré, 1895, p. 138.

C'est un cas particulier des « élassoïdes », étudiées par Ribaucour, Ingénieur des Ponts et Chaussées (mort en 1893).

Pour réduire encore l'écart dans les voûtes peu surbaissées ($\sigma > \frac{1}{4}$), il prend comme courbe d'essai la caténoïde, déterminée comme plus haut, puis la rectifie par une funiculaire passant par les milieux de la clef et des naissances.

M. Legay adopte comme fibre moyenne la « caténoïde » de la voûte supposée articulée : comme elle ne l'est pas, la courbe de pression ne coïncide plus avec elle : il calcule les écarts des deux courbes et les trouve faibles.

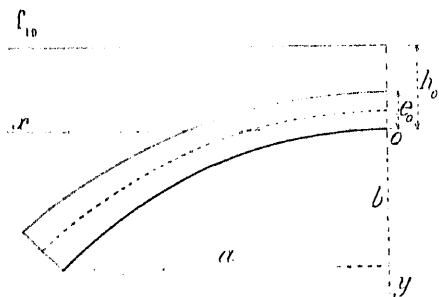
Il a donné des tables permettant de calculer, suivant la portée et le surbaisement, les éléments des caténoïdes.

Il a appliqué ses formules au pont d'Orléans ²⁰.

§ 4. MÉTHODE DE TOLKMITT ^{21, 22}

Cette méthode est très usitée en Allemagne, en Autriche.

Tolkmitt prend comme fibre moyenne la funiculaire des poids morts et de la 1/2 surcharge, passant par les milieux de la clef et des retombées.



Il trouve entre x et y (de l'intrados) une équation fort compliquée que l'on résout à l'aide de tables numériques qu'il donne, mais que, fort judicieusement, il remplace avec très peu d'écart, par une équation de la forme suivante, qui est simple et pratique :

$$y = \frac{m x^2}{a^2 \frac{b+m}{b} - x^2} \text{ (courbe étudiée p. 337).}$$

Soit ρ_0 (rayon de courbure à la clef) = $\frac{a^2}{2 b m} (b + m)$.

La courbe peut s'écrire :

$$y = \frac{x^2}{2 \rho_0 - \frac{2 b \rho_0 - a^2}{a^2 b} x^2}.$$

Soit encore h_0 la charge sur la clef, exprimée en hauteur de maçonnerie

Tolkmitt établit les deux formules :

$$\rho_0 + e_0 = \frac{a^2}{4 h_0} \left[\frac{h_0}{b} + \frac{1}{8} + \frac{2 e_0 h_0}{a^2} \sqrt{\left(\frac{h_0}{b} + \frac{1}{8} + \frac{2 e_0 h_0}{a^2} \right)^2 + \frac{8 e_0 h_0}{a^2}} \right]$$

$$H \left(\begin{array}{l} \text{poussée horizontale à la clef sur 1 m. de largeur de} \\ \text{voûte, composante horizontale constante de l'effort sur} \\ \text{chaque section — en kg.} \end{array} \right) = (\rho_0 + e_0) h_0 \gamma \left(\begin{array}{l} \text{poids en kg d'un m. c.} \\ \text{de maçonnerie.} \end{array} \right)$$

Si on se donne la poussée par m. q. à la clef β_0 :

$$H = e_0 \beta_0$$

20. — Tome III, p. 255.

21. — « Leitfaden für das Entwerfen und die Berechnung gewölbter Brücken », von G. Tolkmitt, Königlicher Baurat (3^e édition, Berlin, Wilhelm Ernst et fils, 1912).

22. — Mort en 1900.

§ 5. OBSERVATIONS SUR TOUTES CES MÉTHODES

Toutes ces méthodes, d'ailleurs fort ingénieuses, reposent sur des hypothèses qui ne laissent pas de prêter à la critique.

Pour une très grande voûte, il est plus sûr, plus clair, de construire ses courbes de pression, puis de tracer un intrados et un extrados qui les encadrent au mieux.

On a dit ceci au Chapitre I : il est bon de le redire.

CHAPITRE IV

UN ARC EST DIT ÉLASTIQUE
QUAND LES DÉFORMATIONS Y SONT PROPORTIONNELLES
AUX EFFORTS (*Hypothèse de Hooke*),
ET QU'UNE SECTION PLANE RESTE PLANE APRÈS FLEXION
(*Hypothèse de Navier*).
DANS QUELLES LIMITES EST-CE VRAI POUR LES VOÛTES,
ET A-T-ON LE DROIT DE LES CALCULER COMME ÉLASTIQUES ?

§ 1. EXPÉRIENCES DE LABORATOIRE

POUR LES VOÛTES EN PIERRE, IL N'Y A PAS, A PROPREMENT PARLER,
DE COEFFICIENT D'ÉLASTICITÉ,
C'EST-A-DIRE QUE, POUR ELLES, L'HYPOTHÈSE DE HOOKE EST FAUSSE.

Pour qu'on puisse supposer les voûtes élastiques, c'est-à-dire pour qu'il soit permis de leur appliquer les formules de déformation, il faut tout d'abord que le coefficient d'élasticité E soit constant pour un même « matériau » sous tout effort inférieur à la limite d'élasticité ; puis, pour la pratique du calcul, qu'il soit le même, non seulement pour chaque matériau, mais tout le long de la fibre moyenne, au moins pour chaque tranche, à condition de tenir alors compte de ses variations de tranche à tranche.

Or, toutes ces hypothèses sont fausses.

Pour chaque « matériau » de voûte (moellon, mortier, béton), le coefficient d'élasticité varie avec l'effort. ²³

Il varie entre deux pierres de même carrière et de même préparation, entre deux briques de même fournée, entre deux bétons de même composition et même âge. ²⁴

Toutefois, il est à peu près le même à la traction pour les bonnes marques de ciments lents ²⁵.

23. — M. C. Bach a fait de très nombreux essais. Voici, d'après quelques-uns d'entre eux, la valeur de :

$$\epsilon = \frac{E \left(\frac{\text{kg}}{\text{cm}^2} \right)}{10^9} = \frac{\beta (\text{travail en } \frac{\text{kg}}{\text{cm}^2})}{10^5 \times \frac{\Delta l}{l}}$$

(On a écrit en italique ce qui concerne les essais à la traction.)

Matériaux essayés.	Résistance à la rupture ($\frac{\text{kg}}{\text{cm}^2}$) (mesurée sur des cubes)	Entre les efforts β ($\frac{\text{kg}}{\text{cm}^2}$)	ϵ	Sources
Ciment Portland pur — 83 jours.		0* — 8*	2,12	
		31,8 — 39,8	1,67	
Mortier de ciment 1.3.	191,7	0 — 8	2,38	
		32,1 — 40,1	1,62	
Béton {	1 — 2 1/2 — 5.	0 — 7,9	3,32	
		31,7 — 39,6	2,07	
1 — 5 — 10.	137,7	0 — 7,9	2,58	
	106,8	31,6 — 39,5	1,52	
Granit.		0 — 13,8	1,66	
		27,5 — 41,3	1,23	
		137,7 — 165,2	2,19	
	1006	0 — 4,8	2,3	
	15,4	19,4 — 29,2	0,6	
		0 — 14,6	4,67	
		76,6 — 89	3,97	
		126,1 — 163,3	4,03	
	1597			
Marbre.		0 — 24,25	1,61	
		48,29 — 72,23	2,79	
		0 — 3,6	1,40	
		10,8 — 14,4	0,69	
Grès.		0 — 4,2	0,93	
		12,3 — 16,3	0,21	
		0 — 4,35	0,48	
		12,8 — 17	0,17	

La compression β augmentant, ϵ a diminué pour le ciment, le mortier, le béton, le grès, suivant une loi exprimée par la formule $\frac{K}{\beta^n}$. K constante, n autre constante < 1.

Pour le granit, ϵ décroît d'abord, puis augmente; pour le marbre, il augmente.

La traction β augmentant, ϵ diminue pour le marbre et le grès.

24. — Expériences autrichiennes :

(Voir plus loin § II, art. 2.)

	Dosage			$\epsilon = \frac{E \left(\frac{\text{kg}}{\text{cm}^2} \right)}{10^5}$	
	Ciment	Sable	Pierre cassée		
Grès.....					1,37 à 2,71
Briques.....					0,45 à 1,62
Béton.....	1	3	5	0,98	0,74
	1	2	3	2,80	
	1	1	1	2,50	2,64

Bericht des Gewölbe-Ausschusses des Oesterr. Ingenieur und Architekten, - Sonderabdruck aus der Zeitschrift der Oesterr. Ingenieur und Architekten Vereines, 1895, p. 41, 42.

25. — Pour la pâte pure, d'âge variant de 28^j à 106^j, ϵ augmente de 1,8 à 3. Quand il est 1,8 pour la pâte pure, il atteint 2,1 pour le mortier à 600* et le béton à 1000* (1* = 1^{er}).
Expériences faites par le Service des Phares et Balises sur la résistance et l'élasticité des ciments Portland, M. de Joly, Ingénieur des Ponts et Chaussées. (Annales des Ponts et Chaussées, 1878, 3^e trimestre, p. 198 à 242).

Il n'est pas le même à la compression et à la flexion ²⁶.

La proportion de mortier, la nature et la taille des voussoirs, sont différentes dans les bandeaux, la douelle et le queutage ; dans sa section transversale, la voûte est hétérogène : il est impossible de déduire du coefficient d'élasticité de chaque « matériau » d'une voûte, le coefficient d'élasticité moyen de la voûte ²⁷.

On exécute les grandes voûtes par rouleaux, par tronçons, avec clavages matés, sur des cintres qui se déforment : même homogènes comme matériaux, faites, elles ne le seraient plus.

Enfin, on ne peut pas calculer de même une voûte en matériaux bien réguliers, à joints minces, et une voûte en béton, masse homogène sans joints.

Voilà bien des objections à l'application aux voûtes des formules de déformation.

Dans quelle mesure l'ont confirmée ou infirmée les trop rares observations faites sur les voûtes ?

26. — M. Mesnager : « Cours de Matériaux de Construction » professé à l'Ecole des Ponts et Chaussées, 4^e Partie : « Pierres de Construction », p. 68 et 72.

Expériences faites au Laboratoire de l'Ecole des Ponts et Chaussées :

		Coefficient d'élasticité	
		à la compression	à la flexion
Calcaires {	Marbre blanc	6,06	7,31 à 8,02
	Pierre de Tonnerre (Yonne)	2	2,98 à 3,52
Terres cuites		0,40 à 0,65	0,52 à 2,70

27. — Voici quelques coefficients d'élasticité moyens de maçonneries :

Dans des essais sur des arcs en briques, M. de Perrodil avait trouvé pour $\frac{E \text{ (Kg/cm}^2\text{)}}{10^5} = \varepsilon$: 0,19, 0,3.

Annales des Ponts et Chaussées, août 1882, p. 119. — La Commission des Annales observe que les déformations ont été excessives.

Dans leurs essais, indiqués plus loin (§ II, Art. 2 - D), les Ingénieurs autrichiens ont trouvé :

	Voûte	Matériaux de la voûte
Voûte en moellons ordinaires	0,604	1,37 à 2,71
Voûte en briques	0,278	0,45 à 1,62
Voûte en béton	2,46	

Des déformations observées à l'arche en pierre de taille de Souppes, M. Résal a déduit $\varepsilon = 2,5$.

« Ponts en Maçonnerie », Tome I, p. 49, Baudry 1887.

Pour les tours de phares, avec $\varepsilon = 3$, M. Ribière a retrouvé, à peu près, les durées des périodes de vibration enregistrées par son oscillographe.

Annales des Ponts et Chaussées, 1^{er} trimestre 1905, p. 24.

La même valeur $\varepsilon = 3$ correspond encore à la flexion de 4^{mm} d'une pile de 44^m05 de hauteur du viaduc de la Sumène, pendant l'arrêt brusque d'un train subitement serré à bloc.

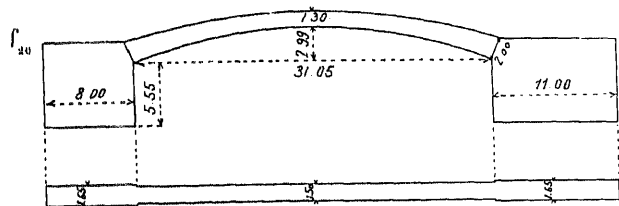
Annales des Ponts et Chaussées, janvier-février 1910, p. 64 : « Note sur la construction du viaduc des Fades, ligne de Saint-Eloy à Fauniat », M. Virard.

M. Boissier, en comparant deux mouvements à peu près égaux des voûtes du pont de Constantine (Tome II, p. 107), la contraction de l'arc sous une pression de 12^k, sa dilatation pour $\tau = 9^\circ$ avec $\alpha = \frac{7}{10^5}$ a trouvé : $\varepsilon = 2$.

Annales des Ponts et Chaussées, mai-juin 1912, p. 505.

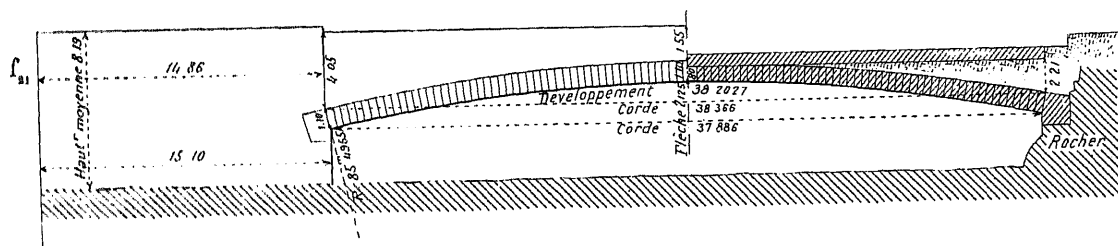
§ 2. — EXPÉRIENCES SUR DES VOÛTES²⁸

Art. 1. — Arceau d'essai de Vassy (arc de 31^m05 à 1/10,37), en moellons ordinaires dressés en coupe, mortier de ciment (1845-1846) (f.₂₀). Épreuves au choc (30 mai 1846)²⁹.



2762^k tombant de 27^{cm}, puis de 37^{cm}, produisent des oscillations estimées 2^{cm}, non mesurées.

Art. 2. — Expérience faite dans les carrières de Souppes (Seine-et-Marne) (1865-66). Arc de 37^m886 au 1/18^e, de 3^m50 de largeur (f.₃₁). Dépenses : 33.583 fr.³⁰



A. — Voûte. — Voûte en pierre de taille avec lits et joints parfaitement plans. Mortier à 600^k de ciment pour 0^m800 de sable. Joints de 12^{mm}; ceux des naissances fichés les derniers.

La voûte a été exécutée du 26 octobre au 14 novembre 1864, décintrée le 15 mars 1865.

28. — Je rappelle, pour ordre, les expériences de Boistard de 1796.

Avant de construire le pont de Nemours (fondations 1796-97, voûtes 1803), il éprouva 22 voûtes de divers intrados, ayant toutes une portée de 8^{pi}eds (2^m60), une épaisseur uniforme de 4^{pouces} (0^m11), en voussoirs égaux, composés chacun de deux briques posées au grès sur une face, jointes au plâtre sur l'autre; — pas de mortier entre les voussoirs.

« Expériences sur la stabilité des voûtes » par L. C. Boistard, Ingénieur en Chef du Corps impérial des Ponts et Chaussées (Recueil de divers Mémoires extraits de la Bibliothèque impériale des Ponts et Chaussées, publié par P. C. Lesage, Ingénieur en Chef de 1^{re} classe, — Paris, Firmin-Didot, 1810, II^e Partie, p. 171 à 217, Pl. XI à XVI).

Les voûtes éprouvées par Boistard ne ressemblent guère aux voûtes usuelles, à mortier, à épaisseur croissante à partir de la clef.

29. — Notice de Belgrand, alors Ingénieur ordinaire des Ponts et Chaussées, du 22 octobre 1846, dans le dossier de l'arche d'essai de Souppes (exécutée 20 ans plus tard).

Service de la Navigation de la Seine (2^e section) et des Ponts de Paris, — Archives (carton 30, dossier 3).

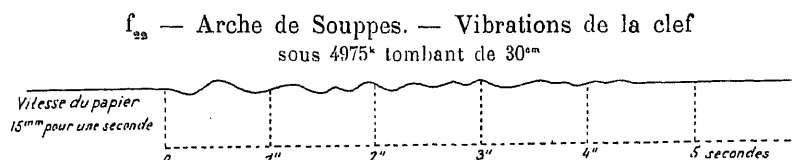
30. — « Notice sur la construction d'une arche d'essai très surbaissée » par M. Féline-Romany, Ingénieur en Chef des Ponts et Chaussées.

Annales des Ponts et Chaussées, Tome XII, série 4, juillet et août 1866, p. 10 à 17, Pl. 124.

B. - *Essais*³¹. — Sous une charge uniforme par m. q. de 681^k et 656^k, la clef s'abaissa de 8^{mm} et 9^{mm} : la charge enlevée, plus d'abaissement.

Au passage d'un chariot de 5510^k, dont 4975^k sur l'essieu d'arrière, la voûte, déjà chargée à 656^k par m. q., fléchit dès l'entrée du chariot, s'abaisse de 0^{mm}3 au passage sur la clef, puis reprend sa position.

4975^k tombant de 30^{cm} font une oscillation de 2^{mm}8 à la clef (f_{23}), 0^{mm}6 au plus aux reins.



Cette voûte homogène, en pierre de taille, s'est comportée comme un arc élastique.

Art. 3. — Observations aux ponts de Lavour et Antoinette et au pont de Morbegno. — Se sont aussi comportées comme des arcs élastiques :

Sous les trains, les voûtes de Lavour³² et Antoinette³³ ;

Sous un changement de température, celle de Morbegno³⁴, c'est-à-dire que les formules « de déformation » s'y sont appliquées³⁵.

Art. 4. — Expériences de l'Association des Ingénieurs et Architectes autrichiens (1890-1891)³⁶.

A. - *Voûtes essayées*. — Ce sont les premiers essais faits pour vérifier l'application aux voûtes des formules « de déformation ».

Je laisse de côté ceux sur arcs en béton armé et en métal.

On a essayé :

7 voûtes de 1^m35 et 7 de 2^m70, — 3 de 4^m05 ; 1 de 10^m au 1/10 en béton ; — 3 de 23^m en arc surbaissé à 1/5 (portée 23^m, flèche 4^m60, largeur 2^m), savoir :

une en moellons ordinaires de grès, de 0^m60 à la clef, 1^m10 aux retombées (mortier : ciment 1^r, sable 2^r6) ;

une en briques, même mortier, mêmes épaisseurs ;

une en béton de 0^m70 d'épaisseur uniforme : noyau à 1^r - 3^r - 5^r ; intrados et extrados : 1^r - 2^r - 3^r, 1^r - 1^r - 1^r, là où, sous une surcharge dissymétrique, on prévoyait des efforts de traction.

31. — « Note sur l'arche d'essai des carrières de Souppes » par M. de Lagrené, Ingénieur des Ponts et Chaussées.

Annales des Ponts et Chaussées, Tome XVI, 4^e série, août 1868, p. 130 à 146, Pl. 170, 171.

32. — Tome II, p. 143, 144.

33. — Tome II, p. 149.

34. — Arc semi-articulé, Tome IV, p. 65.

35. — Pour 34^e d'écart, le mouvement de la clef a été de 33^{mm}.

En calculant la voûte avec les formules de déformation d'un arc élastique, M. Guidi, pour une variation de 34^e et le coefficient de dilatation $\alpha = 8 \times 10^{-6}$ a trouvé 37^{mm}.

« Influenza della temperatura sulle costruzioni murarie », Camillo Guidi, Turin 1906, p. 9.

36. — Source indiquée au renvoi 24.

Les deux voûtes en béton (celle de 10^m, celle de 23^m) étaient posées aux naissances sur plaques d'asphalte : elles étaient donc un peu articulées en deux points. On ne pouvait pas en conclure grand'chose pour les voûtes inarticulées.

B. - Conclusions de M. le Professeur Brick. — Voici les conclusions qu'a dégagées des expériences l'un des rapporteurs, M. le Professeur Brick :

1. — Pendant les premières charges, avant les premières fissures, les déformations des axes des voûtes ont augmenté à peu près proportionnellement à la charge.

2. — La charge dépassant une certaine valeur « critique », il se produit des fissures, là où la tension dépasse : soit, dans les voûtes appareillées, l'adhérence du mortier au moellon ; soit, dans les voûtes en béton, la résistance à l'extension du béton.

3. — Dans les voûtes appareillées, les fissures suivent le joint ; dans les voûtes en béton, elles sont irrégulières et se ramifient.

4. — Elles se produisent au 1/4, au 1/3, aux 2/3, aux 3/4 de la portée, et aux retombées ; en général, là où le calcul, fait dans l'hypothèse élastique, indique des sections dangereuses.

5. — Au moment où apparaît la fissure, la fibre moyenne ne change pas brusquement de forme.

6. — Les fissures ouvertes, la voûte ne résiste plus à la tension ; mais elle continue à tenir par sa résistance à la compression, laquelle est beaucoup plus grande. La charge de rupture a dépassé la charge critique de 30 % pour la maçonnerie ordinaire, 59 % pour les voûtes en briques, 31 % pour les voûtes en béton. C'est très heureusement la résistance à l'écrasement qui mesure la résistance de la voûte.

C. — Ce qu'il faut retenir. — En résumé, tant qu'il n'y a pas eu tension, et pour les premières surcharges, les voûtes paraissent, en général, s'être comportées comme des arcs élastiques.

C'est à cette modeste conclusion qu'aboutissent, en somme, ces expériences si vantées³⁷.

Il y avait peut-être plus à apprendre de l'essai de Souppes, plus vieux de 25 ans.

37. — L'Association des Ingénieurs et Architectes autrichiens a institué une deuxième « Commission des voûtes » (Gewölbe-Ausschuss). Elle a publié deux rapports :

1^o - 4 avril 1900 : « *Elasticité et résistance de prismes en pierre de taille, moellons, béton, béton armé, briques creuses et ordinaires, chargés suivant leur arc et excentriquement* ».

Zeitschrift des Oesterr. Ingenieur und Architekten Vereines. (Supplément au n^o 25 de 1901).

2^o - avril 1910 : « *Voûtes de bâtiments en arc, en béton, béton armé, briques, appuyées sur des poutres en I.* »

Vienne, — Edition de l'Association.

Art. 5. — Insuffisance des observations faites sur les voûtes. — D'observations continues, — j'entends pendant plusieurs années, — sur une voûte, je n'en sais pas.

Comment, depuis sa pose sur le cintre, s'accroît jusqu'au décintrement, puis jusqu'à l'achèvement de l'ouvrage, le travail d'un voussoir ; comment il varie ensuite avec les surcharges, la température, le soleil, l'imbibition ; comment, en un mot, à un moment quelconque, travaille chaque point d'une voûte, — tout cela nous ne le savons pas beaucoup mieux que les ingénieurs de Trajan.

Il y a plus de 2000 ans qu'on fait des voûtes, et l'on n'a pas encore un appareil simple, pratique, sûr, à mettre en toutes mains, permettant à toute époque de mesurer le travail, non pour de courtes périodes : décintrement, passage d'un train (ces instruments-là, on les a), ^{37 bis} mais après des années.

Si on avait un « baromètre » enregistrant continuellement les pressions en chaque point d'une voûte, on n'imaginerait plus, on saurait.

§ 3. — QUELQUES AUTRES INDICATIONS DE L'ÉLASTICITÉ DES MAÇONNERIES

Art. 1. — Chute des arches du pont de Vernon ³⁸. — Le 14 octobre 1870, on fit sauter l'arche de rive gauche du pont de Vernon sur la Seine. Les piles voisines s'inclinèrent l'une après l'autre vers la rive gauche, laissèrent tomber les arches, puis se redressèrent, et reprirent à peu près leur ancienne position, avec si peu d'avaries qu'on appuya sur elles les nouvelles voûtes.

Art. 2. — Oscillations des phares sous les coups de vent. — Les tours des phares oscillent sous les coups de vent comme des tiges encastrées à leur pied ³⁹.

^{37 bis}. — Récemment, M. Mesnager, Professeur à l'École des Ponts et Chaussées, a rendu visibles, à l'aide de la double réfraction, les lignes d'égale travail, dans un modèle réduit en verre.
Annales des Ponts et Chaussées, 1913, juillet-août, p. 135.

³⁸. — 7 arches en anse de panier de 8^m25 de flèche, 26^m d'ouverture pour les 5 arches centrales, 28^m pour les deux arches de rive ; piles de 3^m50 d'épaisseur aux naissances fondées sur pilotis. Pont construit en 1858-1862.

Annales des Ponts et Chaussées, 1874, 2^e semestre : « Pont de Vernon » M. Picquenot.

³⁹. — Voici quelques déplacements observés :

Phare	construit en :	Amplitude des déplacements	Hauteur du phare
de la Coubre	Pierre calcaire de moyenne qualité, de petit appareil.	1 ^m 5	48 ^m 5
des Baleines	Pierre de taille calcaire de bonne qualité, de grand appareil.	1 ^m 5	47 ^m
de Barfleur	Pierre de taille granitique de moyenne qualité, de grand appareil.	0 ^m 5	66 ^m
du Planier	Maçonnerie brute de moellons calcaires de très bonne qualité, — plus épaisse et beaucoup plus rigide que les précédentes.	Amplitude imperceptible	54 ^m
de l'Île Vierge (Ancien et nouveau)	Maçonnerie brute en moellons de granit avec parements extérieurs en pierre de taille granitique.	Amplitude imperceptible	28 ^m et 70 ^m
de la Canche	Briques tendres de médiocre résistance, peu épaisses. Tour très légère avec cassure générale de haut en bas.	4 ^m	48 ^m
de Calais	Briques tendres. Cassure générale de haut en bas.	2 à 3 ^m	47 ^m

Annales des Ponts et Chaussées, 1^{er} trimestre 1905, p. 24 : « Oscillations des tours de phares », par M. Ribière, Ingénieur en Chef du Service central des Phares et Balises.

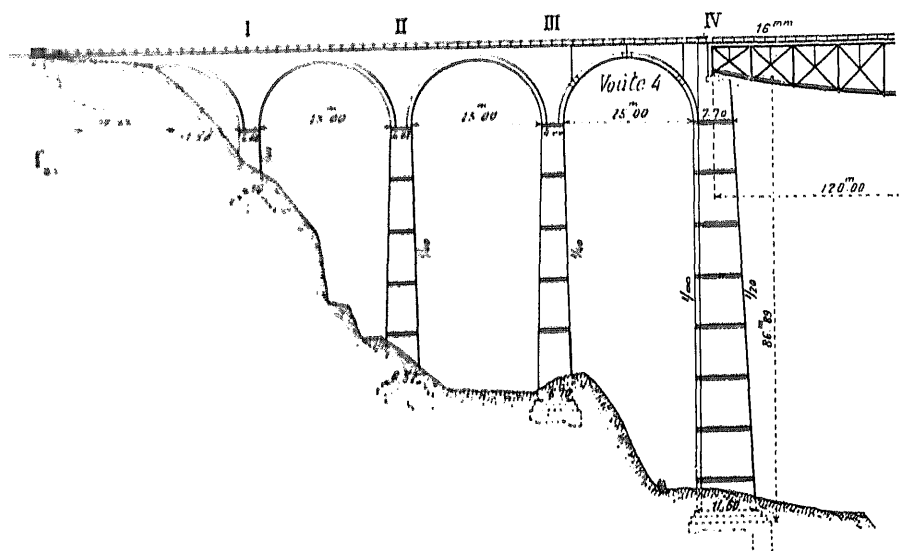
Art. 3. — Évasement du haut des nefs de cathédrales. — Dans nombre de cathédrales (Laon⁴⁰, Bourges, Amiens, Reims, Dijon...), on observe qu'au-dessus des chapiteaux, les piliers s'inclinent vers le dehors⁴¹.

On n'a pas voulu ce déversement : il est dû à la poussée des grandes voûtes de la nef.

Après, l'ensemble tient.

Art. 4. — Courbure élastique des piles IV et III du viaduc sur la Sitter (cf.), 1908-1910. (Ligne du lac de Constance au lac de Zurich).

La naissance de la pile-culée IV se déplaça horizontalement, vers la vallée :



de 45^{mm} jusqu'au clavage de la voûte 4; de 95^{mm} du clavage à l'achèvement; en tout de 140^{mm}⁴².

Pendant que la pile IV s'écartait de 45^{mm}, l'ouverture de la voûte 4 augmentait de 20^{mm} : la pile III s'est déversée vers la vallée, de :

45^{mm} - 20^{mm} = 25^{mm}.

Sous les tym-

pans, la clef de la voûte 4 baissa de 80^{mm}, sa portée s'accrut de 70^{mm} pour un déversement de 95^{mm} de la pile IV, soit, pour la pile III, un nouveau déversement de 95^{mm} - 70^{mm} = 25^{mm}; en tout 50^{mm}⁴³.

40. — A Notre-Dame de Laon, « le hors d'aplomb des colonnes varie, depuis les extrémités de la nef jusque vers son milieu, de 8, 10, 12 et 15 centimètres, mesuré du sol jusqu'aux chapiteaux, et de 25 centimètres en sens inverse, depuis les chapiteaux jusqu'à la naissance des voûtes.

« Les murs forment donc exactement le genou.... »

« Chose remarquable, un déplacement aussi considérable des murs s'est opéré sans désunions sensibles dans les constructions. On n'aperçoit, ni dans les grandes voûtes supérieures de la nef, ni dans les voûtes latérales des galeries, de ruptures graves qu'on doive rapporter à ce mouvement. »

Exposition universelle de Vienne, 1874 : « Les Monuments historiques de France », — Paris, Imprimerie nationale, MDCCLXXXVI. Rapport de M. Biet, Inspecteur Général des Bâtimens civils, 20 juin 1846.

41. — Aux viaducs de la ligne d'Issy à Viroflay, M. Rabut a constaté de même que toutes les piles aux naissances s'écartent d'une voûte chargée.

(Ibid., titre II, renvoi 10, p. 138).

42. — correspondant à $\frac{E \text{ (coefficient d'élasticité en } \frac{\text{kg}}{\text{cm}^2})}{10^5} = 0,5 \text{ (maçonnerie fraîche)}$

43. — « Der Sitterviadukt der Bodensee-Toggenburgbahn », von den Ingenieuren A. Acatos, J. Lüchinger, F. Ackermann.

Sonderabdruck aus der Schweizerischen Bauzeitung, Band LVI, 1910 :

page 30, IV : « Beobachtungen während der Bauausführung und der Belastungsproben », von Ingenieur A. Acatos, St. Gallen.

Sous la charge d'épreuve de la travée métallique, la pile IV ne se déplaça que de 2^{mm}; les joints au-dessus des articulations des reins ne s'ouvrirent en haut que de 2^{mm}.

§ 4. — CONCLUSIONS

JUSQU'A CE QU'ON EN AIT UNE MEILLEURE,
POUR CALCULER LE TRAVAIL DES VOÛTES,
ACCEPTER, — MALGRÉ SES DÉFAUTS, — L'HYPOTHÈSE ÉLASTIQUE

Les essais, quoi qu'on en ait écrit ⁴⁴, ⁴⁵, ⁴⁶, ⁴⁷, ne justifient pas l'application aux voûtes des formules de déformation.

Pour les voûtes, on s'est de tout temps beaucoup trop pressé d'édifier des théories⁴⁸. On a tout d'abord raisonné au lieu de regarder, — calculé au lieu de mesurer. On a couru de suite à des hypothèses permettant le calcul, — comme si l'on pouvait trouver quelque chose en dehors de l'expérience⁴⁹.

Les voûtes faites de matériaux élastiques sont certainement élastiques, mais non comme l'entend la Résistance des Matériaux : leur élasticité n'est pas si simple.

44. — « ...en se basant sur les essais de rupture et d'élasticité faits sur de grandes voûtes par l'Association des Ingénieurs et Architectes autrichiens, il n'est pas douteux qu'on puisse calculer de telles voûtes et déterminer les forces intérieures avec une sécurité suffisante en pratique, en les considérant comme des corps homogènes élastiques... »

Fortschritte der Ingenieurwissenschaften, zweite Gruppe, 7 Heft : « Gewölbte Brücken », von Karl von Leibbrand, — Leipzig, 1897, p. 41 : « Brücken mit Gelenkeinlagen, I.-Zweck der Gelenke. »

45. — « Déjà, depuis quelques dizaines d'années, Winkler, Culmann, Castigliano, et d'autres, avaient entrainé que les voûtes en maçonnerie se comportent comme des solides élastiques, ainsi que l'ont abso- lument confirmé les célèbres (« fameuses ») expériences de la Commission autrichienne des voûtes. »

« Influenza della Temperatura sulle costruzioni murarie », p. 6, M. C. Guidi, — Turin, Décembre 1905, — extrait des « Atti della R. Accademia delle Scienze di Torino », vol. XLI, Adunanza del 28 Gennaio 1906.

46. — « Les classiques expériences de la Société des Ingénieurs autrichiens » ont établi que les constructions en maçonnerie obéissent aux lois de l'élasticité.

« I progressi della Scienza e dell' Arte del costruire », — Discorso inaugurale del 1° Anno 1906-07 del R. Politecnico di Torino, p. 13, M. C. Guidi, — Turin 1906.

47. — « ...les précieuses (« verdienstvollen ») expériences de l'Association des Ingénieurs et Architectes autrichiens ont établi que les voûtes éprouvées se comportèrent en général comme des arcs élastiques et qu'il est, par suite, justifié de calculer comme arcs élastiques des voûtes de même forme et de même construction que les voûtes éprouvées... »

« Elastische Bogenträger », Dr. Jakob J. Weyrauch, Professor an der Kgl. Technischen Hochschule in Stuttgart. — Stuttgart, Konrad Wittver, 1911, — Préface de la 2^e édition, p. III.

48. — C'est ainsi qu'étaient déjà nées au XVIII^e siècle les théories de La Hire (1712), de Couplet (1729), de Bossut (1770), de Prony (1783), dont Boistard écrit fort justement : « ...il faut l'avouer, tous ces écrits reposent sur une hypothèse qui n'est pas confirmée par l'expérience, en sorte qu'ils doivent être relégués parmi les recherches de pure spéculation, très curieuses à la vérité, mais sans aucune utilité pour la pratique. »

Boistard, loc. cit., renvoi 28.

49. — « L'expérience est la source unique de la vérité : elle seule peut nous apprendre quelque chose de nouveau ; elle seule peut nous donner la certitude ». Qui parle ainsi : un médecin ? un physicien ? un naturaliste ? — Non, c'est Henri Poincaré, le plus grand mathématicien de ce temps.

H. Poincaré : « La Science et l'hypothèse », Paris, Flammarion, 1912, 4^e Partie, Chapitre IX : Les Hypothèses en physique, p. 167.

C'est cependant en les supposant telles, que les Ingénieurs autrichiens ont passé de la portée de 41^m du pont de Wäldlitobel⁵⁰ à celle de 65^m du pont de Jaremeze^{51, 52}.

Avec cette hypothèse, on a calculé nombre de grandes voûtes, dont quelques-unes minces, et qui ont tenu⁵³, des viaducs à arches de 25^m, extrêmement hardis et qui tiennent⁵⁴.

Donc, bien que les voûtes ne soient pas des solides homogènes, élastiques au sens de la Résistance des Matériaux ;

que le coefficient d'élasticité y varie d'un point à l'autre, c'est-à-dire qu'à proprement parler il n'y en ait pas, et que les déformations n'y soient pas proportionnelles à la pression ;

que les mouvements du cintre, les matages, y bouleversent les courbes de pression ;

il faut provisoirement continuer à les supposer telles.

On n'a pas, en ce moment, pour le calcul des voûtes, de meilleure hypothèse que l'hypothèse élastique.

50. — Tome II, p. 157.

51. — Tome III, p. 114.

52. — « ...Si favorables que fussent les circonstances pour construire de grandes voûtes dans la vallée du Pruth, il eût paru délicat de sauter d'un seul coup de 41^m à 65^m de portée, si les essais de rupture de voûtes d'épreuves exécutés en juillet 1889 par l'Association des Ingénieurs et Architectes autrichiens, n'eussent montré déjà que la théorie de l'élasticité appliquée aux voûtes, conduit à des résultats concordant parfaitement avec l'expérience. Les grandes voûtes de la ligne Stanislau-Woronienka sont le premier résultat qu'a obtenu l'Association des Ingénieurs et Architectes autrichiens par les voûtes d'épreuve... »

Zeitschrift des Oesterr. Ingenieur und Architekten Vereines, Tome XLV, n° 42, 20 octobre 1893 : « Mittheilungen über die grossen gewölbten Brücken der K. K. Staatsbahn Stanislau-Woronienka », von Ober-Inspektor Ludwig Huss, Vorstand des Bureau für Unterbau und Brücken der K. K. General-Direktion der Oesterr. Staatsbahnen.

53. — Voûtes $\geq 40^m$ calculées avec l'hypothèse élastique :

Date	Pont de :	Symbole	Portée	Date	Pont de :	Symbole	Portée
18 ⁹³ / ₉₄	Jaremeze	$\widehat{A}^1 f^r (\geq 40^m)$	65 ^m	19 ⁰⁶ / ₀₈	Walnut Lane	$\widehat{A}^1 \widehat{A}^1 r^{te} (\geq 40^m)^2$	71 ^m 02
	Jamna	$\widehat{A}^1 f^r (\geq 40^m)$	48 ^m	19 ⁰⁷ / ₀₉	Wiesen	$E^1 h f^r (\geq 40^m)^1$	55 ^m
	Warochita	$\widehat{A}^1 f^r (\geq 40^m)$	40 ^m	19 ⁰⁸ / ₀₉	Montanges	$\widehat{A}^1 r^{te} (\geq 40^m)^{12}$	80 ^m 29
19 ⁰¹ / ₀₂	Solis	$C^1 f^r (\geq 40^m)^1$	42 ^m	19 ⁰⁸ / ₁₀	Lusserat	$\widehat{A}^1 F^r (\geq 40^m)^{22}$	45 ^m
1899 1903	Luxembourg	$\widehat{A}^1 \widehat{A}^1 r^{te} (\geq 40^m)^1$	84 ^m 65	19 ⁰⁸ / ₁₀	Rocky-River	$\widehat{A}^1 \widehat{A}^1 r^{te} (\geq 40^m)^3$	85 ^m 34
19 ⁰¹ / ₀₅	Valence	$E^n r^{te} (\geq 40^m)^6$	49 ^m 20	19 ⁰⁸ / ₁₂	Sidi-Rached	$\widehat{A}^1 \widehat{A}^1 r^{te} (\geq 40^m)^4$	68 ^m 76
19 ⁰³ / ₀₅	Plauen	$\widehat{A}^1 r^{te} (\geq 40^m)^{10}$	90 ^m	19 ⁰⁷ / ₀₉	Lichtensteig	$\widehat{A}^1 F^r (\geq 40^m)^{24}$	42 ^m 82
19 ⁰⁴ / ₀₇	Amidonniers	$E^n E^n r^{te} (\geq 40^m)^1$	46 ^m — 42 ^m , 38 ^m 50	19 ¹⁰ / ₁₂	Krummenau	$\widehat{A}^1 F^r (\geq 40^m)^{25}$	63 ^m 26
19 ⁰⁴ / ₀₆	Salcano	$\widehat{A}^1 f^r (\geq 40^m)^{19}$	85 ^m	19 ¹⁰ / ₁₂	Cinuskel	$\widehat{A}^1 f^r (\geq 40^m)^3$	46 ^m 976
1906	Guggersbach	$\widehat{A}^1 r^{te} (\geq 40^m)^{11}$	50 ^m 20	19 ¹¹ / ₁₂	Tuoi	$\widehat{A}^1 f^r (\geq 40^m)^4$	47 ^m 706

54. — Ligne du lac de Constance au lac de Zurich : Viaduc sur la Sitter (Arches d'accès de 25^m de portée, poussant contre une pile-culée de 87^m de hauteur, épaisse en haut de 7^m70, 1908-1910) ; — Viaduc de Weissenbach (63^m de hauteur, 3^m50 seulement d'épaisseur aux naissances, 1908-1910).

Bodensee-Toggenburg-Zürichsee, — Saint-Gall, chez Zollikofer. 1911.

Tout compte fait, acceptons-la donc, non parce qu'elle est vraie, mais parce que des voûtes minces, ainsi calculées, tiennent.

Mais ne l'acceptons que très provisoirement, « *sous bénéfice d'inventaire* » « *expérimental* »⁵⁵, c'est-à-dire jusqu'à ce que de nouveaux essais établissent d'autres formules qui s'ajustent mieux aux faits.

55. — Expression de Claude Bernard.

« *Introduction à l'étude de la médecine expérimentale* », 11-3.

ANNEXE

VOÛTES INARTICULÉES

ÉPAISSEUR A LA CLEF

COEFFICIENT :

$$\alpha = \frac{e_0 \text{ (épaisseur à la clef)}}{\left[1 + \sqrt{2a \text{ (portée)}}\right] \mu \text{ (fonction du surbaissement } \sigma)}$$

$$\mu = \begin{cases} \text{Pleins Cintres } \mathbf{C} 1 \\ \text{Ellipses (ou Anses de panier) } \mathbf{E} \frac{4}{3 + 2\sigma} \\ \text{Arcs } \mathbf{A} \frac{4}{3} (1 - \sigma + \sigma^2) \end{cases}$$

VALEUR DE α POUR 562 OUVRAGES

ENVIRON 3300 VOÛTES (TYPES NON COMPTÉS)

VOIR :

POUR LES VOÛTES $\geq 40^m$:

Pleins Cintres \mathbf{C} , Ellipses (ou Anses de panier) \mathbf{E} Tome I

Arcs peu surbaissés $\left(\sigma \geq \frac{1}{2\sqrt{3}}\right) \hat{\mathbf{A}}$ Tome II

Arcs assez surbaissés $\left(\frac{1}{2\sqrt{3}} > \sigma \geq \frac{1}{7}\right) \hat{\mathbf{A}} \left. \begin{array}{l} \\ \end{array} \right\}$ Tome III

Arcs très surbaissés $\left(\sigma \leq \frac{1}{7}\right) \mathbf{\bar{A}}$

POUR LES VIADUCS : APPENDICE, - Viaducs Tome V

On a seulement indiqué les matériaux du queueutage et le mortier (Ch = Chaux, Cim = Ciment).
Pour le sens des abréviations MOV, MEV, MAV, PT, L, Br, B, voir Tome III, Avertissement, p. 2, n° 6.
L'ex posant C', C'' indique le nombre d'arches.

$$\text{Coefficient } \alpha = \frac{e_0 (\text{épaisseur à la clef})}{[1 + \sqrt{2\alpha (\text{portée})}] \mu (\text{fonction du surbaissement})}$$

α	PONTS SOUS ROUTE						PONTS SOUS CHEMIN DE FER					
	C	E	A	A	A	FD 2 000 ^m	VOIE NORMALE					VOIE ÉTROITE
							C	E	A	A	A	
0.09												
0.095					Allemagne, 1905-08, A' - MOV - cim : Ziegenhals, 40 ^m ; Michelan, 42 ^m ; Schwusen, 48 ^m ; Kupferhammer, 48 ^m .							
0.10					Gross-Kunzendorf, Allemagne, A ³ , arche centrale 40 ^m , MOV - cim.							
0.105	Viaduc de Chastellux, Yonne, 1876-78, C ¹¹ - 9 ^m 50, MOV - cim.				Passages supérieurs, A', B - cim : Limoges-Brive, 1874-75, 15 ^m ; Nantes-Chateaubriant, 1875-77, 15 ^m . Neuhammer, Allemagne, Projet : 1905, A' - 52 ^m , MOV - cim. Longuich, Allemagne, 1909-11, A' - 43 ^m , B - cim.							
0.11	Toulouse, 1542-1632, E' - Arche centrale : 34 ^m .		sur le Kelvin, à Glasgow, Ecosse, 1834, A ² - 27 ^m 45. Seythenex, 1908-11, A ² - 41 ^m 19, PT - cim.		Allemagne, 1903 à 1908, 46 ^m , B - cim : Mehring, A'; Schweich, A'; Tritten- heim, A'.							
0.115			La Brague, Alpes-Mari- times, 1900, A' - 30 ^m .		Huzenbach, Allemagne, 1880, A' - 35 ^m , PT. Longuich, Allemagne, 1909-11, A' - Arche centrale : 46 ^m , B - cim.					Chemnitz (Allemagne), Chemnitz- Wechselburg, (Int' loc.) 1901-02, A' - 45 ^m .		
0.12					Teinach, Allemagne, 1882, A' - 33 ^m , PT - cim. Boucicaut, 1888-90, A ³ - 40 ^m , MAV - cim. Iguerande, 1895, A' - 28 ^m 60, MOV - cim. Avignon, 1905-09, A ¹⁰ - 40 ^m , MAV - cim.							
0.125	Paris, E ³ : Bercy, 1863-64, 29 ^m . Tolbiac, 1879-82, 35 ^m .		Chester, Pays de Galles, 1833-34, A' - 60 ^m 96 - ch. Guggersbach, Suisse, 1906, A' - 50 ^m 20, B - cim.		Allemagne, 1904-05, MOV - cim : Wengern, A' - 50 ^m ; Krappitz, A ² - Arche centrale : 50 ^m . Arciat, Saône-et-Loire, 1906, A' - 31 ^m , MOV - cim.						Etaples, Amiens- Boulogne, 1875, 14 ^m .	
0.13	des Echavannes, Chalon- sur-Saône, 1787, E' - 12 ^m 99. Paris, E ³ - MOV : St-Michel, 1857, 17 ^m 20 - cim. Louis-Philippe, 1860-62, Arche cent ^{le} , 32 ^m .		Elyria, Etats-Unis, 1886, A' - 45 ^m 72, L - cim. Plauen, Saxe, 1903-05, A' - 90 ^m , MOV - cim. Exideuil, Nontron-Sarlat, 1886-87, A ² - 16 ^m , MOV - cim.		Passage supérieur, Civray-Le Blanc, 14 ^m .					Zenichbach (Autriche), Stanislau- Woronienka, 1893-04, A' - 22 ^m , MOV - cim.		
0.135	Pont au Change, Paris, 1858-60, E ³ - 31 ^m 60.				Concorde, Paris, 1787-91, A ³ - arches de rive, 25 ^m 33, PT - ch. Passage sup ^r , Preuilly-Tournon-St-Mar- tin, 1883-86, A' - 16 ^m 16, MOV.					Lagunes de Venise (Italie), Venise-Vicence, 1841-46, A ²¹⁰ - 10 ^m .		

PONTS OU VIADUCS SOUS CHEMIN DE FER

E	A	A	A	en deux anneaux	VOIE NORMALE				VOIE ÉTROITE
					C	E	A	A	
Pont de l'Arche, sur la Seine, 1855-56, E' = 10 ^m 10. Pont du Jour, Paris, 1864-65, E' = 10 ^m 10, MOV = ch. des Andelys, Eure, 1872-74, E' = 14 ^m - cim. Verdon à la Doubs, 1865-67, E' = 11 ^m et 18 ^m 40, MEV = cim. Edouard VII, Angleterre, 1901-03, E' = 40 ^m 31 - cim.	de Dunstable, sur la Tam. Angl. 1865, A' = 17 ^m 45.	des Orfèvres, Florence, XIV ^e siècle, A' = 28 ^m 80. Montanges, Ain, 1908-1909, A' = 80 ^m 20, L = cim.	Concorde, Paris, 1787-91, A' = 28 ^m 26, PT = ch. Digoïn, sur la Loire, A' = 26 ^m , MAV = cim. Lays, sur le Doubs, 1895, A' = 26 ^m , MEV = cim. Orléans, 1904-06, A' = 43 ^m 85, MAV = cim.	Amidonniers, Toulouse, 1899-1903, A' = 84 ^m 65, 1904-07, E' = 46 ^m , et 42 ^m , MEV = cim.		Malagazanne, Marvejols-Neussargues, 1882, E' = 12 ^m - ch.			Viaduc de Lantosque, Vallée de la Vésubie, ligne électrique, C' = 22 ^m , MOV = cim.
Contrôles sur la Seine, 1820, E' = 11 ^m , MOV = cim.	Touque abrit sur la Lr. Angl. 1866, A' = 15 ^m 07.	Bellefroid, États-Unis, 1896-97, A' = 45 ^m 22, B = cim.	Concorde, Paris, 1787-91, A' = 31 ^m 18 centrale, PT = ch. Île Verte, sur l'Isère, Grenoble, 1898, A' = 19 ^m 20, 17 ^m .	Amidonniers, Toulouse, 1904-07, E' = 35 ^m 50, MEV = cim.		Mouleydier, Bergerac - Le Buisson, 1877-79, E' = 10 ^m 20.	Pont sur la Strona (Italie), Domodossola-Iselle, 1901-04, A' = 15 ^m , Br = ch.		Ligne électrique de la Bernina, 1909, Viaducs en C de 8 ^m . (Types) Cavagliasco, A' = 26 ^m .
Pont du Château, sur l'Allier, 1872, E' = 20 ^m 20. Roanne, sur la Loire, 1789, E' = 21 ^m 40. Vernon, sur la Seine, 1871-72, E' = 28 ^m . St Pierre, 1886, E' = 40 ^m - cim. Edmondson - Avenue à Baltimore, États-Unis, 1908-09, E' = 42 ^m 167, B = cim.		Wheeling, États-Unis, 1891-92, A' = 48 ^m 46. St Martin Lys, Quillan-Kivesalles, 1867, A' = 14 ^m , MAV = cim.	National, Paris, 1852-53, A' = 14 ^m 50. Invalides, Paris, 1854, A' = arches de rive, 31 ^m 87.		Viaducs : des Huttes, Brioude-Alais, C = 9 ^m 24. sur la vallée de Pontone (Italie), Gènes-Asti, 1889-91, C' = 12 ^m , Br = ch. de Lascomières, Lannemezan-Arreau, 1892-93, C' = 7 ^m .			National, Paris, pont mixte 1 ^{re} et 2 ^{de} 1852-53, A' = 34 ^m 30.	
Gloucester, Angleterre, 1836-37, E' = 45 ^m 72, PT. Notre-Dame, Paris, 1851-54, E' = 18 ^m 76, MOV = cim. Vernon, sur la Seine, 1871-72, E' = 30 ^m - cim.		Argentat, sur la Dordogne, 1891-94, A' = 12 ^m 04 - cim.	Nemours, sur le Loing, 1796-1805, A' = 16 ^m 24. Invalides, Paris, 1854, A' = arches centrales, 31 ^m 60. Putney, Angleterre, 1882-83, A' = 43 ^m 89, PT = cim. Charrey, sur la Saône, 1888, A' = 30 ^m , ch.	Constantine, Algérie, 1908-12, A' = 67 ^m 57, MA = cim.	sur le Sabato, (Italie) Avellino-S. l'Enere, 1891-92, C' = 11 ^m , Br = ch. de Baricave, Lannemezan-Arreau, 1893-94, C' = 10 ^m .		Pont sur le Toce (Italie), Arona-Domodossola, 1901-1904, A' = 25 ^m , Br = ch.		Ramonnails, Villefranche-Bourg-Madame, 1906-08, A' = 40 ^m 30, MEV = cim. Viaducs en C : de 10 à 20 ^m , Ligne électrique de la Bernina; de 8 ^m : Ligne de l'Albula. (Types).
	Nyons, 1351-1407, A' = 40 ^m 51	Austerlitz, Paris, 1851, A' = 1 arches centrales, 12 ^m 10. Clais, 1871-74, A' = 32 ^m , MOV = cim. Passage supérieur de Laveix, Nontron-Sariat, 19 ^m 35.	Tilsitt, Lyon, 1864, A' = 22 ^m 84. Citadelle, Grenoble, 1865, A' = 23 ^m 10.		de Bouchatel, Brioude-Alais, 9 ^m . de Saint-Denis, Cahors-Brive, 1881-87, C' = 8 ^m . du Vair, Neu/château-Barisey, 1888, C' = 11 ^m . sur le Rio Fraccio, (Italie), Arona-Domodossola, 1901-04, C' = 10 ^m , Br = ch.	La Flèche, sur le Loir, La Flèche-La Suze, 1875-76, E' = 20 ^m . Marmande, Marmande-Casteljaloux, 1880-83, Viaducs d'accès, E' = 20 ^m . Val de la Loire, Bourges-Gien, 1887-92, Viaducs d'accès, E' = 16 ^m , E' = 15 ^m , E' = 14 ^m , E' = 13 ^m .	Jablonicabach (Autriche), Stanislau-Woronienka, 1893-94, A' = 25 ^m , MOV = cim. sur le torrent Cairasca, (Italie), Domodossola-Iselle, 1902, A' = 32 ^m , Br = ch. sur le Cervo (Italie), Santhia-Arona, 1901-05, A' = 18 ^m , Br = ch.	Pont sur la Louette, Elampes-Pilliviers, 1902, A' = 12 ^m .	Viaduc de Malvan, Alpes-Maritimes, C' = 22 ^m , MOV = cim. Passage infr. Guingamp-Paimpol, 1896, A' = 10 ^m 97. Viaducs en C de 25 ^m , Bernina; de 6 ^m et 20 ^m , Albula. (Types).

$$\text{Coefficient } \alpha = \frac{e_0 (\text{épaisseur à la clef})}{[1 + \sqrt{2a (\text{portée})}] \mu (\text{fonction du surbaissement})}$$

α	PONTS SOUS ROUTE					PONTS OU VIADUCS SOUS CHEMIN DE FER					
						VOIE NORMALE			VOIE ÉTROITE		
	C	E	A	A	A	C	E	A	A	A	
0.165	Moulins, 1756-64, E ¹ - 19 ^m 50. Chatellerault, 1848, E - 20 ^m . Bléré, sur le Cher, 1898-99, E ¹ - 24 ^m - ch. Empereur-François, Prague, 1899-1901, E ¹ . Plus grande arche : 42 ^m 34. PT - cim.					Ballochmyle, Ecosse, 1846-48, C ¹ - 55 ^m 17. St-Waast, Montauban-Castres, 1884-86, C ¹ - 20 ^m , Br - ch. Amélie-les-Bains, Elne-Arles-sur-Tech, 1890-92, C ¹ - 26 ^m . Viaducs de : La Lavade, Rodez-Millau, 1880, C ¹ - 7 ^m , MOV - ch. Maison-Rouge, Marvejols-Neussargues, 1881-83, C ¹ - 15 ^m , MEV - ch. Rio Cammarelle, (Italie), Sparanise-Gaeta, 1890-91, C ¹ - 15 ^m , Br - ch. la Selle, C ¹ du Nord, C ¹ - 15 ^m - ch. Vallée d'Avella, (Italie), Avellino-S. Venere, 1893-95, C ¹ - 15 ^m , Br - ch. Lac de Constance-Lac de Zurich, (Suisse), 1907-09, Weissenbach, C ¹ - 25 ^m et C ² - 15 ^m , MOV - cim. Viaducs de 15 ^m , 20 ^m , 22 ^m , 25 ^m (Types).	Pont sur la Bidassoa, Bayonne-Irun, E ¹ - 20 ^m . Albias, Montauban-Cahors 1881-82, E ¹ - 23 ^m 25 - cim. Grand-Vicq, Preuilly-Tournon-Saint-Martin, 1883-86, E ¹ - 16 ^m . Caoue, Lannemezan-Arreau, 1891-93, E ² - 26 ^m , MOV - ch. Verdon, St-André-Pugel-Théniers, 1900-1902, E ¹ - 20 ^m . Vendes, Vendes-Mauriac, 1900-1902, E ¹ - 16 ^m . V ^o de l'Eure, Paris-Chartres, E ¹ - 12 ^m 76.		Arona-Domodossola, (Italie), 1901-1904, Br - ch : Pont sur le torrent Selvaspessa, A ¹ - 25 ^m . Pont sur le lac de Mergozzo, A ¹ - 25 ^m . — id. — A ² - 25 ^m .		Viaducs en C de 15 à 25 ^m , Albula, (Suisse) (Types).
								Castelet, 1882-83, A ¹ - 41 ^m 20, MEV - cim.		Trilport, Trilport-la-Ferté, 1893, A - 26 ^m 86.	
0.17	Londres, 1824-31, E ¹ - 46 ^m 33. PT. Grenoble, 1839, E ² - 27 ^m . Alma, Paris, 1854-55, E ¹ - arche centrale de 43 ^m 38. MOV - cim. Valence, 1901-05, E ¹ - 49 ^m 20. ME - cim.	Vieux pont de Céret, 1321-39, C ¹ - 45 ^m 45.	Vieux pont de Claix, 1608-11, A ¹ - 45 ^m 65.	Quimper, Ch. de fer de Chateaulin, 1863, 21 ^m 54.	Petit pont, Paris, 1852-53, A ¹ - 31 ^m 75.	Viaducs de : St-Rambert-Grenoble, 1855, la Fure, C ¹ - 14 ^m . Brioude-Alais, Chamborigaud, C ¹ - 14 ^m ; Langogne, C ¹ - 14 ^m . Alais-Le Pouzin, MOV - ch. : Frayol, C ¹ - 10 ^m ; Truel, C ¹ - 8 ^m ; Téoulemaie, C ¹ - 12 ^m ; l'Auzon, C ¹ - 12 ^m . Limoges-Brive, 1875, la Meyze, C ¹ - 18 ^m ; la H ¹ e-Vézère, C ¹ - 10 ^m . Eymoutiers-Meymac, Martin-Roche, C ¹ - 10 ^m - ch. Marvejols-Neussargues, 1881-84, ch : MOV - 8 ^m : Chapchiniès, C ¹ ; Maison-Rouge, C ¹ ; Triboulin, C ¹ ; 10 ^m : Le Lignon, C ¹ ; Rimeize, C ¹ ; Saillant, C ² ; 12 ^m : Massalès, C ¹ ; MEV - 10 ^m : La Combe, C ¹ ; Le Blaud, C ¹ ; Varillette, C ¹ . Cahors-Brive, 1882-85, 10 ^m , MOV - ch : Les Marjaudes, C ¹ ; Prèsignac, C ¹ ; Sorbier, C ¹ . Civray-Le Blanc, Le Salleron, 1882, C ² - 10 ^m . Poitiers-Le Blanc, La Caronnière, 1882-83, C ¹ - 10 ^m . Nontron-Sarlal, 1885-87, ch. : Nontron, C ¹ - 18 ^m ; St-Pardoux, C ¹ - 17 ^m 94, MOV; Muratel, 1893-95, C ¹ - 23 ^m ; Puyredon, C ¹ - 8 ^m 15. Bourges-Gien, Val de la Loire, 1887-92, rive dr., C ¹ - 16 ^m , rive g. C ¹ - 16 ^m . Argenteuil-Mantes, Triel, 1888-90, C ¹ - 5 ^m 10, C ¹ - 8 ^m . Issoudun-St-Florent, 1890-93 : Bief du moulin de Charost, C ¹ - 12 ^m ; sur l'Arnon, C ¹ - 11 ^m 94, MOV - ch. Mende-La Bastide, 1896, Mirandol, C ¹ - 12 ^m , MOV. Rome-Viterbe, (Italie), Vald'Enfer, 1891, C ¹ - 14 ^m . Quillan-Rivesaltes, 1897-98 : St-Georges, C ¹ - 16 ^m ; Mouillèro, C ¹ - 16 ^m ; Lapradelle, C ¹ - 12 ^m . P ¹ s d'Axat, C ¹ - 30 ^m , MEV - ch; d'Aliès, id. St-Gérons-Foix, Vernajoul, C ¹ - 14 ^m , MOV - ch. Nérac-Mont-de-Marsan, P ¹ sur le St-Laurent, C ¹ - 18 ^m , MEV - ch. Arona-Domodossola, (Italie), Torrent de Tiasca, 1901-04, C ¹ - 10 ^m , Br - ch. Lac de Zurich-Lac de Constance, (Suisse), Viaducs de 6 ^m , 8 ^m , 10 ^m , 12 ^m , 30 ^m (Types).	Le Midon, Nérac-Mont-de-Marsan, 1892, E ¹ - 20 ^m , MOV - ch. Dropt, La Sauve-Eymet, 1893, E ¹ - 15 ^m . Arrigas, Tournemire-Le Vigan, 1895, E ¹ - 21 ^m 60. Arche elliptique du viaduc de l'Eure, Paris-Chartres, E ¹ - 25 ^m 80.	Victoria, (Angleterre), Durham-Junction Ry, 1836-38, A ¹ - 48 ^m 77. Pont sur la Gelise, 13 ^m . Pont sur le Tâtre, Barbezieux-St-Mariens, 1904, 28 ^m 91. Escot, Oloron-Bedous, 1907-09, A ¹ - 56 ^m , MEV - cim.	Rouzeix, Limoges-Brive, 1875, A ¹ - 19 ^m . Pont sur la Dordogne, Laqueuille-Mont-Dore, 1897, A ¹ - 28 ^m , MOV - ch. Canale (Autriche), Assling-Tricste, 1904-06, A ¹ - 40 ^m , L - cim. Lusserat, St-Jean-d'Angély-Saujon, 1908-10, A ¹ - 45 ^m 70, MOV - cim.	Morlaix-Carhaix, 1893, 2 C - 10 ^m . sur le Doucan, 1893, A - 15 ^m 78. Guingamp-Paimpol, 1896, C - 10 ^m , 16 ^m . Carhaix-Rosporden, 1897, 2 C - 10 ^m . sur le Launay, 1897, C - 10 ^m . Albula, (Suisse) Viaducs en C de 10 ^m , 12 ^m , 30 ^m , (Types).	

PONTES SOUS ROUTE				PONTES OU VIADUCS SOUS CHEMIN DE FER																
				VOIE NORMALE					VOIE ÉTROITE											
C	E	A	A	C	E	A	A	A												
Alma, Paris, 1854-56, E ² . Arches de rive : 38 ^m 50.				Deau, Écosse, 1831, A ¹ - 29 ^m . Passage sup ^r de la Buchellerie, Limoges-Brive, 1875, A ¹ - 28 ^m , B - cim. Cazeneuve, 28 ^m .																
				Oloron, 1881-1882, C ¹ - 40 ^m , MOV - ch. cim.; Rébuzo, 1898-1900, C ¹ - 40 ^m , MEV - cim. Viaducs de : Argenteuil-Mantes, Triel, 1888-90, C ¹ - 9 ^m - ch. Nontron-Sarlal, St-Germain-des-Prés, 1890-92, C ⁹ - 15 ^m - ch. Bourges-Cosne, St-Satur, 1891-93, C ²⁶ - 13 ^m - ch. Mende-La Bastide, Mirandol, 1896, C ⁸ - 6 ^m , MOV. Espalion-Bertholène, 1903-05, MEV - ch.; Le Plô, C ⁷ - 17 ^m ; Le Goudal, C ⁷ - 12 ^m 50. Briey-Hussigny, Thil, 1906, C - 6 ^m 90. St-André-Puget-Théniers, 1905-12 : Le Maouna, C ⁹ - 15 ^m , MEV - ch.; la Donne, C ⁵ - 17 ^m ; la Bette, C ¹ - 34 ^m - ch.; l'Étroit, C ¹ - 15 ^m , MEV; Guillaumasse, C ³ - 15 ^m , MEV - ch. Argenton-La Châtre, La Vauvre, C ¹ - 15 ^m . St-Jean d'Angély-Saujon, La Boutonne, 1906-07, C ³ - 9 ^m ; Pontcouverte, C ⁷ - 9 ^m .					Bergerac-Le Buisson, 1876-79, E ⁷ - 24 - cim; Trémolat; Alles; Limeuil. Marmande-Casteljaloux, Marmande, 1877-81, E ³ - 36 ^m , MOV - ch. Mende-Le Monastier, Rieucros, 1879, E ¹ - 21 ^m 90. Civray-Le Blanc, 1881-86 : Salleron, E ¹ - 14 ^m ; sur l'Anglin, E ³ - 25 ^m . Cahors-Capdenac, 1882-84, St-Martin-Labouval, sur le Lot, E ⁴ - 25 ^m - ch; Massariès, E ³ - 23 ^m 10 - ch. Montauban-Cahors, 1883; Montauban, E ⁸ - 25 ^m , MEV - cim. Tournemire-Le Vigan, Coudoulous, 1895, E ³ - 14 ^m . Castelsarrasin-Beaumont, Belleperche, sur la Garonne, 1895-1900, E ³ - 33 ^m , Br - ch. sur la Big-Muddly, Etals-Unis, 1901-03, E ² - 42 ^m 67, B - cim.					Antoinette, Montauban-Castres, 1883-84, A ¹ - 47 ^m 396 aux retombées de l'arc - MEV - cim.					Calcio, Italie, 1877-78, A ¹ - 42 ^m . Pouch, 1890, A ¹ - 47 ^m 85, MEV - ch. Worochta, Autriche, 1893-94, A ¹ - 40 ^m , MEV - cim. Diveria, Italie, 1901-02, A ¹ - 40 ^m , Br - ch. Boilefos, Norvège, 1908, A ¹ - 40 ^m , PT - cim. Lichtensteig, Suisse, 1910-1912, A ¹ - 42 ^m 82, MEV - cim. Passage inf. Etampes-Pithiviers, A ¹ - 16 ^m 63.	
				Viaducs de : Nantes - Brest, 1860-1867, Auray, C ¹⁰ - 15 ^m ; Guily-Glas, dit aussi de Port-Launay, C ¹² - 22 ^m - MOV. Arvant au Lot, 1866-67, 8 ^m : Veyrière, C ³ ; Saguissoule, C ¹ . Alais-Le Pouzin : sur l'Ardèche, C ¹¹ - 16 ^m 40. Rodes-Millau, 1873-77, MOV : Vezouillac, C ⁷ - 16 ^m - cim; Les Terrals, C ¹⁴ - 12 ^m . Marvejols-Neussargues, Senouard, 1879-82, C ⁸ - 18 ^m - MEV - ch. Queroy-Nontron, Le Bandiat, 1882-83, C ⁸ - 10 ^m - ch. Aurillac-St-Denis, 1883-84 : 12 ^m : la Cère, C ⁷ - ch; l'Auze, C ⁶ . Montauban-Brive, 1882-86, ch. : Lamouroux, C ⁹ - 10 ^m ; Planche-Torte, C ¹⁵ - 10 ^m ; Lignyroux, C ⁸ - 9 ^m 90. Argenteuil-Mantes, 1888-90, ch, C ² : Meulan, 18 ^m 70; Bas Vals, 20 ^m . Bourges-Cosne, 1890-93, 10 ^m : Thauvenay, C ³ ; Ménétréol, C ¹⁸ - ch. Avellino-St. Venere, Italie, P ¹ biais sur le Calore, 1889-93, C ⁸ - 12 ^m - Br - ch. Gênes-Asti, Italie, 1891-92, 12 ^m - Br - ch : P ¹ biais sur la Stura, C ⁸ ; P ¹ sur la Bormida, C ¹⁵ . Carmaux-Rodes, 1892-95, C ⁷ - 10 ^m : Ledas, ch; la Mouline, MEV. Nantes-Châteaulin, Daoulas, C ¹⁵ - 18 ^m . Nontron-Sarlal, 1893-95 : Moulin-Neuf, C ⁹ - 10 ^m - ch; Muratel, C ⁸ - 8 ^m . Tournemire-Le Vigan, Trémouls, 1895, C ³ - 7 ^m . Civray-Le Blanc, 1881-86 : 8 ^m : Les Bourbes, C ⁸ ; chez Dinette, C ⁷ . Argenton-La Châtre, 1896-99, Fromental, C ³ - 10 ^m - ch. Etampes-Pithiviers, 1902-03, Passage inf. sur ch. v ¹ N ^o 5, C ¹ - 16 ^m . Lozanne-Giverny, 1903, Colombier, C ² - 10 ^m - (2 voûtes d'accès) MOV - ch. Guéret-La Châtre, 1901-05, 10 ^m - ch : la Petite Creuse, C ¹⁴ - 10 ^m ; la Creuse, C ¹⁰ - 10 ^m ; Glâne, C ¹² - MOV. Bort-Neussargues, 1903, Salsignac, C ¹⁴ - 10 ^m , MOV - ch. Anduze-St-Jean-du-Gard, 1905-09, 8 ^m , MOV - ch.: St-Michel, C ³ ; Vallat des Doucettes, C ⁶ ; Vallat de Boisse-son, C ³ . Argent-Beaune-la-Rolande, 1902-1903; la Vallée Parrin, C ⁷ - 10 ^m - MEV - ch. Espalion-Bertholène, 1904, Labaume, C ⁸ - 14 ^m MEV - ch. Mateur-Nebour, (Tunisie), 1908, Oued-Beja, C ¹² - 21 ^m . Morex-St-Claude, 1909-11, Valfin, C ⁹ - 10 ^m , MOV - ch. Paris-Chartres, la Remarde, C ⁸ - 10 ^m - MOV - ch. Langogne-Le Puy, 1905-1907, la Bargeasse, C ⁸ - 10 ^m , MOV - ch. Mofitiers-Bourg-Saint-Maurice, 1912, Les Plaines, C ⁴ - 10 ^m (arches d'accès), MOV - ch. St-André-Puget-Théniers, 1912 : La Bette, C ¹ - 10 ^m , ch. Le Gros-Vallon, C ⁸ - 14 ^m ; Fontbousse, C ² - 14 ^m , MEV - ch.					Chalonnès, 1863-65, E ¹⁷ - 30 ^m . Nantes, Nantes-La Roche-sur-Yon, 1863-65, E ⁹ - E ⁷ - 30 ^m . St-Pierre de Gaubert, sur la Garonne, Agen-Tarbes, 1868, E ¹⁷ - 21 ^m 65, ch. Mauzac, sur la Dordogne, Bergerac - Le Buisson, 1877, E ⁷ - 30 ^m , cim. Verdon, 1905-06, E ¹ - 40 ^m , MEV - cim.					Freysinet, 1890-91, A ¹ - 45 ^m , MEV - cim. Svenkerud, Norvège, 1905-07, A ¹ - 44 ^m , PT - cim. Pont sur le Vallat de Boisse-son, Anduze-St-Jean-du-Gard, 1905-09, A ¹ - 25 ^m , MOV - ch. Kruinmenau, Suisse, 1910-1912, A ¹ - 63 ^m 26, L - cim.						
Cornelle, Rouen, 1810-35, A ⁴ - arches centrales, 31 ^m .				Archevêché, Paris, 1828, A ² - arche centrale, 17 ^m 00.					Pont sur la Corrèze, Limoges-Brive, 1875, A ² - 16 ^m .											
				Passage sup ^r d'Éyrisson, Nontron-Sarlal, 1894, A ¹ - 19 ^m 46.					Passage inf ^r de la R ^{te} N ^o 12, Merlaix-Carhaix, 1893, A ¹ - 19 ^m 70. Viaduc sur le Ster Laër, Carhaix-Rosporden, 1897, A - 8 ^m . Viaduc sur l'Aulne, Carhaix-Châteaulin, 1909, C ⁸ - 20 ^m 50. Florac-St-Cécile-d'Andorge, Viaducs de 12 ^m sur le ruisseau de Servières, C ⁴ . sur le Transgardon, C ² . sur les Timbasses, C. sur la Mimente, C ⁸ . Pont sur la Gravona, 1884, A ¹ - 43 ^m 53.											

$$\text{Coefficient } \alpha = \frac{e_0 (\text{épaisseur à la clef})}{[1 + \sqrt{2a} (\text{portée})] \mu (\text{fonction du surbaissement})}$$

α	PONTS SOUS ROUTE					PONTS OU VIADUCS SOUS CHEMIN DE FER				
	C	E	A	A	A	VOIE NORMALE				VOIE ÉTROITE
0.185	Carbonne, sur la Garonne, 1764-80, E ³ - 31 ^m 20. Sault du Rhône, 1827, 34 ^m . Lanne, sur l'Adour, 1876, E ⁷ - 24 ^m , MOV - cim. St-Jean, sur l'Adour, à Saubusse, 1880-82, E ⁷ - 24 ^m , MOV - ch.					Viaducs de : Tours-Bordeaux, 1846-48, la Manse, C ¹³ - 15 ^m . St-Denis-Creil, 1856-58, Comelle, C ¹³ - 19 ^m . Arvant au Lot, 1866-67, Neyrevèze, C ³ - 15 ^m . Limoges-Brive, 1872-75, ch, 20 ^m : Vignols, C ¹⁰ ; La Sagne, C ² ; Le Sarget, C ⁵ . Limoges-Brive, par Uzerche, 1885-90 : Limoges, C ²³ - 15 ^m . Bourg-La Cluse, 1872-75, Cize-Bolozon, sur l'Ain, C ¹¹ - 20 ^m . La Flèche-Sablé, 1875-77, la Sarthe, C ¹¹ - 20 ^m . Rodez-Millau, 1873-77, Aguessac, C ¹⁴ - 11 ^m 4, MOV. Eymoutiers-Meymac, Les Farges, C ¹¹ - 15 ^m - ch. St-Denis-Souillac, 1880-84, ch: les Courtils, C ⁷ - 15 ^m ; Bramefond, C ¹⁴ - 17 ^m . Port-de-Piles-Preuilly, 1882-83, Nambon, C ³ - 20 ^m . Poitiers-Le Blanc, 1881-85, Le Blanc, C ²¹ - 20 ^m , ch. Montauban-Brive, 1883-88, Lamothe, C ¹⁵ - 15 ^m , ch. Vendes-Mauriac, 1888, Labiou, C ¹⁰ - 9 ^m . Argenteuil-Mantes, 1888-90, Maurecourt, C ³ - 11 ^m . Issoudun-St-Florent, 1889-93, St-Florent, C ¹¹ - 30 ^m , MOV - ch. Tournemire-Le Vigan, 1889-96, MEV: Rieusset, C ⁶ - 13 ^m ; Aumessas, C ¹¹ - 15 ^m . Bourges-Cosne, 1891-92, Les Moultonneaux, C ³ - 8 ^m 50. Carmaux-Rodez, 1894-95, Auterne, C ¹ - 15 ^m ; Moulines, arche centrale : 17 ^m , MEV - ch. Nontron-Sarlat, 1894-95, L'Enéa, C ⁷ - 20 ^m , ch. Argenton-La Châtre, 1897-1901, L'Auzon, C ¹⁰ - 20 ^m . Espalion-Bertholène, 1903-1904, MEV - ch, 11 ^m : les Conquettes, C ¹² ; la Loubière, C ⁷ . Briey-Villerupt, 1905, Brabant, C ¹⁰ - 15 ^m . St-Jean-d'Angély-Saujon, 1905-1909, La Thonne, C ⁷ - 11 ^m . Miramas-L'Estaque, 1911-12, La Corbière, C ⁶ - 6 ^m 50, MOV - ch. Paris-Chartres, L'Eure, C ¹ - 20 ^m , C ⁸ - 9 ^m 50, MOV - cim.	Orléans, Orléans-Vierzon, 1843-1846, E ¹³ - 24 ^m 20. Port-de-Piles, Tours-Poitiers, 1846, E ³ - 31 ^m . Barbantane, sur la Durance, 1847-49, E ²¹ - 20 ^m . Port-St-Marie, Condom-Port-St-Marie, E ⁴ - 32 ^m .	Lavaur, 1882-84, A ¹ - 61 ^m 50, MEV - cim. Rothweinbach, Autriche, 1904-06, A ¹ - 41 ^m , MOV - cim.	P ^t biais sur le torrent de Caramagna, Gènes-Asti, (Italie), 1890-91, A ¹ - 18 ^m 10. Condat, Nontron-Sarlat, 1893-95, A ¹ - 15 ^m 15, MOV - ch.	Viaducs : sur l'Issole, Carhaix-Rosporden, 1893, A - 21 ^m 86. sur l'Hyères, Morlaix-Carhaix, 1893, A - 22 ^m 34. Guingamp-Paimpol, 1896, du Trieux, E ² - 24 ^m . Passage inférieur, A ¹ - 12 ^m 12. Solis (Suisse), Albula, 1901-02, C ¹ - 42, MOV - cim. sur l'Oust, Loudéac-Carhaix, 1904, A - 10 ^m . Florac-St-Cécile d'Andorge, sur le Transgardon, C - 20 ^m ; sur le Timbasses, C - 20 ^m . de Triège (Suisse), Chatelard-Martigny, A ¹ - 35 ^m 40.
	Waterloo, Londres, 1817, E ⁹ - 36 ^m 60.					Viaducs de : Nantes-Chateaulin, 1860-62, Hennebont, C ⁶ - 10 ^m , C ⁸ - 22 ^m , ch. Arvant au Lot, 1866-67 : Elbarat, C ⁹ - 10 ^m ; Antérieux, C ³ - 12 ^m ; l'Aiguille, C ¹ - 14 ^m 20, C ¹ - 28 ^m . Rodez-Millau, 1873-77, Aguessac, C ¹ - 18 ^m 50, MEV. Séverac-Marvejols, 1877-79 : St-Laurent-d'Olt, C ¹⁰ - 20 ^m ; ch; le Piou, C ⁶ - 20 ^m , MEV. Marvejols-Neussargues, 1879-82, 20 ^m , ch: Chanteperdrix, C ⁹ - MEV; Merdarie, C ² - MOV. Cahors-Brive, 1881-89, Calamane, C ²⁵ - 9 ^m 96, MOV - ch. Montauban-Brive, 1882, Les Sept-Fonts, C ¹³ - 10 ^m . Tournemire-Le Vigan, 1886-92, Les Cayrelets, C ² - 12 ^m 50, MOV. Vendes-Mauriac, 1888, 10 ^m : Jaleyrac, C ⁷ ; Chabrespine, C ⁷ ; Druilhes, C ⁶ . Argenteuil-Mantes, 1888-90, ch: G ^d Ravin de la Frette, C ⁷ - 10 ^m ; P ^t Ravin de la Frette, C ³ - 7 ^m . Stanislau-Woronienka (Autriche), 1893-94, Worochta, C ¹ - 34 ^m 60, MOV - cim. Mende-Séverac, Tarnesque, C ⁹ - 9 ^m , ch. Bort-Neussargues, 1903-05, Barajol, C ¹² - 20 ^m , MOV. Paris-Chartres, MOV - cim, 14 ^m 15 : Oisème, C ¹⁶ ; l'Eure, C ¹⁹ .	Poitiers-Le Blanc, 1881-84, 24 ^m . Chauvigny, E ³ , St-Savin, E ³ . Hoemard, Nantes-Chateaubriant, 1886, E ³ - 30 ^m - cim. Mantes, Argenteuil-Mantes, 1888-89, E ¹ - 32 ^m et 34 ^m , ch. Mareuil, Cahors-Brive, 1891, E ⁷ - 23 ^m .	Gien-Argent, 1887-92, Passages inférieurs : A ¹ - 27 ^m 08 et 25 ^m 12. Villefranche de Conflent, sur la Tet, Prades-Olette, 1889-91, A ¹ - 39 ^m 35.	Le Brézou, Limoges-Brive, 1887, A ¹ - 29 ^m 20, MOV - cim. sur la Chalouette, Etampes-Pithiviers, A ¹ - 23 ^m 25. Strandeelven, Norvège, 1902-04, A ¹ - 41 ^m , cim. Krenngraben, Autriche, 1904-05, A ¹ - 40 ^m , MOV - cim. Salcano, Autriche, 1904-06, A ¹ - 85 ^m , PT - cim. Langenbrand, Bade, 1907-09, A ¹ - 59 ^m , PT - cim. Grande-Roche, Morce-St-Claude, 1909-11, A ⁷ - 10 ^m , MOV - ch. La Croix, Frasn-Vallorbe, 1912, E ² - 20 ^m , MOV - cim.	sur le canal de Nantes à Brest, Carhaix-Rosporden, 1892, A - 19 ^m . Guingamp-Paimpol, 1896, 7 ^m . P. 532 ^k 421, C. P. 532 ^k 550, C ¹ . Florac-St-Cécile d'Andorge, 25 ^m . Pont sur le Dourdon, C ² . Pont sur l'Andorge, C ¹ . St-Méen-Loudéac, 1904, 10 ^m . Viaducs : sur le Daoulas, C ² ; sur le Poulancré, C ¹ . Bevers-Schuls (Suisse), 1910-12, A ¹ , MAV - cim : Cinuskel, 46 ^m 97. Tuoi, 47 ^m 70.
0.19	St-Romain, sur la Vienne, 1857, C ⁵ - 18 ^m . Route de Saint Romain à Dugé.									
	Pont sur la Meuse, en aval de Mézières, 14 ^m 94. Fouchard, Saumur, 1774-82, A ³ - 26 ^m . Téna, Paris, 1807-14, A ⁵ - 28 ^m . Walnut-Lane, Philadelphie, États-Unis, 1906-08, A ¹ A ¹ - 70 ^m 71, B et grosses pierres - cim.									

$$\text{Coefficient } \alpha = \frac{e_0 (\text{épaisseur à la clef})}{[1 + \sqrt{2a} (\text{portée})] \mu (\text{fonction du surbaissement})}$$

(389)

PONTES SOUS ROUTE						PONTES OU VIADUCS SOUS CHEMIN DE FER					
						VOIE NORMALE					VOIE ÉTROITE
C	E	A	A	A	20 2 ANNÉE	C	E	A	A	A	
Vieille-Brioude, 1824-31, C ¹ - 45 ^m . St-Sauveur, 1860-61, C ¹ - 42 ^m , MOV - cim. Avenue du Connecticut, Washington, 1899-1908, C ³ - 45 ^m 72, B - cim.	Neuilly, 1768-74, E ³ - 39 ^m , PT. Lrouard, sur la Moselle, 1788, 19 ^m 50. C ⁶ , 1846-48, E ¹¹ - 25 ^m . Mantes, 1873-75, E ³ - 40 ^m , 36 ^m 50. Came, sur la Bidouze, 35 ^m .	Abbaretz, Nantes-Chateaubriant, 1875, A ¹ - 22 ^m , B - cim.	Vérone, Italie, 1354, A ³ - 48 ^m 73.	Bains de Lucques, Italie, 1845-77, A ¹ - 47 ^m 85, Br - ch.		Viaducs de : Monluçon-Limoges, 1862-64, 10 ^m : Crevant, C ¹⁰ ; Villatte, C ¹⁰ ; Lavaud-Franche, C ⁹ . Tournemire-Le Vigan, 1886-92 : St-Eulalie, C ⁸ - 15 ^m , MEV; Lapanouse, C ¹¹ - 15 ^m , MEV; le Bassin, C ⁷ - 17 ^m . Limoges-Brive, 1887-91, St-Germain-les-Belles, C ¹¹ - 17 ^m , ch. Largnac-Vendes, 1888, Bassignac, C ¹⁰ - 11 ^m . Argenteuil-Mantes, 1888-90, La Montciant, C ³ - 11 ^m 50, ch. Guéret-La Châtre, 1902-04, Vauvre, C ³ - 8 ^m , ch. St-Jean-d'Angély-Saujon, 1906-07, Chaumet, C ³ - 13 ^m .	Bouchemaine, Tours-Nantes, 1846, E ³ - 24 ^m . Plessis-lez-Tours, Tours-Vendôme, 1855-56, E ¹⁵ - 24 ^m . sur l'Anglin, à Ingrandes, Poitiers-Le Blanc, 1885-87, E ³ - 24 ^m .	Schalchgraben, Autriche, 1904-05, A ¹ - 52 ^m , PT - cim.	Blossac, à Poitiers, A ³ - 14 ^m . P ^t de la Cèze, 16 ^m 20. Schwändelholzobel, Bade, 1899-1900, A ¹ - 57 ^m , PT - cim. Steyrling, Autriche, 1904-05, A ¹ - 70 ^m , PT - cim.	Viaducs : sur le Trieux, Guingamp-Paimpol, 1896, C ¹ - 12 ^m 80.	
Dinan, sur la Rance, 1846-52, C ¹⁰ - 16 ^m .	Poissy, 1848-71-74, E ¹⁰ - 14 ^m 92.			Pontoise, 1772, 29 ^m 26. Cornéille, Rouen, 1810-35, A ⁶ - Arches de rive : 26 ^m .	Eymoutiers-Meymac, Légaud, C ⁹ - 12 ^m , ch. Montauban-Brive, 1881-83, Malminot, C ¹⁵ - 9 ^m . Mauriac, à la ligne d'Aurillac à St-Denis, 1882, Les Agats, C ⁹ - 12 ^m . Aurillac-St-Denis, 1884-85, L'Authre, C ⁵ - 16 ^m . Limoges-Brive, 1887-91, Vigen, C ¹⁰ -16 ^m , MOV - ch. Gènes-Asti, (Italie), 1890-93, 18 ^m 50, Br - ch. : sur les Torrents Chiaravagna, C ¹⁰ ; Cantalupo, C ⁹ ; de Varenna, C ⁹ ; Acquisanta, C ¹¹ . Tournemire-Le Vigan, 1890-95, 18 ^m , ch. : Caillaret, C ⁹ - MEV; Valcrose, C ⁷ - MOV. Carmaux-Rodez, 1894-97, la Gascarie, C ¹² - 20 ^m , MEV - ch. Lozanne-Givors, 1903, 12 ^m , MOV - ch. : Crévy, C ³ ; la Chicotière, C ⁷ ; les Planches, C ⁷ ; les Armières, C ⁸ ; l'Iseron, C ¹³ . Anduze-St-Jean du Gard, 1905-09, MOV - ch. : Mialet, C ¹⁰ - 12 ^m ; la Plaine, sur le Gardon, C ⁷ - 12 ^m ; Vallat d'Amous, C ⁶ - 11 ^m . Morez-St-Claude, 1909-11, le Saillard, C ¹ : arches d'accès, 12 ^m , MOV - ch. Miramas-l'Estaque, 1912-14 : Les Eaux-Salées, C ¹ - 50 ^m , MEV - cim.	Montlouis, Blois-Tours, 1843-46, E ¹² - 24 ^m 75. Cinq-Mars, Tours-Nantes, 1846, E ¹⁵ - 20 ^m .	Palmgraben, Autriche, 1904-05, A ¹ - 49 ^m , MOV - cim. Leymarie, Nontron-Sarlat, 1893, A ¹ - 19 ^m 45, MOV - cim.	Jamna, Autriche, 1893-94, A ¹ - 48 ^m , MAV - cim.	Carhaix-Rosporden, 1893-97, ch. : sur le Kerminot, C - 12 ^m ; sur le Troujoly, C - 4 ^m ; sur le Stergoff, C - 4 ^m ; P ^t : 28 ^m 250, C ³ - 12 ^m . Lons-le-Saulnier-Saint-Claude, 1899, Revigny, C ³ - 12 ^m . Carhaix-Chateaulin, 1907, C ¹ - 12 ^m .		
	Compiègne, 1733, E ³ - 23 ^m 40. Poissy, 1848-71-74, E ¹⁰ - 17 ^m 32.	St-Étienne, Autriche, 1842-46, A ¹ - 43 ^m 60, MOV.		Ste-Maxence, 1774-85, A ³ - 23 ^m 40. Pesmes, sur l'Oignon, 1772, A ¹ - 13 ^m 64.	Paris-Mulhouse, 1855-56, Nogent-sur-Marne : Arches d'accès, C ³⁰ , 15 ^m . Rennes-Brest, 1863-65 : Morlaix, C ¹¹ - 15 ^m 50; le Guédic, C ⁷ - 15 ^m ; le Gouët, C ¹² - 15 ^m . Arvant au Lot, 1866-67, 15 ^m : Lège, C ³ ; le Passadou, C ³ . Cahors-Brive, 1882-88, 15 ^m , ch. : le Boulet, C ²⁸ , MEV; Souillac, C ³⁰ , MOV. Rome-Viterbe, (Italie), 1892-93, Vallée de Ronciglione, C ¹ - 18 ^m . Lozanne-Givors, 1903 : Civrieux, C ³ - 15 ^m . Langogne-Le Puy, 1905-07, Arquejols, C ¹¹ - 15 ^m , MOV - ch. Anduze-St-Jean du Gard, 1905-09, 15 ^m , MOV - ch. : Le Mas du Pont, C ³ ; la Salindrique, C ¹ . Miramas-L'Estaque, 1911-13, 15 ^m , MOV - ch. : Le Jonquier (4 v ^{tes} d'accès); l'Etable (2 v ^{tes} d'accès); Le Grand-Vallat, C ⁸ ; Mauvallon, C ⁶ ; Les Loubatons, C ⁷ ; Les Riaux, C ⁸ ; Mejean, C ⁵ ; L'Aigle, C ⁴ .	sur la Cère, 1884-85, Aurillac-St-Denis, 35 ^m .	Céret, 1883-85, A ¹ - 45 ^m , L - cim.	Gutach, Bade, 1899-1900, A ¹ - 64 ^m , PT - cim. Gour-Noir, Limoges-Brive, 1888-89, A ¹ - 60 ^m , MEV - cim.	Carhaix-Rosporden, 1897, sur le Goaravrec, C ¹ - 7 ^m . Carhaix-Chateaulin, 1909, sur l'Aulne, C ¹ - 6 ^m .		
Albi, sur le Tarn, C ⁸ - 27 ^m 60.	Fium'Alto, Corse, 1862-63, E ¹ - 40 ^m , MOV - ch. Annibal, Italie, 1868-70, E ¹ - 55 ^m , Br et MOV ch - cim. Diable, Italie, 1871-72, E ¹ - 55 ^m , Br et MOV ch - cim.	Bordeaux, 1822, A ¹⁷ - 20 ^m 85 et 26 ^m 49.			Arvant au Lot, 1866-67, La Gouyère, C ³ - 10 ^m . Limoges-Brive, 1873-75 : Pompadour, C ⁸ - 25 ^m , ch; P ^t de la Corrèze, C ³ - 14 ^m . Anduze-St-Jean du Gard, 1905-09, MOV - ch. : St-Michel, C ¹ - 18 ^m ; Vallat d'Amous, C ¹ - 18 ^m . Nérac-Mont-de-Marsan, P ^t sur le Luddon, C ¹ - 22 ^m .	Signac, Montréjeau-Luchon, 1871-72, E ¹ - 40 ^m , PT, MOV cim, ch.					

$$\text{Coefficient } \alpha = \frac{e_0 \text{ (épaisseur à la clef)}}{[1 + \sqrt{2a \text{ (portée)}}] \mu \text{ (fonction du surbaissement)}}$$

α	PONTS SOUS ROUTE						PONTS OU VIADUCS SOUS CHEMIN DE FER					VOIE ÉTROITE
	C	E	A	A	A	ed 2 800x	VOIE NORMALE					
							C	E	A	A		
0.215							Viaducs de : Marvejols-Neussargues, 1879-83, Crueize, C ⁿ - 25 ^m MEV - ch. Quétroy-Nontron, 1882-83, Le Bandiat, C ³ . Arche centrale : 20 ^m 50. Vendes-Mauriac, 1888; Méallet, C ¹ - 15 ^m . Lozanne-Givors, 1903, Le Colombier, Arche cen- trale, 30 ^m , MOV - ch. Briey-Villerupt, 1906, Le Thil, C ⁿ - 25 ^m , MOV. Morez-St-Claude, 1909-11, Le Pain de Sucre, grande arche, 15 ^m , MOV - ch.	Viaduc sur le Vallat de Daudé, Anduze-St- Jean-du- Gard, 1905-09, E ¹ - 22 ^m . MOV - ch.		Chambettil, 1866, 23 ^m 22. Jaremeze, Autriche, 1893-94, A ¹ - 65 ^m , PT - cim.		
0.22		Saumur, 1756-64, E ¹² - 19 ^m 50. Tours, 1765-77, E ¹⁶ - 24 ^m 36.					Arvant au Lot, 3 C ¹ de 20 ^m aux P ¹² 65 ^k 3, 65 ^k 436, 65 ^k 5. Lozanne-Givors, 1903, Arche centrale, 20 ^m ; les Armières, l'Iseron, MOV - ch. Morez-St-Claude, 1909-11 : Morez, C ⁿ - 20 ^m MEV - ch. Miramas-L'Estepaque, 1911-12, 20 ^m , MOV - ch. : Les Aragnols, C ¹ ; la Corbière, C ¹ .		Berdoulet, Ariège, 1860-61, A ¹ - 40 ^m , MOV - cim. Wäldlitobel, Autriche, 1883-84, A ¹ - 41 ^m , MOV - ch. cim.			
0.225	Ornaisons, 1745-52, C ¹ - 42 ^m 90.						Paris-Mulhouse, 1855-56, Nogent-sur-Marne, Grandes arches : C ¹ - 50 ^m , MOV - cim.	Longueville- lez-Metz, 1854, E ¹⁸ - 20 ^m 60.		Maretta, Parabi, Italie, 1851-52, A ¹ - 40 ^m , Br. Lège, 1867, 10 ^m .		
0.23			Nydeck, Suisse, 1840-44, A ¹ - 45 ^m 90, MEV - ch, cim.				La Clayette-Lamure, Le Sornin, 1898-1900, C ¹ - 35 ^m , MOV - ch.					
0.235							La Clayette-Lamure, 1892-95, Mussy, C ¹⁸ - 25 ^m , MOV - ch. Morez-St-Claude, 1909-11, Saillard, Arche centrale 25 ^m , MOV - ch. Miramas-L'Estepaque, 1911-12, l'Etable, Arche centrale : 25 ^m , MOV - ch.					
0.24							Bussière-Galant-St-Yrieix, 1902, Pont sur l'Isle, C ¹ - 20 ^m , MOV - ch. Miramas-L'Estepaque, 1911-12, Le Jonquier, Arche centrale : 30 ^m , MOV - ch. Moultiers-Bourg-St-Maurice, 1912, Les Plaines, Arche centrale : 30 ^m , MOV - ch.					
0.245			Tournon, 1351-1583, A ¹ - 49 ^m 20. Crespano, Italie, 1832-36, A ¹ - 40 ^m , Br.									
0.25												
0.255												
0.26	Collonges, 1869-73, C ¹ - 40 ^m , PT, MOV - ch.											
0.265		Gignac, 1776-1810, E ¹ - 48 ^m 73, PT.										
0.27												
0.275												
0.28												
0.285		Vizille, 1751-66, E ¹ - 41 ^m 08, PT - ch.										
.....												
0.35		Lavaur (Vieux Pt), 1773-91, E ¹ - 48 ^m 72, PT - ch.										

PONTs DÉCRITS DANS LE TOME III

INDEX ALPHABÉTIQUE

PONT	Rivière ou voie traversée	Pays	Symbole dans les séries $\geq 40^m$	Pages	
				Tableau synoptique	Mono- graphie
d'Avignon.....	Rhône	France	$\widehat{A}^n r^{te} (\geq 40^m)^8$	234	270
des Bains de Lucques..	Lugana	Italie	$\widehat{A}^1 r^{te} (\geq 40^m)^4$	10	32
de Bellefield, à Pittsburg	Croix de St-Pierre	États-Unis	$\widehat{A}^1 r^{te} (\geq 40^m)^9$	14	49
de Bellows Falls.....	Connecticut	États-Unis	$\widehat{A}^1 Fr (\geq 40^m)^1$	222	225
de Boberullersdorf....	Bober	Allemagne, - Silésie	»	286	298
de Bollefos.....	Nidelven	Norvège	$\widehat{A}^1 Fr (\geq 40^m)^{23}$	88	159
Boucicaut.....	Saône	France	$\widehat{A}^n r^{te} (\geq 40^m)^2$	230	243
de Cabin-John.....	Cabin-John Creek	États-Unis	$\widehat{A}^1 aq (\geq 40^m)^1$	72	75
de Calcio.....	Oglio	Italie	$\widehat{A}^1 Fr (\geq 40^m)^5$	80	100
de Canale.....	Isonzo	Autriche	$\widehat{A}^n Fr (\geq 40^m)^1$	182	185
de Cassel.....	Fulda	Prusse	»	286	302
de Chemnitz.....	Chemnitz	Saxe	$\widehat{A}^1 Fr (\geq 40^m)^{14}$	84	129
de Grosvenor, à Chester.....	Dee	Angleterre	$\widehat{A}^1 r^{te} (\geq 40^m)^3$	10	29
de Claix.....	Drac	France	$\widehat{A}^1 r^{te} (\geq 40^m)^5$	12	36
sur la Delaware, à Portland	Delaware	États-Unis	»	284	289
du Diable, à Martorell...	Llobregat	Espagne	»	»	313
sur la Diveria.....	Diveria	Italie	$\widehat{A}^1 Fr (\geq 40^m)^{15}$	84	130

PONT	Rivière ou voie traversée	Pays	Symbole dans les séries $\geq 40^m$	Pages	
				Tableau synoptique	Mono- graphie
d' Elsen	Alme	<i>Prusse</i>	»	286	300
d' Elyria	Black River	<i>États-Unis</i>	$\widehat{A}^1 r^{te} (\geq 40^m)^7$	12	46
de Marbre, à Florence	Arno	<i>Italie</i>	»	»	319
Frédéric-Auguste , à Plauen.	Une place	<i>Saxe</i>	$\widehat{A}^1 r^{te} (\geq 40^m)^{10}$	14	52
de Freyssinet	Vézère	<i>France</i>	$\widehat{A}^1 Fr (\geq 40^m)^8$	82	112
du Gour-Noir	Vézère	<i>France</i>	$\widehat{A}^1 Fr (\geq 40^m)^6$	80	103
de Gross-Kunzendorf . .	Freiwaldauer Biele	<i>Allemagne - Silésie</i>	$\widehat{A}^n r^{te} (\geq 40^m)^6$	232	267
de Grosvenor , à Chester, (cité plus haut, sous la lettre C).	Dec	<i>Angleterre</i>	$\widehat{A}^1 r^{te} (\geq 40^m)^3$	10	29
de Guggersbach	Singine	<i>Suisse</i>	$\widehat{A}^1 r^{te} (\geq 40^m)^{11}$	14	59
sur la Gutach	Gutach	<i>G^d D^{ché} de Bade</i>	$\widehat{A}^1 Fr (\geq 40^m)^{12}$	84	122
de Huzenbach	Murg	<i>Wurtemberg</i>	$\widehat{A}^1 r^{te} (\geq 40^m)^3$	192	206
d' Isola del Cantone , (Pont en amont et Pont en aval).	Scrivia	<i>Italie</i>	$\widehat{A}^1 Fr (\geq 40^m)^{3\frac{1}{4}}$	80	98
de Jamna	Pruth	<i>Autriche</i>	$\widehat{A}^1 Fr (\geq 40^m)^{10}$	82	118
de Jaremcze	Pruth	<i>Autriche</i>	$\widehat{A}^1 Fr (\geq 40^m)^9$	82	114
de Justinien	Sangaris	<i>Asie-Mineure</i>	»	»	318

PONT	Rivière ou voie traversée	Pays	Symbole dans les séries $\geq 40^m$	Pages	
				Tableau synoptique	Mono- graphie
de Krappitz	Hotzenplotz	Allemagne, - Silésie	\bar{A}^n r ^{te} ($\geq 40^m$) ⁵	232	265
sur le Krenngraben	Krenngraben	Autriche	\bar{A}^1 Fr ($\geq 40^m$) ¹⁷	86	134
de Krummenau	Thur	Suisse	\bar{A}^1 Fr ($\geq 40^m$) ²⁵	90	164
de Kupferhammer	Freiwaldauer Biele	Allemagne, - Silésie	\bar{A}^1 r ^{te} ($\geq 40^m$) ⁹	196	214
de Langenbrand	Murg	Grand Duché de Bade	\bar{A}^1 Fr ($\geq 40^m$) ²¹	88	152
de Lichtensteig	Thur	Suisse	\bar{A}^1 Fr ($\geq 40^m$) ²⁴	88	161
de Longuich	Moselle	Prusse- Rhénane	\bar{A}^n r ^{te} ($\geq 40^m$) ¹⁰	236	279
de Lusserat	Charente	France	\bar{A}^1 Fr ($\geq 40^m$) ²²	88	155
de Marbre , à Florence (cité plus haut, sous la lettre F)	Arno	Italie	»	»	319
de Marbre , à Pise	»	Italie	»	»	305
de Maretta	Scrivia	Italie	\bar{A}^1 Fr ($\geq 40^m$) ¹	80	93
du Diable, à Martorell (cité plus haut, sous la lettre D)	Llobregat	Espagne	»	»	313
de Mehring	Moselle	Prusse- Rhénane	\bar{A}^n r ^{te} ($\geq 40^m$) ³	230	252
de Michelau	Glatzer Neisse	Allemagne, - Silésie	\bar{A}^1 r ^{te} ($\geq 40^m$) ⁶	194	209
de Modène	Panaro	Italie	»	»	307
de la Monroe Street , à Spo- kane	Spokane	États-Unis	»	284	293
de Montanges	Valserine	France	\bar{A}^1 r ^{te} ($\geq 40^m$) ¹²	16	62
Mosca , à Turin	Dora Riparia	Italie	\bar{A}^1 r ^{te} ($\geq 40^m$) ¹	192	199
de Moulins (Pont de Mansart) ..	Allier	France	»	»	305

PONT	Rivière ou voie traversée	Pays	Symbole dans les séries $\geq 40^m$	Pages	
				Tableau synoptique	Mono- graphie
de Narni	Nera	<i>Italie</i>	»	»	317
de Neuhammer	Queis	<i>Allemagne - Silésie</i>	\bar{A}^1 r ^{te} ($\geq 40^m$) ⁷	194	211
d' Orense	Miño	<i>Espagne</i>	»	»	311
d' Orléans	Loire	<i>France</i>	\bar{A}^n r ^{te} ($\geq 40^m$) ⁴	232	255
dit Pont-y-tu-Pridd	Tafe	<i>Angleterre</i>	\bar{A}^1 r ^{te} ($\geq 40^m$) ²	10	26
de Pouch	Vézère	<i>France</i>	\bar{A}^1 Fr ($\geq 40^m$) ⁷	82	110
de Marbre, à Pise (cité plus haut, sous la lettre M).....		<i>Italie</i>	»	»	305
de Bellefield, à Pittsburg (cité plus haut, sous la lettre B).....	Creux de Saint-Pierre	<i>États-Unis</i>	\bar{A}^1 r ^{te} ($\geq 40^m$) ⁹	14	49
Frédéric-Auguste, à Plauen (cité plus haut, sous la lettre F).....	Uno place	<i>Saxe</i>	\bar{A}^1 r ^{te} ($\geq 40^m$) ¹⁰	14	52
de Prarolo	Scrivia	<i>Italie</i>	\bar{A}^1 Fr ($\geq 40^m$) ²	80	93
de Putney	Tamise	<i>Angleterre</i>	\bar{A}^n r ^{te} ($\geq 40^m$) ¹	230	239
de Saint-Georges	Liri	<i>Italie</i>	»	»	307
de Saint-Martin , à Tolède.	Tage	<i>Espagne</i>	»	»	309
de Salcano	Isonzo	<i>Autriche</i>	\bar{A}^1 Fr ($\geq 40^m$) ¹⁹	86	141
du Saulnier	Gardon de Sainte-Cécile- d'Andorge	<i>France</i>	\bar{A}^1 r ^{te} ($\geq 40^m$) ⁶	12	40
sur le Schwändeholzdobel .	Schwände- holzdobel	<i>Grand-Duché de Bade</i>	\bar{A}^1 Fr ($\geq 40^m$) ¹³	84	126
de Schweich	Moselle	<i>Prusse-Rhénane</i>	\bar{A}^n r ^{te} ($\geq 40^m$) ⁷	234	268

PONT	Rivière ou voie traversée	Pays	Symbole dans les séries $\geq 40^m$	Pages	
				Tableau synoptique	Mono- graphie
de Schwusen	Bartsch	Allemagne, - Silésie	$\bar{A}^1 r^{te} (\geq 40^m)^8$	194	213
de Seythenex	Tamié	France	$\bar{A}^n r^{te} (\geq 40^m)^2$	170	177
de la Monroc Street, à Spokane (cité plus haut, sous la lettre M).....	Spokane	États-Unis	»	284	293
sur la Steyrling	Steyrling	Autriche	$\bar{A}^1 Fr (\geq 40^m)^{18}$	86	137
sur le Strandeelven	Strandeelven	Norvège	$\bar{A}^1 Fr (\geq 40^m)^{16}$	84	132
de Svenkerud	Hallingdalselven	Norvège	$\bar{A}^1 Fr (\geq 40^m)^{20}$	86	150
de Teinach	Nagold	Wurtemberg	$\bar{A}^1 r^{te} (\geq 40^m)^2$	192	203
de Saint-Martin, à Tolède (cité plus haut, sous la lettre S).....	Tage	Espagne	»	»	309
de Trajan	Danube	Hongrie	»	»	317
de Trezzo	Adda	Italie	$\bar{A}^1 r^{te} (\geq 40^m)^1$	10	19
de Trittenheim	Moselle	Prusse- Rhénane	$\bar{A}^n r^{te} (\geq 40^m)^9$	234	276
Mosca, à Turin (cité plus haut, sous la lettre M).....	Dora Riparia	Italie	$\bar{A}^1 r^{te} (\geq 40^m)^1$	192	199
du Vieux-Château , à Vérone	Adige	Italie	$\bar{A}^n r^{te} (\geq 40^m)^1$	170	173
de Villeneuve-d'Agen ..	Lot	France	»	»	315
de Weisenbach	Murg	Grand Duché de Bade	$\bar{A}^1 aq (\geq 40^m)^1$	216	219
de Wengern	Malapane	Allemagne, - Silésie	$\bar{A}^1 r^{te} (\geq 40^m)^4$	192	207
de Wheeling	WheelingCreek	États-Unis	$\bar{A}^1 r^{te} (\geq 40^m)^8$	12	47
de Worochta	Pruth	Autriche	$\bar{A}^1 Fr (\geq 40^m)^{11}$	82	120
de Ziegenhals	Freiwaldauer Biele	Allemagne, - Silésie	$\bar{A}^1 r^{te} (\geq 40^m)^5$	194	208

TABLE DES MATIÈRES

DU TOME III

AVERTISSEMENT.....	Pages I
1. Divisions de l'ouvrage. — 2. Classement des Ponts en séries. — 3. Classement dans chaque série par date d'exécution. — 4. Tableaux synoptiques. — Monographies (p. I). — 5. Suite, dans chaque monographie, de figures, planches, photographies, renvois, sources. — 6. Désignation abrégée des matériaux aux tableaux synoptiques et aux dessins (p. II). — 7. Unités adoptées pour comparer les quantités et dépenses. — A. Cintres. — B. Ouvrage (p. III).	

1^{RE} PARTIE. — VOÛTES INARTICULÉES (Suite)

PRÉLIMINAIRES.....	3
1. Groupement en séries des Ponts à voûtes inarticulées. — 2. Séries par intrados. — Symboles (p. 3). — 3. Ponts à une seule grande arche et Ponts à plusieurs grandes arches. — 4. Séries par voie portée. — 5. Ponts en deux anneaux. — 6. Ponts ayant une voûte ou des voûtes de 40 ^m ou plus de portée. — 7. Exemples : Sens de quelques symboles (p. 4).	

LIVRE I. - DESCRIPTION DES PONTS QUI ONT OU AVAIENT DES VOÛTES INARTICULÉES DE 40^m ET PLUS DE PORTÉE. TABLEAUX SYNOPTIQUES. — MONOGRAPHIES. (Suite)

VOÛTES INARTICULÉES EN ARC ASSEZ SURBAISSÉ \hat{A}

PONTS A UNE SEULE GRANDE ARCHE SOUS ROUTE

SÉRIE \hat{A}^1 1^{re} ($\geq 40^m$)

TABLEAU SYNOPTIQUE.....	10
-------------------------	----

VOÛTES INARTICULÉES EN ARC ASSEZ SURBAISSÉ \widehat{A}

(Suite)

PONTS A UNE SEULE GRANDE ARCHE SOUS ROUTE

SÉRIE $\widehat{A}^1 r^{1e} (\geq 40^m)$ (Suite)

- $\widehat{A}^1 r^{1e} (\geq 40^m)^1$. — Pont sur l'Adda, à Trezzo (ITALIE, — Lombardie) (1370-1377) (Détruit en 1416).....** 19
- Pages.*
- TEXTE.* — 1. Dates. — 2. Le pont était d'une seule arche (p. 19). — 3. Ce qui reste de la culée rive droite (p. 20). — 4. Ce qui reste de la culée rive gauche. — 5. Intrados. — Sources (p. 23).
- DESSINS.* — f_1 . Tête aval. — Culée rive droite : f_2 . Coupe en long, — f_3 . Demi-coupe en travers, — f_4 . Demi-élévation de côté. — f_5 . Coupe du bandeau (p. 22).
- PHOTOGRAPHIES.* — Φ_1 . Vue d'ensemble, aval (p. 20). — Culée rive droite, aval : Φ_2 . Vue de côté, — Φ_3 . Vue de face (p. 21). — Φ_4 . Culée rive gauche, aval (p. 23).
- $\widehat{A}^1 r^{1e} (\geq 40^m)^2$. — Pont dit « Pont-y-tu-Pridd », sur la Tafe, près de Newbridge (ANGLETERRE, — Pays de Galles, — Comté de Glamorgan) (1749-1750).....** 26
- TEXTE.* — 1. Premier pont (1749-1748). — 2. Deuxième pont. — 3. Troisième pont (pont actuel, terminé en 1750) (p. 26). — 4. Auteur. — Source (p. 28).
- DESSINS.* — f_1 . Élévation. — f_2 . Coupe en travers à la clef. — Cintre : f_3 . Élévation, — f_4 . Coupe en travers (p. 27).
- PHOTOGRAPHIE.* — Φ_1 (p. 26).
- $\widehat{A}^1 r^{1e} (\geq 40^m)^3$. — Pont de Grosvenor, sur la Dee, à Chester (ANGLETERRE, — Pays de Galles) (1833-1834).....** 29
- TEXTE.* — 1. Cintre (p. 29). — 2. Construction de la voûte. — 3. Décintrement. — 4. Personnel. — Sources (p. 31).
- DESSINS.* — f_1 . Élévation. — f_2 . Coupe en long. — f_3, f_4 . Coupes en travers : à la clef, aux reins (p. 30). — f_5 . Cintre (p. 29).
- PHOTOGRAPHIE.* — Φ_1 (p. 29).
- $\widehat{A}^1 r^{1e} (\geq 40^m)^4$. — Pont sur le Torrent Fegana, près des Bains-de-Lucques (ITALIE, — Province de Lucques) (1845-1847, 1874-1877).....** 32
- TEXTE.* — 1. Pourquoi on a fait une grande voûte. — 2. Histoire (p. 32). — 3. Couronnement convexe. — 4. Cintre. — 5. Construction de la voûte (p. 33). — 6. Fissures observées. — A. aux naissances (p. 34). — B. à la clef. — 7. Composition de la voûte. — 8. Personnel. — Sources (p. 35).
- DESSINS.* — f_1 . Élévation. — f_2 . Coupe en long et cintre (p. 33).
- PHOTOGRAPHIE.* — Φ_1 (p. 32).

VOÛTES INARTICULÉES EN ARC ASSEZ SURBAISSÉ \widehat{A}

(Suite)

PONTS A UNE SEULE GRANDE ARCHE SOUS ROUTE

SÉRIE $\widehat{A}^1 r^{te} (\geq 40m)$ (Suite)

Pages.

$\widehat{A}^1 r^{te} (\geq 40m)^5$. — Pont sur le Drac, à **Claix** (FRANCE, — Isère) (1873-1874). 36

TEXTE. — 1. Aspect. — 2. Cintre. — A. Appui en rivière (p. 36). — B. Dépenses. — 3. Fondations. — 4. Exécution de la voûte. — 5. Décintrement. — 6. Dépenses (p. 38). — 7. Mouvements dus aux variations de température. — A. Observations faites avant 1879. — B. Observations faites en septembre 1908. — 8. Personnel. — SOURCES (p. 39).

DESSINS. — f_1 . Élévation aval. — f_2 . Coupe en long. — f_3, f_4 . Coupes en travers : aux retombées, aux reins. — f_5 . Coupe horizontale. — Cintre : f_6 . Élévation, — f_7 . Coupe en travers (p. 37).

PHOTOGRAPHIE. — Φ_1 (p. 36).

$\widehat{A}^1 r^{te} (\geq 40m)^6$. — Pont du Saulnier, sur le Gardon de Sainte-Cécile d'Andorge (FRANCE, — Lozère) (1882) (Écroulé en 1912). 40

TEXTE. — 1. Pourquoi on a fait une grande voûte. — 2. Cintre (p. 40). — 3. Fondation de la culée rive gauche. — 4. Exécution de la voûte. — 5. Décintrement. — 6. Mouvements postérieurs au décintrement. — A. Mouvements de la culée rive gauche (p. 41). — B. Déformations de la voûte (p. 42). — C. Déformations des tympans (p. 43). — 7. Chute du pont (28 janvier 1912). — 8. Ingénieur (p. 44). — SOURCES (p. 45).

DESSINS. — f_1 . Élévation aval. — f_2 . Coupe en travers au-dessus d'une culée. — Cintre : f_3 . Élévation, — f_4 . Coupe en travers (p. 40). — État du Pont, décembre 1908 : f_5 . Élévation aval, — f_6 . Élévation amont, — f_7 . Douelle (p. 43).

PHOTOGRAPHIES. — Φ_1 — amont (2 septembre 1908) (p. 42). — Φ_2 — amont (6 février 1912) (p. 44).

$\widehat{A}^1 r^{te} (\geq 40m)^7$. — Pont sur la Black River, à **Elyria** (ÉTATS-UNIS, — Ohio) (1886)..... 46

TEXTE. — 1. Personnel. — SOURCE (p. 46).

PHOTOGRAPHIE. — Φ_1 (p. 46).

$\widehat{A}^1 r^{te} (\geq 40m)^8$. — Pont de la Main Street, sur le Wheeling Creek, à **Wheeling** (ÉTATS-UNIS, — West-Virginia) (1891-1892)..... 47

TEXTE. — 1. Personnel. — SOURCES (p. 48).

DESSINS. — f_1 . Élévation. — f_2 . Coupe en travers. — Cintre : f_3 . Élévation, — f_4 . Coupe en travers (p. 47).

PHOTOGRAPHIE. — Φ_1 (p. 48).

VOÛTES INARTICULÉES EN ARC ASSEZ SURBAISSE \widehat{A}

(Suite)

PONTS A UNE SEULE GRANDE ARCHE SOUS ROUTE

SÉRIE $\widehat{A}^1 r^{10}$ ($\geq 40^m$) (Suite)

	Pages.
$\widehat{A}^1 r^{10}$ ($\geq 40^m$) ⁹ . — Pont de Bellefield , sur le Creux de Saint-Pierre, à Pittsburg (ÉTATS-UNIS, — Pennsylvanie) (1896-1897)..	49
<p>TEXTE. — 1. Matériaux de la voûte (p. 49). — 2. Chape. — 3. Cintre. — 4. Fondations. — 5. Exécution de la grande voûte (p. 50). — 6. Décintrement. — 7. Quantités. — 8. Personnel. — SOURCE (p. 51).</p> <p>DESSINS. — f_1. Élévation. — f_2. Coupe en long. — f_3. Coupe en travers. — f_4. Coupe horizontale (p. 49). — f_5. Cintre (p. 50).</p>	
$\widehat{A}^1 r^{10}$ ($\geq 40^m$) ¹⁰ . — Pont Frédéric-Auguste , sur la vallée de la Syra, à Plauen (ALLEMAGNE, — Saxe, — Voigtland) (1903-1905)	52
<p>TEXTE. — 1. Pourquoi on a fait une grande voûte. — 2. Pourquoi on n'a pas articulé la voûte (p. 52). — 3. Tympan. — 4. Couronnement, Chaussée. — 5. Matériaux. — A. Pierres. — B. Mortier. — 6. Calculs (p. 53). — 7. Cintre (p. 54). — 8. Fondations (p. 55). — 9. Exécution de la grande voûte. — 10. Décintrement. — 11. Durée de la construction (p. 56). — 12. Mouvements de la clef depuis le décintrement (p. 57). — 13. Dépenses. — 14. Personnel. — SOURCES (p. 58).</p> <p>DESSINS. — 1^{re} Hors-TEXTE. — Pl₁ (p. 52^{bis}). — f_1. Élévation. — f_2. Coupe horizontale. — f_3. Coupe en long. — f_4. Coupe en travers.</p> <p>2^{de} DANS LE TEXTE. — Cintre : f_5. Élévation, — f_6. Coupe en travers (p. 55). — f_7. Mouvements de la clef depuis le décintrement (p. 57).</p> <p>PHOTOGRAPHIES. — Φ_1. Ensemble (p. 52). — Φ_2. Cintre (p. 54).</p>	
$\widehat{A}^1 r^{10}$ ($\geq 40^m$) ¹¹ . — Pont sur la Singine , près de Guggersbach (SUISSE, — Berne) (1906).....	59
<p>TEXTE. — 1. Matériaux. — 2. Joints de dilatation. Chape. — 3. Efforts dans le béton armé (p. 59). — 4. Cintre. — 5. Exécution de la voûte. — A. 1^{er} rouleau. — B. 2^{me} rouleau. — 6. Dates. — 7. Personnel. — SOURCES (p. 61).</p> <p>DESSINS. — f_1. Élévation. — f_2. Coupe en long. — f_3. Demi-coupe en travers : à la clef, aux reins. — f_4. Nervure du hourdis. Coupe en long. — Cintre : f_5. Élévation, — f_6. Coupe en travers.</p> <p>PHOTOGRAPHIE. — Φ_1 (p. 59).</p>	

VOÛTES INARTICULÉES EN ARC ASSEZ SURBAISSÉ \widehat{A}

(Suite)

PONTS A UNE SEULE GRANDE ARCHE SOUS ROUTE

SÉRIE $\widehat{A}^1 r^{te} (\geq 40^m)$ (Suite)

Pages.

$\widehat{A}^1 r^{te} (\geq 40^m)$ 12. — Pont sur la Valserine, au Moulin des Pierres, près de Montanges (FRANCE, - Ain) (1908-1910)	62
--	----

TEXTE. — 1. Dispositions d'ensemble. — 2. Chape (p. 62). — 3. Cintre. — A. Dispositions d'ensemble (p. 64). — B. Calcul. — C. Appareils de décintrement. — D. Mise en place. — 4. Mouvements du cintre avant la construction de la voûte (p. 66). — 5. Exécution de la grande voûte : A. Division en rouleaux. — B. 1^{er} rouleau. — C. Clarages (p. 67). — 6. Mouvements du cintre pendant la construction de la voûte. — A. 1^{er} rouleau. — B. 2^{me} rouleau. — 7. Décintrement (p. 68). — 8. Dates. — 9. Quantités et dépenses (p. 69). — 10. Personnel. — SOURCES (p. 70).

DESSINS. — f_1 . Élévation aval (p. 63). — f_2 . Demi-coupe en long. — f_3 . Coupe en travers à la clef (p. 64). — Cintre : f_4 . Élévation, — f_5 . Coupe en travers (p. 65). — f_6 . Assemblage de deux pièces d'un montant ; — Contreventement horizontal d'une pile : f_7 . Ensemble, — f_8 . Détail (p. 64) ; — Appareil de décintrement : f_9 . Vue de face, — f_{10} . Vue de côté (p. 66). — f_{11} , f_{12} . Étais et câbles soutenant les tronçons des reins pendant le clavage (p. 67). — f_{13} . Mouvements du cintre pendant la construction de la voûte. Coupe en travers du cintre avant le clavage du 1^{er} rouleau (p. 68).

PHOTOGRAPHIES. — Φ_1 . Ensemble (p. 62). — Φ_2 . Construction du 1^{er} rouleau (p. 67).

PONTS A UNE SEULE GRANDE ARCHE SOUS CONDUITE D'EAU (AQUEDUCS)

SÉRIE $\widehat{A}^1 aq (\geq 40^m)$

TABLEAU SYNOPTIQUE.....	72
MONOGRAPHIES :	

$\widehat{A}^1 aq (\geq 40^m)$ 1. — Pont de Cabin-John, sur le Cabin-John Creek, près de Washington (ÉTATS-UNIS) (1857-1864).....	75
---	----

TEXTE. — 1. Conduite d'eau sur l'ouvrage (p. 75). — 2. Voûte en deux rouleaux indépendants. — 3. Fondations. — 4. Décintrement. — 5. Ingénieur. — SOURCES (p. 77).

DESSINS. — f_1 . Élévation (p. 76). — f_2 . Coupe en long. — f_3 . Coupe en travers à la clef (p. 77). — f_4 . Cintre (p. 76).

PHOTOGRAPHIE. — Φ_1 (p. 75).

VOÛTES INARTICULÉES EN ARC ASSEZ SURBAISSÉ \widehat{A}

(Suite)

PONTES A UNE SEULE GRANDE ARCHE
SOUS CHEMIN DE FER A VOIE NORMALESÉRIE \widehat{A}^1 $F^r (\geq 40^m)$

TABLEAU SYNOPTIQUE.....	Pages. 80
MONOGRAPHIES :	
\widehat{A}^1 $F^r (\geq 40^m)$ 1 et 2. — Ponts sur la Scrivia, près de Maretta et de Prarolo (ITALIE, — Province de Gênes) (1851-1852).....	93
<p>TEXTE. — 1. Pourquoi on a fait une grande arche. — 2. Disposition en vue : <i>A. du biais de 50° ; — B. de la courbe de 400^m ; — C. de la pente de 8^{mm}</i> (p. 95). — 3. Matériaux. — 4. Cintre (p. 96). — 5. Fondations. — 6. Dates. Tassements. — 7. Personnel. — Sources (p. 97).</p> <p>DESSINS. — f_1. Élévation. — f_2. Plan (p. 94). — f_3. Coupe en long. — Cintre : f_4. Élévation, — f_5. Coupe en travers (p. 96).</p> <p>PHOTOGRAPHIES. — Φ_1. Pont de Maretta (p. 93). — Φ_2. Pont de Prarolo (p. 95).</p>	
\widehat{A}^1 $F^r (\geq 40^m)$ 3 et 4. — Ponts sur la Scrivia, près d' Isola del Cantone (ITALIE, — Province de Gênes) (1852).....	98
<p>TEXTE. — (p. 98). — Sources (p. 99).</p> <p>PHOTOGRAPHIES. — Φ_1. Pont en amont d'Isola del Cantone (p. 98). — Φ_2. Pont en aval (p. 99).</p>	
\widehat{A}^1 $F^r (\geq 40^m)$ 5. — Pont sur l'Oglio, près de Calcio (ITALIE, — Lombardie) (1877-1878).....	100
<p>TEXTE. — 1. Choix de l'ouverture. — 2. Matériaux (p. 100). — 3. Construction de la grande voûte. — 4. Personnel. — Sources (p. 102).</p> <p>DESSINS. — f_1. Ensemble. — f_2. Grande voûte. — f_3. Coupe en long et cintre. — f_4. Coupe en travers sur l'axe d'un pilastre. — f_5. Imposte. — f_6. Couronnement (p. 101).</p> <p>PHOTOGRAPHIE. — Φ_1 (p. 100).</p>	
\widehat{A}^1 $F^r (\geq 40^m)$ 6. — Pont sur la Vézère, au Gour-Noir (FRANCE, — Corrèze) (1888-1889).....	103
<p>TEXTE. — 1. Pourquoi on a fait une grande voûte. — 2. Bandeau et archivolt. — 3. Pilastres des culées (p. 103). — 4. Joints vus d'extrados. — 5. Cintre. — <i>A. Description</i> (p. 105). — <i>B. Quantités et Dépenses</i>. — 6. Exécution de la grande voûte. — <i>A. Division en rouleaux et tronçons</i>. — <i>B. 1^{er} rouleau</i> (p. 106). — <i>C. Renseignements sur l'exécution de la grande voûte</i> (p. 107). — 7. Mouvements de la voûte dus aux variations de température (p. 108). — 8. Personnel. — Sources (p. 109).</p> <p>DESSINS. — f_1. Élévation. — f_2. Coupe en long. — Élévation du cintre. — f_3. Coupe en travers du cintre (p. 104). — Exécution de la grande voûte. — Coupes en long : f_4. Construction du 1^{er} rouleau (p. 106). — f_5. Voûte achevée (p. 107). — f_6. Mouve- ments de la clef dus aux variations de température. — f_7, f_8, f_9, f_{10}. Fissures dans les dernières voûtes d'évidement et au-dessus (p. 108).</p> <p>PHOTOGRAPHIES. — Φ_1 — amont (p. 103). — Φ_2. Cintre (p. 105).</p>	

VOÛTES INARTICULÉES EN ARC ASSEZ SURBAISSÉ \widehat{A}

(Suite)

PONT A UNE SEULE GRANDE ARCHE SOUS CHEMIN DE FER A VOIE NORMALE

SÉRIE $\widehat{A}^1 F^r (\geq 40^m)$ (Suite)

	Pages.
$\widehat{A}^1 F^r (\geq 40^m)^7$. — Pont sur la Vézère, à Pouch (FRANCE, — Corrèze) (1890).....	110
<p>TEXTE. — 1. Pourquoi on a fait une grande voûte. — 2. Cintre. — 3. Construction de la voûte (p. 110). — 4. Personnel. — SOURCES (p. 111).</p> <p>DESSINS. — f_1. Élévation. — f_2. Culée. — f_3. Couronnement. — f_4. Cintre (p. 111).</p> <p>PHOTOGRAPHIE. — Φ_1 (p. 110).</p>	
$\widehat{A}^1 F^r (\geq 40^m)^8$. — Pont sur la Vézère, à Freyssinet (FRANCE, — Corrèze) (1890-1891).....	112
<p>TEXTE. — 1. Pourquoi on a fait une grande voûte. — 2. Appareil. Couronnement. — 3. Cintre (p. 112). — 4. Personnel. — SOURCES (p. 113).</p> <p>DESSIN. — f_1. Élévation (p. 113).</p> <p>PHOTOGRAPHIE. — Φ_1 (p. 112).</p>	
$\widehat{A}^1 F^r (\geq 40^m)^9$. — Pont sur le Pruth, à Jaremcze (AUTRICHE, — Galicie) (1893-1894).....	114
<p>TEXTE. — 1. Pourquoi on a adopté une grande voûte. — 2. Aspect. — 3. Chape (p. 114). — 4. Cintre. — 5. Exécution de la grande voûte. — 6. Avantages du maillage. — 7. Main-d'œuvre et fournitures pour la grande voûte. — 8. Dates (p. 116). — 9. Épreuves. — 10. Grandes voûtes imitées de celle de Jaremcze. — 11. Personnel. — SOURCES (p. 117).</p> <p>DESSINS. — f_1. Ensemble. — f_2. Grande voûte (p. 115). — Cintre : f_3. Élévation, — f_4. Coupe en travers (p. 116).</p> <p>PHOTOGRAPHIE. — Φ_1 (p. 114).</p>	
$\widehat{A}^1 F^r (\geq 40^m)^{10}$. — Pont sur le Pruth, à Jamna (AUTRICHE, — Galicie) (1893-1894).....	118
<p>TEXTE. — 1. Quelques observations. — 2. Exécution de la grande voûte (p. 118). — 3. Dates. — 4. Personnel. — SOURCES (p. 119).</p> <p>DESSINS. — f_1. Ensemble. — f_2. Grande voûte. — f_3. Cintre (p. 119).</p> <p>PHOTOGRAPHIE. — Φ_1 (p. 118).</p>	
$\widehat{A}^1 F^r (\geq 40^m)^{11}$. — Pont sur le Pruth, près de Worochta (AUTRICHE, — Galicie) (1893-1894).....	120
<p>TEXTE. — 1. Quelques observations (p. 120). — 2. Personnel. — SOURCES (p. 121).</p> <p>DESSINS. — f_1. Ensemble. — f_2. Grande voûte (p. 121).</p> <p>PHOTOGRAPHIE. — Φ_1 (p. 120).</p>	

VOÛTES INARTICULÉES EN ARC ASSEZ SURBAISSÉ \widehat{A}

(Suite)

PONTS A UNE SEULE GRANDE ARCHE
SOUS CHEMIN DE FER A VOIE NORMALESÉRIE \widehat{A}^1 I^r ($\geq 40^m$) (Suite)

	Pages.
\widehat{A}^1 I^r ($\geq 40^m$) 12. — Pont sur la Gutach (ALLEMAGNE, — Bade) (1899-1900)...	122
<i>TEXTE.</i> — 1. Pieds-droits de la grande voûte. — 2. Joints de dilatation. — 3. Chape (p. 122). — 4. Plinthe. — 5. Cintre. — 6. Exécution de la grande voûte (p. 124). — 7. Tassements moyens à la clef. — SOURCES (p. 125).	
<i>DESSINS.</i> — f_1 . Ensemble. — f_2 . Grande voûte. — f_3 . Plan par-dessus. — f_4 . Plan sous la plinthe. — f_5 . Coupe en travers à la clef (p. 123). — Cintre : f_6 . Élévation, — f_7 . Plan des piles (p. 124).	
<i>PHOTOGRAPHIE.</i> — Φ_1 — aval (p. 122).	
\widehat{A}^1 I^r ($\geq 40^m$) 13. — Pont sur le Schwändeholzdobel (ALLEMAGNE, — Bade) (1899-1900).....	126
<i>TEXTE.</i> — 1. Pieds-droits de la grande voûte. — 2. Joints de dilatation. — 3. Plinthe (p. 126). — 4. Cintre. — 5. Exécution de la grande voûte. — 6. Dates. — 7. Tassements moyens à la clef. — SOURCES (p. 128).	
<i>DESSINS.</i> — f_1 . Élévation. — f_2 . Coupe en travers à la clef. — f_3 . Plan sous la plinthe. — f_4 . Cintre (p. 127).	
<i>PHOTOGRAPHIE.</i> — Φ_1 (p. 126).	
\widehat{A}^1 I^r ($\geq 40^m$) 14. — Pont sur la Chemnitz (ALLEMAGNE, — Saxe) (1901-1902). 129	
<i>TEXTE.</i> — 1. Dispositions à signaler. — 2. Personnel. — SOURCES (p. 129).	
<i>DESSINS.</i> — f_1 . Ensemble. — f_2 . Grande voûte. — f_3 . Coupe en travers à la clef (p. 129).	
<i>PHOTOGRAPHIE.</i> — Φ_1 (p. 129).	
\widehat{A}^1 I^r ($\geq 40^m$) 15. — Pont sur la Diveria (ITALIE, — Province de l'Ossola) (1902).....	130
<i>TEXTE.</i> — 1. Quelques observations. — 2. Cintre. — 3. Dates (p. 130). — 4. Personnel. — SOURCES (p. 131).	
<i>DESSINS.</i> — f_1 . Élévation. — f_2 . Coupe en long. — Cintre : f_3 . Élévation, — f_4 . Coupe en travers (p. 131).	
<i>PHOTOGRAPHIE.</i> — Φ_1 (p. 130).	
\widehat{A}^1 I^r ($\geq 40^m$) 16. — Pont sur le Strandeelven , près de Voss (NORVÈGE) (1902-1904).....	132
<i>TEXTE.</i> — 1. Dates. — 2. Personnel (p. 132). — SOURCE (p. 133).	
<i>DESSINS.</i> — f_1 . Élévation. — f_2 . Coupe en travers. — Cintre : f_3 . Élévation, — f_4 . Coupe en travers (p. 132).	
<i>PHOTOGRAPHIE.</i> — Φ_1 (p. 133).	

VOÛTES INARTICULÉES EN ARC ASSEZ SURBAISSÉ \hat{A}

(Suite)

PONTS A UNE SEULE GRANDE ARCHE
SOUS CHEMIN DE FER A VOIE NORMALESÉRIE \hat{A}^1 Fr ($\geq 40^m$)

- \hat{A}^1 Fr ($\geq 40^m$)¹⁷. — Pont sur le **Krenngraben**, près de Dirnbach (Haute-AUTRICHE) (1904-1905) 134
- TEXTE*. — 1. Dispositions en vue de la courbe du tracé (p. 134). — 2. Viaduc d'évidement. — 3. Aspect (p. 135). — 4. Cintre. — 5. Dates. — 6. Personnel. — *SOURCES* (p. 136).
- DESSINS*. — f_1 . Élévation. — f_2 . Coupe en long. — f_3 . Coupe en travers. — Culée : f_4 . Coupe horizontale, — f_5 , f_6 . Dalle en béton armé (p. 135). — f_7 , f_8 . Corbeaux au-dessus des retombées (p. 134). — Cintre : f_{10} . Élévation. — f_{11} . Coupe en travers (p. 136).
- PHOTOGRAPHIE*. — Φ_1 (p. 134).
- \hat{A}^1 Fr ($\geq 40^m$)¹⁸. — Pont sur la **Steyrling** (Haute-AUTRICHE) (1904-1905).. 137
- TEXTE*. — 1. Tympan. — 2. Cartouche de clef (p. 137). — 3. Dates. — 4. Personnel. — *SOURCES* (p. 140).
- DESSINS*. — f_1 . Élévation (p. 138). — f_2 . Coupe en long (p. 139). — f_3 . Coupe en travers. — f_4 . Coupe horizontale d'une culée (p. 138). — Cintre : f_5 . Élévation, f_6 . Coupe en travers (p. 139).
- PHOTOGRAPHIES*. — Φ_1 . Vue de face (p. 137). — Φ_2 . Vue de côté (p. 140).
- \hat{A}^1 Fr ($\geq 40^m$)¹⁹. — Pont sur l'Isonzo, près de **Salcano** (AUTRICHE, — Küstenland) (1904-1906)..... 141
- TEXTE*. — 1. Pourquoi on a fait un pont en maçonnerie. — 2. Pourquoi on a fait une voûte de 85^m. — 3. Aspect (p. 141). — 4. Chape. — 5. Joints de dilatation. — 6. Matériaux. — A. Grande voûte (p. 143). — B. Autres parties de l'ouvrage. — 7. Cintre (p. 144). — 8. Fondations. — 9. Exécution de la grande voûte. — A. 1^{er} rouleau (p. 145). — B. 2^e rouleau. — C. 3^e rouleau. — 10. Décintrement (p. 146). — 11. Tassements du cintre pendant la construction de la voûte. — 12. Mouvements de la voûte au décintrement (p. 147). — 13. Mouvements de la clef dus aux variations de température. — 14. Dates. — 15. Quantités et Dépenses. — A. Quantités et prix d'unité (p. 148). — B. Prix totaux. — 16. Personnel. — *SOURCES* (p. 149).
- DESSINS*. — f_1 . Ensemble, aval. — f_2 . Grande voûte (p. 142). — f_3 . Coupe en long, côté rive gauche. — f_4 . Coupe en travers du pilastre rive droite (p. 143). — Cintre : f_5 . Élévation, — f_6 . Coupe en travers (p. 144). — Exécution de la grande voûte : f_7 . Rouleaux, tronçons, clavages, coupe en long, — f_8 . Coins et liteaux maintenant les joints secs. — f_9 . Billots de décintrement Zuffèr (p. 146). — Tassements du cintre pendant la construction de la voûte : f_{10} . 1^{er} rouleau posé, — f_{11} . Les deux premiers rouleaux clavés, — f_{12} . Aussitôt avant le décintrement, — f_{13} . Schéma du cintre. — f_{14} . Axe de la voûte avant et après décintrement (p. 147).
- PHOTOGRAPHIES*. — Φ_1 (p. 141). — Φ_2 . Cintre (p. 145).

VOÛTES INARTICULÉES EN ARC ASSEZ SURBAISSÉ \widehat{A}

(Suite)

PONTS A UNE SEULE GRANDE ARCHE
SOUS CHEMIN DE FER A VOIE NORMALESÉRIE \widehat{A}^1 Fr ($\geq 40^m$) (Suite)

	Pages.
\widehat{A}^1 Fr ($\geq 40^m$) ²⁰ . — Pont sur le Hallingdalselven, à Svenkerud (NORVÈGE) (1905-1907).....	150
<i>TEXTE.</i> — 1. Dates. — 2. Personnel (p. 150). — <i>SOURCES</i> (p. 151).	
<i>DESSINS.</i> — f_1 . Élévation. — f_2 . Coupe en long. — f_3 . Coupe en travers. — f_4 . Chape (p. 150). — Cintre : f_5 . Élévation, — f_6 . Coupe en travers, — f_7 . Retombées (p. 151).	
<i>PHOTOGRAPHIE.</i> — Φ_1 (p. 151).	
\widehat{A}^1 Fr ($\geq 40^m$) ²¹ . — Pont sur la Murg, près de Langenbrand (ALLEMAGNE, — Bade) (1907-1909).....	152
<i>TEXTE.</i> — 1. Dates (p. 152). — 2. Personnel. — <i>SOURCES</i> (p. 154).	
<i>DESSINS.</i> — f_1 . Ensemble (p. 152). — f_2 . Grande voûte (p. 153). — f_3 . Coupe en long. — f_4 . Coupe en travers. — f_5 . Plinthe (p. 154). — Cintre : f_6 . Élévation, — f_7 . Coupe en travers (p. 153).	
<i>PHOTOGRAPHIE.</i> — Φ_1 (p. 152).	
\widehat{A}^1 Fr ($\geq 40^m$) ²² . — Pont sur la Charente, près de Lusserat (FRANCE, — Charente-Inférieure) (1908-1910).....	155
<i>TEXTE.</i> — 1. Pourquoi on a fait une grande voûte. — 2. Appareil. — <i>A. Bandeau.</i> — <i>B. Culées.</i> — 3. Fondation à l'air comprimé de la culée rive droite (p. 155). — 4. Exécution de la grande voûte. — <i>A. Division en rouleaux.</i> — <i>B. 1^{er} rouleau</i> (p. 157). — 5. Mouvements au décintrement mesurés avec 8 appareils Manet-Rabut à tige de 1 ^m . — 6. Mouvements dus à la température. — 7. Dates. — 8. Personnel. — <i>SOURCES</i> (p. 158).	
<i>DESSINS.</i> — f_1 . Élévation. — f_2 . Demi-coupe en long, côté rive droite. — f_3 . Culée rive gauche. Coupe en long. — f_4 . Coupe en travers à la clef. — Cintre : f_5 . Élévation, — f_6 . Coupe en travers (p. 156). — f_7 . Division de la voûte en rouleaux et tronçons. — f_8 . Joints secs (p. 157). — f_9 . Mouvements au décintrement (p. 158).	
<i>PHOTOGRAPHIES.</i> — Φ_1 (p. 155). — Φ_2 . Cintre (p. 157).	
\widehat{A}^1 Fr ($\geq 40^m$) ²³ . — Pont sur le Nidelven, à Boilefos (NORVÈGE) (1908-19..).	159
<i>TEXTE.</i> — 1. Personnel (p. 159). — <i>SOURCES</i> (p. 160).	
<i>DESSINS.</i> — f_1 . Élévation. — f_2 . Coupe en long. — f_3 . Coupe en travers à la clef. — Cintre : f_4 . Élévation, — f_5 , f_6 . Coupes en travers : à la clef, aux reins (p. 159).	
<i>PHOTOGRAPHIE.</i> — Φ_1 (p. 160).	

VOÛTES INARTICULÉES EN ARC ASSEZ SURBAISSÉ \widehat{A}

(Suite)

PONTS A UNE SEULE GRANDE ARCHE SOUS CHEMIN DE FER A VOIE NORMALE

SÉRIE \widehat{A}^1 Fr $\geq 40^m$ (Suite)

Pages.

- \widehat{A}^1 Fr $\geq 40^m$ 24. — Pont sur la Thur, à **Lichtensteig** (SUISSE, — Saint-Gall) (1907-1909)..... 161

TEXTE. — 1. Efforts dans la voûte (*Méthode Ritter*). — 2. Cintre. — A. *Efforts* (p. 161). — B. *Surhaussement de 80^{mm}*. — 3. Dates. — 4. Personnel. — SOURCES (p. 163).
DESSINS. — f_1 . Élévation. — f_2 . Coupe en travers aux reins. — f_3 . Exécution de la voûte. — 1^{er} et 2^e rouleaux. — Cintre : f_4 . Élévation, — f_5 . Coupe en travers, — f_6 , f_7 . Biltots de décintrement (p. 162).
PHOTOGRAPHIE. — Φ_1 (p. 161).

- \widehat{A}^1 Fr $\geq 40^m$ 25. — Pont sur la Thur, à **Krummenau** (SUISSE, — Saint-Gall) (1910-1911)..... 164

TEXTE. — 1. Efforts dans la voûte (p. 164). — 2. Cintre. — A. *Efforts*. — B. *Surhaussement de 130^{mm}*. — C. *Prix de revient*. — D. *Salaires* (p. 166). — 3. Exécution de la voûte. — 4. Dates. — 5. Tassement des fermes de rive. — 6. Tassement des bandeaux (p. 167). — 7. Personnel. — SOURCES (p. 168).
DESSINS. — f_1 . Élévation. — f_2 . Coupe en travers à la clef. — f_3 . Couronnement. — f_4 . Division de la voûte en rouleaux et tronçons. — Cintre : f_5 . Élévation, — f_6 . Coupe en travers (p. 165).
PHOTOGRAPHIE. — Φ_1 (p. 164).

PONTS A PLUSIEURS GRANDES ARCHES SOUS ROUTE

SÉRIE \widehat{A}^n r^{te} $\geq 40^m$

TABLEAU SYNOPTIQUE..... 170
MONOGRAPHIES :

- \widehat{A}^n r^{te} $\geq 40^m$ 1. — Pont du **Vieux-Château** (*Castelveccchio*), sur l'Adige, à Vérone (ITALIE) (1354-1356)..... 173

TEXTE. — 1. Grande arche. Courbe en plan (p. 174). — 2. Matériaux. — A. *Pile*. — B. *Bandeaux*. — C. *Douelle* (p. 175). — D. *Dimensions des briques*. — 3. Dates. — 4. Ingénieurs. — SOURCES (p. 176).
DESSINS. — f_1 . Ensemble, amont. — Grande arche : f_2 . Élévation, amont (p. 173), — f_3 . Plan du dessus, — f_4 . Coupe en travers au sommet (p. 174).
PHOTOGRAPHIES. — Φ_1 . — amont (p. 174). — Φ_2 . — amont (p. 175).

- \widehat{A}^n r^{te} $\geq 40^m$ 2. — Pont sur le ruisseau de Tamié, près de **Seythenex** (FRANCE, — Haute-Savoie) (1908-1914)..... 177

TEXTE. — 1. Pourquoi deux grandes arches? — 2. Arches d'accès en deux anneaux (p. 177). — 3. Matériaux. — 4. Pile et culées. — 5. Joints de dilatation (p. 178). — 6. Fondation de la culée rive gauche. — 7. Cintres (p. 179). — 8. Décintrement. — 9. Dates. — 10. Quantités et Dépenses. — 11. Personnel. — SOURCES (p. 180).
DESSINS. — f_1 . Ensemble, aval. — f_2 . Plan par-dessus. — f_3 . Plan des voûtes nues. — f_4 . Grande voûte rive droite (p. 177). — f_5 . Coupe en long. — Coupes en travers : f_6 . au-dessus de la pile, — f_7 . aux reins des voûtes d'accès. — Pile : f_8 . Coupe en long, — f_9 . Coupe horizontale. — Culée rive gauche : f_{10} . Coupe en long, — f_{11} . Coupe horizontale (p. 178). — Cintre de l'arche rive droite : f_{12} . Élévation, — f_{13} , f_{14} . Coupes en travers. — Cintre de l'arche rive gauche : f_{15} . Élévation (p. 179).
PHOTOGRAPHIE. — Φ_1 (p. 179).

VOÛTES INARTICULÉES EN ARC ASSEZ SURBAISSÉ \widehat{A}

(Suite)

PONTES A PLUSIEURS GRANDES ARCHES
SOUS CHEMIN DE FER A VOIE NORMALESÉRIE $\widehat{A}^n F^r (\geq 40^m)$

Pages.

TABLEAU SYNOPTIQUE..... 182

MONOGRAPHIES :

 $\widehat{A}^n F^r (\geq 40^m)^1$. — Pont sur l'Isonzo, près de Canale (AUTRICHE, — Küstenland) (1904-1906)..... 185

TEXTE. — 1. Piles biaises (p. 185). — 2. Aspect. — 3. Matériaux. — 4. Exécution des grandes voûtes. — 5. Dates (p. 186). — 6. Personnel. — SOURCES (p. 187).

DESSINS. — f_1 . Ensemble, amont. — Arche en rivière : f_2 . Élévation, — f_3 . Plan (p. 185).PHOTOGRAPHIES. — Φ_1 . Les 3 arches de 40^m (p. 186). — Φ_2 . Cintres (p. 187).VOÛTES INARTICULÉES EN ARC TRÈS SURBAISSÉ \widehat{A}

PONTES A UNE SEULE GRANDE ARCHE SOUS ROUTE

SÉRIE $\widehat{A}^1 r^{1e} (\geq 40^m)$

TABLEAU SYNOPTIQUE..... 192

MONOGRAPHIES :

 $\widehat{A}^1 r^{1e} (\geq 40^m)^1$. — Pont Mosca, sur la Dora Riparia, à Turin (ITALIE) (1834)..... 199

TEXTE. — 1. Le Pont Mosca est imité du « Pont d'une arche de 150 pieds d'ouverture, projeté (par Perronet) pour être construit sur chacun des deux bras de la Seine à Melun » (p. 199). — 2. Cintre (p. 200). — 3. Fondations. — 4. Exécution de la voûte. — 5. Décintrement. — 6. Durée d'exécution (p. 201). — 7. Dépense. — 8. Ingénieur. — SOURCES (p. 202).

DESSINS. — f_1 . Élévation. — f_2 . Plan d'un terre-plein. — f_3 . Cintre (p. 200). — f_4 . Comment varie l'épaisseur des joints (p. 201).PHOTOGRAPHIE. — Φ_1 (p. 199). $\widehat{A}^1 r^{1e} (\geq 40^m)^2$. — Pont sur la Nagold, à Teinach (ALLEMAGNE, — Wurtemberg) (1882)..... 203

TEXTE. — 1. Grande voûte. — 2. Chaussée. Trottoirs (p. 203). — 3. Chape. — 4. Cintre. — 5. Fondations. — 6. Exécution de la voûte (p. 204). — 7. Décintrement. — 8. Fissures et tassements. — 9. Durée d'exécution. — 10. Personnel. — SOURCES (p. 205).

DESSINS. — f_1 . Élévation. — f_2 . Coupe en long. — f_3 . Coupe en travers aux reins (p. 203). — Cintre : f_4 . Élévation, — f_5 . Coupe en travers (p. 204).

VOÛTES INARTICULÉES EN ARC TRÈS SURBAISSÉ \bar{A}

(Suite)

PONTS A UNE SEULE GRANDE ARCHE SOUS ROUTE

SÉRIE $\bar{A}^1 r^{te}$ ($\geq 40^m$) (Suite)

	Pages.
$\bar{A}^1 r^{te}$ ($\geq 40^m$) ³ . — Pont sur la Murg, à Huzenbach (ALLEMAGNE, - Wurtemberg) (1889).....	206
TEXTE. — SOURCES (p. 206).	
DESSINS. — f_1 . Élévation. — f_2 . Coupe en long et cintre (p. 206).	
$\bar{A}^1 r^{te}$ ($\geq 40^m$) ⁴ . — Pont sur la Malapane, à Wengern (ALLEMAGNE, - Silésie, - Cercle d'Oppeln) (1904).....	207
TEXTE. — 1. Personnel. — SOURCE (p. 207).	
DESSINS. — f_1 . Élévation. — f_2 . Coupe en long. — Coupes en travers : f_3 . à la clef, — f_4 . aux reins, — f_5 . dans une culée (p. 207).	
$\bar{A}^1 r^{te}$ ($\geq 40^m$) ⁵ . — Pont sur la Freiwaldauer Biele, à Ziegenhals (ALLEMAGNE, - Silésie, - Cercle de Neisse) (1905).....	208
TEXTE. — 1. Personnel. — SOURCE (p. 208).	
DESSINS. — f_1 . Élévation. — f_2 . Coupe en long (p. 208).	
$\bar{A}^1 r^{te}$ ($\geq 40^m$) ⁶ . — Pont sur la Glatzer Neisse, à Michelau (ALLEMAGNE, - Silésie, - Cercle de Brieg) (1905-1906).....	209
TEXTE. — 1. Dates (p. 209). — 2. Personnel. — SOURCES (p. 210).	
DESSINS. — f_1 . Élévation. — f_2 . Coupe en long. — f_3 . Coupe en travers à la clef. — Cintre : f_4 . Élévation, — f_5 . Coupe en travers (p. 209).	
PHOTOGRAPHIE. — Φ_1 (p. 210).	
$\bar{A}^1 r^{te}$ ($\geq 40^m$) ⁷ . — Pont sur la Queis, à Neuhammer (ALLEMAGNE, - Silésie, - Cercle de Sagan) (Projet : 1905).....	211
TEXTE. — 1. Aspect. — 2. Personnel. — SOURCES (p. 212).	
DESSINS. — f_1 . Ensemble. — f_2 . Grande arche. — f_3 . Coupe en long. — f_4 . Culée. — f_5 . Coupe en travers d'une culée (p. 211).	
PHOTOGRAPHIE. — Φ_1 (p. 212).	
$\bar{A}^1 r^{te}$ ($\geq 40^m$) ⁸ . — Pont sur la Bartsch, à Schwusen (ALLEMAGNE, - Silésie, - Cercle de Glogau) (1907).....	213
TEXTE. — 1. Personnel. — SOURCE (p. 213).	
DESSINS. — f_1 . Élévation. — f_2 . Coupe en long. — f_3 . Coupe en travers à la clef. — f_4 . Couronnement. — Cintre : f_5 . Élévation, — f_6 . Coupe en travers (p. 213).	
$\bar{A}^1 r^{te}$ ($\geq 40^m$) ⁹ . — Pont sur la Freiwaldauer Biele, à Kupferhammer (ALLEMAGNE, - Silésie, - Cercle de Neisse) (1907).....	214
TEXTE. — 1. Personnel. — SOURCE (p. 214).	
DESSIN. — f_1 . Coupe en long (p. 214).	

VOÛTES INARTICULÉES EN ARC TRÈS SURBAISSÉ \hat{A}

(Suite)

PONTS A UNE SEULE GRANDE ARCHE
SOUS CONDUITE D'EAU (AQUEDUCS)SÉRIE \hat{A}^1 aq ($\geq 40^m$)

TABLEAU SYNOPTIQUE.....	Pages. 216
MONOGRAPHIES :	
\hat{A}^1 aq ($\geq 40^m$) ¹ . — Pont sur la Murg, près de Weisenbach (ALLEMAGNE, — Grand-Duché de Bade) (1885).....	219
TEXTE. — 1. Exécution de la voûte. — 2. Date. — 3. Personnel. — SOURCES (p. 220).	
PHOTOGRAPHIE. — Φ_1 (p. 219).	

PONTS A UNE SEULE GRANDE ARCHE
SOUS CHEMIN DE FER A VOIE NORMALESÉRIE \hat{A}^1 Fr ($\geq 40^m$)

TABLEAU SYNOPTIQUE.....	222
MONOGRAPHIES :	
\hat{A}^1 Fr ($\geq 40^m$) ¹ . — Pont de Bellows Falls, sur le Connecticut (ÉTATS-UNIS, — Vermont) (1899).....	225
TEXTE. — 1. Pourquoi il est dans la série \hat{A}^1 (p. 225). — 2. Pourquoi on a fait un pont en maçonnerie. — 3. Couronnement. — 4. Cintres. — A. Partie au-dessus des naissances. — B. Partie au-dessous des naissances. — 5. Exécution des voûtes (p. 227). — 6. Quantités. — 7. Dates. — 8. Personnel. — SOURCES (p. 228).	
DESSINS. — f_1 . Ensemble. — f_2 . Arche sur la rivière. — f_3 . Coupe en travers aux retombées. — Cintre de l'arche sur la rivière : f_4 . Élévation, — f_5 . Détail (p. 226).	
PHOTOGRAPHIE. — Φ_1 (p. 225).	

PONTS A PLUSIEURS GRANDES ARCHES SOUS ROUTE

SÉRIE \hat{A}^n r^{te} ($\geq 40^m$)

TABLEAU SYNOPTIQUE.....	230
MONOGRAPHIES :	
\hat{A}^n r ^{te} ($\geq 40^m$) ¹ . — Pont de Putney sur la Tamise (ANGLETERRE) (1882-1883). 239	
TEXTE. — 1. Quelques dispositions (p. 239). — 2. Cintres. — 3. Fondations. — A. Piles (p. 241). — B. Culées. — 4. Exécution des voûtes. — 5. Personnel. — SOURCES (p. 242).	
DESSINS. — f_1 . Ensemble. — f_2 . Arche centrale. — f_3, f_4 . Coupes sur l'axe d'une pile de l'arche centrale, en long, en travers. — f_5 . Dalles sous chaussée. — f_6 . Plan d'un caisson de fondation (p. 240). — Cintre d'une arche de rive : f_7 . Élévation, — f_8, f_9 . Support. — Cintre de l'arche centrale. Détails d'une ferme : f_{10} . Élévation, — f_{11}, f_{12} . Coupes en travers (p. 241). — Culée : f_{13} . Coupe en long, — f_{14} . Coupe horizontale (p. 242).	
PHOTOGRAPHIE. — Φ_1 (p. 239).	

VOÛTES INARTICULÉES EN ARC TRÈS SURBAISSÉ \bar{A}

(Suite)

PONTS A PLUSIEURS GRANDES ARCHES SOUS ROUTE

SÉRIE $\bar{A}^{n r^{\text{te}}}$ ($\geq 40^{\text{m}}$) (Suite)

	Pages.
$\bar{A}^{n r^{\text{te}}}$ ($\geq 40^{\text{m}}$) ² . — Pont Boucicaut , sur la Saône, à Verjux (FRANCE, — Saône-et-Loire) (1888-1890).....	243
<p><i>TEXTE.</i> — 1. Tracé de l'intrados (p. 243). — 2. Renflement de l'intrados par rapport à l'arc de cercle de même portée et même montée. — 3. Extrados. — 4. Pourquoi on a adopté des voûtes en projection de chaînette (p. 244). — 5. Pourquoi on a réduit l'épaisseur de la voûte. — 6. Appareil des voûtes (p. 245). — 7. Tympan. — 8. Couronnement. — 9. Cintres (p. 246). — 10. Fondations. — A. <i>Piles</i> (p. 247). — B. <i>Culées</i>. — 11. Exécution des voûtes. — 12. Décintrement. — A. <i>Voûte 1 (sur cintre marinier)</i> (p. 248). — B. <i>Voûtes 2 à 5</i>. — 13. Mouvements observés (p. 249). — 14. Personnel (p. 250). — <i>SOURCES</i> (p. 251).</p> <p><i>DESSINS.</i> — f_1. Ensemble, aval. — f_2. Une arche (p. 243). — f_3. Renflement de l'intrados par rapport à l'arc de cercle de même portée et même montée (p. 244). — Appareil des voûtes : f_4. Bandeau, — f_5. Corps (245). — f_6. Demi-coupes en travers, à la clef d'une voûte, sur l'axe d'une pile. — Cintre courant : f_7. Élévation, — f_8. Coupe en travers (p. 246). — f_9. Cintre marinier. — Agrandissement de la passe. — f_{10}. Coupe en long d'une pile (p. 247). — f_{11}. Coupe en long d'une culée (p. 248). — Fissures dans les tympan : f_{12}. Tête aval, — f_{13}. Tête amont. — f_{14}. Mouvements au-dessus des clefs et des appuis (p. 250).</p> <p><i>PHOTOGRAPHIE.</i> — Φ_1 (p. 245).</p>	
$\bar{A}^{n r^{\text{te}}}$ ($\geq 40^{\text{m}}$) ³ . — Pont sur la Moselle, à Mehring (ALLEMAGNE, — Prusse-Rhénane) (1903-1904).....	252
<p><i>TEXTE.</i> — 1. Matériaux. — 2. Cintre marinier (p. 252). — 3. Dates. — 4. Personnel. — <i>SOURCES</i> (p. 254).</p> <p><i>DESSINS.</i> — f_1. Ensemble, amont. — f_2. Une grande arche. — Coupes en long : f_3. Arche rive droite, — f_4. Culée rive gauche (p. 253). — Cintre marinier : f_5. Élévation, — f_6. Coupe en travers (p. 252).</p> <p><i>PHOTOGRAPHIE.</i> — Φ_1 - amont (p. 252).</p>	
$\bar{A}^{n r^{\text{te}}}$ ($\geq 40^{\text{m}}$) ⁴ . — Pont sur la Loire, à Orléans (FRANCE, — Loiret) (1904-1906).....	255
<p><i>TEXTE.</i> — 1. Déclivités. — 2. Intrados. — 3. Épaisseur de la voûte (p. 255). — 4. Piles. — 5. Tympan. Couronnement. Aspect (p. 257). — 6. Dispositions pour permettre, sans fissures, les mouvements des tympan dus aux variations de température (p. 258). — 7. Pressions. — A. <i>Dans les voûtes</i>. — B. <i>Dans une pile</i>. — C. <i>Sous la culée rive gauche</i>. — 8. Cintres (p. 259). — 9. Fondations. — 10. Exécution des voûtes. — A. <i>Dates</i>. — B. <i>Joints secs</i> (p. 260). — C. <i>Clavages</i>. — D. <i>Enlèvement des coffrages</i>. — 11. Décintrement (p. 262). — 12. Dépenses. — 13. Personnel. — <i>SOURCES</i> (p. 264).</p>	

VOÛTES INARTICULÉES EN ARC TRÈS SURBAISSÉ \bar{A}

(Suite)

PONTS A PLUSIEURS GRANDES ARCHES SOUS ROUTE

SÉRIE \bar{A}^n r^{te} ($\geq 40^m$) (Suite)

Pages.

 \bar{A}^n r^{te} ($\geq 40^m$)⁴. — Pont sur la Loire, à Orléans (Suite).

DESSINS. — f_1 . Ensemble, aval. — f_2 . Une arche (p. 255). — f_3 . Coupe en long sur l'axe. — f_4 . Coupe en long de la culée rive gauche. — Demi-coupes en travers : f_5 . aux reins d'une voûte, — f_6 . à la clef. — Pile : f_7 . Élévation, — f_8 . Demi-plan par-dessus, — f_9 . Coupe horizontale, — f_{10} . Chaperon, — f_{11} . Cordon des petites piles. — Archivoltes : f_{12} . des grandes voûtes, — f_{13} . des voûtes d'évidement. — f_{14} . Couronnement (p. 256). — f_{15} . Détermination de l'épaisseur de la voûte (p. 255). — Armature des voûtes d'évidement : f_{16} . Coupes en long, — f_{17} . Coupe horizontale. — f_{18} , f_{19} . Coupes en travers (p. 258). — f_{20} . Cintres fixes. — f_{21} , f_{22} . Cintres mariniers. — f_{23} . Déformation du caisson de la culée rive droite (p. 260). — Exécution des voûtes : f_{24} , f_{25} . Coffrage ; f_{26} . Taquet (p. 261) ; — f_{27} , f_{28} . Clavage des joints secs (p. 262).

PHOTOGRAPHIES. — Φ_1 - aval (p. 257). — Φ_2 . Exécution d'une voûte (p. 261).

 \bar{A}^n r^{te} ($\geq 40^m$)⁵. — Pont sur l'Hotzenplotz, à Krappitz (ALLEMAGNE, — Silésie, — Cercle d'Oppeln) (1905).....

265

TEXTE. — 1. Personnel (p. 265). — 2. SOURCES (p. 266).

DESSINS. — f_1 . Ensemble. — f_2 . Grande voûte. — f_3 . Coupe en long (p. 265).

PHOTOGRAPHIE. — Φ_1 (p. 266).

 \bar{A}^n r^{te} ($\geq 40^m$)⁶. — Pont sur la Freiwaldauer Biele, à Gross-Kunzendorf (ALLEMAGNE, — Silésie, — Cercle de Neisse).....

267

TEXTE. — 1. Personnel. — SOURCE (p. 267).

DESSINS. — f_1 . Ensemble. — f_2 . Grande voûte. — f_3 . Coupe en long. — f_4 . Pilotis et armature d'une pile. — f_5 . Coupe en travers à la clef. — f_6 , f_7 . Couronnement (p. 267).

 \bar{A}^n r^{te} ($\geq 40^m$)⁷. — Pont sur la Moselle, à Schweich (ALLEMAGNE, — Prusse-Rhénane) (1905-1906).....

268

TEXTE. — 1. Matériaux. — 2. Quelques observations (p. 268). — 3. Dates. — 4. Personnel. — SOURCES (p. 269).

DESSINS. — f_1 . Ensemble des grandes arches, amont. — f_2 . Une des grandes arches. Cintre de l'arche centrale : f_3 . Élévation, — f_4 . Coupe en travers (p. 268).

PHOTOGRAPHIE. — Φ_1 - aval (p. 269).

VOÛTES INARTICULÉES EN ARC TRÈS SURBAISSÉ \bar{A}

(Suite)

PONTS A PLUSIEURS GRANDES ARCHES SOUS ROUTE

SÉRIE \bar{A}^n r^{te} ($\geq 40^m$) (Suite)

	Pages.
\bar{A}^n r ^{te} ($\geq 40^m$) ⁸ . — Pont sur le Rhône, à Avignon (FRANCE, — Vaucluse) (1905-1909)	270
<p><i>TEXTE.</i> — 1. Principales dispositions et dimensions. — 2. Piles. — 3. Trottoirs en encorbellement (p. 270). — 4. Cintres. — 5. Fondations à l'air comprimé. — 6. Exécution des voûtes (p. 272). — 7. Tassement des cintres (p. 273). — 8. Dates d'exécution des voûtes. — Mouvements observés à chaque décintrement (p. 274). — 9. Dépenses. — 10. Personnel. — SOURCES (p. 275).</p> <p><i>DESSINS.</i> — f_1. Ensemble, amont. — f_2. Une voûte. — f_3. Coupe en long. — f_4, f_5. Coupes en travers : à la clef d'une voûte, sur l'axe d'une pile. — f_6, f_7. Becs. — f_8. Cordon des piles (p. 274). — Cintres : f_9, f_{11}. Élévations, — f_{10}, f_{12}. Coupes en travers (p. 272). — Exécution des voûtes. Clavages : f_{13}, f_{14}. Bandeaux, — f_{15}, f_{16}. Corps (p. 273).</p> <p><i>PHOTOGRAPHIE.</i> — Φ_1 (p. 270).</p>	
\bar{A}^n r ^{te} ($\geq 40^m$) ⁹ . — Pont sur la Moselle, à Trittenheim (ALLEMAGNE, — Prusse-Rhénane) (1907-1908)	276
<p><i>TEXTE.</i> — 1. Matériaux. — 2. Quelques observations (p. 276). — 3. Aspect. — 4. Dates. — 5. Personnel. — SOURCES (p. 278).</p> <p><i>DESSINS.</i> — f_1. Ensemble, amont. — f_2. Une grande voûte. — f_3. Coupe en long et cintre de l'arche rive droite (p. 277).</p> <p><i>PHOTOGRAPHIE.</i> — Φ_1 — amont (p. 276).</p>	
\bar{A}^n r ^{te} ($\geq 40^m$) ¹⁰ . — Pont sur la Moselle, à Longuich (ALLEMAGNE, — Prusse-Rhénane) (1909-1911)...	279
<p><i>TEXTE.</i> — 1. Cintres (p. 279). — 2. Dates. — 3. Personnel. — SOURCES (p. 281).</p> <p><i>DESSINS.</i> — f_1. Ensemble, aval. — f_2. Les deux grandes voûtes, côté rive droite. — Coupes en long : f_3. Culée rive droite, — f_4. Pile centrale. — f_5. Coupe en travers, en avant d'une pile. — f_6. Bec (p. 280). — Cintre marinier : f_7. Élévation, — f_8. Coupe en travers. — Cintre fixe : f_9. Élévation, — f_{10}. Coupe en travers (p. 279).</p> <p><i>PHOTOGRAPHIE.</i> — Φ_1 — amont (p. 279).</p>	

QUELQUES VOÛTES INARTICULÉES

QU'ON AURAIT, A TORT, CHERCHÉES AU LIVRE I

TITRE I. — VOÛTES INARTICULÉES $\geq 40^m$ EN BÉTON PEU ARMÉ

	Pages.
TABLEAU SYNOPTIQUE	284
MONOGRAPHIES :	
1. — Pont sur la Delaware, près de Portland (ÉTATS-UNIS, — Pennsylvanie) (1909-1910)	289
<i>TEXTE.</i> — 1. Pile-culée en rivière (p. 289). — 2. Écoulement des eaux. — 3. Parements. — 4. Appui des voûtes biaises sur les piles. — 5. Culée Est. — 6. Cintres. — <i>A. Voûtes de rive</i> (p. 290). — <i>B. Voûtes de 45^m72.</i> — <i>B₁. Nombre de cintres.</i> — <i>B₂. Fermes.</i> — <i>B₃. Dispositif pour mettre les fermes à hauteur et pour décintre</i> (p. 291). — <i>B₄. Travail permis.</i> — <i>B₅. Tassements.</i> — 7. Personnel. — <i>A. Ouvrage.</i> — <i>B. Cintre.</i> — <i>SOURCES</i> (p. 292).	
<i>DESSINS.</i> — <i>f₁. Ensemble.</i> — Voûte n° 5 : <i>f₂. Élévation,</i> — <i>f₃. Plan par-dessus,</i> — <i>f₄. Coupe horizontale</i> (p. 289), — <i>f₅. Demi-coupe en long,</i> — <i>f₆. Coupe en travers.</i> — <i>f₇. Culée Est. Coupe en travers</i> (p. 290). — Cintre des voûtes de 45 ^m 72 : <i>f₈. Élévation,</i> — <i>f₉. Appuis,</i> — <i>f₁₀. Appareil de manœuvre</i> (p. 291).	
2. — Pont de la Monroe Street, sur le Spokane, à Spokane (ÉTATS-UNIS, — Washington) (1909-1911)	293
<i>TEXTE.</i> — 1. Deux ponts-jumeaux. — 2. Cintre (p. 293). — 3. Dates. — 4. Personnel (p. 296). — <i>SOURCES</i> (p. 297).	
<i>DESSINS.</i> — <i>f₁. Ensemble</i> (p. 294). — <i>f₂. Grande arche</i> (p. 295). — <i>f₃. Coupe en long.</i> — <i>f₄. Coupe horizontale.</i> — <i>f₅. Coupe en travers</i> (p. 294). — Cintre : <i>f₆. Élévation,</i> — <i>f₇. Coupe en travers</i> (p. 296).	
<i>PHOTOGRAPHIE.</i> — Φ_1 - aval (p. 293).	
3. — Pont sur la Bober, à Boberullersdorf (PRUSSE, — Silésie, Cercle de Hirschberg) (1908-1909)	298
<i>TEXTE.</i> — 1. Trottoirs. — 2. Parements vus. — 3. Joints de dilatation. — 4. Dates (p. 298). — 5. Personnel. — <i>SOURCES</i> (p. 299).	
<i>DESSINS.</i> — <i>f₁. Élévation.</i> — <i>f₂. Coupe en long et cintre.</i> — <i>f₃. Coupe en travers.</i> — <i>f₄. Couronnement.</i> — <i>f₅. Comment est armé le cerveau de la voûte. Plan.</i>	
<i>PHOTOGRAPHIE.</i> — Φ_1 (p. 298).	
4. — Pont sur l'Alme, à Elsen (PRUSSE, — Cercle de Paderborn) 1909-1911)	300
<i>TEXTE.</i> — 1. Joints de dilatation. — 2. Dates (p. 300). — 3. Personnel. — <i>SOURCES</i> (p. 301).	
<i>DESSINS.</i> — <i>f₁. Élévation.</i> — <i>f₂. Coupe en long.</i> — <i>f₃. Coupe en travers aux retombées.</i> — Cintre : <i>f₄. Élévation,</i> — <i>f₅. Coupe en travers</i> (p. 300).	
<i>PHOTOGRAPHIE.</i> — Φ_1 (p. 301).	
5. — Pont sur la Fulda, à Cassel (PRUSSE) (1909-1910)	302
<i>TEXTE.</i> — 1. Parements vus. — 2. Joints de dilatation. — 3. Dates. — 4. Personnel (p. 302). — <i>SOURCES</i> (p. 303).	
<i>DESSINS.</i> — <i>f₁. Élévation.</i> — <i>f₂. Coupe en long.</i> — <i>f₃. Demi-coupes en travers, à la clef, aux retombées.</i> — Cintre : <i>f₄. Élévation,</i> — <i>f₅. Coupes en travers</i> (p. 303).	
<i>PHOTOGRAPHIE.</i> — Φ_1 (p. 302).	

QUELQUES VOÛTES INARTICULÉES
QU'ON AURAIT, A TORT, CHERCHÉES AU LIVRE I
(Suite)

TITRE II. — VOÛTES INARTICULÉES $\geq 40^m$
TOMBÉES PENDANT QU'ON LES CONSTRUISAIT

	Pages.
1. Pont de Marbre, à Pise (ITALIE) (<i>indiqué sous toutes réserves</i>). <i>Arc de 72^m389 (??), tombé en 1644</i>	305
2. Pont de Mansart, sur l'Allier, à Moulins (ALLIER) . <i>Emporté en 1710. (Arche centrale : 44^m83)</i>	305
<i>TEXTE (p. 305). — DESSINS. — f₁. Ensemble. — f₂. Grande arche (p. 306).</i>	
3. Pont sur le Panaro, près de Modène (ITALIE) . <i>Arche de 49^m376, tombée en 1789</i>	307
4. Pont de Saint-Georges, sur le Liri (ITALIE) . <i>Voûte de 45^m tombée en 1873</i>	307
<i>TEXTE (p. 307). — DESSIN. — f₁. Élévation et Cintre (p. 307).</i>	

TITRE III. — VOÛTES INARTICULÉES
AUXQUELLES ON A ATTRIBUÉ A TORT 40^m DE PORTÉE OU PLUS

III. A. — PONTS QUI EXISTENT, MAIS QUI N'ONT PAS 40^m

1. Pont Saint-Martin, sur le Tage, à Tolède (ESPAGNE, - Nouvelle-Castille)	309
<i>TEXTE (p. 309). — DESSIN. — Grande arche, amont (p. 310). — PHOTOGRAPHIE. — Φ_1 - amont (p. 309).</i>	
2. Pont d'Orense, sur le Miño (ESPAGNE, - Galice)	311
<i>TEXTE (p. 312). — DESSIN. — f₁. Grande arche, aval (p. 311). — PHOTOGRAPHIE. — Φ_1. Arches centrales, aval (p. 312).</i>	
3. Pont du Diable, sur le Llobregat, à Martorell (ESPAGNE, - Catalogne)	313
<i>TEXTE (p. 313). — DESSIN. — f₁. Grande arche, aval (p. 314). — PHOTOGRAPHIE. — Φ_1 - aval (p. 313).</i>	
4. Pont de Villeneuve d'Agen, sur le Lot (LOT-ET-GARONNE)	315
<i>TEXTE (p. 315). — DESSIN. — f₁. Grande arche, amont (p. 315).</i>	

III. B. — PONTS RUINÉS

1. Pont sur la Nera, près de Narni (ITALIE, - Ombrie)	317
2. Pont de Trajan, sur le Danube (HONGRIE)	317
3. Pont de Justinien, sur le fleuve Sangaris (ASIE-MINEURE)	318

III. C. — PONTS QUI N'ONT JAMAIS EXISTÉ

1. Pont de Marbre, sur l'Arno, à Florence (ITALIE)	319
---	-----

LIVRE II. — CE QUE L'EXPÉRIENCE ENSEIGNE DE SPÉCIAL AUX VOÛTES INARTICULÉES

TITRE I. — COMMENT ON TRACE UNE VOÛTE

	Pages.
CHAPITRE I. — PREMIÈRES INDICATIONS.....	323
CHAPITRE II. — COURBES D'INTRADOS	
§ 1. — PLEIN CINTRE C	324
§ 2. — COURBES ELLIPTIQUES SURBAISSÉES E .	
Art. 1. — Anse de panier.	
A. — Définition.....	324
B. — Tracés d'anses de panier.	
B ₁ — à 3 centres :	
1 ^o On se donne le 1 ^{er} angle θ_1	324
2 ^o On se donne le 1 ^{er} rayon r_1	325
B ₂ — à plus de 3 centres.....	326
C. — Emploi.....	327
Art. 2. — Ellipse.....	328
Art. 3. — Courbe parallèle à l'ellipse.....	329
Art. 4. — Ellipse déformée, en ajoutant à ses ordonnées, ou en en retranchant, la différence ε entre celles d'un arc et d'une ellipse auxiliaires.	
A. — en ajoutant ε (Courbes intérieures à l'ellipse).....	330
B. — en retranchant ε (Courbes extérieures à l'ellipse).....	331
Art. 5. — Projection de chaînette.....	331
Art. 6. — Développante de cercle.....	332
Art. 7. — Cycloïde. — Projection de cycloïde.....	333
Art. 8. — Courbes elliptiques composées de 2 courbes :	
A. — Arc de cercle au cerceau, parabole aux reins.....	333
B. — Arc d'ellipse au cerceau, arc de cercle aux reins.....	334
C. — 2 paraboles tangentes à l'ellipse au sommet et aux naissances.....	334
§ 3. — COURBES ELLIPTIQUES SURHAUSSÉES E_h	335
§ 4. — ARCS SURBAISSÉS A .	
Art. 1. — Arc de cercle.....	335
Art. 2. — Arc d'ellipse.....	336
Art. 3. — Arc d'anse de panier.....	336
Art. 4. — Arc de la courbe $y = b' \left(1 - \sqrt{1 - \frac{x^2}{a'^2}} \right)$	336
Art. 5. — Parabole $y = Ax^2 + Bx^4 + Cx^6 + \dots$	337
Art. 6. — Courbe pour remplacer pratiquement une projection de chaînette, $y = \frac{b(n^2 - a^2)}{a^2} \times \frac{x^2}{n^2 - x^2}$	337
Art. 7. — Arc de cercle cambré en retranchant quelque chose de chaque ordonnée.....	338

TITRE I. — COMMENT ON TRACE UNE VOÛTE (Suite)

§ 5. — OGIVES O .	Pages.
Art. 1. — Ogive surhaussée.....	339
Art. 2. — Ogive surbaissée.....	339
Art. 3. — Arcs brisés.....	340

CHAPITRE III. — ÉPAISSEUR D'UNE VOÛTE

§ 1. — ÉPAISSEUR A LA CLEF e_0 .	
Art. 1. — Graphiques de e_0 en fonction de la portée $2a$ et du surbaissement $\sigma = \frac{b}{2a} \dots$	341
Art. 2. — Pour une voûte donnée, il y a une valeur de e_0 qu'on n'a pas intérêt à dépasser.	341
Art. 3. — Depuis le milieu du XVIII ^e siècle, on réduit constamment le rapport : $\frac{e_0 \text{ (épaisseur)}}{2a \text{ (portée)}}$.	342
Art. 4. — Quelques formules empiriques de e_0 (Perronet, Dupuit, Croizette-Desnoyers).	342
Art. 5. — Formule empirique proposée : $e_0 = \alpha (1 + \sqrt{2a}) \mu \dots$	343
§ 2. — ÉPAISSEUR AUX REINS e_1 .	
EXTRADOS CACHÉ PAR DES TYMPANS PLEINS $e_1 = \lambda e_0$	
Art. 1. — Formules empiriques proposées pour λ	344
Art. 2. — Épaisseur e_1 définie par la condition que sa projection verticale soit e_0	344
§ 3. — CE QUE VALENT LES FORMULES EMPIRIQUES PROPOSÉES POUR e_0 & e_1 .	345
§ 4. — EXTRADOS DU CORPS DES VOÛTES.	
Art. 1. — Règle.....	345
Art. 2. — Extrados d'une voûte dont l'épaisseur e en un point quelconque M a une projection verticale constante $e = \frac{e_0}{\cos \alpha}$.	
1 ^o <i>Ellipse</i> . 2 ^o <i>Arc de cercle</i>	346

CHAPITRE IV — BANDEAUX

§ I. — BANDEAUX SOUS TYMPANS PLEINS.	
Art. 1. — Réduction des épaisseurs par rapport au corps de la voûte.....	347
Art. 2. — Pleins cintres.	
Art. 3. — Ellipses.	
A. <i>L'intrados est, aux naissances, tangent à 2 piles, ou à 2 culées, ou à une pile et une culée</i>	347
B. <i>L'extrados est une demi-courbe complète</i>	348
Art. 4. — Arcs.....	349
2. — BANDEAUX SOUS TYMPANS TRAVERSÉS PAR DES ÉVIDEMENTS APPARENTS.	
Art. 1. — Épaisseurs.....	349
Art. 2. — Courbe d'extrados.....	350

**TITRE II. — COMMENT ON CALCULE LES EFFORTS
DANS LES GRANDES VOÛTES
HYPOTHÈSE ÉLASTIQUE**

**CHAPITRE I. — COMMENT ON DÉTERMINE, POUR UNE SECTION
QUELCONQUE, L'EFFORT NORMAL ET LE COUPLE DE FLEXION**

§ 1. — COMPOSANTES DE L'EFFORT TOTAL SUR UNE SECTION. — COUPLE DE FLEXION.	Pages.
Art. 1. — Effort normal à la section N. — Effort tranchant T. — Couple de flexion Nu .	351
Art. 2. — Poussée horizontale H.	352
§ 2. — SI ON CONNAIT LA RÉACTION D'UN APPUI, ON PEUT, POUR CHAQUE SECTION, CALCULER OU CONSTRUIRE L'EFFORT NORMAL N, ET SON BRAS DE LEVIER u .	352
§ 3. — COMMENT ON DÉTERMINE LA RÉACTION D'UN APPUI.	353
Art. 1. — La Statique ne donne que 3 équations pour 6 inconnues.	353
Art. 2. — Hypothèses proposées pour avoir 3 autres équations, en supposant les voussoirs indéformables.	354
A. <i>Hypothèse de Navier</i> .	353
B. <i>Méthode de Mery</i> .	354
Art. 3. — Si les voussoirs sont élastiques (élastiques comme l'entend la Résistance des matériaux), on leur peut appliquer les 3 équations « de déformation ».	355
A. — <i>La pierre est beaucoup plus déformable que l'acier</i> .	355
B. — <i>Hypothèses de la Résistance des matériaux</i> .	355
B ₁ . — <i>Hypothèse de Hooke</i> .	356
B ₂ . — <i>Hypothèse de Navier</i> .	356
C. — <i>Equations de déformation</i> .	356
D. — <i>Les équations de déformation ne tiennent pas compte de la rigidité des tympans</i> .	358
Art. 4. — En pratique, graphiquer au lieu de calculer.	358

**CHAPITRE II. — ON CONNAIT L'EFFORT TOTAL N SUR UNE SECTION,
SA DISTANCE u AU CENTRE DE GRAVITÉ.
COMMENT N SE DISTRIBUE-T-IL SUR LA SECTION ?
EFFORTS PAR UNITÉ EN CHAQUE POINT.**

§ 1. — FORMULES.	359
§ 2. — REPRÉSENTATION GRAPHIQUE.	
Art. 1. — Le centre de pression U est dans le noyau central ($u < \frac{e}{6}$) (Règle du trapèze)	359
Art. 2. — Le centre de pression U est à la limite du noyau central ($u = \frac{e}{6}$)	360
Art. 3. — Le centre de pression U est hors du noyau central ($u > \frac{e}{6}$)	
A. <i>Si la maçonnerie pouvait travailler à la tension</i> .	360
B. <i>Si la maçonnerie ne peut pas travailler à la tension</i> (Règle du triangle).	360

TITRE III. — RELATION ENTRE LES CHARGES ET LA FORME DE LA VOÛTE

CHAPITRE I. — ON DOIT TRACER LA FIBRE MOYENNE DE FAÇON QUE LES COURBES DE PRESSION S'EN ÉCARTENT LE MOINS POSSIBLE

CHAPITRE II. — CAS D'UNE VOÛTE INFINIMENT MINCE

RELATION ENTRE :

D'UNE PART, LA FORME D'UNE VOÛTE INFINIMENT MINCE, INCOMPRESSIBLE, DONT CHAQUE ÉLÉMENT S'ORIENTE SUIVANT LA RÉSULTANTE DES FORCES QUI LUI SONT APPLIQUÉES, C-A-D UNE COURBE FUNICULAIRE DES CHARGES ;
D'AUTRE PART, UNE LIGNE LIMITANT LES CHARGES VERTICALES COMPTÉES À PARTIR DE LA VOÛTE, DITE LIGNE DE CHARGE.

§ 1. — PRÉLIMINAIRES.

Pages.

Art. 1. — Rappel de la notion des courbes funiculaires.....	362
Art. 2. — Définition de la ligne de charge.....	362
Art. 3. — Relation entre la fibre moyenne (<i>courbe funiculaire</i>) et la ligne de charge...	363
Art. 4. — Potassée horizontale dans une voûte funiculaire infiniment mince.....	363

§ 2. — DE LA FIBRE MOYENNE, DÉDUIRE LA LIGNE DE CHARGE, C-A-D, COMMENT FAUT-IL CHARGER UNE VOÛTE POUR QU'ELLE SOIT UNE COURBE FUNICULAIRE DES CHARGES ?

Art. 1. — Plein cintre. — Ellipse.....	364
Art. 2. — Arc de cercle. — Arc d'ellipse.....	365
Art. 3. — Parabole.....	365
Art. 4. — Projection de chaînette.....	365
Art. 5. — Courbe pouvant remplacer une projection de chaînette : $y' = \frac{m x^2}{n^2 - x^2}$	366
Art. 6. — Ogive.....	366

§ 3. — RELATION ENTRE QUELQUES FORMES DE FUNICULAIRES ET QUELQUES DISPOSITIONS DES CHARGES.....

367

CHAPITRE III. — VOÛTE D'ÉPAISSEUR FINIE SOUMISE À DES CHARGES OU SURCHARGES CONTINUES.

RECHERCHE PAR LE CALCUL DE LA FORME À LUI DONNER
POUR QUE LE TRAVAIL MAXIMUM Y DÉPASSE PEU LE TRAVAIL MOYEN,
C-A-D POUR QUE LES COURBES DE PRESSION S'ÉCARTENT PEU
DE LA FIBRE MOYENNE.

§ 1. — HYPOTHÈSES ADMISES.....	368
§ 2. — MÉTHODE DE M. TOURTAY.....	369
§ 3. — MÉTHODE DE M. LEGAY.....	370
§ 4. — MÉTHODE DE TOLKMITT.....	371
§ 5. — OBSERVATIONS SUR TOUTES CÉS MÉTHODES.....	372

RELATION ENTRE LES CHARGES ET LA FORME DE LA VOÛTE *(Suite)*

CHAPITRE IV. — UN ARC EST DIT ÉLASTIQUE QUAND LES DÉFORMATIONS Y SONT PROPORTIONNELLES AUX EFFORTS

(Hypothèse de Hooke),

ET QU'UNE SECTION PLANE RESTE PLANE APRÈS FLEXION

(Hypothèse de Navier),

DANS QUELLES LIMITES EST-CE VRAI POUR LES VOÛTES,
ET A-T-ON LE DROIT DE LES CALCULER COMME ÉLASTIQUES ?

§ 1. — EXPÉRIENCES DE LABORATOIRE.

	Pages.
<i>POUR LES VOÛTES EN PIERRE, IL N'Y A PAS, A PROPREMENT PARLER, DE COEFFICIENT D'ÉLASTICITÉ, C-A-D QUE, POUR ELLES, L'HYPOTHÈSE DE HOOKE EST FAUSSE</i>	372

§ 2. — EXPÉRIENCES SUR DES VOÛTES.

Art. 1. — Arceau d'essai de Vassy (arc de 31 ^m 05 à 1/40.37), en moellons ordinaires dressés en coupe, mortier de ciment (1845-1846). — Épreuves au choc (30 mai 1846).....	375
Art. 2. — Expérience faite dans les carrières de Souppes (Seine-et-Marne) (1865-66) (arc de 37 ^m 886 au 1/18 ^e , de 3 ^m 50 de largeur).	
A. <i>Voûte</i>	375
B. <i>Essais</i>	376
Art. 3. — Observations aux ponts de Lavaur et Antoinette, et au pont de Morbegno.....	376
Art. 4. — Expériences de l'Association des Ingénieurs et Architectes autrichiens (1890-1891).	
A. — <i>Voûtes essayées</i>	376
B. — <i>Conclusions de M. le Professeur Brick</i>	377
C. — <i>Ce qu'il faut retenir</i>	377
Art. 5. — Insuffisance des observations faites sur les voûtes.....	378

§ 3. — QUELQUES AUTRES INDICATIONS DE L'ÉLASTICITÉ DES MAÇONNERIES.

Art. 1. — Chute des arches du pont de Vernon.....	378
Art. 2. — Oscillation des phares sous les coups de vent.....	378
Art. 3. — Évasement du haut des nefs des cathédrales.....	379
Art. 4. — Courbure élastique des piles IV et III du viaduc sur la Sitter.....	379

§ 4. — CONCLUSIONS.

<i>JUSQU'A CE QU'ON EN AIT UNE MEILLEURE POUR CALCULER LE TRAVAIL DES VOÛTES, ACCEPTER, MALGRÉ SES DÉFAUTS, L'HYPOTHÈSE ÉLASTIQUE</i>	380
---	-----

ANNEXE

ÉPAISSEUR A LA CLEF DES VÔTES INARTICULÉES

Pages.

$$\text{Valeur du coefficient } \alpha = \frac{e_0 \text{ (Épaisseur à la clef)}}{\left[1 + \sqrt{2 a \text{ (Portée)}} \right] \mu \text{ (Fonction du surbaissement)}}$$

pour 562 ouvrages, (environ 3 300 voutes), types non comptés 383

PONTS DÉCRITS DANS LE TOME III. — Index alphabétique 391

TABLE DES MATIÈRES 396

ERRATA

DU TOME III

Page 124, 1^{re} ligne :

au lieu de : **Tlinthe**, lire **Plinthe**.

35

Voir aussi l'**Errata général**, à la fin du Tome V.

БИБЛИОТЕКА
 ТЕХНОЛОГИИ
 МАШИНОСТРОЕНИЯ
 И
 МАШИНОСТРОЕНИЯ